

IMPIANTO AGRIVOLTAICO DELLA POTENZA NOMINALE
DI 48.916,56 kWp
"LOTTO 9"

UBICATO NEL COMUNE DI LATIANO (BR)

CODICE IDENTIFICATIVO PRATICA AU REGIONALE: MU5A7M1

Titolo Elaborato:

RELAZIONE DI CALCOLO STRUTTURALE

IDENTIFICAZIONE ELABORATO (MITE)

LIVELLO PROGETTAZIONE	TIPO DOCUMENTO	CODICE IDENTIFICATIVO	DATA	SCALA
PD	R	MU5A7M1_STRU_01	DICEMBRE 2022	

REVISIONI

REV.	DATA	DESCRIZIONE	ESEGUITO	VERIFICATO	APPROVATO
00	12/22	Prima emissione	Ing. Debora DELLEGROTTAGLIE	Ing. Debora DELLEGROTTAGLIE	Ing. Debora DELLEGROTTAGLIE

TECNICO:

Ing. Debora Dellegrottaglie
Ordine degli Ingegneri
Provincia di Brindisi n.1814



PROPONENTE:

ELETTRA SOL S.R.L.
Via Mercato, 3
20121, Milano (MI) - Italy



PROGETTAZIONE:

NEXTA PROJECT DEVELOPMENT
Via Dante, 7
20123, Milano - ITALY

APULIA ENERGIA S.R.L.
Via Sasso, 15b
72023, Mesagne (BR) - ITALY



Sommario

1.	PREMESSA	2
1.1	GENERALITÀ.....	2
2.	DESCRIZIONE DELLE OPERE	2
2.1	DESCRIZIONE DEI PANNELLI FOTOVOLTAICI.....	2
2.2	DESCRIZIONE DELLE FONDAZIONI DELLE CABINE CON DESTINAZIONE IMPIANTISTICA	3
2.3	DESCRIZIONE DELLE FONDAZIONI DEL CANCELLO DI INGRESSO SITO	4
3.	LA VALUTAZIONE DELLA SICUREZZA DELLE OPERE	5
3.1	MODALITÀ ESECUTIVE DELLE VERIFICHE STRUTTURALI E SCELTE DI BASE ADOTTATE	5
3.2	TABULATI DI CALCOLO.....	5
4.	CARATTERISTICHE DEL TERRENO DI SEDIME	6
4.1	STRATIGRAFIA DEL TERRENO DI SEDIME	6
4.2	DEFINIZIONE DELLA CATEGORIA DI SOTTOSUOLO AI FINI DEL CALCOLO DELL’AZIONE SISMICA DI PROGETTO	6
5.	PROGETTAZIONE GEOTECNICA	7
5.1	METODO DI VERIFICA ADOTTATO NEI CONFRONTI DEGLI STATI LIMITE ULTIMI	7
5.2	MODALITÀ ESECUTIVE DEL CALCOLO STRUTTURALE E SCELTE PROGETTUALI ADOTTATE.....	9
5.3	VERIFICA DEI CEDIMENTI.....	10
6.	ELENCO DEGLI ELABORATI DEL PROGETTO STRUTTURALE	11

1. PREMESSA

1.1 GENERALITÀ

Il presente documento costituisce la relazione generale del progetto strutturale attinente alle opere realizzate nell’ambito dei lavori di costruzione di un impianto agrivoltaico, ubicato nel comune di Latiano (BR), denominato “Lotto 9” della potenza di 48.916,56 MWp; questo sarà realizzato con moduli fotovoltaici in silicio monocristallino, con una potenza di picco di 660 Wp.

Committente del progetto è ELETTRA SOL S.R.L., con sede legale in Via Mercato, 3/5 - 20121 Milano (MI) e P.I. 12502450693.

Le opere descritte nei paragrafi successivi riguardano la progettazione della parte strutturale in acciaio, che costituisce il telaio strutturale di sostegno dei pannelli fotovoltaici, la progettazione degli elementi di fondazione per le cabine prefabbricate da installare all’interno del campo agrivoltaico e la progettazione delle opere di fondazione per gli elementi accessori quali il cancello d’ingresso al sito.

Il progetto strutturale, di cui il presente documento fa parte, è stato redatto in conformità alla normativa vigente in tale settore, ovvero il Decreto del Ministero delle Infrastrutture e dei Trasporti, datato 17.01.2018, dal titolo “Aggiornamento delle norme tecniche per le costruzioni” e la successiva Circolare Esplicativa del 21.01.2019, “Istruzioni per l’applicazione dell’aggiornamento delle norme tecniche per le costruzioni di cui al decreto ministeriale 17 gennaio 2018”.

2. DESCRIZIONE DELLE OPERE

2.1 DESCRIZIONE DEI PANNELLI FOTOVOLTAICI

I pannelli utilizzati per la realizzazione dell’impianto agri-voltaico sono caratterizzati da dimensioni pari 2384 mm per 1303 mm, con uno spessore di 35 mm. Sono assemblati in due tipologia di macro-moduli da 28 pannelli e da 56 pannelli. La dimensione complessiva di ogni singolo modulo misura rispettivamente circa 20,00 ml e 40 ml di lunghezza per una larghezza di circa 5,00 ml.

I pannelli sono montati su telai metallici mobili, che con l’ausilio dei tracker conferiscono una rotazione completa ai moduli, da est a ovest, pari a 120°, con inclinazione massima rispetto

l’orizzontale di $\pm 60^\circ$; questi sono bloccati sul terreno mediante infissione di una serie di profili verticali in acciaio di grandi dimensioni.

Il campo agri-voltaico è costituito da una serie di strutture metalliche separate e indipendenti tra loro che si ripetono lungo tutta la superficie dell’impianto. Si descrive ora la geometria della struttura di sostegno di un singolo modulo da 56 pannelli: essa è costituita da n. 31 arcarecci con profilo tipo omega di dimensioni 80 x 50 x 30 x 3 mm (su cui verranno montati i pannelli fotovoltaici), con un interasse di 1303 mm.

Gli arcarecci sono collegati ad una trave scatolare con un profilo a “Q” di dimensioni 160 x 10 mm poggiata su pilastri HEA 240 infissi nel terreno (profondità variabile in funzione della morfologia del terreno). Su alcuni pilastri, sono montati dei bracci meccanici che permettono la rotazione dei pannelli.

I profili verticali presentano un interasse variabile tra circa 520 e 780 cm. Sono collegati tra loro con una trave principale realizzata con profilo a “Q” sagomato a freddo di dimensione 160 x 10 mm, che risulta incastrata in testa alle colonne.

Tutti gli elementi metallici sono realizzati con acciaio S275JR, compresi gli elementi di carpenteria per unioni e rinforzi. Per maggiori dettagli sulla geometria di tali elementi si possono invece consultare gli elaborati grafici che costituiscono l’oggetto dell’elaborato n. 6.

2.2 DESCRIZIONE DELLE FONDAZIONI DELLE CABINE CON DESTINAZIONE IMPIANTISTICA

All’interno dell’impianto fotovoltaico sono presenti cabine prefabbricate; le cabine che verranno installate sono delle tipologie seguenti:

- Cabina di raccolta con dimensioni in pianta pari a 33,00 x 6,50 m, altezza 4,00 m;
- Cabina di trasformazione con dimensioni in pianta pari a 6,05 x 2,89 m, altezza 2,43 m;
- Cabina MT/BT con dimensioni in pianta pari a 6,05 x 2,89 m, altezza 2,43 m;
- Cabina adibita a locale di videosorveglianza con dimensioni in pianta pari a 3,50 x 2,48 m, altezza 2,76 m;
- Cabina di stoccaggio con dimensioni in pianta pari a 12,20 m x 2,44 m, altezza 2,60 m;

Tali cabine essendo elementi prefabbricati non sono oggetto di calcolo in questo progetto.

Di seguito si riportano i dettagli strutturali delle fondazioni di tali cabine, da realizzare in situ. Per la posa delle cabine si effettua uno scavo caratterizzato da una profondità circa pari a 150 cm (variabile a seconda dello spessore dello strato superficiale da valutare in situ al momento delle lavorazioni). Al di sotto della vera e propria fondazione, sarà eseguito uno spianamento effettuato con calcestruzzo di classe C12/15 caratterizzato da uno spessore pari a 10 cm. La fondazione su di esso sarà costituita da una soletta di base, con dimensioni pari a quella della rispettiva cabina, con altezza di 40 cm per la cabina di raccolta e la cabina di trasformazione, e altezza 20 cm per la cabina di videosorveglianza, con copriferro pari a 4 cm e armata lungo la superficie superiore e inferiore con barre di diametro 12 mm ogni 20 cm nelle due direzioni. Su questa verranno posizionate le vasche di basamento prefabbricate in c.a., all'interno delle quali verranno allestite le predisposizioni impiantistiche. Tali vasche sono anch'esse fornite dal produttore della cabina.

Per la cabina di trasformazione ed MT/BT la fondazione sarà costituita da una soletta di base con dimensioni pari a quella della rispettiva cabina e altezza di 40 cm, con sei pilastri di dimensione 60 x 60 cm sui quali poggerà la sovrastruttura, mentre le vasche di raccolta olio verranno posate direttamente sulla soletta di base. L'armatura dei pilastri sarà composta da 12 armature longitudinali di diametro 14 mm, e staffe di diametro 8 mm con passo di 10 cm; la soletta di base sarà armata da barre longitudinali superiori e inferiori di diametro 12 mm ogni 20 cm nelle due direzioni, saranno inoltre previsti un infittimento in corrispondenza dei pilastri, riducendo il passo da 20 cm a 10 cm.

Per maggiori dettagli sulla geometria di tali elementi si possono invece consultare gli elaborati grafici che costituiscono l'oggetto dell'elaborato n. 7.

2.3 DESCRIZIONE DELLE FONDAZIONI DEL CANCELLO DI INGRESSO SITO

Come riportato nel layout generale, l'intera area di impianto sarà adeguatamente perimetrata tramite una recinzione costituita da reti in acciaio con pali di sostegno delle stesse. All'ingresso dell'impianto verrà realizzato un cancello a due ante in acciaio, realizzato con profilati zincati a caldo di adeguata sezione costituito da due montanti esterni ai quali verrà collegato. Le dimensioni del cancello sono di circa 4,75 m di lunghezza per 2,25 m di altezza circa. I montanti saranno costituiti da profili in acciaio a sezione scatolare di 150 x 150 mm e fissati alla base tramite un collegamento con tasselli meccanici e/o barre filettate annegate nella fondazione.

La fondazione, costituita da una trave a sezione rettangolare 50 x 50 cm armata con n. 4 barre diametro 14 mm inferiori e superiori, n.1 armatura di parete diametro 10 mm per lato e staffe a due bracci diametro 8 mm disposte con passo costante pari a 10 cm lungo tutto lo sviluppo della stessa.

Per maggiori dettagli sulla geometria di tali elementi si possono invece consultare gli elaborati grafici che costituiscono l'oggetto dell'elaborato n. 7.

3. LA VALUTAZIONE DELLA SICUREZZA DELLE OPERE

3.1 MODALITÀ ESECUTIVE DELLE VERIFICHE STRUTTURALI E SCELTE DI BASE ADOTTATE

Le analisi e le verifiche delle strutture sono state effettuate attraverso la modellazione agli elementi finiti dei manufatti di progetto, eseguita con il software di calcolo "FaTA-E", prodotto e distribuito dalla Stacec S.r.l., con sede nel Comune di Bovalino (RC). Per la verifica o per il progetto-verifica delle sezioni si è fatto ricorso al metodo agli stati limite. È stata altresì condotta l'analisi sismica facendo riferimento alla metodologia statica lineare. Nelle verifiche è stata adottata la classe d'uso II; di conseguenza il coefficiente C_u è stato assunto pari a 1,0. Per la determinazione della vita nominale si è tenuto presente un valore di cinquanta anni ($V_n=50$); da ciò scaturisce la quantificazione del periodo di riferimento per il calcolo dell'azione sismica di progetto pari a cinquanta anni ($V_r=C_u \cdot V_n=50$).

Infine, si riportano alcune considerazioni sugli schemi strutturali sottoposti a verifica.

I telai metallici di sostegno sono stati assunti incastrati alla base per meglio rappresentare l'infissione dei pali per una profondità di circa 1,50m; al fine del calcolo delle fondazioni delle cabine e per tenersi a favore di sicurezza non si è tenuto conto del contributo dello spianamento sottofondazione alla ripartizione dei carichi sul terreno.

3.2 TABULATI DI CALCOLO

Si allegano i tabulati di calcolo relativi alle verifiche eseguite con il software appena citato sulle opere cui si riferisce tale progetto strutturale. Tale documentazione è divisa in due parti: la prima parte riguarda il progetto e le verifiche eseguite sui telai metallici sui quali sono poggiati i pannelli fotovoltaici; la seconda ha invece per oggetto le opere di fondazione delle cabine e del cancello.

4. CARATTERISTICHE DEL TERRENO DI SEDIME

4.1 STRATIGRAFIA DEL TERRENO DI SEDIME

Come riportato nella relazione geologica, nell'area in cui ha sede l'intervento di progetto si presenta la seguente successione stratigrafica, dall'alto verso il basso:

- Terreno vegetale e/o di riporto;
- Calcari fratturati e allentati;
- Calcari con alto grado di compattazione.

Per maggiori dettagli sulle peculiarità del sottosuolo nell'area che sarà oggetto dell'intervento si può consultare la relazione geologica che costituisce uno dei documenti allegati al presente progetto.

4.2 DEFINIZIONE DELLA CATEGORIA DI SOTTOSUOLO AI FINI DEL CALCOLO DELL'AZIONE SISMICA DI PROGETTO

Le Norme Tecniche per le Costruzioni del 2018 prevedono cinque categorie di sottosuolo che permettono l'utilizzo dell'approccio semplificato per la determinazione dell'azione sismica. Sono riportate nella tabella 3.2.II, contenuta all'interno del paragrafo 3.2.2. Le cinque categorie vengono così definite:

Categoria A:

- Ammassi rocciosi affioranti o terreni molto rigidi caratterizzati da valori di velocità delle onde di taglio superiori a 800 m/s, eventualmente comprendenti in superficie terreni di caratteristiche meccaniche più scadenti con spessore massimo pari a 3 m.

Categoria B:

- Rocce tenere e depositi di terreni a grana grossa molto addensati o terreni a grana fina molto consistenti, caratterizzati da un miglioramento delle proprietà meccaniche con la profondità e da valori di velocità equivalente compresi tra 360 m/s e 800 m/s.

Categoria C:

- Depositi di terreni a grana grossa mediamente addensati o terreni a grana fina mediamente consistenti con profondità del substrato superiori a 30 m, caratterizzati da un miglioramento

delle proprietà meccaniche con la profondità e da valori di velocità equivalente compresi tra 180 m/s e 360 m/s.

Categoria D:

- Depositi di terreni a grana grossa scarsamente addensati o di terreni a grana fina scarsamente consistenti, con profondità del substrato superiori a 30 m, caratterizzati da un miglioramento delle proprietà meccaniche con la profondità e da valori di velocità equivalente compresi tra 100 e 180 m/s.

Categoria E:

- Terreni con caratteristiche e valori di velocità equivalente riconducibili a quelle definite per le categorie C o D, con profondità del substrato non superiore a 30 m.

Dalle indagini eseguite nella zona in cui saranno realizzate le opere di progetto, hanno permesso di determinare valori della velocità equivalente $V_{s,eq}$ rispettivamente pari a 637 m/s e 531 m/s. Il sottosuolo rientra quindi nella categoria "B" per i siti di indagine.

5. PROGETTAZIONE GEOTECNICA

5.1 METODO DI VERIFICA ADOTTATO NEI CONFRONTI DEGLI STATI LIMITE ULTIMI

I metodi di calcolo adottati per le verifiche relative all'insieme fondazioni-terreno rispettano le prescrizioni contenute nella normativa vigente (NTC 2018) che vengono di seguito riassunte.

Per le operazioni di verifica nei confronti degli stati limite ultimi per la perdita di equilibrio (EQU), per gli aspetti strutturali (STR) e quelli geotecnici (GEO), sono previsti due approcci progettuali distinti e alternativi.

Nel primo approccio progettuale (Approccio 1) le verifiche devono essere eseguite con due diverse combinazioni di gruppi di coefficienti, ognuna delle quali può essere critica per differenti aspetti dello stesso progetto.

Nel secondo approccio progettuale (Approccio 2) è prevista un'unica combinazione di gruppi di coefficienti per le verifiche da effettuare.

Il caso in esame ricade nell'ambito delle fondazioni superficiali.

Si tralasciano l'analisi dello stato limite ultimo per perdita di equilibrio che perde di significato per le opere di progetto.

Per gli stati limite ultimi di tipo geotecnico (GEO) sono previste le verifiche per le seguenti situazioni:

- Stabilità globale;
- Collasso per carico limite dell'insieme fondazione-terreno;
- Collasso per scorrimento sul piano di posa;

Nel primo caso è previsto l'impiego della Combinazione 2 dell'approccio 1. In questa situazione i coefficienti da applicare sono A2 per le azioni, M2 per i parametri geotecnici del terreno ed R2 per le resistenze globali.

Per i coefficienti A2 bisogna considerare i seguenti valori:

- Per i carichi permanenti: 1,0, sia per gli effetti favorevoli che sfavorevoli;
- Per i carichi permanenti: 0,8 se favorevole; 1,3 se sfavorevole;
- Per le azioni variabili: 0,0 se favorevole; 1,3 se sfavorevole.

Per i parametri geotecnici si devono applicare i coefficienti M2 di seguito riportati:

- Per la tangente dell'angolo di resistenza al taglio: 1,25;
- Per la coesione efficace: 1,25;
- Per la resistenza non drenata; 1,4;
- Per il peso dell'unità di volume: 1,0.

Il coefficiente R2 da utilizzare per le resistenze globali è pari a 1,1.

Per gli stati limite ultimi di tipo geotecnico (GEO) relativi alle verifiche per collasso dovuto al carico limite dell'insieme fondazione-terreno e per collasso dovuto allo scorrimento sul piano di posa si devono invece applicare i coefficienti parziali previsti dall'approccio 2, ovvero A1+M1+R3.

Per i coefficienti A1 bisogna considerare i seguenti valori:

- Per i carichi permanenti: 1,0, per gli effetti favorevoli; 1,3 per gli effetti sfavorevoli;
- Per i carichi permanenti: 0,8 se favorevole; 1,5 se sfavorevole;
- Per le azioni variabili: 0,0 se favorevole; 1,5 se sfavorevole.

Per i parametri geotecnici si devono applicare i coefficienti M1 di seguito riportati:

- Per la tangente dell’angolo di resistenza al taglio: 1,0;
- Per la coesione efficace: 1,0;
- Per la resistenza non drenata; 1,0;
- Per il peso dell’unità di volume: 1,0.

Il coefficiente R3 da utilizzare nelle verifiche per collasso dovuto al carico limite dell’insieme fondazione-terreno è pari a 2,3; nel caso delle verifiche per collasso dovuto allo scorrimento sul piano di posa questo valore scende invece a 1,1.

Anche per le verifiche allo stato limite ultimo di tipo strutturale (STR) si devono applicare i coefficienti parziali previsti dall’approccio 2, ovvero $A1+M1+R3$. L’unica differenza è costituita dal valore di R3 che in queste situazioni deve essere assunto pari a 1,0.

Le verifiche devono essere condotte anche per gli stati limite di esercizio al fine di controllare che sia pienamente garantita la funzionalità delle opere di progetto.

Quanto appena riportato rappresenta un riassunto delle prescrizioni normative che sono state pedissequamente rispettate nel progetto strutturale delle opere di fondazioni dell’edificio di riferimento.

5.2 MODALITÀ ESECUTIVE DEL CALCOLO STRUTTURALE E SCELTE PROGETTUALI ADOTTATE

La trave e le platee hanno il compito di ridurre il tasso di lavoro del terreno e di contrastare gli spostamenti differenziali.

Le analisi e le verifiche della struttura sono state effettuate attraverso la modellazione agli elementi finiti dei manufatti di progetto, eseguita con il software di calcolo “FaTA-E”, prodotto e distribuito dalla Stacec S.r.l., con sede nel Comune di Bovalino (RC). Per la verifica o per il

progetto-verifica delle sezioni si è fatto ricorso al metodo agli stati limite. È stata altresì condotta l’analisi sismica facendo riferimento alla metodologia statica lineare. Nelle verifiche è stata adottata la classe d’uso II; di conseguenza il coefficiente C_u è stato assunto pari a 1,0. Per la determinazione della vita nominale si è tenuto presente un valore di cinquanta anni ($V_n=50$); da ciò scaturisce la quantificazione del periodo di riferimento per il calcolo dell’azione sismica di progetto pari a cinquanta anni ($V_r=C_u \cdot V_n=50$).

Nei tabulati di calcolo allegati alla presente relazione sono riportati i dati più significativi delle verifiche eseguite sulle opere di fondazione.

5.3 VERIFICA DEI CEDIMENTI

Il calcolo dei cedimenti rappresenta sicuramente uno dei problemi più complessi tra le tematiche di natura geotecnica. Ciò con riferimento sia alla determinazione dei valori puntuali di abbassamento che, soprattutto, alla quantificazione dei cedimenti differenziali che frequentemente sono causa di dissesti anche di entità significativa. Spesso, a fronte di accurate modellazioni, si riscontrano valori di questi parametri che differiscono in modo rilevante semplicemente perché sono stati utilizzati due differenti metodi di calcolo.

Nel caso in esame si ritengono accettabili i valori dei cedimenti che scaturiscono dalle verifiche effettuate e che vengono riportati nei tabulati allegati alla presente relazione.

6. ELENCO DEGLI ELABORATI DEL PROGETTO STRUTTURALE

Il progetto strutturale è composto dai seguenti elaborati:

- elaborato n. 1: relazione di calcolo strutturale;
- elaborato n. 2: relazione sui materiali;
- elaborato n. 3: relazione geotecnica e delle fondazioni;
- elaborato n. 4: piano di manutenzione della struttura dell'opera;
- elaborato n. 5: relazione di verifica dei codici di calcolo;
- elaborato n. 6: elaborato grafico delle strutture metalliche;
- elaborato n. 7: elaborato grafico delle strutture di fondazione;

Il progettista strutturale

Ing. Debora DELLEGROTTagLIE



Comune : MESAGNE

PROVINCIA : BRINDISI

Relazione di calcolo

Progetto di nuova struttura ai sensi del D.M. 17/01/2018 "Norme Tecniche per le Costruzioni"

Archivio: STRUTTURA METALLICA - Data: 23/09/2022

Oggetto:

Committente:	Progettista:	Progettista Strutturale:	Direttore dei Lavori:
	INGEGNERE DEBORA DELLEGROTTAGLIE		

1 Introduzione

1.1 Premessa

1.1.1 Cenni sulla casa produttrice del software

La relazione seguente riporta i dati relativi ai criteri di progettazione, alla geometria, alla meccanica della struttura descritta al relativo paragrafo, nonché i relativi risultati dei calcoli strutturali così come ricavati dal calcolatore elettronico tramite l'utilizzo del Software "FaTA-e" prodotto e distribuito da Stacec srl con sede in Bovalino (RC), e concesso in licenza al responsabile dei calcoli stessi.

FaTA-e è un programma sviluppato specificatamente per la progettazione e la verifica di edifici tridimensionali multipiano ed industriali realizzati con elementi strutturali in C.A., in Acciaio, in legno (massiccio e/o lamellare) o in muratura.

FaTA-e articola le operazioni di progetto secondo tre fasi distinte:

- 1) **preprocessore**: fase di Input dove viene definita e modellata interamente la struttura;
- 2) **solutore**: fase di elaborazione della struttura tramite un solutore agli elementi finiti;
- 3) **post-processore**: fase di verifica degli elementi, creazione degli elaborati grafici e della relazione di calcolo.

1.1.2 Descrizione dell'Opera da calcolare

Comune : MESAGNE

PROVINCIA : BRINDISI

Oggetto :

Committente :

Indirizzo :

Città :

PROVINCIA :

Telefono :

Progettista : INGEGNERE DEBORA DELLEGROTTAGLIE

Indirizzo : VIA BORGO ANTICO 5

Città : MESAGNE

PROVINCIA : BRINDISI

Telefono :

Progettista Strutturale :

Indirizzo :

Città :

PROVINCIA :

Telefono :

Direttore dei Lavori :

Indirizzo :

Città :

PROVINCIA :

Telefono :

Nome File : STRUTTURA METALLICA

1.2 Riferimenti Legislativi.

Tutte le operazioni illustrate nel proseguo, relative all'analisi della struttura ed alle verifiche sugli elementi sono state effettuate in piena conformità alle seguenti norme:

Norme Tecniche C.N.R. 10011:

"Costruzioni di acciaio - Istruzione per il calcolo, l'esecuzione, il collaudo e la manutenzione."

Norme C.N.R. 10024:

"Analisi delle strutture mediante calcolatore elettronico: impostazione e redazione delle relazioni di calcolo."

Ordinanza del Presidente del Consiglio 3274 - 08/05/2003:

"Primi elementi in materia di criteri generali per la classificazione sismica del territorio nazionale e di normative tecniche per le costruzioni in zona sismica."

Ordinanza del Presidente del Consiglio 3431 - 03/05/2005:

"Ulteriori modifiche ed integrazioni all'Ordinanza del Presidente del Consiglio 3274 - 08/05/2003."

UNI ENV 1992-1-1: Eurocodice 2:

"Progettazione delle strutture in calcestruzzo - Parte 1-1: Regole generali e regole per gli edifici"

UNI ENV 1993-1-1: Eurocodice 3:

"Progettazione delle strutture di acciaio - Parte 1-1: Regole generali e regole per gli edifici."

UNI ENV 1998-1-1: Eurocodice 8:

"Indicazioni progettuali per la resistenza sismica delle strutture - Parte 1-1: Regole generali."

D.M. 17/01/2018:

"Norme tecniche per le costruzioni."

Circolare CSLPP n. 7 del 21/01/2019:

"Istruzioni per l'applicazione dell'aggiornamento delle «Norme tecniche per le costruzioni» di cui al decreto ministeriale 17 gennaio 2018."

1.3 Convenzioni, Unità di misura e simboli adottati.

Nei calcoli sono state utilizzate le seguenti unità:

- distanze	: cm
- forze, tagli, e sforzi normali	: daN
- coppie e momenti flettenti	: daNm
- carichi sulle aste	: daN/m
- carichi su superfici	: daN/m ²
- peso specifico	: daN/m ³
- tensioni e resistenze	: daN/m ²
- temperatura	: °C

I simboli adottati hanno il seguente significato:

q	: fattore di comportamento ;
Rck	: Resistenza caratteristica cubica a compressione del calcestruzzo;
fck	: Resistenza caratteristica cilindrica a compressione del calcestruzzo;
Ec	: Modulo elastico secante del calcestruzzo;
Ect	: Modulo elastico a trazione del calcestruzzo
fcd	: Resistenza di calcolo del calcestruzzo;
fctk,0.05	: Resistenza caratteristica a trazione;
v	: Coefficiente di Poisson;
αt	: Coefficiente di dilatazione termica;
ps	: peso specifico;
fyk	: Resistenza caratteristica di snervamento dell'acciaio;
fik	: Resistenza caratteristica di rottura dell'acciaio;
fd	: resistenza di calcolo dell'acciaio;
A	: Superficie della sezione trasversale;
Jx	: Momento di inerzia rispetto all'asse X;
Jy	: Momento di inerzia rispetto all'asse Y;

J_{xy}	: Momento di inerzia centrifugo rispetto agli assi X ed Y;
J_t	: Fattore torsionale;
N	: sforzo normale;
M_T	: Momento Torcente;
M_{XZ}	: Momento Flettente X-Z;
T_{XZ}	: Taglio X-Z;
M_{XY}	: Momento Flettente X-Y;
T_{XY}	: Taglio X-Y;
f	: Frequenza del modo i-esimo;
T	: Periodo del modo i-esimo;
Γ_x	: Fattore di partecipazione del modo i-esimo in direzione x;
Γ_y	: Fattore di partecipazione del modo i-esimo in direzione y;
Γ_z	: Fattore di partecipazione del modo i-esimo in direzione z;
N_{sd}	: Sforzo Normale sollecitante di calcolo;
M_{sdXZ}	: Momento Flettente X-Z sollecitante di calcolo;
M_{sdXY}	: Momento Flettente X-Y sollecitante di calcolo;
M_{tS}	: Momento Torcente sollecitante di calcolo;
V_{sdXZ}	: Taglio X-Z sollecitante di calcolo;
V_{sdXY}	: Taglio X-Y sollecitante di calcolo;
N_{Rd}	: Sforzo Normale resistente di calcolo;
M_{RdXZ}	: Momento Flettente X-Z resistente di calcolo;
M_{RdXY}	: Momento Flettente X-Y resistente di calcolo;
M_{tR}	: Momento Torcente resistente di calcolo;
V_{RdXZ}	: Taglio X-Z resistente di calcolo;
V_{RdXY}	: Taglio X-Y resistente di calcolo;
σ_c	: Tensioni del calcestruzzo;
σ_s	: Tensioni delle armature;
$\sigma_{c,lim}$: Tensioni limite del calcestruzzo;
$\sigma_{s,lim}$: Tensioni limite dell'acciaio;
f/l	: rapporto freccia/lunghezza;
f_{lim}	: valore limite del rapporto freccia/lunghezza;

2 Descrizione del Modello.

2.1 Modello assunto per il calcolo.

L'analisi numerica della struttura è stata condotta attraverso l'utilizzo del metodo degli elementi finiti ipotizzando un comportamento elastico-lineare.

Il metodo degli elementi finiti consiste nel sostituire il modello continuo della struttura con un modello discreto equivalente e di approssimare la funzione di spostamento con polinomio algebrico, definito in regioni (dette appunto elementi finiti) che sono delle funzioni interpolanti il valore di spostamento definito in punti discreti (detti nodi).

Gli elementi finiti utilizzabili ai fini della corretta modellazione della struttura verranno descritti di seguito.

Il modello di calcolo può essere articolato sulla base dell'ipotesi di impalcato rigido, in funzione della reale presenza di solai continui atti ad irrigidire tutto l'impalcato.

Tale ipotesi viene realizzata attraverso l'introduzione di adeguate relazioni cinematiche tra i gradi di libertà dei nodi costituenti l'impalcato stesso.

Il metodo di calcolo adottato, le combinazioni di carico, e le procedure di verifica saranno descritte di seguito.

Riferimento globale e locale.

La struttura viene definita utilizzando una terna di assi cartesiani formanti un sistema di riferimento levogiro, unico per tutti gli elementi e chiamato "globale". Localmente esiste un ulteriore sistema di riferimento, detto appunto "locale", utile alla definizione delle caratteristiche di rigidezza dei singoli elementi.

I due sistemi di riferimento sono correlati da una matrice, detta di rotazione.

Modellazione geometrica della struttura.

Il modello geometrico (mesh) della struttura è basato sull'utilizzo dei seguenti elementi:

- *Nodi*

Si definiscono nodi, entità geometriche determinate tramite le tre coordinate nel riferimento globale.

I nodi, nello spazio tridimensionale, posseggono tre gradi di libertà traslazionali e tre rotazionali.

Essi sono posizionati in modo da definire gli estremi degli elementi finiti e, di regola, in ogni discontinuità strutturale, di carico, di caratteristiche meccaniche, di campo di spostamento.

- *Vincoli e Molle*

I gradi di libertà possono essere vincolati, bloccando il cinematismo nella direzione voluta o assegnando "molle" applicate ai nodi tramite valori di rigidezza finiti.

Un vincolo assegna a priori un valore di spostamento nullo, e quindi la variabile corrispondente viene eliminata.

- *Vincoli interni*

Tali vincoli servono a definire le modalità di trasmissione degli sforzi dall'elemento finito ai nodi. Ciò viene associato al concetto di trasferimento della rigidezza.

Generalmente l'elemento considerato è rigidamente connesso ai nodi che lo definiscono, in modo da bloccare tutti i gradi di libertà relativi. E' possibile, comunque "rilasciare" le caratteristiche delle sollecitazioni, in modo da svincolare i gradi di libertà corrispondenti. Nel caso particolare, il modello utilizzato consente di svincolare le tre rotazioni intorno agli assi locali dell'asta.

- *Aste*

Si tratta di elementi finiti monodimensionali ad asse rettilineo delimitate da due nodi (i nodi di estremità).

Per questi elementi generalmente la funzione interpolante è quella del modello analitico per cui la mesh non influisce sensibilmente sulla convergenza.

Le aste sono dotate di rigidezza assiale, flessionale, e a taglio, secondo il modello classico della trave inflessa di Eulero-Bernoulli.

Alla singola asta è possibile associare una sezione costante per tutta la sua lunghezza.

- *Asta su suolo elastico*

Si tratta di elementi finiti monodimensionali ad asse rettilineo, di definizione simile alle aste. Sono utili a modellare travi di fondazione, considerate poggianti su suolo alla Winkler, e reagenti sia rispetto alle componenti traslazionali di cinematismo, sia rotazionali.

- *Lastra-Piastra*

Si tratta di elementi finiti bidimensionali, definiti da tre o quattro nodi, posti ai vertici rispettivamente di un triangolo o di un quadrilatero irregolare. La geometria reale dell'elemento viene ricondotta ad un triangolo rettangolo (elemento a tre nodi) o ad un quadrato definito nella trattazione isoparametrica.

L'elemento lastra-piastra non ha rigidezza per la rotazione intorno all'asse perpendicolare al suo piano e viene trattato secondo la teoria di Mindlin-Reissner. Nel modello considerato si tiene conto dell'accoppiamento tra azioni flessionali e membranali.

- *Forze e coppie concentrate*

Per la risoluzione statica della struttura, tutti i carichi applicati agli elementi vengono trasferiti ai nodi. Ciò avviene in automatico per il peso delle aste, delle piastre, delle pareti, dei pannelli di carico presenti sulle aste e per la distribuzione di carico applicate agli elementi bidimensionali.

Il modello di calcolo consente anche l'introduzione di forze e coppie ai nodi.

Le forze sono dirette lungo le tre direzioni del sistema di riferimento globale ed in entrambi i versi per ogni direzione.

Le coppie concentrate sono riferite ai tre assi del riferimento globale, in entrambi i versi di rotazione di ciascun asse.

- *Carichi distribuiti*

Il modello di calcolo consente anche l'introduzione di carichi ripartiti sulle aste e di distribuzione di carico su piastre e pareti.

I carichi ripartiti sulle aste possono essere riferite sia al riferimento globale, sia al riferimento locale, lungo le tre direzioni ed in entrambe i versi. E' possibile anche introdurre carichi distribuiti torcenti agenti intorno all'asse dell'asta ed in entrambe i versi di rotazione.

Tutti i tipi di carico ripartito devono avere forma trapezia.

Sugli elementi bidimensionali, che fanno parte della mesh di piastre e pareti, è possibile assegnare una distribuzione uniforme, avente le caratteristiche di una pressione diretta ortogonalmente all'elemento.

- *Pannelli di carico*

Il pannello di carico è un concetto legato alla reale distribuzione di carichi gravanti sulle aste. Ne fanno parte: solai, balconi, scale.

Da tali pannelli, di forma irregolare come definiti dalla geometria dell'input, si passa alla quantificazione dei carichi trapezoidali ripartiti sulle aste. Per meglio simulare l'effetto dei pannelli, vengono generati in modo automatico anche dei carichi ripartiti torcenti, anch'essi di forma trapezia, relativi ai carichi distribuiti equivalenti al pannello.

- *Sezioni*

Le sezioni assegnabili alle aste sono definite attraverso le caratteristiche geometrico-elastiche, i moduli di resistenza plastici (sezioni in acciaio) ed il materiale.

Materiali.

I materiali, ai fini del calcolo delle sollecitazioni, sono considerati omogenei ed isotropi e sono definiti dalle seguenti caratteristiche: peso per unità di volume, modulo elastico, coefficiente di Poisson, coefficiente di dilatazione, e tutte le caratteristiche meccaniche, riepilogate in seguito, utili alle verifiche strutturali dettate dalla normativa.

Matrici di calcolo della struttura.

Dalla discretizzazione geometrica della struttura vengono definite le matrici utili a studiare il comportamento globale della struttura in esame.

- *Matrice di rigidezza*

Tale matrice viene costruita partendo dalla matrice di rigidezza espressa nel sistema di riferimento locale dell'elemento considerato. Attraverso un'operazione di trasformazione, mediante la matrice di rotazione, viene riferita al sistema di riferimento globale. L'ultima operazione consiste nell'"assemblaggio" delle singole matrici di ogni elemento, in modo da formare un'unica matrice relativa all'intera struttura.

- *Matrice delle masse*

La generazione della matrice globale è del tutto analoga a quella sopra descritta per la matrice di rigidezza. La matrice delle masse è di tipo "consistente" e considera l'effettiva distribuzione delle masse della struttura. Come definito dalla normativa, alle masse relative ai carichi permanenti, viene aggiunta un'aliquota delle masse equivalenti ai carichi d'esercizio.

2.2 Tipo di calcolo.

ANALISI ORIZZONTALE DINAMICA LINEARE

Il calcolo risolutivo della struttura è stato effettuato utilizzando un sistema di equazioni lineari (di dimensioni pari ai gradi di libertà), secondo la relazione:

$$\underline{u} = [\underline{K}]^{-1} \underline{F}$$

dove: \underline{F} = vettore dei carichi risultanti applicate ai nodi;
 \underline{u} = vettore dei cinematismi nodali;
 $[\underline{K}]$ = matrice di rigidezza globale.

Tale analisi è stata ripetuta per tutte le condizioni presenti sulla struttura, identificati dai vettori dei carichi relativi a:

- carichi permanenti;
- carichi d'esercizio;
- delta termico;
- carichi utente;
- torsioni accidentali;

I valori delle eccentricità accidentali per le torsioni sono i seguenti:

	Torsioni Accidentali	
Imp. Reale	e _x [cm]	e _y [cm]
1	175.5	4.5

Per ogni impalcato reale si riportano i dati relativi alle rigidezze e ai baricentri:

Imp. Reale	Rigidezze			Centro Massa		Centro Rigidezza	
	Rig X [KN/cm]	Rig Y [KN/cm]	Rig. Tors. [KNcm]	X [cm]	Y [cm]	xR [cm]	yR [cm]
1	145	212	305032210	1820.0	95.4	1820.0	88.4

L'analisi sismica nella componente orizzontale è basata sulla teoria ed i concetti propri dell'analisi modale.

L'analisi modale consente di determinare le oscillazioni libere della struttura discretizzata.

Tali modi di vibrare sono legati agli autovalori e autovettori del sistema dinamico generalizzato, che può essere riassunto in:

$$[\mathbf{K}] \{ \mathbf{a} \} = \omega^2 [\mathbf{M}] \{ \mathbf{a} \}$$

dove: $[\mathbf{K}]$ = matrice di rigidità globale
 $[\mathbf{M}]$ = matrice delle masse globale
 $\{ \mathbf{a} \}$ = autovettori (forme modali)
 ω^2 = autovalori del sistema generalizzato

La frequenza (f) dei modi di vibrare è calcolata mediante la seguente formula:

$$f = \omega / 2\pi$$

Il periodo (T) è calcolato come:

$$T = 1 / f$$

I "fattori di partecipazione modali" possono essere calcolati mediante la seguente formula:

$$\Gamma_i = \phi_i^T [\mathbf{M}] \mathbf{d}$$

dove: ϕ_i = autovettori normalizzati relativi al modo i-esimo
 \mathbf{d} = vettore di trascinato (o di direzione di entrata del sisma)

Per ogni direzione del sisma vengono scelti i modi efficaci al raggiungimento del valore imposto dalla normativa (85%).

Il parametro di riferimento è il "fattore di partecipazione delle masse", la cui formulazione è:

$$\Lambda_{xi} = \Gamma_i^2 / M_{tot}$$

I cinematismi modali vengono calcolati come:

$$\mathbf{u} = \phi_i \Gamma_i S_d(T_i) / \omega_i^2$$

dove: $S_d(T_i)$ = ordinata spettro di risposta orizzontale o verticale.
 ω^2 = autovalore del modo i-esimo

Gli effetti relativi ai modi di vibrare, vengono combinati utilizzando la combinazione quadratica completa (CQC):

$$E = \sqrt{(\sum_i \sum_j \rho_{ij} E_i E_j)}$$

dove: ρ_{ij} = $(8\xi^2 (1 + \beta_{ij}) \beta_{ij}^{3/2}) / ((1 - \beta_{ij}^2)^2 + 4\xi^2 \beta_{ij} (1 + \beta_{ij}^2) + 8\xi^2 \beta_{ij}^2)$ coefficiente di correlazione tra il modo i-esimo ed il modo j-esimo;
 ξ = coefficiente di smorzamento viscoso;
 β_{ij} = rapporto tra le frequenze di ciascuna coppia di modi (f_i / f_j)
 $E_i E_j$ = effetti considerati in valore assoluto.

La condizione "Torsione Accidentale" contiene il momento torcente generato dalla forza sismica di piano per l'eccentricità calcolata in funzione della dimensione massima dell'ingombro in pianta nella direzione ortogonale a quella considerata.(5%).

I modi di vibrare del calcolo in oggetto sono i seguenti:

SLV-SLC

	Direzione X	Direzione Y
--	--------------------	--------------------

Modo	f [Hz]	T [s]	Δx %	f [Hz]	T [s]	Δy %
1	10.550	0.095	82.3	10.211	0.098	42.5
2	11.995	0.083	5.7	7.118	0.140	17.3
3	-	-	-	14.144	0.071	10.0
4	-	-	-	12.161	0.082	3.3
5	-	-	-	15.473	0.065	1.9
6	-	-	-	12.492	0.080	1.8
7	-	-	-	16.589	0.060	1.7
8	-	-	-	14.753	0.068	1.6
9	-	-	-	15.866	0.063	1.1
10	-	-	-	15.954	0.063	0.9
11	-	-	-	15.787	0.063	0.8
12	-	-	-	15.646	0.064	0.4
13	-	-	-	16.784	0.060	0.4
14	-	-	-	17.280	0.058	0.4
15	-	-	-	16.166	0.062	0.4
16	-	-	-	16.220	0.062	0.3
17	-	-	-	17.465	0.057	0.2
18	-	-	-	16.317	0.061	0.1
Totale Δx ($\geq 85\%$)			88.0	Totale Δy ($\geq 85\%$)		85.1

SLD-SLO

Modo	Direzione X			Direzione Y		
	f [Hz]	T [s]	Δx %	f [Hz]	T [s]	Δy %
1	10.550	0.095	82.3	10.211	0.098	42.5
2	11.995	0.083	5.7	7.118	0.140	17.3
3	-	-	-	14.144	0.071	10.0
4	-	-	-	12.161	0.082	3.3
5	-	-	-	15.473	0.065	1.9
6	-	-	-	12.492	0.080	1.8
7	-	-	-	16.589	0.060	1.7
8	-	-	-	14.753	0.068	1.6
9	-	-	-	15.866	0.063	1.1
10	-	-	-	15.954	0.063	0.9
11	-	-	-	15.787	0.063	0.8
12	-	-	-	15.646	0.064	0.4
13	-	-	-	16.784	0.060	0.4
14	-	-	-	17.280	0.058	0.4
15	-	-	-	16.166	0.062	0.4
16	-	-	-	16.220	0.062	0.3
17	-	-	-	17.465	0.057	0.2
18	-	-	-	16.317	0.061	0.1
Totale Δx ($\geq 85\%$)			88.0	Totale Δy ($\geq 85\%$)		85.1

2.3 Condizioni di carico valutate

Dati Condizioni.

Nella seguente tabella vengono riportati i dati per la definizione delle condizioni di carico:

Azione	Tipo	Durata
Car. perm. strutt. (Gk1)	C.Perm. (Gk)	Permanente
Car. perm. non strutt. (Gk2)	C.p. non str. (Gk2)	Permanente
Carichi d'esercizio (Qk)	C. Ese. (Qk)	Lunga
Δt	Carico termico	Breve
Torsione Accidentale X	Azione Sismica	Istantanea
Torsione Accidentale Y	Azione Sismica	Istantanea
Sisma X	Azione Sismica	Istantanea
Sisma Y	Azione Sismica	Istantanea
Sisma Z	Azione Sismica	Istantanea
Vento (+X)	Vento	Breve
Vento (-X)	Vento	Breve
Vento (+Y)	Vento	Breve
Vento (-Y)	Vento	Breve
G2p	Ignora	Permanente
carichi conc	Ignora	Permanente

Coefficienti di combinazione.

Nella seguente tabella vengono riportati i coefficienti di combinazione da normativa, relativi agli stati limite ultimi (SLV) e di danno (SLD):

Impalcato	Destinazione	Altre azioni			Delta termico		
		Ψ_{0i}	Ψ_{1i}	Ψ_{2i}	Ψ_{0i}	Ψ_{1i}	Ψ_{2i}
Fondazione	Categoria A: Ambienti ad uso residenziale	0.7	0.5	0.3	0.6	0.5	0.0
Piano 1	Categoria A: Ambienti ad uso residenziale	0.7	0.5	0.3	0.6	0.5	0.0

Per balconi e scale verranno usati i coefficienti calcolati come i maggiori tra quelli relativi alla categoria di carico di piano ed i seguenti:

Cat.	Destinazione	Altre azioni			Delta termico		
		Ψ_{0i}	Ψ_{1i}	Ψ_{2i}	Ψ_{0i}	Ψ_{1i}	Ψ_{2i}
C2	Balconi, ballatoi e scale	0.7	0.7	0.6	0.6	0.5	0.0

Tutte le combinazioni sono da intendersi come somma dell'effetto considerato. Tali combinazioni vengono considerate sovrapponendo i diagrammi secondo la tecnica dell'involuppo.

Combinazioni per le verifiche allo Stato Limite di Salvaguardia della Vita

Le azioni di calcolo presenti sulla struttura e le relative combinazioni di carico nei riguardi degli stati limite di salvaguardia della vita essere riassunte nelle seguenti tabelle:

Comb.	Elementi della Struttura								
	C. perm.(Gk1)	C. p. non str.(Gk2)	C. ese.(Qk)	Delta T(DT)	Tors. acc. X(Mx)	Tors. acc. Y(My)	Sisma X	Sisma Y	Sisma Z
1*	γG_{ns}	γG_{2ns}	γQ_{ns}	0	0	0	0	0	0
2*	γG_{ns}	γG_{2ns}	γQ_{ns}	$\Psi_0 \gamma Q_{ns}$	0	0	0	0	0
3*	γG_{ns}	γG_{2ns}	γQ_{ns}	$-\Psi_0 \gamma Q_{ns}$	0	0	0	0	0
4*	γG_{ns}	γG_{2ns}	$\Psi_0 \gamma Q_{ns}$	γQ_{ns}	0	0	0	0	0
5*	γG_{ns}	γG_{2ns}	$\Psi_0 \gamma Q_{ns}$	$-\gamma Q_{ns}$	0	0	0	0	0
6	γG_s	γG_{2s}	$\Psi_2 \gamma Q_s$	0	1	0	1	0.30	0
7	γG_s	γG_{2s}	$\Psi_2 \gamma Q_s$	0	-1	0	1	0.30	0
8	γG_s	γG_{2s}	$\Psi_2 \gamma Q_s$	0	1	0	1	-0.30	0
9	γG_s	γG_{2s}	$\Psi_2 \gamma Q_s$	0	-1	0	1	-0.30	0
10	γG_s	γG_{2s}	$\Psi_2 \gamma Q_s$	0	1	0	-1	0.30	0
11	γG_s	γG_{2s}	$\Psi_2 \gamma Q_s$	0	-1	0	-1	0.30	0
12	γG_s	γG_{2s}	$\Psi_2 \gamma Q_s$	0	1	0	-1	-0.30	0
13	γG_s	γG_{2s}	$\Psi_2 \gamma Q_s$	0	-1	0	-1	-0.30	0
14	γG_s	γG_{2s}	$\Psi_2 \gamma Q_s$	0	0	1	0.30	1	0
15	γG_s	γG_{2s}	$\Psi_2 \gamma Q_s$	0	0	-1	0.30	1	0
16	γG_s	γG_{2s}	$\Psi_2 \gamma Q_s$	0	0	1	-0.30	1	0
17	γG_s	γG_{2s}	$\Psi_2 \gamma Q_s$	0	0	-1	-0.30	1	0
18	γG_s	γG_{2s}	$\Psi_2 \gamma Q_s$	0	0	1	0.30	-1	0
19	γG_s	γG_{2s}	$\Psi_2 \gamma Q_s$	0	0	-1	0.30	-1	0
20	γG_s	γG_{2s}	$\Psi_2 \gamma Q_s$	0	0	1	-0.30	-1	0
21	γG_s	γG_{2s}	$\Psi_2 \gamma Q_s$	0	0	-1	-0.30	-1	0
U1	1.30	1.50	1.50	0.00	0.00	0.00	0.00	0.00	0.00
U2	1.30	1.50	1.05	0.00	0.00	0.00	0.00	0.00	0.00
U3	1.30	1.50	1.50	0.00	0.00	0.00	0.00	0.00	0.00
U4	1.30	1.50	1.05	0.00	0.00	0.00	0.00	0.00	0.00
U5	1.30	1.50	1.50	0.00	0.00	0.00	0.00	0.00	0.00
U6	1.30	1.50	1.05	0.00	0.00	0.00	0.00	0.00	0.00
U7	1.30	1.50	1.50	0.00	0.00	0.00	0.00	0.00	0.00
U8	1.30	1.50	1.05	0.00	0.00	0.00	0.00	0.00	0.00

*Combinazione fondamentale (par. 2.5.3, formula 2.5.1)

Comb.	Condizione
-------	------------

	Vento (+X)	Vento (-X)	Vento (+Y)	Vento (-Y)	G2p	carichi conc
1*	0.00	0.00	0.00	0.00	1.50	1.00
2*	0.00	0.00	0.00	0.00	1.50	1.00
3*	0.00	0.00	0.00	0.00	1.50	1.00
4*	0.00	0.00	0.00	0.00	1.50	1.00
5*	0.00	0.00	0.00	0.00	1.50	1.00
6	0.00	0.00	0.00	0.00	1.00	1.00
7	0.00	0.00	0.00	0.00	1.00	1.00
8	0.00	0.00	0.00	0.00	1.00	1.00
9	0.00	0.00	0.00	0.00	1.00	1.00
10	0.00	0.00	0.00	0.00	1.00	1.00
11	0.00	0.00	0.00	0.00	1.00	1.00
12	0.00	0.00	0.00	0.00	1.00	1.00
13	0.00	0.00	0.00	0.00	1.00	1.00
14	0.00	0.00	0.00	0.00	1.00	1.00
15	0.00	0.00	0.00	0.00	1.00	1.00
16	0.00	0.00	0.00	0.00	1.00	1.00
17	0.00	0.00	0.00	0.00	1.00	1.00
18	0.00	0.00	0.00	0.00	1.00	1.00
19	0.00	0.00	0.00	0.00	1.00	1.00
20	0.00	0.00	0.00	0.00	1.00	1.00
21	0.00	0.00	0.00	0.00	1.00	1.00
U1	0.90	0.00	0.00	0.00	1.50	1.00
U2	1.50	0.00	0.00	0.00	1.50	1.00
U3	0.00	0.90	0.00	0.00	1.50	1.00
U4	0.00	1.50	0.00	0.00	1.50	1.00
U5	0.00	0.00	0.90	0.00	1.50	1.00
U6	0.00	0.00	1.50	0.00	1.50	1.00
U7	0.00	0.00	0.00	0.90	1.50	1.00
U8	0.00	0.00	0.00	1.50	1.50	1.00

*Combinazione fondamentale (par. 2.5.3, formula 2.5.1)

I coefficienti utilizzati assumono i seguenti valori:

ELEMENTO	SLV					
	γ_{G1n} s	γ_{G2n} s	γ_{Qns}	γ_{G1s}	γ_{G2s}	γ_{Qs}
Struttura	1.3	1.5	1.5	1.0	1.0	1.0
Struttura	1.3	1.5	1.5	1.0	1.0	1.0

Combinazioni per le verifiche allo Stato limite di esercizio

Le azioni di calcolo presenti sulla struttura e le relative combinazioni di carico nei riguardi degli stati limite di esercizio possono essere riassunte nelle seguenti tabelle:

Combinazioni Caratteristiche:

Elementi della Struttura				
Comb.	Condizione			
	C. perm.(Gk1)	C. p. non str.(Gk2)	C. ese.(Qk)	Delta T(DT)
1	γ_{Gns}	γ_{G2ns}	γ_{Qns}	$\Psi_0\gamma_{Qns}$
2	γ_{Gns}	γ_{G2ns}	γ_{Qns}	$-\Psi_0\gamma_{Qns}$
3	γ_{Gns}	γ_{G2ns}	$\Psi_0\gamma_{Qns}$	γ_{Qns}
4	γ_{Gns}	γ_{G2ns}	$\Psi_0\gamma_{Qns}$	$-\gamma_{Qns}$
U1	1.00	1.00	1.00	0.60
U2	1.00	1.00	0.70	1.00
U3	1.00	1.00	0.70	0.60
U4	1.00	1.00	1.00	0.60
U5	1.00	1.00	0.70	1.00
U6	1.00	1.00	0.70	0.60
U7	1.00	1.00	1.00	0.60
U8	1.00	1.00	0.70	1.00
U9	1.00	1.00	0.70	0.60
U10	1.00	1.00	1.00	0.60
U11	1.00	1.00	0.70	1.00
U12	1.00	1.00	0.70	0.60
U13	1.00	1.00	1.00	-0.60
U14	1.00	1.00	0.70	-1.00
U15	1.00	1.00	0.70	-0.60

U16	1.00	1.00	1.00	-0.60
U17	1.00	1.00	0.70	-1.00
U18	1.00	1.00	0.70	-0.60
U19	1.00	1.00	1.00	-0.60
U20	1.00	1.00	0.70	-1.00
U21	1.00	1.00	0.70	-0.60
U22	1.00	1.00	1.00	-0.60
U23	1.00	1.00	0.70	-1.00
U24	1.00	1.00	0.70	-0.60

Comb.	Condizione					
	Vento (+X)	Vento (-X)	Vento (+Y)	Vento (-Y)	G2p	carichi conc
1	0.00	0.00	0.00	0.00	1.00	1.00
2	0.00	0.00	0.00	0.00	1.00	1.00
3	0.00	0.00	0.00	0.00	1.00	1.00
4	0.00	0.00	0.00	0.00	1.00	1.00
U1	0.60	0.00	0.00	0.00	1.00	1.00
U2	0.60	0.00	0.00	0.00	1.00	1.00
U3	1.00	0.00	0.00	0.00	1.00	1.00
U4	0.00	0.60	0.00	0.00	1.00	1.00
U5	0.00	0.60	0.00	0.00	1.00	1.00
U6	0.00	1.00	0.00	0.00	1.00	1.00
U7	0.00	0.00	0.60	0.00	1.00	1.00
U8	0.00	0.00	0.60	0.00	1.00	1.00
U9	0.00	0.00	1.00	0.00	1.00	1.00
U10	0.00	0.00	0.00	0.60	1.00	1.00
U11	0.00	0.00	0.00	0.60	1.00	1.00
U12	0.00	0.00	0.00	1.00	1.00	1.00
U13	0.60	0.00	0.00	0.00	1.00	1.00
U14	0.60	0.00	0.00	0.00	1.00	1.00
U15	1.00	0.00	0.00	0.00	1.00	1.00
U16	0.00	0.60	0.00	0.00	1.00	1.00
U17	0.00	0.60	0.00	0.00	1.00	1.00
U18	0.00	1.00	0.00	0.00	1.00	1.00
U19	0.00	0.00	0.60	0.00	1.00	1.00
U20	0.00	0.00	0.60	0.00	1.00	1.00
U21	0.00	0.00	1.00	0.00	1.00	1.00
U22	0.00	0.00	0.00	0.60	1.00	1.00
U23	0.00	0.00	0.00	0.60	1.00	1.00
U24	0.00	0.00	0.00	1.00	1.00	1.00

Combinazioni Frequenti:

Elementi della Struttura				
Comb.	Condizione			
	C. perm.(Gk1)	C. p. non str.(Gk2)	C. ese.(Qk)	Delta T(DT)
1	γ_{Gns}	γ_{G2ns}	$\Psi_1\gamma_{Qns}$	$\Psi_2\gamma_{Qns}$
2	γ_{Gns}	γ_{G2ns}	$\Psi_1\gamma_{Qns}$	$-\Psi_2\gamma_{Qns}$
3	γ_{Gns}	γ_{G2ns}	$\Psi_2\gamma_{Qns}$	$\Psi_1\gamma_{Qns}$
4	γ_{Gns}	γ_{G2ns}	$\Psi_2\gamma_{Qns}$	$-\Psi_1\gamma_{Qns}$
U1	1.00	1.00	0.30	0.00
U2	1.00	1.00	0.30	0.00
U3	1.00	1.00	0.30	0.00
U4	1.00	1.00	0.30	0.00

Comb.	Condizione					
	Vento (+X)	Vento (-X)	Vento (+Y)	Vento (-Y)	G2p	carichi conc
1	0.00	0.00	0.00	0.00	1.00	1.00
2	0.00	0.00	0.00	0.00	1.00	1.00
3	0.00	0.00	0.00	0.00	1.00	1.00
4	0.00	0.00	0.00	0.00	1.00	1.00
U1	0.20	0.00	0.00	0.00	1.00	1.00
U2	0.00	0.20	0.00	0.00	1.00	1.00
U3	0.00	0.00	0.20	0.00	1.00	1.00
U4	0.00	0.00	0.00	0.20	1.00	1.00

Combinazioni quasi permanenti :

Elementi della Struttura				
Comb.	Condizione			
	C. perm.(Gk1)	C. p. non str.(Gk2)	C. ese.(Qk)	Delta T(DT)
1	γ_{Gns}	γ_{G2ns}	$\Psi_2\gamma_{Qns}$	$\Psi_2\gamma_{Qns}$
2	γ_{Gns}	γ_{G2ns}	$\Psi_2\gamma_{Qns}$	$-\Psi_2\gamma_{Qns}$

Comb.	Condizione					
	Vento (+X)	Vento (-X)	Vento (+Y)	Vento (-Y)	G2p	carichi conc
1	0.00	0.00	0.00	0.00	1.00	1.00
2	0.00	0.00	0.00	0.00	1.00	1.00

I coefficienti utilizzati assumono i seguenti valori:

SLE	Condizione														
	Caratteristiche					Frequenti					Q. Permanenti				
ELEMENTO	γ_{Gns}	γ_{Qns}	γ_I	γ_{EG}	γ_{EQ}	γ_{Gns}	γ_{Qns}	γ_I	γ_{EG}	γ_{EQ}	γ_{Gns}	γ_{Qns}	γ_I	γ_{EG}	γ_{EQ}
Struttura	1.0	1.0	1.0	1.0	1.0	1.0	1.0	1.0	1.0	1.0	1.0	1.0	1.0	1.0	1.0
Struttura	1.0	1.0	1.0	1.0	1.0	1.0	1.0	1.0	1.0	1.0	1.0	1.0	1.0	1.0	1.0

Tali combinazioni vengono considerate sovrapponendo i diagrammi secondo la tecnica dell'involuppo.

2.4 Procedura di Verifica degli elementi.

2.4.1 Elementi in Acciaio.

- VERIFICHE DI RESISTENZA

Le verifiche di resistenza per gli elementi in acciaio risultano così organizzate:

- Verifica di resistenza delle aste tese;
- Verifica di resistenza delle aste compresse;
- Verifica di resistenza delle aste inflesse;
- Verifica di resistenza delle aste soggette ad azione tagliante;
- Verifica di resistenza delle aste soggette ad azione tagliante e flettente;
- Verifica di resistenza delle aste pressoinflesse;

La filosofia introdotta dall'Eurocodice 3 conduce a classificare le sezioni secondo il seguente prospetto

Sezione di Classe 1	Sezioni trasversali in grado di generare una cerniera plastica avente la capacità rotazionale richiesta dall'analisi plastica senza alcuna riduzione di resistenza
Sezione di Classe 2	Sezioni trasversali in grado di raggiungere il proprio momento resistente plastico ma con una capacità rotazionale limitata
Sezione di Classe 3	Sezioni trasversali in grado di raggiungere il momento resistente elastico e dunque il valore di snervamento secondo una distribuzione lineare delle tensioni. Il momento resistente plastico non risulta raggiungibile per l'insorgere di fenomeni di instabilità locale
Sezione di Classe 4	Sezioni trasversali non in grado di raggiungere il momento resistente elastico e dunque con capacità di resistenza ridotte in seguito a fenomeni di instabilità locale

Per le sezioni sottili di classe 4 la normativa prevede la definizione e l'utilizzo delle grandezze efficaci degli elementi compressi per il calcolo delle proprietà elastiche degli stessi (proprietà efficaci). Di fatto l'utilizzo delle grandezze efficaci porta a considerare gli effetti dei fenomeni di instabilità locale tramite una riduzione (tanto più consistente quanto più la sezione risulta compressa) delle parti reagenti della sezione trasversale.

Verifiche Plastiche

Trazione

La verifica consiste nell'accertare che risulti:

$$NE_d \leq N_{t,Rd}$$

dove:

NE_d : azione di trazione di progetto;

$N_{t,Rd}$: resistenza a trazione di progetto calcolata come indicato in seguito.

$$N_{t,Rd} = \min(N_{pl,Rd}, N_{u,Rd})$$

dove:

$N_{pl,Rd}$: resistenza plastica di progetto;

$N_{u,Rd}$: resistenza ultima di progetto.

Inoltre

$$N_{pl,Rd} = A \cdot f_y / \gamma_{Mo}$$

$$N_{u,Rd} = 0.9 \cdot A_{nett} \cdot f_u / \gamma_{M2}$$

Dove, ancora:

A: area lorda della sezione;

A_{nett} : netta della sezione;

f_u, f_y : sono le tensioni di rottura e di snervamento dell'acciaio;

γ_{Mo}, γ_{M2} : sono coefficienti riduttivi.

Compressione

La verifica consiste nell'accertare che risulti:

$$NE_d \leq N_{c,Rd}$$

dove:

NE_d : è l'azione di compressione di progetto;

$N_{c,Rd}$: è la resistenza a compressione di progetto calcolata come indicato in seguito.

$$N_{c,Rd} = A \cdot f_y / \gamma_{Mo} \quad \text{Per sezioni di classe 1, 2 e 3}$$

$$N_{c,Rd} = A_{eff} \cdot f_y / \gamma_{M1} \quad \text{Per sezioni di classe 4}$$

Dove, ancora:

A: area lorda della sezione;

A_{eff} : area efficace della sezione;

f_y : tensione di snervamento dell'acciaio;

γ_{Mo}, γ_{M1} : coefficienti riduttivi.

Taglio

Il valore di progetto dell'azione tagliante in ogni sezione trasversale deve soddisfare la relazione:

$$V_{sd} / V_{pl,Rd} \leq 1$$

$V_{pl,Rd}$ è il valore del taglio resistente di progetto assunto pari a:

$$V_{pl,Rd} = (A_t \cdot f_y / \sqrt{3}) / \gamma_{Mo}$$

Dove, ancora:

A_t : area resistente al taglio della sezione;

f_y : tensione di snervamento dell'acciaio;

γ_{Mo} : coefficiente riduttivo.

Flessione

Si verifica in questo caso che il valore del momento flettente di progetto in corrispondenza di ciascuna sezione trasversale analizzata soddisfi la seguente relazione:

$$M_{Sd} / M_{Rd} \leq 1$$

dove:

M_{Rd} : momento flettente resistente di progetto, calcolato tenendo conto dell'effettiva sezione;

M_{Sd} : valore del momento di progetto.

M_{Rd} è determinato in funzione della classe della sezione.

$$M_{Rd} = M_{pl} = W_{pl} f_y / \gamma_{Mo} \quad \text{per le classi 1 e 2}$$

$$M_{Rd} = M_{el} = W_{el} f_y / \gamma_{Mo} \quad \text{per la classe 3}$$

$$M_{Rd} = W_{eff} f_y / \gamma_{Mo} \quad \text{per la classe 4}$$

dove:

W_{pl} : è il modulo di resistenza plastico;

W_{el} : è il modulo di resistenza elastico;

W_{eff} : è il modulo di resistenza della sezione efficace;

f_y : è la tensione di snervamento dell'acciaio;

γ_{Mo} : è un coefficiente riduttivo.

Flessione e Taglio

Quando la forza di taglio è maggiore della metà del valore del taglio resistente plastico il momento resistente plastico viene ridotto della quantità

$$(1 - \rho)$$

dove:

$$\rho = ((2 \cdot V_{Sd} / V_{pl,Rd}) - 1)^2$$

Dove vale la terminologia assunta per le verifiche a taglio.

Presso Flessione

Per sezioni di classe 1 o 2 la verifica viene condotta controllando che

$$(M_{y,Ed} / M_{Ny,Rd}) + (M_{z,Ed} / M_{Nz,Rd}) \leq 1$$

dove:

$M_{Ny,Rd}, M_{Nz,Rd}$: momenti flettenti resistenti nelle due direzioni analizzate e ridotti per la presenza dello sforzo normale;

$M_{y,Ed}, M_{z,Ed}$: momenti flettenti di progetto nelle due direzioni analizzate;

Per sezioni di classe 3, in assenza di azioni di taglio, la verifica a presso o tenso-flessione è condotta in termini tensionali utilizzando le verifiche elastiche.

Per sezioni di classe 4 le verifiche sono condotte sempre in regime tensionale elastico ma utilizzando le sole parti efficaci della sezione trasversale.

Verifiche Elastiche

Le verifiche in campo elastico vengono effettuate in modo che in nessun punto della sezione venga superato il valore della resistenza di calcolo.

La formula utilizzata è:

$$\sigma_{id} \leq f_d$$

$$\text{Dove: } f_d = f_y / \gamma_m$$

$$\sigma_{id}(x,y) = \sqrt{(\sigma(x,y) + 3 \cdot \tau^2(x,y))}$$

Dove:

f_d : valore della tensione di progetto;

f_y : valore di snervamento dell'acciaio;

γ_m : coefficiente di riduzione che dipende dalla normativa di riferimento;

$\sigma_{id}(x,y)$: tensione ideale nel punto di coordinate x ed y della sezione;

$\tau(x,y)$: tensione tangenziale nel punto di coordinate x ed y della sezione;

$\sigma(x,y)$: tensione normale nel punto di coordinate x ed y della sezione;

inoltre,

$$\sigma(x,y) = N / A + ((M_x \cdot J_y + M_y \cdot J_{xy}) / (J_x J_y - J_{xy}^2)) \cdot y - ((M_y \cdot J_x + M_x \cdot J_{xy}) / (J_x J_y - J_{xy}^2)) \cdot x$$

$$\tau(x,y) = V / A_T$$

Dove, rispetto al sistema di riferimento baricentrico utilizzato:

x, y: ascissa e ordinata di un punto generico della sezione;

N, M_x , M_y : azioni esterne capaci di generare tensioni normali sulla sezione;

V: azione esterna capace di generare tensioni tangenziali sulla sezione;

J_x , J_y , J_{xy} : momenti d'inerzia della sezione;

A_T : area resistente al taglio della sezione;

- VERIFICHE DI STABILITA' GLOBALE

Le verifiche di stabilità delle aste vengono effettuate nell'ipotesi che la sezione trasversale sia uniformemente compressa. Deve essere sempre:

$$N_{Ed} / N_{b,Rd} \leq 1$$

dove:

N_{Ed} : è l'azione di compressione di calcolo;

$N_{b,Rd}$: è la resistenza all'instabilità nell'asta compressa data da:

$$N_{b,Rd} = \chi \cdot A \cdot f_y / \gamma_{M1} \quad \text{per sezioni di classe 1, 2 e 3}$$

$$N_{b,Rd} = \chi \cdot A_{eff} \cdot f_y / \gamma_{M1} \quad \text{per sezioni di classe 4}$$

χ : coefficienti dipendenti dal tipo di sezione e dal tipo di acciaio impiegato, desunti in funzione di appropriati valori della snellezza adimensionalizzata dalla seguente formula:

$$\chi = 1 / \phi + \sqrt{(\phi^2 - \lambda_a^2)} \leq 1$$

dove:

$$\phi = 0.5 \cdot [1 + \alpha \cdot (\lambda - 0.2)_a + \lambda_a^2]$$

α : fattore di imperfezione opportunamente tabellato;

Inoltre:

$$\lambda_a = \sqrt{A} \cdot f_y / N_{cr} \quad \text{per sezioni di classe 1, 2 e 3}$$

$$\lambda_a = \sqrt{A_{eff}} \cdot f_y / N_{cr} \quad \text{per sezioni di classe 4}$$

N_{cr} : carico critico elastico basato sulle proprietà della sezione lorda e sulla lunghezza di libera inflessione dell'asta, calcolato per la modalità di collasso per instabilità appropriata.

- VERIFICA DEGLI SPOSTAMENTI LATERALI

Ai sensi del punto 4.2.4.2.2 delle NTC vengono controllati gli spostamenti laterali alle sommità delle colonne per le combinazioni SLE. Gli spostamenti devono limitarsi ad una frazione dell'altezza della colonna e dell'altezza complessiva dell'edificio. Il valore limite deve essere valutato sulla base degli effetti sugli elementi portati, della qualità del confort richiesto alla costruzione e delle eventuali implicazioni di una eccessiva deformabilità sul valore dei carichi agenti.

- CONTROLLO DEL CONTENIMENTO DEL DANNO NEGLI ELEMENTI NON STRUTTURALI.

Ai sensi del punto 7.3.7.2 delle NTC viene verificato che l'azione sismica di progetto non produca agli elementi costruttivi senza funzione strutturale danni tali da rendere la costruzione temporaneamente inagibile. Per gli edifici in classe I e II, questa verifica si ritiene soddisfatta se gli spostamenti d'interpiano calcolati allo SLD sono inferiori al valore limite, funzione del tipo di elementi non strutturali presenti. Per edifici in classe d'uso III e IV il controllo viene effettuato agli SLO.

Compatibilità tra fattore di comportamento e classificazione delle sezioni in acciaio

Ai sensi del punto 7.5.3.1 e della tabella 7.5.III delle NTC il valore della classe delle sezioni delle aste che dissipano energia deve essere compatibile con la classe di duttilità e con il fattore di comportamento utilizzato.

- VERIFICHE INSTABILITÀ FLESSO-TORSIONALE.

Nell'esecuzione di tali verifiche si è fatto uso del punto 4.2.4.1.3.2 delle NTC.

Una trave con sezione ad I o H soggetta a flessione nel piano dell'anima, con la piattabanda compressa non sufficientemente vincolata lateralmente, deve essere verificata nei riguardi dell'instabilità flessione torsionale secondo la formula:

$$M_{Ed} / M_{b,Rd} \leq 1$$

dove:

M_{Ed} : massimo momento flettente di calcolo

$M_{b,Rd}$: momento resistente di progetto per l'instabilità.

Il momento resistente di progetto per i fenomeni di instabilità di una trave lateralmente non vincolata può essere assunto pari a

$$M_{b,Rd} = \chi_{LT} \cdot W_y \cdot f_{yk} / \gamma_{M1}$$

dove:

W_y : modulo resistente della sezione:

- per le sezioni di classe 1 e 2 è pari al modulo plastico : $W_y = W_{pl,y}$

- per le sezioni di classe 3 è pari al modulo elastico : $W_y = W_{el,y}$

- per le sezioni di classe 4 è pari al modulo efficace : $W_y = W_{eff,y}$

χ_{LT} : fattore di riduzione per l'instabilità flessione-torsionale, dipendente dal tipo di profilo impiegato; può essere determinato per profili laminati o composti saldati dalla formula:

$$\chi_{LT} = \frac{1}{f} \cdot \frac{1}{\Phi_{LT} + \sqrt{\Phi_{LT}^2 - \beta \cdot \bar{\lambda}_{LT}^2}} \leq \begin{cases} 1,0 \\ \frac{1}{\bar{\lambda}_{LT}^2} \cdot \frac{1}{f} \end{cases}$$

dove:

$$\Phi_{LT} = 0.5 \left[1 + \alpha_{LT} (\bar{\lambda}_{LT} - \bar{\lambda}_{LT,0}) + \beta \cdot \bar{\lambda}_{LT}^2 \right].$$

Il coefficiente di snellezza adimensionale è dato dalla formula:

$$\bar{\lambda}_{LT} = \sqrt{\frac{W_y \cdot f_{yk}}{M_{cr}}}$$

M_{cr} : momento critico elastico di instabilità torsionale, calcolato considerando la sezione lorda del profilo e i ritegni torsionali nell'ipotesi di diagramma di momento flettente uniforme.

α_{LT} è il fattore di imperfezione ottenuto dalle indicazioni riportate nella Tab. 4.2.VII.

$\bar{\lambda}_{LT,0}$ è stato assunto pari a 0.4. β è stato assunto pari ad 0.75.

Il fattore f considera la reale distribuzione del momento flettente tra i ritegni torsionali dell'elemento inflesso ed è definito dalla formula:

$$f = 1 - 0,5(1 - k_c) \left[1 - 2,0(\bar{\lambda}_{LT} - 0,8)^2 \right],$$

k_c assume i valori riportati in Tab. 4.2.VIII.

Tabella 4.2.VII. Definizione delle curve d'instabilità per le varie tipologie di sezione e per gli elementi inflessi.

Sezione trasversale	Limiti	Curva di instabilità da Tab. 4.2.VI
Sezione laminata ad I	$h/b \leq 2$	b
	$h/b > 2$	c
Sezione composta saldata	$h/b \leq 2$	c
	$h/b > 2$	d
Altre sezioni trasversali		d

- VERIFICHE INSTABILITA' PRESSO-FLESSIONALE.

Nell'esecuzione di tali verifiche si è fatto uso del punto 4.2.4.1.3.3 delle NTC. Tale paragrafo indica che per elementi strutturali oggetti a compressione e flessione, occorre studiare i relativi fenomeni di instabilità facendo riferimento a normative di comprovata validità.

In tal senso si è optato per la norma UNI EN 1993-1-1:2005 la quale al punto 6.3.3 ed all'annesso B indica le procedure da adottare per effettuare le verifiche in questione.

- GERARCHIA DELLE RESISTENZE.

Ai sensi del punto 7.5.4.3 delle NTC, per assicurare lo sviluppo del meccanismo globale dissipativo è stata rispettata la gerarchia delle resistenze tra la trave e la colonna. Inoltre sono state rispettate tutte le regole di dettaglio previste nelle NTC, e per ogni nodo colonna-trave è stata verificata la seguente condizione:

$$\sum M_{C,pl,Rd} \geq \gamma_{RD} \cdot \sum M_{b,pl,Rd}$$

dove:

$\gamma_{RD} = 1,3$ se struttura in classe CD"A" e 1.1 se struttura in classe CD"B";

$M_{C,pl,Rd}$: momento resistente della colonna calcolato per i livelli di sollecitazione assiale presenti nella colonna nelle combinazioni sismiche delle azioni;

$M_{b,pl,Rd}$: momento resistente delle travi che convergono nel nodo trave-colonna.

- EFFETTI DELLE IMPERFEZIONI.

Nell'analisi della struttura, in quella dei sistemi di controvento e nel calcolo delle membrature si è tenuto conto degli effetti delle imperfezioni geometriche e strutturali quali: mancanza di verticalità o di rettilineità, mancanza di accoppiamento e le inevitabili eccentricità minori presenti nei collegamenti reali.

A tal fine tali effetti sono stati inclusi implicitamente nel calcolo della resistenza degli elementi strutturali così come indicato al punto 4.2.3.5 delle NTC.

- STABILITÀ DEI PANNELLI D'ANIMA A TAGLIO.

I pannelli d'anima degli elementi strutturali, laminati oppure realizzati in soluzione composta saldata, devono essere verificati nei confronti dei fenomeni di instabilità dell'equilibrio allo stato limite ultimo (vedi C4.2.4.1.3.4.1 – Circolare esplicativa e UNI EN 1993-1-5:2007).

Ed essendo, inoltre:

$$\varepsilon = \sqrt{\frac{235}{f_y}} \quad \text{con } f_y \text{ in } \frac{N}{\text{mm}^2}$$

I pannelli non irrigiditi vanno verificati se:

$$\frac{h_w}{t} \geq \frac{72}{\eta} \cdot \varepsilon$$

Mentre i pannelli irrigiditi vanno verificati se:

$$\frac{h_w}{t} \geq \frac{31}{\eta} \cdot \varepsilon \cdot \sqrt{k_x}$$

Il contributo resistente delle ali (piattabande) si calcola tramite la formula seguente:

$$V_{bf,Rd} = \frac{b_f \cdot t_f^2 \cdot f_{yf}}{c \cdot \gamma_{M1}} \cdot \left[1 - \frac{M_{Ed}}{M_{f,Rd}} \right]$$

Il contributo resistente dell'anima si calcola, invece, tramite la formula seguente:

$$V_{bw,Rd} = \frac{\chi_w \cdot f_{yw} \cdot h_w \cdot t}{\sqrt{3} \cdot \gamma_{M1}}$$

h_w	Altezza del pannello
t	Spessore del pannello
a	Larghezza del pannello
V_{bw,Rd}	Contributo resistente dell'anima
V_{bf,Rd}	Contributo resistente delle ali (piattabande)
f_{yw}	Valore di snervamento dell'acciaio dei pannelli d'anima
b_{f,sup}	Larghezza dell'ala superiore
b_{f,inf}	Larghezza dell'ala inferiore
t_{f,sup}	Spessore dell'ala superiore
t_{f,inf}	Spessore dell'ala inferiore
h	Altezza totale della sezione (comprese le ali)

- Particolari prescrizioni per distribuzione irregolari di tamponamenti ed impianti

Nel caso di distribuzione fortemente irregolare in altezza di tamponamenti ed impianti, deve essere considerata la possibilità di forti concentrazioni di danno ai livelli caratterizzati da significativa riduzione del numero di tali elementi.

Questo requisito si intende soddisfatto incrementando le azioni di calcolo per gli elementi verticali (pilastri e pareti) dei livelli con riduzione dei tamponamenti come descritto nel paragrafo 7.2.3 delle N.T.C. I fattori di sovrarresistenza utilizzati nel presente calcolo sono:

Impalcato	Fatt. Sovr.
1	1.00

- Operazioni per il controllo della duttilità (DUT) richiesta dagli elementi in c.a

Nel caso di comportamento strutturale dissipativo il comportamento sismico della struttura è largamente dipendente dal comportamento delle sue zone dissipative, esse devono formarsi ove previsto e mantenere, in presenza di azioni cicliche, la

capacità di trasmettere le necessarie sollecitazioni e di dissipare energia, garantendo la capacità in duttilità relativa alla classe di duttilità scelta.

I dettagli costruttivi delle zone dissipative e delle connessioni tra queste zone e le restanti parti della struttura, nonché dei diversi elementi strutturali tra loro, sono fondamentali per un corretto comportamento sismico e devono essere esaurientemente specificati negli elaborati di progetto.

Nel caso di analisi lineare la verifica di duttilità si può ritenere soddisfatta, rispettando per tutti gli elementi strutturali, sia primari sia secondari, le regole specifiche per i dettagli costruttivi precisate dalle norme per le diverse tipologie costruttive.

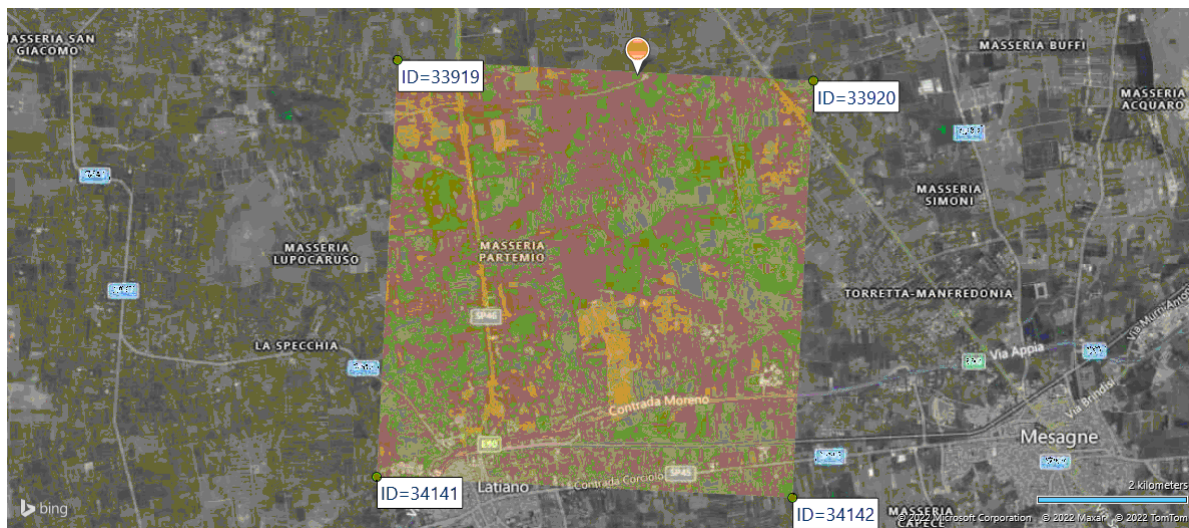
3 Dati

3.1 Dati Generali

Numero Impalcati : 1
 Numero delle tipologie di sezioni trasversali usate : 3
 Numero delle tipologie di solaio utilizzate : 0

Impalcato	Quota assoluta min [cm]	Quota assoluta max [cm]	Quota relativa min [cm]	Quota relativa max [cm]	Numero Colonne	Numero Travi
Fondazione	0.00	0.00	0.00	0.00	0	0
Piano 1	0.00	409.40	97.60	409.40	6	86

Coordinate (Datum WGS84) del sito : Latitudine = 40.6030° - Longitudine = 17.7425°
 Coordinate (Datum ED50) del sito : Latitudine = 40.6040° - Longitudine = 17.7433°

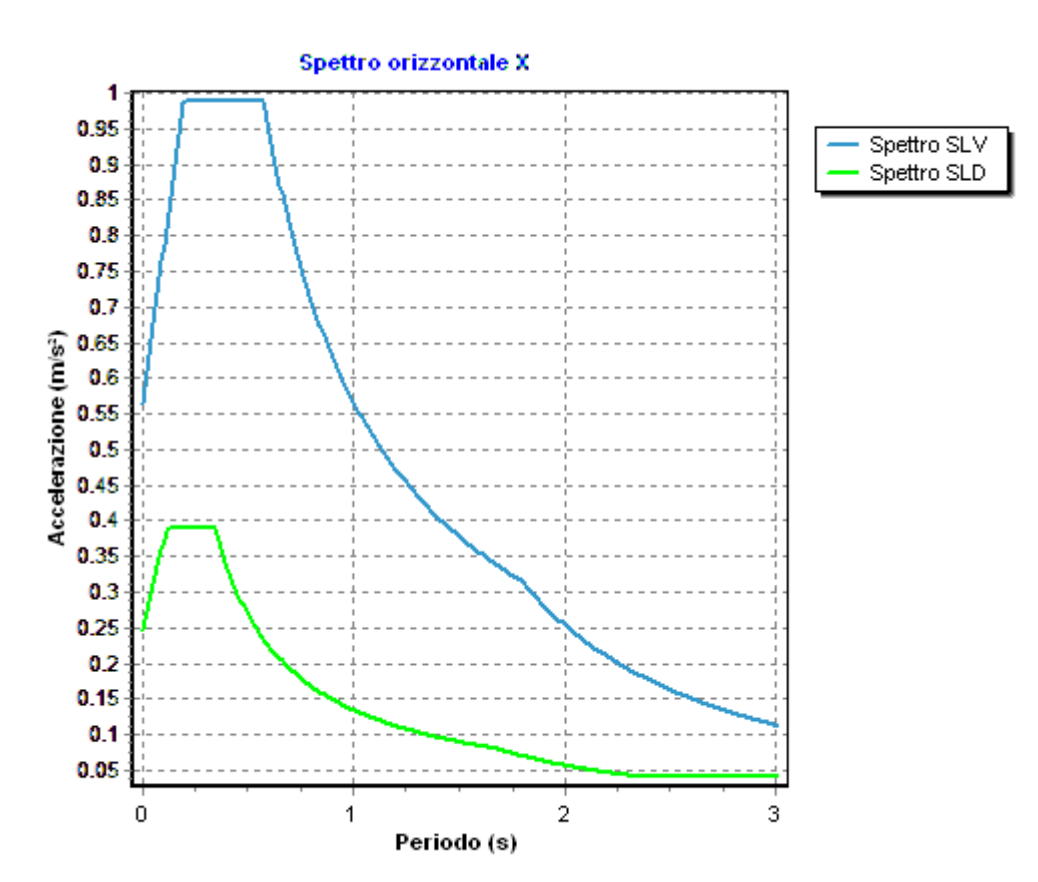


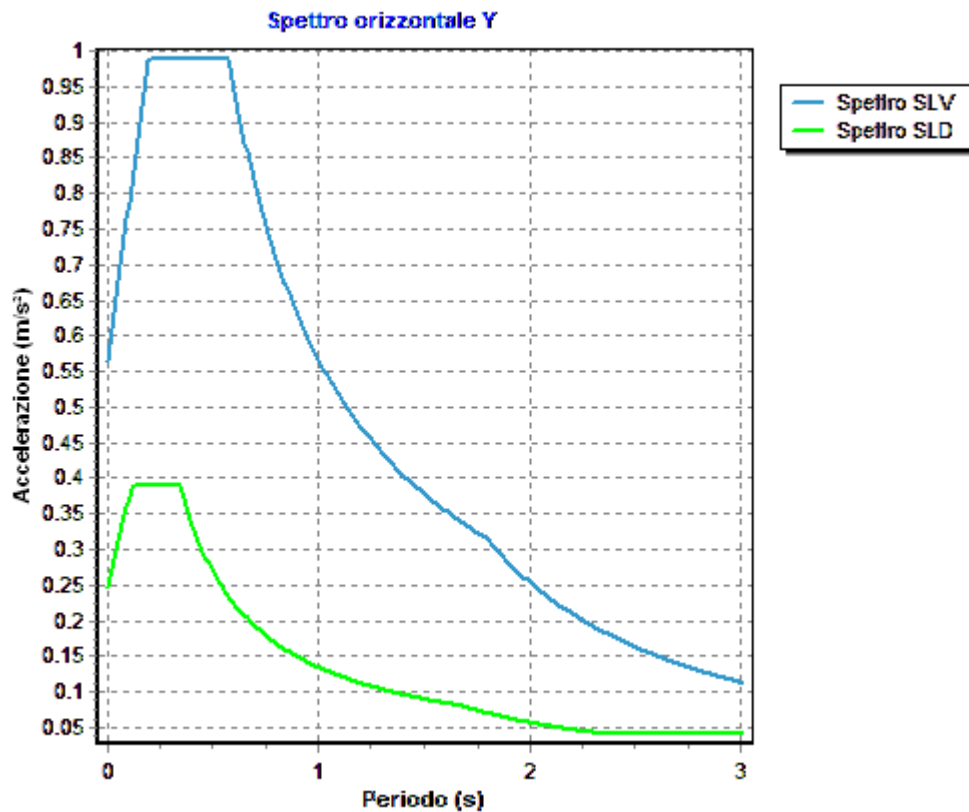
Identificativi e coordinate (Datum ED50) dei punti che includono il sito		
Numero punto	Latitudine [°]	Longitudine [°]
33919	40.6061	17.7053
33920	40.6036	17.7711
34141	40.5561	17.7020
34142	40.5537	17.7678

Zona sismica : SI
 Suolo di fondazione : B
 Vita nominale : 50
 Classe di duttilità: Non dissipativa
 Tipo di opera : Opere ordinarie
 Classe d'uso : II
 Vita di riferimento : 50
 Categoria topografica : T1
 Coefficiente smorzamento viscoso : 0.05

	Parametri dello spettro di risposta orizzontale							
	SLV		SLC		SLD		SLO	
Tempo di ritorno	475		975		50		30	
Accelerazione sismica	0.048		0.057		0.021		0.016	
Coefficiente F_0	2.627		2.788		2.371		2.364	
Periodo T_C^*	0.443		0.468		0.233		0.159	
Coefficiente S_s	1.20		1.20		1.20		1.20	
Coefficiente di amplificazione topografica S_t	1.00		1.00		1.00		1.00	
Prodotto $S_s \cdot S_t$	1.20		1.20		1.20		1.20	
Periodo T_B	0.19		0.20		0.11		0.08	
Periodo T_C	0.57		0.60		0.34		0.25	
Periodo T_D	1.79		1.83		1.68		1.66	
	x	y	x	y	x	y	x	y
Coefficiente η	0.667	0.667	1.000	1.000	*	*	*	*

* η pari a 1 per gli spostamenti e 2/3 per le sollecitazioni.





- FATTORI DI COMPORTAMENTO -

Fattore di comportamento direzione x (qx) : 1.50
 Fattore di comportamento direzione y (qy) : 1.50
 Fattore di comportamento direzione z (qz) : 1.50

Modulo di Winkler traslazionale : 5.00 daN/cm³
 Modulo di Winkler tangenziale : 2.50 daN/cm³
 Delta Termico aste di elevazione : 0
 Delta Termico aste di fondazione : 0
 Modulo di omogeneizzazione (per SLE) : 15
 Classe di servizio per le strutture in legno : 2

Coeff. di riduzione per rigidità fessurata:

SLV-SLC

Pilastrini

Assiale da Carico Assiale
 Flessione da Carico Assiale
 Taglio da Carico Assiale

Travi

Assiale da Carico Assiale
 Flessione da Carico Assiale
 Taglio da Carico Assiale

Pareti

Nel Piano : 1.00
 Fuori Piano : 1.00

Platee

Nel Piano : 1.00
 Fuori Piano : 1.00

SLD-SLO

Pilastrini

Assiale da Carico Assiale

	Flessione	da Carico Assiale
	Taglio	da Carico Assiale
Travi	Assiale	da Carico Assiale
	Flessione	da Carico Assiale
	Taglio	da Carico Assiale
Pareti		
	Nel Piano	: 1.00
	Fuori Piano	: 1.00
Platee		
	Nel Piano	: 1.00
	Fuori Piano	: 1.00
Delta termico		
	Slv	: 0.50
	Sle	: 0.75

3.2 Elenco e Caratteristiche dei materiali.

Nell'ambito del progetto si è fatto uso dei seguenti materiali divisi per categoria di appartenenza:

b - Acciaio per carpenteria.

Nome	Norm.	Tipo	v	ps [daN/m ³]	αt [1/°C]	E [daN/cm ²]	FC	$\gamma M0$	$\gamma M1$	$\gamma M2$	fy [daN/cm ²]	fu [daN/cm ²]
S275	UNI EN 10025-2	S275	0.30	7850	1.2E-005	2100000. 0	1.00	1.05	1.05	1.25	2750.0	4300.0

3.3 Elenco dei carichi.

3.3.1 Pesì propri unitari - G1.

Impalcato	Solai [daN/m ²]	Balconi [daN/m ²]	Scale [daN/m ²]
Fondazione	-	-	-
Piano 1	-	-	-

- Analisi dei Carichi -

3.3.2 Carichi Permanenti unitari - G2.

Impalcato	Solai [daN/m ²]	Balconi [daN/m ²]	Scale [daN/m ²]	Influenza Tramezzi [daN/m ²]	Tamponature [daN/m]
Fondazione	150	150	150	100	582
Piano 1	150	150	150	0	0

- Analisi dei Carichi -

Fondazione

Influenza Tramezzi

Il peso proprio degli elementi divisori interni viene ragguagliato ad un carico permanente portato uniformemente distribuito come definito dal punto 3.1.3.1 - Elementi divisori interni (D.M. 17/01/2018)

Piano 1

3.3.3 Carichi Variabili unitari - Q.

Le intensità assunte per i carichi variabili verticali ripartiti sono riportate nella seguente tabella:

Impalcato	Carichi d'esercizio [daN/m ²]		
	Solai	Balconi	Scale
Fondazione	200	400	400
Piano 1	200	400	400

3.3.4 Pesì Impalcati.

Ai fini della valutazione dei pesi "W" a livello dei vari impalcati, si tiene conto dei carichi di tipo G1 relativi agli elementi strutturali e dei carichi di tipo G2 relativi agli elementi non strutturali sommati ai sovraccarichi d'esercizio Qk moltiplicati per una aliquota Ψ_{2i} (determinata dalla destinazione d'uso dell'opera ai vari piani

$$W_i = G1_i + G2_i + \Psi_{2i} \cdot Q_{ki}$$

Dove il pedice "i" è il piano i-esimo della struttura.

Impalcato	Destinazione	Ψ_{2i}
Fondazione	Categoria A: Ambienti ad uso residenziale	0.3
Piano 1	Categoria A: Ambienti ad uso residenziale	0.3

Per balconi e scale verranno usati i coefficienti calcolati come i maggiori tra quelli relativi alla categoria di carico di piano ed i seguenti:

Cat.	Destinazione	Ψ_{2i}
C2	Balconi, ballatoi e scale	0.6

Imp. Reale	G1 [daN]	G2 [daN]	$\Psi_2 \cdot Q_k$ [daN]	W (SLV-SLD) [daN]
0	612.60	0.00	0.00	612.60
1	2536.17	0.00	0.00	2536.17

3.3.5 Azione del Vento.

La velocità di riferimento del vento v_r riferita ad un generico periodo di ritorno T_R e all'altitudine del sito è data dall'espressione:

$$v_r = v_{b0} \cdot c_a \cdot c_r$$

dove:

v_r è la velocità di riferimento del vento associata ad un periodo di ritorno di 50 anni;

c_r è un coefficiente ricavabile dall'espressione:

$$c_r = 0.75((1 - 0.2 \ln[-\ln(1 - 1/T_R)])^{1/2}$$

c_a è un coefficiente di altitudine ricavabile dall'espressione:

$$c_a = 1 + k_s [(a_s/a_0) - 1]$$

Nel caso in esame $T_R = 50$ anni

La pressione esterna del vento è data dall'espressione: $p_e = q_b \cdot C_e \cdot C_{pe} \cdot C_d$

La pressione interna del vento è data dall'espressione: $p_i = q_b \cdot C_e \cdot C_{pi} \cdot C_d$

$q_r = 60.15$ daN/mq è la pressione cinetica di riferimento valutata con l'espressione:

$$q_r = 0.1 \cdot (1/2 \cdot \rho \cdot (v_r)^2) \text{ in (daN/m}^2\text{)}$$

essendo:

$v_r(T_R)$ la velocità di riferimento del vento (in m/s);

ρ la densità dell'aria assunta pari a 1.25 daN/m³.

C_e = **1.88** è il coefficiente di esposizione.

C_{pe} : è il coefficiente di forma per la valutazione della pressione esterna.

C_{pi} : è il coefficiente di forma per la valutazione della pressione interna.

C_d = **1.00** è il coefficiente dinamico

L'azione tangente per unità di superficie parallela alla direzione del vento é data dall'espressione: $p_f = q_b \cdot C_e \cdot C_f$ essendo:

C_f = **0.00** il coefficiente d'attrito

Nel caso in esame la zona selezionata è la **9: Isole (con l'eccezione di Sicilia e Sardegna) e mare aperto.**

Il fabbricato si trova sulla terraferma ad una distanza di **0.0 Km** dalla costa e ad un'altezza di **80.00 mt** sul livello del mare.

Il tipo di costruzione è :

Edificio a pianta rettangolare con copertura piana, a falda inclinata o curva.

La superficie della costruzione è

La classe di rugosità del terreno é la **A**: "Aree urbane in cui almeno il **15%** della superficie sia coperto da edifici la cui altezza media superi i **15 mt.**"

Il coefficiente di esposizione C_e , funzione dell'altezza della costruzione $z = 0.00$ mt sul suolo, della rugosità, della topografia del terreno, e dell'esposizione del sito ove sorge la costruzione, e' dato dalla formula:

$$C_e(z_{min}) = K_r^2 \cdot C_t \cdot \ln(z_{min}/z_0) \cdot [7 + C_t \cdot \ln(z_{min}/z_0)] \text{ valida per } z < z_{min}.$$

Dove: K_r = **0.170**;

z_0 = **0.010**;

z_{min} ... = **2.000**;

sono assegnati in funzione della categoria di esposizione del sito dove sorge la costruzione.

C_t = **1.000** è il coefficiente di topografia.

I coefficienti di forma sono stati ricavati, per una costruzione di tipo **con copertura a falde**, con un angolo pari a **0°**, **avente una parete con aperture di superficie < 33% di quella totale.**

Il coefficiente di forma c_{pe} viene riferito all'esterno del corpo di fabbrica; esso è positivo per pressione esterna >0 sulla superficie esterna, negativo per depressione (per pressione esterna <0).

Il coefficiente di forma c_{pi} viene riferito all'interno del corpo di fabbrica; esso è positivo per pressione interna >0 sulla superficie interna, negativo per depressione (per pressione interna <0).

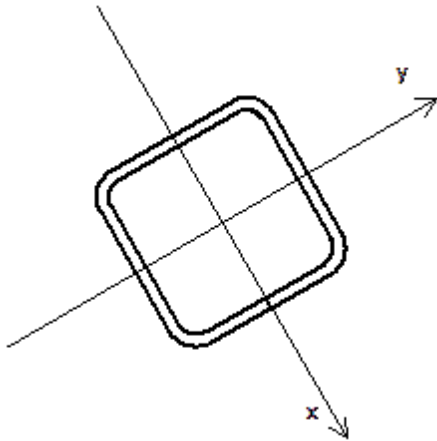
I valori delle pressioni esterna ed interna da applicare alle varie superfici sono riportati nella seguente tabella:

	C_{pe}	p_e [daN/m ²]	C_{pi}	P_i [daN/m ²]
Parete sopra vento	0.80	90.62	0.20	22.65
Falda sopra vento	-0.40	-45.31	0.20	22.65
Falda sottovento	-0.40	-45.31	0.20	22.65
Parete sottovento	-0.40	-45.31	0.20	22.65

L'azione tangente p_f parallela alla direzione del vento e' pari a 0.00 [daN/m²].

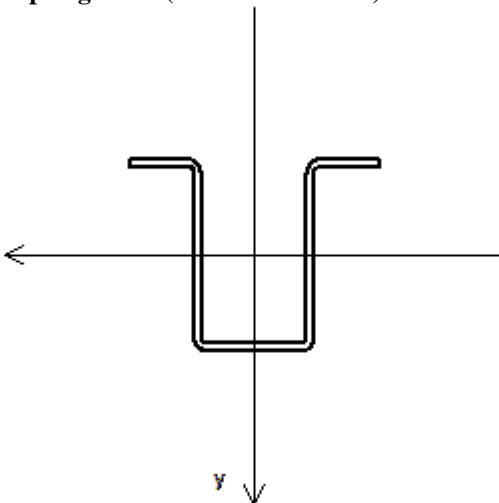
3.4 Elenco e Caratteristiche delle sezioni trasversali.

Tipologia N.1 (Sezione Metallica)



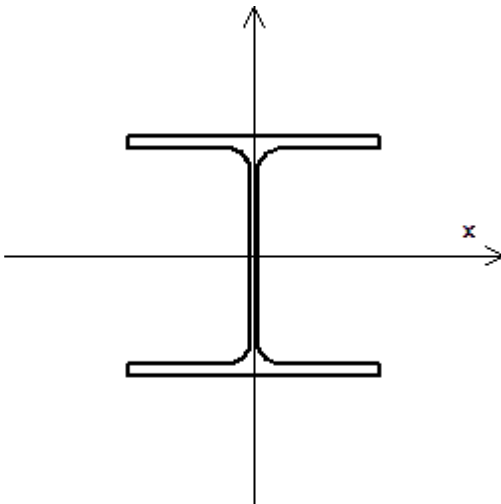
Nome	= Q160x100
A	= 57 cm ²
J _x	= 2046.95 cm ⁴
J _y	= 2046.95 cm ⁴
J _{xy}	= 0.00 cm ⁴
J _t	= 3375.00 cm ⁴
Materiale	= S275
Peso	= 44.39 daN/ml

Tipologia N.2 (Sezione Metallica)



Nome	= OMG80X50X30X3.0
A	= 8 cm ²
J _x	= 65.41 cm ⁴
J _y	= 52.39 cm ⁴
J _{xy}	= 0.00 cm ⁴
J _t	= 0.43 cm ⁴
Materiale	= S275
Peso	= 5.89 daN/ml

Tipologia N.3 (Sezione Metallica)



Nome = HEA240
 A = 77 cm²
 Jx = 7764.48 cm⁴
 Jy = 2768.83 cm⁴
 Jxy = 0.00 cm⁴
 Jt = 30.71 cm⁴
 Materiale = S275
 Peso = 60.33 daN/ml

3.5 Geometria Struttura.

3.5.1 Fili Fissi.

Numero : numerazione del filo fisso.
 Ascissa : coordinata X del filo fisso.
 Ordinata : coordinata Y del filo fisso.
 Angolo : angolo del filo fisso (in gradi);
 Tipo : tipo del filo fisso.

Numero	Ascissa [cm]	Ordinata [cm]	Quota [cm]	Angolo [°]	Tipo
1	0.00	0.00	0.00	0.00	5
2	0.00	89.96	0.00	0.00	5
3	0.00	179.92	0.00	0.00	5
4	130.00	0.00	0.00	0.00	5
5	130.00	89.96	0.00	0.00	5
6	130.00	179.92	0.00	0.00	5
7	260.00	0.00	0.00	0.00	5
8	260.00	89.96	0.00	0.00	5
9	260.00	179.92	0.00	0.00	5
10	390.00	0.00	0.00	0.00	5
11	390.00	89.96	0.00	0.00	5
12	390.00	179.92	0.00	0.00	5
13	520.00	0.00	0.00	0.00	5
14	520.00	89.96	0.00	0.00	5
15	520.00	179.92	0.00	0.00	5
16	650.00	0.00	0.00	0.00	5
17	650.00	89.96	0.00	0.00	5
18	650.00	179.92	0.00	0.00	5
19	780.00	0.00	0.00	0.00	5
20	780.00	89.96	0.00	0.00	5
21	780.00	179.92	0.00	0.00	5
22	910.00	0.00	0.00	0.00	5
23	910.00	89.96	0.00	0.00	5
24	910.00	179.92	0.00	0.00	5
25	1040.00	0.00	0.00	0.00	5

26	1040.00	89.96	0.00	0.00	5
27	1040.00	179.92	0.00	0.00	5
28	1170.00	0.00	0.00	0.00	5
29	1170.00	89.96	0.00	0.00	5
30	1170.00	179.92	0.00	0.00	5
31	1300.00	0.00	0.00	0.00	5
32	1300.00	89.96	0.00	0.00	5
33	1300.00	179.92	0.00	0.00	5
34	1430.00	0.00	0.00	0.00	5
35	1430.00	89.96	0.00	0.00	5
36	1430.00	179.92	0.00	0.00	5
37	1560.00	0.00	0.00	0.00	5
38	1560.00	89.96	0.00	0.00	5
39	1560.00	179.92	0.00	0.00	5
40	1690.00	0.00	0.00	0.00	5
41	1690.00	89.96	0.00	0.00	5
42	1690.00	179.92	0.00	0.00	5
43	1820.00	0.00	0.00	0.00	5
44	1820.00	89.96	0.00	0.00	5
45	1820.00	179.92	0.00	0.00	5
46	1950.00	0.00	0.00	0.00	5
47	1950.00	89.96	0.00	0.00	5
48	1950.00	179.92	0.00	0.00	5
49	2080.00	0.00	0.00	0.00	5
50	2080.00	89.96	0.00	0.00	5
51	2080.00	179.92	0.00	0.00	5
52	2210.00	0.00	0.00	0.00	5
53	2210.00	89.96	0.00	0.00	5
54	2210.00	179.92	0.00	0.00	5
55	2340.00	0.00	0.00	0.00	5
56	2340.00	89.96	0.00	0.00	5
57	2340.00	179.92	0.00	0.00	5
58	2470.00	0.00	0.00	0.00	5
59	2470.00	89.96	0.00	0.00	5
60	2470.00	179.92	0.00	0.00	5
61	2600.00	0.00	0.00	0.00	5
62	2600.00	89.96	0.00	0.00	5
63	2600.00	179.92	0.00	0.00	5
64	2730.00	0.00	0.00	0.00	5
65	2730.00	89.96	0.00	0.00	5
66	2730.00	179.92	0.00	0.00	5
67	2860.00	0.00	0.00	0.00	5
68	2860.00	89.96	0.00	0.00	5
69	2860.00	179.92	0.00	0.00	5
70	2990.00	0.00	0.00	0.00	5
71	2990.00	89.96	0.00	0.00	5
72	2990.00	179.92	0.00	0.00	5
73	3120.00	0.00	0.00	0.00	5
74	3120.00	89.96	0.00	0.00	5
75	3120.00	179.92	0.00	0.00	5
76	3250.00	0.00	0.00	0.00	5
77	3250.00	89.96	0.00	0.00	5
78	3250.00	179.92	0.00	0.00	5
79	3380.00	0.00	0.00	0.00	5
80	3380.00	89.96	0.00	0.00	5
81	3380.00	179.92	0.00	0.00	5
82	3510.00	0.00	0.00	0.00	5
83	3510.00	89.96	0.00	0.00	5
84	3510.00	179.92	0.00	0.00	5
85	3640.00	0.00	0.00	0.00	5
86	3640.00	89.96	0.00	0.00	5
87	3640.00	179.92	0.00	0.00	5

3.5.2 Caratteristiche dei nodi.

I dati seguenti riportano tutte le caratteristiche relative ai nodi che definiscono la struttura ed in modo particolare:

- Nodo : numerazione interna del nodo.
- Coordinate : coordinate del nodo secondo il sistema di riferimento globale cartesiano.
- Imp. : impalcato di appartenenza del nodo.

Relazione di calcolo -

Slave : nodo dipendente da un nodo MASTER definito nella tabella specifica;
 Vincoli : eventuali vincoli esterni del nodo in ognuna delle 6 direzioni:
 x : direzione X rispetto al sistema di riferimento globale;
 y : direzione Y rispetto al sistema di riferimento globale;
 z : direzione Z rispetto al sistema di riferimento globale;
 Rx : rotazione attorno all'asse X del sistema di riferimento globale;
 Ry : rotazione attorno all'asse Y del sistema di riferimento globale;
 Rz : rotazione attorno all'asse Z del sistema di riferimento globale;

Inoltre:

np : non presenza di vincoli;
 p : valore infinito della rigidezza;
 Kt : valore finito delle rigidezze traslazionali da leggere nella tabella specifica;
 Kr : valore finito delle rigidezze rotazionali da leggere nella tabella specifica;

Masse Nodali:

M : valore della massa traslazionale
 MIx : valore del momento d'inerzia della massa attorno all'asse X
 MIy : valore del momento d'inerzia della massa attorno all'asse Y
 MIz : valore del momento d'inerzia della massa attorno all'asse Z

Nodo	Coordinate [cm]			Impalcato	Slave	Vincoli						Masse Nodali			
	x	y	z			x	y	z	Rx	Ry	Rz	M [daNM]	MIx [daNM*cm ²]	MIy [daNM*cm ²]	MIz [daNM*cm ²]
1	130.0	90.0	0.0	Fondazione	-	p	p	p	p	p	p	0.00	0.00	0.00	0.00
2	910.0	90.0	0.0	Fondazione	-	p	p	p	p	p	p	0.00	0.00	0.00	0.00
3	1560.0	90.0	0.0	Fondazione	-	p	p	p	p	p	p	0.00	0.00	0.00	0.00
4	2080.0	90.0	0.0	Fondazione	-	p	p	p	p	p	p	0.00	0.00	0.00	0.00
5	2730.0	90.0	0.0	Fondazione	-	p	p	p	p	p	p	0.00	0.00	0.00	0.00
6	3510.0	90.0	0.0	Fondazione	-	p	p	p	p	p	p	0.00	0.00	0.00	0.00
7	0.0	0.0	97.6	Piano 1	-	np	np	np	np	np	np	0.00	0.00	0.00	0.00
8	0.0	90.0	253.5	Piano 1	-	np	np	np	np	np	np	0.00	0.00	0.00	0.00
9	0.0	179.9	409.4	Piano 1	-	np	np	np	np	np	np	0.00	0.00	0.00	0.00
10	130.0	0.0	97.6	Piano 1	-	np	np	np	np	np	np	0.00	0.00	0.00	0.00
11	130.0	90.0	253.5	Piano 1	-	np	np	np	np	np	np	0.00	0.00	0.00	0.00
12	130.0	179.9	409.4	Piano 1	-	np	np	np	np	np	np	0.00	0.00	0.00	0.00
13	260.0	0.0	97.6	Piano 1	-	np	np	np	np	np	np	0.00	0.00	0.00	0.00
14	260.0	90.0	253.5	Piano 1	-	np	np	np	np	np	np	0.00	0.00	0.00	0.00
15	260.0	179.9	409.4	Piano 1	-	np	np	np	np	np	np	0.00	0.00	0.00	0.00
16	390.0	0.0	97.6	Piano 1	-	np	np	np	np	np	np	0.00	0.00	0.00	0.00
17	390.0	90.0	253.5	Piano 1	-	np	np	np	np	np	np	0.00	0.00	0.00	0.00
18	390.0	179.9	409.4	Piano 1	-	np	np	np	np	np	np	0.00	0.00	0.00	0.00
19	520.0	0.0	97.6	Piano 1	-	np	np	np	np	np	np	0.00	0.00	0.00	0.00
20	520.0	90.0	253.5	Piano 1	-	np	np	np	np	np	np	0.00	0.00	0.00	0.00
21	520.0	179.9	409.4	Piano 1	-	np	np	np	np	np	np	0.00	0.00	0.00	0.00
22	650.0	0.0	97.6	Piano 1	-	np	np	np	np	np	np	0.00	0.00	0.00	0.00
23	650.0	90.0	253.5	Piano 1	-	np	np	np	np	np	np	0.00	0.00	0.00	0.00
24	650.0	179.9	409.4	Piano 1	-	np	np	np	np	np	np	0.00	0.00	0.00	0.00
25	780.0	0.0	97.6	Piano 1	-	np	np	np	np	np	np	0.00	0.00	0.00	0.00
26	780.0	90.0	253.5	Piano 1	-	np	np	np	np	np	np	0.00	0.00	0.00	0.00
27	780.0	179.9	409.4	Piano 1	-	np	np	np	np	np	np	0.00	0.00	0.00	0.00
28	910.0	0.0	97.6	Piano 1	-	np	np	np	np	np	np	0.00	0.00	0.00	0.00
29	910.0	90.0	253.5	Piano 1	-	np	np	np	np	np	np	0.00	0.00	0.00	0.00
30	910.0	179.9	409.4	Piano 1	-	np	np	np	np	np	np	0.00	0.00	0.00	0.00
31	1040.0	0.0	97.6	Piano 1	-	np	np	np	np	np	np	0.00	0.00	0.00	0.00
32	1040.0	90.0	253.5	Piano 1	-	np	np	np	np	np	np	0.00	0.00	0.00	0.00
33	1040.0	179.9	409.4	Piano 1	-	np	np	np	np	np	np	0.00	0.00	0.00	0.00
34	1170.0	0.0	97.6	Piano 1	-	np	np	np	np	np	np	0.00	0.00	0.00	0.00
35	1170.0	90.0	253.5	Piano 1	-	np	np	np	np	np	np	0.00	0.00	0.00	0.00

Relazione di calcolo -

36	1170.0	179.9	409.4	Piano 1	-	np	np	np	np	np	np	0.00	0.00	0.00	0.00
37	1300.0	0.0	97.6	Piano 1	-	np	np	np	np	np	np	0.00	0.00	0.00	0.00
38	1300.0	90.0	253.5	Piano 1	-	np	np	np	np	np	np	0.00	0.00	0.00	0.00
39	1300.0	179.9	409.4	Piano 1	-	np	np	np	np	np	np	0.00	0.00	0.00	0.00
40	1430.0	0.0	97.6	Piano 1	-	np	np	np	np	np	np	0.00	0.00	0.00	0.00
41	1430.0	90.0	253.5	Piano 1	-	np	np	np	np	np	np	0.00	0.00	0.00	0.00
42	1430.0	179.9	409.4	Piano 1	-	np	np	np	np	np	np	0.00	0.00	0.00	0.00
43	1560.0	0.0	97.6	Piano 1	-	np	np	np	np	np	np	0.00	0.00	0.00	0.00
44	1560.0	90.0	253.5	Piano 1	-	np	np	np	np	np	np	0.00	0.00	0.00	0.00
45	1560.0	179.9	409.4	Piano 1	-	np	np	np	np	np	np	0.00	0.00	0.00	0.00
46	1690.0	0.0	97.6	Piano 1	-	np	np	np	np	np	np	0.00	0.00	0.00	0.00
47	1690.0	90.0	253.5	Piano 1	-	np	np	np	np	np	np	0.00	0.00	0.00	0.00
48	1690.0	179.9	409.4	Piano 1	-	np	np	np	np	np	np	0.00	0.00	0.00	0.00
49	1820.0	0.0	97.6	Piano 1	-	np	np	np	np	np	np	0.00	0.00	0.00	0.00
50	1820.0	90.0	253.5	Piano 1	-	np	np	np	np	np	np	0.00	0.00	0.00	0.00
51	1820.0	179.9	409.4	Piano 1	-	np	np	np	np	np	np	0.00	0.00	0.00	0.00
52	1950.0	0.0	97.6	Piano 1	-	np	np	np	np	np	np	0.00	0.00	0.00	0.00
53	1950.0	90.0	253.5	Piano 1	-	np	np	np	np	np	np	0.00	0.00	0.00	0.00
54	1950.0	179.9	409.4	Piano 1	-	np	np	np	np	np	np	0.00	0.00	0.00	0.00
55	2080.0	0.0	97.6	Piano 1	-	np	np	np	np	np	np	0.00	0.00	0.00	0.00
56	2080.0	90.0	253.5	Piano 1	-	np	np	np	np	np	np	0.00	0.00	0.00	0.00
57	2080.0	179.9	409.4	Piano 1	-	np	np	np	np	np	np	0.00	0.00	0.00	0.00
58	2210.0	0.0	97.6	Piano 1	-	np	np	np	np	np	np	0.00	0.00	0.00	0.00
59	2210.0	90.0	253.5	Piano 1	-	np	np	np	np	np	np	0.00	0.00	0.00	0.00
60	2210.0	179.9	409.4	Piano 1	-	np	np	np	np	np	np	0.00	0.00	0.00	0.00
61	2340.0	0.0	97.6	Piano 1	-	np	np	np	np	np	np	0.00	0.00	0.00	0.00
62	2340.0	90.0	253.5	Piano 1	-	np	np	np	np	np	np	0.00	0.00	0.00	0.00
63	2340.0	179.9	409.4	Piano 1	-	np	np	np	np	np	np	0.00	0.00	0.00	0.00
64	2470.0	0.0	97.6	Piano 1	-	np	np	np	np	np	np	0.00	0.00	0.00	0.00
65	2470.0	90.0	253.5	Piano 1	-	np	np	np	np	np	np	0.00	0.00	0.00	0.00
66	2470.0	179.9	409.4	Piano 1	-	np	np	np	np	np	np	0.00	0.00	0.00	0.00
67	2600.0	0.0	97.6	Piano 1	-	np	np	np	np	np	np	0.00	0.00	0.00	0.00
68	2600.0	90.0	253.5	Piano 1	-	np	np	np	np	np	np	0.00	0.00	0.00	0.00
69	2600.0	179.9	409.4	Piano 1	-	np	np	np	np	np	np	0.00	0.00	0.00	0.00
70	2730.0	0.0	97.6	Piano 1	-	np	np	np	np	np	np	0.00	0.00	0.00	0.00
71	2730.0	90.0	253.5	Piano 1	-	np	np	np	np	np	np	0.00	0.00	0.00	0.00
72	2730.0	179.9	409.4	Piano 1	-	np	np	np	np	np	np	0.00	0.00	0.00	0.00

73	2860.0	0.0	97.6	Piano 1	-	np	np	np	np	np	np	0.00	0.00	0.00	0.00
74	2860.0	90.0	253.5	Piano 1	-	np	np	np	np	np	np	0.00	0.00	0.00	0.00
75	2860.0	179.9	409.4	Piano 1	-	np	np	np	np	np	np	0.00	0.00	0.00	0.00
76	2990.0	0.0	97.6	Piano 1	-	np	np	np	np	np	np	0.00	0.00	0.00	0.00
77	2990.0	90.0	253.5	Piano 1	-	np	np	np	np	np	np	0.00	0.00	0.00	0.00
78	2990.0	179.9	409.4	Piano 1	-	np	np	np	np	np	np	0.00	0.00	0.00	0.00
79	3120.0	0.0	97.6	Piano 1	-	np	np	np	np	np	np	0.00	0.00	0.00	0.00
80	3120.0	90.0	253.5	Piano 1	-	np	np	np	np	np	np	0.00	0.00	0.00	0.00
81	3120.0	179.9	409.4	Piano 1	-	np	np	np	np	np	np	0.00	0.00	0.00	0.00
82	3250.0	0.0	97.6	Piano 1	-	np	np	np	np	np	np	0.00	0.00	0.00	0.00
83	3250.0	90.0	253.5	Piano 1	-	np	np	np	np	np	np	0.00	0.00	0.00	0.00
84	3250.0	179.9	409.4	Piano 1	-	np	np	np	np	np	np	0.00	0.00	0.00	0.00
85	3380.0	0.0	97.6	Piano 1	-	np	np	np	np	np	np	0.00	0.00	0.00	0.00
86	3380.0	90.0	253.5	Piano 1	-	np	np	np	np	np	np	0.00	0.00	0.00	0.00
87	3380.0	179.9	409.4	Piano 1	-	np	np	np	np	np	np	0.00	0.00	0.00	0.00
88	3510.0	0.0	97.6	Piano 1	-	np	np	np	np	np	np	0.00	0.00	0.00	0.00
89	3510.0	90.0	253.5	Piano 1	-	np	np	np	np	np	np	0.00	0.00	0.00	0.00
90	3510.0	179.9	409.4	Piano 1	-	np	np	np	np	np	np	0.00	0.00	0.00	0.00
91	3640.0	0.0	97.6	Piano 1	-	np	np	np	np	np	np	0.00	0.00	0.00	0.00
92	3640.0	90.0	253.5	Piano 1	-	np	np	np	np	np	np	0.00	0.00	0.00	0.00
93	3640.0	179.9	409.4	Piano 1	-	np	np	np	np	np	np	0.00	0.00	0.00	0.00

3.5.3 Caratteristiche delle aste.

La tabella seguente riporta tutte le caratteristiche relative alle aste della struttura ed in modo particolare la colonna:

- Asta : numerazione dell'asta
- Fili : fili fissi ai quali appartiene l'asta
- NI : nodo iniziale dell'asta
- NF : nodo finale dell'asta
- Tipo : funzione dell'asta
- Sez : sezione trasversale associata all'asta
- L : lunghezza teorica (nodo-nodo) dell'asta
- Imp. : impalcato di appartenenza dell'asta
- KwN : modulo di Winkler normale;
- KwT : modulo di Winkler tangenziale;

Asta	Fili	NI	NF	Tipo	Sez	L [cm]	Imp.	Kwn [daN/c m³]	Kwt [daN/c m³]	Vincoli interni											
										Estremo In.					Estremo Fin.						
										SpoX	SpoY	SpoZ	RotX	RotY	RotZ	SpoX	SpoY	SpoZ	RotX	RotY	RotZ
1	1, 2	7	8	Trave Elev.	2	179.99	Piano 1	-	-	1.00	1.00	1.00	1.00	1.00	1.00	1.00	1.00	1.00	1.00	1.00	1.00
2	2, 3	8	9	Trave Elev.	2	179.99	Piano 1	-	-	1.00	1.00	1.00	1.00	1.00	1.00	1.00	1.00	1.00	1.00	1.00	1.00
3	2, 5	8	11	Trave Elev.	1	130.00	Piano 1	-	-	1.00	1.00	1.00	1.00	1.00	1.00	1.00	1.00	1.00	1.00	1.00	1.00
4	4, 5	10	11	Trave Elev.	2	179.99	Piano 1	-	-	1.00	1.00	1.00	1.00	1.00	1.00	1.00	1.00	1.00	1.00	1.00	1.00
5	5, 6	11	12	Trave Elev.	2	179.99	Piano 1	-	-	1.00	1.00	1.00	1.00	1.00	1.00	1.00	1.00	1.00	1.00	1.00	1.00
6	5, 8	11	14	Trave Elev.	1	130.00	Piano 1	-	-	1.00	1.00	1.00	1.00	1.00	1.00	1.00	1.00	1.00	1.00	1.00	1.00
7	7, 8	13	14	Trave Elev.	2	179.99	Piano 1	-	-	1.00	1.00	1.00	1.00	1.00	1.00	1.00	1.00	1.00	1.00	1.00	1.00

Carichi Locali Aste

- Asta : numero dell'asta come da paragrafo "Caratteristiche delle aste";
 Imp. : impalcato al quale appartiene l'asta;
 Fili : fili fissi ai quali appartiene l'asta;
 C.C. : condizione di carico come da paragrafo "Condizioni di carico valutate";
 DLoc : direzione dei carichi secondo il sistema di riferimento locale dell'asta;
 in : valore del carico distribuito relativo al nodo iniziale come da paragrafo "Caratteristiche delle aste";
 fin : valore del carico distribuito relativo al nodo finale come da paragrafo "Caratteristiche delle aste".

Asta	Imp.	Fili	C.C.	DLoc X [daN/m]		DLoc Y [daN/m]		DLoc Z [daN/m]		Mom. Torcente [daNm/m]	
				in.	fin.	in.	fin.	in.	fin.	in.	fin.
1	Piano 1	1, 2	Vento (+Y)	7.08	7.08	0.00	0.00	-142.82	-142.82	0.00	0.00
			Vento (-Y)	-7.08	-7.08	0.00	0.00	142.82	142.82	0.00	0.00
2	Piano 1	2, 3	Vento (+Y)	7.08	7.08	0.00	0.00	-142.82	-142.82	0.00	0.00
			Vento (-Y)	-7.08	-7.08	0.00	0.00	142.82	142.82	0.00	0.00
4	Piano 1	4, 5	Vento (+Y)	7.08	7.08	0.00	0.00	-142.82	-142.82	0.00	0.00
			Vento (-Y)	-7.08	-7.08	0.00	0.00	142.82	142.82	0.00	0.00
5	Piano 1	5, 6	Vento (+Y)	7.08	7.08	0.00	0.00	-142.82	-142.82	0.00	0.00
			Vento (-Y)	-7.08	-7.08	0.00	0.00	142.82	142.82	0.00	0.00
7	Piano 1	7, 8	Vento (+Y)	7.08	7.08	0.00	0.00	-142.82	-142.82	0.00	0.00
			Vento (-Y)	-7.08	-7.08	0.00	0.00	142.82	142.82	0.00	0.00
8	Piano 1	8, 9	Vento (+Y)	7.08	7.08	0.00	0.00	-142.82	-142.82	0.00	0.00
			Vento (-Y)	-7.08	-7.08	0.00	0.00	142.82	142.82	0.00	0.00
10	Piano 1	10, 11	Vento (+Y)	7.08	7.08	0.00	0.00	-142.82	-142.82	0.00	0.00
			Vento (-Y)	-7.08	-7.08	0.00	0.00	142.82	142.82	0.00	0.00
11	Piano 1	11, 12	Vento (+Y)	7.08	7.08	0.00	0.00	-142.82	-142.82	0.00	0.00
			Vento (-Y)	-7.08	-7.08	0.00	0.00	142.82	142.82	0.00	0.00
13	Piano 1	13, 14	Vento (+Y)	7.08	7.08	0.00	0.00	-142.82	-142.82	0.00	0.00
			Vento (-Y)	-7.08	-7.08	0.00	0.00	142.82	142.82	0.00	0.00
14	Piano 1	14, 15	Vento (+Y)	7.08	7.08	0.00	0.00	-142.82	-142.82	0.00	0.00
			Vento (-Y)	-7.08	-7.08	0.00	0.00	142.82	142.82	0.00	0.00
16	Piano 1	16, 17	Vento (+Y)	7.08	7.08	0.00	0.00	-142.82	-142.82	0.00	0.00
			Vento (-Y)	-7.08	-7.08	0.00	0.00	142.82	142.82	0.00	0.00
17	Piano 1	17, 18	Vento (+Y)	7.08	7.08	0.00	0.00	-142.82	-142.82	0.00	0.00
			Vento (-Y)	-7.08	-7.08	0.00	0.00	142.82	142.82	0.00	0.00
19	Piano 1	19, 20	Vento (+Y)	7.08	7.08	0.00	0.00	-142.82	-142.82	0.00	0.00
			Vento (-Y)	-7.08	-7.08	0.00	0.00	142.82	142.82	0.00	0.00
20	Piano 1	20, 21	Vento (+Y)	7.08	7.08	0.00	0.00	-142.82	-142.82	0.00	0.00
			Vento (-Y)	-7.08	-7.08	0.00	0.00	142.82	142.82	0.00	0.00
22	Piano 1	22, 23	Vento (+Y)	7.08	7.08	0.00	0.00	-142.82	-142.82	0.00	0.00
			Vento (-Y)	-7.08	-7.08	0.00	0.00	142.82	142.82	0.00	0.00
23	Piano 1	23, 24	Vento (+Y)	7.08	7.08	0.00	0.00	-142.82	-142.82	0.00	0.00
			Vento (-Y)	-7.08	-7.08	0.00	0.00	142.82	142.82	0.00	0.00
25	Piano 1	25, 26	Vento (+Y)	7.08	7.08	0.00	0.00	-142.82	-142.82	0.00	0.00
			Vento (-Y)	-7.08	-7.08	0.00	0.00	142.82	142.82	0.00	0.00
26	Piano 1	26, 27	Vento (+Y)	7.08	7.08	0.00	0.00	-142.82	-142.82	0.00	0.00
			Vento (-Y)	-7.08	-7.08	0.00	0.00	142.82	142.82	0.00	0.00
28	Piano 1	28, 29	Vento (+Y)	7.08	7.08	0.00	0.00	-142.82	-142.82	0.00	0.00
			Vento (-Y)	-7.08	-7.08	0.00	0.00	142.82	142.82	0.00	0.00
29	Piano 1	29, 30	Vento (+Y)	7.08	7.08	0.00	0.00	-142.82	-142.82	0.00	0.00
			Vento (-Y)	-7.08	-7.08	0.00	0.00	142.82	142.82	0.00	0.00

67	Piano 1	67, 68	Vento (+Y)	7.08	7.08	0.00	0.00	-142.82	-142.82	0.00	0.00
			Vento (-Y)	-7.08	-7.08	0.00	0.00	142.82	142.82	0.00	0.00
68	Piano 1	68, 69	Vento (+Y)	7.08	7.08	0.00	0.00	-142.82	-142.82	0.00	0.00
			Vento (-Y)	-7.08	-7.08	0.00	0.00	142.82	142.82	0.00	0.00
70	Piano 1	70, 71	Vento (+Y)	7.08	7.08	0.00	0.00	-142.82	-142.82	0.00	0.00
			Vento (-Y)	-7.08	-7.08	0.00	0.00	142.82	142.82	0.00	0.00
71	Piano 1	71, 72	Vento (+Y)	7.08	7.08	0.00	0.00	-142.82	-142.82	0.00	0.00
			Vento (-Y)	-7.08	-7.08	0.00	0.00	142.82	142.82	0.00	0.00
73	Piano 1	73, 74	Vento (+Y)	7.08	7.08	0.00	0.00	-142.82	-142.82	0.00	0.00
			Vento (-Y)	-7.08	-7.08	0.00	0.00	142.82	142.82	0.00	0.00
74	Piano 1	74, 75	Vento (+Y)	7.08	7.08	0.00	0.00	-142.82	-142.82	0.00	0.00
			Vento (-Y)	-7.08	-7.08	0.00	0.00	142.82	142.82	0.00	0.00
76	Piano 1	76, 77	Vento (+Y)	7.08	7.08	0.00	0.00	-142.82	-142.82	0.00	0.00
			Vento (-Y)	-7.08	-7.08	0.00	0.00	142.82	142.82	0.00	0.00
77	Piano 1	77, 78	Vento (+Y)	7.08	7.08	0.00	0.00	-142.82	-142.82	0.00	0.00
			Vento (-Y)	-7.08	-7.08	0.00	0.00	142.82	142.82	0.00	0.00
79	Piano 1	79, 80	Vento (+Y)	7.08	7.08	0.00	0.00	-142.82	-142.82	0.00	0.00
			Vento (-Y)	-7.08	-7.08	0.00	0.00	142.82	142.82	0.00	0.00
80	Piano 1	80, 81	Vento (+Y)	7.08	7.08	0.00	0.00	-142.82	-142.82	0.00	0.00
			Vento (-Y)	-7.08	-7.08	0.00	0.00	142.82	142.82	0.00	0.00
82	Piano 1	82, 83	Vento (+Y)	7.08	7.08	0.00	0.00	-142.82	-142.82	0.00	0.00
			Vento (-Y)	-7.08	-7.08	0.00	0.00	142.82	142.82	0.00	0.00
83	Piano 1	83, 84	Vento (+Y)	7.08	7.08	0.00	0.00	-142.82	-142.82	0.00	0.00
			Vento (-Y)	-7.08	-7.08	0.00	0.00	142.82	142.82	0.00	0.00
85	Piano 1	85, 86	Vento (+Y)	7.08	7.08	0.00	0.00	-142.82	-142.82	0.00	0.00
			Vento (-Y)	-7.08	-7.08	0.00	0.00	142.82	142.82	0.00	0.00
86	Piano 1	86, 87	Vento (+Y)	7.08	7.08	0.00	0.00	-142.82	-142.82	0.00	0.00
			Vento (-Y)	-7.08	-7.08	0.00	0.00	142.82	142.82	0.00	0.00

Carichi Globali Aste

- Asta : numero dell'asta come da paragrafo "Caratteristiche delle aste";
 Imp. : impalcato al quale appartiene l'asta;
 Fili : fili fissi ai quali appartiene l'asta;
 C.C. : condizione di carico come da paragrafo "Condizioni di carico valutate";
 DGlob : direzione dei carichi secondo il sistema di riferimento globale dell'asta;
 in : valore del carico distribuito relativo al nodo iniziale come da paragrafo "Caratteristiche delle aste";
 fin : valore del carico distribuito relativo al nodo finale come da paragrafo "Caratteristiche delle aste".

Asta	Imp.	Fili	C.C.	DGlob X [daN/m]		DGlob Y [daN/m]		DGlob Z [daN/m]	
				in.	fin.	in.	fin.	in.	fin.
1	Piano 1	1, 2	Car. Perm. G1	0.00	0.00	0.00	0.00	-5.89	-5.89
				G2p	0.00	0.00	0.00	0.00	-13.00
2	Piano 1	2, 3	Car. Perm. G1	0.00	0.00	0.00	0.00	-5.89	-5.89
				G2p	0.00	0.00	0.00	0.00	-13.00
3	Piano 1	2, 5	Car. Perm. G1	0.00	0.00	0.00	0.00	-44.39	-44.39
4	Piano 1	4, 5	Car. Perm. G1	0.00	0.00	0.00	0.00	-5.89	-5.89
				G2p	0.00	0.00	0.00	0.00	-13.00
5	Piano 1	5, 6	Car. Perm. G1	0.00	0.00	0.00	0.00	-5.89	-5.89
				G2p	0.00	0.00	0.00	0.00	-13.00
6	Piano 1	5, 8	Car. Perm. G1	0.00	0.00	0.00	0.00	-44.39	-44.39
7	Piano 1	7, 8	Car. Perm. G1	0.00	0.00	0.00	0.00	-5.89	-5.89
				G2p	0.00	0.00	0.00	0.00	-13.00
8	Piano 1	8, 9	Car. Perm. G1	0.00	0.00	0.00	0.00	-5.89	-5.89
				G2p	0.00	0.00	0.00	0.00	-13.00
9	Piano 1	8, 11	Car. Perm. G1	0.00	0.00	0.00	0.00	-44.39	-44.39
10	Piano 1	10, 11	Car. Perm. G1	0.00	0.00	0.00	0.00	-5.89	-5.89

			G2p	0.00	0.00	0.00	0.00	-13.00	-13.00
11	Piano 1	11, 12	Car. Perm. G1	0.00	0.00	0.00	0.00	-5.89	-5.89
			G2p	0.00	0.00	0.00	0.00	-13.00	-13.00
12	Piano 1	11, 14	Car. Perm. G1	0.00	0.00	0.00	0.00	-44.39	-44.39
13	Piano 1	13, 14	Car. Perm. G1	0.00	0.00	0.00	0.00	-5.89	-5.89
			G2p	0.00	0.00	0.00	0.00	-13.00	-13.00
14	Piano 1	14, 15	Car. Perm. G1	0.00	0.00	0.00	0.00	-5.89	-5.89
			G2p	0.00	0.00	0.00	0.00	-13.00	-13.00
15	Piano 1	14, 17	Car. Perm. G1	0.00	0.00	0.00	0.00	-44.39	-44.39
16	Piano 1	16, 17	Car. Perm. G1	0.00	0.00	0.00	0.00	-5.89	-5.89
			G2p	0.00	0.00	0.00	0.00	-13.00	-13.00
17	Piano 1	17, 18	Car. Perm. G1	0.00	0.00	0.00	0.00	-5.89	-5.89
			G2p	0.00	0.00	0.00	0.00	-13.00	-13.00
18	Piano 1	17, 20	Car. Perm. G1	0.00	0.00	0.00	0.00	-44.39	-44.39
19	Piano 1	19, 20	Car. Perm. G1	0.00	0.00	0.00	0.00	-5.89	-5.89
			G2p	0.00	0.00	0.00	0.00	-13.00	-13.00
20	Piano 1	20, 21	Car. Perm. G1	0.00	0.00	0.00	0.00	-5.89	-5.89
			G2p	0.00	0.00	0.00	0.00	-13.00	-13.00
21	Piano 1	20, 23	Car. Perm. G1	0.00	0.00	0.00	0.00	-44.39	-44.39
22	Piano 1	22, 23	Car. Perm. G1	0.00	0.00	0.00	0.00	-5.89	-5.89
			G2p	0.00	0.00	0.00	0.00	-13.00	-13.00
23	Piano 1	23, 24	Car. Perm. G1	0.00	0.00	0.00	0.00	-5.89	-5.89
			G2p	0.00	0.00	0.00	0.00	-13.00	-13.00
24	Piano 1	23, 26	Car. Perm. G1	0.00	0.00	0.00	0.00	-44.39	-44.39
25	Piano 1	25, 26	Car. Perm. G1	0.00	0.00	0.00	0.00	-5.89	-5.89
			G2p	0.00	0.00	0.00	0.00	-13.00	-13.00
26	Piano 1	26, 27	Car. Perm. G1	0.00	0.00	0.00	0.00	-5.89	-5.89
			G2p	0.00	0.00	0.00	0.00	-13.00	-13.00
27	Piano 1	26, 29	Car. Perm. G1	0.00	0.00	0.00	0.00	-44.39	-44.39
28	Piano 1	28, 29	Car. Perm. G1	0.00	0.00	0.00	0.00	-5.89	-5.89
			G2p	0.00	0.00	0.00	0.00	-13.00	-13.00
29	Piano 1	29, 30	Car. Perm. G1	0.00	0.00	0.00	0.00	-5.89	-5.89
			G2p	0.00	0.00	0.00	0.00	-13.00	-13.00
30	Piano 1	29, 32	Car. Perm. G1	0.00	0.00	0.00	0.00	-44.39	-44.39
31	Piano 1	31, 32	Car. Perm. G1	0.00	0.00	0.00	0.00	-5.89	-5.89
			G2p	0.00	0.00	0.00	0.00	-13.00	-13.00
32	Piano 1	32, 33	Car. Perm. G1	0.00	0.00	0.00	0.00	-5.89	-5.89
			G2p	0.00	0.00	0.00	0.00	-13.00	-13.00
33	Piano 1	32, 35	Car. Perm. G1	0.00	0.00	0.00	0.00	-44.39	-44.39
34	Piano 1	34, 35	Car. Perm. G1	0.00	0.00	0.00	0.00	-5.89	-5.89
			G2p	0.00	0.00	0.00	0.00	-13.00	-13.00
35	Piano 1	35, 36	Car. Perm. G1	0.00	0.00	0.00	0.00	-5.89	-5.89
			G2p	0.00	0.00	0.00	0.00	-13.00	-13.00
36	Piano 1	35, 38	Car. Perm. G1	0.00	0.00	0.00	0.00	-44.39	-44.39
37	Piano 1	37, 38	Car. Perm. G1	0.00	0.00	0.00	0.00	-5.89	-5.89
			G2p	0.00	0.00	0.00	0.00	-13.00	-13.00
38	Piano 1	38, 39	Car. Perm. G1	0.00	0.00	0.00	0.00	-5.89	-5.89
			G2p	0.00	0.00	0.00	0.00	-13.00	-13.00
39	Piano 1	38, 41	Car. Perm. G1	0.00	0.00	0.00	0.00	-44.39	-44.39
40	Piano 1	40, 41	Car. Perm. G1	0.00	0.00	0.00	0.00	-5.89	-5.89
			G2p	0.00	0.00	0.00	0.00	-13.00	-13.00
41	Piano 1	41, 42	Car. Perm. G1	0.00	0.00	0.00	0.00	-5.89	-5.89
			G2p	0.00	0.00	0.00	0.00	-13.00	-13.00
42	Piano 1	41, 44	Car. Perm. G1	0.00	0.00	0.00	0.00	-44.39	-44.39
43	Piano 1	43, 44	Car. Perm. G1	0.00	0.00	0.00	0.00	-5.89	-5.89
			G2p	0.00	0.00	0.00	0.00	-13.00	-13.00
44	Piano 1	44, 45	Car. Perm. G1	0.00	0.00	0.00	0.00	-5.89	-5.89
			G2p	0.00	0.00	0.00	0.00	-13.00	-13.00
45	Piano 1	44, 47	Car. Perm. G1	0.00	0.00	0.00	0.00	-44.39	-44.39
46	Piano 1	46, 47	Car. Perm. G1	0.00	0.00	0.00	0.00	-5.89	-5.89
			G2p	0.00	0.00	0.00	0.00	-13.00	-13.00
47	Piano 1	47, 48	Car. Perm. G1	0.00	0.00	0.00	0.00	-5.89	-5.89
			G2p	0.00	0.00	0.00	0.00	-13.00	-13.00
48	Piano 1	47, 50	Car. Perm. G1	0.00	0.00	0.00	0.00	-44.39	-44.39
49	Piano 1	49, 50	Car. Perm. G1	0.00	0.00	0.00	0.00	-5.89	-5.89
			G2p	0.00	0.00	0.00	0.00	-13.00	-13.00
50	Piano 1	50, 51	Car. Perm. G1	0.00	0.00	0.00	0.00	-5.89	-5.89
			G2p	0.00	0.00	0.00	0.00	-13.00	-13.00
51	Piano 1	50, 53	Car. Perm. G1	0.00	0.00	0.00	0.00	-44.39	-44.39
52	Piano 1	52, 53	Car. Perm. G1	0.00	0.00	0.00	0.00	-5.89	-5.89
			G2p	0.00	0.00	0.00	0.00	-13.00	-13.00
53	Piano 1	53, 54	Car. Perm. G1	0.00	0.00	0.00	0.00	-5.89	-5.89

			G2p	0.00	0.00	0.00	0.00	-13.00	-13.00
54	Piano 1	53, 56	Car. Perm. G1	0.00	0.00	0.00	0.00	-44.39	-44.39
55	Piano 1	55, 56	Car. Perm. G1	0.00	0.00	0.00	0.00	-5.89	-5.89
			G2p	0.00	0.00	0.00	0.00	-13.00	-13.00
56	Piano 1	56, 57	Car. Perm. G1	0.00	0.00	0.00	0.00	-5.89	-5.89
			G2p	0.00	0.00	0.00	0.00	-13.00	-13.00
57	Piano 1	56, 59	Car. Perm. G1	0.00	0.00	0.00	0.00	-44.39	-44.39
58	Piano 1	58, 59	Car. Perm. G1	0.00	0.00	0.00	0.00	-5.89	-5.89
			G2p	0.00	0.00	0.00	0.00	-13.00	-13.00
59	Piano 1	59, 60	Car. Perm. G1	0.00	0.00	0.00	0.00	-5.89	-5.89
			G2p	0.00	0.00	0.00	0.00	-13.00	-13.00
60	Piano 1	59, 62	Car. Perm. G1	0.00	0.00	0.00	0.00	-44.39	-44.39
61	Piano 1	61, 62	Car. Perm. G1	0.00	0.00	0.00	0.00	-5.89	-5.89
			G2p	0.00	0.00	0.00	0.00	-13.00	-13.00
62	Piano 1	62, 63	Car. Perm. G1	0.00	0.00	0.00	0.00	-5.89	-5.89
			G2p	0.00	0.00	0.00	0.00	-13.00	-13.00
63	Piano 1	62, 65	Car. Perm. G1	0.00	0.00	0.00	0.00	-44.39	-44.39
64	Piano 1	64, 65	Car. Perm. G1	0.00	0.00	0.00	0.00	-5.89	-5.89
			G2p	0.00	0.00	0.00	0.00	-13.00	-13.00
65	Piano 1	65, 66	Car. Perm. G1	0.00	0.00	0.00	0.00	-5.89	-5.89
			G2p	0.00	0.00	0.00	0.00	-13.00	-13.00
66	Piano 1	65, 68	Car. Perm. G1	0.00	0.00	0.00	0.00	-44.39	-44.39
67	Piano 1	67, 68	Car. Perm. G1	0.00	0.00	0.00	0.00	-5.89	-5.89
			G2p	0.00	0.00	0.00	0.00	-13.00	-13.00
68	Piano 1	68, 69	Car. Perm. G1	0.00	0.00	0.00	0.00	-5.89	-5.89
			G2p	0.00	0.00	0.00	0.00	-13.00	-13.00
69	Piano 1	68, 71	Car. Perm. G1	0.00	0.00	0.00	0.00	-44.39	-44.39
70	Piano 1	70, 71	Car. Perm. G1	0.00	0.00	0.00	0.00	-5.89	-5.89
			G2p	0.00	0.00	0.00	0.00	-13.00	-13.00
71	Piano 1	71, 72	Car. Perm. G1	0.00	0.00	0.00	0.00	-5.89	-5.89
			G2p	0.00	0.00	0.00	0.00	-13.00	-13.00
72	Piano 1	71, 74	Car. Perm. G1	0.00	0.00	0.00	0.00	-44.39	-44.39
73	Piano 1	73, 74	Car. Perm. G1	0.00	0.00	0.00	0.00	-5.89	-5.89
			G2p	0.00	0.00	0.00	0.00	-13.00	-13.00
74	Piano 1	74, 75	Car. Perm. G1	0.00	0.00	0.00	0.00	-5.89	-5.89
			G2p	0.00	0.00	0.00	0.00	-13.00	-13.00
75	Piano 1	74, 77	Car. Perm. G1	0.00	0.00	0.00	0.00	-44.39	-44.39
76	Piano 1	76, 77	Car. Perm. G1	0.00	0.00	0.00	0.00	-5.89	-5.89
			G2p	0.00	0.00	0.00	0.00	-13.00	-13.00
77	Piano 1	77, 78	Car. Perm. G1	0.00	0.00	0.00	0.00	-5.89	-5.89
			G2p	0.00	0.00	0.00	0.00	-13.00	-13.00
78	Piano 1	77, 80	Car. Perm. G1	0.00	0.00	0.00	0.00	-44.39	-44.39
79	Piano 1	79, 80	Car. Perm. G1	0.00	0.00	0.00	0.00	-5.89	-5.89
			G2p	0.00	0.00	0.00	0.00	-13.00	-13.00
80	Piano 1	80, 81	Car. Perm. G1	0.00	0.00	0.00	0.00	-5.89	-5.89
			G2p	0.00	0.00	0.00	0.00	-13.00	-13.00
81	Piano 1	80, 83	Car. Perm. G1	0.00	0.00	0.00	0.00	-44.39	-44.39
82	Piano 1	82, 83	Car. Perm. G1	0.00	0.00	0.00	0.00	-5.89	-5.89
			G2p	0.00	0.00	0.00	0.00	-13.00	-13.00
83	Piano 1	83, 84	Car. Perm. G1	0.00	0.00	0.00	0.00	-5.89	-5.89
			G2p	0.00	0.00	0.00	0.00	-13.00	-13.00
84	Piano 1	83, 86	Car. Perm. G1	0.00	0.00	0.00	0.00	-44.39	-44.39
85	Piano 1	85, 86	Car. Perm. G1	0.00	0.00	0.00	0.00	-5.89	-5.89
			G2p	0.00	0.00	0.00	0.00	-13.00	-13.00
86	Piano 1	86, 87	Car. Perm. G1	0.00	0.00	0.00	0.00	-5.89	-5.89
			G2p	0.00	0.00	0.00	0.00	-13.00	-13.00
87	Piano 1	5	Car. Perm. G1	0.00	0.00	0.00	0.00	-60.33	-60.33
88	Piano 1	23	Car. Perm. G1	0.00	0.00	0.00	0.00	-60.33	-60.33
			carichi conc	0.00	0.00	-1380.00	-1380.00	0.00	0.00
89	Piano 1	38	Car. Perm. G1	0.00	0.00	0.00	0.00	-60.33	-60.33
90	Piano 1	50	Car. Perm. G1	0.00	0.00	0.00	0.00	-60.33	-60.33
91	Piano 1	65	Car. Perm. G1	0.00	0.00	0.00	0.00	-60.33	-60.33
			carichi conc	0.00	0.00	-1380.00	-1380.00	0.00	0.00
92	Piano 1	83	Car. Perm. G1	0.00	0.00	0.00	0.00	-60.33	-60.33

- Mom. res. plastico Z (A.P.I.) : 9211.4 daNm
- Fattore di sicurezza : **2.319**

VERIFICA DI STABILITA' A COMPRESSIONE. (ESITO POSITIVO)

AZIONI DI PROGETTO								
Comb. più gravosa	Sez.	N [daN]	Ty [daN]	Tz [daN]	My [daNm]	Mz [daNm]	Mt [danM]	Incr. Az.
Comb 29 [SLV] [ST]	7	-2789	755	2686	6821	-624	-9	NO

PIANO A.P.I. XY.

- Beta β : 0.7
- Lungh. libera inflessione l_0 : 1774.5 mm
- Snellezza λ : 29.6
- Capacità portante $N_{b,Rd}$: 1868.5 KN
- Fattore di sicurezza : **66.99**

PIANO A.P.I. XZ.

- Beta β : 0.7
- Lungh. libera inflessione l_0 : 1774.5 mm
- Snellezza λ : 17.7
- Capacità portante $N_{b,Rd}$: 2010.3 KN
- Fattore di sicurezza : **72.069**

VERIFICA DI STABILITA' PRESSO-FLESSIONALE.

D.M.17/01/2018 - §4.2.4.1.3.3 ; UNI EN 1993-1-1:2005 - §6.3.3

- | | | | |
|------------------------|----------------|------|---------------|
| Kyy | : 0.59 | Kyz | : 0.35 |
| Kzy | : 0.36 | Kzz | : 0.59 |
| Cmy | : 0.60 | Cmz | : 0.41 |
| NRk | : 211337.0 daN | | |
| MyRk | : 20480.9 daNm | MzRk | : 9672.0 daNm |
| χ_{LT} | : 1.00 | | |
| S1 | : 0.2455 | S2 | : 0.1794 |
| · Fattore di sicurezza | : 4.074 | | |

VERIFICA DI STABILITA' DEI PANNELLI.

D.M.17/01/2018 - §4.2.4.1.3.4

- | | |
|---|------------------------------|
| Tratto Critico N°. | : 1 [Sez.In. 1 - Sez.Fin. 7] |
| Pannello Critico N. | : 1 |
| Pannello Critico | : NON IRRIGIDITO.) |
| Larghezza Pannello | : 2535 mm |
| Pannello Irrigidito - Altezza h_w | : 230 mm |
| Pannello Individuale Critico - Altezza h_w | : 230 mm |
| t | : 7.5 mm |
| Trattandosi, nel caso specifico, di pannello NON irrigidito il rapporto h_w/t | : 30.7 |
| risulta minore del rapporto $72\varepsilon/\eta$ | : 55.5 |

E dunque il pannello non deve essere sottoposto a verifica.

Pilastro - IMP. : Piano 1 - Filo 23 - [Asta 88] : HEA240

Sezione HEA240. Acciaio S275

-ESITO VERIFICHE POSITIVO-

VERIFICHE DI RESISTENZA. (ESITO POSITIVO)

AZIONI DI PROGETTO								
Comb. più gravosa	Sez.	N [daN]	Ty [daN]	Tz [daN]	My [daNm]	Mz [daNm]	Mt [danM]	Incr. Az.
Comb 27 [SLV] [ST]	7	-23002	127	-7452	-14151	-109	-4	NO

- TIPO VERIFICA : PRESSOFLESSIONE
- Classe sezione : 1
- Resistenza assiale plastica : 201273.3 daN

- Mom. res. plastico Y (A.P.I.) : 19505.6 daNm
- Mom. res. plastico Z (A.P.I.) : 9211.4 daNm
- Fattore di sicurezza : **1.174**

VERIFICA DI STABILITA' A COMPRESSIONE. (ESITO POSITIVO)

AZIONI DI PROGETTO								
Comb. più gravosa	Sez.	N [daN]	Ty [daN]	Tz [daN]	My [daNm]	Mz [daNm]	Mt [danM]	Incr. Az.
Comb 27 [SLV] [ST]	7	-23002	127	-7452	-14151	-109	-4	NO

PIANO A.P.I. XY.

- Beta β : 0.7
- Lungh. libera inflessione l_0 : 1774.5 mm
- Snellezza λ : 29.6
- Capacità portante $N_{b,Rd}$: 1868.5 KN
- Fattore di sicurezza : **8.12**

PIANO A.P.I. XZ.

- Beta β : 0.7
- Lungh. libera inflessione l_0 : 1774.5 mm
- Snellezza λ : 17.7
- Capacità portante $N_{b,Rd}$: 2010.3 KN
- Fattore di sicurezza : **8.740**

VERIFICA DI STABILITA' PRESSO-FLESSIONALE.

D.M.17/01/2018 - §4.2.4.1.3.3 ; UNI EN 1993-1-1:2005 - §6.3.3

- | | | | |
|------------------------|----------------|------|---------------|
| Kyy | : 0.48 | Kyz | : 0.26 |
| Kzy | : 0.29 | Kzz | : 0.44 |
| Cmy | : 0.53 | Cmz | : 0.40 |
| NRk | : 211337.0 daN | | |
| MyRk | : 20480.9 daNm | MzRk | : 9672.0 daNm |
| χ_{LT} | : 1.00 | | |
| S1 | : 0.4659 | S2 | : 0.3373 |
| · Fattore di sicurezza | : 2.146 | | |

VERIFICA DI STABILITA' DEI PANNELLI.

D.M.17/01/2018 - §4.2.4.1.3.4

- | | |
|---|------------------------------|
| Tratto Critico N°. | : 1 [Sez.In. 1 - Sez.Fin. 7] |
| Pannello Critico N. | : 1 |
| Pannello Critico | : NON IRRIGIDITO.) |
| Larghezza Pannello | : 2535 mm |
| Pannello Irrigidito - Altezza h_w | : 230 mm |
| Pannello Individuale Critico - Altezza h_w | : 230 mm |
| t | : 7.5 mm |
| Trattandosi, nel caso specifico, di pannello NON irrigidito il rapporto h_w/t | : 30.7 |
| risulta minore del rapporto $72\varepsilon/\eta$ | : 55.5 |

E dunque il pannello non deve essere sottoposto a verifica.

Pilastro - IMP. : Piano 1 - Filo 38 - [Asta 89] : HEA240

Sezione HEA240. Acciaio S275

-ESITO VERIFICHE POSITIVO-

VERIFICHE DI RESISTENZA. (ESITO POSITIVO)

AZIONI DI PROGETTO								
Comb. più gravosa	Sez.	N [daN]	Ty [daN]	Tz [daN]	My [daNm]	Mz [daNm]	Mt [danM]	Incr. Az.
Comb 29 [SLV] [ST]	7	-2809	-212	2681	6810	180	0	NO

- TIPO VERIFICA : PRESSOFLESSIONE
- Classe sezione : 1

- Resistenza assiale plastica : 201273.3 daN
- Mom. res. plastico Y (A.P.I.) : 19505.6 daNm
- Mom. res. plastico Z (A.P.I.) : 9211.4 daNm
- Fattore di sicurezza : **2.613**

VERIFICA DI STABILITA' A COMPRESSIONE. (ESITO POSITIVO)

L'asta in oggetto non risulta interessata da azioni esterne destabilizzanti di rilievo a carico di punta.

VERIFICA DI STABILITA' PRESSO-FLESSIONALE.

D.M.17/01/2018 - §4.2.4.1.3.3 ; UNI EN 1993-1-1:2005 - §6.3.3

Kyy	: 0.61	Kyz	: 0.37
Kzy	: 0.37	Kzz	: 0.61
Cmy	: 0.61	cmz	: 0.40
NRk	: 211337.0 daN		
MyRk	: 20480.9 daNm	MzRk	: 9672.0 daNm
χ_{LT}	: 1.00		
S1	: 0.2290	S2	: 0.1422
· Fattore di sicurezza	: 4.366		

VERIFICA DI STABILITA' DEI PANNELLI.

D.M.17/01/2018 - §4.2.4.1.3.4

Tratto Critico N°.	: 1 [Sez.In. 1 - Sez.Fin. 7]
Pannello Critico N.	: 1
Pannello Critico	: NON IRRIGIDITO.)
Larghezza Pannello	: 2535 mm
Pannello Irrigidito - Altezza h_w	: 230 mm
Pannello Individuale Critico - Altezza h_w	: 230 mm
t	: 7.5 mm
Trattandosi, nel caso specifico, di pannello NON irrigidito il rapporto h_w/t	: 30.7
risulta minore del rapporto $72\varepsilon/\eta$: 55.5

E dunque il pannello non deve essere sottoposto a verifica.

Pilastro - IMP. : Piano 1 - Filo 50 - [Asta 90] : HEA240

Sezione HEA240. Acciaio S275

-ESITO VERIFICHE POSITIVO-

VERIFICHE DI RESISTENZA. (ESITO POSITIVO)

AZIONI DI PROGETTO								
Comb. più gravosa	Sez.	N [daN]	Ty [daN]	Tz [daN]	My [daNm]	Mz [daNm]	Mt [danM]	Incr. Az.
Comb 29 [SLV] [ST]	7	-2809	212	2681	6810	-180	0	NO

TIPO VERIFICA	: PRESSOFLESSIONE
Classe sezione	: 1
· Resistenza assiale plastica	: 201273.3 daN
· Mom. res. plastico Y (A.P.I.)	: 19505.6 daNm
· Mom. res. plastico Z (A.P.I.)	: 9211.4 daNm
· Fattore di sicurezza	: 2.613

VERIFICA DI STABILITA' A COMPRESSIONE. (ESITO POSITIVO)

L'asta in oggetto non risulta interessata da azioni esterne destabilizzanti di rilievo a carico di punta.

VERIFICA DI STABILITA' PRESSO-FLESSIONALE.
D.M.17/01/2018 - §4.2.4.1.3.3 ; UNI EN 1993-1-1:2005 - §6.3.3

Kyy	: 0.61	Kyz	: 0.37
Kzy	: 0.37	Kzz	: 0.61
Cmy	: 0.61	Cmz	: 0.40
NRk	: 211337.0 daN		
MyRk	: 20480.9 daNm	MzRk	: 9672.0 daNm
χ_{LT}	: 1.00		
S1	: 0.2290	S2	: 0.1422
· Fattore di sicurezza	: 4.366		

VERIFICA DI STABILITA' DEI PANNELLI.

D.M.17/01/2018 - §4.2.4.1.3.4

Tratto Critico N°.	: 1 [Sez.In. 1 - Sez.Fin. 7]
Pannello Critico N.	: 1
Pannello Critico	: NON IRRIGIDITO.)
Larghezza Pannello	: 2535 mm
Pannello Irrigidito - Altezza h _w	: 230 mm
Pannello Individuale Critico - Altezza h _w	: 230 mm
t	: 7.5 mm
Trattandosi, nel caso specifico, di pannello NON irrigidito il rapporto hw/t	: 30.7

risulta minore del rapporto

72ε/η	: 55.5
-------	--------

E dunque il pannello non deve essere sottoposto a verifica.

Pilastro - IMP. : Piano 1 - Filo 65 - [Asta 91] : HEA240

Sezione HEA240. Acciaio S275

-ESITO VERIFICHE POSITIVO-

VERIFICHE DI RESISTENZA. (ESITO POSITIVO)

AZIONI DI PROGETTO								
Comb. più gravosa	Sez.	N [daN]	Ty [daN]	Tz [daN]	My [daNm]	Mz [daNm]	Mt [danM]	Incr. Az.
Comb 27 [SLV] [ST]	7	-23002	-127	-7452	-14151	109	4	NO

TIPO VERIFICA : PRESSOFLESSIONE

Classe sezione	: 1
· Resistenza assiale plastica	: 201273.3 daN
· Mom. res. plastico Y (A.P.I.)	: 19505.6 daNm
· Mom. res. plastico Z (A.P.I.)	: 9211.4 daNm
· Fattore di sicurezza	: 1.174

VERIFICA DI STABILITA' A COMPRESSIONE. (ESITO POSITIVO)

AZIONI DI PROGETTO								
Comb. più gravosa	Sez.	N [daN]	Ty [daN]	Tz [daN]	My [daNm]	Mz [daNm]	Mt [danM]	Incr. Az.
Comb 27 [SLV] [ST]	7	-23002	-127	-7452	-14151	109	4	NO

PIANO A.P.I. XY.

· Beta β	: 0.7
· Lungh. libera inflessione l ₀	: 1774.5 mm

PIANO A.P.I. XZ.

· Beta β	: 0.7
· Lungh. libera inflessione l ₀	: 1774.5 mm

· Snellezza λ	: 29.6	· Snellezza λ	: 17.7
· Capacità portante $N_{b,Rd}$: 1868.5 KN	· Capacità portante $N_{b,Rd}$: 2010.3 KN
· Fattore di sicurezza	: 8.12	· Fattore di sicurezza	: 8.740

VERIFICA DI STABILITA' PRESSO-FLESSIONALE.

D.M.17/01/2018 - §4.2.4.1.3.3 ; UNI EN 1993-1-1:2005 - §6.3.3

Kyy	: 0.48	Kyz	: 0.26
Kzy	: 0.29	Kzz	: 0.44
Cmy	: 0.53	Cmz	: 0.40
NRk	: 211337.0 daN		
MyRk	: 20480.9 daNm	MzRk	: 9672.0 daNm
χ_{LT}	: 1.00		
S1	: 0.4659	S2	: 0.3373
· Fattore di sicurezza	: 2.146		

VERIFICA DI STABILITA' DEI PANNELLI.

D.M.17/01/2018 - §4.2.4.1.3.4

Tratto Critico N°.	: 1 [Sez.In. 1 - Sez.Fin. 7]
Pannello Critico N.	: 1
Pannello Critico	: NON IRRIGIDITO.)
Larghezza Pannello	: 2535 mm
Pannello Irrigidito - Altezza h_w	: 230 mm
Pannello Individuale Critico - Altezza h_w	: 230 mm
t	: 7.5 mm
Trattandosi, nel caso specifico, di pannello NON irrigidito il rapporto hw/t	: 30.7
risulta minore del rapporto $72\varepsilon/\eta$: 55.5

E dunque il pannello non deve essere sottoposto a verifica.

Pilastro - IMP. : Piano 1 - Filo 83 - [Asta 92] : HEA240

Sezione HEA240. Acciaio S275
-ESITO VERIFICHE POSITIVO-

VERIFICHE DI RESISTENZA. (ESITO POSITIVO)

AZIONI DI PROGETTO								
Comb. più gravosa	Sez.	N [daN]	Ty [daN]	Tz [daN]	My [daNm]	Mz [daNm]	Mt [danM]	Incr. Az.
Comb 29 [SLV] [ST]	7	-2789	-755	2686	6821	624	9	NO

TIPO VERIFICA	: PRESSOFLESSIONE
Classe sezione	: 1
· Resistenza assiale plastica	: 201273.3 daN
· Mom. res. plastico Y (A.P.I.)	: 19505.6 daNm
· Mom. res. plastico Z (A.P.I.)	: 9211.4 daNm
· Fattore di sicurezza	: 2.319

VERIFICA DI STABILITA' A COMPRESSIONE. (ESITO POSITIVO)

AZIONI DI PROGETTO								
Comb. più gravosa	Sez.	N [daN]	Ty [daN]	Tz [daN]	My [daNm]	Mz [daNm]	Mt [danM]	Incr. Az.
Comb 29 [SLV] [ST]	7	-2789	-755	2686	6821	624	9	NO

PIANO A.P.I. XY.		PIANO A.P.I. XZ.	
· Beta β	: 0.7	· Beta β	: 0.7

· Lungh. libera inflessione l_0	: 1774.5 mm	· Lungh. libera inflessione l_0	: 1774.5 mm
· Snellezza λ	: 29.6	· Snellezza λ	: 17.7
· Capacità portante $N_{b,Rd}$: 1868.5 KN	· Capacità portante $N_{b,Rd}$: 2010.3 KN
· Fattore di sicurezza	: 66.99	· Fattore di sicurezza	: 72.069

VERIFICA DI STABILITA' PRESSO-FLESSIONALE.

D.M.17/01/2018 - §4.2.4.1.3.3 ; UNI EN 1993-1-1:2005 - §6.3.3

Kyy	: 0.59	Kyz	: 0.35
Kzy	: 0.36	Kzz	: 0.59
Cmy	: 0.60	Cmz	: 0.41
NRk	: 211337.0 daN		
MyRk	: 20480.9 daNm	MzRk	: 9672.0 daNm
χ_{LT}	: 1.00		
S1	: 0.2455	S2	: 0.1794
· Fattore di sicurezza	: 4.074		

VERIFICA DI STABILITA' DEI PANNELLI.

D.M.17/01/2018 - §4.2.4.1.3.4

Tratto Critico N°.	: 1 [Sez.In. 1 - Sez.Fin. 7]
Pannello Critico N.	: 1
Pannello Critico	: NON IRRIGIDITO.)
Larghezza Pannello	: 2535 mm
Pannello Irrigidito - Altezza h_w	: 230 mm
Pannello Individuale Critico - Altezza h_w	: 230 mm
t	: 7.5 mm
Trattandosi, nel caso specifico, di pannello NON irrigidito il rapporto h_w/t	: 30.7

risulta minore del rapporto

$72\varepsilon/\eta$: 55.5
----------------------	--------

E dunque il pannello non deve essere sottoposto a verifica.

Trave - IMP. : Piano 1 - Fili 1, 2 - [Asta 1] : OMG80X50X30X3.0

Sezione OMG80X50X30X3.0. Acciaio S275

-ESITO VERIFICHE POSITIVO-

VERIFICHE DI RESISTENZA. (ESITO POSITIVO)

AZIONI DI PROGETTO								
Comb. più gravosa	Sez.	N [daN]	Ty [daN]	Tz [daN]	My [daNm]	Mz [daNm]	Mt [danM]	Incr. Az.
Comb 29 [SLV] [ST]	7	61	0	410	369	0	0	NO

TIPO VERIFICA	: PRESSOFLESSIONE
Classe sezione	: 1
· Resistenza assiale plastica	: 19662.1 daN
· Mom. res. plastico Y (A.P.I.)	: 522.9 daNm
· Mom. res. plastico Z (A.P.I.)	: 482.5 daNm
· Fattore di sicurezza	: 1.411

VERIFICA DI STABILITA' A COMPRESSIONE. (ESITO POSITIVO)

L'asta in oggetto non risulta interessata da azioni esterne destabilizzanti di rilievo a carico di punta.

VERIFICA DI STABILITA' FLESSO-TORSIONALE.

D.M.17/01/2018 - §4.2.4.1.3.2

Mcr : 1683 daNm
 λ_{LT} : 0.57
 χ_{LT} : 0.89
 MbRd : 467.82 daNm
 · Fattore di sicurezza : **1.268**

VERIFICHE DI DEFORMABILITA' (ESITO POSITIVO)

Lunghezza L	: 1800 mm	Freccia Car.Acc.	: 0.00 mm
Peso Proprio Trave	: -5.9 daN/m	Freccia Car.Tot.	: -2.37 mm
Carico Variabile	: 0.0 daN/m	Freccia Max Car.Acc. L/300	: 6.00 mm
Carico Totale	: -18.9 daN/m	Freccia Max Car.Tot. L/250	: 7.20 mm
Monta iniziale	: 0.00 mm	Fattore di sicurezza	: 3.04

Trave - IMP. : Piano 1 - Fili 2, 3 - [Asta 2] : OMG80X50X30X3.0

Sezione OMG80X50X30X3.0. Acciaio S275
-ESITO VERIFICHE POSITIVO-

VERIFICHE DI RESISTENZA (ESITO POSITIVO)

AZIONI DI PROGETTO								
Comb. più gravosa	Sez.	N [daN]	Ty [daN]	Tz [daN]	My [daNm]	Mz [daNm]	Mt [danM]	Incr. Az.
Comb 29 [SLV] [ST]	1	-61	0	-410	369	0	0	NO

TIPO VERIFICA : PRESSOFLESSIONE
 Classe sezione : 1
 · Resistenza assiale plastica : 19662.1 daN
 · Mom. res. plastico Y (A.P.I.) : 522.9 daNm
 · Mom. res. plastico Z (A.P.I.) : 482.5 daNm
 · Fattore di sicurezza : **1.411**

VERIFICA DI STABILITA' A COMPRESSIONE. (ESITO POSITIVO)

L'asta in oggetto non risulta interessata da azioni esterne destabilizzanti di rilievo a carico di punta.

VERIFICA DI STABILITA' FLESSO-TORSIONALE.

D.M.17/01/2018 - §4.2.4.1.3.2

Mcr : 1683 daNm
 λ_{LT} : 0.57
 χ_{LT} : 0.89
 MbRd : 467.82 daNm
 · Fattore di sicurezza : **1.268**

VERIFICHE DI DEFORMABILITA' (ESITO POSITIVO)

Lunghezza L	: 1800 mm	Freccia Car.Acc.	: 0.00 mm
Peso Proprio Trave	: -5.9 daN/m	Freccia Car.Tot.	: -2.37 mm
Carico Variabile	: 0.0 daN/m	Freccia Max Car.Acc. L/300	: 6.00 mm
Carico Totale	: -18.9 daN/m	Freccia Max Car.Tot. L/250	: 7.20 mm
Monta iniziale	: 0.00 mm	Fattore di sicurezza	: 3.04

Trave - IMP. : Piano 1 - Fili 2, 5 - [Asta 3] : Q160x100

Sezione Q160x100. Acciaio S275
-ESITO VERIFICHE POSITIVO-

VERIFICHE DI RESISTENZA. (ESITO POSITIVO)

AZIONI DI PROGETTO								
Comb. più gravosa	Sez.	N [daN]	Ty [daN]	Tz [daN]	My [daNm]	Mz [daNm]	Mt [danM]	Incr. Az.
Comb 29 [SLV] [ST]	7	0	-188	-858	-1091	202	0	NO

TIPO VERIFICA : PRESSOFLESSIONE
 Classe sezione : 1
 · Resistenza assiale plastica : 148116.2 daN
 · Mom. res. plastico Y (A.P.I.) : 8141.4 daNm
 · Mom. res. plastico Z (A.P.I.) : 8141.4 daNm
 · Fattore di sicurezza : **6.300**

VERIFICA DI STABILITA' A COMPRESSIONE. (ESITO POSITIVO)

L'asta in oggetto non risulta interessata da azioni esterne destabilizzanti di rilievo a carico di punta.

VERIFICA DI STABILITA' FLESSO-TORSIONALE.

D.M.17/01/2018 - §4.2.4.1.3.2

Mcr : 820286 daNm
 λLT : 0.10
 χLT : 1.00
 MbRd : 8141.37 daNm
 · Fattore di sicurezza : **7.465**

VERIFICHE DI DEFORMABILITA'. (ESITO POSITIVO)

L'asta in oggetto non risulta interessata da azioni esterne capaci di innescare fenomeni deformativi di rilievo.

Trave - IMP. : Piano 1 - Fili 4, 5 - [Asta 4] : OMG80X50X30X3.0

Sezione OMG80X50X30X3.0. Acciaio S275
-ESITO VERIFICHE POSITIVO-

VERIFICHE DI RESISTENZA. (ESITO POSITIVO)

AZIONI DI PROGETTO								
Comb. più gravosa	Sez.	N [daN]	Ty [daN]	Tz [daN]	My [daNm]	Mz [daNm]	Mt [danM]	Incr. Az.
Comb 29 [SLV] [ST]	7	61	0	410	369	0	0	NO

TIPO VERIFICA : PRESSOFLESSIONE
 Classe sezione : 1
 · Resistenza assiale plastica : 19662.1 daN
 · Mom. res. plastico Y (A.P.I.) : 522.9 daNm
 · Mom. res. plastico Z (A.P.I.) : 482.5 daNm
 · Fattore di sicurezza : **1.411**

VERIFICA DI STABILITA' A COMPRESSIONE. (ESITO POSITIVO)

L'asta in oggetto non risulta interessata da azioni esterne destabilizzanti di rilievo a carico di punta.

VERIFICA DI STABILITA' FLESSO-TORSIONALE.

D.M.17/01/2018 - §4.2.4.1.3.2

Mcr : 1683 daNm
 λ_{LT} : 0.57
 χ_{LT} : 0.89
 MbRd : 467.82 daNm
 · Fattore di sicurezza : **1.268**

VERIFICHE DI DEFORMABILITA' (ESITO POSITIVO)

Lunghezza L	: 1800 mm	Freccia Car.Acc.	: 0.00 mm
Peso Proprio Trave	: -5.9 daN/m	Freccia Car.Tot.	: -2.37 mm
Carico Variabile	: 0.0 daN/m	Freccia Max Car.Acc. L/300	: 6.00 mm
Carico Totale	: -18.9 daN/m	Freccia Max Car.Tot. L/250	: 7.20 mm
Monta iniziale	: 0.00 mm	Fattore di sicurezza	: 3.04

Trave - IMP. : Piano 1 - Fili 5, 6 - [Asta 5] : OMG80X50X30X3.0

Sezione OMG80X50X30X3.0. Acciaio S275
 -ESITO VERIFICHE POSITIVO-

VERIFICHE DI RESISTENZA (ESITO POSITIVO)

AZIONI DI PROGETTO								
Comb. più gravosa	Sez.	N [daN]	Ty [daN]	Tz [daN]	My [daNm]	Mz [daNm]	Mt [danM]	Incr. Az.
Comb 29 [SLV] [ST]	1	-61	0	-410	369	0	0	NO

TIPO VERIFICA : PRESSOFLESSIONE
 Classe sezione : 1
 · Resistenza assiale plastica : 19662.1 daN
 · Mom. res. plastico Y (A.P.I.) : 522.9 daNm
 · Mom. res. plastico Z (A.P.I.) : 482.5 daNm
 · Fattore di sicurezza : **1.411**

VERIFICA DI STABILITA' A COMPRESSIONE. (ESITO POSITIVO)

L'asta in oggetto non risulta interessata da azioni esterne destabilizzanti di rilievo a carico di punta.

VERIFICA DI STABILITA' FLESSO-TORSIONALE.
 D.M.17/01/2018 - §4.2.4.1.3.2

Mcr : 1683 daNm
 λ_{LT} : 0.57
 χ_{LT} : 0.89
 MbRd : 467.82 daNm
 · Fattore di sicurezza : **1.268**

VERIFICHE DI DEFORMABILITA' (ESITO POSITIVO)

Lunghezza L	: 1800 mm	Freccia Car.Acc.	: 0.00 mm
Peso Proprio Trave	: -5.9 daN/m	Freccia Car.Tot.	: -2.37 mm
Carico Variabile	: 0.0 daN/m	Freccia Max Car.Acc. L/300	: 6.00 mm
Carico Totale	: -18.9 daN/m	Freccia Max Car.Tot. L/250	: 7.20 mm
Monta iniziale	: 0.00 mm	Fattore di sicurezza	: 3.04

Trave - IMP. : Piano 1 - Fili 5, 23 - [Asta 6,9,12,15,18,21] : Q160x100

Sezione Q160x100. Acciaio S275
-ESITO VERIFICHE POSITIVO-

VERIFICHE DI RESISTENZA. (ESITO POSITIVO)

AZIONI DI PROGETTO								
Comb. più gravosa	Sez.	N [daN]	Ty [daN]	Tz [daN]	My [daNm]	Mz [daNm]	Mt [danM]	Incr. Az.
Comb 29 [SLV] [ST]	12	-755	-413	-2382	-3451	626	11	NO

TIPO VERIFICA : PRESSOFLESSIONE
 Classe sezione : 1
 · Resistenza assiale plastica : 148116.2 daN
 · Mom. res. plastico Y (A.P.I.) : 8141.4 daNm
 · Mom. res. plastico Z (A.P.I.) : 8141.4 daNm
 · Fattore di sicurezza : **1.977**

VERIFICA DI STABILITA' A COMPRESSIONE. (ESITO POSITIVO)

L'asta in oggetto non risulta interessata da azioni esterne destabilizzanti di rilievo a carico di punta.

VERIFICA DI STABILITA' FLESSO-TORSIONALE.

D.M.17/01/2018 - §4.2.4.1.3.2

Mcr : 820286 daNm
 λ_{LT} : 0.10
 χ_{LT} : 1.00
 MbRd : 8141.37 daNm
 · Fattore di sicurezza : **2.359**

VERIFICHE DI DEFORMABILITA'. (ESITO POSITIVO)

Lunghezza L	: 7800 mm	Freccia Car.Acc.	: -11.44 mm
Peso Proprio Trave	: -44.4 daN/m	Freccia Car.Tot.	: -12.20 mm
Carico Variabile	: 0.0 daN/m	Freccia Max Car.Acc. L/300	: 26.00 mm
Carico Totale	: -44.4 daN/m	Freccia Max Car.Tot. L/250	: 31.20 mm
Monta iniziale	: 0.00 mm	Fattore di sicurezza	: 2.27

Trave - IMP. : Piano 1 - Fili 7, 8 - [Asta 7] : OMG80X50X30X3.0

Sezione OMG80X50X30X3.0. Acciaio S275
-ESITO VERIFICHE POSITIVO-

VERIFICHE DI RESISTENZA. (ESITO POSITIVO)

AZIONI DI PROGETTO								
Comb. più gravosa	Sez.	N [daN]	Ty [daN]	Tz [daN]	My [daNm]	Mz [daNm]	Mt [danM]	Incr. Az.
Comb 29 [SLV] [ST]	7	61	0	410	369	0	0	NO

TIPO VERIFICA : PRESSOFLESSIONE
 Classe sezione : 1
 · Resistenza assiale plastica : 19662.1 daN
 · Mom. res. plastico Y (A.P.I.) : 522.9 daNm
 · Mom. res. plastico Z (A.P.I.) : 482.5 daNm
 · Fattore di sicurezza : **1.411**

VERIFICA DI STABILITA' A COMPRESSIONE. (ESITO POSITIVO)

L'asta in oggetto non risulta interessata da azioni esterne destabilizzanti di rilievo a carico di punta.

VERIFICA DI STABILITA' FLESSO-TORSIONALE.

D.M.17/01/2018 - §4.2.4.1.3.2

Mcr : 1683 daNm
 λ_{LT} : 0.57
 χ_{LT} : 0.89
 MbRd : 467.82 daNm
 · Fattore di sicurezza : **1.268**

VERIFICHE DI DEFORMABILITA' (ESITO POSITIVO)

Lunghezza L	: 1800 mm	Freccia Car.Acc.	: 0.00 mm
Peso Proprio Trave	: -5.9 daN/m	Freccia Car.Tot.	: -2.37 mm
Carico Variabile	: 0.0 daN/m	Freccia Max Car.Acc. L/300	: 6.00 mm
Carico Totale	: -18.9 daN/m	Freccia Max Car.Tot. L/250	: 7.20 mm
Monta iniziale	: 0.00 mm	Fattore di sicurezza	: 3.04

Trave - IMP. : Piano 1 - Fili 8, 9 - [Asta 8] : OMG80X50X30X3.0

Sezione OMG80X50X30X3.0. Acciaio S275

-ESITO VERIFICHE POSITIVO-

VERIFICHE DI RESISTENZA. (ESITO POSITIVO)

AZIONI DI PROGETTO								
Comb. più gravosa	Sez.	N [daN]	Ty [daN]	Tz [daN]	My [daNm]	Mz [daNm]	Mt [danM]	Incr. Az.
Comb 29 [SLV] [ST]	1	-61	0	-410	369	0	0	NO

TIPO VERIFICA : PRESSOFLESSIONE
 Classe sezione : 1
 · Resistenza assiale plastica : 19662.1 daN
 · Mom. res. plastico Y (A.P.I.) : 522.9 daNm
 · Mom. res. plastico Z (A.P.I.) : 482.5 daNm
 · Fattore di sicurezza : **1.411**

VERIFICA DI STABILITA' A COMPRESSIONE. (ESITO POSITIVO)

L'asta in oggetto non risulta interessata da azioni esterne destabilizzanti di rilievo a carico di punta.

VERIFICA DI STABILITA' FLESSO-TORSIONALE.

D.M.17/01/2018 - §4.2.4.1.3.2

Mcr : 1683 daNm
 λ_{LT} : 0.57
 χ_{LT} : 0.89
 MbRd : 467.82 daNm
 · Fattore di sicurezza : **1.268**

VERIFICHE DI DEFORMABILITA' (ESITO POSITIVO)

Lunghezza L	: 1800 mm	Freccia Car.Acc.	: 0.00 mm
Peso Proprio Trave	: -5.9 daN/m	Freccia Car.Tot.	: -2.37 mm
Carico Variabile	: 0.0 daN/m	Freccia Max Car.Acc. L/300	: 6.00 mm
Carico Totale	: -18.9 daN/m	Freccia Max Car.Tot. L/250	: 7.20 mm
Monta iniziale	: 0.00 mm	Fattore di sicurezza	: 3.04

Trave - IMP. : Piano 1 - Fili 10, 11 - [Asta 10] : OMG80X50X30X3.0

Sezione OMG80X50X30X3.0. Acciaio S275

-ESITO VERIFICHE POSITIVO-

VERIFICHE DI RESISTENZA. (ESITO POSITIVO)

AZIONI DI PROGETTO								
Comb. più gravosa	Sez.	N [daN]	Ty [daN]	Tz [daN]	My [daNm]	Mz [daNm]	Mt [danM]	Incr. Az.
Comb 29 [SLV] [ST]	7	61	0	410	369	0	0	NO

TIPO VERIFICA : PRESSOFLESSIONE
 Classe sezione : 1
 · Resistenza assiale plastica : 19662.1 daN
 · Mom. res. plastico Y (A.P.I.) : 522.9 daNm
 · Mom. res. plastico Z (A.P.I.) : 482.5 daNm
 · Fattore di sicurezza : **1.411**

VERIFICA DI STABILITA' A COMPRESSIONE. (ESITO POSITIVO)

L'asta in oggetto non risulta interessata da azioni esterne destabilizzanti di rilievo a carico di punta.

VERIFICA DI STABILITA' FLESSO-TORSIONALE.

D.M.17/01/2018 - §4.2.4.1.3.2

Mcr : 1683 daNm
 λ_{LT} : 0.57
 χ_{LT} : 0.89
 MbRd : 467.82 daNm
 · Fattore di sicurezza : **1.268**

VERIFICHE DI DEFORMABILITA'. (ESITO POSITIVO)

Lunghezza L	: 1800 mm	Freccia Car.Acc.	: 0.00 mm
Peso Proprio Trave	: -5.9 daN/m	Freccia Car.Tot.	: -2.37 mm
Carico Variabile	: 0.0 daN/m	Freccia Max Car.Acc. L/300	: 6.00 mm
Carico Totale	: -18.9 daN/m	Freccia Max Car.Tot. L/250	: 7.20 mm
Monta iniziale	: 0.00 mm	Fattore di sicurezza	: 3.04

Trave - IMP. : Piano 1 - Fili 11, 12 - [Asta 11] : OMG80X50X30X3.0

Sezione OMG80X50X30X3.0. Acciaio S275

-ESITO VERIFICHE POSITIVO-

VERIFICHE DI RESISTENZA. (ESITO POSITIVO)

AZIONI DI PROGETTO								
Comb. più gravosa	Sez.	N [daN]	Ty [daN]	Tz [daN]	My [daNm]	Mz [daNm]	Mt [danM]	Incr. Az.
Comb 29 [SLV] [ST]	1	-61	0	-410	369	0	0	NO

TIPO VERIFICA : PRESSOFLESSIONE
 Classe sezione : 1
 · Resistenza assiale plastica : 19662.1 daN
 · Mom. res. plastico Y (A.P.I.) : 522.9 daNm
 · Mom. res. plastico Z (A.P.I.) : 482.5 daNm
 · Fattore di sicurezza : **1.411**

VERIFICA DI STABILITA' A COMPRESSIONE. (ESITO POSITIVO)

L'asta in oggetto non risulta interessata da azioni esterne destabilizzanti di rilievo a carico di punta.

VERIFICA DI STABILITA' FLESSO-TORSIONALE.

D.M.17/01/2018 - §4.2.4.1.3.2

Mcr : 1683 daNm
 λ_{LT} : 0.57
 χ_{LT} : 0.89
 MbRd : 467.82 daNm
 · Fattore di sicurezza : **1.268**

VERIFICHE DI DEFORMABILITA'. (ESITO POSITIVO)

Lunghezza L	: 1800 mm	Freccia Car.Acc.	: 0.00 mm
Peso Proprio Trave	: -5.9 daN/m	Freccia Car.Tot.	: -2.37 mm
Carico Variabile	: 0.0 daN/m	Freccia Max Car.Acc. L/300	: 6.00 mm
Carico Totale	: -18.9 daN/m	Freccia Max Car.Tot. L/250	: 7.20 mm
Monta iniziale	: 0.00 mm	Fattore di sicurezza	: 3.04

Trave - IMP. : Piano 1 - Fili 13, 14 - [Asta 13] : OMG80X50X30X3.0

Sezione OMG80X50X30X3.0. Acciaio S275

-ESITO VERIFICHE POSITIVO-

VERIFICHE DI RESISTENZA. (ESITO POSITIVO)

AZIONI DI PROGETTO								
Comb. più gravosa	Sez.	N [daN]	Ty [daN]	Tz [daN]	My [daNm]	Mz [daNm]	Mt [danM]	Incr. Az.
Comb 29 [SLV] [ST]	7	61	0	410	369	0	0	NO

TIPO VERIFICA : PRESSOFLESSIONE
 Classe sezione : 1
 · Resistenza assiale plastica : 19662.1 daN
 · Mom. res. plastico Y (A.P.I.) : 522.9 daNm
 · Mom. res. plastico Z (A.P.I.) : 482.5 daNm
 · Fattore di sicurezza : **1.411**

VERIFICA DI STABILITA' A COMPRESSIONE. (ESITO POSITIVO)

L'asta in oggetto non risulta interessata da azioni esterne destabilizzanti di rilievo a carico di punta.

VERIFICA DI STABILITA' FLESSO-TORSIONALE.

D.M.17/01/2018 - §4.2.4.1.3.2

Mcr : 1683 daNm
 λ_{LT} : 0.57
 χ_{LT} : 0.89
 MbRd : 467.82 daNm
 · Fattore di sicurezza : **1.268**

VERIFICHE DI DEFORMABILITA'. (ESITO POSITIVO)

Lunghezza L	: 1800 mm	Freccia Car.Acc.	: 0.00 mm
Peso Proprio Trave	: -5.9 daN/m	Freccia Car.Tot.	: -2.37 mm
Carico Variabile	: 0.0 daN/m	Freccia Max Car.Acc. L/300	: 6.00 mm

Carico Totale : -18.9 daN/m Freccia Max Car.Tot. L/250 : 7.20 mm
 Monta iniziale : 0.00 mm Fattore di sicurezza : 3.04

Trave - IMP. : Piano 1 - Fili 14, 15 - [Asta 14] : OMG80X50X30X3.0

Sezione OMG80X50X30X3.0. Acciaio S275
 -ESITO VERIFICHE POSITIVO-

VERIFICHE DI RESISTENZA. (ESITO POSITIVO)

AZIONI DI PROGETTO								
Comb. più gravosa	Sez.	N [daN]	Ty [daN]	Tz [daN]	My [daNm]	Mz [daNm]	Mt [danM]	Incr. Az.
Comb 29 [SLV] [ST]	1	-61	0	-410	369	0	0	NO

TIPO VERIFICA : PRESSOFLESSIONE
 Classe sezione : 1
 · Resistenza assiale plastica : 19662.1 daN
 · Mom. res. plastico Y (A.P.I.) : 522.9 daNm
 · Mom. res. plastico Z (A.P.I.) : 482.5 daNm
 · Fattore di sicurezza : **1.411**

VERIFICA DI STABILITA' A COMPRESSIONE. (ESITO POSITIVO)

L'asta in oggetto non risulta interessata da azioni esterne destabilizzanti di rilievo a carico di punta.

VERIFICA DI STABILITA' FLESSO-TORSIONALE.
 D.M.17/01/2018 - §4.2.4.1.3.2

Mcr : 1683 daNm
 λLT : 0.57
 χLT : 0.89
 MbRd : 467.82 daNm
 · Fattore di sicurezza : **1.268**

VERIFICHE DI DEFORMABILITA'. (ESITO POSITIVO)

Lunghezza L : 1800 mm Freccia Car.Acc. : 0.00 mm
 Peso Proprio Trave : -5.9 daN/m Freccia Car.Tot. : -2.37 mm
 Carico Variabile : 0.0 daN/m Freccia Max Car.Acc. L/300 : 6.00 mm
 Carico Totale : -18.9 daN/m Freccia Max Car.Tot. L/250 : 7.20 mm
 Monta iniziale : 0.00 mm Fattore di sicurezza : 3.04

Trave - IMP. : Piano 1 - Fili 16, 17 - [Asta 16] : OMG80X50X30X3.0

Sezione OMG80X50X30X3.0. Acciaio S275
 -ESITO VERIFICHE POSITIVO-

VERIFICHE DI RESISTENZA. (ESITO POSITIVO)

AZIONI DI PROGETTO								
Comb. più gravosa	Sez.	N [daN]	Ty [daN]	Tz [daN]	My [daNm]	Mz [daNm]	Mt [danM]	Incr. Az.
Comb 29 [SLV] [ST]	7	61	0	410	369	0	0	NO

TIPO VERIFICA : PRESSOFLESSIONE
 Classe sezione : 1
 · Resistenza assiale plastica : 19662.1 daN
 · Mom. res. plastico Y (A.P.I.) : 522.9 daNm
 · Mom. res. plastico Z (A.P.I.) : 482.5 daNm

· Fattore di sicurezza : **1.411**

VERIFICA DI STABILITA' A COMPRESSIONE. (ESITO POSITIVO)

L'asta in oggetto non risulta interessata da azioni esterne destabilizzanti di rilievo a carico di punta.

VERIFICA DI STABILITA' FLESSO-TORSIONALE.

D.M.17/01/2018 - §4.2.4.1.3.2

Mcr : 1683 daNm
 λ_{LT} : 0.57
 χ_{LT} : 0.89
 MbRd : 467.82 daNm
 · Fattore di sicurezza : **1.268**

VERIFICHE DI DEFORMABILITA'. (ESITO POSITIVO)

Lunghezza L	: 1800 mm	Freccia Car.Acc.	: 0.00 mm
Peso Proprio Trave	: -5.9 daN/m	Freccia Car.Tot.	: -2.37 mm
Carico Variabile	: 0.0 daN/m	Freccia Max Car.Acc. L/300	: 6.00 mm
Carico Totale	: -18.9 daN/m	Freccia Max Car.Tot. L/250	: 7.20 mm
Monta iniziale	: 0.00 mm	Fattore di sicurezza	: 3.04

Trave - IMP. : Piano 1 - Fili 17, 18 - [Asta 17] : OMG80X50X30X3.0

Sezione OMG80X50X30X3.0. Acciaio S275

-ESITO VERIFICHE POSITIVO-

VERIFICHE DI RESISTENZA. (ESITO POSITIVO)

AZIONI DI PROGETTO								
Comb. più gravosa	Sez.	N [daN]	Ty [daN]	Tz [daN]	My [daNm]	Mz [daNm]	Mt [danM]	Incr. Az.
Comb 29 [SLV] [ST]	1	-61	0	-410	369	0	0	NO

TIPO VERIFICA : PRESSOFLESSIONE
 Classe sezione : 1
 · Resistenza assiale plastica : 19662.1 daN
 · Mom. res. plastico Y (A.P.I.) : 522.9 daNm
 · Mom. res. plastico Z (A.P.I.) : 482.5 daNm
 · Fattore di sicurezza : **1.411**

VERIFICA DI STABILITA' A COMPRESSIONE. (ESITO POSITIVO)

L'asta in oggetto non risulta interessata da azioni esterne destabilizzanti di rilievo a carico di punta.

VERIFICA DI STABILITA' FLESSO-TORSIONALE.

D.M.17/01/2018 - §4.2.4.1.3.2

Mcr : 1683 daNm
 λ_{LT} : 0.57
 χ_{LT} : 0.89
 MbRd : 467.82 daNm
 · Fattore di sicurezza : **1.268**

VERIFICHE DI DEFORMABILITA'. (ESITO POSITIVO)

Lunghezza L	: 1800 mm	Freccia Car.Acc.	: 0.00 mm
Peso Proprio Trave	: -5.9 daN/m	Freccia Car.Tot.	: -2.37 mm
Carico Variabile	: 0.0 daN/m	Freccia Max Car.Acc. L/300	: 6.00 mm
Carico Totale	: -18.9 daN/m	Freccia Max Car.Tot. L/250	: 7.20 mm
Monta iniziale	: 0.00 mm	Fattore di sicurezza	: 3.04

Trave - IMP. : Piano 1 - Fili 19, 20 - [Asta 19] : OMG80X50X30X3.0

Sezione OMG80X50X30X3.0. Acciaio S275
-ESITO VERIFICHE POSITIVO-

VERIFICHE DI RESISTENZA. (ESITO POSITIVO)

AZIONI DI PROGETTO								
Comb. più gravosa	Sez.	N [daN]	Ty [daN]	Tz [daN]	My [daNm]	Mz [daNm]	Mt [danM]	Incr. Az.
Comb 29 [SLV] [ST]	7	61	0	410	369	0	0	NO

TIPO VERIFICA	: PRESSOFLESSIONE
Classe sezione	: 1
· Resistenza assiale plastica	: 19662.1 daN
· Mom. res. plastico Y (A.P.I.)	: 522.9 daNm
· Mom. res. plastico Z (A.P.I.)	: 482.5 daNm
· Fattore di sicurezza	: 1.411

VERIFICA DI STABILITA' A COMPRESSIONE. (ESITO POSITIVO)

L'asta in oggetto non risulta interessata da azioni esterne destabilizzanti di rilievo a carico di punta.

VERIFICA DI STABILITA' FLESSO-TORSIONALE.
 D.M.17/01/2018 - §4.2.4.1.3.2

Mcr	: 1683 daNm
λ_{LT}	: 0.57
χ_{LT}	: 0.89
MbRd	: 467.82 daNm
· Fattore di sicurezza	: 1.268

VERIFICHE DI DEFORMABILITA'. (ESITO POSITIVO)

Lunghezza L	: 1800 mm	Freccia Car.Acc.	: 0.00 mm
Peso Proprio Trave	: -5.9 daN/m	Freccia Car.Tot.	: -2.37 mm
Carico Variabile	: 0.0 daN/m	Freccia Max Car.Acc. L/300	: 6.00 mm
Carico Totale	: -18.9 daN/m	Freccia Max Car.Tot. L/250	: 7.20 mm
Monta iniziale	: 0.00 mm	Fattore di sicurezza	: 3.04

Trave - IMP. : Piano 1 - Fili 20, 21 - [Asta 20] : OMG80X50X30X3.0

Sezione OMG80X50X30X3.0. Acciaio S275
-ESITO VERIFICHE POSITIVO-

VERIFICHE DI RESISTENZA. (ESITO POSITIVO)

AZIONI DI PROGETTO								
Comb. più gravosa	Sez.	N [daN]	Ty [daN]	Tz [daN]	My [daNm]	Mz [daNm]	Mt [danM]	Incr. Az.
Comb 29 [SLV] [ST]	1	-61	0	-410	369	0	0	NO

TIPO VERIFICA	: PRESSOFLESSIONE
Classe sezione	: 1

- Resistenza assiale plastica : 19662.1 daN
- Mom. res. plastico Y (A.P.I.) : 522.9 daNm
- Mom. res. plastico Z (A.P.I.) : 482.5 daNm
- Fattore di sicurezza : **1.411**

VERIFICA DI STABILITA' A COMPRESSIONE. (ESITO POSITIVO)

L'asta in oggetto non risulta interessata da azioni esterne destabilizzanti di rilievo a carico di punta.

VERIFICA DI STABILITA' FLESSO-TORSIONALE.

D.M.17/01/2018 - §4.2.4.1.3.2

- Mcr : 1683 daNm
- λ_{LT} : 0.57
- χ_{LT} : 0.89
- MbRd : 467.82 daNm
- Fattore di sicurezza : **1.268**

VERIFICHE DI DEFORMABILITA'. (ESITO POSITIVO)

- | | | | |
|--------------------|---------------|----------------------------|------------|
| Lunghezza L | : 1800 mm | Freccia Car.Acc. | : 0.00 mm |
| Peso Proprio Trave | : -5.9 daN/m | Freccia Car.Tot. | : -2.37 mm |
| Carico Variabile | : 0.0 daN/m | Freccia Max Car.Acc. L/300 | : 6.00 mm |
| Carico Totale | : -18.9 daN/m | Freccia Max Car.Tot. L/250 | : 7.20 mm |
| Monta iniziale | : 0.00 mm | Fattore di sicurezza | : 3.04 |

Trave - IMP. : Piano 1 - Fili 22, 23 - [Asta 22] : OMG80X50X30X3.0

Sezione OMG80X50X30X3.0. Acciaio S275

-ESITO VERIFICHE POSITIVO-

VERIFICHE DI RESISTENZA. (ESITO POSITIVO)

AZIONI DI PROGETTO								
Comb. più gravosa	Sez.	N [daN]	Ty [daN]	Tz [daN]	My [daNm]	Mz [daNm]	Mt [danM]	Incr. Az.
Comb 29 [SLV] [ST]	7	61	0	410	369	0	0	NO

- TIPO VERIFICA : PRESSOFLESSIONE
- Classe sezione : 1
- Resistenza assiale plastica : 19662.1 daN
- Mom. res. plastico Y (A.P.I.) : 522.9 daNm
- Mom. res. plastico Z (A.P.I.) : 482.5 daNm
- Fattore di sicurezza : **1.411**

VERIFICA DI STABILITA' A COMPRESSIONE. (ESITO POSITIVO)

L'asta in oggetto non risulta interessata da azioni esterne destabilizzanti di rilievo a carico di punta.

VERIFICA DI STABILITA' FLESSO-TORSIONALE.

D.M.17/01/2018 - §4.2.4.1.3.2

- Mcr : 1683 daNm
- λ_{LT} : 0.57
- χ_{LT} : 0.89
- MbRd : 467.82 daNm
- Fattore di sicurezza : **1.268**

VERIFICHE DI DEFORMABILITA'. (ESITO POSITIVO)

Lunghezza L	: 1800 mm	Freccia Car.Acc.	: 0.00 mm
Peso Proprio Trave	: -5.9 daN/m	Freccia Car.Tot.	: -2.37 mm
Carico Variabile	: 0.0 daN/m	Freccia Max Car.Acc. L/300	: 6.00 mm
Carico Totale	: -18.9 daN/m	Freccia Max Car.Tot. L/250	: 7.20 mm
Monta iniziale	: 0.00 mm	Fattore di sicurezza	: 3.04

Trave - IMP. : Piano 1 - Fili 23, 24 - [Asta 23] : OMG80X50X30X3.0

Sezione OMG80X50X30X3.0. Acciaio S275
-ESITO VERIFICHE POSITIVO-

VERIFICHE DI RESISTENZA. (ESITO POSITIVO)

AZIONI DI PROGETTO								
Comb. più gravosa	Sez.	N [daN]	Ty [daN]	Tz [daN]	My [daNm]	Mz [daNm]	Mt [danM]	Incr. Az.
Comb 29 [SLV] [ST]	1	-61	0	-410	369	0	0	NO

TIPO VERIFICA	: PRESSOFLESSIONE
Classe sezione	: 1
· Resistenza assiale plastica	: 19662.1 daN
· Mom. res. plastico Y (A.P.I.)	: 522.9 daNm
· Mom. res. plastico Z (A.P.I.)	: 482.5 daNm
· Fattore di sicurezza	: 1.411

VERIFICA DI STABILITA' A COMPRESSIONE. (ESITO POSITIVO)

L'asta in oggetto non risulta interessata da azioni esterne destabilizzanti di rilievo a carico di punta.

VERIFICA DI STABILITA' FLESSO-TORSIONALE.

D.M.17/01/2018 - §4.2.4.1.3.2

Mcr	: 1683 daNm
λ_{LT}	: 0.57
χ_{LT}	: 0.89
MbRd	: 467.82 daNm
· Fattore di sicurezza	: 1.268

VERIFICHE DI DEFORMABILITA'. (ESITO POSITIVO)

Lunghezza L	: 1800 mm	Freccia Car.Acc.	: 0.00 mm
Peso Proprio Trave	: -5.9 daN/m	Freccia Car.Tot.	: -2.37 mm
Carico Variabile	: 0.0 daN/m	Freccia Max Car.Acc. L/300	: 6.00 mm
Carico Totale	: -18.9 daN/m	Freccia Max Car.Tot. L/250	: 7.20 mm
Monta iniziale	: 0.00 mm	Fattore di sicurezza	: 3.04

Trave - IMP. : Piano 1 - Fili 23, 38 - [Asta 24,27,30,33,36] : Q160x100

Sezione Q160x100. Acciaio S275
-ESITO VERIFICHE POSITIVO-

VERIFICHE DI RESISTENZA. (ESITO POSITIVO)

AZIONI DI PROGETTO								
Comb. più gravosa	Sez.	N [daN]	Ty [daN]	Tz [daN]	My [daNm]	Mz [daNm]	Mt [danM]	Incr. Az.
Comb 29 [SLV] [ST]	1	-431	333	1967	-3177	158	-14	NO

TIPO VERIFICA : PRESSOFLESSIONE
 Classe sezione : 1
 · Resistenza assiale plastica : 148116.2 daN
 · Mom. res. plastico Y (A.P.I.) : 8141.4 daNm
 · Mom. res. plastico Z (A.P.I.) : 8141.4 daNm
 · Fattore di sicurezza : **2.424**

VERIFICA DI STABILITA' A COMPRESSIONE. (ESITO POSITIVO)

L'asta in oggetto non risulta interessata da azioni esterne destabilizzanti di rilievo a carico di punta.

VERIFICA DI STABILITA' FLESSO-TORSIONALE.

D.M.17/01/2018 - §4.2.4.1.3.2

Mcr : 820286 daNm
 λ_{LT} : 0.10
 γ_{LT} : 1.00
 MbRd : 8141.37 daNm
 · Fattore di sicurezza : **2.563**

VERIFICHE DI DEFORMABILITA'. (ESITO POSITIVO)

Lunghezza L	: 6500 mm	Freccia Car.Acc.	: -5.94 mm
Peso Proprio Trave	: -44.4 daN/m	Freccia Car.Tot.	: -6.33 mm
Carico Variabile	: 0.0 daN/m	Freccia Max Car.Acc. L/300	: 21.67 mm
Carico Totale	: -44.4 daN/m	Freccia Max Car.Tot. L/250	: 26.00 mm
Monta iniziale	: 0.00 mm	Fattore di sicurezza	: 3.65

Trave - IMP. : Piano 1 - Fili 25, 26 - [Asta 25] : OMG80X50X30X3.0

Sezione OMG80X50X30X3.0. Acciaio S275

-ESITO VERIFICHE POSITIVO-

VERIFICHE DI RESISTENZA. (ESITO POSITIVO)

AZIONI DI PROGETTO								
Comb. più gravosa	Sez.	N [daN]	Ty [daN]	Tz [daN]	My [daNm]	Mz [daNm]	Mt [danM]	Incr. Az.
Comb 29 [SLV] [ST]	7	61	0	410	369	0	0	NO

TIPO VERIFICA : PRESSOFLESSIONE
 Classe sezione : 1
 · Resistenza assiale plastica : 19662.1 daN
 · Mom. res. plastico Y (A.P.I.) : 522.9 daNm
 · Mom. res. plastico Z (A.P.I.) : 482.5 daNm
 · Fattore di sicurezza : **1.411**

VERIFICA DI STABILITA' A COMPRESSIONE. (ESITO POSITIVO)

L'asta in oggetto non risulta interessata da azioni esterne destabilizzanti di rilievo a carico di punta.

VERIFICA DI STABILITA' FLESSO-TORSIONALE.

D.M.17/01/2018 - §4.2.4.1.3.2

Mcr : 1683 daNm
 λ_{LT} : 0.57

χ_{LT} : 0.89
 MbRd : 467.82 daNm
 · Fattore di sicurezza : **1.268**

VERIFICHE DI DEFORMABILITA' (ESITO POSITIVO)

Lunghezza L	: 1800 mm	Freccia Car.Acc.	: 0.00 mm
Peso Proprio Trave	: -5.9 daN/m	Freccia Car.Tot.	: -2.37 mm
Carico Variabile	: 0.0 daN/m	Freccia Max Car.Acc. L/300	: 6.00 mm
Carico Totale	: -18.9 daN/m	Freccia Max Car.Tot. L/250	: 7.20 mm
Monta iniziale	: 0.00 mm	Fattore di sicurezza	: 3.04

Trave - IMP. : Piano 1 - Fili 26, 27 - [Asta 26] : OMG80X50X30X3.0

Sezione OMG80X50X30X3.0. Acciaio S275
 -ESITO VERIFICHE POSITIVO-

VERIFICHE DI RESISTENZA. (ESITO POSITIVO)

AZIONI DI PROGETTO								
Comb. più gravosa	Sez.	N [daN]	Ty [daN]	Tz [daN]	My [daNm]	Mz [daNm]	Mt [danM]	Incr. Az.
Comb 29 [SLV] [ST]	1	-61	0	-410	369	0	0	NO

TIPO VERIFICA : PRESSOFLESSIONE
 Classe sezione : 1
 · Resistenza assiale plastica : 19662.1 daN
 · Mom. res. plastico Y (A.P.I.) : 522.9 daNm
 · Mom. res. plastico Z (A.P.I.) : 482.5 daNm
 · Fattore di sicurezza : **1.411**

VERIFICA DI STABILITA' A COMPRESSIONE. (ESITO POSITIVO)

L'asta in oggetto non risulta interessata da azioni esterne destabilizzanti di rilievo a carico di punta.

VERIFICA DI STABILITA' FLESSO-TORSIONALE.

D.M.17/01/2018 - §4.2.4.1.3.2

Mcr : 1683 daNm
 λ_{LT} : 0.57
 χ_{LT} : 0.89
 MbRd : 467.82 daNm
 · Fattore di sicurezza : **1.268**

VERIFICHE DI DEFORMABILITA' (ESITO POSITIVO)

Lunghezza L	: 1800 mm	Freccia Car.Acc.	: 0.00 mm
Peso Proprio Trave	: -5.9 daN/m	Freccia Car.Tot.	: -2.37 mm
Carico Variabile	: 0.0 daN/m	Freccia Max Car.Acc. L/300	: 6.00 mm
Carico Totale	: -18.9 daN/m	Freccia Max Car.Tot. L/250	: 7.20 mm
Monta iniziale	: 0.00 mm	Fattore di sicurezza	: 3.04

Trave - IMP. : Piano 1 - Fili 28, 29 - [Asta 28] : OMG80X50X30X3.0

Sezione OMG80X50X30X3.0. Acciaio S275
 -ESITO VERIFICHE POSITIVO-

VERIFICHE DI RESISTENZA. (ESITO POSITIVO)

AZIONI DI PROGETTO								
Comb. più gravosa	Sez.	N [daN]	Ty [daN]	Tz [daN]	My [daNm]	Mz [daNm]	Mt [danM]	Incr. Az.
Comb 29 [SLV] [ST]	7	61	0	410	369	0	0	NO

TIPO VERIFICA : PRESSOFLESSIONE
 Classe sezione : 1
 · Resistenza assiale plastica : 19662.1 daN
 · Mom. res. plastico Y (A.P.I.) : 522.9 daNm
 · Mom. res. plastico Z (A.P.I.) : 482.5 daNm
 · Fattore di sicurezza : **1.411**

VERIFICA DI STABILITA' A COMPRESSIONE. (ESITO POSITIVO)

L'asta in oggetto non risulta interessata da azioni esterne destabilizzanti di rilievo a carico di punta.

VERIFICA DI STABILITA' FLESSO-TORSIONALE.

D.M.17/01/2018 - §4.2.4.1.3.2

Mcr : 1683 daNm
 λ_{LT} : 0.57
 χ_{LT} : 0.89
 MbRd : 467.82 daNm
 · Fattore di sicurezza : **1.268**

VERIFICHE DI DEFORMABILITA'. (ESITO POSITIVO)

Lunghezza L	: 1800 mm	Freccia Car.Acc.	: 0.00 mm
Peso Proprio Trave	: -5.9 daN/m	Freccia Car.Tot.	: -2.37 mm
Carico Variabile	: 0.0 daN/m	Freccia Max Car.Acc. L/300	: 6.00 mm
Carico Totale	: -18.9 daN/m	Freccia Max Car.Tot. L/250	: 7.20 mm
Monta iniziale	: 0.00 mm	Fattore di sicurezza	: 3.04

Trave - IMP. : Piano 1 - Fili 29, 30 - [Asta 29] : OMG80X50X30X3.0

Sezione OMG80X50X30X3.0. Acciaio S275

-ESITO VERIFICHE POSITIVO-

VERIFICHE DI RESISTENZA. (ESITO POSITIVO)

AZIONI DI PROGETTO								
Comb. più gravosa	Sez.	N [daN]	Ty [daN]	Tz [daN]	My [daNm]	Mz [daNm]	Mt [danM]	Incr. Az.
Comb 29 [SLV] [ST]	1	-61	0	-410	369	0	0	NO

TIPO VERIFICA : PRESSOFLESSIONE
 Classe sezione : 1
 · Resistenza assiale plastica : 19662.1 daN
 · Mom. res. plastico Y (A.P.I.) : 522.9 daNm
 · Mom. res. plastico Z (A.P.I.) : 482.5 daNm
 · Fattore di sicurezza : **1.411**

VERIFICA DI STABILITA' A COMPRESSIONE. (ESITO POSITIVO)

L'asta in oggetto non risulta interessata da azioni esterne destabilizzanti di rilievo a carico di punta.

VERIFICA DI STABILITA' FLESSO-TORSIONALE.

D.M.17/01/2018 - §4.2.4.1.3.2

Mcr : 1683 daNm
 λ_{LT} : 0.57
 χ_{LT} : 0.89
 MbRd : 467.82 daNm
 · Fattore di sicurezza : **1.268**

VERIFICHE DI DEFORMABILITA' (ESITO POSITIVO)

Lunghezza L : 1800 mm Freccia Car.Acc. : 0.00 mm
 Peso Proprio Trave : -5.9 daN/m Freccia Car.Tot. : -2.37 mm
 Carico Variabile : 0.0 daN/m Freccia Max Car.Acc. L/300 : 6.00 mm
 Carico Totale : -18.9 daN/m Freccia Max Car.Tot. L/250 : 7.20 mm
 Monta iniziale : 0.00 mm Fattore di sicurezza : 3.04

Trave - IMP. : Piano 1 - Fili 31, 32 - [Asta 31] : OMG80X50X30X3.0

Sezione OMG80X50X30X3.0. Acciaio S275
-ESITO VERIFICHE POSITIVO-

VERIFICHE DI RESISTENZA. (ESITO POSITIVO)

AZIONI DI PROGETTO								
Comb. più gravosa	Sez.	N [daN]	Ty [daN]	Tz [daN]	My [daNm]	Mz [daNm]	Mt [danM]	Incr. Az.
Comb 29 [SLV] [ST]	7	61	0	410	369	0	0	NO

TIPO VERIFICA : PRESSOFLESSIONE
 Classe sezione : 1
 · Resistenza assiale plastica : 19662.1 daN
 · Mom. res. plastico Y (A.P.I.) : 522.9 daNm
 · Mom. res. plastico Z (A.P.I.) : 482.5 daNm
 · Fattore di sicurezza : **1.411**

VERIFICA DI STABILITA' A COMPRESSIONE. (ESITO POSITIVO)

L'asta in oggetto non risulta interessata da azioni esterne destabilizzanti di rilievo a carico di punta.

VERIFICA DI STABILITA' FLESSO-TORSIONALE.

D.M.17/01/2018 - §4.2.4.1.3.2

Mcr : 1683 daNm
 λ_{LT} : 0.57
 χ_{LT} : 0.89
 MbRd : 467.82 daNm
 · Fattore di sicurezza : **1.268**

VERIFICHE DI DEFORMABILITA' (ESITO POSITIVO)

Lunghezza L : 1800 mm Freccia Car.Acc. : 0.00 mm
 Peso Proprio Trave : -5.9 daN/m Freccia Car.Tot. : -2.37 mm
 Carico Variabile : 0.0 daN/m Freccia Max Car.Acc. L/300 : 6.00 mm
 Carico Totale : -18.9 daN/m Freccia Max Car.Tot. L/250 : 7.20 mm
 Monta iniziale : 0.00 mm Fattore di sicurezza : 3.04

Trave - IMP. : Piano 1 - Fili 32, 33 - [Asta 32] : OMG80X50X30X3.0

Sezione OMG80X50X30X3.0. Acciaio S275

-ESITO VERIFICHE POSITIVO-

VERIFICHE DI RESISTENZA. (ESITO POSITIVO)

AZIONI DI PROGETTO								
Comb. più gravosa	Sez.	N [daN]	Ty [daN]	Tz [daN]	My [daNm]	Mz [daNm]	Mt [danM]	Incr. Az.
Comb 29 [SLV] [ST]	1	-61	0	-410	369	0	0	NO

TIPO VERIFICA : PRESSOFLESSIONE
 Classe sezione : 1
 · Resistenza assiale plastica : 19662.1 daN
 · Mom. res. plastico Y (A.P.I.) : 522.9 daNm
 · Mom. res. plastico Z (A.P.I.) : 482.5 daNm
 · Fattore di sicurezza : **1.411**

VERIFICA DI STABILITA' A COMPRESSIONE. (ESITO POSITIVO)

L'asta in oggetto non risulta interessata da azioni esterne destabilizzanti di rilievo a carico di punta.

VERIFICA DI STABILITA' FLESSO-TORSIONALE.

D.M.17/01/2018 - §4.2.4.1.3.2

Mcr : 1683 daNm
 λ_{LT} : 0.57
 χ_{LT} : 0.89
 MbRd : 467.82 daNm
 · Fattore di sicurezza : **1.268**

VERIFICHE DI DEFORMABILITA'. (ESITO POSITIVO)

Lunghezza L	: 1800 mm	Freccia Car.Acc.	: 0.00 mm
Peso Proprio Trave	: -5.9 daN/m	Freccia Car.Tot.	: -2.37 mm
Carico Variabile	: 0.0 daN/m	Freccia Max Car.Acc. L/300	: 6.00 mm
Carico Totale	: -18.9 daN/m	Freccia Max Car.Tot. L/250	: 7.20 mm
Monta iniziale	: 0.00 mm	Fattore di sicurezza	: 3.04

Trave - IMP. : Piano 1 - Fili 34, 35 - [Asta 34] : OMG80X50X30X3.0

Sezione **OMG80X50X30X3.0. Acciaio S275**

-ESITO VERIFICHE POSITIVO-

VERIFICHE DI RESISTENZA. (ESITO POSITIVO)

AZIONI DI PROGETTO								
Comb. più gravosa	Sez.	N [daN]	Ty [daN]	Tz [daN]	My [daNm]	Mz [daNm]	Mt [danM]	Incr. Az.
Comb 29 [SLV] [ST]	7	61	0	410	369	0	0	NO

TIPO VERIFICA : PRESSOFLESSIONE
 Classe sezione : 1
 · Resistenza assiale plastica : 19662.1 daN
 · Mom. res. plastico Y (A.P.I.) : 522.9 daNm
 · Mom. res. plastico Z (A.P.I.) : 482.5 daNm
 · Fattore di sicurezza : **1.411**

VERIFICA DI STABILITA' A COMPRESSIONE. (ESITO POSITIVO)

L'asta in oggetto non risulta interessata da azioni esterne destabilizzanti di rilievo a carico di punta.

VERIFICA DI STABILITA' FLESSO-TORSIONALE.

D.M.17/01/2018 - §4.2.4.1.3.2

Mcr : 1683 daNm
 λ_{LT} : 0.57
 χ_{LT} : 0.89
 MbRd : 467.82 daNm
 · Fattore di sicurezza : **1.268**

VERIFICHE DI DEFORMABILITA' (ESITO POSITIVO)

Lunghezza L	: 1800 mm	Freccia Car.Acc.	: 0.00 mm
Peso Proprio Trave	: -5.9 daN/m	Freccia Car.Tot.	: -2.37 mm
Carico Variabile	: 0.0 daN/m	Freccia Max Car.Acc. L/300	: 6.00 mm
Carico Totale	: -18.9 daN/m	Freccia Max Car.Tot. L/250	: 7.20 mm
Monta iniziale	: 0.00 mm	Fattore di sicurezza	: 3.04

Trave - IMP. : Piano 1 - Fili 35, 36 - [Asta 35] : OMG80X50X30X3.0

Sezione OMG80X50X30X3.0. Acciaio S275

-ESITO VERIFICHE POSITIVO-

VERIFICHE DI RESISTENZA. (ESITO POSITIVO)

AZIONI DI PROGETTO								
Comb. più gravosa	Sez.	N [daN]	Ty [daN]	Tz [daN]	My [daNm]	Mz [daNm]	Mt [danM]	Incr. Az.
Comb 29 [SLV] [ST]	1	-61	0	-410	369	0	0	NO

TIPO VERIFICA : PRESSOFLESSIONE
 Classe sezione : 1
 · Resistenza assiale plastica : 19662.1 daN
 · Mom. res. plastico Y (A.P.I.) : 522.9 daNm
 · Mom. res. plastico Z (A.P.I.) : 482.5 daNm
 · Fattore di sicurezza : **1.411**

VERIFICA DI STABILITA' A COMPRESSIONE. (ESITO POSITIVO)

L'asta in oggetto non risulta interessata da azioni esterne destabilizzanti di rilievo a carico di punta.

VERIFICA DI STABILITA' FLESSO-TORSIONALE.

D.M.17/01/2018 - §4.2.4.1.3.2

Mcr : 1683 daNm
 λ_{LT} : 0.57
 χ_{LT} : 0.89
 MbRd : 467.82 daNm
 · Fattore di sicurezza : **1.268**

VERIFICHE DI DEFORMABILITA' (ESITO POSITIVO)

Lunghezza L	: 1800 mm	Freccia Car.Acc.	: 0.00 mm
Peso Proprio Trave	: -5.9 daN/m	Freccia Car.Tot.	: -2.37 mm
Carico Variabile	: 0.0 daN/m	Freccia Max Car.Acc. L/300	: 6.00 mm
Carico Totale	: -18.9 daN/m	Freccia Max Car.Tot. L/250	: 7.20 mm
Monta iniziale	: 0.00 mm	Fattore di sicurezza	: 3.04

Trave - IMP. : Piano 1 - Fili 37, 38 - [Asta 37] : OMG80X50X30X3.0

Sezione OMG80X50X30X3.0. Acciaio S275
-ESITO VERIFICHE POSITIVO-

VERIFICHE DI RESISTENZA. (ESITO POSITIVO)

AZIONI DI PROGETTO								
Comb. più gravosa	Sez.	N [daN]	Ty [daN]	Tz [daN]	My [daNm]	Mz [daNm]	Mt [danM]	Incr. Az.
Comb 29 [SLV] [ST]	7	61	0	410	369	0	0	NO

TIPO VERIFICA : PRESSOFLESSIONE
 Classe sezione : 1
 · Resistenza assiale plastica : 19662.1 daN
 · Mom. res. plastico Y (A.P.I.) : 522.9 daNm
 · Mom. res. plastico Z (A.P.I.) : 482.5 daNm
 · Fattore di sicurezza : **1.411**

VERIFICA DI STABILITA' A COMPRESSIONE. (ESITO POSITIVO)

L'asta in oggetto non risulta interessata da azioni esterne destabilizzanti di rilievo a carico di punta.

VERIFICA DI STABILITA' FLESSO-TORSIONALE.

D.M.17/01/2018 - §4.2.4.1.3.2

Mcr : 1683 daNm
 λ_{LT} : 0.57
 χ_{LT} : 0.89
 MbRd : 467.82 daNm
 · Fattore di sicurezza : **1.268**

VERIFICHE DI DEFORMABILITA'. (ESITO POSITIVO)

Lunghezza L	: 1800 mm	Freccia Car.Acc.	: 0.00 mm
Peso Proprio Trave	: -5.9 daN/m	Freccia Car.Tot.	: -2.37 mm
Carico Variabile	: 0.0 daN/m	Freccia Max Car.Acc. L/300	: 6.00 mm
Carico Totale	: -18.9 daN/m	Freccia Max Car.Tot. L/250	: 7.20 mm
Monta iniziale	: 0.00 mm	Fattore di sicurezza	: 3.04

Trave - IMP. : Piano 1 - Fili 38, 39 - [Asta 38] : OMG80X50X30X3.0

Sezione OMG80X50X30X3.0. Acciaio S275
-ESITO VERIFICHE POSITIVO-

VERIFICHE DI RESISTENZA. (ESITO POSITIVO)

AZIONI DI PROGETTO								
Comb. più gravosa	Sez.	N [daN]	Ty [daN]	Tz [daN]	My [daNm]	Mz [daNm]	Mt [danM]	Incr. Az.
Comb 29 [SLV] [ST]	1	-61	0	-410	369	0	0	NO

TIPO VERIFICA : PRESSOFLESSIONE
 Classe sezione : 1
 · Resistenza assiale plastica : 19662.1 daN
 · Mom. res. plastico Y (A.P.I.) : 522.9 daNm
 · Mom. res. plastico Z (A.P.I.) : 482.5 daNm
 · Fattore di sicurezza : **1.411**

VERIFICA DI STABILITA' A COMPRESSIONE. (ESITO POSITIVO)

L'asta in oggetto non risulta interessata da azioni esterne destabilizzanti di rilievo a carico di punta.

VERIFICA DI STABILITA' FLESSO-TORSIONALE.

D.M.17/01/2018 - §4.2.4.1.3.2

Mcr : 1683 daNm
 λ_{LT} : 0.57
 χ_{LT} : 0.89
 MbRd : 467.82 daNm
 · Fattore di sicurezza : **1.268**

VERIFICHE DI DEFORMABILITA'. (ESITO POSITIVO)

Lunghezza L	: 1800 mm	Freccia Car.Acc.	: 0.00 mm
Peso Proprio Trave	: -5.9 daN/m	Freccia Car.Tot.	: -2.37 mm
Carico Variabile	: 0.0 daN/m	Freccia Max Car.Acc. L/300	: 6.00 mm
Carico Totale	: -18.9 daN/m	Freccia Max Car.Tot. L/250	: 7.20 mm
Monta iniziale	: 0.00 mm	Fattore di sicurezza	: 3.04

Trave - IMP. : Piano 1 - Fili 38, 50 - [Asta 39,42,45,48] : Q160x100

Sezione Q160x100. Acciaio S275

-ESITO VERIFICHE POSITIVO-

VERIFICHE DI RESISTENZA. (ESITO POSITIVO)

AZIONI DI PROGETTO								
Comb. più gravosa	Sez.	N [daN]	Ty [daN]	Tz [daN]	My [daNm]	Mz [daNm]	Mt [danM]	Incr. Az.
Comb 29 [SLV] [ST]	1	-219	314	1305	-1486	335	0	NO

TIPO VERIFICA : PRESSOFLESSIONE
 Classe sezione : 1
 · Resistenza assiale plastica : 148116.2 daN
 · Mom. res. plastico Y (A.P.I.) : 8141.4 daNm
 · Mom. res. plastico Z (A.P.I.) : 8141.4 daNm
 · Fattore di sicurezza : **4.442**

VERIFICA DI STABILITA' A COMPRESSIONE. (ESITO POSITIVO)

L'asta in oggetto non risulta interessata da azioni esterne destabilizzanti di rilievo a carico di punta.

VERIFICA DI STABILITA' FLESSO-TORSIONALE.

D.M.17/01/2018 - §4.2.4.1.3.2

Mcr : 820286 daNm
 λ_{LT} : 0.10
 χ_{LT} : 1.00
 MbRd : 8141.37 daNm
 · Fattore di sicurezza : **5.480**

VERIFICHE DI DEFORMABILITA'. (ESITO POSITIVO)

Lunghezza L	: 5200 mm	Freccia Car.Acc.	: -2.35 mm
Peso Proprio Trave	: -44.4 daN/m	Freccia Car.Tot.	: -2.51 mm
Carico Variabile	: 0.0 daN/m	Freccia Max Car.Acc. L/300	: 17.33 mm
Carico Totale	: -44.4 daN/m	Freccia Max Car.Tot. L/250	: 20.80 mm

Monta iniziale : 0.00 mm Fattore di sicurezza : 7.37

Trave - IMP. : Piano 1 - Fili 40, 41 - [Asta 40] : OMG80X50X30X3.0

Sezione OMG80X50X30X3.0. Acciaio S275
-ESITO VERIFICHE POSITIVO-

VERIFICHE DI RESISTENZA. (ESITO POSITIVO)

AZIONI DI PROGETTO								
Comb. più gravosa	Sez.	N [daN]	Ty [daN]	Tz [daN]	My [daNm]	Mz [daNm]	Mt [danM]	Incr. Az.
Comb 29 [SLV] [ST]	7	61	0	410	369	0	0	NO

TIPO VERIFICA : PRESSOFLESSIONE
 Classe sezione : 1
 · Resistenza assiale plastica : 19662.1 daN
 · Mom. res. plastico Y (A.P.I.) : 522.9 daNm
 · Mom. res. plastico Z (A.P.I.) : 482.5 daNm
 · Fattore di sicurezza : **1.411**

VERIFICA DI STABILITA' A COMPRESSIONE. (ESITO POSITIVO)

L'asta in oggetto non risulta interessata da azioni esterne destabilizzanti di rilievo a carico di punta.

VERIFICA DI STABILITA' FLESSO-TORSIONALE.

D.M.17/01/2018 - §4.2.4.1.3.2

Mcr : 1683 daNm
 λ_{LT} : 0.57
 χ_{LT} : 0.89
 MbRd : 467.82 daNm
 · Fattore di sicurezza : **1.268**

VERIFICHE DI DEFORMABILITA'. (ESITO POSITIVO)

Lunghezza L : 1800 mm Freccia Car.Acc. : 0.00 mm
 Peso Proprio Trave : -5.9 daN/m Freccia Car.Tot. : -2.37 mm
 Carico Variabile : 0.0 daN/m Freccia Max Car.Acc. L/300 : 6.00 mm
 Carico Totale : -18.9 daN/m Freccia Max Car.Tot. L/250 : 7.20 mm
 Monta iniziale : 0.00 mm Fattore di sicurezza : 3.04

Trave - IMP. : Piano 1 - Fili 41, 42 - [Asta 41] : OMG80X50X30X3.0

Sezione OMG80X50X30X3.0. Acciaio S275
-ESITO VERIFICHE POSITIVO-

VERIFICHE DI RESISTENZA. (ESITO POSITIVO)

AZIONI DI PROGETTO								
Comb. più gravosa	Sez.	N [daN]	Ty [daN]	Tz [daN]	My [daNm]	Mz [daNm]	Mt [danM]	Incr. Az.
Comb 29 [SLV] [ST]	1	-61	0	-410	369	0	0	NO

TIPO VERIFICA : PRESSOFLESSIONE
 Classe sezione : 1
 · Resistenza assiale plastica : 19662.1 daN
 · Mom. res. plastico Y (A.P.I.) : 522.9 daNm
 · Mom. res. plastico Z (A.P.I.) : 482.5 daNm
 · Fattore di sicurezza : **1.411**

VERIFICA DI STABILITA' A COMPRESSIONE. (ESITO POSITIVO)

L'asta in oggetto non risulta interessata da azioni esterne destabilizzanti di rilievo a carico di punta.

VERIFICA DI STABILITA' FLESSO-TORSIONALE.

D.M.17/01/2018 - §4.2.4.1.3.2

Mcr : 1683 daNm
 λ_{LT} : 0.57
 χ_{LT} : 0.89
 MbRd : 467.82 daNm
 · Fattore di sicurezza : **1.268**

VERIFICHE DI DEFORMABILITA'. (ESITO POSITIVO)

Lunghezza L	: 1800 mm	Freccia Car.Acc.	: 0.00 mm
Peso Proprio Trave	: -5.9 daN/m	Freccia Car.Tot.	: -2.37 mm
Carico Variabile	: 0.0 daN/m	Freccia Max Car.Acc. L/300	: 6.00 mm
Carico Totale	: -18.9 daN/m	Freccia Max Car.Tot. L/250	: 7.20 mm
Monta iniziale	: 0.00 mm	Fattore di sicurezza	: 3.04

Trave - IMP. : Piano 1 - Fili 43, 44 - [Asta 43] : OMG80X50X30X3.0

Sezione OMG80X50X30X3.0. Acciaio S275

-ESITO VERIFICHE POSITIVO-

VERIFICHE DI RESISTENZA. (ESITO POSITIVO)

AZIONI DI PROGETTO								
Comb. più gravosa	Sez.	N [daN]	Ty [daN]	Tz [daN]	My [daNm]	Mz [daNm]	Mt [danM]	Incr. Az.
Comb 29 [SLV] [ST]	7	61	0	410	369	0	0	NO

TIPO VERIFICA : PRESSOFLESSIONE
 Classe sezione : 1
 · Resistenza assiale plastica : 19662.1 daN
 · Mom. res. plastico Y (A.P.I.) : 522.9 daNm
 · Mom. res. plastico Z (A.P.I.) : 482.5 daNm
 · Fattore di sicurezza : **1.411**

VERIFICA DI STABILITA' A COMPRESSIONE. (ESITO POSITIVO)

L'asta in oggetto non risulta interessata da azioni esterne destabilizzanti di rilievo a carico di punta.

VERIFICA DI STABILITA' FLESSO-TORSIONALE.

D.M.17/01/2018 - §4.2.4.1.3.2

Mcr : 1683 daNm
 λ_{LT} : 0.57
 χ_{LT} : 0.89
 MbRd : 467.82 daNm
 · Fattore di sicurezza : **1.268**

VERIFICHE DI DEFORMABILITA'. (ESITO POSITIVO)

Lunghezza L	: 1800 mm	Freccia Car.Acc.	: 0.00 mm
-------------	-----------	------------------	-----------

Peso Proprio Trave	: -5.9 daN/m	Freccia Car.Tot.	: -2.37 mm
Carico Variabile	: 0.0 daN/m	Freccia Max Car.Acc. L/300	: 6.00 mm
Carico Totale	: -18.9 daN/m	Freccia Max Car.Tot. L/250	: 7.20 mm
Monta iniziale	: 0.00 mm	Fattore di sicurezza	: 3.04

Trave - IMP. : Piano 1 - Fili 44, 45 - [Asta 44] : OMG80X50X30X3.0

Sezione OMG80X50X30X3.0. Acciaio S275
-ESITO VERIFICHE POSITIVO-

VERIFICHE DI RESISTENZA. (ESITO POSITIVO)

AZIONI DI PROGETTO								
Comb. più gravosa	Sez.	N [daN]	Ty [daN]	Tz [daN]	My [daNm]	Mz [daNm]	Mt [danM]	Incr. Az.
Comb 29 [SLV] [ST]	1	-61	0	-410	369	0	0	NO

TIPO VERIFICA	: PRESSOFLESSIONE
Classe sezione	: 1
· Resistenza assiale plastica	: 19662.1 daN
· Mom. res. plastico Y (A.P.I.)	: 522.9 daNm
· Mom. res. plastico Z (A.P.I.)	: 482.5 daNm
· Fattore di sicurezza	: 1.411

VERIFICA DI STABILITA' A COMPRESSIONE. (ESITO POSITIVO)

L'asta in oggetto non risulta interessata da azioni esterne destabilizzanti di rilievo a carico di punta.

VERIFICA DI STABILITA' FLESSO-TORSIONALE.

D.M.17/01/2018 - §4.2.4.1.3.2

Mcr	: 1683 daNm
λ_{LT}	: 0.57
χ_{LT}	: 0.89
MbRd	: 467.82 daNm
· Fattore di sicurezza	: 1.268

VERIFICHE DI DEFORMABILITA'. (ESITO POSITIVO)

Lunghezza L	: 1800 mm	Freccia Car.Acc.	: 0.00 mm
Peso Proprio Trave	: -5.9 daN/m	Freccia Car.Tot.	: -2.37 mm
Carico Variabile	: 0.0 daN/m	Freccia Max Car.Acc. L/300	: 6.00 mm
Carico Totale	: -18.9 daN/m	Freccia Max Car.Tot. L/250	: 7.20 mm
Monta iniziale	: 0.00 mm	Fattore di sicurezza	: 3.04

Trave - IMP. : Piano 1 - Fili 46, 47 - [Asta 46] : OMG80X50X30X3.0

Sezione OMG80X50X30X3.0. Acciaio S275
-ESITO VERIFICHE POSITIVO-

VERIFICHE DI RESISTENZA. (ESITO POSITIVO)

AZIONI DI PROGETTO								
Comb. più gravosa	Sez.	N [daN]	Ty [daN]	Tz [daN]	My [daNm]	Mz [daNm]	Mt [danM]	Incr. Az.
Comb 29 [SLV] [ST]	7	61	0	410	369	0	0	NO

TIPO VERIFICA	: PRESSOFLESSIONE
Classe sezione	: 1
· Resistenza assiale plastica	: 19662.1 daN

- Mom. res. plastico Y (A.P.I.) : 522.9 daNm
- Mom. res. plastico Z (A.P.I.) : 482.5 daNm
- Fattore di sicurezza : **1.411**

VERIFICA DI STABILITA' A COMPRESSIONE. (ESITO POSITIVO)

L'asta in oggetto non risulta interessata da azioni esterne destabilizzanti di rilievo a carico di punta.

VERIFICA DI STABILITA' FLESSO-TORSIONALE.

D.M.17/01/2018 - §4.2.4.1.3.2

- Mcr : 1683 daNm
- λ_{LT} : 0.57
- χ_{LT} : 0.89
- MbRd : 467.82 daNm
- Fattore di sicurezza : **1.268**

VERIFICHE DI DEFORMABILITA'. (ESITO POSITIVO)

- | | | | |
|--------------------|---------------|----------------------------|------------|
| Lunghezza L | : 1800 mm | Freccia Car.Acc. | : 0.00 mm |
| Peso Proprio Trave | : -5.9 daN/m | Freccia Car.Tot. | : -2.37 mm |
| Carico Variabile | : 0.0 daN/m | Freccia Max Car.Acc. L/300 | : 6.00 mm |
| Carico Totale | : -18.9 daN/m | Freccia Max Car.Tot. L/250 | : 7.20 mm |
| Monta iniziale | : 0.00 mm | Fattore di sicurezza | : 3.04 |

Trave - IMP. : Piano 1 - Fili 47, 48 - [Asta 47] : OMG80X50X30X3.0

Sezione OMG80X50X30X3.0. Acciaio S275

-ESITO VERIFICHE POSITIVO-

VERIFICHE DI RESISTENZA. (ESITO POSITIVO)

AZIONI DI PROGETTO								
Comb. più gravosa	Sez.	N [daN]	Ty [daN]	Tz [daN]	My [daNm]	Mz [daNm]	Mt [danM]	Incr. Az.
Comb 29 [SLV] [ST]	1	-61	0	-410	369	0	0	NO

- TIPO VERIFICA : PRESSOFLESSIONE
- Classe sezione : 1
- Resistenza assiale plastica : 19662.1 daN
- Mom. res. plastico Y (A.P.I.) : 522.9 daNm
- Mom. res. plastico Z (A.P.I.) : 482.5 daNm
- Fattore di sicurezza : **1.411**

VERIFICA DI STABILITA' A COMPRESSIONE. (ESITO POSITIVO)

L'asta in oggetto non risulta interessata da azioni esterne destabilizzanti di rilievo a carico di punta.

VERIFICA DI STABILITA' FLESSO-TORSIONALE.

D.M.17/01/2018 - §4.2.4.1.3.2

- Mcr : 1683 daNm
- λ_{LT} : 0.57
- χ_{LT} : 0.89
- MbRd : 467.82 daNm
- Fattore di sicurezza : **1.268**

VERIFICHE DI DEFORMABILITA' (ESITO POSITIVO)

Lunghezza L	: 1800 mm	Freccia Car.Acc.	: 0.00 mm
Peso Proprio Trave	: -5.9 daN/m	Freccia Car.Tot.	: -2.37 mm
Carico Variabile	: 0.0 daN/m	Freccia Max Car.Acc. L/300	: 6.00 mm
Carico Totale	: -18.9 daN/m	Freccia Max Car.Tot. L/250	: 7.20 mm
Monta iniziale	: 0.00 mm	Fattore di sicurezza	: 3.04

Trave - IMP. : Piano 1 - Fili 49, 50 - [Asta 49] : OMG80X50X30X3.0

Sezione OMG80X50X30X3.0. Acciaio S275

-ESITO VERIFICHE POSITIVO-

VERIFICHE DI RESISTENZA (ESITO POSITIVO)

AZIONI DI PROGETTO								
Comb. più gravosa	Sez.	N [daN]	Ty [daN]	Tz [daN]	My [daNm]	Mz [daNm]	Mt [danM]	Incr. Az.
Comb 29 [SLV] [ST]	7	61	0	410	369	0	0	NO

TIPO VERIFICA	: PRESSOFLESSIONE
Classe sezione	: 1
· Resistenza assiale plastica	: 19662.1 daN
· Mom. res. plastico Y (A.P.I.)	: 522.9 daNm
· Mom. res. plastico Z (A.P.I.)	: 482.5 daNm
· Fattore di sicurezza	: 1.411

VERIFICA DI STABILITA' A COMPRESSIONE. (ESITO POSITIVO)

L'asta in oggetto non risulta interessata da azioni esterne destabilizzanti di rilievo a carico di punta.

VERIFICA DI STABILITA' FLESSO-TORSIONALE.

D.M.17/01/2018 - §4.2.4.1.3.2

Mcr	: 1683 daNm
λ_{LT}	: 0.57
χ_{LT}	: 0.89
MbRd	: 467.82 daNm
· Fattore di sicurezza	: 1.268

VERIFICHE DI DEFORMABILITA' (ESITO POSITIVO)

Lunghezza L	: 1800 mm	Freccia Car.Acc.	: 0.00 mm
Peso Proprio Trave	: -5.9 daN/m	Freccia Car.Tot.	: -2.37 mm
Carico Variabile	: 0.0 daN/m	Freccia Max Car.Acc. L/300	: 6.00 mm
Carico Totale	: -18.9 daN/m	Freccia Max Car.Tot. L/250	: 7.20 mm
Monta iniziale	: 0.00 mm	Fattore di sicurezza	: 3.04

Trave - IMP. : Piano 1 - Fili 50, 51 - [Asta 50] : OMG80X50X30X3.0

Sezione OMG80X50X30X3.0. Acciaio S275

-ESITO VERIFICHE POSITIVO-

VERIFICHE DI RESISTENZA (ESITO POSITIVO)

AZIONI DI PROGETTO								
Comb. più gravosa	Sez.	N [daN]	Ty [daN]	Tz [daN]	My [daNm]	Mz [daNm]	Mt [danM]	Incr. Az.
Comb 29 [SLV] [ST]	1	-61	0	-410	369	0	0	NO

TIPO VERIFICA : PRESSOFLESSIONE
 Classe sezione : 1
 · Resistenza assiale plastica : 19662.1 daN
 · Mom. res. plastico Y (A.P.I.) : 522.9 daNm
 · Mom. res. plastico Z (A.P.I.) : 482.5 daNm
 · Fattore di sicurezza : **1.411**

VERIFICA DI STABILITA' A COMPRESSIONE. (ESITO POSITIVO)

L'asta in oggetto non risulta interessata da azioni esterne destabilizzanti di rilievo a carico di punta.

VERIFICA DI STABILITA' FLESSO-TORSIONALE.
 D.M.17/01/2018 - §4.2.4.1.3.2

Mcr : 1683 daNm
 λ_{LT} : 0.57
 χ_{LT} : 0.89
 MbRd : 467.82 daNm
 · Fattore di sicurezza : **1.268**

VERIFICHE DI DEFORMABILITA'. (ESITO POSITIVO)

Lunghezza L	: 1800 mm	Freccia Car.Acc.	: 0.00 mm
Peso Proprio Trave	: -5.9 daN/m	Freccia Car.Tot.	: -2.37 mm
Carico Variabile	: 0.0 daN/m	Freccia Max Car.Acc. L/300	: 6.00 mm
Carico Totale	: -18.9 daN/m	Freccia Max Car.Tot. L/250	: 7.20 mm
Monta iniziale	: 0.00 mm	Fattore di sicurezza	: 3.04

Trave - IMP. : Piano 1 - Fili 50, 65 - [Asta 51,54,57,60,63] : Q160x100

Sezione Q160x100. Acciaio S275
-ESITO VERIFICHE POSITIVO-

VERIFICHE DI RESISTENZA. (ESITO POSITIVO)

AZIONI DI PROGETTO								
Comb. più gravosa	Sez.	N [daN]	Ty [daN]	Tz [daN]	My [daNm]	Mz [daNm]	Mt [danM]	Incr. Az.
Comb 29 [SLV] [ST]	13	-431	-333	-1967	-3177	158	14	NO

TIPO VERIFICA : PRESSOFLESSIONE
 Classe sezione : 1
 · Resistenza assiale plastica : 148116.2 daN
 · Mom. res. plastico Y (A.P.I.) : 8141.4 daNm
 · Mom. res. plastico Z (A.P.I.) : 8141.4 daNm
 · Fattore di sicurezza : **2.424**

VERIFICA DI STABILITA' A COMPRESSIONE. (ESITO POSITIVO)

L'asta in oggetto non risulta interessata da azioni esterne destabilizzanti di rilievo a carico di punta.

VERIFICA DI STABILITA' FLESSO-TORSIONALE.
 D.M.17/01/2018 - §4.2.4.1.3.2

Mcr : 820286 daNm
 λ_{LT} : 0.10
 χ_{LT} : 1.00

MbRd : 8141.37 daNm
 · Fattore di sicurezza : **2.563**

VERIFICHE DI DEFORMABILITA' (ESITO POSITIVO)

Lunghezza L	: 6500 mm	Freccia Car.Acc.	: -5.94 mm
Peso Proprio Trave	: -44.4 daN/m	Freccia Car.Tot.	: -6.33 mm
Carico Variabile	: 0.0 daN/m	Freccia Max Car.Acc. L/300	: 21.67 mm
Carico Totale	: -44.4 daN/m	Freccia Max Car.Tot. L/250	: 26.00 mm
Monta iniziale	: 0.00 mm	Fattore di sicurezza	: 3.65

Trave - IMP. : Piano 1 - Fili 52, 53 - [Asta 52] : OMG80X50X30X3.0

Sezione OMG80X50X30X3.0. Acciaio S275

-ESITO VERIFICHE POSITIVO-

VERIFICHE DI RESISTENZA. (ESITO POSITIVO)

AZIONI DI PROGETTO								
Comb. più gravosa	Sez.	N [daN]	Ty [daN]	Tz [daN]	My [daNm]	Mz [daNm]	Mt [danM]	Incr. Az.
Comb 29 [SLV] [ST]	7	61	0	410	369	0	0	NO

TIPO VERIFICA : PRESSOFLESSIONE
 Classe sezione : 1
 · Resistenza assiale plastica : 19662.1 daN
 · Mom. res. plastico Y (A.P.I.) : 522.9 daNm
 · Mom. res. plastico Z (A.P.I.) : 482.5 daNm
 · Fattore di sicurezza : **1.411**

VERIFICA DI STABILITA' A COMPRESSIONE. (ESITO POSITIVO)

L'asta in oggetto non risulta interessata da azioni esterne destabilizzanti di rilievo a carico di punta.

VERIFICA DI STABILITA' FLESSO-TORSIONALE.

D.M.17/01/2018 - §4.2.4.1.3.2

Mcr : 1683 daNm
 λ_{LT} : 0.57
 χ_{LT} : 0.89
 MbRd : 467.82 daNm
 · Fattore di sicurezza : **1.268**

VERIFICHE DI DEFORMABILITA' (ESITO POSITIVO)

Lunghezza L	: 1800 mm	Freccia Car.Acc.	: 0.00 mm
Peso Proprio Trave	: -5.9 daN/m	Freccia Car.Tot.	: -2.37 mm
Carico Variabile	: 0.0 daN/m	Freccia Max Car.Acc. L/300	: 6.00 mm
Carico Totale	: -18.9 daN/m	Freccia Max Car.Tot. L/250	: 7.20 mm
Monta iniziale	: 0.00 mm	Fattore di sicurezza	: 3.04

Trave - IMP. : Piano 1 - Fili 53, 54 - [Asta 53] : OMG80X50X30X3.0

Sezione OMG80X50X30X3.0. Acciaio S275

-ESITO VERIFICHE POSITIVO-

VERIFICHE DI RESISTENZA. (ESITO POSITIVO)

AZIONI DI PROGETTO								
Comb. più gravosa	Sez.	N [daN]	Ty [daN]	Tz [daN]	My [daNm]	Mz [daNm]	Mt [danM]	Incr. Az.
Comb 29 [SLV] [ST]	1	-61	0	-410	369	0	0	NO

TIPO VERIFICA : PRESSOFLESSIONE
 Classe sezione : 1
 · Resistenza assiale plastica : 19662.1 daN
 · Mom. res. plastico Y (A.P.I.) : 522.9 daNm
 · Mom. res. plastico Z (A.P.I.) : 482.5 daNm
 · Fattore di sicurezza : **1.411**

VERIFICA DI STABILITA' A COMPRESSIONE. (ESITO POSITIVO)

L'asta in oggetto non risulta interessata da azioni esterne destabilizzanti di rilievo a carico di punta.

VERIFICA DI STABILITA' FLESSO-TORSIONALE.

D.M.17/01/2018 - §4.2.4.1.3.2

Mcr : 1683 daNm
 λ_{LT} : 0.57
 χ_{LT} : 0.89
 MbRd : 467.82 daNm
 · Fattore di sicurezza : **1.268**

VERIFICHE DI DEFORMABILITA'. (ESITO POSITIVO)

Lunghezza L	: 1800 mm	Freccia Car.Acc.	: 0.00 mm
Peso Proprio Trave	: -5.9 daN/m	Freccia Car.Tot.	: -2.37 mm
Carico Variabile	: 0.0 daN/m	Freccia Max Car.Acc. L/300	: 6.00 mm
Carico Totale	: -18.9 daN/m	Freccia Max Car.Tot. L/250	: 7.20 mm
Monta iniziale	: 0.00 mm	Fattore di sicurezza	: 3.04

Trave - IMP. : Piano 1 - Fili 55, 56 - [Asta 55] : OMG80X50X30X3.0

Sezione OMG80X50X30X3.0. Acciaio S275

-ESITO VERIFICHE POSITIVO-

VERIFICHE DI RESISTENZA. (ESITO POSITIVO)

AZIONI DI PROGETTO								
Comb. più gravosa	Sez.	N [daN]	Ty [daN]	Tz [daN]	My [daNm]	Mz [daNm]	Mt [danM]	Incr. Az.
Comb 29 [SLV] [ST]	7	61	0	410	369	0	0	NO

TIPO VERIFICA : PRESSOFLESSIONE
 Classe sezione : 1
 · Resistenza assiale plastica : 19662.1 daN
 · Mom. res. plastico Y (A.P.I.) : 522.9 daNm
 · Mom. res. plastico Z (A.P.I.) : 482.5 daNm
 · Fattore di sicurezza : **1.411**

VERIFICA DI STABILITA' A COMPRESSIONE. (ESITO POSITIVO)

L'asta in oggetto non risulta interessata da azioni esterne destabilizzanti di rilievo a carico di punta.

VERIFICA DI STABILITA' FLESSO-TORSIONALE.

D.M.17/01/2018 - §4.2.4.1.3.2

Mcr : 1683 daNm
 λ_{LT} : 0.57
 χ_{LT} : 0.89
 MbRd : 467.82 daNm
 · Fattore di sicurezza : **1.268**

VERIFICHE DI DEFORMABILITA' (ESITO POSITIVO)

Lunghezza L : 1800 mm Freccia Car.Acc. : 0.00 mm
 Peso Proprio Trave : -5.9 daN/m Freccia Car.Tot. : -2.37 mm
 Carico Variabile : 0.0 daN/m Freccia Max Car.Acc. L/300 : 6.00 mm
 Carico Totale : -18.9 daN/m Freccia Max Car.Tot. L/250 : 7.20 mm
 Monta iniziale : 0.00 mm Fattore di sicurezza : 3.04

Trave - IMP. : Piano 1 - Fili 56, 57 - [Asta 56] : OMG80X50X30X3.0

Sezione OMG80X50X30X3.0. Acciaio S275
 -ESITO VERIFICHE POSITIVO-

VERIFICHE DI RESISTENZA. (ESITO POSITIVO)

AZIONI DI PROGETTO								
Comb. più gravosa	Sez.	N [daN]	Ty [daN]	Tz [daN]	My [daNm]	Mz [daNm]	Mt [danM]	Incr. Az.
Comb 29 [SLV] [ST]	1	-61	0	-410	369	0	0	NO

TIPO VERIFICA : PRESSOFLESSIONE
 Classe sezione : 1
 · Resistenza assiale plastica : 19662.1 daN
 · Mom. res. plastico Y (A.P.I.) : 522.9 daNm
 · Mom. res. plastico Z (A.P.I.) : 482.5 daNm
 · Fattore di sicurezza : **1.411**

VERIFICA DI STABILITA' A COMPRESSIONE. (ESITO POSITIVO)

L'asta in oggetto non risulta interessata da azioni esterne destabilizzanti di rilievo a carico di punta.

VERIFICA DI STABILITA' FLESSO-TORSIONALE.
 D.M.17/01/2018 - §4.2.4.1.3.2

Mcr : 1683 daNm
 λ_{LT} : 0.57
 χ_{LT} : 0.89
 MbRd : 467.82 daNm
 · Fattore di sicurezza : **1.268**

VERIFICHE DI DEFORMABILITA' (ESITO POSITIVO)

Lunghezza L : 1800 mm Freccia Car.Acc. : 0.00 mm
 Peso Proprio Trave : -5.9 daN/m Freccia Car.Tot. : -2.37 mm
 Carico Variabile : 0.0 daN/m Freccia Max Car.Acc. L/300 : 6.00 mm
 Carico Totale : -18.9 daN/m Freccia Max Car.Tot. L/250 : 7.20 mm
 Monta iniziale : 0.00 mm Fattore di sicurezza : 3.04

Trave - IMP. : Piano 1 - Fili 58, 59 - [Asta 58] : OMG80X50X30X3.0

Sezione OMG80X50X30X3.0. Acciaio S275
 -ESITO VERIFICHE POSITIVO-

VERIFICHE DI RESISTENZA. (ESITO POSITIVO)

AZIONI DI PROGETTO								
Comb. più gravosa	Sez.	N [daN]	Ty [daN]	Tz [daN]	My [daNm]	Mz [daNm]	Mt [danM]	Incr. Az.
Comb 29 [SLV] [ST]	7	61	0	410	369	0	0	NO

TIPO VERIFICA : PRESSOFLESSIONE
 Classe sezione : 1
 · Resistenza assiale plastica : 19662.1 daN
 · Mom. res. plastico Y (A.P.I.) : 522.9 daNm
 · Mom. res. plastico Z (A.P.I.) : 482.5 daNm
 · Fattore di sicurezza : **1.411**

VERIFICA DI STABILITA' A COMPRESSIONE. (ESITO POSITIVO)

L'asta in oggetto non risulta interessata da azioni esterne destabilizzanti di rilievo a carico di punta.

VERIFICA DI STABILITA' FLESSO-TORSIONALE.

D.M.17/01/2018 - §4.2.4.1.3.2

Mcr : 1683 daNm
 λLT : 0.57
 χLT : 0.89
 MbRd : 467.82 daNm
 · Fattore di sicurezza : **1.268**

VERIFICHE DI DEFORMABILITA'. (ESITO POSITIVO)

Lunghezza L	: 1800 mm	Freccia Car.Acc.	: 0.00 mm
Peso Proprio Trave	: -5.9 daN/m	Freccia Car.Tot.	: -2.37 mm
Carico Variabile	: 0.0 daN/m	Freccia Max Car.Acc. L/300	: 6.00 mm
Carico Totale	: -18.9 daN/m	Freccia Max Car.Tot. L/250	: 7.20 mm
Monta iniziale	: 0.00 mm	Fattore di sicurezza	: 3.04

Trave - IMP. : Piano 1 - Fili 59, 60 - [Asta 59] : OMG80X50X30X3.0

Sezione OMG80X50X30X3.0. Acciaio S275

-ESITO VERIFICHE POSITIVO-

VERIFICHE DI RESISTENZA. (ESITO POSITIVO)

AZIONI DI PROGETTO								
Comb. più gravosa	Sez.	N [daN]	Ty [daN]	Tz [daN]	My [daNm]	Mz [daNm]	Mt [danM]	Incr. Az.
Comb 29 [SLV] [ST]	1	-61	0	-410	369	0	0	NO

TIPO VERIFICA : PRESSOFLESSIONE
 Classe sezione : 1
 · Resistenza assiale plastica : 19662.1 daN
 · Mom. res. plastico Y (A.P.I.) : 522.9 daNm
 · Mom. res. plastico Z (A.P.I.) : 482.5 daNm
 · Fattore di sicurezza : **1.411**

VERIFICA DI STABILITA' A COMPRESSIONE. (ESITO POSITIVO)

L'asta in oggetto non risulta interessata da azioni esterne destabilizzanti di rilievo a carico di punta.

VERIFICA DI STABILITA' FLESSO-TORSIONALE.

D.M.17/01/2018 - §4.2.4.1.3.2

Mcr : 1683 daNm
 λ_{LT} : 0.57
 χ_{LT} : 0.89
 MbRd : 467.82 daNm
 · Fattore di sicurezza : **1.268**

VERIFICHE DI DEFORMABILITA' (ESITO POSITIVO)

Lunghezza L	: 1800 mm	Freccia Car.Acc.	: 0.00 mm
Peso Proprio Trave	: -5.9 daN/m	Freccia Car.Tot.	: -2.37 mm
Carico Variabile	: 0.0 daN/m	Freccia Max Car.Acc. L/300	: 6.00 mm
Carico Totale	: -18.9 daN/m	Freccia Max Car.Tot. L/250	: 7.20 mm
Monta iniziale	: 0.00 mm	Fattore di sicurezza	: 3.04

Trave - IMP. : Piano 1 - Fili 61, 62 - [Asta 61] : OMG80X50X30X3.0

Sezione OMG80X50X30X3.0. Acciaio S275
-ESITO VERIFICHE POSITIVO-

VERIFICHE DI RESISTENZA (ESITO POSITIVO)

AZIONI DI PROGETTO								
Comb. più gravosa	Sez.	N [daN]	Ty [daN]	Tz [daN]	My [daNm]	Mz [daNm]	Mt [danM]	Incr. Az.
Comb 29 [SLV] [ST]	7	61	0	410	369	0	0	NO

TIPO VERIFICA : PRESSOFLESSIONE
 Classe sezione : 1
 · Resistenza assiale plastica : 19662.1 daN
 · Mom. res. plastico Y (A.P.I.) : 522.9 daNm
 · Mom. res. plastico Z (A.P.I.) : 482.5 daNm
 · Fattore di sicurezza : **1.411**

VERIFICA DI STABILITA' A COMPRESSIONE. (ESITO POSITIVO)

L'asta in oggetto non risulta interessata da azioni esterne destabilizzanti di rilievo a carico di punta.

VERIFICA DI STABILITA' FLESSO-TORSIONALE.

D.M.17/01/2018 - §4.2.4.1.3.2

Mcr : 1683 daNm
 λ_{LT} : 0.57
 χ_{LT} : 0.89
 MbRd : 467.82 daNm
 · Fattore di sicurezza : **1.268**

VERIFICHE DI DEFORMABILITA' (ESITO POSITIVO)

Lunghezza L	: 1800 mm	Freccia Car.Acc.	: 0.00 mm
Peso Proprio Trave	: -5.9 daN/m	Freccia Car.Tot.	: -2.37 mm
Carico Variabile	: 0.0 daN/m	Freccia Max Car.Acc. L/300	: 6.00 mm
Carico Totale	: -18.9 daN/m	Freccia Max Car.Tot. L/250	: 7.20 mm
Monta iniziale	: 0.00 mm	Fattore di sicurezza	: 3.04

Trave - IMP. : Piano 1 - Fili 62, 63 - [Asta 62] : OMG80X50X30X3.0

Sezione OMG80X50X30X3.0. Acciaio S275
-ESITO VERIFICHE POSITIVO-

VERIFICHE DI RESISTENZA. (ESITO POSITIVO)

AZIONI DI PROGETTO								
Comb. più gravosa	Sez.	N [daN]	Ty [daN]	Tz [daN]	My [daNm]	Mz [daNm]	Mt [danM]	Incr. Az.
Comb 29 [SLV] [ST]	1	-61	0	-410	369	0	0	NO

TIPO VERIFICA : PRESSOFLESSIONE
 Classe sezione : 1
 · Resistenza assiale plastica : 19662.1 daN
 · Mom. res. plastico Y (A.P.I.) : 522.9 daNm
 · Mom. res. plastico Z (A.P.I.) : 482.5 daNm
 · Fattore di sicurezza : **1.411**

VERIFICA DI STABILITA' A COMPRESSIONE. (ESITO POSITIVO)

L'asta in oggetto non risulta interessata da azioni esterne destabilizzanti di rilievo a carico di punta.

VERIFICA DI STABILITA' FLESSO-TORSIONALE.

D.M.17/01/2018 - §4.2.4.1.3.2

Mcr : 1683 daNm
 λ_{LT} : 0.57
 χ_{LT} : 0.89
 MbRd : 467.82 daNm
 · Fattore di sicurezza : **1.268**

VERIFICHE DI DEFORMABILITA'. (ESITO POSITIVO)

Lunghezza L	: 1800 mm	Freccia Car.Acc.	: 0.00 mm
Peso Proprio Trave	: -5.9 daN/m	Freccia Car.Tot.	: -2.37 mm
Carico Variabile	: 0.0 daN/m	Freccia Max Car.Acc. L/300	: 6.00 mm
Carico Totale	: -18.9 daN/m	Freccia Max Car.Tot. L/250	: 7.20 mm
Monta iniziale	: 0.00 mm	Fattore di sicurezza	: 3.04

Trave - IMP. : Piano 1 - Fili 64, 65 - [Asta 64] : OMG80X50X30X3.0

Sezione OMG80X50X30X3.0. Acciaio S275
-ESITO VERIFICHE POSITIVO-

VERIFICHE DI RESISTENZA. (ESITO POSITIVO)

AZIONI DI PROGETTO								
Comb. più gravosa	Sez.	N [daN]	Ty [daN]	Tz [daN]	My [daNm]	Mz [daNm]	Mt [danM]	Incr. Az.
Comb 29 [SLV] [ST]	7	61	0	410	369	0	0	NO

TIPO VERIFICA : PRESSOFLESSIONE
 Classe sezione : 1
 · Resistenza assiale plastica : 19662.1 daN
 · Mom. res. plastico Y (A.P.I.) : 522.9 daNm
 · Mom. res. plastico Z (A.P.I.) : 482.5 daNm
 · Fattore di sicurezza : **1.411**

VERIFICA DI STABILITA' A COMPRESSIONE. (ESITO POSITIVO)

L'asta in oggetto non risulta interessata da azioni esterne destabilizzanti di rilievo a carico di punta.

VERIFICA DI STABILITA' FLESSO-TORSIONALE.

D.M.17/01/2018 - §4.2.4.1.3.2

Mcr : 1683 daNm
 λ_{LT} : 0.57
 χ_{LT} : 0.89
 MbRd : 467.82 daNm
 · Fattore di sicurezza : **1.268**

VERIFICHE DI DEFORMABILITA' (ESITO POSITIVO)

Lunghezza L	: 1800 mm	Freccia Car.Acc.	: 0.00 mm
Peso Proprio Trave	: -5.9 daN/m	Freccia Car.Tot.	: -2.37 mm
Carico Variabile	: 0.0 daN/m	Freccia Max Car.Acc. L/300	: 6.00 mm
Carico Totale	: -18.9 daN/m	Freccia Max Car.Tot. L/250	: 7.20 mm
Monta iniziale	: 0.00 mm	Fattore di sicurezza	: 3.04

Trave - IMP. : Piano 1 - Fili 65, 66 - [Asta 65] : OMG80X50X30X3.0

Sezione OMG80X50X30X3.0. Acciaio S275

-ESITO VERIFICHE POSITIVO-

VERIFICHE DI RESISTENZA (ESITO POSITIVO)

AZIONI DI PROGETTO								
Comb. più gravosa	Sez.	N [daN]	Ty [daN]	Tz [daN]	My [daNm]	Mz [daNm]	Mt [danM]	Incr. Az.
Comb 29 [SLV] [ST]	1	-61	0	-410	369	0	0	NO

TIPO VERIFICA : PRESSOFLESSIONE
 Classe sezione : 1
 · Resistenza assiale plastica : 19662.1 daN
 · Mom. res. plastico Y (A.P.I.) : 522.9 daNm
 · Mom. res. plastico Z (A.P.I.) : 482.5 daNm
 · Fattore di sicurezza : **1.411**

VERIFICA DI STABILITA' A COMPRESSIONE. (ESITO POSITIVO)

L'asta in oggetto non risulta interessata da azioni esterne destabilizzanti di rilievo a carico di punta.

VERIFICA DI STABILITA' FLESSO-TORSIONALE.

D.M.17/01/2018 - §4.2.4.1.3.2

Mcr : 1683 daNm
 λ_{LT} : 0.57
 χ_{LT} : 0.89
 MbRd : 467.82 daNm
 · Fattore di sicurezza : **1.268**

VERIFICHE DI DEFORMABILITA' (ESITO POSITIVO)

Lunghezza L	: 1800 mm	Freccia Car.Acc.	: 0.00 mm
Peso Proprio Trave	: -5.9 daN/m	Freccia Car.Tot.	: -2.37 mm
Carico Variabile	: 0.0 daN/m	Freccia Max Car.Acc. L/300	: 6.00 mm
Carico Totale	: -18.9 daN/m	Freccia Max Car.Tot. L/250	: 7.20 mm
Monta iniziale	: 0.00 mm	Fattore di sicurezza	: 3.04

Trave - IMP. : Piano 1 - Fili 65, 83 - [Asta 66,69,72,75,78,81] : Q160x100

Sezione Q160x100. Acciaio S275
-ESITO VERIFICHE POSITIVO-

VERIFICHE DI RESISTENZA. (ESITO POSITIVO)

AZIONI DI PROGETTO								
Comb. più gravosa	Sez.	N [daN]	Ty [daN]	Tz [daN]	My [daNm]	Mz [daNm]	Mt [danM]	Incr. Az.
Comb 29 [SLV] [ST]	1	-755	413	2382	-3451	626	-11	NO

TIPO VERIFICA : PRESSOFLESSIONE
 Classe sezione : 1
 · Resistenza assiale plastica : 148116.2 daN
 · Mom. res. plastico Y (A.P.I.) : 8141.4 daNm
 · Mom. res. plastico Z (A.P.I.) : 8141.4 daNm
 · Fattore di sicurezza : **1.977**

VERIFICA DI STABILITA' A COMPRESSIONE. (ESITO POSITIVO)

L'asta in oggetto non risulta interessata da azioni esterne destabilizzanti di rilievo a carico di punta.

VERIFICA DI STABILITA' FLESSO-TORSIONALE.

D.M.17/01/2018 - §4.2.4.1.3.2

Mcr : 820286 daNm
 λLT : 0.10
 χLT : 1.00
 MbRd : 8141.37 daNm
 · Fattore di sicurezza : **2.359**

VERIFICHE DI DEFORMABILITA'. (ESITO POSITIVO)

Lunghezza L	: 7800 mm	Freccia Car.Acc.	: -11.44 mm
Peso Proprio Trave	: -44.4 daN/m	Freccia Car.Tot.	: -12.20 mm
Carico Variabile	: 0.0 daN/m	Freccia Max Car.Acc. L/300	: 26.00 mm
Carico Totale	: -44.4 daN/m	Freccia Max Car.Tot. L/250	: 31.20 mm
Monta iniziale	: 0.00 mm	Fattore di sicurezza	: 2.27

Trave - IMP. : Piano 1 - Fili 67, 68 - [Asta 67] : OMG80X50X30X3.0

Sezione OMG80X50X30X3.0. Acciaio S275
-ESITO VERIFICHE POSITIVO-

VERIFICHE DI RESISTENZA. (ESITO POSITIVO)

AZIONI DI PROGETTO								
Comb. più gravosa	Sez.	N [daN]	Ty [daN]	Tz [daN]	My [daNm]	Mz [daNm]	Mt [danM]	Incr. Az.
Comb 29 [SLV] [ST]	7	61	0	410	369	0	0	NO

TIPO VERIFICA : PRESSOFLESSIONE
 Classe sezione : 1
 · Resistenza assiale plastica : 19662.1 daN
 · Mom. res. plastico Y (A.P.I.) : 522.9 daNm
 · Mom. res. plastico Z (A.P.I.) : 482.5 daNm
 · Fattore di sicurezza : **1.411**

VERIFICA DI STABILITA' A COMPRESSIONE. (ESITO POSITIVO)

L'asta in oggetto non risulta interessata da azioni esterne destabilizzanti di rilievo a carico di punta.

VERIFICA DI STABILITA' FLESSO-TORSIONALE.

D.M.17/01/2018 - §4.2.4.1.3.2

Mcr : 1683 daNm
 λ_{LT} : 0.57
 χ_{LT} : 0.89
 MbRd : 467.82 daNm
 · Fattore di sicurezza : **1.268**

VERIFICHE DI DEFORMABILITA'. (ESITO POSITIVO)

Lunghezza L	: 1800 mm	Freccia Car.Acc.	: 0.00 mm
Peso Proprio Trave	: -5.9 daN/m	Freccia Car.Tot.	: -2.37 mm
Carico Variabile	: 0.0 daN/m	Freccia Max Car.Acc. L/300	: 6.00 mm
Carico Totale	: -18.9 daN/m	Freccia Max Car.Tot. L/250	: 7.20 mm
Monta iniziale	: 0.00 mm	Fattore di sicurezza	: 3.04

Trave - IMP. : Piano 1 - Fili 68, 69 - [Asta 68] : OMG80X50X30X3.0

Sezione OMG80X50X30X3.0. Acciaio S275

-ESITO VERIFICHE POSITIVO-

VERIFICHE DI RESISTENZA. (ESITO POSITIVO)

AZIONI DI PROGETTO								
Comb. più gravosa	Sez.	N [daN]	Ty [daN]	Tz [daN]	My [daNm]	Mz [daNm]	Mt [danM]	Incr. Az.
Comb 29 [SLV] [ST]	1	-61	0	-410	369	0	0	NO

TIPO VERIFICA : PRESSOFLESSIONE
 Classe sezione : 1
 · Resistenza assiale plastica : 19662.1 daN
 · Mom. res. plastico Y (A.P.I.) : 522.9 daNm
 · Mom. res. plastico Z (A.P.I.) : 482.5 daNm
 · Fattore di sicurezza : **1.411**

VERIFICA DI STABILITA' A COMPRESSIONE. (ESITO POSITIVO)

L'asta in oggetto non risulta interessata da azioni esterne destabilizzanti di rilievo a carico di punta.

VERIFICA DI STABILITA' FLESSO-TORSIONALE.

D.M.17/01/2018 - §4.2.4.1.3.2

Mcr : 1683 daNm
 λ_{LT} : 0.57
 χ_{LT} : 0.89
 MbRd : 467.82 daNm
 · Fattore di sicurezza : **1.268**

VERIFICHE DI DEFORMABILITA'. (ESITO POSITIVO)

Lunghezza L	: 1800 mm	Freccia Car.Acc.	: 0.00 mm
Peso Proprio Trave	: -5.9 daN/m	Freccia Car.Tot.	: -2.37 mm

Carico Variabile	: 0.0 daN/m	Freccia Max Car.Acc. L/300	: 6.00 mm
Carico Totale	: -18.9 daN/m	Freccia Max Car.Tot. L/250	: 7.20 mm
Monta iniziale	: 0.00 mm	Fattore di sicurezza	: 3.04

Trave - IMP. : Piano 1 - Fili 70, 71 - [Asta 70] : OMG80X50X30X3.0

Sezione OMG80X50X30X3.0. Acciaio S275

-ESITO VERIFICHE POSITIVO-

VERIFICHE DI RESISTENZA. (ESITO POSITIVO)

AZIONI DI PROGETTO								
Comb. più gravosa	Sez.	N [daN]	Ty [daN]	Tz [daN]	My [daNm]	Mz [daNm]	Mt [danM]	Incr. Az.
Comb 29 [SLV] [ST]	7	61	0	410	369	0	0	NO

TIPO VERIFICA	: PRESSOFLESSIONE
Classe sezione	: 1
· Resistenza assiale plastica	: 19662.1 daN
· Mom. res. plastico Y (A.P.I.)	: 522.9 daNm
· Mom. res. plastico Z (A.P.I.)	: 482.5 daNm
· Fattore di sicurezza	: 1.411

VERIFICA DI STABILITA' A COMPRESSIONE. (ESITO POSITIVO)

L'asta in oggetto non risulta interessata da azioni esterne destabilizzanti di rilievo a carico di punta.

VERIFICA DI STABILITA' FLESSO-TORSIONALE.

D.M.17/01/2018 - §4.2.4.1.3.2

Mcr	: 1683 daNm
λ_{LT}	: 0.57
χ_{LT}	: 0.89
MbRd	: 467.82 daNm
· Fattore di sicurezza	: 1.268

VERIFICHE DI DEFORMABILITA'. (ESITO POSITIVO)

Lunghezza L	: 1800 mm	Freccia Car.Acc.	: 0.00 mm
Peso Proprio Trave	: -5.9 daN/m	Freccia Car.Tot.	: -2.37 mm
Carico Variabile	: 0.0 daN/m	Freccia Max Car.Acc. L/300	: 6.00 mm
Carico Totale	: -18.9 daN/m	Freccia Max Car.Tot. L/250	: 7.20 mm
Monta iniziale	: 0.00 mm	Fattore di sicurezza	: 3.04

Trave - IMP. : Piano 1 - Fili 71, 72 - [Asta 71] : OMG80X50X30X3.0

Sezione OMG80X50X30X3.0. Acciaio S275

-ESITO VERIFICHE POSITIVO-

VERIFICHE DI RESISTENZA. (ESITO POSITIVO)

AZIONI DI PROGETTO								
Comb. più gravosa	Sez.	N [daN]	Ty [daN]	Tz [daN]	My [daNm]	Mz [daNm]	Mt [danM]	Incr. Az.
Comb 29 [SLV] [ST]	1	-61	0	-410	369	0	0	NO

TIPO VERIFICA	: PRESSOFLESSIONE
Classe sezione	: 1
· Resistenza assiale plastica	: 19662.1 daN
· Mom. res. plastico Y (A.P.I.)	: 522.9 daNm

- Mom. res. plastico Z (A.P.I.) : 482.5 daNm
- Fattore di sicurezza : **1.411**

VERIFICA DI STABILITA' A COMPRESSIONE. (ESITO POSITIVO)

L'asta in oggetto non risulta interessata da azioni esterne destabilizzanti di rilievo a carico di punta.

VERIFICA DI STABILITA' FLESSO-TORSIONALE.

D.M.17/01/2018 - §4.2.4.1.3.2

- Mcr : 1683 daNm
- λ_{LT} : 0.57
- χ_{LT} : 0.89
- MbRd : 467.82 daNm
- Fattore di sicurezza : **1.268**

VERIFICHE DI DEFORMABILITA'. (ESITO POSITIVO)

Lunghezza L	: 1800 mm	Freccia Car.Acc.	: 0.00 mm
Peso Proprio Trave	: -5.9 daN/m	Freccia Car.Tot.	: -2.37 mm
Carico Variabile	: 0.0 daN/m	Freccia Max Car.Acc. L/300	: 6.00 mm
Carico Totale	: -18.9 daN/m	Freccia Max Car.Tot. L/250	: 7.20 mm
Monta iniziale	: 0.00 mm	Fattore di sicurezza	: 3.04

Trave - IMP. : Piano 1 - Fili 73, 74 - [Asta 73] : OMG80X50X30X3.0

Sezione OMG80X50X30X3.0. Acciaio S275

-ESITO VERIFICHE POSITIVO-

VERIFICHE DI RESISTENZA. (ESITO POSITIVO)

AZIONI DI PROGETTO								
Comb. più gravosa	Sez.	N [daN]	Ty [daN]	Tz [daN]	My [daNm]	Mz [daNm]	Mt [danM]	Incr. Az.
Comb 29 [SLV] [ST]	7	61	0	410	369	0	0	NO

- TIPO VERIFICA : PRESSOFLESSIONE
- Classe sezione : 1
- Resistenza assiale plastica : 19662.1 daN
- Mom. res. plastico Y (A.P.I.) : 522.9 daNm
- Mom. res. plastico Z (A.P.I.) : 482.5 daNm
- Fattore di sicurezza : **1.411**

VERIFICA DI STABILITA' A COMPRESSIONE. (ESITO POSITIVO)

L'asta in oggetto non risulta interessata da azioni esterne destabilizzanti di rilievo a carico di punta.

VERIFICA DI STABILITA' FLESSO-TORSIONALE.

D.M.17/01/2018 - §4.2.4.1.3.2

- Mcr : 1683 daNm
- λ_{LT} : 0.57
- χ_{LT} : 0.89
- MbRd : 467.82 daNm
- Fattore di sicurezza : **1.268**

VERIFICHE DI DEFORMABILITA'. (ESITO POSITIVO)

Lunghezza L	: 1800 mm	Freccia Car.Acc.	: 0.00 mm
Peso Proprio Trave	: -5.9 daN/m	Freccia Car.Tot.	: -2.37 mm
Carico Variabile	: 0.0 daN/m	Freccia Max Car.Acc. L/300	: 6.00 mm
Carico Totale	: -18.9 daN/m	Freccia Max Car.Tot. L/250	: 7.20 mm
Monta iniziale	: 0.00 mm	Fattore di sicurezza	: 3.04

Trave - IMP. : Piano 1 - Fili 74, 75 - [Asta 74] : OMG80X50X30X3.0

Sezione OMG80X50X30X3.0. Acciaio S275
-ESITO VERIFICHE POSITIVO-

VERIFICHE DI RESISTENZA. (ESITO POSITIVO)

AZIONI DI PROGETTO								
Comb. più gravosa	Sez.	N [daN]	Ty [daN]	Tz [daN]	My [daNm]	Mz [daNm]	Mt [danM]	Incr. Az.
Comb 29 [SLV] [ST]	1	-61	0	-410	369	0	0	NO

TIPO VERIFICA	: PRESSOFLESSIONE
Classe sezione	: 1
· Resistenza assiale plastica	: 19662.1 daN
· Mom. res. plastico Y (A.P.I.)	: 522.9 daNm
· Mom. res. plastico Z (A.P.I.)	: 482.5 daNm
· Fattore di sicurezza	: 1.411

VERIFICA DI STABILITA' A COMPRESSIONE. (ESITO POSITIVO)

L'asta in oggetto non risulta interessata da azioni esterne destabilizzanti di rilievo a carico di punta.

VERIFICA DI STABILITA' FLESSO-TORSIONALE.

D.M.17/01/2018 - §4.2.4.1.3.2

Mcr	: 1683 daNm
λ_{LT}	: 0.57
χ_{LT}	: 0.89
MbRd	: 467.82 daNm
· Fattore di sicurezza	: 1.268

VERIFICHE DI DEFORMABILITA'. (ESITO POSITIVO)

Lunghezza L	: 1800 mm	Freccia Car.Acc.	: 0.00 mm
Peso Proprio Trave	: -5.9 daN/m	Freccia Car.Tot.	: -2.37 mm
Carico Variabile	: 0.0 daN/m	Freccia Max Car.Acc. L/300	: 6.00 mm
Carico Totale	: -18.9 daN/m	Freccia Max Car.Tot. L/250	: 7.20 mm
Monta iniziale	: 0.00 mm	Fattore di sicurezza	: 3.04

Trave - IMP. : Piano 1 - Fili 76, 77 - [Asta 76] : OMG80X50X30X3.0

Sezione OMG80X50X30X3.0. Acciaio S275
-ESITO VERIFICHE POSITIVO-

VERIFICHE DI RESISTENZA. (ESITO POSITIVO)

AZIONI DI PROGETTO								
Comb. più gravosa	Sez.	N [daN]	Ty [daN]	Tz [daN]	My [daNm]	Mz [daNm]	Mt [danM]	Incr. Az.
Comb 29 [SLV] [ST]	7	61	0	410	369	0	0	NO

TIPO VERIFICA	: PRESSOFLESSIONE
---------------	-------------------

Classe sezione : 1
 · Resistenza assiale plastica : 19662.1 daN
 · Mom. res. plastico Y (A.P.I.) : 522.9 daNm
 · Mom. res. plastico Z (A.P.I.) : 482.5 daNm
 · Fattore di sicurezza : **1.411**

VERIFICA DI STABILITA' A COMPRESSIONE. (ESITO POSITIVO)

L'asta in oggetto non risulta interessata da azioni esterne destabilizzanti di rilievo a carico di punta.

VERIFICA DI STABILITA' FLESSO-TORSIONALE.

D.M.17/01/2018 - §4.2.4.1.3.2

Mcr : 1683 daNm
 λLT : 0.57
 χLT : 0.89
 MbRd : 467.82 daNm
 · Fattore di sicurezza : **1.268**

VERIFICHE DI DEFORMABILITA'. (ESITO POSITIVO)

Lunghezza L	: 1800 mm	Freccia Car.Acc.	: 0.00 mm
Peso Proprio Trave	: -5.9 daN/m	Freccia Car.Tot.	: -2.37 mm
Carico Variabile	: 0.0 daN/m	Freccia Max Car.Acc. L/300	: 6.00 mm
Carico Totale	: -18.9 daN/m	Freccia Max Car.Tot. L/250	: 7.20 mm
Monta iniziale	: 0.00 mm	Fattore di sicurezza	: 3.04

Trave - IMP. : Piano 1 - Fili 77, 78 - [Asta 77] : OMG80X50X30X3.0

Sezione OMG80X50X30X3.0. Acciaio S275

-ESITO VERIFICHE POSITIVO-

VERIFICHE DI RESISTENZA. (ESITO POSITIVO)

AZIONI DI PROGETTO								
Comb. più gravosa	Sez.	N [daN]	Ty [daN]	Tz [daN]	My [daNm]	Mz [daNm]	Mt [danM]	Incr. Az.
Comb 29 [SLV] [ST]	1	-61	0	-410	369	0	0	NO

TIPO VERIFICA : PRESSOFLESSIONE
 Classe sezione : 1
 · Resistenza assiale plastica : 19662.1 daN
 · Mom. res. plastico Y (A.P.I.) : 522.9 daNm
 · Mom. res. plastico Z (A.P.I.) : 482.5 daNm
 · Fattore di sicurezza : **1.411**

VERIFICA DI STABILITA' A COMPRESSIONE. (ESITO POSITIVO)

L'asta in oggetto non risulta interessata da azioni esterne destabilizzanti di rilievo a carico di punta.

VERIFICA DI STABILITA' FLESSO-TORSIONALE.

D.M.17/01/2018 - §4.2.4.1.3.2

Mcr : 1683 daNm
 λLT : 0.57
 χLT : 0.89
 MbRd : 467.82 daNm

· Fattore di sicurezza : **1.268**

VERIFICHE DI DEFORMABILITA'. (ESITO POSITIVO)

Lunghezza L	: 1800 mm	Freccia Car.Acc.	: 0.00 mm
Peso Proprio Trave	: -5.9 daN/m	Freccia Car.Tot.	: -2.37 mm
Carico Variabile	: 0.0 daN/m	Freccia Max Car.Acc. L/300	: 6.00 mm
Carico Totale	: -18.9 daN/m	Freccia Max Car.Tot. L/250	: 7.20 mm
Monta iniziale	: 0.00 mm	Fattore di sicurezza	: 3.04

Trave - IMP. : Piano 1 - Fili 79, 80 - [Asta 79] : OMG80X50X30X3.0

Sezione OMG80X50X30X3.0. Acciaio S275
-ESITO VERIFICHE POSITIVO-

VERIFICHE DI RESISTENZA. (ESITO POSITIVO)

AZIONI DI PROGETTO								
Comb. più gravosa	Sez.	N [daN]	Ty [daN]	Tz [daN]	My [daNm]	Mz [daNm]	Mt [danM]	Incr. Az.
Comb 29 [SLV] [ST]	7	61	0	410	369	0	0	NO

TIPO VERIFICA : PRESSOFLESSIONE
 Classe sezione : 1
 · Resistenza assiale plastica : 19662.1 daN
 · Mom. res. plastico Y (A.P.I.) : 522.9 daNm
 · Mom. res. plastico Z (A.P.I.) : 482.5 daNm
 · Fattore di sicurezza : **1.411**

VERIFICA DI STABILITA' A COMPRESSIONE. (ESITO POSITIVO)

L'asta in oggetto non risulta interessata da azioni esterne destabilizzanti di rilievo a carico di punta.

VERIFICA DI STABILITA' FLESSO-TORSIONALE.

D.M.17/01/2018 - §4.2.4.1.3.2

Mcr : 1683 daNm
 λ_{LT} : 0.57
 χ_{LT} : 0.89
 MbRd : 467.82 daNm
 · Fattore di sicurezza : **1.268**

VERIFICHE DI DEFORMABILITA'. (ESITO POSITIVO)

Lunghezza L	: 1800 mm	Freccia Car.Acc.	: 0.00 mm
Peso Proprio Trave	: -5.9 daN/m	Freccia Car.Tot.	: -2.37 mm
Carico Variabile	: 0.0 daN/m	Freccia Max Car.Acc. L/300	: 6.00 mm
Carico Totale	: -18.9 daN/m	Freccia Max Car.Tot. L/250	: 7.20 mm
Monta iniziale	: 0.00 mm	Fattore di sicurezza	: 3.04

Trave - IMP. : Piano 1 - Fili 80, 81 - [Asta 80] : OMG80X50X30X3.0

Sezione OMG80X50X30X3.0. Acciaio S275
-ESITO VERIFICHE POSITIVO-

VERIFICHE DI RESISTENZA. (ESITO POSITIVO)

AZIONI DI PROGETTO								
Comb. più gravosa	Sez.	N [daN]	Ty [daN]	Tz [daN]	My [daNm]	Mz [daNm]	Mt [danM]	Incr. Az.

Comb 29 [SLV] [ST]	1	-61	0	-410	369	0	0	NO
--------------------	---	-----	---	------	-----	---	---	----

TIPO VERIFICA : PRESSOFLESSIONE
 Classe sezione : 1
 · Resistenza assiale plastica : 19662.1 daN
 · Mom. res. plastico Y (A.P.I.) : 522.9 daNm
 · Mom. res. plastico Z (A.P.I.) : 482.5 daNm
 · Fattore di sicurezza : **1.411**

VERIFICA DI STABILITA' A COMPRESSIONE. (ESITO POSITIVO)

L'asta in oggetto non risulta interessata da azioni esterne destabilizzanti di rilievo a carico di punta.

VERIFICA DI STABILITA' FLESSO-TORSIONALE.

D.M.17/01/2018 - §4.2.4.1.3.2

Mcr : 1683 daNm
 λ_{LT} : 0.57
 χ_{LT} : 0.89
 MbRd : 467.82 daNm
 · Fattore di sicurezza : **1.268**

VERIFICHE DI DEFORMABILITA'. (ESITO POSITIVO)

Lunghezza L	: 1800 mm	Freccia Car.Acc.	: 0.00 mm
Peso Proprio Trave	: -5.9 daN/m	Freccia Car.Tot.	: -2.37 mm
Carico Variabile	: 0.0 daN/m	Freccia Max Car.Acc. L/300	: 6.00 mm
Carico Totale	: -18.9 daN/m	Freccia Max Car.Tot. L/250	: 7.20 mm
Monta iniziale	: 0.00 mm	Fattore di sicurezza	: 3.04

Trave - IMP. : Piano 1 - Fili 82, 83 - [Asta 82] : OMG80X50X30X3.0

Sezione OMG80X50X30X3.0. Acciaio S275

-ESITO VERIFICHE POSITIVO-

VERIFICHE DI RESISTENZA. (ESITO POSITIVO)

AZIONI DI PROGETTO								
Comb. più gravosa	Sez.	N [daN]	Ty [daN]	Tz [daN]	My [daNm]	Mz [daNm]	Mt [danM]	Incr. Az.
Comb 29 [SLV] [ST]	7	61	0	410	369	0	0	NO

TIPO VERIFICA : PRESSOFLESSIONE
 Classe sezione : 1
 · Resistenza assiale plastica : 19662.1 daN
 · Mom. res. plastico Y (A.P.I.) : 522.9 daNm
 · Mom. res. plastico Z (A.P.I.) : 482.5 daNm
 · Fattore di sicurezza : **1.411**

VERIFICA DI STABILITA' A COMPRESSIONE. (ESITO POSITIVO)

L'asta in oggetto non risulta interessata da azioni esterne destabilizzanti di rilievo a carico di punta.

VERIFICA DI STABILITA' FLESSO-TORSIONALE.

D.M.17/01/2018 - §4.2.4.1.3.2

Mcr : 1683 daNm

λ_{LT} : 0.57
 χ_{LT} : 0.89
 M_{bRd} : 467.82 daNm
 · Fattore di sicurezza : **1.268**

VERIFICHE DI DEFORMABILITA' (ESITO POSITIVO)

Lunghezza L	: 1800 mm	Freccia Car.Acc.	: 0.00 mm
Peso Proprio Trave	: -5.9 daN/m	Freccia Car.Tot.	: -2.37 mm
Carico Variabile	: 0.0 daN/m	Freccia Max Car.Acc. L/300	: 6.00 mm
Carico Totale	: -18.9 daN/m	Freccia Max Car.Tot. L/250	: 7.20 mm
Monta iniziale	: 0.00 mm	Fattore di sicurezza	: 3.04

Trave - IMP. : Piano 1 - Fili 83, 84 - [Asta 83] : OMG80X50X30X3.0

Sezione OMG80X50X30X3.0. Acciaio S275

-ESITO VERIFICHE POSITIVO-

VERIFICHE DI RESISTENZA. (ESITO POSITIVO)

AZIONI DI PROGETTO								
Comb. più gravosa	Sez.	N [daN]	Ty [daN]	Tz [daN]	My [daNm]	Mz [daNm]	Mt [danM]	Incr. Az.
Comb 29 [SLV] [ST]	1	-61	0	-410	369	0	0	NO

TIPO VERIFICA : PRESSOFLESSIONE
 Classe sezione : 1
 · Resistenza assiale plastica : 19662.1 daN
 · Mom. res. plastico Y (A.P.I.) : 522.9 daNm
 · Mom. res. plastico Z (A.P.I.) : 482.5 daNm
 · Fattore di sicurezza : **1.411**

VERIFICA DI STABILITA' A COMPRESSIONE. (ESITO POSITIVO)

L'asta in oggetto non risulta interessata da azioni esterne destabilizzanti di rilievo a carico di punta.

VERIFICA DI STABILITA' FLESSO-TORSIONALE.

D.M.17/01/2018 - §4.2.4.1.3.2

M_{cr} : 1683 daNm
 λ_{LT} : 0.57
 χ_{LT} : 0.89
 M_{bRd} : 467.82 daNm
 · Fattore di sicurezza : **1.268**

VERIFICHE DI DEFORMABILITA' (ESITO POSITIVO)

Lunghezza L	: 1800 mm	Freccia Car.Acc.	: 0.00 mm
Peso Proprio Trave	: -5.9 daN/m	Freccia Car.Tot.	: -2.37 mm
Carico Variabile	: 0.0 daN/m	Freccia Max Car.Acc. L/300	: 6.00 mm
Carico Totale	: -18.9 daN/m	Freccia Max Car.Tot. L/250	: 7.20 mm
Monta iniziale	: 0.00 mm	Fattore di sicurezza	: 3.04

Trave - IMP. : Piano 1 - Fili 83, 86 - [Asta 84] : Q160x100

Sezione Q160x100. Acciaio S275

-ESITO VERIFICHE POSITIVO-

VERIFICHE DI RESISTENZA. (ESITO POSITIVO)

AZIONI DI PROGETTO								
Comb. più gravosa	Sez.	N [daN]	Ty [daN]	Tz [daN]	My [daNm]	Mz [daNm]	Mt [danM]	Incr. Az.
Comb 29 [SLV] [ST]	1	0	188	858	-1091	202	0	NO

TIPO VERIFICA : PRESSOFLESSIONE
 Classe sezione : 1
 · Resistenza assiale plastica : 148116.2 daN
 · Mom. res. plastico Y (A.P.I.) : 8141.4 daNm
 · Mom. res. plastico Z (A.P.I.) : 8141.4 daNm
 · Fattore di sicurezza : **6.300**

VERIFICA DI STABILITA' A COMPRESSIONE. (ESITO POSITIVO)

L'asta in oggetto non risulta interessata da azioni esterne destabilizzanti di rilievo a carico di punta.

VERIFICA DI STABILITA' FLESSO-TORSIONALE.

D.M.17/01/2018 - §4.2.4.1.3.2

Mcr : 820286 daNm
 λ_{LT} : 0.10
 χ_{LT} : 1.00
 MbRd : 8141.37 daNm
 · Fattore di sicurezza : **7.465**

VERIFICHE DI DEFORMABILITA'. (ESITO POSITIVO)

L'asta in oggetto non risulta interessata da azioni esterne capaci di innescare fenomeni deformativi di rilievo.

Trave - IMP. : Piano 1 - Fili 85, 86 - [Asta 85] : OMG80X50X30X3.0

Sezione OMG80X50X30X3.0. Acciaio S275

-ESITO VERIFICHE POSITIVO-

VERIFICHE DI RESISTENZA. (ESITO POSITIVO)

AZIONI DI PROGETTO								
Comb. più gravosa	Sez.	N [daN]	Ty [daN]	Tz [daN]	My [daNm]	Mz [daNm]	Mt [danM]	Incr. Az.
Comb 29 [SLV] [ST]	7	61	0	410	369	0	0	NO

TIPO VERIFICA : PRESSOFLESSIONE
 Classe sezione : 1
 · Resistenza assiale plastica : 19662.1 daN
 · Mom. res. plastico Y (A.P.I.) : 522.9 daNm
 · Mom. res. plastico Z (A.P.I.) : 482.5 daNm
 · Fattore di sicurezza : **1.411**

VERIFICA DI STABILITA' A COMPRESSIONE. (ESITO POSITIVO)

L'asta in oggetto non risulta interessata da azioni esterne destabilizzanti di rilievo a carico di punta.

VERIFICA DI STABILITA' FLESSO-TORSIONALE.

D.M.17/01/2018 - §4.2.4.1.3.2

Mcr : 1683 daNm
 λ_{LT} : 0.57

χ_{LT} : 0.89
 MbRd : 467.82 daNm
 · Fattore di sicurezza : **1.268**

VERIFICHE DI DEFORMABILITA' (ESITO POSITIVO)

Lunghezza L	: 1800 mm	Freccia Car.Acc.	: 0.00 mm
Peso Proprio Trave	: -5.9 daN/m	Freccia Car.Tot.	: -2.37 mm
Carico Variabile	: 0.0 daN/m	Freccia Max Car.Acc. L/300	: 6.00 mm
Carico Totale	: -18.9 daN/m	Freccia Max Car.Tot. L/250	: 7.20 mm
Monta iniziale	: 0.00 mm	Fattore di sicurezza	: 3.04

Trave - IMP. : Piano 1 - Fili 86, 87 - [Asta 86] : OMG80X50X30X3.0

Sezione OMG80X50X30X3.0. Acciaio S275
 -ESITO VERIFICHE POSITIVO-

VERIFICHE DI RESISTENZA. (ESITO POSITIVO)

AZIONI DI PROGETTO								
Comb. più gravosa	Sez.	N [daN]	Ty [daN]	Tz [daN]	My [daNm]	Mz [daNm]	Mt [danM]	Incr. Az.
Comb 29 [SLV] [ST]	1	-61	0	-410	369	0	0	NO

TIPO VERIFICA : PRESSOFLESSIONE
 Classe sezione : 1
 · Resistenza assiale plastica : 19662.1 daN
 · Mom. res. plastico Y (A.P.I.) : 522.9 daNm
 · Mom. res. plastico Z (A.P.I.) : 482.5 daNm
 · Fattore di sicurezza : **1.411**

VERIFICA DI STABILITA' A COMPRESSIONE. (ESITO POSITIVO)

L'asta in oggetto non risulta interessata da azioni esterne destabilizzanti di rilievo a carico di punta.

VERIFICA DI STABILITA' FLESSO-TORSIONALE.

D.M.17/01/2018 - §4.2.4.1.3.2

Mcr : 1683 daNm
 λ_{LT} : 0.57
 χ_{LT} : 0.89
 MbRd : 467.82 daNm
 · Fattore di sicurezza : **1.268**

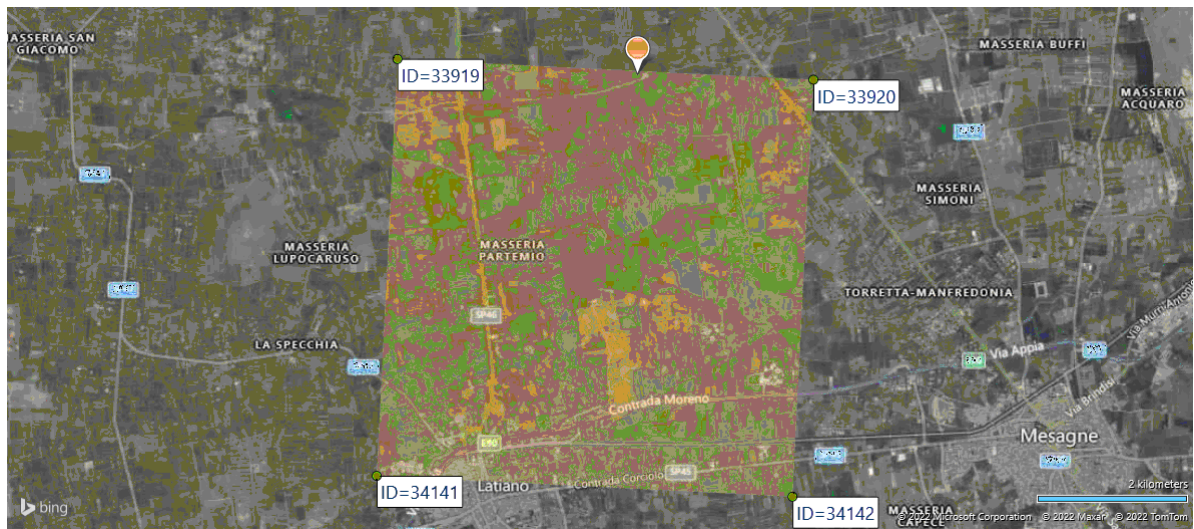
VERIFICHE DI DEFORMABILITA' (ESITO POSITIVO)

Lunghezza L	: 1800 mm	Freccia Car.Acc.	: 0.00 mm
Peso Proprio Trave	: -5.9 daN/m	Freccia Car.Tot.	: -2.37 mm
Carico Variabile	: 0.0 daN/m	Freccia Max Car.Acc. L/300	: 6.00 mm
Carico Totale	: -18.9 daN/m	Freccia Max Car.Tot. L/250	: 7.20 mm
Monta iniziale	: 0.00 mm	Fattore di sicurezza	: 3.04

5 ALLEGATI.

5.1 ALLEGATO A - (Pericolosità sismica di base)

Coordinate (Datum ED50) del sito : Latitudine = 40.6040° - Longitudine = 17.7433°



Identificativi e coordinate (Datum ED50) dei punti che includono il sito														
Punto	Lat. [°]	Long. [°]	SLV			SLC			SLD			SLO		
			Acc. sismica	Coeff. Fo	Periodo Tc*	Acc. sismica	Coeff. Fo	Periodo Tc*	Acc. sismica	Coeff. Fo	Periodo Tc*	Acc. sismica	Coeff. Fo	Periodo Tc*
33919	40.6061	17.7053	0.049	2.648	0.439	0.058	2.817	0.457	0.022	2.367	0.237	0.017	2.371	0.160
33920	40.6036	17.7711	0.048	2.605	0.443	0.057	2.767	0.463	0.021	2.381	0.228	0.016	2.363	0.158
34141	40.5561	17.7020	0.050	2.664	0.441	0.059	2.835	0.460	0.023	2.358	0.239	0.017	2.365	0.160
34142	40.5537	17.7678	0.049	2.610	0.447	0.058	2.741	0.507	0.022	2.365	0.231	0.016	2.353	0.159

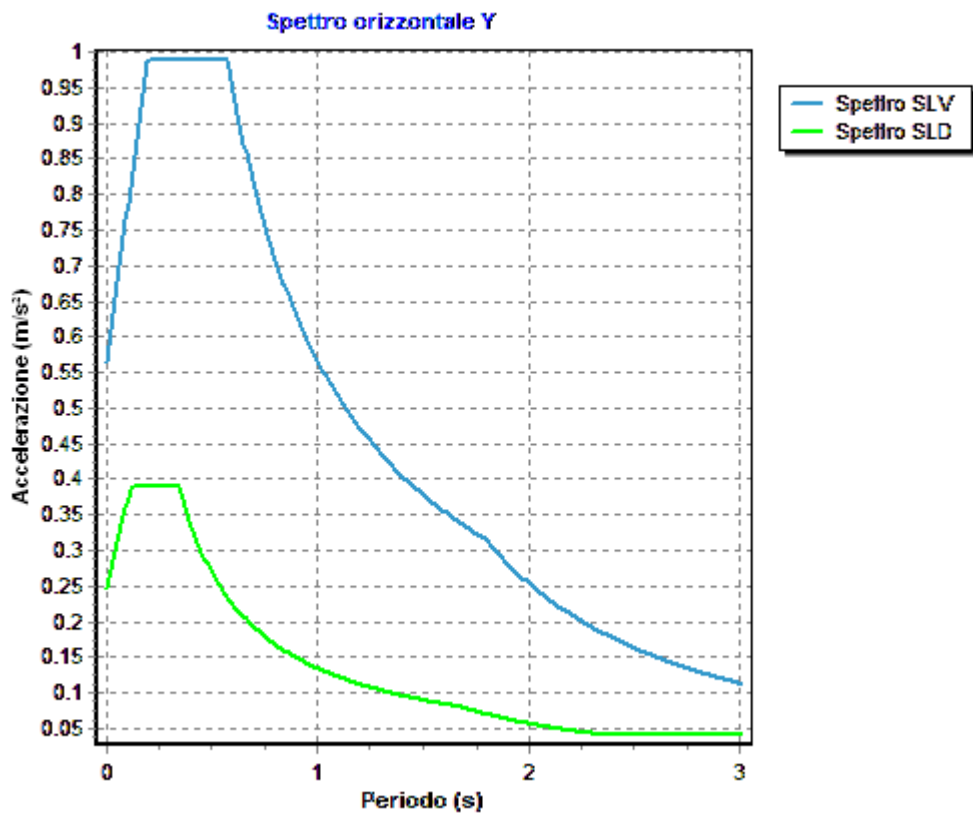
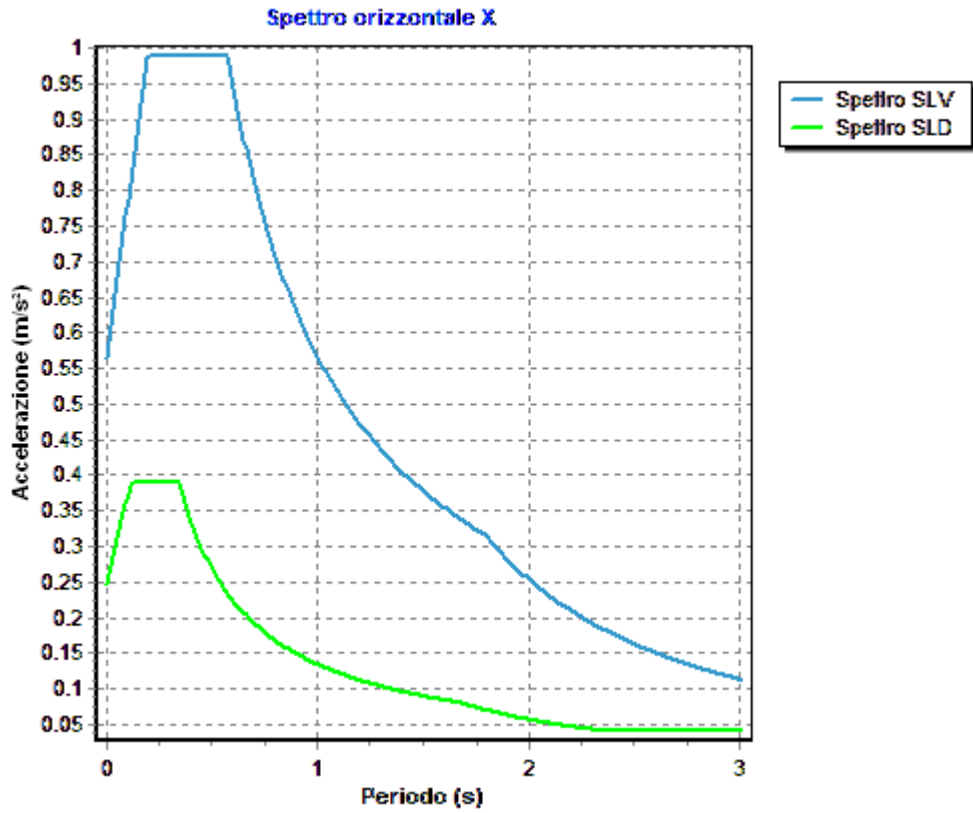
I valori dei parametri p (ag, Fo, Tc*) di interesse per la definizione dell'azione sismica di progetto sono stati calcolati come media pesata dei valori assunti da tali parametri nei quattro vertici della maglia elementare del *reticolo di riferimento* contenente il punto in esame, utilizzando come pesi gli inversi delle distanze tra il punto in questione ed i quattro vertici, attraverso la seguente espressione:

$$p = \frac{\sum_{(i=1..4)} [p_i / d_i]}{\sum_{(i=1..4)} [1 / d_i]}$$

nella quale:

- p : valore del parametro di interesse nel punto in esame;
- p_i : valore del parametro di interesse nell'i-esimo punto della maglia elementare contenente il punto in esame;
- d_i : è la distanza del punto in esame dall'i-esimo punto della maglia suddetta.

	Parametri dello spettro di risposta orizzontale			
	SLV	SLC	SLD	SLO
Tempo di ritorno	475	975	50	30
Accelerazione sismica	0.048	0.057	0.021	0.016
Coefficiente Fo	2.627	2.788	2.371	2.364
Periodo Tc*	0.443	0.468	0.233	0.159



SOMMARIO

1 Introduzione	1
1.1 Premessa	1
1.1.1 Cenni sulla casa produttrice del software.....	1
1.1.2 Descrizione dell'Opera da calcolare	1
1.2 Riferimenti Legislativi.....	1
1.3 Convenzioni,Unità di misura e simboli adottati.....	2
2 Descrizione del Modello.....	3
2.1 Modello assunto per il calcolo.....	3
2.2 Tipo di calcolo.....	5
2.3 Condizioni di carico valutate	7
2.4 Procedura di Verifica degli elementi.....	11
2.4.1 Elementi in Acciaio.....	11
3 Dati	18
3.1 Dati Generali	18
3.2 Elenco e Caratteristiche dei materiali.....	21
3.3 Elenco dei carichi.....	21
3.3.1 Pesi propri unitari - G1.....	21
3.3.2 Carichi Permanenti unitari - G2.....	21
3.3.3 Carichi Variabili unitari - Q.....	22
3.3.4 Pesi Impalcati.....	22
3.3.5 Azione del Vento.....	22
3.4 Elenco e Caratteristiche delle sezioni trasversali.....	23
3.5 Geometria Struttura.....	25
3.5.1 Fili Fissi.....	25
3.5.2 Caratteristiche dei nodi.....	26
3.5.3 Caratteristiche delle aste.....	29
3.5.4 Carichi distribuiti sugli elementi.....	30
3.5.5 Carichi concentrati sui nodi.....	36
4 Risultati di Calcolo.....	36
4.1 Verifiche Nodi.....	36
4.1.1 Verifiche SLV - Verifica Nodo.....	36
4.2 Verifica Aste.....	36
4.2.1 Aste in Acciaio.....	36
4.2.1.1 Verifiche Generiche.....	36
5 ALLEGATI.....	86
5.1 ALLEGATO A - (Pericolosità sismica di base).....	86

Comune : MESAGNE

PROVINCIA : BRINDISI

Relazione di calcolo

Progetto di nuova struttura ai sensi del D.M. 17/01/2018 "Norme Tecniche per le Costruzioni"

Archivio: platea cabina di raccolta - Data: 23/09/2022

Oggetto:

Committente:	Progettista:	Progettista Strutturale:	Direttore dei Lavori:
	Ingegnere Debora Dellegrottaglie		

1 Introduzione

1.1 Premessa

1.1.1 Cenni sulla casa produttrice del software

La relazione seguente riporta i dati relativi ai criteri di progettazione, alla geometria, alla meccanica della struttura descritta al relativo paragrafo, nonché i relativi risultati dei calcoli strutturali così come ricavati dal calcolatore elettronico tramite l'utilizzo del Software "FaTA-e" prodotto e distribuito da Stacec srl con sede in Bovalino (RC), e concesso in licenza al responsabile dei calcoli stessi.

FaTA-e è un programma sviluppato specificatamente per la progettazione e la verifica di edifici tridimensionali multipiano ed industriali realizzati con elementi strutturali in C.A., in Acciaio, in legno (massiccio e/o lamellare) o in muratura.

FaTA-e articola le operazioni di progetto secondo tre fasi distinte:

- 1) **preprocessore**: fase di Input dove viene definita e modellata interamente la struttura;
- 2) **solutore**: fase di elaborazione della struttura tramite un solutore agli elementi finiti;
- 3) **post-processore**: fase di verifica degli elementi, creazione degli elaborati grafici e della relazione di calcolo.

1.1.2 Descrizione dell'Opera da calcolare

Comune : MESAGNE

PROVINCIA : BRINDISI

Oggetto :

Committente :

Indirizzo :

Città :

PROVINCIA :

Telefono :

Progettista : Ingegnere Debora Dellegrottaglie

Indirizzo : Via Borgo Antico

Città : MESAGNE

PROVINCIA : BRINDISI

Telefono :

Progettista Strutturale :

Indirizzo :

Città :

PROVINCIA :

Telefono :

Direttore dei Lavori :

Indirizzo :

Città :

PROVINCIA :

Telefono :

Nome File : platea cabina di raccolta

1.2 Riferimenti Legislativi.

Tutte le operazioni illustrate nel proseguo, relative all'analisi della struttura ed alle verifiche sugli elementi sono state effettuate in piena conformità alle seguenti norme:

Norme Tecniche C.N.R. 10011:

"Costruzioni di acciaio - Istruzione per il calcolo, l'esecuzione, il collaudo e la manutenzione."

Norme C.N.R. 10024:

"Analisi delle strutture mediante calcolatore elettronico: impostazione e redazione delle relazioni di calcolo."

Ordinanza del Presidente del Consiglio 3274 - 08/05/2003:

"Primi elementi in materia di criteri generali per la classificazione sismica del territorio nazionale e di normative tecniche per le costruzioni in zona sismica."

Ordinanza del Presidente del Consiglio 3431 - 03/05/2005:

"Ulteriori modifiche ed integrazioni all'Ordinanza del Presidente del Consiglio 3274 - 08/05/2003."

UNI ENV 1992-1-1: Eurocodice 2:

"Progettazione delle strutture in calcestruzzo - Parte 1-1: Regole generali e regole per gli edifici"

UNI ENV 1993-1-1: Eurocodice 3:

"Progettazione delle strutture di acciaio - Parte 1-1: Regole generali e regole per gli edifici."

UNI ENV 1998-1-1: Eurocodice 8:

"Indicazioni progettuali per la resistenza sismica delle strutture - Parte 1-1: Regole generali."

D.M. 17/01/2018:

"Norme tecniche per le costruzioni."

Circolare CSLP n. 7 del 21/01/2019:

"Istruzioni per l'applicazione dell'aggiornamento delle «Norme tecniche per le costruzioni» di cui al decreto ministeriale 17 gennaio 2018."

1.3 Convenzioni, Unità di misura e simboli adottati.

Nei calcoli sono state utilizzate le seguenti unità:

- distanze	: cm
- forze, tagli, e sforzi normali	: daN
- coppie e momenti flettenti	: daNm
- carichi sulle aste	: daN/m
- carichi su superfici	: daN/m ²
- peso specifico	: daN/m ³
- tensioni e resistenze	: daN/m ²
- temperatura	: °C

I simboli adottati hanno il seguente significato:

q	: fattore di comportamento ;
Rck	: Resistenza caratteristica cubica a compressione del calcestruzzo;
fck	: Resistenza caratteristica cilindrica a compressione del calcestruzzo;
Ec	: Modulo elastico secante del calcestruzzo;
Ect	: Modulo elastico a trazione del calcestruzzo
fcd	: Resistenza di calcolo del calcestruzzo;
fctk,0.05	: Resistenza caratteristica a trazione;
v	: Coefficiente di Poisson;
αt	: Coefficiente di dilatazione termica;
ps	: peso specifico;
fyk	: Resistenza caratteristica di snervamento dell'acciaio;
fik	: Resistenza caratteristica di rottura dell'acciaio;
fd	: resistenza di calcolo dell'acciaio;
A	: Superficie della sezione trasversale;
Jx	: Momento di inerzia rispetto all'asse X;
Jy	: Momento di inerzia rispetto all'asse Y;

J_{xy}	: Momento di inerzia centrifugo rispetto agli assi X ed Y;
J_t	: Fattore torsionale;
N	: sforzo normale;
M_T	: Momento Torcente;
M_{XZ}	: Momento Flettente X-Z;
T_{XZ}	: Taglio X-Z;
M_{XY}	: Momento Flettente X-Y;
T_{XY}	: Taglio X-Y;
f	: Frequenza del modo i-esimo;
T	: Periodo del modo i-esimo;
Γ_x	: Fattore di partecipazione del modo i-esimo in direzione x;
Γ_y	: Fattore di partecipazione del modo i-esimo in direzione y;
Γ_z	: Fattore di partecipazione del modo i-esimo in direzione z;
N_{sd}	: Sforzo Normale sollecitante di calcolo;
M_{sdXZ}	: Momento Flettente X-Z sollecitante di calcolo;
M_{sdXY}	: Momento Flettente X-Y sollecitante di calcolo;
M_{tS}	: Momento Torcente sollecitante di calcolo;
V_{sdXZ}	: Taglio X-Z sollecitante di calcolo;
V_{sdXY}	: Taglio X-Y sollecitante di calcolo;
N_{Rd}	: Sforzo Normale resistente di calcolo;
M_{RdXZ}	: Momento Flettente X-Z resistente di calcolo;
M_{RdXY}	: Momento Flettente X-Y resistente di calcolo;
M_{tR}	: Momento Torcente resistente di calcolo;
V_{RdXZ}	: Taglio X-Z resistente di calcolo;
V_{RdXY}	: Taglio X-Y resistente di calcolo;
σ_c	: Tensioni del calcestruzzo;
σ_s	: Tensioni delle armature;
$\sigma_{c,lim}$: Tensioni limite del calcestruzzo;
$\sigma_{s,lim}$: Tensioni limite dell'acciaio;
f/l	: rapporto freccia/lunghezza;
f_{lim}	: valore limite del rapporto freccia/lunghezza;

2 Descrizione del Modello.

2.1 Modello assunto per il calcolo.

L'analisi numerica della struttura è stata condotta attraverso l'utilizzo del metodo degli elementi finiti ipotizzando un comportamento elastico-lineare.

Il metodo degli elementi finiti consiste nel sostituire il modello continuo della struttura con un modello discreto equivalente e di approssimare la funzione di spostamento con polinomio algebrico, definito in regioni (dette appunto elementi finiti) che sono delle funzioni interpolanti il valore di spostamento definito in punti discreti (detti nodi).

Gli elementi finiti utilizzabili ai fini della corretta modellazione della struttura verranno descritti di seguito.

Il modello di calcolo può essere articolato sulla base dell'ipotesi di impalcato rigido, in funzione della reale presenza di solai continui atti ad irrigidire tutto l'impalcato.

Tale ipotesi viene realizzata attraverso l'introduzione di adeguate relazioni cinematiche tra i gradi di libertà dei nodi costituenti l'impalcato stesso.

Il metodo di calcolo adottato, le combinazioni di carico, e le procedure di verifica saranno descritte di seguito.

Riferimento globale e locale.

La struttura viene definita utilizzando una terna di assi cartesiani formanti un sistema di riferimento levogiro, unico per tutti gli elementi e chiamato "globale". Localmente esiste un ulteriore sistema di riferimento, detto appunto "locale", utile alla definizione delle caratteristiche di rigidezza dei singoli elementi.

I due sistemi di riferimento sono correlati da una matrice, detta di rotazione.

Modellazione geometrica della struttura.

Il modello geometrico (mesh) della struttura è basato sull'utilizzo dei seguenti elementi:

- *Nodi*

Si definiscono nodi, entità geometriche determinate tramite le tre coordinate nel riferimento globale.

I nodi, nello spazio tridimensionale, posseggono tre gradi di libertà traslazionali e tre rotazionali.

Essi sono posizionati in modo da definire gli estremi degli elementi finiti e, di regola, in ogni discontinuità strutturale, di carico, di caratteristiche meccaniche, di campo di spostamento.

- *Vincoli e Molle*

I gradi di libertà possono essere vincolati, bloccando il cinematismo nella direzione voluta o assegnando "molle" applicate ai nodi tramite valori di rigidezza finiti.

Un vincolo assegna a priori un valore di spostamento nullo, e quindi la variabile corrispondente viene eliminata.

- *Vincoli interni*

Tali vincoli servono a definire le modalità di trasmissione degli sforzi dall'elemento finito ai nodi. Ciò viene associato al concetto di trasferimento della rigidezza.

Generalmente l'elemento considerato è rigidamente connesso ai nodi che lo definiscono, in modo da bloccare tutti i gradi di libertà relativi. E' possibile, comunque "rilasciare" le caratteristiche delle sollecitazioni, in modo da svincolare i gradi di libertà corrispondenti. Nel caso particolare, il modello utilizzato consente di svincolare le tre rotazioni intorno agli assi locali dell'asta.

- *Aste*

Si tratta di elementi finiti monodimensionali ad asse rettilineo delimitate da due nodi (i nodi di estremità).

Per questi elementi generalmente la funzione interpolante è quella del modello analitico per cui la mesh non influisce sensibilmente sulla convergenza.

Le aste sono dotate di rigidezza assiale, flessionale, e a taglio, secondo il modello classico della trave inflessa di Eulero-Bernoulli.

Alla singola asta è possibile associare una sezione costante per tutta la sua lunghezza.

- *Asta su suolo elastico*

Si tratta di elementi finiti monodimensionali ad asse rettilineo, di definizione simile alle aste. Sono utili a modellare travi di fondazione, considerate poggianti su suolo alla Winkler, e reagenti sia rispetto alle componenti traslazionali di cinematismo, sia rotazionali.

- *Lastra-Piastra*

Si tratta di elementi finiti bidimensionali, definiti da tre o quattro nodi, posti ai vertici rispettivamente di un triangolo o di un quadrilatero irregolare. La geometria reale dell'elemento viene ricondotta ad un triangolo rettangolo (elemento a tre nodi) o ad un quadrato definito nella trattazione isoparametrica.

L'elemento lastra-piastra non ha rigidezza per la rotazione intorno all'asse perpendicolare al suo piano e viene trattato secondo la teoria di Mindlin-Reissner. Nel modello considerato si tiene conto dell'accoppiamento tra azioni flessionali e membranali.

- *Forze e coppie concentrate*

Per la risoluzione statica della struttura, tutti i carichi applicati agli elementi vengono trasferiti ai nodi. Ciò avviene in automatico per il peso delle aste, delle piastre, delle pareti, dei pannelli di carico presenti sulle aste e per la distribuzione di carico applicate agli elementi bidimensionali.

Il modello di calcolo consente anche l'introduzione di forze e coppie ai nodi.

Le forze sono dirette lungo le tre direzioni del sistema di riferimento globale ed in entrambi i versi per ogni direzione.

Le coppie concentrate sono riferite ai tre assi del riferimento globale, in entrambi i versi di rotazione di ciascun asse.

- *Carichi distribuiti*

Il modello di calcolo consente anche l'introduzione di carichi ripartiti sulle aste e di distribuzione di carico su piastre e pareti.

I carichi ripartiti sulle aste possono essere riferite sia al riferimento globale, sia al riferimento locale, lungo le tre direzioni ed in entrambe i versi. E' possibile anche introdurre carichi distribuiti torcenti agenti intorno all'asse dell'asta ed in entrambe i versi di rotazione.

Tutti i tipi di carico ripartito devono avere forma trapezia.

Sugli elementi bidimensionali, che fanno parte della mesh di piastre e pareti, è possibile assegnare una distribuzione uniforme, avente le caratteristiche di una pressione diretta ortogonalmente all'elemento.

- *Pannelli di carico*

Il pannello di carico è un concetto legato alla reale distribuzione di carichi gravanti sulle aste. Ne fanno parte: solai, balconi, scale.

Da tali pannelli, di forma irregolare come definiti dalla geometria dell'input, si passa alla quantificazione dei carichi trapezoidali ripartiti sulle aste. Per meglio simulare l'effetto dei pannelli, vengono generati in modo automatico anche dei carichi ripartiti torcenti, anch'essi di forma trapezia, relativi ai carichi distribuiti equivalenti al pannello.

- *Sezioni*

Le sezioni assegnabili alle aste sono definite attraverso le caratteristiche geometrico-elastiche, i moduli di resistenza plastici (sezioni in acciaio) ed il materiale.

Materiali.

I materiali, ai fini del calcolo delle sollecitazioni, sono considerati omogenei ed isotropi e sono definiti dalle seguenti caratteristiche: peso per unità di volume, modulo elastico, coefficiente di Poisson, coefficiente di dilatazione, e tutte le caratteristiche meccaniche, riepilogate in seguito, utili alle verifiche strutturali dettate dalla normativa.

Matrici di calcolo della struttura.

Dalla discretizzazione geometrica della struttura vengono definite le matrici utili a studiare il comportamento globale della struttura in esame.

- *Matrice di rigidezza*

Tale matrice viene costruita partendo dalla matrice di rigidezza espressa nel sistema di riferimento locale dell'elemento considerato. Attraverso un'operazione di trasformazione, mediante la matrice di rotazione, viene riferita al sistema di riferimento globale. L'ultima operazione consiste nell'"assemblaggio" delle singole matrici di ogni elemento, in modo da formare un'unica matrice relativa all'intera struttura.

- *Matrice delle masse*

La generazione della matrice globale è del tutto analoga a quella sopra descritta per la matrice di rigidezza. La matrice delle masse è di tipo "consistente" e considera l'effettiva distribuzione delle masse della struttura. Come definito dalla normativa, alle masse relative ai carichi permanenti, viene aggiunta un'aliquota delle masse equivalenti ai carichi d'esercizio.

2.2 Tipo di calcolo.

ANALISI ORIZZONTALE STATICA LINEARE

Il calcolo risolutivo della struttura è stato effettuato utilizzando un sistema di equazioni lineari (di dimensioni pari ai gradi di libertà), secondo la relazione:

$$\underline{u} = [\underline{K}]^{-1} \underline{F}$$

dove: \underline{F} = vettore dei carichi risultanti applicate ai nodi;
 \underline{u} = vettore dei cinematismi nodali;
 $[\underline{K}]$ = matrice di rigidezza globale.

Tale analisi è stata ripetuta per tutte le condizioni presenti sulla struttura, identificati dai vettori dei carichi relativi a:

- carichi permanenti;
- carichi d'esercizio;
- delta termico;
- carichi utente;
- torsioni accidentali;

I valori delle eccentricità accidentali per le torsioni sono i seguenti:

	Torsioni Accidentali	
Imp. Reale	e _x [cm]	e _y [cm]
1	170.0	37.5

Per ogni impalcato reale si riportano i dati relativi alle rigidezze e ai baricentri:

Imp. Reale	Rigidezze			Centro Massa		Centro Rigidezza	
	Rig X [KN/cm]	Rig Y [KN/cm]	Rig. Tors. [KNcm]	X [cm]	Y [cm]	xR [cm]	yR [cm]

1	587394	48101	4256048445 99	1700.0	375.0	1700.0	375.0
---	--------	-------	------------------	--------	-------	--------	-------

L'analisi sismica (statica equivalente) nella componente orizzontale è stata effettuata considerando un sistema di forze, agenti nella direzione del sisma considerato, applicate ad ogni piano nel centro di massa del piano stesso. Per poter effettuare questo tipo di analisi deve valere la condizione:

$$T_1 \leq 2.5 T_C$$

Dir. X: $T_{1X} = 2 dx^{1/2} = 0.000$ s

Dir. Y: $T_{1Y} = 2 dy^{1/2} = 0.000$ s

dx: spostamento massimo in dir. X dell'impalcato più in alto dell'edificio = 0.0000 m

dy: spostamento massimo in dir. Y dell'impalcato più in alto dell'edificio = 0.0000 m

T_C = periodo di fine risonanza dello spettro.

Nel caso specifico il valore di T_C è pari a: 0.57

Le forze sono computate secondo le seguenti formule:

$$F_{th} = F_H (W_I z_I) / (\sum W_I z_I) ;$$

$$F_H = S_d (T_1) W_{tot} \lambda ;$$

$$F_{Iv} = F_V (W_I) / (\sum W_I) ;$$

dove:

z_I : quota dell'impalcato,

$S_d (T_1)$: ordinata spettro di risposta.

$\lambda = 0.85$ (se $N_{piani} \geq 3$ e se $T_1 \leq 2 T_C$) oppure 1.00 (in tutti gli altri casi) ;

$$W_I = (G_K + \sum_i \Psi_{Ei} Q_{iK}) ;$$

dove:

$$\Psi_{Ei} (SLU - SLD) = \Psi_{2i} \varphi ;$$

$$\Psi_{2i} = 0.30 ;$$

φ (vedi paragrafo "Pesi Impalcati");

Si riportano i valori totali delle azioni sismiche orizzontali di piano applicate agli impalcati reali:

Imp. Reale	Fhx [daN]	Fhy [daN]
1	497.20	497.20
Fh Totali	497.20	497.20

2.3 Condizioni di carico valutate

Dati Condizioni.

Nella seguente tabella vengono riportati i dati per la definizione delle condizioni di carico:

Azione	Tipo	Durata
Car. perm. strutt. (Gk1)	C.Perm. (Gk)	Permanente
Car. perm. non strutt. (Gk2)	C.p. non str. (Gk2)	Permanente

Carichi d'esercizio (Qk)	C. Ese. (Qk)	Lunga
Δt	Carico termico	Breve
Torsione Accidentale X	Azione Sismica	Istantanea
Torsione Accidentale Y	Azione Sismica	Istantanea
Sisma X	Azione Sismica	Istantanea
Sisma Y	Azione Sismica	Istantanea
Sisma Z	Azione Sismica	Istantanea
Utente 1	Ignora	Permanente

Coefficienti di combinazione.

Nella seguente tabella vengono riportati i coefficienti di combinazione da normativa, relativi agli stati limite ultimi (SLV) e di danno (SLD):

Impalcato	Destinazione	Altre azioni			Delta termico		
		Ψ_{0i}	Ψ_{1i}	Ψ_{2i}	Ψ_{0i}	Ψ_{1i}	Ψ_{2i}
Fondazione	Categoria A: Ambienti ad uso residenziale	0.7	0.5	0.3	0.6	0.5	0.0
Piano 1	Categoria A: Ambienti ad uso residenziale	0.7	0.5	0.3	0.6	0.5	0.0

Per balconi e scale verranno usati i coefficienti calcolati come i maggiori tra quelli relativi alla categoria di carico di piano ed i seguenti:

Cat.	Destinazione	Altre azioni			Delta termico		
		Ψ_{0i}	Ψ_{1i}	Ψ_{2i}	Ψ_{0i}	Ψ_{1i}	Ψ_{2i}
C2	Balconi, ballatoi e scale	0.7	0.7	0.6	0.6	0.5	0.0

Tutte le combinazioni sono da intendersi come somma dell'effetto considerato. Tali combinazioni vengono considerate sovrapponendo i diagrammi secondo la tecnica dell'involuppo.

Combinazioni per le verifiche allo Stato Limite di Salvaguardia della Vita

Le azioni di calcolo presenti sulla struttura e le relative combinazioni di carico nei riguardi degli stati limite di salvaguardia della vita essere riassunte nelle seguenti tabelle:

Comb.	Elementi della Struttura									
	C. perm.(Gk1)	C. p. non str.(Gk2)	C. ese.(Qk)	Delta T(DT)	Condizione			Sisma X	Sisma Y	Sisma Z
					Tors. acc. X(Mx)	Tors. acc. Y(My)				
1*	γ_{Gns}	γ_{G2ns}	γ_{Qns}	0	0	0	0	0	0	0
2*	γ_{Gns}	γ_{G2ns}	γ_{Qns}	$\Psi_0\gamma_{Qns}$	0	0	0	0	0	0
3*	γ_{Gns}	γ_{G2ns}	γ_{Qns}	$-\Psi_0\gamma_{Qns}$	0	0	0	0	0	0
4*	γ_{Gns}	γ_{G2ns}	$\Psi_0\gamma_{Qns}$	γ_{Qns}	0	0	0	0	0	0
5*	γ_{Gns}	γ_{G2ns}	$\Psi_0\gamma_{Qns}$	$-\gamma_{Qns}$	0	0	0	0	0	0
6	γ_{Gs}	γ_{G2s}	$\Psi_2\gamma_{Qs}$	0	1	0	1	0.30	0	0
7	γ_{Gs}	γ_{G2s}	$\Psi_2\gamma_{Qs}$	0	-1	0	1	0.30	0	0
8	γ_{Gs}	γ_{G2s}	$\Psi_2\gamma_{Qs}$	0	1	0	1	-0.30	0	0
9	γ_{Gs}	γ_{G2s}	$\Psi_2\gamma_{Qs}$	0	-1	0	1	-0.30	0	0
10	γ_{Gs}	γ_{G2s}	$\Psi_2\gamma_{Qs}$	0	1	0	-1	0.30	0	0
11	γ_{Gs}	γ_{G2s}	$\Psi_2\gamma_{Qs}$	0	-1	0	-1	0.30	0	0
12	γ_{Gs}	γ_{G2s}	$\Psi_2\gamma_{Qs}$	0	1	0	-1	-0.30	0	0
13	γ_{Gs}	γ_{G2s}	$\Psi_2\gamma_{Qs}$	0	-1	0	-1	-0.30	0	0
14	γ_{Gs}	γ_{G2s}	$\Psi_2\gamma_{Qs}$	0	0	1	0.30	1	0	0
15	γ_{Gs}	γ_{G2s}	$\Psi_2\gamma_{Qs}$	0	0	-1	0.30	1	0	0
16	γ_{Gs}	γ_{G2s}	$\Psi_2\gamma_{Qs}$	0	0	1	-0.30	1	0	0
17	γ_{Gs}	γ_{G2s}	$\Psi_2\gamma_{Qs}$	0	0	-1	-0.30	1	0	0
18	γ_{Gs}	γ_{G2s}	$\Psi_2\gamma_{Qs}$	0	0	1	0.30	-1	0	0
19	γ_{Gs}	γ_{G2s}	$\Psi_2\gamma_{Qs}$	0	0	-1	0.30	-1	0	0
20	γ_{Gs}	γ_{G2s}	$\Psi_2\gamma_{Qs}$	0	0	1	-0.30	-1	0	0
21	γ_{Gs}	γ_{G2s}	$\Psi_2\gamma_{Qs}$	0	0	-1	-0.30	-1	0	0

*Combinazione fondamentale (par. 2.5.3, formula 2.5.1)

Comb.	Condizione
-------	------------

	Utente 1
1*	0.00
2*	0.00
3*	0.00
4*	0.00
5*	0.00
6	0.00
7	0.00
8	0.00
9	0.00
10	0.00
11	0.00
12	0.00
13	0.00
14	0.00
15	0.00
16	0.00
17	0.00
18	0.00
19	0.00
20	0.00
21	0.00

*Combinazione fondamentale (par. 2.5.3, formula 2.5.1)

Elementi di fondazione A1									
Comb.	Condizione								
	C. perm.(Gk1)	C. p. non str.(Gk2)	C. ese.(Qk)	Delta T(DT)	Tors. acc. X(Mx)	Tors. acc. Y(My)	Sisma X	Sisma Y	Sisma Z
1*	γG_{ns}	γG_{2ns}	γQ_{ns}	0	0	0	0	0	0
2*	γG_{ns}	γG_{2ns}	γQ_{ns}	$\Psi 0 \gamma Q_{ns}$	0	0	0	0	0
3*	γG_{ns}	γG_{2ns}	γQ_{ns}	$-\Psi 0 \gamma Q_{ns}$	0	0	0	0	0
4*	γG_{ns}	γG_{2ns}	$\Psi 0 \gamma Q_{ns}$	γQ_{ns}	0	0	0	0	0
5*	γG_{ns}	γG_{2ns}	$\Psi 0 \gamma Q_{ns}$	$-\gamma Q_{ns}$	0	0	0	0	0
6	γG_s	γG_{2s}	$\Psi 2 \gamma Q_s$	0	1	0	1	0.30	0
7	γG_s	γG_{2s}	$\Psi 2 \gamma Q_s$	0	-1	0	1	0.30	0
8	γG_s	γG_{2s}	$\Psi 2 \gamma Q_s$	0	1	0	1	-0.30	0
9	γG_s	γG_{2s}	$\Psi 2 \gamma Q_s$	0	-1	0	1	-0.30	0
10	γG_s	γG_{2s}	$\Psi 2 \gamma Q_s$	0	1	0	-1	0.30	0
11	γG_s	γG_{2s}	$\Psi 2 \gamma Q_s$	0	-1	0	-1	0.30	0
12	γG_s	γG_{2s}	$\Psi 2 \gamma Q_s$	0	1	0	-1	-0.30	0
13	γG_s	γG_{2s}	$\Psi 2 \gamma Q_s$	0	-1	0	-1	-0.30	0
14	γG_s	γG_{2s}	$\Psi 2 \gamma Q_s$	0	0	1	0.30	1	0
15	γG_s	γG_{2s}	$\Psi 2 \gamma Q_s$	0	0	-1	0.30	1	0
16	γG_s	γG_{2s}	$\Psi 2 \gamma Q_s$	0	0	1	-0.30	1	0
17	γG_s	γG_{2s}	$\Psi 2 \gamma Q_s$	0	0	-1	-0.30	1	0
18	γG_s	γG_{2s}	$\Psi 2 \gamma Q_s$	0	0	1	0.30	-1	0
19	γG_s	γG_{2s}	$\Psi 2 \gamma Q_s$	0	0	-1	0.30	-1	0
20	γG_s	γG_{2s}	$\Psi 2 \gamma Q_s$	0	0	1	-0.30	-1	0
21	γG_s	γG_{2s}	$\Psi 2 \gamma Q_s$	0	0	-1	-0.30	-1	0

*Combinazione fondamentale (par. 2.5.3, formula 2.5.1)

Comb.	Condizione
	Utente 1
1*	0.00
2*	0.00
3*	0.00
4*	0.00
5*	0.00
6	0.00
7	0.00
8	0.00
9	0.00
10	0.00
11	0.00
12	0.00
13	0.00
14	0.00
15	0.00
16	0.00

17	0.00
18	0.00
19	0.00
20	0.00
21	0.00

*Combinazione fondamentale (par. 2.5.3, formula 2.5.1)

Combinazioni per le verifiche allo Stato Limite di Danno

Le azioni di calcolo presenti sulla struttura e le relative combinazioni di carico nei riguardi degli stati limite di danno possono essere riassunte nelle seguenti tabelle:

Elementi della Struttura									
Comb.	Condizione								
	C. perm.(Gk1)	C. p. non str.(Gk2)	C. ese.(Qk)	Delta T(DT)	Tors. acc. X(Mx)	Tors. acc. Y(My)	Sisma X	Sisma Y	Sisma Z
1	γ_{Gns}	γ_{G2ns}	γ_{Qns}	0	0	0	0	0	0
2	γ_{Gns}	γ_{G2ns}	γ_{Qns}	$\Psi 0 \gamma_{Qns}$	0	0	0	0	0
3	γ_{Gns}	γ_{G2ns}	γ_{Qns}	$-\Psi 0 \gamma_{Qns}$	0	0	0	0	0
4	γ_{Gns}	γ_{G2ns}	$\Psi 0 \gamma_{Qns}$	γ_{Qns}	0	0	0	0	0
5	γ_{Gns}	γ_{G2ns}	$\Psi 0 \gamma_{Qns}$	$-\gamma_{Qns}$	0	0	0	0	0
6	γ_{Gs}	γ_{G2s}	$\Psi 2 \gamma_{Qs}$	0	1	0	1	0.30	0
7	γ_{Gs}	γ_{G2s}	$\Psi 2 \gamma_{Qs}$	0	-1	0	1	0.30	0
8	γ_{Gs}	γ_{G2s}	$\Psi 2 \gamma_{Qs}$	0	1	0	1	-0.30	0
9	γ_{Gs}	γ_{G2s}	$\Psi 2 \gamma_{Qs}$	0	-1	0	1	-0.30	0
10	γ_{Gs}	γ_{G2s}	$\Psi 2 \gamma_{Qs}$	0	1	0	-1	0.30	0
11	γ_{Gs}	γ_{G2s}	$\Psi 2 \gamma_{Qs}$	0	-1	0	-1	0.30	0
12	γ_{Gs}	γ_{G2s}	$\Psi 2 \gamma_{Qs}$	0	1	0	-1	-0.30	0
13	γ_{Gs}	γ_{G2s}	$\Psi 2 \gamma_{Qs}$	0	-1	0	-1	-0.30	0
14	γ_{Gs}	γ_{G2s}	$\Psi 2 \gamma_{Qs}$	0	0	1	0.30	1	0
15	γ_{Gs}	γ_{G2s}	$\Psi 2 \gamma_{Qs}$	0	0	-1	0.30	1	0
16	γ_{Gs}	γ_{G2s}	$\Psi 2 \gamma_{Qs}$	0	0	1	-0.30	1	0
17	γ_{Gs}	γ_{G2s}	$\Psi 2 \gamma_{Qs}$	0	0	-1	-0.30	1	0
18	γ_{Gs}	γ_{G2s}	$\Psi 2 \gamma_{Qs}$	0	0	1	0.30	-1	0
19	γ_{Gs}	γ_{G2s}	$\Psi 2 \gamma_{Qs}$	0	0	-1	0.30	-1	0
20	γ_{Gs}	γ_{G2s}	$\Psi 2 \gamma_{Qs}$	0	0	1	-0.30	-1	0
21	γ_{Gs}	γ_{G2s}	$\Psi 2 \gamma_{Qs}$	0	0	-1	-0.30	-1	0

Comb.	Condizione
	Utente 1
1	0.00
2	0.00
3	0.00
4	0.00
5	0.00
6	0.00
7	0.00
8	0.00
9	0.00
10	0.00
11	0.00
12	0.00
13	0.00
14	0.00
15	0.00
16	0.00
17	0.00
18	0.00
19	0.00
20	0.00
21	0.00

Elementi di fondazione A1									
Comb.	Condizione								
	C. perm.(Gk1)	C. p. non str.(Gk2)	C. ese.(Qk)	Delta T(DT)	Tors. acc. X(Mx)	Tors. acc. Y(My)	Sisma X	Sisma Y	Sisma Z
1	γ_{Gns}	γ_{G2ns}	γ_{Qns}	0	0	0	0	0	0

2	γ_{Gns}	γ_{G2ns}	γ_{Qns}	$\Psi_0\gamma_{Qns}$	0	0	0	0	0
3	γ_{Gns}	γ_{G2ns}	γ_{Qns}	$-\Psi_0\gamma_{Qns}$	0	0	0	0	0
4	γ_{Gns}	γ_{G2ns}	$\Psi_0\gamma_{Qns}$	γ_{Qns}	0	0	0	0	0
5	γ_{Gns}	γ_{G2ns}	$\Psi_0\gamma_{Qns}$	$-\gamma_{Qns}$	0	0	0	0	0
6	γ_{Gs}	γ_{G2s}	$\Psi_2\gamma_{Qs}$	0	1	0	1	0.30	0
7	γ_{Gs}	γ_{G2s}	$\Psi_2\gamma_{Qs}$	0	-1	0	1	0.30	0
8	γ_{Gs}	γ_{G2s}	$\Psi_2\gamma_{Qs}$	0	1	0	1	-0.30	0
9	γ_{Gs}	γ_{G2s}	$\Psi_2\gamma_{Qs}$	0	-1	0	1	-0.30	0
10	γ_{Gs}	γ_{G2s}	$\Psi_2\gamma_{Qs}$	0	1	0	-1	0.30	0
11	γ_{Gs}	γ_{G2s}	$\Psi_2\gamma_{Qs}$	0	-1	0	-1	0.30	0
12	γ_{Gs}	γ_{G2s}	$\Psi_2\gamma_{Qs}$	0	1	0	-1	-0.30	0
13	γ_{Gs}	γ_{G2s}	$\Psi_2\gamma_{Qs}$	0	-1	0	-1	-0.30	0
14	γ_{Gs}	γ_{G2s}	$\Psi_2\gamma_{Qs}$	0	0	1	0.30	1	0
15	γ_{Gs}	γ_{G2s}	$\Psi_2\gamma_{Qs}$	0	0	-1	0.30	1	0
16	γ_{Gs}	γ_{G2s}	$\Psi_2\gamma_{Qs}$	0	0	1	-0.30	1	0
17	γ_{Gs}	γ_{G2s}	$\Psi_2\gamma_{Qs}$	0	0	-1	-0.30	1	0
18	γ_{Gs}	γ_{G2s}	$\Psi_2\gamma_{Qs}$	0	0	1	0.30	-1	0
19	γ_{Gs}	γ_{G2s}	$\Psi_2\gamma_{Qs}$	0	0	-1	0.30	-1	0
20	γ_{Gs}	γ_{G2s}	$\Psi_2\gamma_{Qs}$	0	0	1	-0.30	-1	0
21	γ_{Gs}	γ_{G2s}	$\Psi_2\gamma_{Qs}$	0	0	-1	-0.30	-1	0

Comb.	Condizione Utente 1
1	0.00
2	0.00
3	0.00
4	0.00
5	0.00
6	0.00
7	0.00
8	0.00
9	0.00
10	0.00
11	0.00
12	0.00
13	0.00
14	0.00
15	0.00
16	0.00
17	0.00
18	0.00
19	0.00
20	0.00
21	0.00

I coefficienti utilizzati assumono i seguenti valori:

ELEMENTO	SLV						SLD					
	γ_{G1ns}	γ_{G2ns}	γ_{Qns}	γ_{G1s}	γ_{G2s}	γ_{Qs}	γ_{G1ns}	γ_{G2ns}	γ_{Qns}	γ_{G1s}	γ_{G2s}	γ_{Qs}
ELEMENTO	1.3	1.5	1.5	1.0	1.0	1.0	1.0	1.0	1.0	1.0	1.0	1.0
Fondazione A1	1.3	1.5	1.5	1.0	1.0	1.0	1.0	1.0	1.0	1.0	1.0	1.0

Combinazioni per le verifiche allo Stato limite di esercizio

Le azioni di calcolo presenti sulla struttura e le relative combinazioni di carico nei riguardi degli stati limite di esercizio possono essere riassunte nelle seguenti tabelle:

Combinazioni Caratteristiche:

Elementi della Struttura				
Comb.	Condizione			
	C. perm.(Gk1)	C. p. non str.(Gk2)	C. ese.(Qk)	Delta T(DT)
1	γ_{Gns}	γ_{G2ns}	γ_{Qns}	$\Psi_0\gamma_{Qns}$
2	γ_{Gns}	γ_{G2ns}	γ_{Qns}	$-\Psi_0\gamma_{Qns}$

3	γ_{Gns}	γ_{G2ns}	$\Psi_0\gamma_{Qns}$	γ_{Qns}
4	γ_{Gns}	γ_{G2ns}	$\Psi_0\gamma_{Qns}$	$-\gamma_{Qns}$

Comb.	Condizione
	Utente 1
1	0.00
2	0.00
3	0.00
4	0.00

Elementi di fondazione A1				
Comb.	Condizione			
	C. perm.(Gk1)	C. p. non str.(Gk2)	C. ese.(Qk)	Delta T(DT)
1	γ_{Gns}	γ_{G2ns}	γ_{Qns}	$\Psi_0\gamma_{Qns}$
2	γ_{Gns}	γ_{G2ns}	γ_{Qns}	$-\Psi_0\gamma_{Qns}$
3	γ_{Gns}	γ_{G2ns}	$\Psi_0\gamma_{Qns}$	γ_{Qns}
4	γ_{Gns}	γ_{G2ns}	$\Psi_0\gamma_{Qns}$	$-\gamma_{Qns}$

Comb.	Condizione
	Utente 1
1	0.00
2	0.00
3	0.00
4	0.00

Elementi di fondazione A2				
Comb.	Condizione			
	C. perm.(Gk1)	C. p. non str.(Gk2)	C. ese.(Qk)	Delta T(DT)
1	γ_{Gns}	γ_{G2ns}	γ_{Qns}	$\Psi_0\gamma_{Qns}$
2	γ_{Gns}	γ_{G2ns}	γ_{Qns}	$-\Psi_0\gamma_{Qns}$
3	γ_{Gns}	γ_{G2ns}	$\Psi_0\gamma_{Qns}$	γ_{Qns}
4	γ_{Gns}	γ_{G2ns}	$\Psi_0\gamma_{Qns}$	$-\gamma_{Qns}$

Comb.	Condizione
	Utente 1
1	0.00
2	0.00
3	0.00
4	0.00

Combinazioni Frequenti:

Elementi della Struttura				
Comb.	Condizione			
	C. perm.(Gk1)	C. p. non str.(Gk2)	C. ese.(Qk)	Delta T(DT)
1	γ_{Gns}	γ_{G2ns}	$\Psi_1\gamma_{Qns}$	$\Psi_2\gamma_{Qns}$
2	γ_{Gns}	γ_{G2ns}	$\Psi_1\gamma_{Qns}$	$-\Psi_2\gamma_{Qns}$
3	γ_{Gns}	γ_{G2ns}	$\Psi_2\gamma_{Qns}$	$\Psi_1\gamma_{Qns}$
4	γ_{Gns}	γ_{G2ns}	$\Psi_2\gamma_{Qns}$	$-\Psi_1\gamma_{Qns}$

Comb.	Condizione
	Utente 1
1	0.00
2	0.00
3	0.00
4	0.00

Elementi di fondazione A1				
Comb.	Condizione			
	C. perm.(Gk1)	C. p. non str.(Gk2)	C. ese.(Qk)	Delta T(DT)
1	γ_{Gns}	γ_{G2ns}	$\Psi_1\gamma_{Qns}$	$\Psi_2\gamma_{Qns}$

2	γ_{Gns}	γ_{G2ns}	$\Psi_1\gamma_{Qns}$	$-\Psi_2\gamma_{Qns}$
3	γ_{Gns}	γ_{G2ns}	$\Psi_2\gamma_{Qns}$	$\Psi_1\gamma_{Qns}$
4	γ_{Gns}	γ_{G2ns}	$\Psi_2\gamma_{Qns}$	$-\Psi_1\gamma_{Qns}$

Comb.	Condizione
	Utente 1
1	0.00
2	0.00
3	0.00
4	0.00

Elementi di fondazione A2				
Comb.	Condizione			
	C. perm.(Gk1)	C. p. non str.(Gk2)	C. ese.(Qk)	Delta T(DT)
1	γ_{Gns}	γ_{G2ns}	$\Psi_1\gamma_{Qns}$	$\Psi_2\gamma_{Qns}$
2	γ_{Gns}	γ_{G2ns}	$\Psi_1\gamma_{Qns}$	$-\Psi_2\gamma_{Qns}$
3	γ_{Gns}	γ_{G2ns}	$\Psi_2\gamma_{Qns}$	$\Psi_1\gamma_{Qns}$
4	γ_{Gns}	γ_{G2ns}	$\Psi_2\gamma_{Qns}$	$-\Psi_1\gamma_{Qns}$

Comb.	Condizione
	Utente 1
1	0.00
2	0.00
3	0.00
4	0.00

Combinazioni quasi permanenti :

Elementi della Struttura				
Comb.	Condizione			
	C. perm.(Gk1)	C. p. non str.(Gk2)	C. ese.(Qk)	Delta T(DT)
1	γ_{Gns}	γ_{G2ns}	$\Psi_2\gamma_{Qns}$	$\Psi_2\gamma_{Qns}$
2	γ_{Gns}	γ_{G2ns}	$\Psi_2\gamma_{Qns}$	$-\Psi_2\gamma_{Qns}$

Comb.	Condizione
	Utente 1
1	0.00
2	0.00

Elementi di fondazione A1				
Comb.	Condizione			
	C. perm.(Gk1)	C. p. non str.(Gk2)	C. ese.(Qk)	Delta T(DT)
1	γ_{Gns}	γ_{G2ns}	$\Psi_2\gamma_{Qns}$	$\Psi_2\gamma_{Qns}$
2	γ_{Gns}	γ_{G2ns}	$\Psi_2\gamma_{Qns}$	$-\Psi_2\gamma_{Qns}$

Comb.	Condizione
	Utente 1
1	0.00
2	0.00

Elementi di fondazione A2				
Comb.	Condizione			
	C. perm.(Gk1)	C. p. non str.(Gk2)	C. ese.(Qk)	Delta T(DT)
1	γ_{Gns}	γ_{G2ns}	$\Psi_2\gamma_{Qns}$	$\Psi_2\gamma_{Qns}$
2	γ_{Gns}	γ_{G2ns}	$\Psi_2\gamma_{Qns}$	$-\Psi_2\gamma_{Qns}$

Comb.	Condizione
	Utente 1
1	0.00

2	0.00
---	------

I coefficienti utilizzati assumono i seguenti valori:

SLE	Caratteristiche					Frequenti					Q. Permanenti				
ELEMENTO	γ_{Gns}	γ_{Qns}	γ_I	γ_{EG}	γ_{EQ}	γ_{Gns}	γ_{Qns}	γ_I	γ_{EG}	γ_{EQ}	γ_{Gns}	γ_{Qns}	γ_I	γ_{EG}	γ_{EQ}
ELEMENTO	1.0	1.0	1.0	1.0	1.0	1.0	1.0	1.0	1.0	1.0	1.0	1.0	1.0	1.0	1.0
Fondazione A1	1.0	1.0	1.0	1.0	1.0	1.0	1.0	1.0	1.0	1.0	1.0	1.0	1.0	1.0	1.0
Fondazione A2	1.0	1.0	1.0	1.0	1.0	1.0	1.0	1.0	1.0	1.0	1.0	1.0	1.0	1.0	1.0

Tali combinazioni vengono considerate sovrapponendo i diagrammi secondo la tecnica dell'involuppo.

2.4 Procedura di Verifica degli elementi.

2.4.1 Elementi in C.A. .

Le Verifiche relative alle strutture in C.A. si possono riassumere, in funzione degli elementi considerati, nei seguenti tipi:

- Pilastri

Tali elementi vengono verificati utilizzando lo stato sollecitante completo nei riguardi di:

- PressoTensoFlessione Deviata
- Taglio
- Stabilità
- Stato tensionale

- Travi

Tali elementi vengono verificati utilizzando lo stato sollecitante completo nei riguardi di

- PressoTensoFlessione
- Taglio
- Deformabilità
- Stato tensionale
- Fessurazione

- Travi di fondazione

Tali elementi vengono verificati utilizzando lo stato sollecitante completo nei riguardi di

- PressoTensoFlessione
- Taglio
- Stato tensionale
- Fessurazione

Le singole verifiche vengono descritte qui di seguito:

- PressoTensoFlessione Deviata

Le sollecitazioni che vengono considerate in tale verifica sono: Sforzo Normale, Momento Flettente X-Z, Momento Flettente X-Y.

La verifica di resistenza è soddisfatta se la sollecitazione determinata dalla condizione considerata cade all'interno del dominio di sicurezza determinato, attraverso la conoscenza:

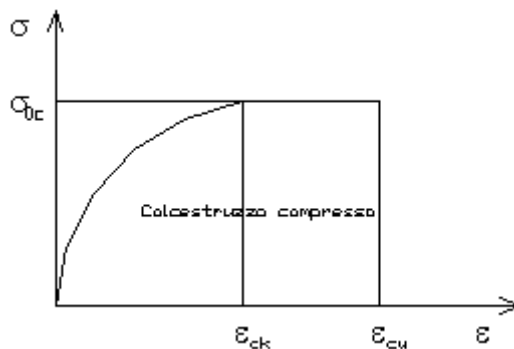
- del comportamento meccanico della sezione in esame;
- delle caratteristiche dei materiali di cui è composta;
- dei coefficienti di sicurezza forniti dalla normativa seguita.

Il calcolo è condotto nelle ipotesi che:

1. Le sezioni rimangono piane fino a rottura;

2. Ci sia perfetta aderenza fra acciaio e calcestruzzo;
3. La deformazione massima del calcestruzzo compresso è pari a 0.0035 nel caso di flessione semplice e composta; con asse neutro reale mentre è pari a 0.002 nel caso di compressione semplice;
4. La deformazione massima per l'acciaio teso sia pari a 0.01;
5. Il calcestruzzo non abbia alcuna capacità di resistenza a trazione.

Il diagramma tensioni-deformazioni assunto per il calcestruzzo è di tipo parabola-rettangolo come indicato nella seguente figura:



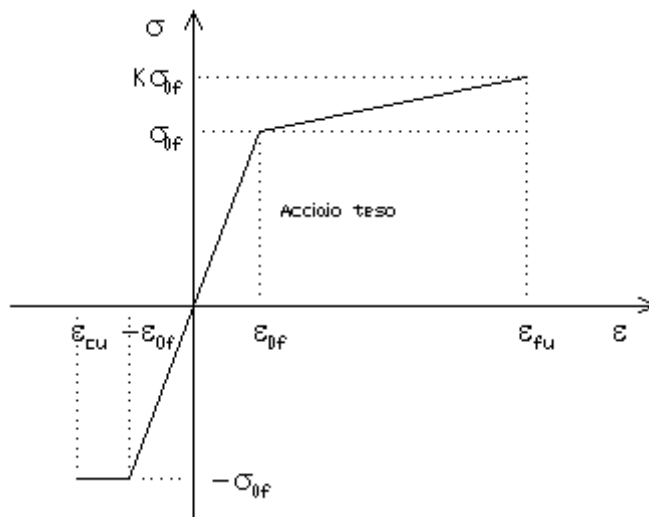
- dove:
- $\epsilon_{ck} = 0.002$;
 - $\epsilon_{cu} = 0.0035$;
 - $\sigma_{0c} = 0.85 \cdot 0.83 \cdot R_{ck} / \gamma_c$;
 - R_{ck} = resistenza caratteristica del calcestruzzo;
 - $\gamma_{m,c}$ = coefficiente di materiale del calcestruzzo;

Le equazioni che descrivono il diagramma sono:

$$\epsilon < \epsilon_{ck} : \sigma(\epsilon) = 1000 \cdot \sigma_{0c} \cdot \epsilon \cdot (1 - 250 \cdot \epsilon);$$

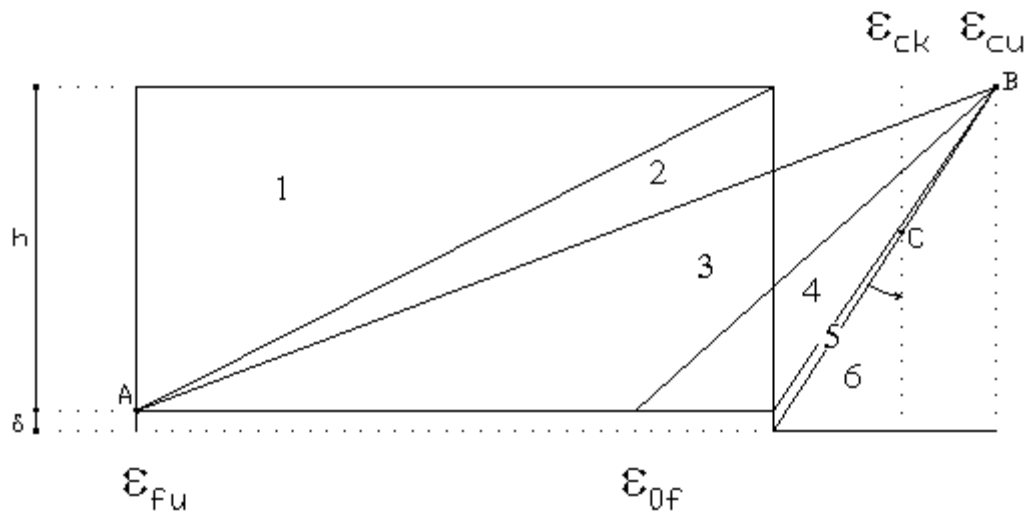
$$\epsilon_{ck} < \epsilon < \epsilon_{cu} : s(\sigma) = \sigma_{0c};$$

Il diagramma tensioni-deformazioni assunto per l'acciaio è indicato nella seguente figura:



- dove:
- $\epsilon_{0f} = \sigma_{0f} / E$;
 - E = Modulo di elasticità dell'acciaio;
 - σ_{0f} = resistenza di calcolo dell'acciaio;
 - k = rapporto di sovrarresistenza (se è pari ad 1 il comportamento è bilineare elastico-perfettamente plastico);
 - f_{yk} = Resistenza caratteristica dell'acciaio
 - γ_m = coefficiente di sicurezza dell'acciaio;
 - ϵ_{fu} = deformazione ultima dell'acciaio;
 - ϵ_{cu} = deformazione ultima del calcestruzzo;

Le limitazioni delle deformazioni unitarie per il conglomerato e per l'acciaio conducono a definire sei diversi campi (o regioni) nei quali potrà trovarsi la retta di deformazione specifica. Tali campi sono descritti nel seguente modo:



Campo 1 : è caratterizzato dall'allungamento massimo tollerabile per l'acciaio pari a ϵ_{Fu} . Il diagramma delle deformazioni specifiche appartiene ad un fascio di rette passanti per il punto (A) mentre la distanza dall'asse neutro potrà variare da $-\infty$ a 0. È il caso di trazione semplice o con piccola eccentricità; la sezione risulta interamente tesa. La crisi si ha per cedimento dell'acciaio teso.

Campo 2 : è caratterizzato dall'allungamento massimo tollerabile per l'acciaio pari a ϵ_{Fu} e dalla rotazione del diagramma attorno al punto (A). La deformazione specifica del calcestruzzo varia da 0 al valore massimo del calcestruzzo compresso (ϵ_{cu}) mentre la distanza dell'asse neutro dal lembo compresso può variare da 0 a $0.259h$. La sezione risulterà in parte tesa ed in parte compressa e quindi sarà sollecitata a flessione semplice o composta.

Campo 3 : è caratterizzato dall'accorciamento massimo del conglomerato pari a ϵ_{cu} . Le rette di deformazione appartengono ad un fascio passante per (B). La massima tensione del calcestruzzo in questa regione è pari a quella di rottura di calcolo mentre l'armatura è ancora deformata in campo plastico. La sezione risulterà in parte tesa ed in parte compressa e quindi sarà sollecitata a flessione semplice o composta.

Campo 4 : è caratterizzato dall'accorciamento massimo del conglomerato pari a ϵ_{cu} . Le rette di deformazione appartengono ad un fascio passante per (B). La massima tensione del calcestruzzo in questa regione è pari a quella di rottura di calcolo mentre l'armatura è sollecitata con tensioni inferiori allo snervamento e può risultare anche scarica. La sezione risulterà in parte tesa ed in parte compressa e quindi sarà sollecitata a flessione semplice o composta.

Campo 5 : è caratterizzato dall'accorciamento massimo del conglomerato pari a ϵ_{cu} . Le rette di deformazione appartengono ad un fascio passante per (B) mentre la distanza dell'asse neutro varia da h ad $h+\delta$. L'armatura in tale regione è sollecitata a compressione e pertanto tutta la sezione è compressa; è questo il caso della flessione composta.

Campo 6 : è caratterizzato dall'accorciamento massimo del conglomerato compresso che varia fra ϵ_{cu} e ϵ_{ck} . Le rette di deformazione specifica appartengono ad un fascio passante per (C) e la distanza dell'asse neutro varia fra 0 e $-\infty$. La distanza di (C) dal lembo superiore vale $3h/7$. La sezione risulta sollecitata a compressione semplice o composta.

- Taglio

Il calcolo del taglio viene eseguito secondo il metodo di Ritter-Morsch.

Per gli elementi in cui è richiesta la verifica a taglio, deve risultare:

$$V_{Sd} \leq \min[V_{Rsd}, V_{Rcd}]$$

dove:

V_{Sd} : taglio sollecitante il calcolo;

$$V_{Rsd} = 0.9 d (A_{sw} / s) f_{yd} (\text{ctg}\alpha + \text{ctg}\theta) \sin\alpha;$$

$$V_{Rcd} = 0.9 d b_w \alpha_c f'_{cd} (\text{ctg}\alpha + \text{ctg}\theta) / (1 + \text{ctg}^2\theta);$$

d : altezza utile della sezione;
A_{sw} : area dell'armatura trasversale;
s : passo dell'armatura trasversale;;
f_{yd} : resistenza a snervamento dell'acciaio;
b_w : larghezza minima della sezione lungo l'altezza efficace;

Il contributo delle armature a taglio è somma del contributo delle staffe e degli eventuali sagomati. In ogni caso l'aliquota massima che può essere affidata ai sagomati è il 50% dello sforzo di taglio massimo.

- Stabilità

La verifica di instabilità degli elementi snelli in c.a. viene condotta attraverso un'analisi del secondo ordine che tiene in conto degli effetti flessionali dell'azione assiale sulla configurazione deformata degli elementi stessi.

Si sono assunti legami fra le azioni interne e le deformazioni che mettono in conto il comportamento non lineare dei materiali e si è trascurato il contributo del calcestruzzo teso.

Il valore limite della snellezza per ogni colonna è stato assunto pari a:

$$\lambda_{lim} = 25 / \sqrt{\nu}$$

dove:

$$\nu = N_{ed} / (A_c f_{cd})$$

$$C = 1.7 - r_m$$

r_m = M₀₁ / M₀₂ è il rapporto fra i momenti flettenti del primo ordine alle due estremità del pilastro, positivo se i due momenti sono discordi sulla trave (|M₀₂| >= |M₀₁|).

La snellezza della colonna da confrontare con λ_{lim} è pari a:

$$\lambda = \lambda_0 / i$$

λ₀ è la lunghezza libera d'inflessione definita in base ai vincoli di estremità ed i il raggio d'inerzia della sezioni in calcestruzzo non fessurato.

Con riferimento al punto 4.1.2.3.9.3 del D.M. 17/01/2018 in aggiunta al momento sollecitante esterno viene sommata un'aliquota dovuta ad un'eccentricità dello sforzo normale pari a 1/300 dell'altezza della colonna (difetto di rettilineità).

In aggiunta viene considerata un'aliquota aggiuntiva che tenga conto dell'inflessione della colonna pari a e2 := 0.222 e_{fy} l₀²/h.

- Stato tensionale

Tale verifica rientra nell'ambito della verifica di esercizio. Il calcolo delle tensioni si ottiene sfruttando le ipotesi tradizionali per il calcolo del cemento armato ordinario, e cioè:

1. assunzione dei materiali elastico lineari;
2. conservazione delle sezioni piane al crescere dei carichi;
3. perfetta aderenza tra acciaio e calcestruzzo;
4. resistenza nulla a trazione del calcestruzzo;

Inoltre può essere stabilito un coefficiente di omogeneizzazione diverso dal valore ordinario.

Le tensioni di esercizio si possono calcolare considerando le combinazioni di carico caratteristica, frequente e quasi permanente. La verifica consiste nel confrontare le tensioni di calcolo con quelle limite dei materiali.

- Fessurazione

Poiché la fessurazione in strutture in cemento armato ordinario è quasi inevitabile, bisogna limitare tali entità in modo da non pregiudicare il corretto funzionamento della struttura.

La fessurazione può essere limitata assicurando un minimo di area di armatura longitudinale che può essere calcolata dalla seguente espressione:

$$A_s = k_c k f_{ct,eff} (A_{ct} / \sigma_s)$$

dove:

- A_s : area di armatura nella zona tesa;
 k_c : coefficiente che tiene conto del tipo di distribuzione delle tensioni nella sezione subito prima la fessurazione. Assume valore 0.4 per flessione senza compressione assiale, e 1 per trazione;
 k : coefficiente che tiene conto degli effetti di tensioni auto-equilibrate non uniformi;
 $f_{ct,eff}$: resistenza efficace a trazione della sezione al momento in cui si suppone insorgano le prime fessure. In mancanza di dati si utilizza il valore di 3 N/mm²;
 A_{ct} : area del calcestruzzo in zona tesa subito prima della fessurazione;
 σ_s : massima tensione ammessa nell'armatura subito dopo la formazione della fessura.

Il calcolo delle ampiezze delle fessure si effettua considerando anche la parte di calcestruzzo reagente a trazione utilizzando la seguente espressione:

$$W_k = \beta s_{rm} \varepsilon_{sm}$$

- W_k : ampiezza di calcolo delle fessure;
 β : coefficiente di correlazione tra l'ampiezza media delle fessure e il valore di calcolo;
 s_{rm} : distanza media finale tra le fessure;
 ε_{sm} : deformazione che tiene conto, nella combinazione di carico considerata, degli effetti "tension stiffening", del ritiro;

La quantità ε_{sm} si ottiene dalla seguente espressione:

$$\varepsilon_{sm} = (\sigma_s / E_s) [1 - \beta_1 \beta_2 (\sigma_{sr} / \sigma_s)^2]$$

dove:

- σ_s : tensione dell'acciaio teso calcolata a sezione fessurata;
 E_s : modulo elastico dell'acciaio;
 σ_{sr} : tensione dell'acciaio teso calcolata nella sezione per una condizione di carico che induce alla prima fessurazione;
 β_1 : coefficiente di aderenza delle barre. Assume valore 0.5 per barre lisce e 1 per barre ad aderenza migliorata;
 β_2 : coefficiente di durata dei carichi. Assume valore 0.5 per carichi di lunga durata o per molti cicli ripetuti e 1 per un singolo carico di breve durata.

La quantità s_{rm} si ottiene dalla seguente espressione:

$$s_{rm} = 50 + 0.25 k_1 k_2 (\phi / \rho_t)$$

dove:

- k_1 : coefficiente di aderenza delle barre. Assume valore 1.6 per barre lisce e 0.8 per barre ad aderenza migliorata;
 k_2 : coefficiente che tiene conto della forma del diagramma delle deformazioni. Assume valore 0.5 per flessione e 1 per trazione pura;
 ϕ : diametro delle barre in mm. Se si utilizzano più diametri si utilizza il diametro medio.

La fessurazione causata dalle azioni tangenziali si considera contenuta in limiti accettabili se si adotta un passo delle staffe. Tale verifica non è necessaria in elementi in cui non è richiesta l'armatura a taglio.

- Verifiche a deformabilità

Per il calcolo della deformabilità di elementi inflessi si utilizza il metodo che pesa le curvature nelle due situazioni caratteristiche degli elementi in c.a. ("I" sezione integra; "II" sezione fessurata). A tale riguardo la curvatura in una generica sezione può essere valutata con la seguente relazione:

$$\theta = (1-\zeta) \theta_I + \zeta \theta_{II}$$

dove ζ rappresenta l'effetto irrigidente del calcestruzzo tra due fessure consecutive (tension stiffening):

$$\zeta = 1 - c(M_{cr}/M)^2$$

dove:

- c : pari a 1 per carichi permanenti;
 M_{cr} : momento di prima fessurazione;

M : momento sollecitante.

Per calcolare la freccia di un elemento, si divide in “n” conci uguali e si calcola la curvatura di ogni concio riferita alla coordinata xi. La freccia relativa alla sezione xj è pari a:

$$\delta_j = \varphi_A x_j - \sum (x_j - x_i) \theta_i \Delta x$$

dove:

- φ_A : rotazione dell'estremo iniziale dell'elemento;
- l : lunghezza dell'elemento;
- Δx : lunghezza del concio;
- θ_i : curvatura relativa al concio.

- Particolari prescrizioni per distribuzione irregolari di tamponamenti ed impianti

Nel caso di distribuzione fortemente irregolare in altezza di tamponamenti ed impianti, deve essere considerata la possibilità di forti concentrazioni di danno ai livelli caratterizzati da significativa riduzione del numero di tali elementi.

Questo requisito si intende soddisfatto incrementando le azioni di calcolo per gli elementi verticali (pilastri e pareti) dei livelli con riduzione dei tamponamenti come descritto nel paragrafo 7.2.3 delle N.T.C. I fattori di sovraresistenza utilizzati nel presente calcolo sono:

Impalcato	Fatt. Sovr.
1	1.00

- Operazioni per il controllo della duttilità (DUT) richiesta dagli elementi in c.a

Nel caso di comportamento strutturale dissipativo il comportamento sismico della struttura è largamente dipendente dal comportamento delle sue zone dissipative, esse devono formarsi ove previsto e mantenere, in presenza di azioni cicliche, la capacità di trasmettere le necessarie sollecitazioni e di dissipare energia, garantendo la capacità in duttilità relativa alla classe di duttilità scelta.

I dettagli costruttivi delle zone dissipative e delle connessioni tra queste zone e le restanti parti della struttura, nonché dei diversi elementi strutturali tra loro, sono fondamentali per un corretto comportamento sismico e devono essere esaurientemente specificati negli elaborati di progetto.

Nel caso di analisi lineare la verifica di duttilità si può ritenere soddisfatta, rispettando per tutti gli elementi strutturali, sia primari sia secondari, le regole specifiche per i dettagli costruttivi precisate dalle norme per le diverse tipologie costruttive.

3 Dati

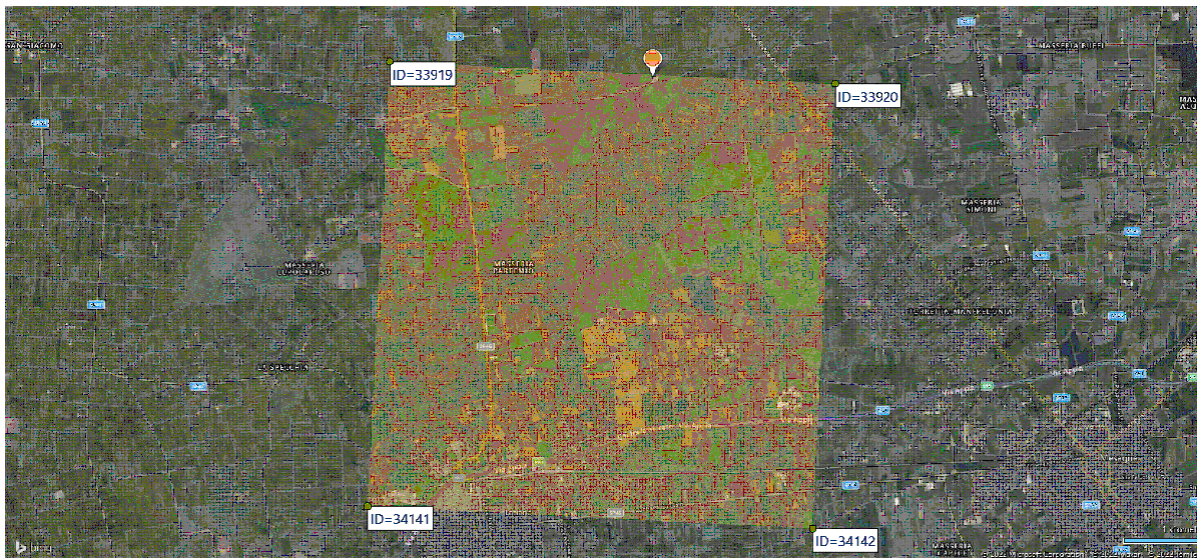
3.1 Dati Generali

Numero Impalcati : 1
 Numero delle tipologie di sezioni trasversali usate : 0
 Numero delle tipologie di solaio utilizzate : 0

Impalcato	Quota assoluta min [cm]	Quota assoluta max [cm]	Quota relativa min [cm]	Quota relativa max [cm]	Numero Colonne	Numero Travi
Fondazione	0.00	0.00	0.00	0.00	0	0
Piano 1	0.00	248.00	248.00	248.00	0	0

Coordinate (Datum WGS84) del sito : Latitudine = 40.6031° - Longitudine = 17.7434°

Coordinate (Datum ED50) del sito : Latitudine = 40.6040° - Longitudine = 17.7442°

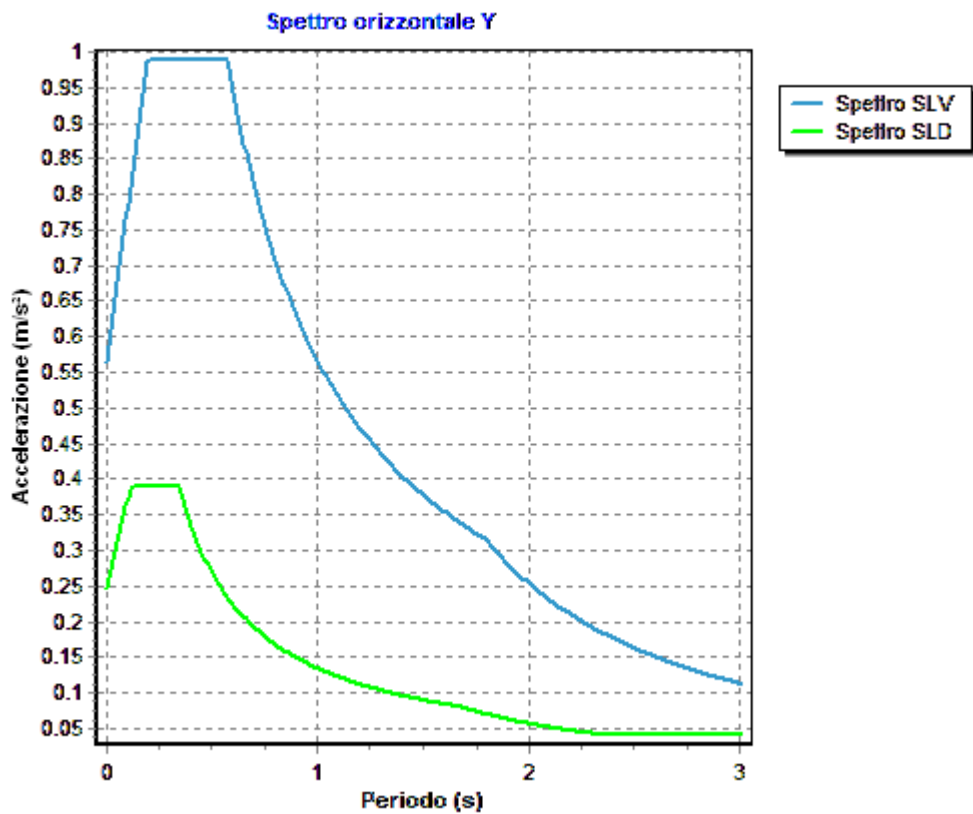
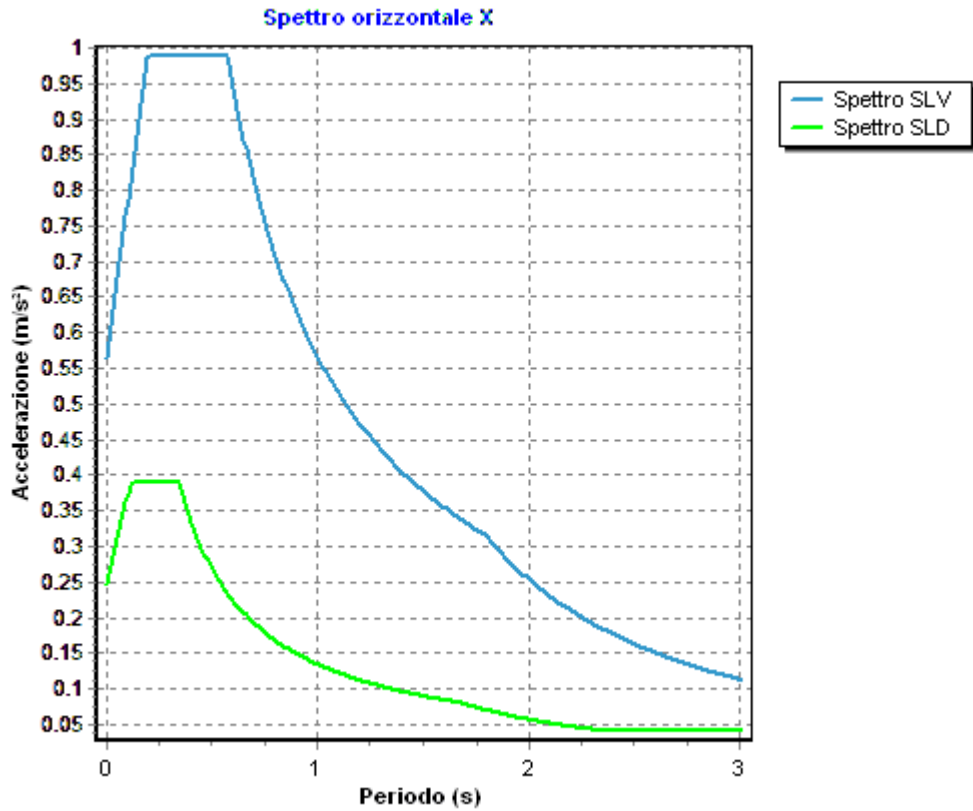


Identificativi e coordinate (Datum ED50) dei punti che includono il sito		
Numero punto	Latitudine [°]	Longitudine [°]
33919	40.6061	17.7053
33920	40.6036	17.7711
34141	40.5561	17.7020
34142	40.5537	17.7678

Zona sismica : SI
 Suolo di fondazione : B
 Vita nominale : 50
 Classe di duttilità: Non dissipativa
 Tipo di opera : Opere ordinarie
 Classe d'uso : II
 Vita di riferimento : 50
 Categoria topografica : T1
 Coefficiente smorzamento viscoso : 0.05

	Parametri dello spettro di risposta orizzontale							
	SLV		SLC		SLD		SLO	
Tempo di ritorno	475		975		50		30	
Accelerazione sismica	0.048		0.057		0.021		0.016	
Coefficiente Fo	2.626		2.787		2.371		2.364	
Periodo T _c *	0.443		0.468		0.233		0.159	
Coefficiente S _s	1.20		1.20		1.20		1.20	
Coefficiente di amplificazione topografica St	1.00		1.00		1.00		1.00	
Prodotto S _s · St	1.20		1.20		1.20		1.20	
Periodo T _B	0.19		0.20		0.11		0.08	
Periodo T _C	0.57		0.60		0.34		0.25	
Periodo T _D	1.79		1.83		1.68		1.66	
	x	y	x	y	x	y	x	y
Coefficiente η	0.667	0.667	1.000	1.000	*	*	*	*

* η pari a 1 per gli spostamenti e 2/3 per le sollecitazioni.



Fattore di comportamento direzione y (qy)	: 1.50
Fattore di comportamento direzione z (qz)	: 1.50
Modulo di Winkler traslazionale	: 5.00 daN/cm ³
Modulo di Winkler tangenziale	: 2.50 daN/cm ³
Delta Termico aste di elevazione	: 0
Delta Termico aste di fondazione	: 0
Modulo di omogeneizzazione (per SLE)	: 15
Classe di servizio per le strutture in legno	: 2

Coeff. di riduzione per rigidità fessurata:

SLV-SLC

Pilastrini		
	Assiale	da Carico Assiale
	Flessione	da Carico Assiale
	Taglio	da Carico Assiale
Travi		
	Assiale	da Carico Assiale
	Flessione	da Carico Assiale
	Taglio	da Carico Assiale
Pareti		
	Nel Piano	: 1.00
	Fuori Piano	: 1.00
Platee		
	Nel Piano	: 1.00
	Fuori Piano	: 1.00

SLD-SLO

Pilastrini		
	Assiale	da Carico Assiale
	Flessione	da Carico Assiale
	Taglio	da Carico Assiale
Travi		
	Assiale	da Carico Assiale
	Flessione	da Carico Assiale
	Taglio	da Carico Assiale
Pareti		
	Nel Piano	: 1.00
	Fuori Piano	: 1.00
Platee		
	Nel Piano	: 1.00
	Fuori Piano	: 1.00

Delta termico

Slv	: 0.50
Sle	: 0.75

Copriferro Piastre di Fondazione	: 4.00 cm
Copriferro Piastre di Elevazione	: 2.00 cm

3.2 Elenco e Caratteristiche dei materiali.

Nell'ambito del progetto si è fatto uso dei seguenti materiali divisi per categoria di appartenenza:

b - Calcestruzzo

Nome	Classe	Rck [daN/c m ²]	v	ps [daN/c m ³]	αt [1/°C]	Ec [daN/c m ²]	FC	γm,c	Ect/Ec	fc,k [daN/cm ²]	fcm [daN/c m ²]	fed SLU [daN/c m ²]	fctd SLU [daN/c m ²]	fed SLD [daN/c m ²]	fctd SLD [daN/c m ²]	fctk,0.05 [daN/c m ²]	fctm [daN/c m ²]	εc2 [%]	εcu2 [%]
C25/30	C25/30	300	0.15	2500	1.0E-005	314758.1	-	1.50	0.50	250.0	-	141.7	12.0	212.5	18.0	18.0	25.6	2.00	3.50
pareti	C25/30	300	0.15	250	1.0E-005	314758.1	-	1.50	0.50	250.0	-	141.7	12.0	212.5	18.0	18.0	25.6	2.00	3.50

c - Acciaio per C.A.

Nome	Tipo	γ_m	FC	Es [daN/cm ²]	fyk [daN/cm ²]	ftk [daN/cm ²]	fd SLU [daN/cm ²]	fd SLD [daN/cm ²]	fd SLE [daN/cm ²]	k	ϵ_{ud} [%]
B450C	B450C	1.15	-	2100000.0	4500.0	5400.0	3913.0	4500.0	3913.0	1.00	10.00

3.3 Elenco e caratteristiche delle colonne stratigrafiche.

Nell'ambito del progetto si è fatto uso delle seguenti colonne stratigrafiche:

Caratteristiche delle colonne stratigrafiche:

- Colonna : nome della colonna stratigrafica;
- Filo : filo fisso al quale appartiene la colonna stratigrafica;
- Impalcato : Impalcato al quale appartiene la colonna stratigrafica;
- Falda : Presenza della falda;
- Prof. Falda : Profondità della falda (se è presente);
- Spicc. Fond. : Quota dell'estradosso della fondazione rispetto al piano campagna;
- No. Strati : Numero degli strati della colonna stratigrafica.
- RQD : (Rock Quality Designation) grado di fratturazione dell'ammasso roccioso in [0-1]

Filo	Colonna	Impalcato	Falda	Prof. Falda [cm]	Spicc. Fond. [cm]	No. Strati	RQD
1	Colonna 1	Fondazione	Non Presente	-	0.00	1	-
2	Colonna 1	Fondazione	Non Presente	-	0.00	1	-
3	Colonna 1	Fondazione	Non Presente	-	0.00	1	-
4	Colonna 1	Fondazione	Non Presente	-	0.00	1	-

Caratteristiche degli strati appartenenti alle colonne stratigrafiche:

- Colonna : nome della colonna stratigrafica;
- Strato : nome dello strato appartenente la colonna stratigrafica;
- Spess. : Spessore dello strato;
- Peso : Peso dell'unità di volume dello strato;
- Peso eff. : Peso dell'unità di volume efficace dello strato;
- NSPT : Numero di colpi medio misurato nello strato;
- Qc : Resistenza alla punta media misurata nello strato;
- ϕ : Angolo di attrito del terreno;
- C : Coesione drenata del terreno;
- Cu : Coesione non drenata del terreno;
- E : Modulo elastico del terreno;
- G : Modulo di taglio del terreno;
- ν_t : Coefficiente di Poisson;
- E_{ed} : Modulo Edometrico;
- OCR : Grado di sovraconsolidazione del terreno.

Colonna	Strato	Spess. [cm]	Peso [daN/m ³]	Peso eff. [daN/m ³]	NSPT	Qc [daN/cm ²]	ϕ [°]	C [daN/cm ²]	Cu [daN/cm ²]	E [daN/cm ²]	G [daN/cm ²]	ν_t	E _{ed} [daN/cm ²]	OCR
Colonna 1	Calcari fratturati	350.0	1800.0	800.0	-	-	28.0	0.05	0.00	5090.00	1880.00	0.35	-	1.00

3.4 Elenco dei carichi.

3.4.1 Pesi propri unitari - G1.

Impalcato	Solai [daN/m ²]	Balconi [daN/m ²]	Scale [daN/m ²]

Fondazione	-	-	-
Piano 1	-	-	-

- Analisi dei Carichi -

3.4.2 Carichi Permanenti unitari - G2.

Impalcato	Solai [daN/m ²]	Balconi [daN/m ²]	Scale [daN/m ²]	Influenza Tramezzi [daN/m ²]	Tamponature [daN/m]
Fondazione	150	150	150	100	582
Piano 1	150	150	150	0	0

- Analisi dei Carichi -

Fondazione

Influenza Tramezzi

Il peso proprio degli elementi divisorii interni viene ragguagliato ad un carico permanente portato uniformemente distribuito come definito dal punto 3.1.3.1 - Elementi divisorii interni (D.M. 17/01/2018)

Piano 1

3.4.3 Carichi Variabili unitari - Q.

Le intensità assunte per i carichi variabili verticali ripartiti sono riportate nella seguente tabella:

Impalcato	Carichi d'esercizio [daN/m ²]		
	Solai	Balconi	Scale
Fondazione	200	400	400
Piano 1	200	400	400

3.4.4 Pesì Impalcati.

Ai fini della valutazione dei pesi "W" a livello dei vari impalcati, si tiene conto dei carichi di tipo G1 relativi agli elementi strutturali e dei carichi di tipo G2 relativi agli elementi non strutturali sommati ai sovraccarichi d'esercizio Q_k moltiplicati per una aliquota Ψ_{2i} (determinata dalla destinazione d'uso dell'opera ai vari piani

$$W_i = G1_i + G2_i + \Psi_{2i} \cdot Q_{ki}$$

Dove il pedice "i" è il piano i-esimo della struttura.

Impalcato	Destinazione	Ψ _{2i}
Fondazione	Categoria A: Ambienti ad uso residenziale	0.3
Piano 1	Categoria A: Ambienti ad uso residenziale	0.3

Per balconi e scale verranno usati i coefficienti calcolati come i maggiori tra quelli relativi alla categoria di carico di piano ed i seguenti:

Cat.	Destinazione	Ψ _{2i}
C2	Balconi, ballatoi e scale	0.6

Imp. Reale	G1 [daN]	G2 [daN]	Ψ ₂ · Q _k [daN]	W (SLV-SLD) [daN]
0	260146.00	331500.00	7650.00	599296.00
1	5146.00	2490.00	996.00	8632.00

3.5 Elenco e Caratteristiche delle sezioni trasversali.

3.6 Geometria Struttura.

3.6.1 Fili Fissi.

Numero : numerazione del filo fisso.
 Ascissa : coordinata X del filo fisso.
 Ordinata : coordinata Y del filo fisso.
 Angolo : angolo del filo fisso (in gradi);
 Tipo : tipo del filo fisso.

Numero	Ascissa [cm]	Ordinata [cm]	Quota [cm]	Angolo [°]	Tipo
1	0.00	0.00	0.00	0.00	7
2	0.00	750.00	0.00	0.00	1
3	3400.00	750.00	0.00	0.00	3
4	3400.00	0.00	0.00	0.00	9

3.6.2 Caratteristiche dei nodi.

I dati seguenti riportano tutte le caratteristiche relative ai nodi che definiscono la struttura ed in modo particolare:

Nodo : numerazione interna del nodo.
 Coordinate : coordinate del nodo secondo il sistema di riferimento globale cartesiano.
 Imp. : impalcato di appartenenza del nodo.
 Slave : nodo dipendente da un nodo MASTER definito nella tabella specifica;
 Vincoli : eventuali vincoli esterni del nodo in ognuna delle 6 direzioni:
 x : direzione X rispetto al sistema di riferimento globale;
 y : direzione Y rispetto al sistema di riferimento globale;
 z : direzione Z rispetto al sistema di riferimento globale;
 Rx : rotazione attorno all'asse X del sistema di riferimento globale;
 Ry : rotazione attorno all'asse Y del sistema di riferimento globale;
 Rz : rotazione attorno all'asse Z del sistema di riferimento globale;

Inoltre:

np : non presenza di vincoli;
 p : valore infinito della rigidità;
 Kt : valore finito delle rigidità traslazionali da leggere nella tabella specifica;
 Kr : valore finito delle rigidità rotazionali da leggere nella tabella specifica;

Masse Nodali:

M : valore della massa traslazionale
 MIx : valore del momento d'inerzia della massa attorno all'asse X
 MIy : valore del momento d'inerzia della massa attorno all'asse Y
 MIz : valore del momento d'inerzia della massa attorno all'asse Z

Nodo	Coordinate [cm]			Impalcato	Slave	Vincoli						Masse Nodali			
	x	y	z			x	y	z	Rx	Ry	Rz	M [daNM]	MIx [daNM*cm ²]	MIy [daNM*cm ²]	MIz [daNM*cm ²]
1	0.0	0.0	0.0	Fondazione	-	np	np	np	np	np	np	0.00	0.00	0.00	0.00
2	0.0	750.0	0.0	Fondazione	-	np	np	np	np	np	np	0.00	0.00	0.00	0.00
3	3400.0	750.0	0.0	Fondazione	-	np	np	np	np	np	np	0.00	0.00	0.00	0.00
4	3400.0	0.0	0.0	Fondazione	-	np	np	np	np	np	np	0.00	0.00	0.00	0.00
5	0.0	0.0	248.0	Piano 1	M1	np	np	np	np	np	np	0.00	0.00	0.00	0.00
6	0.0	750.0	248.0	Piano 1	M1	np	np	np	np	np	np	0.00	0.00	0.00	0.00
7	3400.0	750.0	248.0	Piano 1	M1	np	np	np	np	np	np	0.00	0.00	0.00	0.00
8	3400.0	0.0	248.0	Piano 1	M1	np	np	np	np	np	np	0.00	0.00	0.00	0.00
9	100.0	750.0	0.0	Fondazione	-	np	np	np	np	np	np	0.00	0.00	0.00	0.00
10	200.0	750.0	0.0	Fondazione	-	np	np	np	np	np	np	0.00	0.00	0.00	0.00
11	300.0	750.0	0.0	Fondazione	-	np	np	np	np	np	np	0.00	0.00	0.00	0.00
12	400.0	750.0	0.0	Fondazione	-	np	np	np	np	np	np	0.00	0.00	0.00	0.00

Relazione di calcolo -

13	500.0	750.0	0.0	Fondazione	-	np	np	np	np	np	np	0.00	0.00	0.00	0.00
14	600.0	750.0	0.0	Fondazione	-	np	np	np	np	np	np	0.00	0.00	0.00	0.00
15	700.0	750.0	0.0	Fondazione	-	np	np	np	np	np	np	0.00	0.00	0.00	0.00
16	800.0	750.0	0.0	Fondazione	-	np	np	np	np	np	np	0.00	0.00	0.00	0.00
17	900.0	750.0	0.0	Fondazione	-	np	np	np	np	np	np	0.00	0.00	0.00	0.00
18	1000.0	750.0	0.0	Fondazione	-	np	np	np	np	np	np	0.00	0.00	0.00	0.00
19	1100.0	750.0	0.0	Fondazione	-	np	np	np	np	np	np	0.00	0.00	0.00	0.00
20	1200.0	750.0	0.0	Fondazione	-	np	np	np	np	np	np	0.00	0.00	0.00	0.00
21	1300.0	750.0	0.0	Fondazione	-	np	np	np	np	np	np	0.00	0.00	0.00	0.00
22	1400.0	750.0	0.0	Fondazione	-	np	np	np	np	np	np	0.00	0.00	0.00	0.00
23	1500.0	750.0	0.0	Fondazione	-	np	np	np	np	np	np	0.00	0.00	0.00	0.00
24	1600.0	750.0	0.0	Fondazione	-	np	np	np	np	np	np	0.00	0.00	0.00	0.00
25	1700.0	750.0	0.0	Fondazione	-	np	np	np	np	np	np	0.00	0.00	0.00	0.00
26	1800.0	750.0	0.0	Fondazione	-	np	np	np	np	np	np	0.00	0.00	0.00	0.00
27	1900.0	750.0	0.0	Fondazione	-	np	np	np	np	np	np	0.00	0.00	0.00	0.00
28	2000.0	750.0	0.0	Fondazione	-	np	np	np	np	np	np	0.00	0.00	0.00	0.00
29	2100.0	750.0	0.0	Fondazione	-	np	np	np	np	np	np	0.00	0.00	0.00	0.00
30	2200.0	750.0	0.0	Fondazione	-	np	np	np	np	np	np	0.00	0.00	0.00	0.00
31	2300.0	750.0	0.0	Fondazione	-	np	np	np	np	np	np	0.00	0.00	0.00	0.00
32	2400.0	750.0	0.0	Fondazione	-	np	np	np	np	np	np	0.00	0.00	0.00	0.00
33	2500.0	750.0	0.0	Fondazione	-	np	np	np	np	np	np	0.00	0.00	0.00	0.00
34	2600.0	750.0	0.0	Fondazione	-	np	np	np	np	np	np	0.00	0.00	0.00	0.00
35	2700.0	750.0	0.0	Fondazione	-	np	np	np	np	np	np	0.00	0.00	0.00	0.00
36	2800.0	750.0	0.0	Fondazione	-	np	np	np	np	np	np	0.00	0.00	0.00	0.00
37	2900.0	750.0	0.0	Fondazione	-	np	np	np	np	np	np	0.00	0.00	0.00	0.00
38	3000.0	750.0	0.0	Fondazione	-	np	np	np	np	np	np	0.00	0.00	0.00	0.00
39	3100.0	750.0	0.0	Fondazione	-	np	np	np	np	np	np	0.00	0.00	0.00	0.00
40	3200.0	750.0	0.0	Fondazione	-	np	np	np	np	np	np	0.00	0.00	0.00	0.00
41	3300.0	750.0	0.0	Fondazione	-	np	np	np	np	np	np	0.00	0.00	0.00	0.00
42	3400.0	656.3	0.0	Fondazione	-	np	np	np	np	np	np	0.00	0.00	0.00	0.00
43	3400.0	562.5	0.0	Fondazione	-	np	np	np	np	np	np	0.00	0.00	0.00	0.00
44	3400.0	468.8	0.0	Fondazione	-	np	np	np	np	np	np	0.00	0.00	0.00	0.00
45	3400.0	375.0	0.0	Fondazione	-	np	np	np	np	np	np	0.00	0.00	0.00	0.00
46	3400.0	281.3	0.0	Fondazione	-	np	np	np	np	np	np	0.00	0.00	0.00	0.00
47	3400.0	187.5	0.0	Fondazione	-	np	np	np	np	np	np	0.00	0.00	0.00	0.00
48	3400.0	93.8	0.0	Fondazione	-	np	np	np	np	np	np	0.00	0.00	0.00	0.00
49	3300.0	0.0	0.0	Fondazione	-	np	np	np	np	np	np	0.00	0.00	0.00	0.00
50	3200.0	0.0	0.0	Fondazione	-	np	np	np	np	np	np	0.00	0.00	0.00	0.00
51	3100.0	0.0	0.0	Fondazione	-	np	np	np	np	np	np	0.00	0.00	0.00	0.00

Relazione di calcolo -

52	3000.0	0.0	0.0	Fondazione	-	np	np	np	np	np	np	0.00	0.00	0.00	0.00
53	2900.0	0.0	0.0	Fondazione	-	np	np	np	np	np	np	0.00	0.00	0.00	0.00
54	2800.0	0.0	0.0	Fondazione	-	np	np	np	np	np	np	0.00	0.00	0.00	0.00
55	2700.0	0.0	0.0	Fondazione	-	np	np	np	np	np	np	0.00	0.00	0.00	0.00
56	2600.0	0.0	0.0	Fondazione	-	np	np	np	np	np	np	0.00	0.00	0.00	0.00
57	2500.0	0.0	0.0	Fondazione	-	np	np	np	np	np	np	0.00	0.00	0.00	0.00
58	2400.0	0.0	0.0	Fondazione	-	np	np	np	np	np	np	0.00	0.00	0.00	0.00
59	2300.0	0.0	0.0	Fondazione	-	np	np	np	np	np	np	0.00	0.00	0.00	0.00
60	2200.0	0.0	0.0	Fondazione	-	np	np	np	np	np	np	0.00	0.00	0.00	0.00
61	2100.0	0.0	0.0	Fondazione	-	np	np	np	np	np	np	0.00	0.00	0.00	0.00
62	2000.0	0.0	0.0	Fondazione	-	np	np	np	np	np	np	0.00	0.00	0.00	0.00
63	1900.0	0.0	0.0	Fondazione	-	np	np	np	np	np	np	0.00	0.00	0.00	0.00
64	1800.0	0.0	0.0	Fondazione	-	np	np	np	np	np	np	0.00	0.00	0.00	0.00
65	1700.0	0.0	0.0	Fondazione	-	np	np	np	np	np	np	0.00	0.00	0.00	0.00
66	1600.0	0.0	0.0	Fondazione	-	np	np	np	np	np	np	0.00	0.00	0.00	0.00
67	1500.0	0.0	0.0	Fondazione	-	np	np	np	np	np	np	0.00	0.00	0.00	0.00
68	1400.0	0.0	0.0	Fondazione	-	np	np	np	np	np	np	0.00	0.00	0.00	0.00
69	1300.0	0.0	0.0	Fondazione	-	np	np	np	np	np	np	0.00	0.00	0.00	0.00
70	1200.0	0.0	0.0	Fondazione	-	np	np	np	np	np	np	0.00	0.00	0.00	0.00
71	1100.0	0.0	0.0	Fondazione	-	np	np	np	np	np	np	0.00	0.00	0.00	0.00
72	1000.0	0.0	0.0	Fondazione	-	np	np	np	np	np	np	0.00	0.00	0.00	0.00
73	900.0	0.0	0.0	Fondazione	-	np	np	np	np	np	np	0.00	0.00	0.00	0.00
74	800.0	0.0	0.0	Fondazione	-	np	np	np	np	np	np	0.00	0.00	0.00	0.00
75	700.0	0.0	0.0	Fondazione	-	np	np	np	np	np	np	0.00	0.00	0.00	0.00
76	600.0	0.0	0.0	Fondazione	-	np	np	np	np	np	np	0.00	0.00	0.00	0.00
77	500.0	0.0	0.0	Fondazione	-	np	np	np	np	np	np	0.00	0.00	0.00	0.00
78	400.0	0.0	0.0	Fondazione	-	np	np	np	np	np	np	0.00	0.00	0.00	0.00
79	300.0	0.0	0.0	Fondazione	-	np	np	np	np	np	np	0.00	0.00	0.00	0.00
80	200.0	0.0	0.0	Fondazione	-	np	np	np	np	np	np	0.00	0.00	0.00	0.00
81	100.0	0.0	0.0	Fondazione	-	np	np	np	np	np	np	0.00	0.00	0.00	0.00
82	0.0	93.8	0.0	Fondazione	-	np	np	np	np	np	np	0.00	0.00	0.00	0.00
83	0.0	187.5	0.0	Fondazione	-	np	np	np	np	np	np	0.00	0.00	0.00	0.00
84	0.0	281.3	0.0	Fondazione	-	np	np	np	np	np	np	0.00	0.00	0.00	0.00
85	0.0	375.0	0.0	Fondazione	-	np	np	np	np	np	np	0.00	0.00	0.00	0.00
86	0.0	468.8	0.0	Fondazione	-	np	np	np	np	np	np	0.00	0.00	0.00	0.00
87	0.0	562.5	0.0	Fondazione	-	np	np	np	np	np	np	0.00	0.00	0.00	0.00
88	0.0	656.3	0.0	Fondazione	-	np	np	np	np	np	np	0.00	0.00	0.00	0.00
89	0.0	93.8	248.0	Piano 1	M1	np	np	np	np	np	np	0.00	0.00	0.00	0.00
90	0.0	187.5	248.0	Piano 1	M1	np	np	np	np	np	np	0.00	0.00	0.00	0.00
91	0.0	281.3	248.0	Piano 1	M1	np	np	np	np	np	np	0.00	0.00	0.00	0.00
92	0.0	375.0	248.0	Piano 1	M1	np	np	np	np	np	np	0.00	0.00	0.00	0.00
93	0.0	468.8	248.0	Piano 1	M1	np	np	np	np	np	np	0.00	0.00	0.00	0.00
94	0.0	562.5	248.0	Piano 1	M1	np	np	np	np	np	np	0.00	0.00	0.00	0.00
95	0.0	656.3	248.0	Piano 1	M1	np	np	np	np	np	np	0.00	0.00	0.00	0.00
96	0.0	0.0	165.3	Piano 1	-	np	np	np	np	np	np	0.00	0.00	0.00	0.00
97	0.0	0.0	82.7	Piano 1	-	np	np	np	np	np	np	0.00	0.00	0.00	0.00
98	0.0	750.0	165.3	Piano 1	-	np	np	np	np	np	np	0.00	0.00	0.00	0.00
99	0.0	750.0	82.7	Piano 1	-	np	np	np	np	np	np	0.00	0.00	0.00	0.00
100	3300.0	0.0	248.0	Piano 1	M1	np	np	np	np	np	np	0.00	0.00	0.00	0.00
101	3200.0	0.0	248.0	Piano 1	M1	np	np	np	np	np	np	0.00	0.00	0.00	0.00

Relazione di calcolo -

102	3100.0	0.0	248.0	Piano 1	M1	np	np	np	np	np	np	0.00	0.00	0.00	0.00
103	3000.0	0.0	248.0	Piano 1	M1	np	np	np	np	np	np	0.00	0.00	0.00	0.00
104	2900.0	0.0	248.0	Piano 1	M1	np	np	np	np	np	np	0.00	0.00	0.00	0.00
105	2800.0	0.0	248.0	Piano 1	M1	np	np	np	np	np	np	0.00	0.00	0.00	0.00
106	2700.0	0.0	248.0	Piano 1	M1	np	np	np	np	np	np	0.00	0.00	0.00	0.00
107	2600.0	0.0	248.0	Piano 1	M1	np	np	np	np	np	np	0.00	0.00	0.00	0.00
108	2500.0	0.0	248.0	Piano 1	M1	np	np	np	np	np	np	0.00	0.00	0.00	0.00
109	2400.0	0.0	248.0	Piano 1	M1	np	np	np	np	np	np	0.00	0.00	0.00	0.00
110	2300.0	0.0	248.0	Piano 1	M1	np	np	np	np	np	np	0.00	0.00	0.00	0.00
111	2200.0	0.0	248.0	Piano 1	M1	np	np	np	np	np	np	0.00	0.00	0.00	0.00
112	2100.0	0.0	248.0	Piano 1	M1	np	np	np	np	np	np	0.00	0.00	0.00	0.00
113	2000.0	0.0	248.0	Piano 1	M1	np	np	np	np	np	np	0.00	0.00	0.00	0.00
114	1900.0	0.0	248.0	Piano 1	M1	np	np	np	np	np	np	0.00	0.00	0.00	0.00
115	1800.0	0.0	248.0	Piano 1	M1	np	np	np	np	np	np	0.00	0.00	0.00	0.00
116	1700.0	0.0	248.0	Piano 1	M1	np	np	np	np	np	np	0.00	0.00	0.00	0.00
117	1600.0	0.0	248.0	Piano 1	M1	np	np	np	np	np	np	0.00	0.00	0.00	0.00
118	1500.0	0.0	248.0	Piano 1	M1	np	np	np	np	np	np	0.00	0.00	0.00	0.00
119	1400.0	0.0	248.0	Piano 1	M1	np	np	np	np	np	np	0.00	0.00	0.00	0.00
120	1300.0	0.0	248.0	Piano 1	M1	np	np	np	np	np	np	0.00	0.00	0.00	0.00
121	1200.0	0.0	248.0	Piano 1	M1	np	np	np	np	np	np	0.00	0.00	0.00	0.00
122	1100.0	0.0	248.0	Piano 1	M1	np	np	np	np	np	np	0.00	0.00	0.00	0.00
123	1000.0	0.0	248.0	Piano 1	M1	np	np	np	np	np	np	0.00	0.00	0.00	0.00
124	900.0	0.0	248.0	Piano 1	M1	np	np	np	np	np	np	0.00	0.00	0.00	0.00
125	800.0	0.0	248.0	Piano 1	M1	np	np	np	np	np	np	0.00	0.00	0.00	0.00
126	700.0	0.0	248.0	Piano 1	M1	np	np	np	np	np	np	0.00	0.00	0.00	0.00
127	600.0	0.0	248.0	Piano 1	M1	np	np	np	np	np	np	0.00	0.00	0.00	0.00
128	500.0	0.0	248.0	Piano 1	M1	np	np	np	np	np	np	0.00	0.00	0.00	0.00
129	400.0	0.0	248.0	Piano 1	M1	np	np	np	np	np	np	0.00	0.00	0.00	0.00
130	300.0	0.0	248.0	Piano 1	M1	np	np	np	np	np	np	0.00	0.00	0.00	0.00
131	200.0	0.0	248.0	Piano 1	M1	np	np	np	np	np	np	0.00	0.00	0.00	0.00
132	100.0	0.0	248.0	Piano 1	M1	np	np	np	np	np	np	0.00	0.00	0.00	0.00
133	3400.0	0.0	165.3	Piano 1	-	np	np	np	np	np	np	0.00	0.00	0.00	0.00
134	3400.0	0.0	82.7	Piano 1	-	np	np	np	np	np	np	0.00	0.00	0.00	0.00
135	100.0	750.0	248.0	Piano 1	M1	np	np	np	np	np	np	0.00	0.00	0.00	0.00
136	200.0	750.0	248.0	Piano 1	M1	np	np	np	np	np	np	0.00	0.00	0.00	0.00
137	300.0	750.0	248.0	Piano 1	M1	np	np	np	np	np	np	0.00	0.00	0.00	0.00
138	400.0	750.0	248.0	Piano 1	M1	np	np	np	np	np	np	0.00	0.00	0.00	0.00
139	500.0	750.0	248.0	Piano 1	M1	np	np	np	np	np	np	0.00	0.00	0.00	0.00
140	600.0	750.0	248.0	Piano 1	M1	np	np	np	np	np	np	0.00	0.00	0.00	0.00
141	700.0	750.0	248.0	Piano 1	M1	np	np	np	np	np	np	0.00	0.00	0.00	0.00
142	800.0	750.0	248.0	Piano 1	M1	np	np	np	np	np	np	0.00	0.00	0.00	0.00
143	900.0	750.0	248.0	Piano 1	M1	np	np	np	np	np	np	0.00	0.00	0.00	0.00
144	1000.0	750.0	248.0	Piano 1	M1	np	np	np	np	np	np	0.00	0.00	0.00	0.00
145	1100.0	750.0	248.0	Piano 1	M1	np	np	np	np	np	np	0.00	0.00	0.00	0.00
146	1200.0	750.0	248.0	Piano 1	M1	np	np	np	np	np	np	0.00	0.00	0.00	0.00
147	1300.0	750.0	248.0	Piano 1	M1	np	np	np	np	np	np	0.00	0.00	0.00	0.00

Relazione di calcolo -

148	1400.0	750.0	248.0	Piano 1	M1	np	np	np	np	np	np	0.00	0.00	0.00	0.00
149	1500.0	750.0	248.0	Piano 1	M1	np	np	np	np	np	np	0.00	0.00	0.00	0.00
150	1600.0	750.0	248.0	Piano 1	M1	np	np	np	np	np	np	0.00	0.00	0.00	0.00
151	1700.0	750.0	248.0	Piano 1	M1	np	np	np	np	np	np	0.00	0.00	0.00	0.00
152	1800.0	750.0	248.0	Piano 1	M1	np	np	np	np	np	np	0.00	0.00	0.00	0.00
153	1900.0	750.0	248.0	Piano 1	M1	np	np	np	np	np	np	0.00	0.00	0.00	0.00
154	2000.0	750.0	248.0	Piano 1	M1	np	np	np	np	np	np	0.00	0.00	0.00	0.00
155	2100.0	750.0	248.0	Piano 1	M1	np	np	np	np	np	np	0.00	0.00	0.00	0.00
156	2200.0	750.0	248.0	Piano 1	M1	np	np	np	np	np	np	0.00	0.00	0.00	0.00
157	2300.0	750.0	248.0	Piano 1	M1	np	np	np	np	np	np	0.00	0.00	0.00	0.00
158	2400.0	750.0	248.0	Piano 1	M1	np	np	np	np	np	np	0.00	0.00	0.00	0.00
159	2500.0	750.0	248.0	Piano 1	M1	np	np	np	np	np	np	0.00	0.00	0.00	0.00
160	2600.0	750.0	248.0	Piano 1	M1	np	np	np	np	np	np	0.00	0.00	0.00	0.00
161	2700.0	750.0	248.0	Piano 1	M1	np	np	np	np	np	np	0.00	0.00	0.00	0.00
162	2800.0	750.0	248.0	Piano 1	M1	np	np	np	np	np	np	0.00	0.00	0.00	0.00
163	2900.0	750.0	248.0	Piano 1	M1	np	np	np	np	np	np	0.00	0.00	0.00	0.00
164	3000.0	750.0	248.0	Piano 1	M1	np	np	np	np	np	np	0.00	0.00	0.00	0.00
165	3100.0	750.0	248.0	Piano 1	M1	np	np	np	np	np	np	0.00	0.00	0.00	0.00
166	3200.0	750.0	248.0	Piano 1	M1	np	np	np	np	np	np	0.00	0.00	0.00	0.00
167	3300.0	750.0	248.0	Piano 1	M1	np	np	np	np	np	np	0.00	0.00	0.00	0.00
168	3400.0	750.0	165.3	Piano 1	-	np	np	np	np	np	np	0.00	0.00	0.00	0.00
169	3400.0	750.0	82.7	Piano 1	-	np	np	np	np	np	np	0.00	0.00	0.00	0.00
170	3400.0	656.3	248.0	Piano 1	M1	np	np	np	np	np	np	0.00	0.00	0.00	0.00
171	3400.0	562.5	248.0	Piano 1	M1	np	np	np	np	np	np	0.00	0.00	0.00	0.00
172	3400.0	468.8	248.0	Piano 1	M1	np	np	np	np	np	np	0.00	0.00	0.00	0.00
173	3400.0	375.0	248.0	Piano 1	M1	np	np	np	np	np	np	0.00	0.00	0.00	0.00
174	3400.0	281.3	248.0	Piano 1	M1	np	np	np	np	np	np	0.00	0.00	0.00	0.00
175	3400.0	187.5	248.0	Piano 1	M1	np	np	np	np	np	np	0.00	0.00	0.00	0.00
176	3400.0	93.8	248.0	Piano 1	M1	np	np	np	np	np	np	0.00	0.00	0.00	0.00
177	0.0	656.3	82.7	Piano 1	-	np	np	np	np	np	np	0.00	0.00	0.00	0.00
178	0.0	656.3	165.3	Piano 1	-	np	np	np	np	np	np	0.00	0.00	0.00	0.00
179	0.0	562.5	82.7	Piano 1	-	np	np	np	np	np	np	0.00	0.00	0.00	0.00
180	0.0	562.5	165.3	Piano 1	-	np	np	np	np	np	np	0.00	0.00	0.00	0.00
181	0.0	468.8	82.7	Piano 1	-	np	np	np	np	np	np	0.00	0.00	0.00	0.00
182	0.0	468.8	165.3	Piano 1	-	np	np	np	np	np	np	0.00	0.00	0.00	0.00
183	0.0	375.0	82.7	Piano 1	-	np	np	np	np	np	np	0.00	0.00	0.00	0.00
184	0.0	375.0	165.3	Piano 1	-	np	np	np	np	np	np	0.00	0.00	0.00	0.00
185	0.0	281.3	82.7	Piano 1	-	np	np	np	np	np	np	0.00	0.00	0.00	0.00
186	0.0	281.3	165.3	Piano 1	-	np	np	np	np	np	np	0.00	0.00	0.00	0.00
187	0.0	187.5	82.7	Piano 1	-	np	np	np	np	np	np	0.00	0.00	0.00	0.00
188	0.0	187.5	165.3	Piano 1	-	np	np	np	np	np	np	0.00	0.00	0.00	0.00
189	0.0	93.8	165.3	Piano 1	-	np	np	np	np	np	np	0.00	0.00	0.00	0.00
190	0.0	93.8	82.7	Piano 1	-	np	np	np	np	np	np	0.00	0.00	0.00	0.00
191	100.0	0.0	82.7	Piano 1	-	np	np	np	np	np	np	0.00	0.00	0.00	0.00
192	100.0	0.0	165.3	Piano 1	-	np	np	np	np	np	np	0.00	0.00	0.00	0.00

Relazione di calcolo -

193	200.0	0.0	82.7	Piano 1	-	np	np	np	np	np	np	0.00	0.00	0.00	0.00
194	200.0	0.0	165.3	Piano 1	-	np	np	np	np	np	np	0.00	0.00	0.00	0.00
195	300.0	0.0	82.7	Piano 1	-	np	np	np	np	np	np	0.00	0.00	0.00	0.00
196	300.0	0.0	165.3	Piano 1	-	np	np	np	np	np	np	0.00	0.00	0.00	0.00
197	400.0	0.0	82.7	Piano 1	-	np	np	np	np	np	np	0.00	0.00	0.00	0.00
198	400.0	0.0	165.3	Piano 1	-	np	np	np	np	np	np	0.00	0.00	0.00	0.00
199	500.0	0.0	82.7	Piano 1	-	np	np	np	np	np	np	0.00	0.00	0.00	0.00
200	500.0	0.0	165.3	Piano 1	-	np	np	np	np	np	np	0.00	0.00	0.00	0.00
201	600.0	0.0	82.7	Piano 1	-	np	np	np	np	np	np	0.00	0.00	0.00	0.00
202	600.0	0.0	165.3	Piano 1	-	np	np	np	np	np	np	0.00	0.00	0.00	0.00
203	700.0	0.0	82.7	Piano 1	-	np	np	np	np	np	np	0.00	0.00	0.00	0.00
204	700.0	0.0	165.3	Piano 1	-	np	np	np	np	np	np	0.00	0.00	0.00	0.00
205	800.0	0.0	82.7	Piano 1	-	np	np	np	np	np	np	0.00	0.00	0.00	0.00
206	800.0	0.0	165.3	Piano 1	-	np	np	np	np	np	np	0.00	0.00	0.00	0.00
207	900.0	0.0	82.7	Piano 1	-	np	np	np	np	np	np	0.00	0.00	0.00	0.00
208	900.0	0.0	165.3	Piano 1	-	np	np	np	np	np	np	0.00	0.00	0.00	0.00
209	1000.0	0.0	82.7	Piano 1	-	np	np	np	np	np	np	0.00	0.00	0.00	0.00
210	1000.0	0.0	165.3	Piano 1	-	np	np	np	np	np	np	0.00	0.00	0.00	0.00
211	1100.0	0.0	82.7	Piano 1	-	np	np	np	np	np	np	0.00	0.00	0.00	0.00
212	1100.0	0.0	165.3	Piano 1	-	np	np	np	np	np	np	0.00	0.00	0.00	0.00
213	1200.0	0.0	82.7	Piano 1	-	np	np	np	np	np	np	0.00	0.00	0.00	0.00
214	1200.0	0.0	165.3	Piano 1	-	np	np	np	np	np	np	0.00	0.00	0.00	0.00
215	1300.0	0.0	82.7	Piano 1	-	np	np	np	np	np	np	0.00	0.00	0.00	0.00
216	1300.0	0.0	165.3	Piano 1	-	np	np	np	np	np	np	0.00	0.00	0.00	0.00
217	1400.0	0.0	82.7	Piano 1	-	np	np	np	np	np	np	0.00	0.00	0.00	0.00
218	1400.0	0.0	165.3	Piano 1	-	np	np	np	np	np	np	0.00	0.00	0.00	0.00
219	1500.0	0.0	82.7	Piano 1	-	np	np	np	np	np	np	0.00	0.00	0.00	0.00
220	1500.0	0.0	165.3	Piano 1	-	np	np	np	np	np	np	0.00	0.00	0.00	0.00
221	1600.0	0.0	82.7	Piano 1	-	np	np	np	np	np	np	0.00	0.00	0.00	0.00
222	1600.0	0.0	165.3	Piano 1	-	np	np	np	np	np	np	0.00	0.00	0.00	0.00
223	1700.0	0.0	82.7	Piano 1	-	np	np	np	np	np	np	0.00	0.00	0.00	0.00
224	1700.0	0.0	165.3	Piano 1	-	np	np	np	np	np	np	0.00	0.00	0.00	0.00
225	1800.0	0.0	82.7	Piano 1	-	np	np	np	np	np	np	0.00	0.00	0.00	0.00
226	1800.0	0.0	165.3	Piano 1	-	np	np	np	np	np	np	0.00	0.00	0.00	0.00
227	1900.0	0.0	82.7	Piano 1	-	np	np	np	np	np	np	0.00	0.00	0.00	0.00
228	1900.0	0.0	165.3	Piano 1	-	np	np	np	np	np	np	0.00	0.00	0.00	0.00
229	2000.0	0.0	82.7	Piano 1	-	np	np	np	np	np	np	0.00	0.00	0.00	0.00
230	2000.0	0.0	165.3	Piano 1	-	np	np	np	np	np	np	0.00	0.00	0.00	0.00
231	2100.0	0.0	82.7	Piano 1	-	np	np	np	np	np	np	0.00	0.00	0.00	0.00
232	2100.0	0.0	165.3	Piano 1	-	np	np	np	np	np	np	0.00	0.00	0.00	0.00
233	2200.0	0.0	82.7	Piano 1	-	np	np	np	np	np	np	0.00	0.00	0.00	0.00
234	2200.0	0.0	165.3	Piano 1	-	np	np	np	np	np	np	0.00	0.00	0.00	0.00
235	2300.0	0.0	82.7	Piano 1	-	np	np	np	np	np	np	0.00	0.00	0.00	0.00
236	2300.0	0.0	165.3	Piano 1	-	np	np	np	np	np	np	0.00	0.00	0.00	0.00
237	2400.0	0.0	82.7	Piano 1	-	np	np	np	np	np	np	0.00	0.00	0.00	0.00

Relazione di calcolo -

238	2400.0	0.0	165.3	Piano 1	-	np	np	np	np	np	np	0.00	0.00	0.00	0.00
239	2500.0	0.0	82.7	Piano 1	-	np	np	np	np	np	np	0.00	0.00	0.00	0.00
240	2500.0	0.0	165.3	Piano 1	-	np	np	np	np	np	np	0.00	0.00	0.00	0.00
241	2600.0	0.0	82.7	Piano 1	-	np	np	np	np	np	np	0.00	0.00	0.00	0.00
242	2600.0	0.0	165.3	Piano 1	-	np	np	np	np	np	np	0.00	0.00	0.00	0.00
243	2700.0	0.0	82.7	Piano 1	-	np	np	np	np	np	np	0.00	0.00	0.00	0.00
244	2700.0	0.0	165.3	Piano 1	-	np	np	np	np	np	np	0.00	0.00	0.00	0.00
245	2800.0	0.0	82.7	Piano 1	-	np	np	np	np	np	np	0.00	0.00	0.00	0.00
246	2800.0	0.0	165.3	Piano 1	-	np	np	np	np	np	np	0.00	0.00	0.00	0.00
247	2900.0	0.0	82.7	Piano 1	-	np	np	np	np	np	np	0.00	0.00	0.00	0.00
248	2900.0	0.0	165.3	Piano 1	-	np	np	np	np	np	np	0.00	0.00	0.00	0.00
249	3000.0	0.0	82.7	Piano 1	-	np	np	np	np	np	np	0.00	0.00	0.00	0.00
250	3000.0	0.0	165.3	Piano 1	-	np	np	np	np	np	np	0.00	0.00	0.00	0.00
251	3100.0	0.0	82.7	Piano 1	-	np	np	np	np	np	np	0.00	0.00	0.00	0.00
252	3100.0	0.0	165.3	Piano 1	-	np	np	np	np	np	np	0.00	0.00	0.00	0.00
253	3200.0	0.0	82.7	Piano 1	-	np	np	np	np	np	np	0.00	0.00	0.00	0.00
254	3200.0	0.0	165.3	Piano 1	-	np	np	np	np	np	np	0.00	0.00	0.00	0.00
255	3300.0	0.0	165.3	Piano 1	-	np	np	np	np	np	np	0.00	0.00	0.00	0.00
256	3300.0	0.0	82.7	Piano 1	-	np	np	np	np	np	np	0.00	0.00	0.00	0.00
257	3300.0	750.0	82.7	Piano 1	-	np	np	np	np	np	np	0.00	0.00	0.00	0.00
258	3300.0	750.0	165.3	Piano 1	-	np	np	np	np	np	np	0.00	0.00	0.00	0.00
259	3200.0	750.0	82.7	Piano 1	-	np	np	np	np	np	np	0.00	0.00	0.00	0.00
260	3200.0	750.0	165.3	Piano 1	-	np	np	np	np	np	np	0.00	0.00	0.00	0.00
261	3100.0	750.0	82.7	Piano 1	-	np	np	np	np	np	np	0.00	0.00	0.00	0.00
262	3100.0	750.0	165.3	Piano 1	-	np	np	np	np	np	np	0.00	0.00	0.00	0.00
263	3000.0	750.0	82.7	Piano 1	-	np	np	np	np	np	np	0.00	0.00	0.00	0.00
264	3000.0	750.0	165.3	Piano 1	-	np	np	np	np	np	np	0.00	0.00	0.00	0.00
265	2900.0	750.0	82.7	Piano 1	-	np	np	np	np	np	np	0.00	0.00	0.00	0.00
266	2900.0	750.0	165.3	Piano 1	-	np	np	np	np	np	np	0.00	0.00	0.00	0.00
267	2800.0	750.0	82.7	Piano 1	-	np	np	np	np	np	np	0.00	0.00	0.00	0.00
268	2800.0	750.0	165.3	Piano 1	-	np	np	np	np	np	np	0.00	0.00	0.00	0.00
269	2700.0	750.0	82.7	Piano 1	-	np	np	np	np	np	np	0.00	0.00	0.00	0.00
270	2700.0	750.0	165.3	Piano 1	-	np	np	np	np	np	np	0.00	0.00	0.00	0.00
271	2600.0	750.0	82.7	Piano 1	-	np	np	np	np	np	np	0.00	0.00	0.00	0.00
272	2600.0	750.0	165.3	Piano 1	-	np	np	np	np	np	np	0.00	0.00	0.00	0.00
273	2500.0	750.0	82.7	Piano 1	-	np	np	np	np	np	np	0.00	0.00	0.00	0.00
274	2500.0	750.0	165.3	Piano 1	-	np	np	np	np	np	np	0.00	0.00	0.00	0.00

Relazione di calcolo -

275	2400.0	750.0	82.7	Piano 1	-	np	np	np	np	np	np	0.00	0.00	0.00	0.00
276	2400.0	750.0	165.3	Piano 1	-	np	np	np	np	np	np	0.00	0.00	0.00	0.00
277	2300.0	750.0	82.7	Piano 1	-	np	np	np	np	np	np	0.00	0.00	0.00	0.00
278	2300.0	750.0	165.3	Piano 1	-	np	np	np	np	np	np	0.00	0.00	0.00	0.00
279	2200.0	750.0	82.7	Piano 1	-	np	np	np	np	np	np	0.00	0.00	0.00	0.00
280	2200.0	750.0	165.3	Piano 1	-	np	np	np	np	np	np	0.00	0.00	0.00	0.00
281	2100.0	750.0	82.7	Piano 1	-	np	np	np	np	np	np	0.00	0.00	0.00	0.00
282	2100.0	750.0	165.3	Piano 1	-	np	np	np	np	np	np	0.00	0.00	0.00	0.00
283	2000.0	750.0	82.7	Piano 1	-	np	np	np	np	np	np	0.00	0.00	0.00	0.00
284	2000.0	750.0	165.3	Piano 1	-	np	np	np	np	np	np	0.00	0.00	0.00	0.00
285	1900.0	750.0	82.7	Piano 1	-	np	np	np	np	np	np	0.00	0.00	0.00	0.00
286	1900.0	750.0	165.3	Piano 1	-	np	np	np	np	np	np	0.00	0.00	0.00	0.00
287	1800.0	750.0	82.7	Piano 1	-	np	np	np	np	np	np	0.00	0.00	0.00	0.00
288	1800.0	750.0	165.3	Piano 1	-	np	np	np	np	np	np	0.00	0.00	0.00	0.00
289	1700.0	750.0	82.7	Piano 1	-	np	np	np	np	np	np	0.00	0.00	0.00	0.00
290	1700.0	750.0	165.3	Piano 1	-	np	np	np	np	np	np	0.00	0.00	0.00	0.00
291	1600.0	750.0	82.7	Piano 1	-	np	np	np	np	np	np	0.00	0.00	0.00	0.00
292	1600.0	750.0	165.3	Piano 1	-	np	np	np	np	np	np	0.00	0.00	0.00	0.00
293	1500.0	750.0	82.7	Piano 1	-	np	np	np	np	np	np	0.00	0.00	0.00	0.00
294	1500.0	750.0	165.3	Piano 1	-	np	np	np	np	np	np	0.00	0.00	0.00	0.00
295	1400.0	750.0	82.7	Piano 1	-	np	np	np	np	np	np	0.00	0.00	0.00	0.00
296	1400.0	750.0	165.3	Piano 1	-	np	np	np	np	np	np	0.00	0.00	0.00	0.00
297	1300.0	750.0	82.7	Piano 1	-	np	np	np	np	np	np	0.00	0.00	0.00	0.00
298	1300.0	750.0	165.3	Piano 1	-	np	np	np	np	np	np	0.00	0.00	0.00	0.00
299	1200.0	750.0	82.7	Piano 1	-	np	np	np	np	np	np	0.00	0.00	0.00	0.00
300	1200.0	750.0	165.3	Piano 1	-	np	np	np	np	np	np	0.00	0.00	0.00	0.00
301	1100.0	750.0	82.7	Piano 1	-	np	np	np	np	np	np	0.00	0.00	0.00	0.00
302	1100.0	750.0	165.3	Piano 1	-	np	np	np	np	np	np	0.00	0.00	0.00	0.00
303	1000.0	750.0	82.7	Piano 1	-	np	np	np	np	np	np	0.00	0.00	0.00	0.00
304	1000.0	750.0	165.3	Piano 1	-	np	np	np	np	np	np	0.00	0.00	0.00	0.00
305	900.0	750.0	82.7	Piano 1	-	np	np	np	np	np	np	0.00	0.00	0.00	0.00
306	900.0	750.0	165.3	Piano 1	-	np	np	np	np	np	np	0.00	0.00	0.00	0.00
307	800.0	750.0	82.7	Piano 1	-	np	np	np	np	np	np	0.00	0.00	0.00	0.00
308	800.0	750.0	165.3	Piano 1	-	np	np	np	np	np	np	0.00	0.00	0.00	0.00
309	700.0	750.0	82.7	Piano 1	-	np	np	np	np	np	np	0.00	0.00	0.00	0.00
310	700.0	750.0	165.3	Piano 1	-	np	np	np	np	np	np	0.00	0.00	0.00	0.00
311	600.0	750.0	82.7	Piano 1	-	np	np	np	np	np	np	0.00	0.00	0.00	0.00
312	600.0	750.0	165.3	Piano 1	-	np	np	np	np	np	np	0.00	0.00	0.00	0.00
313	500.0	750.0	82.7	Piano 1	-	np	np	np	np	np	np	0.00	0.00	0.00	0.00
314	500.0	750.0	165.3	Piano 1	-	np	np	np	np	np	np	0.00	0.00	0.00	0.00
315	400.0	750.0	82.7	Piano 1	-	np	np	np	np	np	np	0.00	0.00	0.00	0.00
316	400.0	750.0	165.3	Piano 1	-	np	np	np	np	np	np	0.00	0.00	0.00	0.00
317	300.0	750.0	82.7	Piano 1	-	np	np	np	np	np	np	0.00	0.00	0.00	0.00
318	300.0	750.0	165.3	Piano 1	-	np	np	np	np	np	np	0.00	0.00	0.00	0.00

Relazione di calcolo -

319	200.0	750.0	82.7	Piano 1	-	np	np	np	np	np	np	0.00	0.00	0.00	0.00
320	200.0	750.0	165.3	Piano 1	-	np	np	np	np	np	np	0.00	0.00	0.00	0.00
321	100.0	750.0	165.3	Piano 1	-	np	np	np	np	np	np	0.00	0.00	0.00	0.00
322	100.0	750.0	82.7	Piano 1	-	np	np	np	np	np	np	0.00	0.00	0.00	0.00
323	3400.0	93.8	82.7	Piano 1	-	np	np	np	np	np	np	0.00	0.00	0.00	0.00
324	3400.0	93.8	165.3	Piano 1	-	np	np	np	np	np	np	0.00	0.00	0.00	0.00
325	3400.0	187.5	82.7	Piano 1	-	np	np	np	np	np	np	0.00	0.00	0.00	0.00
326	3400.0	187.5	165.3	Piano 1	-	np	np	np	np	np	np	0.00	0.00	0.00	0.00
327	3400.0	281.3	82.7	Piano 1	-	np	np	np	np	np	np	0.00	0.00	0.00	0.00
328	3400.0	281.3	165.3	Piano 1	-	np	np	np	np	np	np	0.00	0.00	0.00	0.00
329	3400.0	375.0	82.7	Piano 1	-	np	np	np	np	np	np	0.00	0.00	0.00	0.00
330	3400.0	375.0	165.3	Piano 1	-	np	np	np	np	np	np	0.00	0.00	0.00	0.00
331	3400.0	468.8	82.7	Piano 1	-	np	np	np	np	np	np	0.00	0.00	0.00	0.00
332	3400.0	468.8	165.3	Piano 1	-	np	np	np	np	np	np	0.00	0.00	0.00	0.00
333	3400.0	562.5	82.7	Piano 1	-	np	np	np	np	np	np	0.00	0.00	0.00	0.00
334	3400.0	562.5	165.3	Piano 1	-	np	np	np	np	np	np	0.00	0.00	0.00	0.00
335	3400.0	656.3	165.3	Piano 1	-	np	np	np	np	np	np	0.00	0.00	0.00	0.00
336	3400.0	656.3	82.7	Piano 1	-	np	np	np	np	np	np	0.00	0.00	0.00	0.00
337	3300.0	93.8	0.0	Fondazione	-	np	np	np	np	np	np	0.00	0.00	0.00	0.00
338	3300.0	187.5	0.0	Fondazione	-	np	np	np	np	np	np	0.00	0.00	0.00	0.00
339	3300.0	281.3	0.0	Fondazione	-	np	np	np	np	np	np	0.00	0.00	0.00	0.00
340	3300.0	375.0	0.0	Fondazione	-	np	np	np	np	np	np	0.00	0.00	0.00	0.00
341	3300.0	468.8	0.0	Fondazione	-	np	np	np	np	np	np	0.00	0.00	0.00	0.00
342	3300.0	562.5	0.0	Fondazione	-	np	np	np	np	np	np	0.00	0.00	0.00	0.00
343	3300.0	656.3	0.0	Fondazione	-	np	np	np	np	np	np	0.00	0.00	0.00	0.00
344	3200.0	93.8	0.0	Fondazione	-	np	np	np	np	np	np	0.00	0.00	0.00	0.00
345	3200.0	187.5	0.0	Fondazione	-	np	np	np	np	np	np	0.00	0.00	0.00	0.00
346	3200.0	281.3	0.0	Fondazione	-	np	np	np	np	np	np	0.00	0.00	0.00	0.00
347	3200.0	375.0	0.0	Fondazione	-	np	np	np	np	np	np	0.00	0.00	0.00	0.00
348	3200.0	468.8	0.0	Fondazione	-	np	np	np	np	np	np	0.00	0.00	0.00	0.00
349	3200.0	562.5	0.0	Fondazione	-	np	np	np	np	np	np	0.00	0.00	0.00	0.00
350	3200.0	656.3	0.0	Fondazione	-	np	np	np	np	np	np	0.00	0.00	0.00	0.00
351	3100.0	93.8	0.0	Fondazione	-	np	np	np	np	np	np	0.00	0.00	0.00	0.00
352	3100.0	187.5	0.0	Fondazione	-	np	np	np	np	np	np	0.00	0.00	0.00	0.00
353	3100.0	281.3	0.0	Fondazione	-	np	np	np	np	np	np	0.00	0.00	0.00	0.00
354	3100.0	375.0	0.0	Fondazione	-	np	np	np	np	np	np	0.00	0.00	0.00	0.00
355	3100.0	468.8	0.0	Fondazione	-	np	np	np	np	np	np	0.00	0.00	0.00	0.00
356	3100.0	562.5	0.0	Fondazione	-	np	np	np	np	np	np	0.00	0.00	0.00	0.00
357	3100.0	656.3	0.0	Fondazione	-	np	np	np	np	np	np	0.00	0.00	0.00	0.00

Relazione di calcolo -

358	3000.0	93.8	0.0	Fondazione	-	np	np	np	np	np	np	0.00	0.00	0.00	0.00
359	3000.0	187.5	0.0	Fondazione	-	np	np	np	np	np	np	0.00	0.00	0.00	0.00
360	3000.0	281.3	0.0	Fondazione	-	np	np	np	np	np	np	0.00	0.00	0.00	0.00
361	3000.0	375.0	0.0	Fondazione	-	np	np	np	np	np	np	0.00	0.00	0.00	0.00
362	3000.0	468.8	0.0	Fondazione	-	np	np	np	np	np	np	0.00	0.00	0.00	0.00
363	3000.0	562.5	0.0	Fondazione	-	np	np	np	np	np	np	0.00	0.00	0.00	0.00
364	3000.0	656.3	0.0	Fondazione	-	np	np	np	np	np	np	0.00	0.00	0.00	0.00
365	2900.0	93.8	0.0	Fondazione	-	np	np	np	np	np	np	0.00	0.00	0.00	0.00
366	2900.0	187.5	0.0	Fondazione	-	np	np	np	np	np	np	0.00	0.00	0.00	0.00
367	2900.0	281.3	0.0	Fondazione	-	np	np	np	np	np	np	0.00	0.00	0.00	0.00
368	2900.0	375.0	0.0	Fondazione	-	np	np	np	np	np	np	0.00	0.00	0.00	0.00
369	2900.0	468.8	0.0	Fondazione	-	np	np	np	np	np	np	0.00	0.00	0.00	0.00
370	2900.0	562.5	0.0	Fondazione	-	np	np	np	np	np	np	0.00	0.00	0.00	0.00
371	2900.0	656.3	0.0	Fondazione	-	np	np	np	np	np	np	0.00	0.00	0.00	0.00
372	2800.0	93.8	0.0	Fondazione	-	np	np	np	np	np	np	0.00	0.00	0.00	0.00
373	2800.0	187.5	0.0	Fondazione	-	np	np	np	np	np	np	0.00	0.00	0.00	0.00
374	2800.0	281.3	0.0	Fondazione	-	np	np	np	np	np	np	0.00	0.00	0.00	0.00
375	2800.0	375.0	0.0	Fondazione	-	np	np	np	np	np	np	0.00	0.00	0.00	0.00
376	2800.0	468.8	0.0	Fondazione	-	np	np	np	np	np	np	0.00	0.00	0.00	0.00
377	2800.0	562.5	0.0	Fondazione	-	np	np	np	np	np	np	0.00	0.00	0.00	0.00
378	2800.0	656.3	0.0	Fondazione	-	np	np	np	np	np	np	0.00	0.00	0.00	0.00
379	2700.0	93.8	0.0	Fondazione	-	np	np	np	np	np	np	0.00	0.00	0.00	0.00
380	2700.0	187.5	0.0	Fondazione	-	np	np	np	np	np	np	0.00	0.00	0.00	0.00
381	2700.0	281.3	0.0	Fondazione	-	np	np	np	np	np	np	0.00	0.00	0.00	0.00
382	2700.0	375.0	0.0	Fondazione	-	np	np	np	np	np	np	0.00	0.00	0.00	0.00
383	2700.0	468.8	0.0	Fondazione	-	np	np	np	np	np	np	0.00	0.00	0.00	0.00
384	2700.0	562.5	0.0	Fondazione	-	np	np	np	np	np	np	0.00	0.00	0.00	0.00
385	2700.0	656.3	0.0	Fondazione	-	np	np	np	np	np	np	0.00	0.00	0.00	0.00
386	2600.0	93.8	0.0	Fondazione	-	np	np	np	np	np	np	0.00	0.00	0.00	0.00
387	2600.0	187.5	0.0	Fondazione	-	np	np	np	np	np	np	0.00	0.00	0.00	0.00
388	2600.0	281.3	0.0	Fondazione	-	np	np	np	np	np	np	0.00	0.00	0.00	0.00
389	2600.0	375.0	0.0	Fondazione	-	np	np	np	np	np	np	0.00	0.00	0.00	0.00
390	2600.0	468.8	0.0	Fondazione	-	np	np	np	np	np	np	0.00	0.00	0.00	0.00
391	2600.0	562.5	0.0	Fondazione	-	np	np	np	np	np	np	0.00	0.00	0.00	0.00
392	2600.0	656.3	0.0	Fondazione	-	np	np	np	np	np	np	0.00	0.00	0.00	0.00
393	2500.0	93.8	0.0	Fondazione	-	np	np	np	np	np	np	0.00	0.00	0.00	0.00
394	2500.0	187.5	0.0	Fondazione	-	np	np	np	np	np	np	0.00	0.00	0.00	0.00

Relazione di calcolo -

395	2500.0	281.3	0.0	Fondazione	-	np	np	np	np	np	np	0.00	0.00	0.00	0.00
396	2500.0	375.0	0.0	Fondazione	-	np	np	np	np	np	np	0.00	0.00	0.00	0.00
397	2500.0	468.8	0.0	Fondazione	-	np	np	np	np	np	np	0.00	0.00	0.00	0.00
398	2500.0	562.5	0.0	Fondazione	-	np	np	np	np	np	np	0.00	0.00	0.00	0.00
399	2500.0	656.3	0.0	Fondazione	-	np	np	np	np	np	np	0.00	0.00	0.00	0.00
400	2400.0	93.8	0.0	Fondazione	-	np	np	np	np	np	np	0.00	0.00	0.00	0.00
401	2400.0	187.5	0.0	Fondazione	-	np	np	np	np	np	np	0.00	0.00	0.00	0.00
402	2400.0	281.3	0.0	Fondazione	-	np	np	np	np	np	np	0.00	0.00	0.00	0.00
403	2400.0	375.0	0.0	Fondazione	-	np	np	np	np	np	np	0.00	0.00	0.00	0.00
404	2400.0	468.8	0.0	Fondazione	-	np	np	np	np	np	np	0.00	0.00	0.00	0.00
405	2400.0	562.5	0.0	Fondazione	-	np	np	np	np	np	np	0.00	0.00	0.00	0.00
406	2400.0	656.3	0.0	Fondazione	-	np	np	np	np	np	np	0.00	0.00	0.00	0.00
407	2300.0	93.8	0.0	Fondazione	-	np	np	np	np	np	np	0.00	0.00	0.00	0.00
408	2300.0	187.5	0.0	Fondazione	-	np	np	np	np	np	np	0.00	0.00	0.00	0.00
409	2300.0	281.3	0.0	Fondazione	-	np	np	np	np	np	np	0.00	0.00	0.00	0.00
410	2300.0	375.0	0.0	Fondazione	-	np	np	np	np	np	np	0.00	0.00	0.00	0.00
411	2300.0	468.8	0.0	Fondazione	-	np	np	np	np	np	np	0.00	0.00	0.00	0.00
412	2300.0	562.5	0.0	Fondazione	-	np	np	np	np	np	np	0.00	0.00	0.00	0.00
413	2300.0	656.3	0.0	Fondazione	-	np	np	np	np	np	np	0.00	0.00	0.00	0.00
414	2200.0	93.8	0.0	Fondazione	-	np	np	np	np	np	np	0.00	0.00	0.00	0.00
415	2200.0	187.5	0.0	Fondazione	-	np	np	np	np	np	np	0.00	0.00	0.00	0.00
416	2200.0	281.3	0.0	Fondazione	-	np	np	np	np	np	np	0.00	0.00	0.00	0.00
417	2200.0	375.0	0.0	Fondazione	-	np	np	np	np	np	np	0.00	0.00	0.00	0.00
418	2200.0	468.8	0.0	Fondazione	-	np	np	np	np	np	np	0.00	0.00	0.00	0.00
419	2200.0	562.5	0.0	Fondazione	-	np	np	np	np	np	np	0.00	0.00	0.00	0.00
420	2200.0	656.3	0.0	Fondazione	-	np	np	np	np	np	np	0.00	0.00	0.00	0.00
421	2100.0	93.8	0.0	Fondazione	-	np	np	np	np	np	np	0.00	0.00	0.00	0.00
422	2100.0	187.5	0.0	Fondazione	-	np	np	np	np	np	np	0.00	0.00	0.00	0.00
423	2100.0	281.3	0.0	Fondazione	-	np	np	np	np	np	np	0.00	0.00	0.00	0.00
424	2100.0	375.0	0.0	Fondazione	-	np	np	np	np	np	np	0.00	0.00	0.00	0.00
425	2100.0	468.8	0.0	Fondazione	-	np	np	np	np	np	np	0.00	0.00	0.00	0.00
426	2100.0	562.5	0.0	Fondazione	-	np	np	np	np	np	np	0.00	0.00	0.00	0.00
427	2100.0	656.3	0.0	Fondazione	-	np	np	np	np	np	np	0.00	0.00	0.00	0.00
428	2000.0	93.8	0.0	Fondazione	-	np	np	np	np	np	np	0.00	0.00	0.00	0.00
429	2000.0	187.5	0.0	Fondazione	-	np	np	np	np	np	np	0.00	0.00	0.00	0.00
430	2000.0	281.3	0.0	Fondazione	-	np	np	np	np	np	np	0.00	0.00	0.00	0.00
431	2000.0	375.0	0.0	Fondazione	-	np	np	np	np	np	np	0.00	0.00	0.00	0.00

Relazione di calcolo -

432	2000.0	468.8	0.0	Fondazione	-	np	np	np	np	np	np	0.00	0.00	0.00	0.00
433	2000.0	562.5	0.0	Fondazione	-	np	np	np	np	np	np	0.00	0.00	0.00	0.00
434	2000.0	656.3	0.0	Fondazione	-	np	np	np	np	np	np	0.00	0.00	0.00	0.00
435	1900.0	93.8	0.0	Fondazione	-	np	np	np	np	np	np	0.00	0.00	0.00	0.00
436	1900.0	187.5	0.0	Fondazione	-	np	np	np	np	np	np	0.00	0.00	0.00	0.00
437	1900.0	281.3	0.0	Fondazione	-	np	np	np	np	np	np	0.00	0.00	0.00	0.00
438	1900.0	375.0	0.0	Fondazione	-	np	np	np	np	np	np	0.00	0.00	0.00	0.00
439	1900.0	468.8	0.0	Fondazione	-	np	np	np	np	np	np	0.00	0.00	0.00	0.00
440	1900.0	562.5	0.0	Fondazione	-	np	np	np	np	np	np	0.00	0.00	0.00	0.00
441	1900.0	656.3	0.0	Fondazione	-	np	np	np	np	np	np	0.00	0.00	0.00	0.00
442	1800.0	93.8	0.0	Fondazione	-	np	np	np	np	np	np	0.00	0.00	0.00	0.00
443	1800.0	187.5	0.0	Fondazione	-	np	np	np	np	np	np	0.00	0.00	0.00	0.00
444	1800.0	281.3	0.0	Fondazione	-	np	np	np	np	np	np	0.00	0.00	0.00	0.00
445	1800.0	375.0	0.0	Fondazione	-	np	np	np	np	np	np	0.00	0.00	0.00	0.00
446	1800.0	468.8	0.0	Fondazione	-	np	np	np	np	np	np	0.00	0.00	0.00	0.00
447	1800.0	562.5	0.0	Fondazione	-	np	np	np	np	np	np	0.00	0.00	0.00	0.00
448	1800.0	656.3	0.0	Fondazione	-	np	np	np	np	np	np	0.00	0.00	0.00	0.00
449	1700.0	93.8	0.0	Fondazione	-	np	np	np	np	np	np	0.00	0.00	0.00	0.00
450	1700.0	187.5	0.0	Fondazione	-	np	np	np	np	np	np	0.00	0.00	0.00	0.00
451	1700.0	281.3	0.0	Fondazione	-	np	np	np	np	np	np	0.00	0.00	0.00	0.00
452	1700.0	375.0	0.0	Fondazione	-	np	np	np	np	np	np	0.00	0.00	0.00	0.00
453	1700.0	468.8	0.0	Fondazione	-	np	np	np	np	np	np	0.00	0.00	0.00	0.00
454	1700.0	562.5	0.0	Fondazione	-	np	np	np	np	np	np	0.00	0.00	0.00	0.00
455	1700.0	656.3	0.0	Fondazione	-	np	np	np	np	np	np	0.00	0.00	0.00	0.00
456	1600.0	93.8	0.0	Fondazione	-	np	np	np	np	np	np	0.00	0.00	0.00	0.00
457	1600.0	187.5	0.0	Fondazione	-	np	np	np	np	np	np	0.00	0.00	0.00	0.00
458	1600.0	281.3	0.0	Fondazione	-	np	np	np	np	np	np	0.00	0.00	0.00	0.00
459	1600.0	375.0	0.0	Fondazione	-	np	np	np	np	np	np	0.00	0.00	0.00	0.00
460	1600.0	468.8	0.0	Fondazione	-	np	np	np	np	np	np	0.00	0.00	0.00	0.00
461	1600.0	562.5	0.0	Fondazione	-	np	np	np	np	np	np	0.00	0.00	0.00	0.00
462	1600.0	656.3	0.0	Fondazione	-	np	np	np	np	np	np	0.00	0.00	0.00	0.00
463	1500.0	93.8	0.0	Fondazione	-	np	np	np	np	np	np	0.00	0.00	0.00	0.00
464	1500.0	187.5	0.0	Fondazione	-	np	np	np	np	np	np	0.00	0.00	0.00	0.00
465	1500.0	281.3	0.0	Fondazione	-	np	np	np	np	np	np	0.00	0.00	0.00	0.00
466	1500.0	375.0	0.0	Fondazione	-	np	np	np	np	np	np	0.00	0.00	0.00	0.00
467	1500.0	468.8	0.0	Fondazione	-	np	np	np	np	np	np	0.00	0.00	0.00	0.00
468	1500.0	562.5	0.0	Fondazione	-	np	np	np	np	np	np	0.00	0.00	0.00	0.00

Relazione di calcolo -

469	1500.0	656.3	0.0	Fondazione	-	np	np	np	np	np	np	0.00	0.00	0.00	0.00
470	1400.0	93.8	0.0	Fondazione	-	np	np	np	np	np	np	0.00	0.00	0.00	0.00
471	1400.0	187.5	0.0	Fondazione	-	np	np	np	np	np	np	0.00	0.00	0.00	0.00
472	1400.0	281.3	0.0	Fondazione	-	np	np	np	np	np	np	0.00	0.00	0.00	0.00
473	1400.0	375.0	0.0	Fondazione	-	np	np	np	np	np	np	0.00	0.00	0.00	0.00
474	1400.0	468.8	0.0	Fondazione	-	np	np	np	np	np	np	0.00	0.00	0.00	0.00
475	1400.0	562.5	0.0	Fondazione	-	np	np	np	np	np	np	0.00	0.00	0.00	0.00
476	1400.0	656.3	0.0	Fondazione	-	np	np	np	np	np	np	0.00	0.00	0.00	0.00
477	1300.0	93.8	0.0	Fondazione	-	np	np	np	np	np	np	0.00	0.00	0.00	0.00
478	1300.0	187.5	0.0	Fondazione	-	np	np	np	np	np	np	0.00	0.00	0.00	0.00
479	1300.0	281.3	0.0	Fondazione	-	np	np	np	np	np	np	0.00	0.00	0.00	0.00
480	1300.0	375.0	0.0	Fondazione	-	np	np	np	np	np	np	0.00	0.00	0.00	0.00
481	1300.0	468.8	0.0	Fondazione	-	np	np	np	np	np	np	0.00	0.00	0.00	0.00
482	1300.0	562.5	0.0	Fondazione	-	np	np	np	np	np	np	0.00	0.00	0.00	0.00
483	1300.0	656.3	0.0	Fondazione	-	np	np	np	np	np	np	0.00	0.00	0.00	0.00
484	1200.0	93.8	0.0	Fondazione	-	np	np	np	np	np	np	0.00	0.00	0.00	0.00
485	1200.0	187.5	0.0	Fondazione	-	np	np	np	np	np	np	0.00	0.00	0.00	0.00
486	1200.0	281.3	0.0	Fondazione	-	np	np	np	np	np	np	0.00	0.00	0.00	0.00
487	1200.0	375.0	0.0	Fondazione	-	np	np	np	np	np	np	0.00	0.00	0.00	0.00
488	1200.0	468.8	0.0	Fondazione	-	np	np	np	np	np	np	0.00	0.00	0.00	0.00
489	1200.0	562.5	0.0	Fondazione	-	np	np	np	np	np	np	0.00	0.00	0.00	0.00
490	1200.0	656.3	0.0	Fondazione	-	np	np	np	np	np	np	0.00	0.00	0.00	0.00
491	1100.0	93.8	0.0	Fondazione	-	np	np	np	np	np	np	0.00	0.00	0.00	0.00
492	1100.0	187.5	0.0	Fondazione	-	np	np	np	np	np	np	0.00	0.00	0.00	0.00
493	1100.0	281.3	0.0	Fondazione	-	np	np	np	np	np	np	0.00	0.00	0.00	0.00
494	1100.0	375.0	0.0	Fondazione	-	np	np	np	np	np	np	0.00	0.00	0.00	0.00
495	1100.0	468.8	0.0	Fondazione	-	np	np	np	np	np	np	0.00	0.00	0.00	0.00
496	1100.0	562.5	0.0	Fondazione	-	np	np	np	np	np	np	0.00	0.00	0.00	0.00
497	1100.0	656.3	0.0	Fondazione	-	np	np	np	np	np	np	0.00	0.00	0.00	0.00
498	1000.0	93.8	0.0	Fondazione	-	np	np	np	np	np	np	0.00	0.00	0.00	0.00
499	1000.0	187.5	0.0	Fondazione	-	np	np	np	np	np	np	0.00	0.00	0.00	0.00
500	1000.0	281.3	0.0	Fondazione	-	np	np	np	np	np	np	0.00	0.00	0.00	0.00
501	1000.0	375.0	0.0	Fondazione	-	np	np	np	np	np	np	0.00	0.00	0.00	0.00
502	1000.0	468.8	0.0	Fondazione	-	np	np	np	np	np	np	0.00	0.00	0.00	0.00
503	1000.0	562.5	0.0	Fondazione	-	np	np	np	np	np	np	0.00	0.00	0.00	0.00
504	1000.0	656.3	0.0	Fondazione	-	np	np	np	np	np	np	0.00	0.00	0.00	0.00
505	900.0	93.8	0.0	Fondazione	-	np	np	np	np	np	np	0.00	0.00	0.00	0.00
506	900.0	187.5	0.0	Fondazione	-	np	np	np	np	np	np	0.00	0.00	0.00	0.00

Relazione di calcolo -

507	900.0	281.3	0.0	Fondazione	-	np	np	np	np	np	np	0.00	0.00	0.00	0.00
508	900.0	375.0	0.0	Fondazione	-	np	np	np	np	np	np	0.00	0.00	0.00	0.00
509	900.0	468.8	0.0	Fondazione	-	np	np	np	np	np	np	0.00	0.00	0.00	0.00
510	900.0	562.5	0.0	Fondazione	-	np	np	np	np	np	np	0.00	0.00	0.00	0.00
511	900.0	656.3	0.0	Fondazione	-	np	np	np	np	np	np	0.00	0.00	0.00	0.00
512	800.0	93.8	0.0	Fondazione	-	np	np	np	np	np	np	0.00	0.00	0.00	0.00
513	800.0	187.5	0.0	Fondazione	-	np	np	np	np	np	np	0.00	0.00	0.00	0.00
514	800.0	281.3	0.0	Fondazione	-	np	np	np	np	np	np	0.00	0.00	0.00	0.00
515	800.0	375.0	0.0	Fondazione	-	np	np	np	np	np	np	0.00	0.00	0.00	0.00
516	800.0	468.8	0.0	Fondazione	-	np	np	np	np	np	np	0.00	0.00	0.00	0.00
517	800.0	562.5	0.0	Fondazione	-	np	np	np	np	np	np	0.00	0.00	0.00	0.00
518	800.0	656.3	0.0	Fondazione	-	np	np	np	np	np	np	0.00	0.00	0.00	0.00
519	100.0	93.8	0.0	Fondazione	-	np	np	np	np	np	np	0.00	0.00	0.00	0.00
520	200.0	93.8	0.0	Fondazione	-	np	np	np	np	np	np	0.00	0.00	0.00	0.00
521	300.0	93.8	0.0	Fondazione	-	np	np	np	np	np	np	0.00	0.00	0.00	0.00
522	400.0	93.8	0.0	Fondazione	-	np	np	np	np	np	np	0.00	0.00	0.00	0.00
523	500.0	93.8	0.0	Fondazione	-	np	np	np	np	np	np	0.00	0.00	0.00	0.00
524	600.0	93.8	0.0	Fondazione	-	np	np	np	np	np	np	0.00	0.00	0.00	0.00
525	700.0	93.8	0.0	Fondazione	-	np	np	np	np	np	np	0.00	0.00	0.00	0.00
526	700.0	187.5	0.0	Fondazione	-	np	np	np	np	np	np	0.00	0.00	0.00	0.00
527	700.0	281.3	0.0	Fondazione	-	np	np	np	np	np	np	0.00	0.00	0.00	0.00
528	700.0	375.0	0.0	Fondazione	-	np	np	np	np	np	np	0.00	0.00	0.00	0.00
529	700.0	468.8	0.0	Fondazione	-	np	np	np	np	np	np	0.00	0.00	0.00	0.00
530	700.0	562.5	0.0	Fondazione	-	np	np	np	np	np	np	0.00	0.00	0.00	0.00
531	700.0	656.3	0.0	Fondazione	-	np	np	np	np	np	np	0.00	0.00	0.00	0.00
532	100.0	187.5	0.0	Fondazione	-	np	np	np	np	np	np	0.00	0.00	0.00	0.00
533	200.0	187.5	0.0	Fondazione	-	np	np	np	np	np	np	0.00	0.00	0.00	0.00
534	300.0	187.5	0.0	Fondazione	-	np	np	np	np	np	np	0.00	0.00	0.00	0.00
535	400.0	187.5	0.0	Fondazione	-	np	np	np	np	np	np	0.00	0.00	0.00	0.00
536	500.0	187.5	0.0	Fondazione	-	np	np	np	np	np	np	0.00	0.00	0.00	0.00
537	600.0	187.5	0.0	Fondazione	-	np	np	np	np	np	np	0.00	0.00	0.00	0.00
538	600.0	281.2	0.0	Fondazione	-	np	np	np	np	np	np	0.00	0.00	0.00	0.00
539	600.0	375.0	0.0	Fondazione	-	np	np	np	np	np	np	0.00	0.00	0.00	0.00
540	600.0	468.7	0.0	Fondazione	-	np	np	np	np	np	np	0.00	0.00	0.00	0.00
541	600.0	562.5	0.0	Fondazione	-	np	np	np	np	np	np	0.00	0.00	0.00	0.00
542	600.0	656.3	0.0	Fondazione	-	np	np	np	np	np	np	0.00	0.00	0.00	0.00
543	100.0	281.2	0.0	Fondazione	-	np	np	np	np	np	np	0.00	0.00	0.00	0.00
544	200.0	281.2	0.0	Fondazione	-	np	np	np	np	np	np	0.00	0.00	0.00	0.00
545	300.0	281.2	0.0	Fondazione	-	np	np	np	np	np	np	0.00	0.00	0.00	0.00
546	400.0	281.2	0.0	Fondazione	-	np	np	np	np	np	np	0.00	0.00	0.00	0.00
547	500.0	281.2	0.0	Fondazione	-	np	np	np	np	np	np	0.00	0.00	0.00	0.00
548	500.0	375.0	0.0	Fondazione	-	np	np	np	np	np	np	0.00	0.00	0.00	0.00
549	500.0	468.7	0.0	Fondazione	-	np	np	np	np	np	np	0.00	0.00	0.00	0.00
550	500.0	562.5	0.0	Fondazione	-	np	np	np	np	np	np	0.00	0.00	0.00	0.00
551	500.0	656.3	0.0	Fondazione	-	np	np	np	np	np	np	0.00	0.00	0.00	0.00
552	100.0	375.0	0.0	Fondazione	-	np	np	np	np	np	np	0.00	0.00	0.00	0.00
553	200.0	375.0	0.0	Fondazione	-	np	np	np	np	np	np	0.00	0.00	0.00	0.00
554	300.0	375.0	0.0	Fondazione	-	np	np	np	np	np	np	0.00	0.00	0.00	0.00
555	400.0	375.0	0.0	Fondazione	-	np	np	np	np	np	np	0.00	0.00	0.00	0.00
556	400.0	468.7	0.0	Fondazione	-	np	np	np	np	np	np	0.00	0.00	0.00	0.00
557	400.0	562.5	0.0	Fondazione	-	np	np	np	np	np	np	0.00	0.00	0.00	0.00
558	400.0	656.3	0.0	Fondazione	-	np	np	np	np	np	np	0.00	0.00	0.00	0.00
559	100.0	468.7	0.0	Fondazione	-	np	np	np	np	np	np	0.00	0.00	0.00	0.00
560	200.0	468.7	0.0	Fondazione	-	np	np	np	np	np	np	0.00	0.00	0.00	0.00
561	300.0	468.7	0.0	Fondazione	-	np	np	np	np	np	np	0.00	0.00	0.00	0.00
562	300.0	562.5	0.0	Fondazione	-	np	np	np	np	np	np	0.00	0.00	0.00	0.00
563	300.0	656.3	0.0	Fondazione	-	np	np	np	np	np	np	0.00	0.00	0.00	0.00
564	100.0	562.5	0.0	Fondazione	-	np	np	np	np	np	np	0.00	0.00	0.00	0.00
565	200.0	562.5	0.0	Fondazione	-	np	np	np	np	np	np	0.00	0.00	0.00	0.00
566	200.0	656.3	0.0	Fondazione	-	np	np	np	np	np	np	0.00	0.00	0.00	0.00
567	100.0	656.3	0.0	Fondazione	-	np	np	np	np	np	np	0.00	0.00	0.00	0.00

Tabella dei Nodi Master:

Nodo	Tipo Nodo	Coordinate [cm]		
		x	y	z
M1	Impalcato Rigido	1700.00	375.00	248.00

3.6.3 Caratteristiche delle aste.

La tabella seguente riporta tutte le caratteristiche relative alle aste della struttura ed in modo particolare la colonna:

Asta : numerazione dell'asta
 Fili : fili fissi ai quali appartiene l'asta
 NI : nodo iniziale dell'asta
 NF : nodo finale dell'asta
 Tipo : funzione dell'asta
 Sez : sezione trasversale associata all'asta
 L : lunghezza teorica (nodo-nodo) dell'asta
 Imp. : impalcato di appartenenza dell'asta
 KwN : modulo di Winkler normale;
 KwT : modulo di Winkler tangenziale;

Asta	Fili	NI	NF	Tipo	Sez	L [cm]	Imp.	Kwn [daN/c m ³]	Kwt [daN/c m ³]	Vincoli interni						
										Estremo In.			Estremo Fin.			
										SpoX	SpoY	SpoZ	RotX	RotY	RotZ	

3.6.4 Caratteristiche delle Piastre.

La tabella seguente riporta tutte le caratteristiche relative alle piastre della struttura:

Piastra : numerazione della piastra
 Impalcato : impalcato al quale appartiene la piastra
 Fili : fili fissi ai quali appartiene la piastra
 Spess. : spessore della piastra
 Tipo : tipologia della piastra (parete o platea)
 Numero Elementi: numero di elementi che compongono la piastra
 Nome Materiale : nome del materiale usato per progettare la piastra
 KwN : modulo di Winkler normale;
 KwT : modulo di Winkler tangenziale;

Piastra	Impalcato	Fili	Spess.	Tipo	Numero Elementi	Nome Materiale	Kwn [daN /cm ³]	Kwt [daN /cm ³]
1	Piano 1	1-2	20.00	Parete in Cls	24	pareti	-	-
2	Piano 1	4-1	20.00	Parete in Cls	102	pareti	-	-
3	Piano 1	2-3	20.00	Parete in Cls	102	pareti	-	-
4	Piano 1	3-4	20.00	Parete in Cls	24	pareti	-	-
5	Fondazione	2, 3, 4, 1	40.00	Platea Cls	272	C25/30	41.36	34.46

3.6.5 Carichi distribuiti sugli elementi.

Carichi Locali distribuiti sulle Piastre

Piastra : numero della piastra come da paragrafo "Caratteristiche delle piastre";
 Imp. : impalcato al quale appartiene la piastra;
 Fili : fili fissi ai quali appartiene la piastra;
 C.C. : condizione di carico come da paragrafo "Condizioni di carico valutate";
 DLoc : direzione dei carichi secondo il sistema di riferimento locale della piastra;

Piastra	Imp.	Fili	C.C.	DLoc X [daN/m ²]	DLoc Y [daN/m ²]	DLoc Z [daN/m ²]
1	Fondazione	2, 3, 4, 1	Car. Permanenti G1	0.00	0.00	0.00
			Car. Permanenti G2	0.00	0.00	0.00
			Car. d'Esercizio	0.00	0.00	0.00

Carichi Globali distribuiti sulle Piastre

Piastra : numero della piastra come da paragrafo "Caratteristiche delle piastre";
 Imp. : impalcato al quale appartiene la piastra;
 Fili : fili fissi ai quali appartiene la piastra;
 C.C. : condizione di carico come da paragrafo "Condizioni di carico valutate";
 DGlob : direzione dei carichi secondo il sistema di riferimento globale della piastra;

Piastra	Imp.	Fili	C.C.	DGlob X [daN/m ²]	DGlob Y [daN/m ²]	DGlob Z [daN/m ²]
1	Fondazione	2, 3, 4, 1	Car. Permanenti G1	0.00	0.00	-1000.00
			Car. Permanenti G2	0.00	0.00	-1300.00
			Car. d'Esercizio	0.00	0.00	-100.00

Carichi Locali lineari in testa alle Pareti

Parete : numero della piastra come da paragrafo "Caratteristiche delle pareti";
 Imp. : impalcato al quale appartiene la parete;
 Fili : fili fissi ai quali appartiene la parete;
 C.C. : condizione di carico come da paragrafo "Condizioni di carico valutate";
 DLoc : direzione dei carichi secondo il sistema di riferimento locale della parete;

Parete	Imp.	Fili	C.C.	DLoc X [daN/m]		DLoc Y [daN/m]		DLoc Z [daN/m]	
				in.	fin.	in.	fin.	in.	fin.
1	Piano 1	1-2	Car. perm. G1 in Testa	0.00	0.00	0.00	0.00	0.00	0.00
			Car. perm. G2 in Testa	0.00	0.00	0.00	0.00	0.00	0.00
			Car. eserc. in Testa	0.00	0.00	0.00	0.00	0.00	0.00
2	Piano 1	4-1	Car. perm. G1 in Testa	0.00	0.00	0.00	0.00	0.00	0.00
			Car. perm. G2 in Testa	0.00	0.00	0.00	0.00	0.00	0.00
			Car. eserc. in Testa	0.00	0.00	0.00	0.00	0.00	0.00
3	Piano 1	2-3	Car. perm. G1 in Testa	0.00	0.00	0.00	0.00	0.00	0.00
			Car. perm. G2 in Testa	0.00	0.00	0.00	0.00	0.00	0.00
			Car. eserc. in Testa	0.00	0.00	0.00	0.00	0.00	0.00
4	Piano 1	3-4	Car. perm. G1 in Testa	0.00	0.00	0.00	0.00	0.00	0.00
			Car. perm. G2 in Testa	0.00	0.00	0.00	0.00	0.00	0.00
			Car. eserc. in Testa	0.00	0.00	0.00	0.00	0.00	0.00

Carichi Locali distribuiti sulle Pareti

Parete : numero della piastra come da paragrafo "Caratteristiche delle pareti";
 Imp. : impalcato al quale appartiene la parete;
 Fili : fili fissi ai quali appartiene la parete;
 C.C. : condizione di carico come da paragrafo "Condizioni di carico valutate";
 DLoc : direzione dei carichi secondo il sistema di riferimento locale della parete;

Parete	Imp.	Fili	C.C.	DLoc X [daN/m ²]	DLoc Y [daN/m ²]	DLoc Z [daN/m ²]
1	Piano 1	1-2	Car. Perm. G1	0.00	0.00	0.00
			Car. Perm. G2	0.00	0.00	0.00
			Car. Eserc.	0.00	0.00	0.00
2	Piano 1	4-1	Car. Perm. G1	0.00	0.00	0.00
			Car. Perm. G2	0.00	0.00	0.00
			Car. Eserc.	0.00	0.00	0.00
3	Piano 1	2-3	Car. Perm. G1	0.00	0.00	0.00
			Car. Perm. G2	0.00	0.00	0.00
			Car. Eserc.	0.00	0.00	0.00
4	Piano 1	3-4	Car. Perm. G1	0.00	0.00	0.00
			Car. Perm. G2	0.00	0.00	0.00
			Car. Eserc.	0.00	0.00	0.00

Carichi Globali lineari in testa alle Pareti

Parete : numero della piastra come da paragrafo "Caratteristiche delle pareti";
 Imp. : impalcato al quale appartiene la parete;
 Fili : fili fissi ai quali appartiene la parete;

C.C. : condizione di carico come da paragrafo "Condizioni di carico valutate";
 DGlob : direzione dei carichi secondo il sistema di riferimento globali della parete;

Parete	Imp.	Fili	C.C.	DGlob X [daN/m]		DGlob Y [daN/m]		DGlob Z [daN/m]	
				in.	fin.	in.	fin.	in.	fin.
1	Piano 1	1-2	Car. perm. G1 in Testa	0.00	0.00	0.00	0.00	0.00	0.00
			Car. perm. G2 in Testa	0.00	0.00	0.00	0.00	-30.00	0.00
			Car. eserc. in Testa	0.00	0.00	0.00	0.00	-40.00	0.00
2	Piano 1	4-1	Car. perm. G1 in Testa	0.00	0.00	0.00	0.00	0.00	0.00
			Car. perm. G2 in Testa	0.00	0.00	0.00	0.00	-30.00	0.00
			Car. eserc. in Testa	0.00	0.00	0.00	0.00	-40.00	0.00
3	Piano 1	2-3	Car. perm. G1 in Testa	0.00	0.00	0.00	0.00	0.00	0.00
			Car. perm. G2 in Testa	0.00	0.00	0.00	0.00	-30.00	0.00
			Car. eserc. in Testa	0.00	0.00	0.00	0.00	-40.00	0.00
4	Piano 1	3-4	Car. perm. G1 in Testa	0.00	0.00	0.00	0.00	0.00	0.00
			Car. perm. G2 in Testa	0.00	0.00	0.00	0.00	-30.00	0.00
			Car. eserc. in Testa	0.00	0.00	0.00	0.00	-40.00	0.00

Carichi Globali distribuiti sulle Pareti

Parete : numero della piastra come da paragrafo "Caratteristiche delle pareti";
 Imp. : impalcato al quale appartiene la parete;
 Fili : fili fissi ai quali appartiene la parete;
 C.C. : condizione di carico come da paragrafo "Condizioni di carico valutate";
 DGlob : direzione dei carichi secondo il sistema di riferimento globale della parete;

Parete	Imp.	Fili	C.C.	DGlob X [daN/m ²]	DGlob Y [daN/m ²]	DGlob Z [daN/m ²]
1	Piano 1	1-2	Car. Perm. G1	0.00	0.00	-50.00
			Car. Perm. G2	0.00	0.00	0.00
			Car. Eserc.	0.00	0.00	0.00
2	Piano 1	4-1	Car. Perm. G1	0.00	0.00	-50.00
			Car. Perm. G2	0.00	0.00	0.00
			Car. Eserc.	0.00	0.00	0.00
3	Piano 1	2-3	Car. Perm. G1	0.00	0.00	-50.00
			Car. Perm. G2	0.00	0.00	0.00
			Car. Eserc.	0.00	0.00	0.00
4	Piano 1	3-4	Car. Perm. G1	0.00	0.00	-50.00
			Car. Perm. G2	0.00	0.00	0.00
			Car. Eserc.	0.00	0.00	0.00

4 Risultati di Calcolo.

4.1 Tensioni sul Terreno.

I dati seguenti riportano i valori delle tensioni esercitate dalla fondazione sul terreno.

Asta/Piastra : numerazione interna dell'asta/piastra.
 X : distanza dal nodo iniziale misurata lungo l'asse dell'asta/piastra.
 Comb : combinazione di appartenenza del valore considerato nell'involuppo.
 Tensioni (σ_T) : valore della tensione dovuta alla pressione dell'asta/piastra di fondazione:

Tabella 0.II

Tensioni Terreno					
		SLV	SLD	SLE	
		A1	A1	Caratt.	Freq.
Piastra	Fili	σ [daN/cm ²]	σ [daN/cm ²]	σ [daN/cm ²]	σ [daN/cm ²]
1	2, 3, 4, 1	0.39(1)	0.28(1)	0.28(1) *	0.27(1) *

* valore massimo.

4.2 Verifica Elementi Bidimensionali.

4.2.1 Verifica Piastre.

4.2.1.1 Verifica Piastre in C.A..

4.2.1.1.1 Dati Generali

Piastra : numero della Piastra;
 Imp. : impalcato al quale appartiene la piastra;
 Fili : fili fissi ai quali appartiene la piastra;
 Sp. : spessore della Piastra;
 Largh. Striscia : Larghezza della striscia unitaria di Piastra rispetto alla quale sono state effettuate le verifiche;
 Lungh. Concio : Lunghezza del concio di Piastra rispetto alla quale sono state effettuate le verifiche a taglio;

Tabella 1.I

Piastra	Imp.	Fili	Sp. [cm]	Largh. striscia [cm]	Lungh. concio [cm]
1	Fondazione	2, 3, 4, 1	40	100	100

Disposizione Armature

Piastra : numero della Piastra;
 Imp. : impalcato al quale appartiene la piastra;
 Fili : fili fissi ai quali appartiene la piastra;
 Dir. : Direzione rispetto alla quale disporre le armature;
 Diam. : diametro delle armature da disporre nella direzione indicata;
 Inter. intrad. : interasse rispetto al quale posizionare le armature all'intradosso nella direzione indicata;
 Inter. estrad. : interasse rispetto al quale posizionare le armature all'estradosso nella direzione indicata;

Tabella 1.II

Piastra	Imp.	Fili	Dir.	Diam. [mm]	Inter. intrad. [cm]	Inter. estrad. [cm]
1	Fondazione	2, 3, 4, 1	X	12	20.0	20.0
			Y	12	20.0	20.0

4.2.1.1.2 Verifiche SLV - Flessione.

Piastra : numero della Piastra;
 Imp. : impalcato al quale appartiene la piastra;
 Fili : fili fissi ai quali appartiene la piastra;
 RCrit : regione critica;
 Dir. : direzione attorno alla quale sono valutate le caratteristiche flettenti;
 ϵ_{c2} : deformazione di contrazione del calcestruzzo al raggiungimento della massima tensione;
 ϵ_{cu2} : deformazione ultima di contrazione del calcestruzzo;
 Msd : momento sollecitante;
 ϵ_{Cl} : deformazione massima del calcestruzzo compresso
 ϵ_{acc} : deformazione massima dell'armatura tesa
 MRd : momento resistente;
 S : Coefficiente di sicurezza;
 Esito : Esito della verifica : V = VERIFICATA;
 : NV = NON VERIFICATA;

Tabella 2.I

Piastra	Imp.	Fili	RCrit	Dir.	ϵ_{c2} [%]	ϵ_{cu2} [%]	Cop. sup. [cm]	Arm. sup.	Cop. inf. [cm]	Arm. inf.	Msd [daNm]	ϵ_{cls} [%]	ϵ_{acc} [%]	MRd [daNm]	S	Esito

Relazione di calcolo -

Comb.	: combinazione di carico (Caratteristica, Frequente, Quasi Permanente);
RCrit	: regione critica;
Dir.	: direzione dell'asse attorno al quale viene valutata la caratteristica flettente;
Msd	: valore massimo della caratteristica flettente di calcolo;
σ_c	: tensioni d'esercizio del calcestruzzo (compressione positiva);
$\sigma_{c,lim}$: Tensioni limite del calcestruzzo;
S cls	: coefficiente di sicurezza per la verifica del calcestruzzo;
σ_s	: tensioni d'esercizio dell'acciaio (trazione positiva);
$\sigma_{s,lim}$: Tensioni limite dell'acciaio;
S acc.	: coefficiente di sicurezza per la verifica dell'acciaio;
Esito	: Esito della verifica : V = VERIFICATA; : NV = NON VERIFICATA;

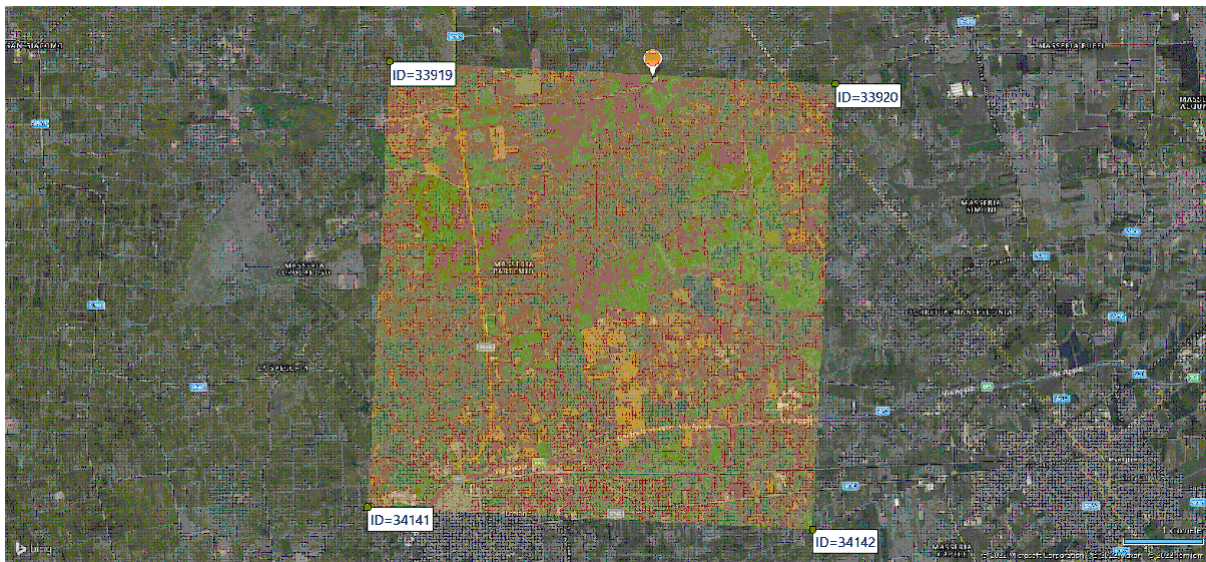
Tabella 5.I

Piastra	Imp.	Fili	Comb.	RCrit	Dir.	Msd [daNm]	σ_c [daN/cm ²]	$\sigma_{c,lim}$ [daN/cm ²]	S cls	σ_s [daN/cm ²]	$\sigma_{s,lim}$ [daN/cm ²]	S acc.	Esito
1	Fondazione	2, 3, 4, 1	Caratteristica		X	-43.60	0.38	150.00	100.00	-23.80	3600.00	100.00	V
					Y	-45.08	0.39	150.00	100.00	-24.61	3600.00	100.00	V
			Q. Perm.		X	-37.29	0.32	112.50	100.00	-20.35	3600.00	100.00	V
					Y	-38.56	0.34	112.50	100.00	-21.05	3600.00	100.00	V

5 ALLEGATI.

5.1 ALLEGATO A - (Pericolosità sismica di base)

Coordinate (Datum ED50) del sito : Latitudine = 40.6040° - Longitudine = 17.7442°



Identificativi e coordinate (Datum ED50) dei punti che includono il sito														
Punto	Lat. [°]	Long. [°]	SLV			SLC			SLD			SLO		
			Acc. sismica	Coeff. Fo	Periodo Tc*	Acc. sismica	Coeff. Fo	Periodo Tc*	Acc. sismica	Coeff. Fo	Periodo Tc*	Acc. sismica	Coeff. Fo	Periodo Tc*
33919	40.6061	17.7053	0.049	2.648	0.439	0.058	2.817	0.457	0.022	2.367	0.237	0.017	2.371	0.160
33920	40.6036	17.7711	0.048	2.605	0.443	0.057	2.767	0.463	0.021	2.381	0.228	0.016	2.363	0.158
34141	40.5561	17.7020	0.050	2.664	0.441	0.059	2.835	0.460	0.023	2.358	0.239	0.017	2.365	0.160
34142	40.5537	17.7678	0.049	2.610	0.447	0.058	2.741	0.507	0.022	2.365	0.231	0.016	2.353	0.159

I valori dei parametri p (ag, Fo, Tc*) di interesse per la definizione dell'azione sismica di progetto sono stati calcolati come media pesata dei valori assunti da tali parametri nei quattro vertici della maglia elementare del *reticolo di riferimento* contenente

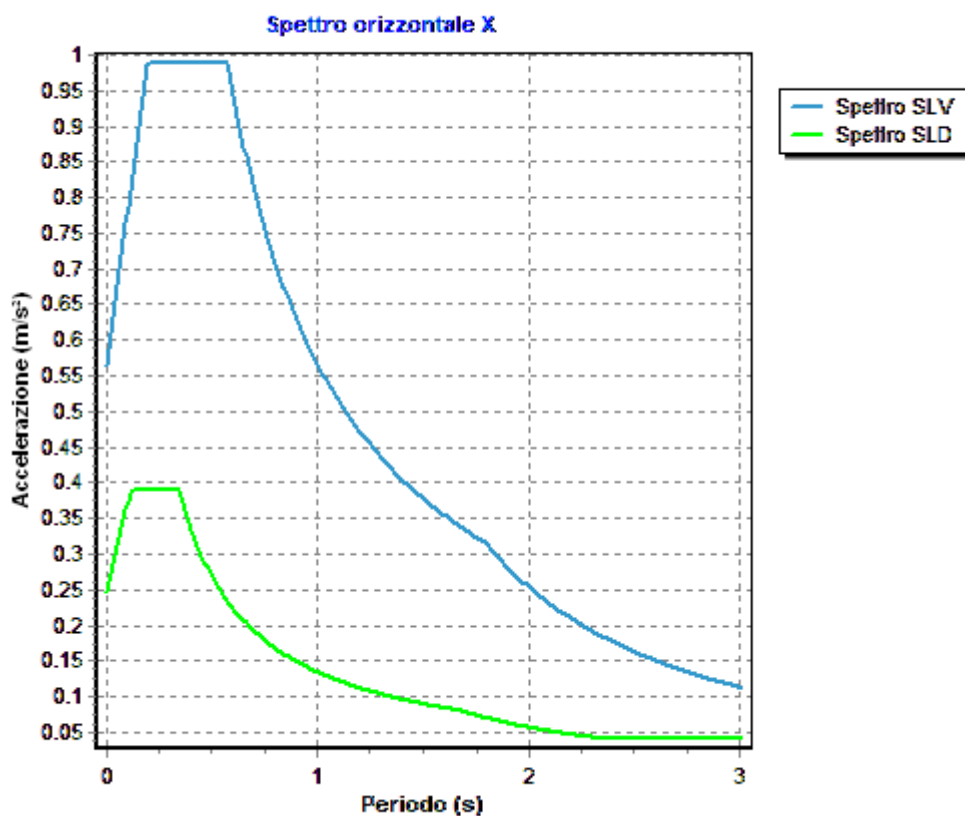
il punto in esame, utilizzando come pesi gli inversi delle distanze tra il punto in questione ed i quattro vertici, attraverso la seguente espressione:

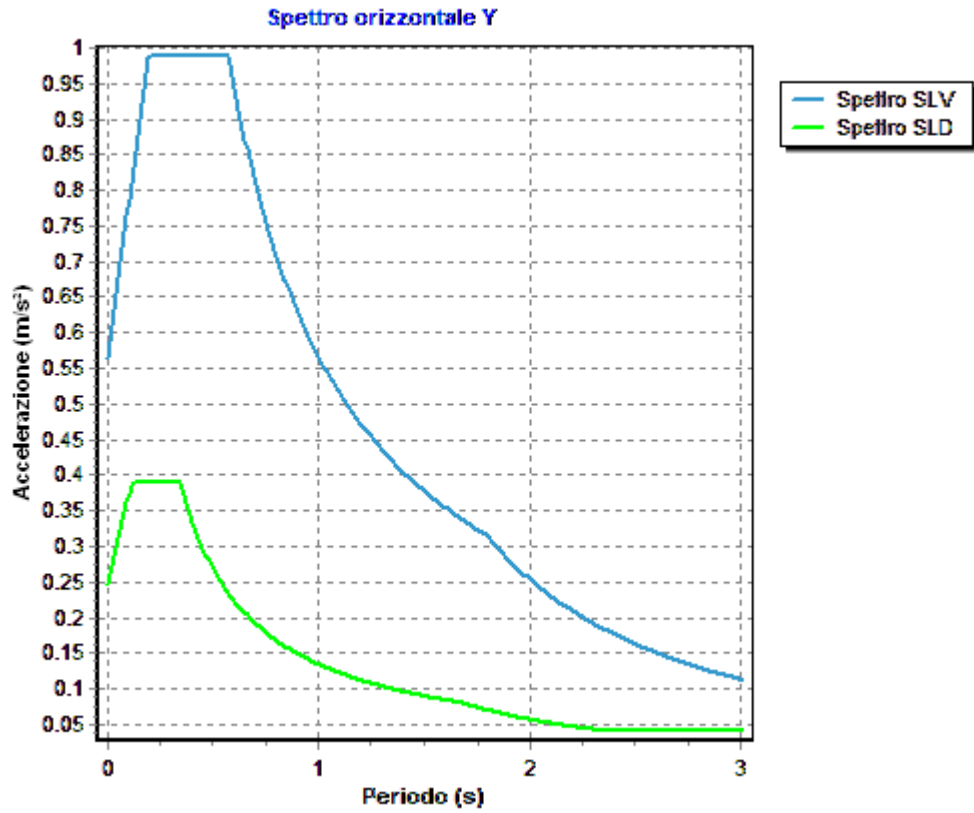
$$p = \frac{\sum_{(i=1..4)} [p_i / d_i]}{\sum_{(i=1..4)} [1 / d_i]}$$

nella quale:

- p : valore del parametro di interesse nel punto in esame;
- p_i : valore del parametro di interesse nell'i-esimo punto della maglia elementare contenente il punto in esame;
- d_i : è la distanza del punto in esame dall'i-esimo punto della maglia suddetta.

	Parametri dello spettro di risposta orizzontale			
	SLV	SLC	SLD	SLO
Tempo di ritorno	475	975	50	30
Accelerazione sismica	0.048	0.057	0.021	0.016
Coefficiente Fo	2.626	2.787	2.371	2.364
Periodo T _c *	0.443	0.468	0.233	0.159





6 RELAZIONE GEOTECNICA

6.1 DESCRIZIONE DELL'OPERA E DEGLI INTERVENTI.

Nella presente relazione vengono riportati i risultati delle elaborazioni a carattere geotecnico eseguite per le opere di fondazione da realizzare nell'ambito dei lavori di:

I risultati delle indagini effettuate, degli studi eseguiti e delle valutazioni geotecniche operate, parte integrante degli elaborati progettuali relativi ai lavori in oggetto, faranno riferimento per le caratteristiche geotecniche dei terreni di fondazione ai dati riportati nella Relazione geologico-tecnica redatta dal dott. geol.

TIPOLOGIA STRUTTURALE IN DIREZIONE X:

Strutture a telaio, a pareti accoppiate, miste

TIPOLOGIA STRUTTURALE IN DIREZIONE Y:

Strutture a telaio, a pareti accoppiate, miste

TIPOLOGIA FONDAZIONI:

Fondazioni superficiali, quindi del tipo dirette, costituite da platee di fondazione.

Descrizione delle tipologie di fondazione utilizzate.

Nell'ambito dei lavori in oggetto si sono utilizzate le seguenti tipologie di fondazione: , platee, le cui dimensioni e la loro ubicazione vengono di seguito meglio descritte.

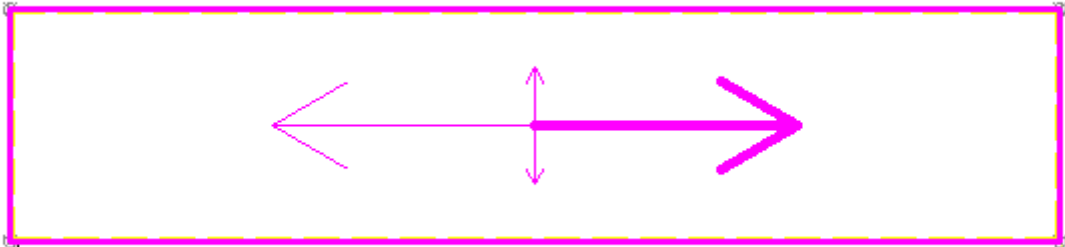
Descrizione delle platee di fondazione e loro ubicazione in pianta.

Platea : numero della platea;
Impalcato : impalcato al quale appartiene la piastra;
Fili : fili fissi ai quali appartiene la piastra;
Spessore : spessore della Piastra;
KwN : modulo di Winkler normale;
KwT : modulo di Winkler tangenziale;

Platea	Impalcato	Fili	Spessore [cm]	KwN [daN/cm ³]	KwT [daN/cm ³]
1	Fondazione	2, 3, 4, 1	40	41.36	34.46

Piante fondazioni.

Fondazione



6.2 RELAZIONE GEOTECNICA (CAP. 6 delle N.T.C.)

Problemi geotecnici e scelte tipologiche.

La caratterizzazione geotecnica dei terreni di fondazione compresi nel volume significativo, ovvero in quella parte di sottosuolo che viene influenzata direttamente o indirettamente dalle opere in oggetto, viene riportata in dettaglio nella relazione geologico-tecnica allegata.

Vengono di seguito indicati i parametri fondamentali per la valutazione della capacità portante del terreno di fondazione e le scelte tipologiche adottate per il dimensionamento delle opere di fondazione, non avendo riscontrato altre particolari problematiche di tipo geotecnico.

Al fine d'identificare la categoria di sottosuolo, tramite la conoscenza dello spessore e natura dei diversi strati che compongono il terreno sottostante il piano di posa delle fondazioni, per il dimensionamento strutturale e geotecnico delle stesse sono state effettuate delle indagini in sito ubicate nell'area oggetto dell'intervento.

L'area in esame è sostanzialmente pianeggiante, caratterizzata da un fattore di amplificazione topografico pari a T1, pertanto non si osservano variazioni di quota della superficie topografica degne di valutazioni particolari.

Descrizione del programma delle indagini e delle prove geotecniche.

Per definire la stratigrafia di progetto, dei terreni di sedime dei lavori in oggetto e per acquisire i parametri fisico-meccanici dei terreni in esame è stata condotta sull'area interessata dall'intervento di progetto una campagna di indagini.

Il programma delle indagini e delle prove con l'ubicazione delle stesse è stato definito a seguito di un attento sopralluogo dell'area in oggetto e risulta più ampiamente descritto nella relazione geologica allegata.

Caratterizzazione fisico meccanica dei terreni e definizione dei valori caratteristici dei parametri geotecnici.

- Caratteristiche litostratigrafiche

L'analisi dei risultati ottenuti dalle indagini per la caratterizzazione del suolo di fondazione sono meglio indicati nella relazione geologico-tecnica allegata. Per quanto riguarda l'aspetto geologico a seguito il rilevamento di un significativo intorno della zona in esame si è riscontrata la presenza delle seguenti successioni litostratigrafiche nelle relative sezioni geologiche (colonne stratigrafiche):

Filo : filo fisso al quale appartiene la colonna stratigrafica;
 Colonna : nome della colonna stratigrafica;
 Strato : nome dello strato appartenente la colonna stratigrafica;
 Descrizione : descrizione dello strato;

Filo	Colonna	Strato	Descrizione
1	Colonna 1	Calcari fratturati	calcari

- Caratteristiche fisico meccaniche dei terreni di fondazione

Nell'ambito del progetto si è fatto uso delle seguenti colonne stratigrafiche:

Caratteristiche delle colonne stratigrafiche:

Colonna : nome della colonna stratigrafica;
 Filo : filo fisso al quale appartiene la colonna stratigrafica;
 Impalcato : Impalcato al quale appartiene la colonna stratigrafica;
 Falda : Presenza della falda;
 Prof. Falda : Profondità della falda (se è presente);
 Spicc. Fond. : Quota dell'estradosso della fondazione rispetto al piano campagna;
 No. Strati : Numero degli strati della colonna stratigrafica.
 RQD : (Rock Quality Designation) grado di fratturazione dell'ammasso roccioso in [0-1]

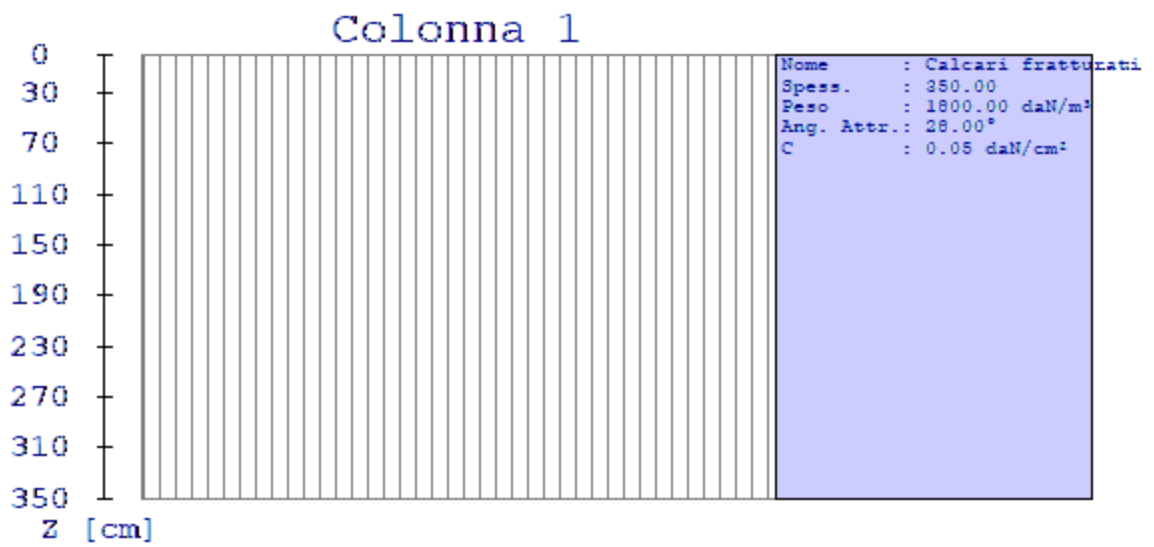
Filo	Colonna	Impalcato	Falda	Prof. Falda [cm]	Spicc. Fond. [cm]	No. Strati	RQD
1	Colonna 1	Fondazione	Non Presente	-	0.00	1	-
2	Colonna 1	Fondazione	Non Presente	-	0.00	1	-
3	Colonna 1	Fondazione	Non Presente	-	0.00	1	-
4	Colonna 1	Fondazione	Non Presente	-	0.00	1	-

Caratteristiche degli strati appartenenti alle colonne stratigrafiche:

Colonna : nome della colonna stratigrafica;
 Strato : nome dello strato appartenente la colonna stratigrafica;
 Spess. : Spessore dello strato;
 Peso : Peso dell'unità di volume dello strato;
 Peso eff. : Peso dell'unità di volume efficace dello strato;
 NSPT : Numero di colpi medio misurato nello strato;
 Qc : Resistenza alla punta media misurata nello strato;
 ϕ : Angolo di attrito del terreno;
 C : Coesione drenata del terreno;
 Cu : Coesione non drenata del terreno;
 E : Modulo elastico del terreno;
 G : Modulo di taglio del terreno;
 ν_t : Coefficiente di Poisson;
 E_{ed} : Modulo Edometrico;
 OCR : Grado di sovraconsolidazione del terreno.

Colonna	Strato	Spess. [cm]	Peso [daN/m ³]	Peso eff. [daN/m ³]	NSPT	Qc [daN/cm ²]	ϕ [°]	C [daN/cm ²]	Cu [daN/cm ²]	E [daN/cm ²]	G [daN/cm ²]	ν_t	E_{ed} [daN/cm ²]	OC R
Colonna 1	Calcarei fratturati	350.0	1800.0	800.0	-	-	28.0	0.05	0.00	5090.00	1880.00	0.35	-	1.00

- Sezioni Geologiche:



- Caratterizzazione sismica del suolo di fondazione:

La categoria assunta per il suolo di fondazione per il sito in oggetto è: B

Modelli geotecnici di sottosuolo e metodi di analisi.

L'interazione terreno struttura viene modellata applicando il modello di Winkler, il quale caratterizza il sottosuolo con una relazione lineare fra il cedimento in un punto della superficie limite e la pressione agente nello stesso punto, indipendentemente da altri carichi applicati in punti diversi. Si assume cioè che:

$$p = k_v w$$

dove K_v è detta costante di sottofondo o coefficiente di reazione del terreno e w è l'abbassamento della trave di fondazione tale da comprimere il terreno sottostante.

Il valore del coefficiente k_v relativo alla direzione verticale è stato calcolato con riferimento ai dati geologico-geotecnici forniti utilizzando la formula di Vesic (1961), particolarmente adatta per modellare l'interazione con il terreno considerato come mezzo elastico continuo:

$$k_v = (0.65 E_s) / [B (1 - \nu_s^2)] [(E_s B^4) / (E I)]^{1/12}$$

Il modello "alla Winkler" viene esteso anche alla componente orizzontale dello spostamento mediante il coefficiente k_o relativo alla direzione orizzontale, calcolato con riferimento ai dati geologico-geotecnici forniti, utilizzando le formule di Gazetas (1985). Le formule sono state utilizzate per calcolare il rapporto α tra modulo di reazione orizzontale e verticale.:

$$\alpha = K_{GazO} / K_{GazV}$$

$$K_{GazO} = K_{hBasic} l_{hShape} l_{hdepth} l_{h sidewall}$$

$$K_{hBasic} = G_s L_F / (2 - \nu)$$

$$l_{hShape} = 2 + 2.5 (A_b / L_F^2)^{0.85}$$

$$l_{hdepth} = 1 + 0.15 (2 D_F / B_F)^{0.50}$$

$$l_{h sidewall} = 1 + 0.52 [(8 h A_s) / (B_F L_F^2)]^{0.50}$$

$$K_{GazV} = K_{vBasic} l_{vShape} l_{vdepth} l_{v sidewall}$$

$$K_{vBasic} = G_s L_F / (1 - \nu)$$

$$l_{vShape} = 0.73 + 1.54 (A_b / L_F^2)^{0.75}$$

$$l_{vdepth} = 1 + (2 D_F / B_F) [1 + (4/3) (A_b / L_F^2)]$$

$$l_{v sidewall} = 1 + 0.19 (A_s / A_b)^{0.67}$$

dove:

E_s : Modulo di deformazione del terreno (valore calcolato come media pesata sullo spessore degli strati interessati);

ν_s : Modulo di Poisson del terreno (valore calcolato come media pesata sullo spessore degli strati interessati);

G_s : Modulo di taglio del terreno (valore calcolato come media pesata sullo spessore degli strati interessati);

B : base della singola trave di fondazione (per platee si assume come valore 1 m);

E : Modulo elastico dell'elemento di fondazione;

I : Momento d'inerzia dell'elemento di fondazione;

L_F : Dimensione massima dell'ingombro in pianta dell'intera fondazione;

B_F : Dimensione minima dell'ingombro in pianta dell'intera fondazione;

A_b : Area in pianta dell'intera fondazione;

A_s : Area laterale in pianta dell'intera fondazione;

h : 0.5 volte l'altezza media della fondazione;

Per l'applicazione delle formule di Gazetas è stata considerata l'intera fondazione della struttura. I parametri geologico-geotecnici sono calcolati considerando tutti gli strati posti al di sotto della fondazione contenuti in un volume significativo, considerato di profondità pari a 2 volte l'altezza massima dell'intera fondazione della struttura.

Le platee di fondazione vengono modellate utilizzando un elemento finito che segue sempre la giacitura di un piano. L'elemento lastra-piastra, nel seguito denominato guscio, possiede nel sistema di riferimento locale come in quello globale 6 gradi di libertà per nodo. L'elemento è computato sovrapponendo il comportamento lastra o membrana, che possiede 3 gradi di libertà per nodo (una coppia di spostamenti planari e un grado di libertà alla rotazione intorno ad un asse perpendicolare al piano medio), e il comportamento piastra, che possiede 3 gradi di libertà per nodo (uno spostamento perpendicolare al piano medio e una coppia di rotazioni ortogonali aventi assi sostegno paralleli al piano medio).

La geometria dell'elemento finito SHELL può essere definita attraverso 3 o 4 nodi. La trattazione nei due casi è completamente diversa. L'elemento a 3 nodi viene usato per creare esclusivamente mesh di transizione nel caso di figure irregolari.

La formulazione dell'elemento è basata sulla teoria di Mindlin-Reissner in cui viene considerato anche il contributo della deformazione dovuta al taglio risolvendolo secondo la formulazione isoparametrica. Tutte le caratteristiche sono calcolate attraverso l'integrazione numerica ai punti di Gauss secondo la regola 2x2 ed estrapolate ai nodi.

Nel caso delle platee di fondazione, l'interazione viene modellata attraverso l'introduzione di molle distribuite sulla superficie dell'elemento che vengono automaticamente concentrate (rappresentative della propria area di influenza e calcolate attraverso l'integrazione di Gauss) e applicate ai nodi di estremità.

Verifiche della sicurezza e delle prestazioni: identificazione dei relativi stati limite.

Le verifiche della sicurezza in fondazione sono condotte nei riguardi dello stato limite ultimo e dello stato limite di esercizio. Le verifiche nei riguardi degli stati limite previsti dalla Normativa ed eseguite sono:

STR - raggiungimento della resistenza degli elementi strutturali, compresi gli elementi di fondazione;

GEO - raggiungimento della resistenza del terreno interagente con la struttura con sviluppo di meccanismi di collasso dell'insieme terreno-struttura;

Verifiche STR: le verifiche di resistenza degli elementi strutturali di fondazione sono state eseguite contestualmente alla verifica degli elementi strutturali in elevazione. Le relative verifiche sono riportate nella relazione di calcolo allegata;

Verifiche GEO: le verifiche di resistenza del terreno interagente con la struttura sono condotte confrontando i valori di resistenza con quelli di progetto, secondo l'Approccio 2, come riportato nelle pagine seguenti.

Verifiche GEO: Approcci progettuali e valori di progetto dei parametri geotecnici.

TEORIA DI CALCOLO PER FONDAZIONI SUPERFICIALI.

Il calcolo è stato effettuato seguendo la teoria di Brinch Hansen, la quale tiene conto:

- della forma della fondazione;
- della profondità del piano di posa della fondazione;
- dell'inclinazione del carico sulla fondazione;
- dell'eccentricità del carico;
- dell'inclinazione del piano di posa della fondazione;
- dell'inclinazione del piano di campagna;
- dell'effetto inerziale nella fondazione;
- dell'effetto cinematico del sottosuolo;

Si riportano di seguito le formule considerate nelle varie colonne stratigrafiche assegnate ai fili fissi:

Il carico limite si ottiene dalla seguente espressione:

$$q_{lim} = 0.5 \cdot B' \cdot \gamma^2 \cdot N_{\gamma} \cdot s_{\gamma} \cdot d_{\gamma} \cdot i_{\gamma} \cdot g_{\gamma} \cdot b_{\gamma} \cdot z_{\gamma} \cdot e_{\gamma k} \cdot e_{\gamma i} + c \cdot N_c \cdot s_c \cdot d_c \cdot i_c \cdot g_c \cdot b_c \cdot z_c + (q + \gamma_1 \cdot D) \cdot N_q \cdot s_q \cdot d_q \cdot i_q \cdot g_q \cdot b_q \cdot z_q$$

Dove: $B' = B - 2 \cdot e$

B è il lato minore della fondazione.

eB è l'eccentricità del carico lungo B.
 D è la profondità del piano di posa della fondazione.
 γ_1 è il peso del terreno sopra il piano di posa della fondazione.
 γ_2 è il peso del terreno sotto il piano di posa della fondazione.
 C è la coesione del terreno.
 q è il carico uniformemente distribuito ai lati della fondazione.

Fattori di portanza Platee. SLU-SLV

Platea : numero della platea;
 Fili : fili fissi ai quali appartiene la platea;
 A1 : verifica della combinazione di carico A1;
 Lt : verifica a lungo termine.

Fattori di carico limite													
		A1						A2					
		Lt			Bt			Lt			Bt		
Platea	Fili	Nc	Nq	N γ	Nc	Nq	N γ	Nc	Nq	N γ	Nc	Nq	N γ
1	2, 3, 4, 1	25.80	14.72	10.94	-	-	-	-	-	-	-	-	-

Fattori di forma													
		A1						A2					
		Lt			Bt			Lt			Bt		
Platea	Fili	Sc	Sq	S γ	Sc	Sq	S γ	Sc	Sq	S γ	Sc	Sq	S γ
1	2, 3, 4, 1	1.13	1.12	0.91	-	-	-	-	-	-	-	-	-

Fattori di profondità													
		A1						A2					
		Lt			Bt			Lt			Bt		
Platea	Fili	Dc	Dq	D γ	Dc	Dq	D γ	Dc	Dq	D γ	Dc	Dq	D γ
1	2, 3, 4, 1	1.02	1.02	1.00	-	-	-	-	-	-	-	-	-

Fattori di inclinazione del piano di posa													
		A1						A2					
		Lt			Bt			Lt			Bt		
Platea	Fili	Bc	Bq	B γ	Bc	Bq	B γ	Bc	Bq	B γ	Bc	Bq	B γ
1	2, 3, 4, 1	1.00	1.00	1.00	-	-	-	-	-	-	-	-	-

Fattori di inclinazione del piano campagna													
		A1						A2					
		Lt			Bt			Lt			Bt		
Platea	Fili	Gc	Gq	G γ	Gc	Gq	G γ	Gc	Gq	G γ	Gc	Gq	G γ
1	2, 3, 4, 1	1.00	1.00	1.00	-	-	-	-	-	-	-	-	-

Fattori di inclinazione dei carichi													
		A1						A2					
		Lt			Bt			Lt			Bt		
Platea	Fili	Ic	Iq	I γ	Ic	Iq	I γ	Ic	Iq	I γ	Ic	Iq	I γ
1	2, 3, 4, 1	1.00	1.00	1.00	-	-	-	-	-	-	-	-	-

Fattori di portanza dell'effetto inerziale (Paolucci Pecker)													
		A1						A2					
		Lt			Bt			Lt			Bt		
Platea	Fili	Zc	Zq	Z γ	Zc	Zq	Z γ	Zc	Zq	Z γ	Zc	Zq	Z γ
1	2, 3, 4, 1	1.00	0.99	1.00	-	-	-	-	-	-	-	-	-

Fattori di portanza dell'effetto cinematico (Maugeri-Cascone)									
		A1				A2			
		Lt		Bt		Lt		Bt	
Platea	Fili	eyk	eyi	eyk	eyi	eyk	eyi	eyk	eyi
1	2, 3, 4, 1	0.95	0.81	-	-	-	-	-	-

Fattori di portanza Platee. SLD

Platea : numero della platea;
 Fili : fili fissi ai quali appartiene la platea;
 A1 : verifica della combinazione di carico A1;
 Lt : verifica a lungo termine.

Fattori di carico limite													
		A1						A2					
		Lt			Bt			Lt			Bt		
Platea	Fili	Nc	Nq	Ny	Nc	Nq	Ny	Nc	Nq	Ny	Nc	Nq	Ny
1	2, 3, 4, 1	25.80	14.72	10.94	-	-	-	-	-	-	-	-	-

Fattori di forma													
		A1						A2					
		Lt			Bt			Lt			Bt		
Platea	Fili	Sc	Sq	Sy	Sc	Sq	Sy	Sc	Sq	Sy	Sc	Sq	Sy
1	2, 3, 4, 1	1.13	1.12	0.91	-	-	-	-	-	-	-	-	-

Fattori di profondità													
		A1						A2					
		Lt			Bt			Lt			Bt		
Platea	Fili	Dc	Dq	Dy	Dc	Dq	Dy	Dc	Dq	Dy	Dc	Dq	Dy
1	2, 3, 4, 1	1.02	1.02	1.00	-	-	-	-	-	-	-	-	-

Fattori di inclinazione del piano di posa													
		A1						A2					
		Lt			Bt			Lt			Bt		
Platea	Fili	Bc	Bq	By	Bc	Bq	By	Bc	Bq	By	Bc	Bq	By
1	2, 3, 4, 1	1.00	1.00	1.00	-	-	-	-	-	-	-	-	-

Fattori di inclinazione del piano campagna													
		A1						A2					
		Lt			Bt			Lt			Bt		
Platea	Fili	Gc	Gq	Gy	Gc	Gq	Gy	Gc	Gq	Gy	Gc	Gq	Gy
1	2, 3, 4, 1	1.00	1.00	1.00	-	-	-	-	-	-	-	-	-

Fattori di inclinazione dei carichi													
		A1						A2					
		Lt			Bt			Lt			Bt		
Platea	Fili	Ic	Iq	Iy	Ic	Iq	Iy	Ic	Iq	Iy	Ic	Iq	Iy
1	2, 3, 4, 1	1.00	1.00	1.00	-	-	-	-	-	-	-	-	-

Fattori di portanza dell'effetto inerziale (Paolucci Pecker)													
		A1						A2					
		Lt			Bt			Lt			Bt		
Platea	Fili	Zc	Zq	Zy	Zc	Zq	Zy	Zc	Zq	Zy	Zc	Zq	Zy
1	2, 3, 4, 1	1.00	0.99	1.00	-	-	-	-	-	-	-	-	-

Fattori di portanza dell'effetto cinematico (Maugeri-Cascone)											
		A1						A2			
		Lt		Bt		Lt		Bt			
Platea	Fili	eyk	eyi	eyk	eyi	eyk	eyi	eyk	eyi		
1	2, 3, 4, 1	0.95	0.81	-	-	-	-	-	-		

VERIFICA CAPACITA' PORTANTE.

Relazione di calcolo -

La verifica del sistema di fondazione relativo alla struttura in oggetto, è stata effettuata sulla base dei dati geologici e dei parametri geotecnici forniti, seguendo l'approccio di progetto relativo alla normativa di riferimento:

- (punti 6.4.2.1 delle N.T.C. e 6.4.3 per fondazioni su pali)

A1 + M1 + R3

dove:

- Coefficienti parziali per le azioni

CARICHI	COEFFICIENTE PARZIALE	Comb. A1
PERMANENTI	γ_{G1ns}	1.3
PERMANENTI NON STRUTTURALI	γ_{G2ns}	1.5
VARIABILI	γ_{Qi}	1.5

- Coefficienti per i parametri geotecnici del terreno

PARAMETRO	GRANDEZZA ALLA QUALE APPL. IL COEFF. PARZIALE	Comb. M1
Tangente dell'angolo di attrito	$\tan\phi$	1.0
Coesione drenata del terreno	C	1.0
Coesione non drenata del terreno	C_u	1.0
Peso dell'unita di volume	γ	1.0

- Coefficienti parziali γ_R per le verifiche agli stati ultimi di fondazioni superficiali

VERIFICA	COEFFICIENTE PARZIALE R3
Capacità portante	$\gamma_R = 2.3$

Le verifiche vengono riassunte nelle successive tabelle.

Platee. SLU-SLV

Platea : numero della platea;
 Fili : fili fissi ai quali appartiene la platea considerata;
 A1 - Lt : verifica della combinazione di carico A1 a lungo termine;
 D : profondità del piano di posa;
 qlimd : carico limite di calcolo;
 σ : tensione di calcolo;
 S : Coefficiente di sicurezza;
 Esito : V = Verificato; NV = Non Verificato

Platea	Fili	Combinazione A1 - Lt				Esito
		D [cm]	qlimd [daN/cm ²]	σ [daN/cm ²]	S	
1	2, 3, 4, 1	40.00	4.56	0.39	11.69	V

Platee. SLD

Platea : numero della platea;
 Fili : fili fissi ai quali appartiene la platea considerata;
 A1 - Lt : verifica della combinazione di carico A1 a lungo termine;
 D : profondità del piano di posa;
 qlimd : carico limite di calcolo;
 σ : tensione di calcolo;
 S : Coefficiente di sicurezza;
 Esito : V = Verificato; NV = Non Verificato

Platea	Fili	Combinazione A1 - Lt				Esito
		D [cm]	qlimd [daN/cm ²]	σ [daN/cm ²]	S	
1	2, 3, 4, 1	40.00	4.56	0.28	16.29	V

Verifiche nei confronti degli stati limite di esercizio (SLE).

Gli stati limite di esercizio (punto 6.4.2.2 delle N.T.C.) investigati, si riferiscono al raggiungimento di valori critici dei cedimenti differenziali che possono compromettere la funzionalità dell'opera. Il calcolo dei cedimenti è stato eseguito per la combinazione di esercizio , quasi permanente

Platee.

Platea : numero sella platea;
 Fili : fili fissi ai quali appartiene la platea considerata;
 Comb. : tipo inviluppo;
 Dist. : distanza tra i punti di massimo cedimento differenziale;
 Istant. : cedimento istantaneo;
 Consol. : cedimento di consolidamento;
 Tot. : cedimento totale;
 Diff. : cedimento differenziale;
 Lim. : cedimento limite (4‰ x Dist.);
 S : Coefficiente di sicurezza;
 Esito : V = Verificato; NV = Non Verificato

	Max	Min
--	------------	------------

Relazione di calcolo -

Platea	Fili	Comb.	Dist. [cm]	Istant. [cm]	Consol. [cm]	Tot. [cm]	Istant. [cm]	Consol. [cm]	Tot. [cm]	Diff. [cm]	Lim. [cm]	S	Esito
1	2, 3, 4, 1	Q. Perm.	411.2	-0.0527	-0.0050	-0.0577	-0.0457	-0.0047	-0.0504	0.0074	1.6449	223.62	V

Dalle tabelle relative al cedimento differenziale limite delle fondazioni, si evince che i cedimenti differenziali massimi stimati risultano compatibili con la funzionalità dei lavori in oggetto.

7 RELAZIONE SULLE FONDAZIONI

7.1 Strutture di fondazione e del suolo di fondazione.

Descrizione delle tipologie di fondazione utilizzate.

Nell'ambito dei lavori in oggetto si sono utilizzate le seguenti tipologie di fondazione: , platee, le cui dimensioni e la loro ubicazione vengono di seguito meglio descritte.

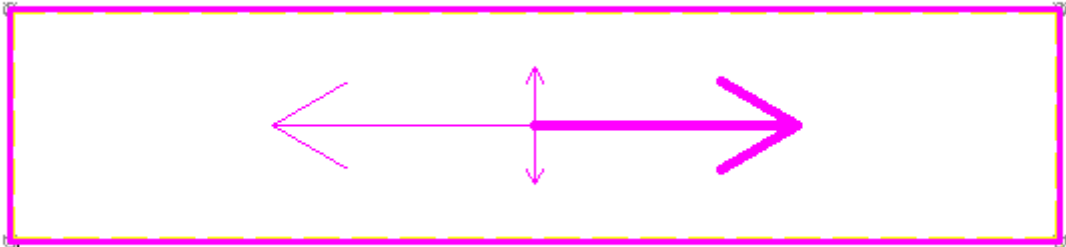
Descrizione delle platee di fondazione e loro ubicazione in pianta.

Platea : numero della platea;
Impalcato : impalcato al quale appartiene la piastra;
Fili : fili fissi ai quali appartiene la piastra;
Spessore : spessore della Piastra;
KwN : modulo di Winkler normale;
KwT : modulo di Winkler tangenziale;

Platea	Impalcato	Fili	Spessore [cm]	KwN [daN/cm ³]	KwT [daN/cm ³]
1	Fondazione	2, 3, 4, 1	40	41.36	34.46

Piante fondazioni.

Fondazione



7.2 Tensioni sul Terreno.

I dati seguenti riportano i valori delle tensioni esercitate dalla fondazione sul terreno.

Asta/Piastra : numerazione interna dell'asta/piastra.
 X : distanza dal nodo iniziale misurata lungo l'asse dell'asta/piastra.
 Comb : combinazione di appartenenza del valore considerato nell'involuppo.
 Tensioni (σ_T) : valore della tensione dovuta alla pressione dell'asta/piastra di fondazione:

Tabella 5.II

Tensioni Terreno				
	SLU	SLE		
		Caratteristi che	Frequenti	Quasi Permanenti
Piastra	σ [daN/cm ²]	σ [daN/cm ²]	σ [daN/cm ²]	σ [daN/cm ²]
1	0.39(1) *	0.28(1) *	0.27(1) *	0.26(1) *

* valore massimo.

Descrizione del suolo di fondazione.

- Caratteristiche litostratigrafiche

L'analisi dei risultati ottenuti dalle indagini per la caratterizzazione del suolo di fondazione sono meglio indicati nella relazione geologico-tecnica allegata. Per quanto riguarda l'aspetto geologico a seguito il rilevamento di un significativo intorno della zona in esame si è riscontrata la presenza delle seguenti successioni litostratigrafiche nelle relative sezioni geologiche (colonne stratigrafiche):

Filo : filo fisso al quale appartiene la colonna stratigrafica;
 Colonna : nome della colonna stratigrafica;
 Strato : nome dello strato appartenente la colonna stratigrafica;
 Descrizione : descrizione dello strato;

Filo	Colonna	Strato	Descrizione
1	Colonna 1	Calcari fratturati	calcari

- Caratteristiche fisico meccaniche dei terreni di fondazione

Nell'ambito del progetto si è fatto uso delle seguenti colonne stratigrafiche:

Caratteristiche delle colonne stratigrafiche:

Colonna : nome della colonna stratigrafica;
 Filo : filo fisso al quale appartiene la colonna stratigrafica;
 Impalcato : Impalcato al quale appartiene la colonna stratigrafica;
 Falda : Presenza della falda;
 Prof. Falda : Profondità della falda (se è presente);
 Spicc. Fond. : Quota dell'estradosso della fondazione rispetto al piano campagna;
 No. Strati : Numero degli strati della colonna stratigrafica.
 RQD : (Rock Quality Designation) grado di fratturazione dell'ammasso roccioso in [0-1]

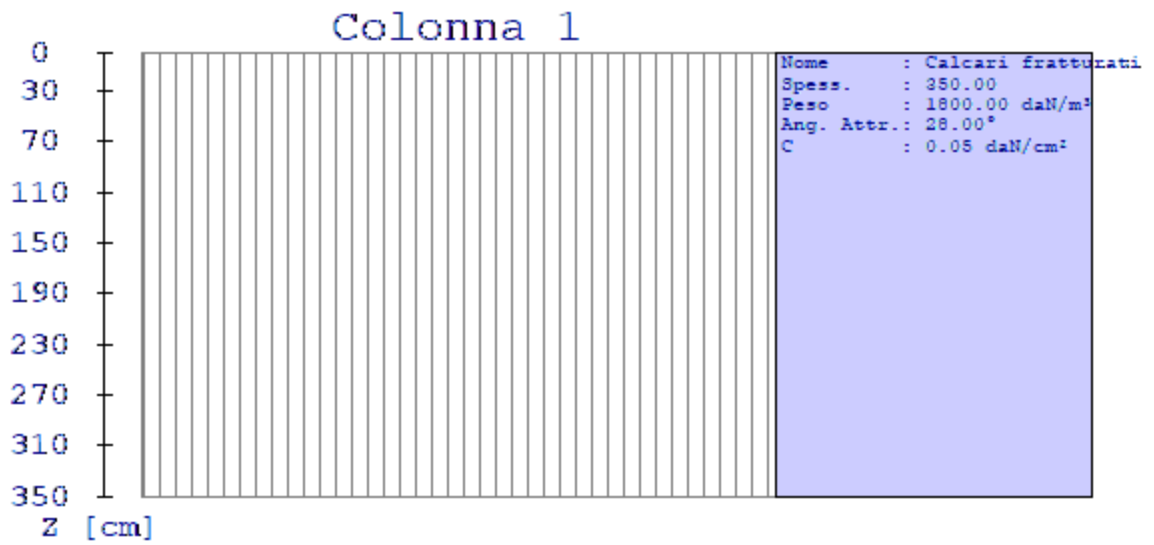
Filo	Colonna	Impalcato	Falda	Prof. Falda [cm]	Spicc. Fond. [cm]	No. Strati	RQD
1	Colonna 1	Fondazione	Non Presente	-	0.00	1	-
2	Colonna 1	Fondazione	Non Presente	-	0.00	1	-
3	Colonna 1	Fondazione	Non Presente	-	0.00	1	-
4	Colonna 1	Fondazione	Non Presente	-	0.00	1	-

Caratteristiche degli strati appartenenti alle colonne stratigrafiche:

Colonna : nome della colonna stratigrafica;
 Strato : nome dello strato appartenente la colonna stratigrafica;
 Spess. : Spessore dello strato;
 Peso : Peso dell'unità di volume dello strato;
 Peso eff. : Peso dell'unità di volume efficace dello strato;
 NSPT : Numero di colpi medio misurato nello strato;
 Qc : Resistenza alla punta media misurata nello strato;
 ϕ : Angolo di attrito del terreno;
 C : Coesione drenata del terreno;
 Cu : Coesione non drenata del terreno;
 E : Modulo elastico del terreno;
 G : Modulo di taglio del terreno;
 ν_t : Coefficiente di Poisson;
 E_{ed} : Modulo Edometrico;
 OCR : Grado di sovraconsolidazione del terreno.

Colonna	Strato	Spess. [cm]	Peso [daN/m ³]	Peso eff. [daN/m ³]	NSPT	Qc [daN/cm ²]	ϕ [°]	C [daN/cm ²]	Cu [daN/cm ²]	E [daN/cm ²]	G [daN/cm ²]	ν_t	E_{ed} [daN/cm ²]	OC R
Colonna 1	Calciari fratturati	350.0	1800.0	800.0	-	-	28.0	0.05	0.00	5090.00	1880.00	0.35	-	1.00

- Sezioni Geologiche:



- Caratterizzazione sismica del suolo di fondazione:

La categoria assunta per il suolo di fondazione per il sito in oggetto è: B

7.3 Relazione sulle fondazioni (D.M. 17/01/2018)

Scelta del tipo di fondazioni.

In funzione dei risultati ottenuti dalla campagna di indagini eseguite e della tipologia strutturale adottata per i lavori in oggetto, si è proceduto alla scelta delle tipologie di fondazione superficiali per distribuire i carichi trasmessi dalla sovrastruttura al terreno di fondazione ripartendoli il più possibile in modo uniforme sul suolo di sedime delle fondazioni stesse. La scelta della profondità del piano di posa ha permesso il superamento del suolo vegetale, della zona soggetta a gelo-disgelo e variazioni stagionali di umidità. La profondità del piano di posa delle fondazioni risulta tale da prevenire fenomeni di erosione o scalzamento.

Le dimensioni strutturali delle opere di fondazione, le tipologie usate e la loro ubicazione risultano descritte nella prima parte della presente relazione e vengono meglio evidenziate negli elaborati grafici allegati.

Le verifiche di sicurezza relative agli stati limite ultimi (SLU) ed agli stati limite d'esercizio (SLE) indagati risultano tali da non limitare l'uso della costruzione, la sua efficienza, la durabilità della struttura garantendo un grado di sicurezza ed un livello di prestazioni nel rispetto della normativa vigente in materia.

Ipotesi assunte ed analisi dei risultati nei riguardi del complesso terreno-opera di fondazione.

Tutte le analisi presentate si riferiscono studio del sottosuolo semplificando la situazione reale con criteri cautelativi, analizzando diverse possibili schematizzazioni ed adottando i risultati meno favorevoli mediante coefficienti parziali per i parametri geotecnici del terreno, coefficienti parziali per le azioni o per l'effetto delle azioni e coefficienti parziali di sicurezza da applicare alle resistenze caratteristiche.

Le analisi delle elaborazioni eseguite permette di evidenziare i seguenti livelli di sicurezza:

Riassunto risultati verifiche:

ELEMENTO	Tipo verifica	S Min	S Max
Platee di fondazione	Capacità Portante SLU-SLV	11.69	11.69
	Capacità Portante SLD	16.29	16.29
	Cedim. Diff. SLE Q. Perm.	223.62	223.62

La caratterizzazione geologica da un lato, le caratteristiche dimensionali, strutturali e le configurazioni di carico dall'altro, hanno reso possibile effettuare valutazioni che hanno conto del comportamento complessivo delle strutture e delle interazioni terreno-fondazione.

Si rimanda alla Relazione Geologica-Tecnica redatta dal Dott. Geologo per prendere visione di ogni altra informazione relativa alla stratigrafia che caratterizza il suolo di fondazione.

I coefficienti di sicurezza per tutte le verifiche di resistenza eseguite sulle strutture di fondazione, sono riportate nella Relazione di Calcolo allegata.

Dalle verifiche eseguite su tutti gli elementi di fondazione risultano livelli di sicurezza accettabili e pertanto i lavori in oggetto si valutano realizzabili.

Per quanto sopra esposto, a seguito delle analisi geomorfologiche e dalle verifiche geotecniche svolte l'intervento in oggetto, nel rispetto delle disposizioni progettuali individuate, si ritiene perfettamente compatibile con le caratteristiche del sottosuolo ed attuabile nel rispetto delle Norme vigenti e delle esigenze della Committenza.

Si prescrive che in corso d'opera si debba riscontrare la rispondenza della caratterizzazione geotecnica assunta in progetto e la situazione reale e che la sistemazione esterna dovrà evitare infiltrazioni di acqua tale da variare le caratteristiche geotecniche del terreno di fondazione.

SOMMARIO

1 Introduzione	1
1.1 Premessa	1
1.1.1 Cenni sulla casa produttrice del software.....	1
1.1.2 Descrizione dell'Opera da calcolare	1
1.2 Riferimenti Legislativi.....	1
1.3 Convenzioni,Unità di misura e simboli adottati.....	2
2 Descrizione del Modello.....	3
2.1 Modello assunto per il calcolo.....	3
2.2 Tipo di calcolo.....	5
2.3 Condizioni di carico valutate	6
2.4 Procedura di Verifica degli elementi.....	13
2.4.1 Elementi in C.A.	13
3 Dati	18
3.1 Dati Generali	18
3.2 Elenco e Caratteristiche dei materiali.....	21
3.3 Elenco e caratteristiche delle colonne stratigrafiche.	22
3.4 Elenco dei carichi.....	22
3.4.1 Pesi propri unitari - G1.	22
3.4.2 Carichi Permanenti unitari - G2.....	23
3.4.3 Carichi Variabili unitari - Q.	23
3.4.4 Pesi Impalcati.	23
3.5 Elenco e Caratteristiche delle sezioni trasversali.....	23
3.6 Geometria Struttura.	23
3.6.1 Fili Fissi.....	24
3.6.2 Caratteristiche dei nodi.	24
3.6.3 Caratteristiche delle aste.	38
3.6.4 Caratteristiche delle Piastre.....	38
3.6.5 Carichi distribuiti sugli elementi.	38
4 Risultati di Calcolo.....	40
4.1 Tensioni sul Terreno.....	40
4.2 Verifica Elementi Bidimensionali.....	40
4.2.1 Verifica Piastre.....	41
4.2.1.1 Verifica Piastre in C.A.....	41
4.2.1.1.1 Dati Generali	41
4.2.1.1.2 Verifiche SLV - Flessione.	41
4.2.1.1.3 Verifiche SLV - Taglio.....	42
4.2.1.1.4 Verifiche SLE - Fessurazione.....	42
4.2.1.1.5 Verifiche SLE - Tensioni di Esercizio	42
5 ALLEGATI.....	43
5.1 ALLEGATO A - (Pericolosità sismica di base).....	43
6 RELAZIONE GEOTECNICA	46
6.1 DESCRIZIONE DELL'OPERA E DEGLI INTERVENTI.	46
6.2 RELAZIONE GEOTECNICA (CAP. 6 delle N.T.C.)	48
7 RELAZIONE SULLE FONDAZIONI.....	58
7.1 Strutture di fondazione e del suolo di fondazione.....	58
7.2 Tensioni sul Terreno.....	60
7.3 Relazione sulle fondazioni (D.M. 17/01/2018).....	63

Comune : MESAGNE

PROVINCIA : BRINDISI

Relazione di calcolo

Progetto di nuova struttura ai sensi del D.M. 17/01/2018 "Norme Tecniche per le Costruzioni"

Archivio: platea cabina videosorveglianza - Data: 23/09/2022

Oggetto:

Committente:	Progettista:	Progettista Strutturale:	Direttore dei Lavori:
	Ingegnere Debora Dellegrottaglie		

1 Introduzione

1.1 Premessa

1.1.1 Cenni sulla casa produttrice del software

La relazione seguente riporta i dati relativi ai criteri di progettazione, alla geometria, alla meccanica della struttura descritta al relativo paragrafo, nonché i relativi risultati dei calcoli strutturali così come ricavati dal calcolatore elettronico tramite l'utilizzo del Software "FaTA-e" prodotto e distribuito da Stacec srl con sede in Bovalino (RC), e concesso in licenza al responsabile dei calcoli stessi.

FaTA-e è un programma sviluppato specificatamente per la progettazione e la verifica di edifici tridimensionali multipiano ed industriali realizzati con elementi strutturali in C.A., in Acciaio, in legno (massiccio e/o lamellare) o in muratura.

FaTA-e articola le operazioni di progetto secondo tre fasi distinte:

- 1) **preprocessore**: fase di Input dove viene definita e modellata interamente la struttura;
- 2) **solutore**: fase di elaborazione della struttura tramite un solutore agli elementi finiti;
- 3) **post-processore**: fase di verifica degli elementi, creazione degli elaborati grafici e della relazione di calcolo.

1.1.2 Descrizione dell'Opera da calcolare

Comune : MESAGNE

PROVINCIA : BRINDISI

Oggetto :

Committente :

Indirizzo :

Città :

PROVINCIA :

Telefono :

Progettista : Ingegnere Debora Dellegrottaglie

Indirizzo : Via Borgo Antico

Città : MESAGNE

PROVINCIA : BRINDISI

Telefono :

Progettista Strutturale :

Indirizzo :

Città :

PROVINCIA :

Telefono :

Direttore dei Lavori :

Indirizzo :

Città :

PROVINCIA :

Telefono :

Nome File : platea cabina videosorveglianza

1.2 Riferimenti Legislativi.

Tutte le operazioni illustrate nel proseguo, relative all'analisi della struttura ed alle verifiche sugli elementi sono state effettuate in piena conformità alle seguenti norme:

Norme Tecniche C.N.R. 10011:

"Costruzioni di acciaio - Istruzione per il calcolo, l'esecuzione, il collaudo e la manutenzione."

Norme C.N.R. 10024:

"Analisi delle strutture mediante calcolatore elettronico: impostazione e redazione delle relazioni di calcolo."

Ordinanza del Presidente del Consiglio 3274 - 08/05/2003:

"Primi elementi in materia di criteri generali per la classificazione sismica del territorio nazionale e di normative tecniche per le costruzioni in zona sismica."

Ordinanza del Presidente del Consiglio 3431 - 03/05/2005:

"Ulteriori modifiche ed integrazioni all'Ordinanza del Presidente del Consiglio 3274 - 08/05/2003."

UNI ENV 1992-1-1: Eurocodice 2:

"Progettazione delle strutture in calcestruzzo - Parte 1-1: Regole generali e regole per gli edifici"

UNI ENV 1993-1-1: Eurocodice 3:

"Progettazione delle strutture di acciaio - Parte 1-1: Regole generali e regole per gli edifici."

UNI ENV 1998-1-1: Eurocodice 8:

"Indicazioni progettuali per la resistenza sismica delle strutture - Parte 1-1: Regole generali."

D.M. 17/01/2018:

"Norme tecniche per le costruzioni."

Circolare CSLP n. 7 del 21/01/2019:

"Istruzioni per l'applicazione dell'aggiornamento delle «Norme tecniche per le costruzioni» di cui al decreto ministeriale 17 gennaio 2018."

1.3 Convenzioni, Unità di misura e simboli adottati.

Nei calcoli sono state utilizzate le seguenti unità:

- distanze	: cm
- forze, tagli, e sforzi normali	: daN
- coppie e momenti flettenti	: daNm
- carichi sulle aste	: daN/m
- carichi su superfici	: daN/m ²
- peso specifico	: daN/m ³
- tensioni e resistenze	: daN/m ²
- temperatura	: °C

I simboli adottati hanno il seguente significato:

q	: fattore di comportamento ;
R _{ck}	: Resistenza caratteristica cubica a compressione del calcestruzzo;
f _{ck}	: Resistenza caratteristica cilindrica a compressione del calcestruzzo;
E _c	: Modulo elastico secante del calcestruzzo;
E _{ct}	: Modulo elastico a trazione del calcestruzzo
f _{cd}	: Resistenza di calcolo del calcestruzzo;
f _{ctk,0.05}	: Resistenza caratteristica a trazione;
ν	: Coefficiente di Poisson;
α _t	: Coefficiente di dilatazione termica;
ps	: peso specifico;
f _{yk}	: Resistenza caratteristica di snervamento dell'acciaio;
f _{tk}	: Resistenza caratteristica di rottura dell'acciaio;
f _d	: resistenza di calcolo dell'acciaio;
A	: Superficie della sezione trasversale;
J _x	: Momento di inerzia rispetto all'asse X;
J _y	: Momento di inerzia rispetto all'asse Y;

J_{xy}	: Momento di inerzia centrifugo rispetto agli assi X ed Y;
J_t	: Fattore torsionale;
N	: sforzo normale;
M_T	: Momento Torcente;
M_{XZ}	: Momento Flettente X-Z;
T_{XZ}	: Taglio X-Z;
M_{XY}	: Momento Flettente X-Y;
T_{XY}	: Taglio X-Y;
f	: Frequenza del modo i-esimo;
T	: Periodo del modo i-esimo;
Γ_x	: Fattore di partecipazione del modo i-esimo in direzione x;
Γ_y	: Fattore di partecipazione del modo i-esimo in direzione y;
Γ_z	: Fattore di partecipazione del modo i-esimo in direzione z;
N_{sd}	: Sforzo Normale sollecitante di calcolo;
M_{sdXZ}	: Momento Flettente X-Z sollecitante di calcolo;
M_{sdXY}	: Momento Flettente X-Y sollecitante di calcolo;
M_{tS}	: Momento Torcente sollecitante di calcolo;
V_{sdXZ}	: Taglio X-Z sollecitante di calcolo;
V_{sdXY}	: Taglio X-Y sollecitante di calcolo;
N_{Rd}	: Sforzo Normale resistente di calcolo;
M_{RdXZ}	: Momento Flettente X-Z resistente di calcolo;
M_{RdXY}	: Momento Flettente X-Y resistente di calcolo;
M_{tR}	: Momento Torcente resistente di calcolo;
V_{RdXZ}	: Taglio X-Z resistente di calcolo;
V_{RdXY}	: Taglio X-Y resistente di calcolo;
σ_c	: Tensioni del calcestruzzo;
σ_s	: Tensioni delle armature;
$\sigma_{c,lim}$: Tensioni limite del calcestruzzo;
$\sigma_{s,lim}$: Tensioni limite dell'acciaio;
f/l	: rapporto freccia/lunghezza;
f_{lim}	: valore limite del rapporto freccia/lunghezza;

2 Descrizione del Modello.

2.1 Modello assunto per il calcolo.

L'analisi numerica della struttura è stata condotta attraverso l'utilizzo del metodo degli elementi finiti ipotizzando un comportamento elastico-lineare.

Il metodo degli elementi finiti consiste nel sostituire il modello continuo della struttura con un modello discreto equivalente e di approssimare la funzione di spostamento con polinomio algebrico, definito in regioni (dette appunto elementi finiti) che sono delle funzioni interpolanti il valore di spostamento definito in punti discreti (detti nodi).

Gli elementi finiti utilizzabili ai fini della corretta modellazione della struttura verranno descritti di seguito.

Il modello di calcolo può essere articolato sulla base dell'ipotesi di impalcato rigido, in funzione della reale presenza di solai continui atti ad irrigidire tutto l'impalcato.

Tale ipotesi viene realizzata attraverso l'introduzione di adeguate relazioni cinematiche tra i gradi di libertà dei nodi costituenti l'impalcato stesso.

Il metodo di calcolo adottato, le combinazioni di carico, e le procedure di verifica saranno descritte di seguito.

Riferimento globale e locale.

La struttura viene definita utilizzando una terna di assi cartesiani formanti un sistema di riferimento levogiro, unico per tutti gli elementi e chiamato "globale". Localmente esiste un ulteriore sistema di riferimento, detto appunto "locale", utile alla definizione delle caratteristiche di rigidezza dei singoli elementi.

I due sistemi di riferimento sono correlati da una matrice, detta di rotazione.

Modellazione geometrica della struttura.

Il modello geometrico (mesh) della struttura è basato sull'utilizzo dei seguenti elementi:

- *Nodi*

Si definiscono nodi, entità geometriche determinate tramite le tre coordinate nel riferimento globale.

I nodi, nello spazio tridimensionale, posseggono tre gradi di libertà traslazionali e tre rotazionali.

Essi sono posizionati in modo da definire gli estremi degli elementi finiti e, di regola, in ogni discontinuità strutturale, di carico, di caratteristiche meccaniche, di campo di spostamento.

- *Vincoli e Molle*

I gradi di libertà possono essere vincolati, bloccando il cinematismo nella direzione voluta o assegnando "molle" applicate ai nodi tramite valori di rigidezza finiti.

Un vincolo assegna a priori un valore di spostamento nullo, e quindi la variabile corrispondente viene eliminata.

- *Vincoli interni*

Tali vincoli servono a definire le modalità di trasmissione degli sforzi dall'elemento finito ai nodi. Ciò viene associato al concetto di trasferimento della rigidezza.

Generalmente l'elemento considerato è rigidamente connesso ai nodi che lo definiscono, in modo da bloccare tutti i gradi di libertà relativi. E' possibile, comunque "rilasciare" le caratteristiche delle sollecitazioni, in modo da svincolare i gradi di libertà corrispondenti. Nel caso particolare, il modello utilizzato consente di svincolare le tre rotazioni intorno agli assi locali dell'asta.

- *Aste*

Si tratta di elementi finiti monodimensionali ad asse rettilineo delimitate da due nodi (i nodi di estremità).

Per questi elementi generalmente la funzione interpolante è quella del modello analitico per cui la mesh non influisce sensibilmente sulla convergenza.

Le aste sono dotate di rigidezza assiale, flessionale, e a taglio, secondo il modello classico della trave inflessa di Eulero-Bernoulli.

Alla singola asta è possibile associare una sezione costante per tutta la sua lunghezza.

- *Asta su suolo elastico*

Si tratta di elementi finiti monodimensionali ad asse rettilineo, di definizione simile alle aste. Sono utili a modellare travi di fondazione, considerate poggianti su suolo alla Winkler, e reagenti sia rispetto alle componenti traslazionali di cinematismo, sia rotazionali.

- *Lastra-Piastra*

Si tratta di elementi finiti bidimensionali, definiti da tre o quattro nodi, posti ai vertici rispettivamente di un triangolo o di un quadrilatero irregolare. La geometria reale dell'elemento viene ricondotta ad un triangolo rettangolo (elemento a tre nodi) o ad un quadrato definito nella trattazione isoparametrica.

L'elemento lastra-piastra non ha rigidezza per la rotazione intorno all'asse perpendicolare al suo piano e viene trattato secondo la teoria di Mindlin-Reissner. Nel modello considerato si tiene conto dell'accoppiamento tra azioni flessionali e membranali.

- *Forze e coppie concentrate*

Per la risoluzione statica della struttura, tutti i carichi applicati agli elementi vengono trasferiti ai nodi. Ciò avviene in automatico per il peso delle aste, delle piastre, delle pareti, dei pannelli di carico presenti sulle aste e per la distribuzione di carico applicate agli elementi bidimensionali.

Il modello di calcolo consente anche l'introduzione di forze e coppie ai nodi.

Le forze sono dirette lungo le tre direzioni del sistema di riferimento globale ed in entrambi i versi per ogni direzione.

Le coppie concentrate sono riferite ai tre assi del riferimento globale, in entrambi i versi di rotazione di ciascun asse.

- *Carichi distribuiti*

Il modello di calcolo consente anche l'introduzione di carichi ripartiti sulle aste e di distribuzione di carico su piastre e pareti.

I carichi ripartiti sulle aste possono essere riferite sia al riferimento globale, sia al riferimento locale, lungo le tre direzioni ed in entrambe i versi. E' possibile anche introdurre carichi distribuiti torcenti agenti intorno all'asse dell'asta ed in entrambe i versi di rotazione.

Tutti i tipi di carico ripartito devono avere forma trapezia.

Sugli elementi bidimensionali, che fanno parte della mesh di piastre e pareti, è possibile assegnare una distribuzione uniforme, avente le caratteristiche di una pressione diretta ortogonalmente all'elemento.

- *Pannelli di carico*

Il pannello di carico è un concetto legato alla reale distribuzione di carichi gravanti sulle aste. Ne fanno parte: solai, balconi, scale.

Da tali pannelli, di forma irregolare come definiti dalla geometria dell'input, si passa alla quantificazione dei carichi trapezoidali ripartiti sulle aste. Per meglio simulare l'effetto dei pannelli, vengono generati in modo automatico anche dei carichi ripartiti torcenti, anch'essi di forma trapezia, relativi ai carichi distribuiti equivalenti al pannello.

- Sezioni

Le sezioni assegnabili alle aste sono definite attraverso le caratteristiche geometrico-elastiche, i moduli di resistenza plastici (sezioni in acciaio) ed il materiale.

Materiali.

I materiali, ai fini del calcolo delle sollecitazioni, sono considerati omogenei ed isotropi e sono definiti dalle seguenti caratteristiche: peso per unità di volume, modulo elastico, coefficiente di Poisson, coefficiente di dilatazione, e tutte le caratteristiche meccaniche, riepilogate in seguito, utili alle verifiche strutturali dettate dalla normativa.

Matrici di calcolo della struttura.

Dalla discretizzazione geometrica della struttura vengono definite le matrici utili a studiare il comportamento globale della struttura in esame.

- Matrice di rigidezza

Tale matrice viene costruita partendo dalla matrice di rigidezza espressa nel sistema di riferimento locale dell'elemento considerato. Attraverso un'operazione di trasformazione, mediante la matrice di rotazione, viene riferita al sistema di riferimento globale. L'ultima operazione consiste nell'"assemblaggio" delle singole matrici di ogni elemento, in modo da formare un'unica matrice relativa all'intera struttura.

- Matrice delle masse

La generazione della matrice globale è del tutto analoga a quella sopra descritta per la matrice di rigidezza. La matrice delle masse è di tipo "consistente" e considera l'effettiva distribuzione delle masse della struttura. Come definito dalla normativa, alle masse relative ai carichi permanenti, viene aggiunta un'aliquota delle masse equivalenti ai carichi d'esercizio.

2.2 Tipo di calcolo.

ANALISI ORIZZONTALE STATICA LINEARE

Il calcolo risolutivo della struttura è stato effettuato utilizzando un sistema di equazioni lineari (di dimensioni pari ai gradi di libertà), secondo la relazione:

$$\underline{u} = [\underline{K}]^{-1} \underline{F}$$

dove: \underline{F} = vettore dei carichi risultanti applicate ai nodi;
 \underline{u} = vettore dei cinematismi nodali;
 $[\underline{K}]$ = matrice di rigidezza globale.

Tale analisi è stata ripetuta per tutte le condizioni presenti sulla struttura, identificati dai vettori dei carichi relativi a:

- carichi permanenti;
- carichi d'esercizio;
- delta termico;
- carichi utente;
- torsioni accidentali;

I valori delle eccentricità accidentali per le torsioni sono i seguenti:

	Torsioni Accidentali	
Imp. Reale	e _x [cm]	e _y [cm]
1	22.5	17.5

Per ogni impalcato reale si riportano i dati relativi alle rigidezze e ai baricentri:

Imp. Reale	Rigidezze			Centro Massa		Centro Rigidezza	
	Rig X [KN/cm]	Rig Y [KN/cm]	Rig. Tors. [KNcm]	X [cm]	Y [cm]	xR [cm]	yR [cm]
1	12555	8334	6891600712	225.0	175.0	225.0	175.0

L'analisi sismica (statica equivalente) nella componente orizzontale è stata effettuata considerando un sistema di forze, agenti nella direzione del sisma considerato, applicate ad ogni piano nel centro di massa del piano stesso. Per poter effettuare questo tipo di analisi deve valere la condizione:

$$T_1 \leq 2.5 T_C$$

Dir. X: $T_{1X} = 2 dx^{1/2} = 0.000 \text{ s}$

Dir. Y: $T_{1Y} = 2 dy^{1/2} = 0.000 \text{ s}$

dx: spostamento massimo in dir. X dell'impalcato più in alto dell'edificio = 0.0000 m

dy: spostamento massimo in dir. Y dell'impalcato più in alto dell'edificio = 0.0000 m

T_C = periodo di fine risonanza dello spettro.

Nel caso specifico il valore di T_C è pari a: 0.57

Le forze sono computate secondo le seguenti formule:

$$F_{Ih} = F_H (W_I z_I) / (\sum W_I z_I) ;$$

$$F_H = S_d (T_1) W_{tot} \lambda ;$$

$$F_{Iv} = F_V (W_I) / (\sum W_I) ;$$

dove:

z_I : quota dell'impalcato,

$S_d (T_1)$: ordinata spettro di risposta.

$\lambda = 0.85$ (se $N_{piani} \geq 3$ e se $T_1 \leq 2 T_C$) oppure 1.00 (in tutti gli altri casi) ;

$$W_I = (G_K + \sum_i \Psi_{Ei} Q_{ik}) ;$$

dove:

$$\Psi_{Ei} (SLU - SLD) = \Psi_{2i} \varphi ;$$

$$\Psi_{2i} = 0.30 ;$$

φ (vedi paragrafo "Pesi Impalcati");

Si riportano i valori totali delle azioni sismiche orizzontali di piano applicate agli impalcati reali:

Imp. Reale	Fhx [daN]	Fhy [daN]
1	95.85	95.85
Fh Totali	95.85	95.85

2.3 Condizioni di carico valutate

Dati Condizioni.

Nella seguente tabella vengono riportati i dati per la definizione delle condizioni di carico:

Azione	Tipo	Durata
Car. perm. strutt. (Gk1)	C.Perm. (Gk)	Permanente
Car. perm. non strutt. (Gk2)	C.p. non str. (Gk2)	Permanente
Carichi d'esercizio (Qk)	C. Ese. (Qk)	Lunga
Δt	Carico termico	Breve

Torsione Accidentale X	Azione Sismica	Istantanea
Torsione Accidentale Y	Azione Sismica	Istantanea
Sisma X	Azione Sismica	Istantanea
Sisma Y	Azione Sismica	Istantanea
Sisma Z	Azione Sismica	Istantanea
Utente 1	Ignora	Permanente

Coefficienti di combinazione.

Nella seguente tabella vengono riportati i coefficienti di combinazione da normativa, relativi agli stati limite ultimi (SLV) e di danno (SLD):

Impalcato	Destinazione	Altre azioni			Delta termico		
		Ψ_{0i}	Ψ_{1i}	Ψ_{2i}	Ψ_{0i}	Ψ_{1i}	Ψ_{2i}
Fondazione	Categoria A: Ambienti ad uso residenziale	0.7	0.5	0.3	0.6	0.5	0.0
Piano 1	Categoria A: Ambienti ad uso residenziale	0.7	0.5	0.3	0.6	0.5	0.0

Per balconi e scale verranno usati i coefficienti calcolati come i maggiori tra quelli relativi alla categoria di carico di piano ed i seguenti:

Cat.	Destinazione	Altre azioni			Delta termico		
		Ψ_{0i}	Ψ_{1i}	Ψ_{2i}	Ψ_{0i}	Ψ_{1i}	Ψ_{2i}
C2	Balconi, ballatoi e scale	0.7	0.7	0.6	0.6	0.5	0.0

Tutte le combinazioni sono da intendersi come somma dell'effetto considerato. Tali combinazioni vengono considerate sovrapponendo i diagrammi secondo la tecnica dell'involuppo.

Combinazioni per le verifiche allo Stato Limite di Salvaguardia della Vita

Le azioni di calcolo presenti sulla struttura e le relative combinazioni di carico nei riguardi degli stati limite di salvaguardia della vita essere riassunte nelle seguenti tabelle:

Comb.	Elementi della Struttura								
	C. perm.(Gk1)	C. p. non str.(Gk2)	C. ese.(Qk)	Delta T(DT)	Tors. acc. X(Mx)	Tors. acc. Y(My)	Sisma X	Sisma Y	Sisma Z
1*	γG_{ns}	γG_{2ns}	γQ_{ns}	0	0	0	0	0	0
2*	γG_{ns}	γG_{2ns}	γQ_{ns}	$\Psi_0 \gamma Q_{ns}$	0	0	0	0	0
3*	γG_{ns}	γG_{2ns}	γQ_{ns}	$-\Psi_0 \gamma Q_{ns}$	0	0	0	0	0
4*	γG_{ns}	γG_{2ns}	$\Psi_0 \gamma Q_{ns}$	γQ_{ns}	0	0	0	0	0
5*	γG_{ns}	γG_{2ns}	$\Psi_0 \gamma Q_{ns}$	$-\gamma Q_{ns}$	0	0	0	0	0
6	γG_s	γG_{2s}	$\Psi_2 \gamma Q_s$	0	1	0	1	0.30	0
7	γG_s	γG_{2s}	$\Psi_2 \gamma Q_s$	0	-1	0	1	0.30	0
8	γG_s	γG_{2s}	$\Psi_2 \gamma Q_s$	0	1	0	1	-0.30	0
9	γG_s	γG_{2s}	$\Psi_2 \gamma Q_s$	0	-1	0	1	-0.30	0
10	γG_s	γG_{2s}	$\Psi_2 \gamma Q_s$	0	1	0	-1	0.30	0
11	γG_s	γG_{2s}	$\Psi_2 \gamma Q_s$	0	-1	0	-1	0.30	0
12	γG_s	γG_{2s}	$\Psi_2 \gamma Q_s$	0	1	0	-1	-0.30	0
13	γG_s	γG_{2s}	$\Psi_2 \gamma Q_s$	0	-1	0	-1	-0.30	0
14	γG_s	γG_{2s}	$\Psi_2 \gamma Q_s$	0	0	1	0.30	1	0
15	γG_s	γG_{2s}	$\Psi_2 \gamma Q_s$	0	0	-1	0.30	1	0
16	γG_s	γG_{2s}	$\Psi_2 \gamma Q_s$	0	0	1	-0.30	1	0
17	γG_s	γG_{2s}	$\Psi_2 \gamma Q_s$	0	0	-1	-0.30	1	0
18	γG_s	γG_{2s}	$\Psi_2 \gamma Q_s$	0	0	1	0.30	-1	0
19	γG_s	γG_{2s}	$\Psi_2 \gamma Q_s$	0	0	-1	0.30	-1	0
20	γG_s	γG_{2s}	$\Psi_2 \gamma Q_s$	0	0	1	-0.30	-1	0
21	γG_s	γG_{2s}	$\Psi_2 \gamma Q_s$	0	0	-1	-0.30	-1	0

*Combinazione fondamentale (par. 2.5.3, formula 2.5.1)

Comb.	Condizione
1*	Utente 1
	0.00

2*	0.00
3*	0.00
4*	0.00
5*	0.00
6	0.00
7	0.00
8	0.00
9	0.00
10	0.00
11	0.00
12	0.00
13	0.00
14	0.00
15	0.00
16	0.00
17	0.00
18	0.00
19	0.00
20	0.00
21	0.00

*Combinazione fondamentale (par. 2.5.3, formula 2.5.1)

Elementi di fondazione A1									
Comb.	Condizione								
	C. perm.(Gk1)	C. p. non str.(Gk2)	C. ese.(Qk)	Delta T(DT)	Tors. acc. X(Mx)	Tors. acc. Y(My)	Sisma X	Sisma Y	Sisma Z
1*	γ_{Gns}	γ_{G2ns}	γ_{Qns}	0	0	0	0	0	0
2*	γ_{Gns}	γ_{G2ns}	γ_{Qns}	$\Psi 0 \gamma_{Qns}$	0	0	0	0	0
3*	γ_{Gns}	γ_{G2ns}	γ_{Qns}	$-\Psi 0 \gamma_{Qns}$	0	0	0	0	0
4*	γ_{Gns}	γ_{G2ns}	$\Psi 0 \gamma_{Qns}$	γ_{Qns}	0	0	0	0	0
5*	γ_{Gns}	γ_{G2ns}	$\Psi 0 \gamma_{Qns}$	$-\gamma_{Qns}$	0	0	0	0	0
6	γ_{Gs}	γ_{G2s}	$\Psi 2 \gamma_{Qs}$	0	1	0	1	0.30	0
7	γ_{Gs}	γ_{G2s}	$\Psi 2 \gamma_{Qs}$	0	-1	0	1	0.30	0
8	γ_{Gs}	γ_{G2s}	$\Psi 2 \gamma_{Qs}$	0	1	0	1	-0.30	0
9	γ_{Gs}	γ_{G2s}	$\Psi 2 \gamma_{Qs}$	0	-1	0	1	-0.30	0
10	γ_{Gs}	γ_{G2s}	$\Psi 2 \gamma_{Qs}$	0	1	0	-1	0.30	0
11	γ_{Gs}	γ_{G2s}	$\Psi 2 \gamma_{Qs}$	0	-1	0	-1	0.30	0
12	γ_{Gs}	γ_{G2s}	$\Psi 2 \gamma_{Qs}$	0	1	0	-1	-0.30	0
13	γ_{Gs}	γ_{G2s}	$\Psi 2 \gamma_{Qs}$	0	-1	0	-1	-0.30	0
14	γ_{Gs}	γ_{G2s}	$\Psi 2 \gamma_{Qs}$	0	0	1	0.30	1	0
15	γ_{Gs}	γ_{G2s}	$\Psi 2 \gamma_{Qs}$	0	0	-1	0.30	1	0
16	γ_{Gs}	γ_{G2s}	$\Psi 2 \gamma_{Qs}$	0	0	1	-0.30	1	0
17	γ_{Gs}	γ_{G2s}	$\Psi 2 \gamma_{Qs}$	0	0	-1	-0.30	1	0
18	γ_{Gs}	γ_{G2s}	$\Psi 2 \gamma_{Qs}$	0	0	1	0.30	-1	0
19	γ_{Gs}	γ_{G2s}	$\Psi 2 \gamma_{Qs}$	0	0	-1	0.30	-1	0
20	γ_{Gs}	γ_{G2s}	$\Psi 2 \gamma_{Qs}$	0	0	1	-0.30	-1	0
21	γ_{Gs}	γ_{G2s}	$\Psi 2 \gamma_{Qs}$	0	0	-1	-0.30	-1	0

*Combinazione fondamentale (par. 2.5.3, formula 2.5.1)

Comb.	Condizione
	Utente 1
1*	0.00
2*	0.00
3*	0.00
4*	0.00
5*	0.00
6	0.00
7	0.00
8	0.00
9	0.00
10	0.00
11	0.00
12	0.00
13	0.00
14	0.00
15	0.00
16	0.00
17	0.00
18	0.00

19	0.00
20	0.00
21	0.00

*Combinazione fondamentale (par. 2.5.3, formula 2.5.1)

Combinazioni per le verifiche allo Stato Limite di Danno

Le azioni di calcolo presenti sulla struttura e le relative combinazioni di carico nei riguardi degli stati limite di danno possono essere riassunte nelle seguenti tabelle:

Elementi della Struttura									
Comb.	Condizione								
	C. perm.(Gk1)	C. p. non str.(Gk2)	C. ese.(Qk)	Delta T(DT)	Tors. acc. X(Mx)	Tors. acc. Y(My)	Sisma X	Sisma Y	Sisma Z
1	γ_{Gns}	γ_{G2ns}	γ_{Qns}	0	0	0	0	0	0
2	γ_{Gns}	γ_{G2ns}	γ_{Qns}	$\Psi 0 \gamma_{Qns}$	0	0	0	0	0
3	γ_{Gns}	γ_{G2ns}	γ_{Qns}	$-\Psi 0 \gamma_{Qns}$	0	0	0	0	0
4	γ_{Gns}	γ_{G2ns}	$\Psi 0 \gamma_{Qns}$	γ_{Qns}	0	0	0	0	0
5	γ_{Gns}	γ_{G2ns}	$\Psi 0 \gamma_{Qns}$	$-\gamma_{Qns}$	0	0	0	0	0
6	γ_{Gs}	γ_{G2s}	$\Psi 2 \gamma_{Qs}$	0	1	0	1	0.30	0
7	γ_{Gs}	γ_{G2s}	$\Psi 2 \gamma_{Qs}$	0	-1	0	1	0.30	0
8	γ_{Gs}	γ_{G2s}	$\Psi 2 \gamma_{Qs}$	0	1	0	1	-0.30	0
9	γ_{Gs}	γ_{G2s}	$\Psi 2 \gamma_{Qs}$	0	-1	0	1	-0.30	0
10	γ_{Gs}	γ_{G2s}	$\Psi 2 \gamma_{Qs}$	0	1	0	-1	0.30	0
11	γ_{Gs}	γ_{G2s}	$\Psi 2 \gamma_{Qs}$	0	-1	0	-1	0.30	0
12	γ_{Gs}	γ_{G2s}	$\Psi 2 \gamma_{Qs}$	0	1	0	-1	-0.30	0
13	γ_{Gs}	γ_{G2s}	$\Psi 2 \gamma_{Qs}$	0	-1	0	-1	-0.30	0
14	γ_{Gs}	γ_{G2s}	$\Psi 2 \gamma_{Qs}$	0	0	1	0.30	1	0
15	γ_{Gs}	γ_{G2s}	$\Psi 2 \gamma_{Qs}$	0	0	-1	0.30	1	0
16	γ_{Gs}	γ_{G2s}	$\Psi 2 \gamma_{Qs}$	0	0	1	-0.30	1	0
17	γ_{Gs}	γ_{G2s}	$\Psi 2 \gamma_{Qs}$	0	0	-1	-0.30	1	0
18	γ_{Gs}	γ_{G2s}	$\Psi 2 \gamma_{Qs}$	0	0	1	0.30	-1	0
19	γ_{Gs}	γ_{G2s}	$\Psi 2 \gamma_{Qs}$	0	0	-1	0.30	-1	0
20	γ_{Gs}	γ_{G2s}	$\Psi 2 \gamma_{Qs}$	0	0	1	-0.30	-1	0
21	γ_{Gs}	γ_{G2s}	$\Psi 2 \gamma_{Qs}$	0	0	-1	-0.30	-1	0

Comb.	Condizione
	Utente 1
1	0.00
2	0.00
3	0.00
4	0.00
5	0.00
6	0.00
7	0.00
8	0.00
9	0.00
10	0.00
11	0.00
12	0.00
13	0.00
14	0.00
15	0.00
16	0.00
17	0.00
18	0.00
19	0.00
20	0.00
21	0.00

Elementi di fondazione A1									
Comb.	Condizione								
	C. perm.(Gk1)	C. p. non str.(Gk2)	C. ese.(Qk)	Delta T(DT)	Tors. acc. X(Mx)	Tors. acc. Y(My)	Sisma X	Sisma Y	Sisma Z
1	γ_{Gns}	γ_{G2ns}	γ_{Qns}	0	0	0	0	0	0
2	γ_{Gns}	γ_{G2ns}	γ_{Qns}	$\Psi 0 \gamma_{Qns}$	0	0	0	0	0
3	γ_{Gns}	γ_{G2ns}	γ_{Qns}	$-\Psi 0 \gamma_{Qns}$	0	0	0	0	0

4	γ_{Gns}	γ_{G2ns}	$\Psi_0\gamma_{Qns}$	γ_{Qns}	0	0	0	0	0
5	γ_{Gns}	γ_{G2ns}	$\Psi_0\gamma_{Qns}$	$-\gamma_{Qns}$	0	0	0	0	0
6	γ_{Gs}	γ_{G2s}	$\Psi_2\gamma_{Qs}$	0	1	0	1	0.30	0
7	γ_{Gs}	γ_{G2s}	$\Psi_2\gamma_{Qs}$	0	-1	0	1	0.30	0
8	γ_{Gs}	γ_{G2s}	$\Psi_2\gamma_{Qs}$	0	1	0	1	-0.30	0
9	γ_{Gs}	γ_{G2s}	$\Psi_2\gamma_{Qs}$	0	-1	0	1	-0.30	0
10	γ_{Gs}	γ_{G2s}	$\Psi_2\gamma_{Qs}$	0	1	0	-1	0.30	0
11	γ_{Gs}	γ_{G2s}	$\Psi_2\gamma_{Qs}$	0	-1	0	-1	0.30	0
12	γ_{Gs}	γ_{G2s}	$\Psi_2\gamma_{Qs}$	0	1	0	-1	-0.30	0
13	γ_{Gs}	γ_{G2s}	$\Psi_2\gamma_{Qs}$	0	-1	0	-1	-0.30	0
14	γ_{Gs}	γ_{G2s}	$\Psi_2\gamma_{Qs}$	0	0	1	0.30	1	0
15	γ_{Gs}	γ_{G2s}	$\Psi_2\gamma_{Qs}$	0	0	-1	0.30	1	0
16	γ_{Gs}	γ_{G2s}	$\Psi_2\gamma_{Qs}$	0	0	1	-0.30	1	0
17	γ_{Gs}	γ_{G2s}	$\Psi_2\gamma_{Qs}$	0	0	-1	-0.30	1	0
18	γ_{Gs}	γ_{G2s}	$\Psi_2\gamma_{Qs}$	0	0	1	0.30	-1	0
19	γ_{Gs}	γ_{G2s}	$\Psi_2\gamma_{Qs}$	0	0	-1	0.30	-1	0
20	γ_{Gs}	γ_{G2s}	$\Psi_2\gamma_{Qs}$	0	0	1	-0.30	-1	0
21	γ_{Gs}	γ_{G2s}	$\Psi_2\gamma_{Qs}$	0	0	-1	-0.30	-1	0

Comb.	Condizione
	Utente 1
1	0.00
2	0.00
3	0.00
4	0.00
5	0.00
6	0.00
7	0.00
8	0.00
9	0.00
10	0.00
11	0.00
12	0.00
13	0.00
14	0.00
15	0.00
16	0.00
17	0.00
18	0.00
19	0.00
20	0.00
21	0.00

I coefficienti utilizzati assumono i seguenti valori:

ELEMENTO	SLV						SLD					
	γ_{G1ns}	γ_{G2ns}	γ_{Qns}	γ_{G1s}	γ_{G2s}	γ_{Qs}	γ_{G1ns}	γ_{G2ns}	γ_{Qns}	γ_{G1s}	γ_{G2s}	γ_{Qs}
ELEMENTO	1.3	1.5	1.5	1.0	1.0	1.0	1.0	1.0	1.0	1.0	1.0	1.0
Fondazione A1	1.3	1.5	1.5	1.0	1.0	1.0	1.0	1.0	1.0	1.0	1.0	1.0

Combinazioni per le verifiche allo Stato limite di esercizio

Le azioni di calcolo presenti sulla struttura e le relative combinazioni di carico nei riguardi degli stati limite di esercizio possono essere riassunte nelle seguenti tabelle:

Combinazioni Caratteristiche:

Elementi della Struttura				
Comb.	Condizione			
	C. perm.(Gk1)	C. p. non str.(Gk2)	C. ese.(Qk)	Delta T(DT)
1	γ_{Gns}	γ_{G2ns}	γ_{Qns}	$\Psi_0\gamma_{Qns}$
2	γ_{Gns}	γ_{G2ns}	γ_{Qns}	$-\Psi_0\gamma_{Qns}$
3	γ_{Gns}	γ_{G2ns}	$\Psi_0\gamma_{Qns}$	γ_{Qns}
4	γ_{Gns}	γ_{G2ns}	$\Psi_0\gamma_{Qns}$	$-\gamma_{Qns}$

Comb.	Condizione
	Utente 1
1	0.00
2	0.00
3	0.00
4	0.00

Elementi di fondazione A1				
Comb.	Condizione			
	C. perm.(Gk1)	C. p. non str.(Gk2)	C. ese.(Qk)	Delta T(DT)
1	γG_{ns}	γG_{2ns}	γQ_{ns}	$\Psi_0 \gamma Q_{ns}$
2	γG_{ns}	γG_{2ns}	γQ_{ns}	$-\Psi_0 \gamma Q_{ns}$
3	γG_{ns}	γG_{2ns}	$\Psi_0 \gamma Q_{ns}$	γQ_{ns}
4	γG_{ns}	γG_{2ns}	$\Psi_0 \gamma Q_{ns}$	$-\gamma Q_{ns}$

Comb.	Condizione
	Utente 1
1	0.00
2	0.00
3	0.00
4	0.00

Elementi di fondazione A2				
Comb.	Condizione			
	C. perm.(Gk1)	C. p. non str.(Gk2)	C. ese.(Qk)	Delta T(DT)
1	γG_{ns}	γG_{2ns}	γQ_{ns}	$\Psi_0 \gamma Q_{ns}$
2	γG_{ns}	γG_{2ns}	γQ_{ns}	$-\Psi_0 \gamma Q_{ns}$
3	γG_{ns}	γG_{2ns}	$\Psi_0 \gamma Q_{ns}$	γQ_{ns}
4	γG_{ns}	γG_{2ns}	$\Psi_0 \gamma Q_{ns}$	$-\gamma Q_{ns}$

Comb.	Condizione
	Utente 1
1	0.00
2	0.00
3	0.00
4	0.00

Combinazioni Frequenti:

Elementi della Struttura				
Comb.	Condizione			
	C. perm.(Gk1)	C. p. non str.(Gk2)	C. ese.(Qk)	Delta T(DT)
1	γG_{ns}	γG_{2ns}	$\Psi_1 \gamma Q_{ns}$	$\Psi_2 \gamma Q_{ns}$
2	γG_{ns}	γG_{2ns}	$\Psi_1 \gamma Q_{ns}$	$-\Psi_2 \gamma Q_{ns}$
3	γG_{ns}	γG_{2ns}	$\Psi_2 \gamma Q_{ns}$	$\Psi_1 \gamma Q_{ns}$
4	γG_{ns}	γG_{2ns}	$\Psi_2 \gamma Q_{ns}$	$-\Psi_1 \gamma Q_{ns}$

Comb.	Condizione
	Utente 1
1	0.00
2	0.00
3	0.00
4	0.00

Elementi di fondazione A1				
Comb.	Condizione			
	C. perm.(Gk1)	C. p. non str.(Gk2)	C. ese.(Qk)	Delta T(DT)
1	γG_{ns}	γG_{2ns}	$\Psi_1 \gamma Q_{ns}$	$\Psi_2 \gamma Q_{ns}$
2	γG_{ns}	γG_{2ns}	$\Psi_1 \gamma Q_{ns}$	$-\Psi_2 \gamma Q_{ns}$
3	γG_{ns}	γG_{2ns}	$\Psi_2 \gamma Q_{ns}$	$\Psi_1 \gamma Q_{ns}$

4	γ_{Gns}	γ_{G2ns}	$\Psi_2\gamma_{Qns}$	$-\Psi_1\gamma_{Qns}$
----------	----------------	-----------------	----------------------	-----------------------

Comb.	Condizione
	Utente 1
1	0.00
2	0.00
3	0.00
4	0.00

Elementi di fondazione A2				
Comb.	Condizione			
	C. perm.(Gk1)	C. p. non str.(Gk2)	C. ese.(Qk)	Delta T(DT)
1	γ_{Gns}	γ_{G2ns}	$\Psi_1\gamma_{Qns}$	$\Psi_2\gamma_{Qns}$
2	γ_{Gns}	γ_{G2ns}	$\Psi_1\gamma_{Qns}$	$-\Psi_2\gamma_{Qns}$
3	γ_{Gns}	γ_{G2ns}	$\Psi_2\gamma_{Qns}$	$\Psi_1\gamma_{Qns}$
4	γ_{Gns}	γ_{G2ns}	$\Psi_2\gamma_{Qns}$	$-\Psi_1\gamma_{Qns}$

Comb.	Condizione
	Utente 1
1	0.00
2	0.00
3	0.00
4	0.00

Combinazioni quasi permanenti :

Elementi della Struttura				
Comb.	Condizione			
	C. perm.(Gk1)	C. p. non str.(Gk2)	C. ese.(Qk)	Delta T(DT)
1	γ_{Gns}	γ_{G2ns}	$\Psi_2\gamma_{Qns}$	$\Psi_2\gamma_{Qns}$
2	γ_{Gns}	γ_{G2ns}	$\Psi_2\gamma_{Qns}$	$-\Psi_2\gamma_{Qns}$

Comb.	Condizione
	Utente 1
1	0.00
2	0.00

Elementi di fondazione A1				
Comb.	Condizione			
	C. perm.(Gk1)	C. p. non str.(Gk2)	C. ese.(Qk)	Delta T(DT)
1	γ_{Gns}	γ_{G2ns}	$\Psi_2\gamma_{Qns}$	$\Psi_2\gamma_{Qns}$
2	γ_{Gns}	γ_{G2ns}	$\Psi_2\gamma_{Qns}$	$-\Psi_2\gamma_{Qns}$

Comb.	Condizione
	Utente 1
1	0.00
2	0.00

Elementi di fondazione A2				
Comb.	Condizione			
	C. perm.(Gk1)	C. p. non str.(Gk2)	C. ese.(Qk)	Delta T(DT)
1	γ_{Gns}	γ_{G2ns}	$\Psi_2\gamma_{Qns}$	$\Psi_2\gamma_{Qns}$
2	γ_{Gns}	γ_{G2ns}	$\Psi_2\gamma_{Qns}$	$-\Psi_2\gamma_{Qns}$

Comb.	Condizione
	Utente 1
1	0.00
2	0.00

I coefficienti utilizzati assumono i seguenti valori:

SLE	Caratteristiche					Frequenti					Q. Permanenti				
ELEMENTO	γ_{Gns}	γ_{Qns}	γ_I	γ_{EG}	γ_{EQ}	γ_{Gns}	γ_{Qns}	γ_I	γ_{EG}	γ_{EQ}	γ_{Gns}	γ_{Qns}	γ_I	γ_{EG}	γ_{EQ}
ELEMENTO	1.0	1.0	1.0	1.0	1.0	1.0	1.0	1.0	1.0	1.0	1.0	1.0	1.0	1.0	1.0
Fondazione A1	1.0	1.0	1.0	1.0	1.0	1.0	1.0	1.0	1.0	1.0	1.0	1.0	1.0	1.0	1.0
Fondazione A2	1.0	1.0	1.0	1.0	1.0	1.0	1.0	1.0	1.0	1.0	1.0	1.0	1.0	1.0	1.0

Tali combinazioni vengono considerate sovrapponendo i diagrammi secondo la tecnica dell'involuppo.

2.4 Procedura di Verifica degli elementi.

2.4.1 Elementi in C.A. .

Le Verifiche relative alle strutture in C.A. si possono riassumere, in funzione degli elementi considerati, nei seguenti tipi:

- Pilastri

Tali elementi vengono verificati utilizzando lo stato sollecitante completo nei riguardi di:

- PressoTensoFlessione Deviata
- Taglio
- Stabilità
- Stato tensionale

- Travi

Tali elementi vengono verificati utilizzando lo stato sollecitante completo nei riguardi di

- PressoTensoFlessione
- Taglio
- Deformabilità
- Stato tensionale
- Fessurazione

- Travi di fondazione

Tali elementi vengono verificati utilizzando lo stato sollecitante completo nei riguardi di

- PressoTensoFlessione
- Taglio
- Stato tensionale
- Fessurazione

Le singole verifiche vengono descritte qui di seguito:

- PressoTensoFlessione Deviata

Le sollecitazioni che vengono considerate in tale verifica sono: Sforzo Normale, Momento Flettente X-Z, Momento Flettente X-Y.

La verifica di resistenza è soddisfatta se la sollecitazione determinata dalla condizione considerata cade all'interno del dominio di sicurezza determinato, attraverso la conoscenza:

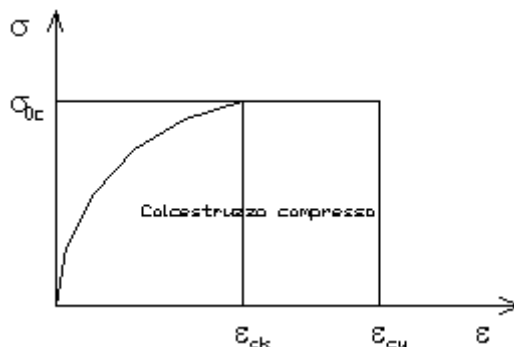
- del comportamento meccanico della sezione in esame;
- delle caratteristiche dei materiali di cui è composta;
- dei coefficienti di sicurezza forniti dalla normativa seguita.

Il calcolo è condotto nelle ipotesi che:

1. Le sezioni rimangano piane fino a rottura;
2. Ci sia perfetta aderenza fra acciaio e calcestruzzo;
3. La deformazione massima del calcestruzzo compresso è pari a 0.0035 nel caso di flessione semplice e composta;

- con asse neutro reale mentre è pari a 0.002 nel caso di compressione semplice;
4. La deformazione massima per l'acciaio teso sia pari a 0.01;
 5. Il calcestruzzo non abbia alcuna capacità di resistenza a trazione.

Il diagramma tensioni-deformazioni assunto per il calcestruzzo è di tipo parabola-rettangolo come indicato nella seguente figura:



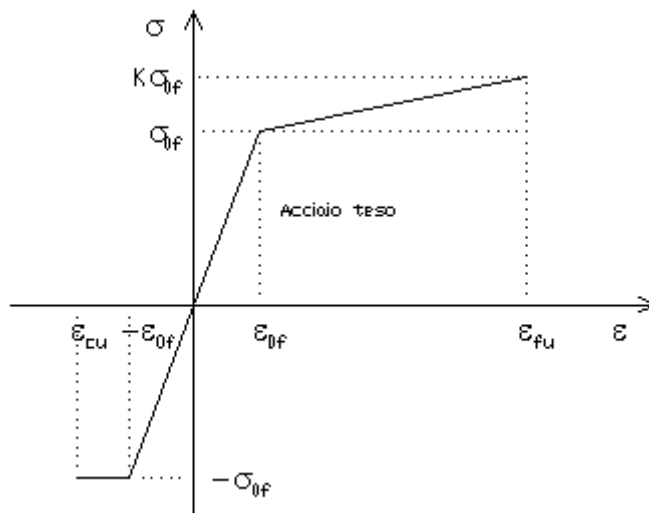
- dove:
- $\epsilon_{ck} = 0.002$;
 - $\epsilon_{cu} = 0.0035$;
 - $\sigma_{0c} = 0.85 \cdot 0.83 \cdot R_{ck} / \gamma_c$;
 - R_{ck} = resistenza caratteristica del calcestruzzo;
 - $\gamma_{m,c}$ = coefficiente di materiale del calcestruzzo;

Le equazioni che descrivono il diagramma sono:

$$\epsilon < \epsilon_{ck} : \sigma(\epsilon) = 1000 \cdot \sigma_{0c} \cdot \epsilon \cdot (1 - 250 \cdot \epsilon);$$

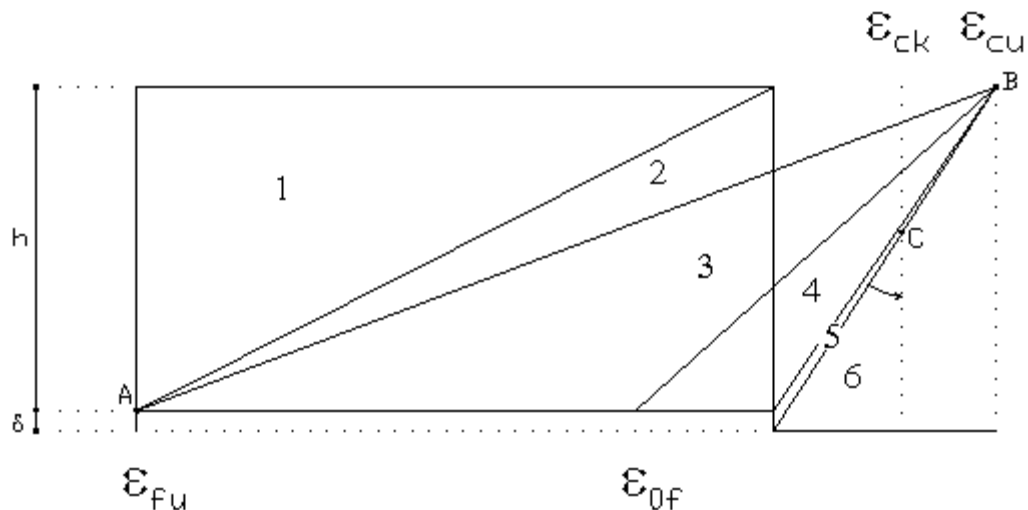
$$\epsilon_{ck} < \epsilon < \epsilon_{cu} : s(\sigma) = \sigma_{0c};$$

Il diagramma tensioni-deformazioni assunto per l'acciaio è indicato nella seguente figura:



- dove:
- $\epsilon_{0f} = \sigma_{0f} / E$;
 - E = Modulo di elasticità dell'acciaio;
 - σ_{0f} = resistenza di calcolo dell'acciaio;
 - k = rapporto di sovrarresistenza (se è pari ad 1 il comportamento è bilineare elastico-perfettamente plastico);
 - f_{yk} = Resistenza caratteristica dell'acciaio
 - γ_m = coefficiente di sicurezza dell'acciaio;
 - ϵ_{fu} = deformazione ultima dell'acciaio;
 - ϵ_{cu} = deformazione ultima del calcestruzzo;

Le limitazioni delle deformazioni unitarie per il conglomerato e per l'acciaio conducono a definire sei diversi campi (o regioni) nei quali potrà trovarsi la retta di deformazione specifica. Tali campi sono descritti nel seguente modo:



Campo 1 : è caratterizzato dall'allungamento massimo tollerabile per l'acciaio pari a ϵ_{fu} . Il diagramma delle deformazioni specifiche appartiene ad un fascio di rette passanti per il punto (A) mentre la distanza dall'asse neutro potrà variare da $-\infty$ a 0. È il caso di trazione semplice o con piccola eccentricità; la sezione risulta interamente tesa. La crisi si ha per cedimento dell'acciaio teso.

Campo 2 : è caratterizzato dall'allungamento massimo tollerabile per l'acciaio pari a ϵ_{fu} e dalla rotazione del diagramma attorno al punto (A). La deformazione specifica del calcestruzzo varia da 0 al valore massimo del calcestruzzo compresso (ϵ_{cu}) mentre la distanza dell'asse neutro dal lembo compresso può variare da 0 a $0.259h$. La sezione risulterà in parte tesa ed in parte compressa e quindi sarà sollecitata a flessione semplice o composta.

Campo 3 : è caratterizzato dall'accorciamento massimo del conglomerato pari a ϵ_{cu} . Le rette di deformazione appartengono ad un fascio passante per (B). La massima tensione del calcestruzzo in questa regione è pari a quella di rottura di calcolo mentre l'armatura è ancora deformata in campo plastico. La sezione risulterà in parte tesa ed in parte compressa e quindi sarà sollecitata a flessione semplice o composta.

Campo 4 : è caratterizzato dall'accorciamento massimo del conglomerato pari a ϵ_{cu} . Le rette di deformazione appartengono ad un fascio passante per (B). La massima tensione del calcestruzzo in questa regione è pari a quella di rottura di calcolo mentre l'armatura è sollecitata con tensioni inferiori allo snervamento e può risultare anche scarica. La sezione risulterà in parte tesa ed in parte compressa e quindi sarà sollecitata a flessione semplice o composta.

Campo 5 : è caratterizzato dall'accorciamento massimo del conglomerato pari a ϵ_{cu} . Le rette di deformazione appartengono ad un fascio passante per (B) mentre la distanza dell'asse neutro varia da h ad $h+d$. L'armatura in tale regione è sollecitata a compressione e pertanto tutta la sezione è compressa; è questo il caso della flessione composta.

Campo 6 : è caratterizzato dall'accorciamento massimo del conglomerato compresso che varia fra ϵ_{cu} e ϵ_{ck} . Le rette di deformazione specifica appartengono ad un fascio passante per (C) e la distanza dell'asse neutro varia fra 0 e $-\infty$. La distanza di (C) dal lembo superiore vale $3h/7$. La sezione risulta sollecitata a compressione semplice o composta.

- Taglio

Il calcolo del taglio viene eseguito secondo il metodo di Ritter-Morsch.

Per gli elementi in cui è richiesta la verifica a taglio, deve risultare:

$$V_{Sd} \leq \min[V_{Rsd}, V_{Rcd}]$$

dove:

- V_{Sd} : taglio sollecitante il calcolo;
- $V_{Rsd} = 0.9 d (A_{sw} / s) f_{yd} (\text{ctg}\alpha + \text{ctg}\theta) \sin\alpha$;
- $V_{Rcd} = 0.9 d b_w \alpha_c f'_{cd} (\text{ctg}\alpha + \text{ctg}\theta) / (1 + \text{ctg}^2\theta)$;
- d : altezza utile della sezione;
- A_{sw} : area dell'armatura trasversale;
- s : passo dell'armatura trasversale;;

f_{yd} : resistenza a snervamento dell'acciaio;
 b_w : larghezza minima della sezione lungo l'altezza efficace;

Il contributo delle armature a taglio è somma del contributo delle staffe e degli eventuali sagomati. In ogni caso l'aliquota massima che può essere affidata ai sagomati è il 50% dello sforzo di taglio massimo.

- Stabilità

La verifica di instabilità degli elementi snelli in c.a. viene condotta attraverso un'analisi del secondo ordine che tiene in conto degli effetti flessionali dell'azione assiale sulla configurazione deformata degli elementi stessi.

Si sono assunti legami fra le azioni interne e le deformazioni che mettono in conto il comportamento non lineare dei materiali e si è trascurato il contributo del calcestruzzo teso.

Il valore limite della snellezza per ogni colonna è stato assunto pari a:

$$\lambda_{lim} = 25 / \sqrt{v}$$

dove:

$$v = N_{ed} / (A_c f_{cd})$$

$$C = 1.7 - r_m$$

$r_m = M_{01} / M_{02}$ è il rapporto fra i momenti flettenti del primo ordine alle due estremità del pilastro, positivo se i due momenti sono discordi sulla trave ($|M_{02}| \geq |M_{01}|$).

La snellezza della colonna da confrontare con λ_{lim} è pari a:

$$\lambda = \lambda_0 / i$$

λ_0 è la lunghezza libera d'inflessione definita in base ai vincoli di estremità ed i il raggio d'inerzia della sezioni in calcestruzzo non fessurato.

Con riferimento al punto 4.1.2.3.9.3 del D.M. 17/01/2018 in aggiunta al momento sollecitante esterno viene sommata un'aliquota dovuta ad un'eccentricità dello sforzo normale pari a $1/300$ dell'altezza della colonna (difetto di rettilineità).

In aggiunta viene considerata un'aliquota aggiuntiva che tenga conto dell'inflessione della colonna pari a $e_2 := 0.222 e_{fy} l_0^2/h$.

- Stato tensionale

Tale verifica rientra nell'ambito della verifica di esercizio. Il calcolo delle tensioni si ottiene sfruttando le ipotesi tradizionali per il calcolo del cemento armato ordinario, e cioè:

1. assunzione dei materiali elastico lineari;
2. conservazione delle sezioni piane al crescere dei carichi;
3. perfetta aderenza tra acciaio e calcestruzzo;
4. resistenza nulla a trazione del calcestruzzo;

Inoltre può essere stabilito un coefficiente di omogeneizzazione diverso dal valore ordinario.

Le tensioni di esercizio si possono calcolare considerando le combinazioni di carico caratteristica, frequente e quasi permanente. La verifica consiste nel confrontare le tensioni di calcolo con quelle limite dei materiali.

- Fessurazione

Poiché la fessurazione in strutture in cemento armato ordinario è quasi inevitabile, bisogna limitare tali entità in modo da non pregiudicare il corretto funzionamento della struttura.

La fessurazione può essere limitata assicurando un minimo di area di armatura longitudinale che può essere calcolata dalla seguente espressione:

$$A_s = k_c k f_{ct,eff} (A_{ct} / \sigma_s)$$

dove:

A_s : area di armatura nella zona tesa;

k_c : coefficiente che tiene conto del tipo di distribuzione delle tensioni nella sezione subito prima la fessurazione.

Assume valore 0.4 per flessione senza compressione assiale, e 1 per trazione;

- k : coefficiente che tiene conto degli effetti di tensioni auto-equilibrate non uniformi;
 $f_{ct,eff}$: resistenza efficace a trazione della sezione al momento in cui si suppone insorgano le prime fessure. In mancanza di dati si utilizza il valore di 3 N/mm²;
 A_{ct} : area del calcestruzzo in zona tesa subito prima della fessurazione;
 σ_s : massima tensione ammessa nell'armatura subito dopo la formazione della fessura.

Il calcolo delle ampiezze delle fessure si effettua considerando anche la parte di calcestruzzo reagente a trazione utilizzando la seguente espressione:

$$W_k = \beta s_{rm} \varepsilon_{sm}$$

- W_k : ampiezza di calcolo delle fessure;
 β : coefficiente di correlazione tra l'ampiezza media delle fessure e il valore di calcolo;
 s_{rm} : distanza media finale tra le fessure;
 ε_{sm} : deformazione che tiene conto, nella combinazione di carico considerata, degli effetti "tension stiffening", del ritiro;

La quantità ε_{sm} si ottiene dalla seguente espressione:

$$\varepsilon_{sm} = (\sigma_s / E_s) [1 - \beta_1 \beta_2 (\sigma_{sr} / \sigma_s)^2]$$

dove:

- σ_s : tensione dell'acciaio teso calcolata a sezione fessurata;
 E_s : modulo elastico dell'acciaio;
 σ_{sr} : tensione dell'acciaio teso calcolata nella sezione per una condizione di carico che induce alla prima fessurazione;
 β_1 : coefficiente di aderenza delle barre. Assume valore 0.5 per barre lisce e 1 per barre ad aderenza migliorata;
 β_2 : coefficiente di durata dei carichi. Assume valore 0.5 per carichi di lunga durata o per molti cicli ripetuti e 1 per un singolo carico di breve durata.

La quantità s_{rm} si ottiene dalla seguente espressione:

$$s_{rm} = 50 + 0.25 k_1 k_2 (\phi / \rho_r)$$

dove:

- k_1 : coefficiente di aderenza delle barre. Assume valore 1.6 per barre lisce e 0.8 per barre ad aderenza migliorata;
 k_2 : coefficiente che tiene conto della forma del diagramma delle deformazioni. Assume valore 0.5 per flessione e 1 per trazione pura;
 ϕ : diametro delle barre in mm. Se si utilizzano più diametri si utilizza il diametro medio.

La fessurazione causata dalle azioni tangenziali si considera contenuta in limiti accettabili se si adotta un passo delle staffe. Tale verifica non è necessaria in elementi in cui non è richiesta l'armatura a taglio.

- Verifiche a deformabilità

Per il calcolo della deformabilità di elementi inflessi si utilizza il metodo che pesa le curvature nelle due situazioni caratteristiche degli elementi in c.a. ("I" sezione integra; "II" sezione fessurata). A tale riguardo la curvatura in una generica sezione può essere valutata con la seguente relazione:

$$\theta = (1-\zeta) \theta_I + \zeta \theta_{II}$$

dove ζ rappresenta l'effetto irrigidente del calcestruzzo tra due fessure consecutive (tension stiffening):

$$\zeta = 1 - c(M_{cr}/M)^2$$

dove:

- c : pari a 1 per carichi permanenti;
 M_{cr} : momento di prima fessurazione;
 M : momento sollecitante.

Per calcolare la freccia di un elemento, si divide in “n” conci uguali e si calcola la curvatura di ogni concio riferita alla coordinata xi. La freccia relativa alla sezione xj è pari a:

$$\delta_j = \varphi_A x_j - \sum (x_j - x_i) \theta_i \Delta x$$

dove:

- φ_A : rotazione dell'estremo iniziale dell'elemento;
- l : lunghezza dell'elemento;
- Δx : lunghezza del concio;
- θ_i : curvatura relativa al concio.

- Particolari prescrizioni per distribuzione irregolare di tamponamenti ed impianti

Nel caso di distribuzione fortemente irregolare in altezza di tamponamenti ed impianti, deve essere considerata la possibilità di forti concentrazioni di danno ai livelli caratterizzati da significativa riduzione del numero di tali elementi.

Questo requisito si intende soddisfatto incrementando le azioni di calcolo per gli elementi verticali (pilastri e pareti) dei livelli con riduzione dei tamponamenti come descritto nel paragrafo 7.2.3 delle N.T.C. I fattori di sovrarresistenza utilizzati nel presente calcolo sono:

Impalcato	Fatt. Sovr.
1	1.00

- Operazioni per il controllo della duttilità (DUT) richiesta dagli elementi in c.a

Nel caso di comportamento strutturale dissipativo il comportamento sismico della struttura è largamente dipendente dal comportamento delle sue zone dissipative, esse devono formarsi ove previsto e mantenere, in presenza di azioni cicliche, la capacità di trasmettere le necessarie sollecitazioni e di dissipare energia, garantendo la capacità in duttilità relativa alla classe di duttilità scelta.

I dettagli costruttivi delle zone dissipative e delle connessioni tra queste zone e le restanti parti della struttura, nonché dei diversi elementi strutturali tra loro, sono fondamentali per un corretto comportamento sismico e devono essere esaurientemente specificati negli elaborati di progetto.

Nel caso di analisi lineare la verifica di duttilità si può ritenere soddisfatta, rispettando per tutti gli elementi strutturali, sia primari sia secondari, le regole specifiche per i dettagli costruttivi precisate dalle norme per le diverse tipologie costruttive.

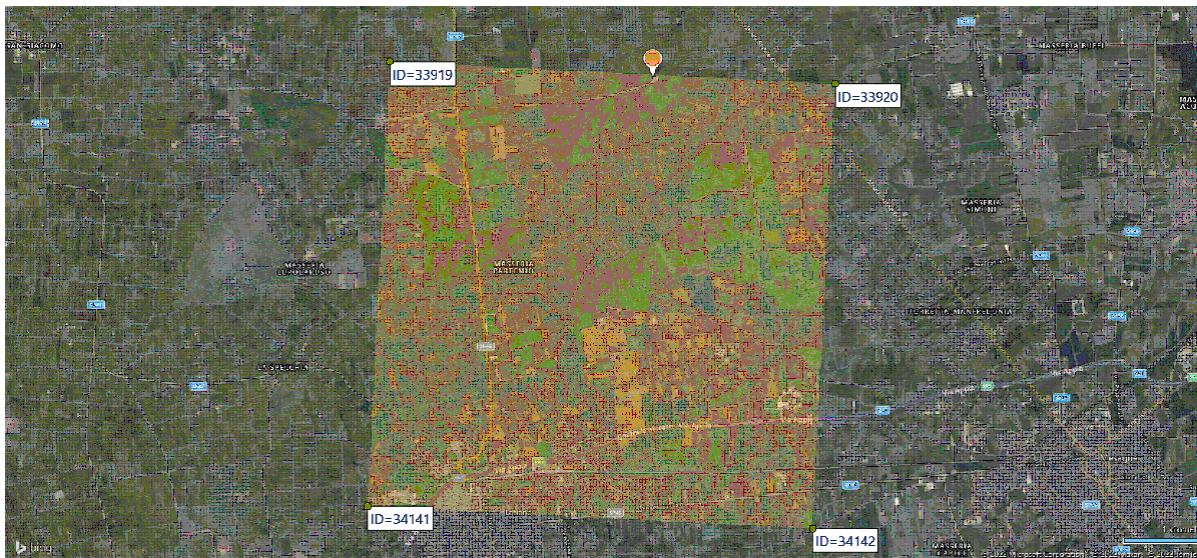
3 Dati

3.1 Dati Generali

Numero Impalcati : 1
 Numero delle tipologie di sezioni trasversali usate : 0
 Numero delle tipologie di solaio utilizzate : 0

Impalcato	Quota assoluta min [cm]	Quota assoluta max [cm]	Quota relativa min [cm]	Quota relativa max [cm]	Numero Colonne	Numero Travi
Fondazione	0.00	0.00	0.00	0.00	0	0
Piano 1	0.00	248.00	248.00	248.00	0	0

Coordinate (Datum WGS84) del sito : Latitudine = 40.6031° - Longitudine = 17.7434°
 Coordinate (Datum ED50) del sito : Latitudine = 40.6040° - Longitudine = 17.7442°

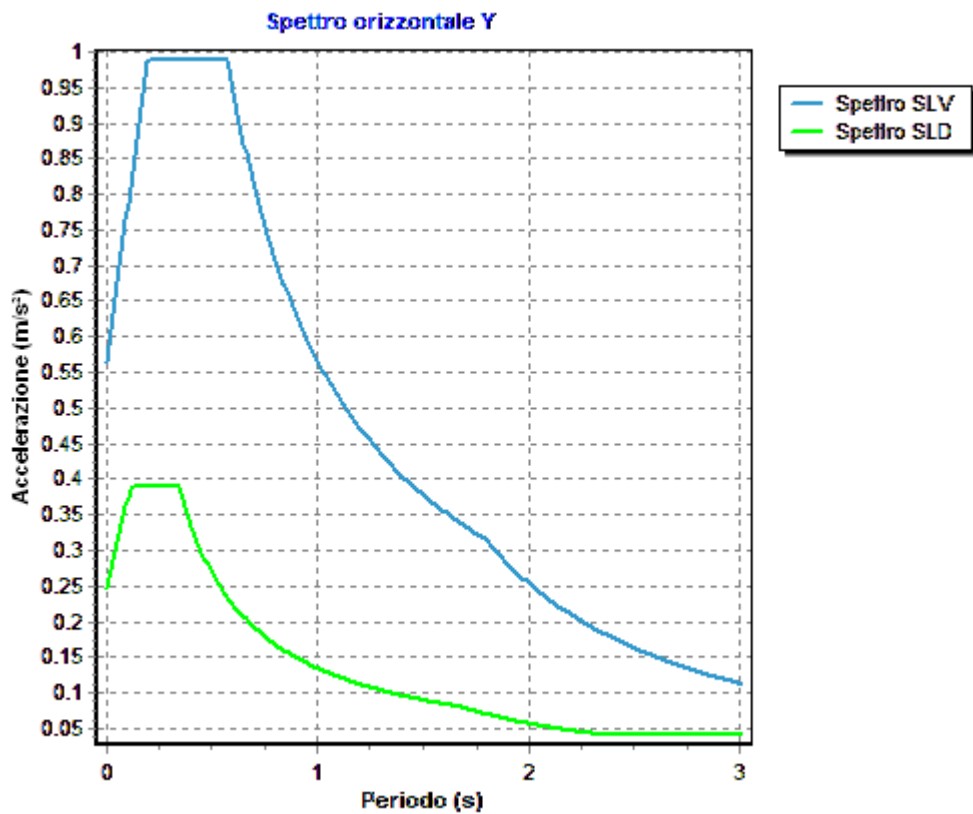
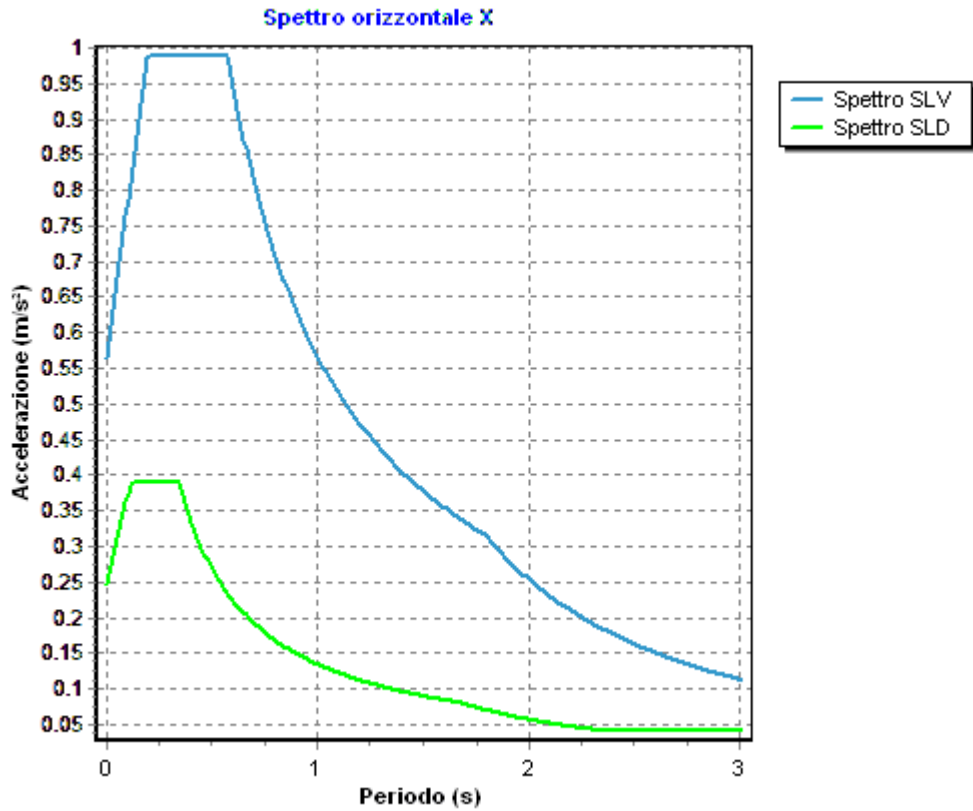


Identificativi e coordinate (Datum ED50) dei punti che includono il sito		
Numero punto	Latitudine [°]	Longitudine [°]
33919	40.6061	17.7053
33920	40.6036	17.7711
34141	40.5561	17.7020
34142	40.5537	17.7678

Zona sismica : SI
 Suolo di fondazione : B
 Vita nominale : 50
 Classe di duttilità: Non dissipativa
 Tipo di opera : Opere ordinarie
 Classe d'uso : II
 Vita di riferimento : 50
 Categoria topografica : T1
 Coefficiente smorzamento viscoso : 0.05

	Parametri dello spettro di risposta orizzontale							
	SLV		SLC		SLD		SLO	
Tempo di ritorno	475		975		50		30	
Accelerazione sismica	0.048		0.057		0.021		0.016	
Coefficiente Fo	2.626		2.787		2.371		2.364	
Periodo T _c *	0.443		0.468		0.233		0.159	
Coefficiente S _s	1.20		1.20		1.20		1.20	
Coefficiente di amplificazione topografica St	1.00		1.00		1.00		1.00	
Prodotto S _s · St	1.20		1.20		1.20		1.20	
Periodo T _B	0.19		0.20		0.11		0.08	
Periodo T _C	0.57		0.60		0.34		0.25	
Periodo T _D	1.79		1.83		1.68		1.66	
	x	y	x	y	x	y	x	y
Coefficiente η	0.667	0.667	1.000	1.000	*	*	*	*

* η pari a 1 per gli spostamenti e 2/3 per le sollecitazioni.



Fattore di comportamento direzione y (qy)	: 1.50
Fattore di comportamento direzione z (qz)	: 1.50
Modulo di Winkler traslazionale	: 5.00 daN/cm ³
Modulo di Winkler tangenziale	: 2.50 daN/cm ³
Delta Termico aste di elevazione	: 0
Delta Termico aste di fondazione	: 0
Modulo di omogeneizzazione (per SLE)	: 15
Classe di servizio per le strutture in legno	: 2

Coeff. di riduzione per rigidità fessurata:

SLV-SLC

Pilastrini		
	Assiale	da Carico Assiale
	Flessione	da Carico Assiale
	Taglio	da Carico Assiale
Travi		
	Assiale	da Carico Assiale
	Flessione	da Carico Assiale
	Taglio	da Carico Assiale
Pareti		
	Nel Piano	: 1.00
	Fuori Piano	: 1.00
Platee		
	Nel Piano	: 1.00
	Fuori Piano	: 1.00

SLD-SLO

Pilastrini		
	Assiale	da Carico Assiale
	Flessione	da Carico Assiale
	Taglio	da Carico Assiale
Travi		
	Assiale	da Carico Assiale
	Flessione	da Carico Assiale
	Taglio	da Carico Assiale
Pareti		
	Nel Piano	: 1.00
	Fuori Piano	: 1.00
Platee		
	Nel Piano	: 1.00
	Fuori Piano	: 1.00

Delta termico

Slv	: 0.50
Sle	: 0.75

Copriferro Piastre di Fondazione	: 4.00 cm
Copriferro Piastre di Elevazione	: 2.00 cm

3.2 Elenco e Caratteristiche dei materiali.

Nell'ambito del progetto si è fatto uso dei seguenti materiali divisi per categoria di appartenenza:

b - Calcestruzzo

Nome	Classe	Rck [daN/c m ²]	v	ps [daN/c m ³]	αt [1/°C]	Ec [daN/c m ²]	FC	γm,c	Ect/Ec	fc,k [daN/cm ²]	fcm [daN/c m ²]	fed SLU [daN/c m ²]	fctd SLU [daN/c m ²]	fed SLD [daN/c m ²]	fctd SLD [daN/c m ²]	fctk,0.05 [daN/c m ²]	fctm [daN/c m ²]	εc2 [%]	εcu2 [%]
C25/30	C25/30	300	0.15	2500	1.0E-005	314758.1	-	1.50	0.50	250.0	-	141.7	12.0	212.5	18.0	18.0	25.6	2.00	3.50
pareti	C25/30	300	0.15	250	1.0E-005	314758.1	-	1.50	0.50	250.0	-	141.7	12.0	212.5	18.0	18.0	25.6	2.00	3.50

c - Acciaio per C.A.

Nome	Tipo	γ_m	FC	Es [daN/cm ²]	fyk [daN/cm ²]	ftk [daN/cm ²]	fd SLU [daN/cm ²]	fd SLD [daN/cm ²]	fd SLE [daN/cm ²]	k	ϵ_{ud} [%]
B450C	B450C	1.15	-	2100000.0	4500.0	5400.0	3913.0	4500.0	3913.0	1.00	10.00

3.3 Elenco e caratteristiche delle colonne stratigrafiche.

Nell'ambito del progetto si è fatto uso delle seguenti colonne stratigrafiche:

Caratteristiche delle colonne stratigrafiche:

- Colonna : nome della colonna stratigrafica;
 Filo : filo fisso al quale appartiene la colonna stratigrafica;
 Impalcato : Impalcato al quale appartiene la colonna stratigrafica;
 Falda : Presenza della falda;
 Prof. Falda : Profondità della falda (se è presente);
 Spicc. Fond. : Quota dell'estradosso della fondazione rispetto al piano campagna;
 No. Strati : Numero degli strati della colonna stratigrafica.
 RQD : (Rock Quality Designation) grado di fratturazione dell'ammasso roccioso in [0-1]

Filo	Colonna	Impalcato	Falda	Prof. Falda [cm]	Spicc. Fond. [cm]	No. Strati	RQD
1	Colonna 1	Fondazione	Non Presente	-	0.00	1	-
2	Colonna 1	Fondazione	Non Presente	-	0.00	1	-
3	Colonna 1	Fondazione	Non Presente	-	0.00	1	-
4	Colonna 1	Fondazione	Non Presente	-	0.00	1	-

Caratteristiche degli strati appartenenti alle colonne stratigrafiche:

- Colonna : nome della colonna stratigrafica;
 Strato : nome dello strato appartenente la colonna stratigrafica;
 Spess. : Spessore dello strato;
 Peso : Peso dell'unità di volume dello strato;
 Peso eff. : Peso dell'unità di volume efficace dello strato;
 NSPT : Numero di colpi medio misurato nello strato;
 Qc : Resistenza alla punta media misurata nello strato;
 ϕ : Angolo di attrito del terreno;
 C : Coesione drenata del terreno;
 Cu : Coesione non drenata del terreno;
 E : Modulo elastico del terreno;
 G : Modulo di taglio del terreno;
 ν_t : Coefficiente di Poisson;
 E_{ed} : Modulo Edometrico;
 OCR : Grado di sovraconsolidazione del terreno.

Colonna	Strato	Spess. [cm]	Peso [daN/m ³]	Peso eff. [daN/m ³]	NSPT	Qc [daN/cm ²]	ϕ [°]	C [daN/cm ²]	Cu [daN/cm ²]	E [daN/cm ²]	G [daN/cm ²]	ν_t	E _{ed} [daN/cm ²]	OCR
Colonna 1	Calcari fratturati	350.0	1800.0	800.0	-	-	28.0	0.05	0.00	5090.00	1880.00	0.35	-	1.00

3.4 Elenco dei carichi.

3.4.1 Pesi propri unitari - G1.

Impalcato	Solai [daN/m ²]	Balconi [daN/m ²]	Scale [daN/m ²]

Fondazione	-	-	-
Piano 1	-	-	-

- Analisi dei Carichi -

3.4.2 Carichi Permanenti unitari - G2.

Impalcato	Solai [daN/m ²]	Balconi [daN/m ²]	Scale [daN/m ²]	Influenza Tramezzi [daN/m ²]	Tamponature [daN/m]
Fondazione	150	150	150	100	582
Piano 1	150	150	150	0	0

- Analisi dei Carichi -

Fondazione

Influenza Tramezzi

Il peso proprio degli elementi divisorii interni viene ragguagliato ad un carico permanente portato uniformemente distribuito come definito dal punto 3.1.3.1 - Elementi divisorii interni (D.M. 17/01/2018)

Piano 1

3.4.3 Carichi Variabili unitari - Q.

Le intensità assunte per i carichi variabili verticali ripartiti sono riportate nella seguente tabella:

Impalcato	Carichi d'esercizio [daN/m ²]		
	Solai	Balconi	Scale
Fondazione	200	400	400
Piano 1	200	400	400

3.4.4 Pesì Impalcati.

Ai fini della valutazione dei pesi "W" a livello dei vari impalcati, si tiene conto dei carichi di tipo G1 relativi agli elementi strutturali e dei carichi di tipo G2 relativi agli elementi non strutturali sommati ai sovraccarichi d'esercizio Q_k moltiplicati per una aliquota Ψ_{2i} (determinata dalla destinazione d'uso dell'opera ai vari piani

$$W_i = G1_i + G2_i + \Psi_{2i} \cdot Q_{ki}$$

Dove il pedice "i" è il piano i-esimo della struttura.

Impalcato	Destinazione	Ψ _{2i}
Fondazione	Categoria A: Ambienti ad uso residenziale	0.3
Piano 1	Categoria A: Ambienti ad uso residenziale	0.3

Per balconi e scale verranno usati i coefficienti calcolati come i maggiori tra quelli relativi alla categoria di carico di piano ed i seguenti:

Cat.	Destinazione	Ψ _{2i}
C2	Balconi, ballatoi e scale	0.6

Imp. Reale	G1 [daN]	G2 [daN]	Ψ ₂ · Q _k [daN]	W (SLV-SLD) [daN]
0	8867.00	20475.00	472.50	29814.50
1	992.00	480.00	192.00	1664.00

3.5 Elenco e Caratteristiche delle sezioni trasversali.

3.6 Geometria Struttura.

3.6.1 Fili Fissi.

Numero : numerazione del filo fisso.
 Ascissa : coordinata X del filo fisso.
 Ordinata : coordinata Y del filo fisso.
 Angolo : angolo del filo fisso (in gradi);
 Tipo : tipo del filo fisso.

Numero	Ascissa [cm]	Ordinata [cm]	Quota [cm]	Angolo [°]	Tipo
1	0.00	0.00	0.00	0.00	7
2	0.00	350.00	0.00	0.00	1
3	450.00	350.00	0.00	0.00	3
4	450.00	0.00	0.00	0.00	9

3.6.2 Caratteristiche dei nodi.

I dati seguenti riportano tutte le caratteristiche relative ai nodi che definiscono la struttura ed in modo particolare:

Nodo : numerazione interna del nodo.
 Coordinate : coordinate del nodo secondo il sistema di riferimento globale cartesiano.
 Imp. : impalcato di appartenenza del nodo.
 Slave : nodo dipendente da un nodo MASTER definito nella tabella specifica;
 Vincoli : eventuali vincoli esterni del nodo in ognuna delle 6 direzioni:
 x : direzione X rispetto al sistema di riferimento globale;
 y : direzione Y rispetto al sistema di riferimento globale;
 z : direzione Z rispetto al sistema di riferimento globale;
 Rx : rotazione attorno all'asse X del sistema di riferimento globale;
 Ry : rotazione attorno all'asse Y del sistema di riferimento globale;
 Rz : rotazione attorno all'asse Z del sistema di riferimento globale;

Inoltre:
 np : non presenza di vincoli;
 p : valore infinito della rigidezza;
 Kt : valore finito delle rigidezze traslazionali da leggere nella tabella specifica;
 Kr : valore finito delle rigidezze rotazionali da leggere nella tabella specifica;

Masse Nodali:

M : valore della massa traslazionale
 MIx : valore del momento d'inerzia della massa attorno all'asse X
 MIy : valore del momento d'inerzia della massa attorno all'asse Y
 MIz : valore del momento d'inerzia della massa attorno all'asse Z

Nodo	Coordinate [cm]			Impalcato	Slave	Vincoli						Masse Nodali			
	x	y	z			x	y	z	Rx	Ry	Rz	M [daNM]	MIx [daNM*cm ²]	MIy [daNM*cm ²]	MIz [daNM*cm ²]
1	0.0	0.0	0.0	Fondazione	-	np	np	np	np	np	np	0.00	0.00	0.00	0.00
2	0.0	350.0	0.0	Fondazione	-	np	np	np	np	np	np	0.00	0.00	0.00	0.00
3	450.0	350.0	0.0	Fondazione	-	np	np	np	np	np	np	0.00	0.00	0.00	0.00
4	450.0	0.0	0.0	Fondazione	-	np	np	np	np	np	np	0.00	0.00	0.00	0.00
5	0.0	0.0	248.0	Piano 1	M1	np	np	np	np	np	np	0.00	0.00	0.00	0.00
6	0.0	350.0	248.0	Piano 1	M1	np	np	np	np	np	np	0.00	0.00	0.00	0.00
7	450.0	350.0	248.0	Piano 1	M1	np	np	np	np	np	np	0.00	0.00	0.00	0.00
8	450.0	0.0	248.0	Piano 1	M1	np	np	np	np	np	np	0.00	0.00	0.00	0.00
9	90.0	350.0	0.0	Fondazione	-	np	np	np	np	np	np	0.00	0.00	0.00	0.00
10	180.0	350.0	0.0	Fondazione	-	np	np	np	np	np	np	0.00	0.00	0.00	0.00
11	270.0	350.0	0.0	Fondazione	-	np	np	np	np	np	np	0.00	0.00	0.00	0.00
12	360.0	350.0	0.0	Fondazione	-	np	np	np	np	np	np	0.00	0.00	0.00	0.00
13	450.0	262.5	0.0	Fondazione	-	np	np	np	np	np	np	0.00	0.00	0.00	0.00
14	450.0	175.0	0.0	Fondazione	-	np	np	np	np	np	np	0.00	0.00	0.00	0.00
15	450.0	87.5	0.0	Fondazione	-	np	np	np	np	np	np	0.00	0.00	0.00	0.00
16	360.0	0.0	0.0	Fondazione	-	np	np	np	np	np	np	0.00	0.00	0.00	0.00

Relazione di calcolo -

17	270.0	0.0	0.0	Fondazione	-	np	np	np	np	np	np	0.00	0.00	0.00	0.00
18	180.0	0.0	0.0	Fondazione	-	np	np	np	np	np	np	0.00	0.00	0.00	0.00
19	90.0	0.0	0.0	Fondazione	-	np	np	np	np	np	np	0.00	0.00	0.00	0.00
20	0.0	87.5	0.0	Fondazione	-	np	np	np	np	np	np	0.00	0.00	0.00	0.00
21	0.0	175.0	0.0	Fondazione	-	np	np	np	np	np	np	0.00	0.00	0.00	0.00
22	0.0	262.5	0.0	Fondazione	-	np	np	np	np	np	np	0.00	0.00	0.00	0.00
23	0.0	87.5	248.0	Piano 1	M1	np	np	np	np	np	np	0.00	0.00	0.00	0.00
24	0.0	175.0	248.0	Piano 1	M1	np	np	np	np	np	np	0.00	0.00	0.00	0.00
25	0.0	262.5	248.0	Piano 1	M1	np	np	np	np	np	np	0.00	0.00	0.00	0.00
26	0.0	0.0	165.3	Piano 1	-	np	np	np	np	np	np	0.00	0.00	0.00	0.00
27	0.0	0.0	82.7	Piano 1	-	np	np	np	np	np	np	0.00	0.00	0.00	0.00
28	0.0	350.0	165.3	Piano 1	-	np	np	np	np	np	np	0.00	0.00	0.00	0.00
29	0.0	350.0	82.7	Piano 1	-	np	np	np	np	np	np	0.00	0.00	0.00	0.00
30	360.0	0.0	248.0	Piano 1	M1	np	np	np	np	np	np	0.00	0.00	0.00	0.00
31	270.0	0.0	248.0	Piano 1	M1	np	np	np	np	np	np	0.00	0.00	0.00	0.00
32	180.0	0.0	248.0	Piano 1	M1	np	np	np	np	np	np	0.00	0.00	0.00	0.00
33	90.0	0.0	248.0	Piano 1	M1	np	np	np	np	np	np	0.00	0.00	0.00	0.00
34	450.0	0.0	165.3	Piano 1	-	np	np	np	np	np	np	0.00	0.00	0.00	0.00
35	450.0	0.0	82.7	Piano 1	-	np	np	np	np	np	np	0.00	0.00	0.00	0.00
36	90.0	350.0	248.0	Piano 1	M1	np	np	np	np	np	np	0.00	0.00	0.00	0.00
37	180.0	350.0	248.0	Piano 1	M1	np	np	np	np	np	np	0.00	0.00	0.00	0.00
38	270.0	350.0	248.0	Piano 1	M1	np	np	np	np	np	np	0.00	0.00	0.00	0.00
39	360.0	350.0	248.0	Piano 1	M1	np	np	np	np	np	np	0.00	0.00	0.00	0.00
40	450.0	350.0	165.3	Piano 1	-	np	np	np	np	np	np	0.00	0.00	0.00	0.00
41	450.0	350.0	82.7	Piano 1	-	np	np	np	np	np	np	0.00	0.00	0.00	0.00
42	450.0	262.5	248.0	Piano 1	M1	np	np	np	np	np	np	0.00	0.00	0.00	0.00
43	450.0	175.0	248.0	Piano 1	M1	np	np	np	np	np	np	0.00	0.00	0.00	0.00
44	450.0	87.5	248.0	Piano 1	M1	np	np	np	np	np	np	0.00	0.00	0.00	0.00
45	0.0	262.5	82.7	Piano 1	-	np	np	np	np	np	np	0.00	0.00	0.00	0.00
46	0.0	262.5	165.3	Piano 1	-	np	np	np	np	np	np	0.00	0.00	0.00	0.00
47	0.0	175.0	82.7	Piano 1	-	np	np	np	np	np	np	0.00	0.00	0.00	0.00
48	0.0	175.0	165.3	Piano 1	-	np	np	np	np	np	np	0.00	0.00	0.00	0.00
49	0.0	87.5	165.3	Piano 1	-	np	np	np	np	np	np	0.00	0.00	0.00	0.00
50	0.0	87.5	82.7	Piano 1	-	np	np	np	np	np	np	0.00	0.00	0.00	0.00
51	90.0	0.0	82.7	Piano 1	-	np	np	np	np	np	np	0.00	0.00	0.00	0.00
52	90.0	0.0	165.3	Piano 1	-	np	np	np	np	np	np	0.00	0.00	0.00	0.00
53	180.0	0.0	82.7	Piano 1	-	np	np	np	np	np	np	0.00	0.00	0.00	0.00
54	180.0	0.0	165.3	Piano 1	-	np	np	np	np	np	np	0.00	0.00	0.00	0.00
55	270.0	0.0	82.7	Piano 1	-	np	np	np	np	np	np	0.00	0.00	0.00	0.00
56	270.0	0.0	165.3	Piano 1	-	np	np	np	np	np	np	0.00	0.00	0.00	0.00
57	360.0	0.0	165.3	Piano 1	-	np	np	np	np	np	np	0.00	0.00	0.00	0.00
58	360.0	0.0	82.7	Piano 1	-	np	np	np	np	np	np	0.00	0.00	0.00	0.00
59	360.0	350.0	82.7	Piano 1	-	np	np	np	np	np	np	0.00	0.00	0.00	0.00
60	360.0	350.0	165.3	Piano 1	-	np	np	np	np	np	np	0.00	0.00	0.00	0.00
61	270.0	350.0	82.7	Piano 1	-	np	np	np	np	np	np	0.00	0.00	0.00	0.00
62	270.0	350.0	165.3	Piano 1	-	np	np	np	np	np	np	0.00	0.00	0.00	0.00
63	180.0	350.0	82.7	Piano 1	-	np	np	np	np	np	np	0.00	0.00	0.00	0.00
64	180.0	350.0	165.3	Piano 1	-	np	np	np	np	np	np	0.00	0.00	0.00	0.00
65	90.0	350.0	165.3	Piano 1	-	np	np	np	np	np	np	0.00	0.00	0.00	0.00
66	90.0	350.0	82.7	Piano 1	-	np	np	np	np	np	np	0.00	0.00	0.00	0.00
67	450.0	87.5	82.7	Piano 1	-	np	np	np	np	np	np	0.00	0.00	0.00	0.00
68	450.0	87.5	165.3	Piano 1	-	np	np	np	np	np	np	0.00	0.00	0.00	0.00
69	450.0	175.0	82.7	Piano 1	-	np	np	np	np	np	np	0.00	0.00	0.00	0.00
70	450.0	175.0	165.3	Piano 1	-	np	np	np	np	np	np	0.00	0.00	0.00	0.00
71	450.0	262.5	165.3	Piano 1	-	np	np	np	np	np	np	0.00	0.00	0.00	0.00
72	450.0	262.5	82.7	Piano 1	-	np	np	np	np	np	np	0.00	0.00	0.00	0.00
73	360.0	87.5	0.0	Fondazione	-	np	np	np	np	np	np	0.00	0.00	0.00	0.00
74	360.0	175.0	0.0	Fondazione	-	np	np	np	np	np	np	0.00	0.00	0.00	0.00
75	360.0	262.5	0.0	Fondazione	-	np	np	np	np	np	np	0.00	0.00	0.00	0.00
76	90.0	87.5	0.0	Fondazione	-	np	np	np	np	np	np	0.00	0.00	0.00	0.00
77	180.0	87.5	0.0	Fondazione	-	np	np	np	np	np	np	0.00	0.00	0.00	0.00
78	270.0	87.5	0.0	Fondazione	-	np	np	np	np	np	np	0.00	0.00	0.00	0.00
79	270.0	175.0	0.0	Fondazione	-	np	np	np	np	np	np	0.00	0.00	0.00	0.00
80	270.0	262.5	0.0	Fondazione	-	np	np	np	np	np	np	0.00	0.00	0.00	0.00
81	90.0	175.0	0.0	Fondazione	-	np	np	np	np	np	np	0.00	0.00	0.00	0.00
82	180.0	175.0	0.0	Fondazione	-	np	np	np	np	np	np	0.00	0.00	0.00	0.00
83	180.0	262.5	0.0	Fondazione	-	np	np	np	np	np	np	0.00	0.00	0.00	0.00
84	90.0	262.5	0.0	Fondazione	-	np	np	np	np	np	np	0.00	0.00	0.00	0.00

Tabella dei Nodi Master:

Nodo	Tipo Nodo	Coordinate [cm]		
		x	y	z
M1	Impalcato Rigido	225.00	175.00	248.00

3.6.3 Caratteristiche delle aste.

La tabella seguente riporta tutte le caratteristiche relative alle aste della struttura ed in modo particolare la colonna:

Asta : numerazione dell'asta
 Fili : fili fissi ai quali appartiene l'asta
 NI : nodo iniziale dell'asta
 NF : nodo finale dell'asta
 Tipo : funzione dell'asta
 Sez : sezione trasversale associata all'asta
 L : lunghezza teorica (nodo-nodo) dell'asta
 Imp. : impalcato di appartenenza dell'asta
 KwN : modulo di Winkler normale;
 KwT : modulo di Winkler tangenziale;

Asta	Fili	NI	NF	Tipo	Sez	L [cm]	Imp.	Kwn [daN/c m ³]	Kwt [daN/c m ³]	Vincoli interni												
										Estremo In.						Estremo Fin.						
										SpoX	SpoY	SpoZ	RotX	RotY	RotZ	SpoX	SpoY	SpoZ	RotX	RotY	RotZ	

3.6.4 Caratteristiche delle Piastre.

La tabella seguente riporta tutte le caratteristiche relative alle piastre della struttura:

Piastra : numerazione della piastra
 Impalcato : impalcato al quale appartiene la piastra
 Fili : fili fissi ai quali appartiene la piastra
 Spess. : spessore della piastra
 Tipo : tipologia della piastra (parete o platea)
 Numero Elementi : numero di elementi che compongono la piastra
 Nome Materiale : nome del materiale usato per progettare la piastra
 KwN : modulo di Winkler normale;
 KwT : modulo di Winkler tangenziale;

Piastra	Impalcato	Fili	Spess.	Tipo	Numero Elementi	Nome Materiale	Kwn [daN /cm ³]	Kwt [daN /cm ³]
1	Piano 1	1-2	20.00	Parete in Cls	12	pareti	-	-
2	Piano 1	4-1	20.00	Parete in Cls	15	pareti	-	-
3	Piano 1	2-3	20.00	Parete in Cls	15	pareti	-	-
4	Piano 1	3-4	20.00	Parete in Cls	12	pareti	-	-
5	Fondazione	2, 3, 4, 1	20.00	Platea Cls	20	C25/30	49.18	36.08

3.6.5 Carichi distribuiti sugli elementi.

Carichi Locali distribuiti sulle Piastre

Piastra : numero della piastra come da paragrafo "Caratteristiche delle piastre";
 Imp. : impalcato al quale appartiene la piastra;
 Fili : fili fissi ai quali appartiene la piastra;
 C.C. : condizione di carico come da paragrafo "Condizioni di carico valutate";
 DLoc : direzione dei carichi secondo il sistema di riferimento locale della piastra;

Piastra	Imp.	Fili	C.C.	DLoc X [daN/m ²]	DLoc Y [daN/m ²]	DLoc Z [daN/m ²]
1	Fondazione	2, 3, 4, 1	Car. Permanenti G1	0.00	0.00	0.00
			Car. Permanenti G2	0.00	0.00	0.00
			Car. d'Esercizio	0.00	0.00	0.00

Carichi Globali distribuiti sulle Piastre

Piastra : numero della piastra come da paragrafo "Caratteristiche delle piastre";
 Imp. : impalcato al quale appartiene la piastra;
 Fili : fili fissi ai quali appartiene la piastra;
 C.C. : condizione di carico come da paragrafo "Condizioni di carico valutate";
 DGlob : direzione dei carichi secondo il sistema di riferimento globale della piastra;

Piastra	Imp.	Fili	C.C.	DGlob X [daN/m ²]	DGlob Y [daN/m ²]	DGlob Z [daN/m ²]
1	Fondazione	2, 3, 4, 1	Car. Permanenti G1	0.00	0.00	-500.00
			Car. Permanenti G2	0.00	0.00	-1300.00
			Car. d'Esercizio	0.00	0.00	-100.00

Carichi Locali lineari in testa alle Pareti

Parete : numero della piastra come da paragrafo "Caratteristiche delle pareti";
 Imp. : impalcato al quale appartiene la parete;
 Fili : fili fissi ai quali appartiene la parete;
 C.C. : condizione di carico come da paragrafo "Condizioni di carico valutate";
 DLoc : direzione dei carichi secondo il sistema di riferimento locale della parete;

Parete	Imp.	Fili	C.C.	DLoc X [daN/m]		DLoc Y [daN/m]		DLoc Z [daN/m]	
				in.	fin.	in.	fin.	in.	fin.
1	Piano 1	1-2	Car. perm. G1 in Testa	0.00	0.00	0.00	0.00	0.00	0.00
			Car. perm. G2 in Testa	0.00	0.00	0.00	0.00	0.00	0.00
			Car. eserc. in Testa	0.00	0.00	0.00	0.00	0.00	0.00
2	Piano 1	4-1	Car. perm. G1 in Testa	0.00	0.00	0.00	0.00	0.00	0.00
			Car. perm. G2 in Testa	0.00	0.00	0.00	0.00	0.00	0.00
			Car. eserc. in Testa	0.00	0.00	0.00	0.00	0.00	0.00
3	Piano 1	2-3	Car. perm. G1 in Testa	0.00	0.00	0.00	0.00	0.00	0.00
			Car. perm. G2 in Testa	0.00	0.00	0.00	0.00	0.00	0.00
			Car. eserc. in Testa	0.00	0.00	0.00	0.00	0.00	0.00
4	Piano 1	3-4	Car. perm. G1 in Testa	0.00	0.00	0.00	0.00	0.00	0.00
			Car. perm. G2 in Testa	0.00	0.00	0.00	0.00	0.00	0.00
			Car. eserc. in Testa	0.00	0.00	0.00	0.00	0.00	0.00

Carichi Locali distribuiti sulle Pareti

Parete : numero della piastra come da paragrafo "Caratteristiche delle pareti";
 Imp. : impalcato al quale appartiene la parete;
 Fili : fili fissi ai quali appartiene la parete;
 C.C. : condizione di carico come da paragrafo "Condizioni di carico valutate";
 DLoc : direzione dei carichi secondo il sistema di riferimento locale della parete;

Parete	Imp.	Fili	C.C.	DLoc X [daN/m ²]	DLoc Y [daN/m ²]	DLoc Z [daN/m ²]
1	Piano 1	1-2	Car. Perm. G1	0.00	0.00	0.00
			Car. Perm. G2	0.00	0.00	0.00
			Car. Eserc.	0.00	0.00	0.00
2	Piano 1	4-1	Car. Perm. G1	0.00	0.00	0.00
			Car. Perm. G2	0.00	0.00	0.00
			Car. Eserc.	0.00	0.00	0.00
3	Piano 1	2-3	Car. Perm. G1	0.00	0.00	0.00
			Car. Perm. G2	0.00	0.00	0.00
			Car. Eserc.	0.00	0.00	0.00
4	Piano 1	3-4	Car. Perm. G1	0.00	0.00	0.00
			Car. Perm. G2	0.00	0.00	0.00
			Car. Eserc.	0.00	0.00	0.00

Carichi Globali lineari in testa alle Pareti

Parete : numero della piastra come da paragrafo "Caratteristiche delle pareti";
 Imp. : impalcato al quale appartiene la parete;
 Fili : fili fissi ai quali appartiene la parete;
 C.C. : condizione di carico come da paragrafo "Condizioni di carico valutate";
 DGlob : direzione dei carichi secondo il sistema di riferimento globale della parete;

Parete	Imp.	Fili	C.C.	DGlob X [daN/m]		DGlob Y [daN/m]		DGlob Z [daN/m]	
				in.	fin.	in.	fin.	in.	fin.
1	Piano 1	1-2	Car. perm. G1 in Testa	0.00	0.00	0.00	0.00	0.00	0.00
			Car. perm. G2 in Testa	0.00	0.00	0.00	0.00	-30.00	0.00
			Car. eserc. in Testa	0.00	0.00	0.00	0.00	-40.00	0.00
2	Piano 1	4-1	Car. perm. G1 in Testa	0.00	0.00	0.00	0.00	0.00	0.00
			Car. perm. G2 in Testa	0.00	0.00	0.00	0.00	-30.00	0.00
			Car. eserc. in Testa	0.00	0.00	0.00	0.00	-40.00	0.00
3	Piano 1	2-3	Car. perm. G1 in Testa	0.00	0.00	0.00	0.00	0.00	0.00
			Car. perm. G2 in Testa	0.00	0.00	0.00	0.00	-30.00	0.00
			Car. eserc. in Testa	0.00	0.00	0.00	0.00	-40.00	0.00
4	Piano 1	3-4	Car. perm. G1 in Testa	0.00	0.00	0.00	0.00	0.00	0.00
			Car. perm. G2 in Testa	0.00	0.00	0.00	0.00	-30.00	0.00
			Car. eserc. in Testa	0.00	0.00	0.00	0.00	-40.00	0.00

Carichi Globali distribuiti sulle Pareti

Parete : numero della piastra come da paragrafo "Caratteristiche delle pareti";
 Imp. : impalcato al quale appartiene la parete;
 Fili : fili fissi ai quali appartiene la parete;
 C.C. : condizione di carico come da paragrafo "Condizioni di carico valutate";
 DGlob : direzione dei carichi secondo il sistema di riferimento globale della parete;

Parete	Imp.	Fili	C.C.	DGlob X [daN/m ²]	DGlob Y [daN/m ²]	DGlob Z [daN/m ²]
1	Piano 1	1-2	Car. Perm. G1	0.00	0.00	-50.00
			Car. Perm. G2	0.00	0.00	0.00
			Car. Eserc.	0.00	0.00	0.00
2	Piano 1	4-1	Car. Perm. G1	0.00	0.00	-50.00
			Car. Perm. G2	0.00	0.00	0.00
			Car. Eserc.	0.00	0.00	0.00
3	Piano 1	2-3	Car. Perm. G1	0.00	0.00	-50.00
			Car. Perm. G2	0.00	0.00	0.00
			Car. Eserc.	0.00	0.00	0.00
4	Piano 1	3-4	Car. Perm. G1	0.00	0.00	-50.00
			Car. Perm. G2	0.00	0.00	0.00
			Car. Eserc.	0.00	0.00	0.00

4 Risultati di Calcolo.

4.1 Tensioni sul Terreno.

I dati seguenti riportano i valori delle tensioni esercitate dalla fondazione sul terreno.

Asta/Piastra : numerazione interna dell'asta/piastra.
 X : distanza dal nodo iniziale misurata lungo l'asse dell'asta/piastra.
 Comb : combinazione di appartenenza del valore considerato nell'involuppo.
 Tensioni (σ_T) : valore della tensione dovuta alla pressione dell'asta/piastra di fondazione;

Tabella 0.II

Tensioni Terreno						
		SLV	SLD	SLE		
		A1	A1	Caratt.	Freq.	
Piastra	Fili	σ_T [daN/cm ²]	σ_T [daN/cm ²]	σ_T [daN/cm ²]	σ_T [daN/cm ²]	
1	2, 3, 4, 1	0.34(1)	0.24(1)	0.24(1) *	0.23(1) *	

* valore massimo.

4.2 Verifica Elementi Bidimensionali.

4.2.1 Verifica Piastre.

4.2.1.1 Verifica Piastre in C.A..

4.2.1.1.1 Dati Generali

Piastra : numero della Piastra;
 Imp. : impalcato al quale appartiene la piastra;
 Fili : fili fissi ai quali appartiene la piastra;
 Sp. : spessore della Piastra;
 Largh. Striscia : Larghezza della striscia unitaria di Piastra rispetto alla quale sono state effettuate le verifiche;
 Lungh. Concio : Lunghezza del concio di Piastra rispetto alla quale sono state effettuate le verifiche a taglio;

Tabella 1.I

Piastra	Imp.	Fili	Sp. [cm]	Largh. striscia [cm]	Lungh. concio [cm]
1	Fondazione	2, 3, 4, 1	20	100	100

Disposizione Armature

Piastra : numero della Piastra;
 Imp. : impalcato al quale appartiene la piastra;
 Fili : fili fissi ai quali appartiene la piastra;
 Dir. : Direzione rispetto alla quale disporre le armature;
 Diam. : diametro delle armature da disporre nella direzione indicata;
 Inter. intrad. : interasse rispetto al quale posizionare le armature all'intradosso nella direzione indicata;
 Inter. estrad. : interasse rispetto al quale posizionare le armature all'estradosso nella direzione indicata;

Tabella 1.II

Piastra	Imp.	Fili	Dir.	Diam. [mm]	Inter. intrad. [cm]	Inter. estrad. [cm]
1	Fondazione	2, 3, 4, 1	X	12	20.0	20.0
			Y	12	20.0	20.0

4.2.1.1.2 Verifiche SLV - Flessione.

Piastra : numero della Piastra;
 Imp. : impalcato al quale appartiene la piastra;
 Fili : fili fissi ai quali appartiene la piastra;
 RCrit : regione critica;
 Dir. : direzione attorno alla quale sono valutate le caratteristiche flettenti;
 ϵ_{c2} : deformazione di contrazione del calcestruzzo al raggiungimento della massima tensione;
 ϵ_{cu2} : deformazione ultima di contrazione del calcestruzzo;
 Msd : momento sollecitante;
 ϵ_{Cl} : deformazione massima del calcestruzzo compresso
 ϵ_{acc} : deformazione massima dell'armatura tesa
 MRd : momento resistente;
 S : Coefficiente di sicurezza;
 Esito : Esito della verifica : V = VERIFICATA;

: NV = NON VERIFICATA;

Tabella 2.I

Piastra	Imp.	Fili	RCrit	Dir.	ϵ_{c2} [%]	ϵ_{cu2} [%]	Cop. sup. [cm]	Arm. sup.	Cop. inf. [cm]	Arm. inf.	Msd [daNm]	ϵ_{cls} [%]	ϵ_{acc} [%]	Mrd [daNm]	S	Esito
1	Fondazione	2, 3, 4, 1		X	2.00	3.50	5.2	Ø 12 / 20.0	4.0	Ø 12 / 20.0	-16	3.15	10.00	-3610	224.31	V
				Y	2.00	3.50	4.0	Ø 12 / 20.0	5.2	Ø 12 / 20.0	-25	3.15	10.00	-3610	144.06	V

4.2.1.1.3 Verifiche SLV - Taglio

Piastra : numero della Piastra;
 Imp. : impalcato al quale appartiene la piastra;
 Fili : fili fissi ai quali appartiene la piastra;
 RCrit : regione critica;
 cot(θ) : cotangente dell'angolo θ ;
 Diam. : diametro del braccio della staffa;
 AStaffe : area di armatura a taglio da disporre nell'unità di superficie;
 DLong : distanza longitudinale fra i bracci delle staffe;
 DTrasv : distanza trasversale fra i bracci delle staffe;
 VSd : Taglio sollecitante di calcolo;
 VRd : Taglio resistente di calcolo;
 Esito : Esito della verifica : V = VERIFICATA;
 : NV = NON VERIFICATA;

Tabella 3.I

Piastra	Imp.	Fili	RCrit	cot(θ)	Armature			Tagli		Esito	
					Diam. [mm]	Dlong [cm]	Dtrasv [cm]	Area [cm ² /m ²]	Vsd [daN]		VRd [daN]
1	Fondazione	2, 3, 4, 1		1.0	8	-	-	-	91	7255	V

4.2.1.1.4 Verifiche SLE - Fessurazione

Piastra : numero della Piastra;
 Imp. : impalcato al quale appartiene la piastra;
 Fili : fili fissi ai quali appartiene la piastra;
 Comb. : combinazione di carico (Caratteristica, Frequente, Quasi Permanente);
 RCrit : regione critica;
 Dir. : direzione dell'asse attorno al quale viene valutata la caratteristica flettente;
 Msd : azione sollecitante flettente massima;
 MCr : momento di prima fessurazione;
 Fess. Calc. : fessura di calcolo;
 Fess. Lim. : fessura limite;
 S : Coefficiente di sicurezza;
 Esito : Esito della verifica : V = VERIFICATA;
 : NV = NON VERIFICATA;

Tabella 4.I

Piastra	Imp.	Fili	Comb.	RCrit	Dir.	Msd [daNm]	MCr [daNm]	Fess. Calc. [mm]	Fess. Lim. [mm]	S	Esito
1	Fondazione	2, 3, 4, 1	Freq.		X	-10.52	1487.10	0.00	0.40	-	V
					Y	-16.38	1487.10	0.00	0.40	-	V
			Q. Perm.		X	-10.04	1487.10	0.00	0.30	-	V
					Y	-15.63	1487.10	0.00	0.30	-	V

4.2.1.1.5 Verifiche SLE - Tensioni di Esercizio

- Piastra : numero della Piastra;
 Imp. : impalcato al quale appartiene la piastra;
 Fili : fili fissi ai quali appartiene la piastra;
 Comb. : combinazione di carico (Caratteristica, Frequente, Quasi Permanente);
 RCrit : regione critica;
 Dir. : direzione dell'asse attorno al quale viene valutata la caratteristica flettente;
 Msd : valore massimo della caratteristica flettente di calcolo;
 σ_c : tensioni d'esercizio del calcestruzzo (compressione positiva);
 $\sigma_{c,lim}$: Tensioni limite del calcestruzzo;
 S cls : coefficiente di sicurezza per la verifica del calcestruzzo;
 σ_s : tensioni d'esercizio dell'acciaio (trazione positiva);
 $\sigma_{s,lim}$: Tensioni limite dell'acciaio;
 S acc. : coefficiente di sicurezza per la verifica dell'acciaio;
 Esito : Esito della verifica : V = VERIFICATA;
 : NV = NON VERIFICATA;

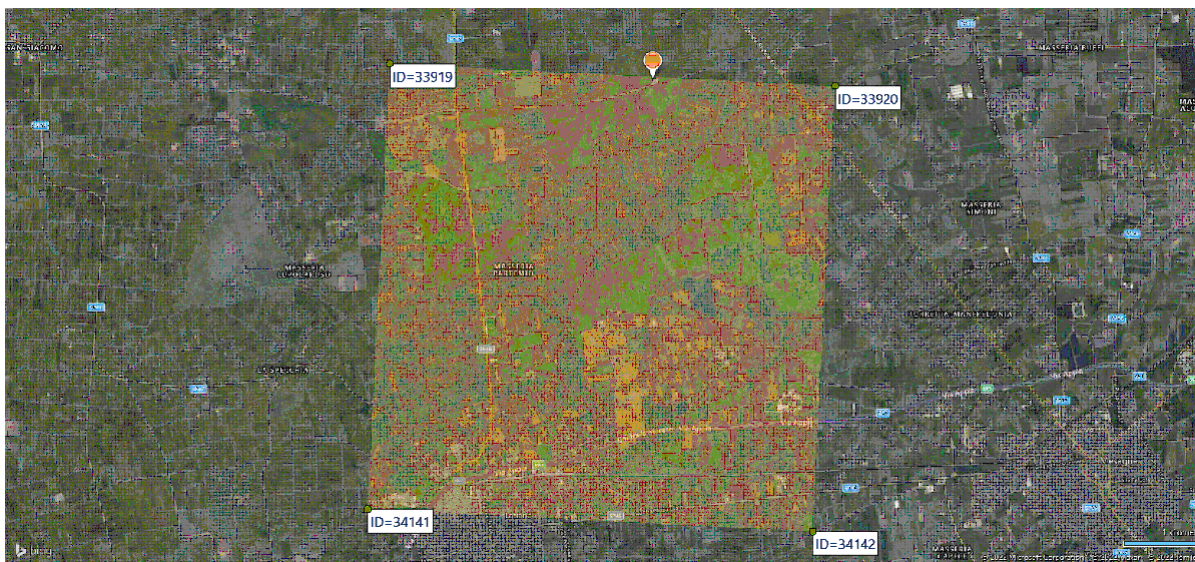
Tabella 5.I

Piastra	Imp.	Fili	Comb.	RCrit	Dir.	Msd [daNm]	σ_c [daN/cm ²]	$\sigma_{c,lim}$ [daN/cm ²]	S cls	σ_s [daN/cm ²]	$\sigma_{s,lim}$ [daN/cm ²]	S acc.	Esito
1	Fondazione	2, 3, 4, 1	Caratteristica		X	-11.73	0.42	150.00	100.00	-15.20	3600.00	100.00	V
					Y	-18.26	0.66	150.00	100.00	-23.67	3600.00	100.00	V
			Q. Perm.		X	-10.04	0.36	112.50	100.00	-13.01	3600.00	100.00	V
					Y	-15.63	0.57	112.50	100.00	-20.26	3600.00	100.00	V

5 ALLEGATI.

5.1 ALLEGATO A - (Pericolosità sismica di base)

Coordinate (Datum ED50) del sito : Latitudine = 40.6040° - Longitudine = 17.7442°



Identificativi e coordinate (Datum ED50) dei punti che includono il sito														
Punto	Lat. [°]	Long. [°]	SLV			SLC			SLD			SLO		
			Acc. sismica	Coeff. Fo	Periodo Tc*	Acc. sismica	Coeff. Fo	Periodo Tc*	Acc. sismica	Coeff. Fo	Periodo Tc*	Acc. sismica	Coeff. Fo	Periodo Tc*
33919	40.6061	17.7053	0.049	2.648	0.439	0.058	2.817	0.457	0.022	2.367	0.237	0.017	2.371	0.160
33920	40.6036	17.7711	0.048	2.605	0.443	0.057	2.767	0.463	0.021	2.381	0.228	0.016	2.363	0.158

34141	40.5561	17.7020	0.050	2.664	0.441	0.059	2.835	0.460	0.023	2.358	0.239	0.017	2.365	0.160
34142	40.5537	17.7678	0.049	2.610	0.447	0.058	2.741	0.507	0.022	2.365	0.231	0.016	2.353	0.159

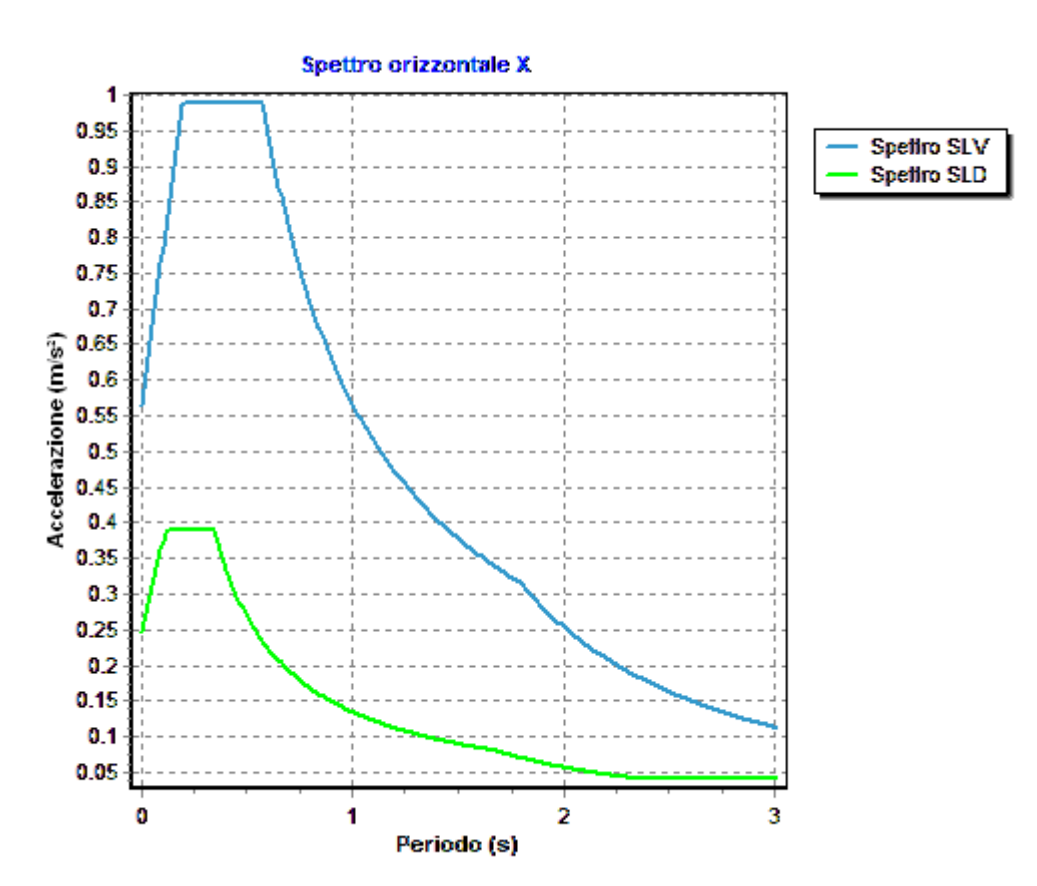
I valori dei parametri p (a_g , F_0 , T_c^*) di interesse per la definizione dell'azione sismica di progetto sono stati calcolati come media pesata dei valori assunti da tali parametri nei quattro vertici della maglia elementare del *reticolo di riferimento* contenente il punto in esame, utilizzando come pesi gli inversi delle distanze tra il punto in questione ed i quattro vertici, attraverso la seguente espressione:

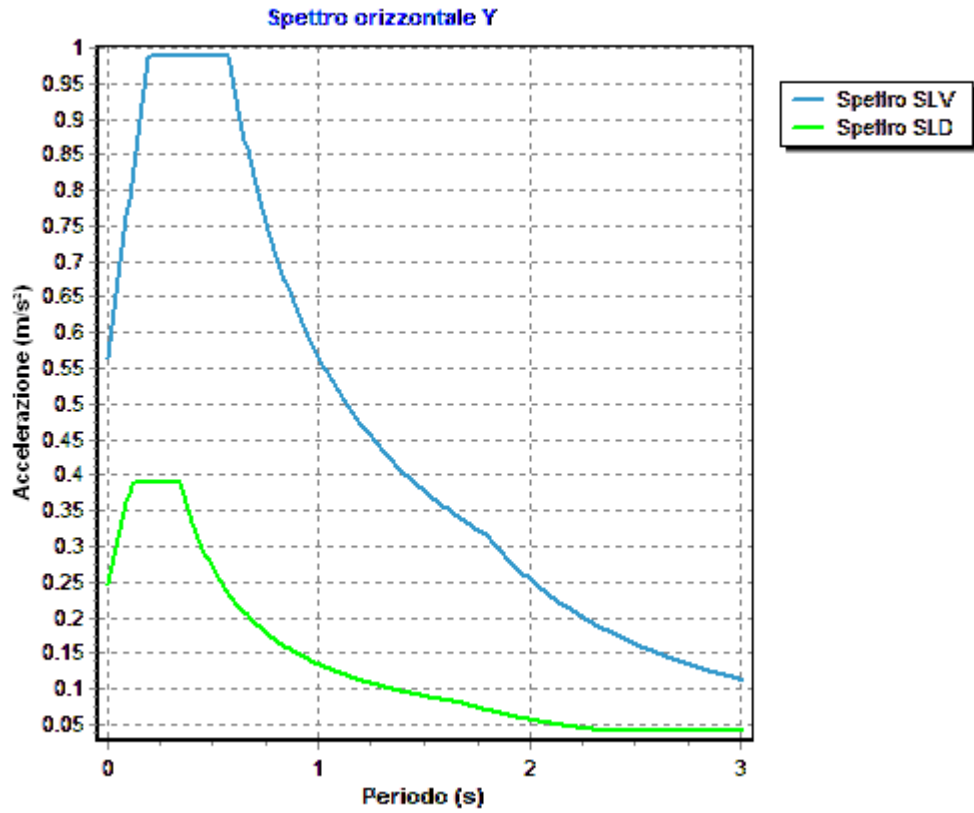
$$p = \frac{\sum_{(i=1..4)} [p_i / d_i]}{\sum_{(i=1..4)} [1 / d_i]}$$

nella quale:

- p : valore del parametro di interesse nel punto in esame;
- p_i : valore del parametro di interesse nell' i -esimo punto della maglia elementare contenente il punto in esame;
- d_i : è la distanza del punto in esame dall' i -esimo punto della maglia suddetta.

	Parametri dello spettro di risposta orizzontale			
	SLV	SLC	SLD	SLO
Tempo di ritorno	475	975	50	30
Accelerazione sismica	0.048	0.057	0.021	0.016
Coefficiente F_0	2.626	2.787	2.371	2.364
Periodo T_c^*	0.443	0.468	0.233	0.159





6 RELAZIONE GEOTECNICA

6.1 DESCRIZIONE DELL'OPERA E DEGLI INTERVENTI.

Nella presente relazione vengono riportati i risultati delle elaborazioni a carattere geotecnico eseguite per le opere di fondazione da realizzare nell'ambito dei lavori di:

I risultati delle indagini effettuate, degli studi eseguiti e delle valutazioni geotecniche operate, parte integrante degli elaborati progettuali relativi ai lavori in oggetto, faranno riferimento per le caratteristiche geotecniche dei terreni di fondazione ai dati riportati nella Relazione geologico-tecnica redatta dal dott. geol.

TIPOLOGIA STRUTTURALE IN DIREZIONE X:

Strutture a telaio, a pareti accoppiate, miste

TIPOLOGIA STRUTTURALE IN DIREZIONE Y:

Strutture a telaio, a pareti accoppiate, miste

TIPOLOGIA FONDAZIONI:

Fondazioni superficiali, quindi del tipo dirette, costituite da platee di fondazione.

Descrizione delle tipologie di fondazione utilizzate.

Nell'ambito dei lavori in oggetto si sono utilizzate le seguenti tipologie di fondazione: , platee, le cui dimensioni e la loro ubicazione vengono di seguito meglio descritte.

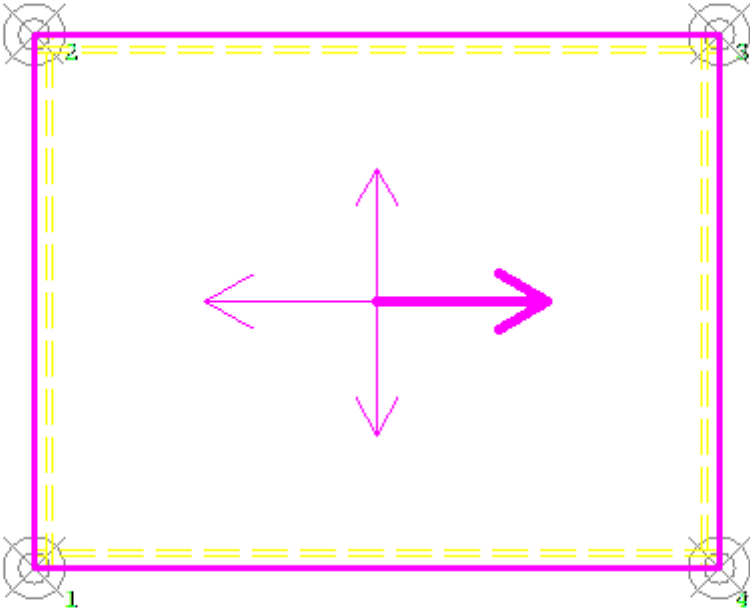
Descrizione delle platee di fondazione e loro ubicazione in pianta.

Platea : numero della platea;
Impalcato : impalcato al quale appartiene la piastra;
Fili : fili fissi ai quali appartiene la piastra;
Spessore : spessore della Piastra;
KwN : modulo di Winkler normale;
KwT : modulo di Winkler tangenziale;

Platea	Impalcato	Fili	Spessore [cm]	KwN [daN/cm ³]	KwT [daN/cm ³]
1	Fondazione	2, 3, 4, 1	20	49.18	36.08

Piante fondazioni.

Fondazione



6.2 RELAZIONE GEOTECNICA (CAP. 6 delle N.T.C.)

Problemi geotecnici e scelte tipologiche.

La caratterizzazione geotecnica dei terreni di fondazione compresi nel volume significativo, ovvero in quella parte di sottosuolo che viene influenzata direttamente o indirettamente dalle opere in oggetto, viene riportata in dettaglio nella relazione geologico-tecnica allegata.

Vengono di seguito indicati i parametri fondamentali per la valutazione della capacità portante del terreno di fondazione e le scelte tipologiche adottate per il dimensionamento delle opere di fondazione, non avendo riscontrato altre particolari problematiche di tipo geotecnico.

Al fine d'identificare la categoria di sottosuolo, tramite la conoscenza dello spessore e natura dei diversi strati che compongono il terreno sottostante il piano di posa delle fondazioni, per il dimensionamento strutturale e geotecnico delle stesse sono state effettuate delle indagini in sito ubicate nell'area oggetto dell'intervento.

L'area in esame è sostanzialmente pianeggiante, caratterizzata da un fattore di amplificazione topografico pari a T1, pertanto non si osservano variazioni di quota della superficie topografica degne di valutazioni particolari.

Descrizione del programma delle indagini e delle prove geotecniche.

Per definire la stratigrafia di progetto, dei terreni di sedime dei lavori in oggetto e per acquisire i parametri fisico-meccanici dei terreni in esame è stata condotta sull'area interessata dall'intervento di progetto una campagna di indagini.

Il programma delle indagini e delle prove con l'ubicazione delle stesse è stato definito a seguito di un attento sopralluogo dell'area in oggetto e risulta più ampiamente descritto nella relazione geologica allegata.

Caratterizzazione fisico meccanica dei terreni e definizione dei valori caratteristici dei parametri geotecnici.

- Caratteristiche litostratigrafiche

L'analisi dei risultati ottenuti dalle indagini per la caratterizzazione del suolo di fondazione sono meglio indicati nella relazione geologico-tecnica allegata. Per quanto riguarda l'aspetto geologico a seguito il rilevamento di un significativo intorno della zona in esame si è riscontrata la presenza delle seguenti successioni litostratigrafiche nelle relative sezioni geologiche (colonne stratigrafiche):

Filo : filo fisso al quale appartiene la colonna stratigrafica;
 Colonna : nome della colonna stratigrafica;
 Strato : nome dello strato appartenente la colonna stratigrafica;
 Descrizione : descrizione dello strato;

Filo	Colonna	Strato	Descrizione
1	Colonna 1	Calcari fratturati	calcari

- Caratteristiche fisico meccaniche dei terreni di fondazione

Nell'ambito del progetto si è fatto uso delle seguenti colonne stratigrafiche:

Caratteristiche delle colonne stratigrafiche:

Colonna : nome della colonna stratigrafica;
 Filo : filo fisso al quale appartiene la colonna stratigrafica;
 Impalcato : Impalcato al quale appartiene la colonna stratigrafica;
 Falda : Presenza della falda;
 Prof. Falda : Profondità della falda (se è presente);
 Spicc. Fond. : Quota dell'estradosso della fondazione rispetto al piano campagna;
 No. Strati : Numero degli strati della colonna stratigrafica.
 RQD : (Rock Quality Designation) grado di fratturazione dell'ammasso roccioso in [0-1]

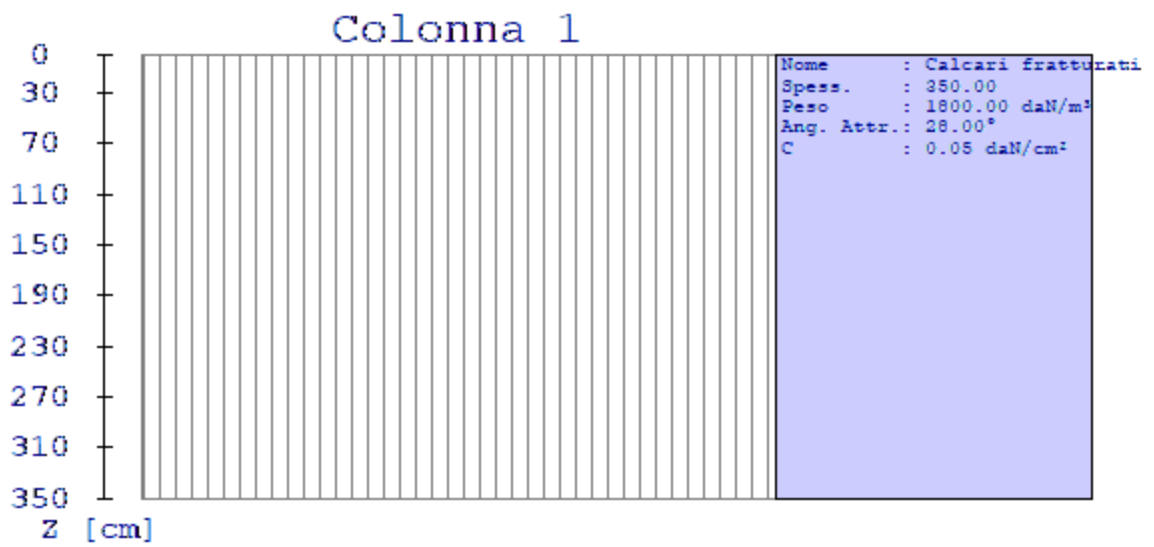
Filo	Colonna	Impalcato	Falda	Prof. Falda [cm]	Spicc. Fond. [cm]	No. Strati	RQD
1	Colonna 1	Fondazione	Non Presente	-	0.00	1	-
2	Colonna 1	Fondazione	Non Presente	-	0.00	1	-
3	Colonna 1	Fondazione	Non Presente	-	0.00	1	-
4	Colonna 1	Fondazione	Non Presente	-	0.00	1	-

Caratteristiche degli strati appartenenti alle colonne stratigrafiche:

Colonna : nome della colonna stratigrafica;
 Strato : nome dello strato appartenente la colonna stratigrafica;
 Spess. : Spessore dello strato;
 Peso : Peso dell'unità di volume dello strato;
 Peso eff. : Peso dell'unità di volume efficace dello strato;
 NSPT : Numero di colpi medio misurato nello strato;
 Qc : Resistenza alla punta media misurata nello strato;
 ϕ : Angolo di attrito del terreno;
 C : Coesione drenata del terreno;
 Cu : Coesione non drenata del terreno;
 E : Modulo elastico del terreno;
 G : Modulo di taglio del terreno;
 ν_t : Coefficiente di Poisson;
 E_{ed} : Modulo Edometrico;
 OCR : Grado di sovraconsolidazione del terreno.

Colonna	Strato	Spess. [cm]	Peso [daN/m ³]	Peso eff. [daN/m ³]	NSPT	Qc [daN/cm ²]	ϕ [°]	C [daN/cm ²]	Cu [daN/cm ²]	E [daN/cm ²]	G [daN/cm ²]	ν_t	E_{ed} [daN/cm ²]	OC R
Colonna 1	Calcari fratturati	350.0	1800.0	800.0	-	-	28.0	0.05	0.00	5090.00	1880.00	0.35	-	1.00

- Sezioni Geologiche:



- Caratterizzazione sismica del suolo di fondazione:

La categoria assunta per il suolo di fondazione per il sito in oggetto è: B

Modelli geotecnici di sottosuolo e metodi di analisi.

L'interazione terreno struttura viene modellata applicando il modello di Winkler, il quale caratterizza il sottosuolo con una relazione lineare fra il cedimento in un punto della superficie limite e la pressione agente nello stesso punto, indipendentemente da altri carichi applicati in punti diversi. Si assume cioè che:

$$p = k_v w$$

dove K_v è detta costante di sottofondo o coefficiente di reazione del terreno e w è l'abbassamento della trave di fondazione tale da comprimere il terreno sottostante.

Il valore del coefficiente k_v relativo alla direzione verticale è stato calcolato con riferimento ai dati geologico-geotecnici forniti utilizzando la formula di Vesic (1961), particolarmente adatta per modellare l'interazione con il terreno considerato come mezzo elastico continuo:

$$k_v = (0.65 E_s) / [B (1 - \nu_s^2)] [(E_s B^4) / (E I)]^{1/12}$$

Il modello "alla Winkler" viene esteso anche alla componente orizzontale dello spostamento mediante il coefficiente k_o relativo alla direzione orizzontale, calcolato con riferimento ai dati geologico-geotecnici forniti, utilizzando le formule di Gazetas (1985). Le formule sono state utilizzate per calcolare il rapporto α tra modulo di reazione orizzontale e verticale.:

$$\alpha = K_{GazO} / K_{GazV}$$

$$K_{GazO} = K_{hBasic} l_{hShape} l_{hdepth} l_{h sidewall}$$

$$K_{hBasic} = G_s L_F / (2 - \nu)$$

$$l_{hShape} = 2 + 2.5 (A_b / L_F^2)^{0.85}$$

$$l_{hdepth} = 1 + 0.15 (2 D_F / B_F)^{0.50}$$

$$l_{h sidewall} = 1 + 0.52 [(8 h A_s) / (B_F L_F^2)]^{0.50}$$

$$K_{GazV} = K_{vBasic} l_{vShape} l_{vdepth} l_{v sidewall}$$

$$K_{vBasic} = G_s L_F / (1 - \nu)$$

$$l_{vShape} = 0.73 + 1.54 (A_b / L_F^2)^{0.75}$$

$$l_{vdepth} = 1 + (2 D_F / B_F) [1 + (4/3) (A_b / L_F^2)]$$

$$l_{v sidewall} = 1 + 0.19 (A_s / A_b)^{0.67}$$

dove:

E_s : Modulo di deformazione del terreno (valore calcolato come media pesata sullo spessore degli strati interessati);

ν_s : Modulo di Poisson del terreno (valore calcolato come media pesata sullo spessore degli strati interessati);

G_s : Modulo di taglio del terreno (valore calcolato come media pesata sullo spessore degli strati interessati);

B : base della singola trave di fondazione (per platee si assume come valore 1 m);

E : Modulo elastico dell'elemento di fondazione;

I : Momento d'inerzia dell'elemento di fondazione;

L_F : Dimensione massima dell'ingombro in pianta dell'intera fondazione;

B_F : Dimensione minima dell'ingombro in pianta dell'intera fondazione;

A_b : Area in pianta dell'intera fondazione;

A_s : Area laterale in pianta dell'intera fondazione;

h : 0.5 volte l'altezza media della fondazione;

Per l'applicazione delle formule di Gazetas è stata considerata l'intera fondazione della struttura. I parametri geologico-geotecnici sono calcolati considerando tutti gli strati posti al di sotto della fondazione contenuti in un volume significativo, considerato di profondità pari a 2 volte l'altezza massima dell'intera fondazione della struttura.

Le platee di fondazione vengono modellate utilizzando un elemento finito che segue sempre la giacitura di un piano. L'elemento lastra-piastra, nel seguito denominato guscio, possiede nel sistema di riferimento locale come in quello globale 6 gradi di libertà per nodo. L'elemento è computato sovrapponendo il comportamento lastra o membrana, che possiede 3 gradi di libertà per nodo (una coppia di spostamenti planari e un grado di libertà alla rotazione intorno ad un asse perpendicolare al piano medio), e il comportamento piastra, che possiede 3 gradi di libertà per nodo (uno spostamento perpendicolare al piano medio e una coppia di rotazioni ortogonali aventi assi sostegno paralleli al piano medio).

La geometria dell'elemento finito SHELL può essere definita attraverso 3 o 4 nodi. La trattazione nei due casi è completamente diversa. L'elemento a 3 nodi viene usato per creare esclusivamente mesh di transizione nel caso di figure irregolari.

La formulazione dell'elemento è basata sulla teoria di Mindlin-Reissner in cui viene considerato anche il contributo della deformazione dovuta al taglio risolvendolo secondo la formulazione isoparametrica. Tutte le caratteristiche sono calcolate attraverso l'integrazione numerica ai punti di Gauss secondo la regola 2x2 ed estrapolate ai nodi.

Nel caso delle platee di fondazione, l'interazione viene modellata attraverso l'introduzione di molle distribuite sulla superficie dell'elemento che vengono automaticamente concentrate (rappresentative della propria area di influenza e calcolate attraverso l'integrazione di Gauss) e applicate ai nodi di estremità.

Verifiche della sicurezza e delle prestazioni: identificazione dei relativi stati limite.

Le verifiche della sicurezza in fondazione sono condotte nei riguardi dello stato limite ultimo e dello stato limite di esercizio. Le verifiche nei riguardi degli stati limite previsti dalla Normativa ed eseguite sono:

STR - raggiungimento della resistenza degli elementi strutturali, compresi gli elementi di fondazione;

GEO - raggiungimento della resistenza del terreno interagente con la struttura con sviluppo di meccanismi di collasso dell'insieme terreno-struttura;

Verifiche STR: le verifiche di resistenza degli elementi strutturali di fondazione sono state eseguite contestualmente alla verifica degli elementi strutturali in elevazione. Le relative verifiche sono riportate nella relazione di calcolo allegata;

Verifiche GEO: le verifiche di resistenza del terreno interagente con la struttura sono condotte confrontando i valori di resistenza con quelli di progetto, secondo l'Approccio 2, come riportato nelle pagine seguenti.

Verifiche GEO: Approcci progettuali e valori di progetto dei parametri geotecnici.

TEORIA DI CALCOLO PER FONDAZIONI SUPERFICIALI.

Il calcolo è stato effettuato seguendo la teoria di Brinch Hansen, la quale tiene conto:

- della forma della fondazione;
- della profondità del piano di posa della fondazione;
- dell'inclinazione del carico sulla fondazione;
- dell'eccentricità del carico;
- dell'inclinazione del piano di posa della fondazione;
- dell'inclinazione del piano di campagna;
- dell'effetto inerziale nella fondazione;
- dell'effetto cinematico del sottosuolo;

Si riportano di seguito le formule considerate nelle varie colonne stratigrafiche assegnate ai fili fissi:

Il carico limite si ottiene dalla seguente espressione:

$$q_{lim} = 0.5 \cdot B' \cdot \gamma^2 \cdot N_{\gamma} \cdot s_{\gamma} \cdot d_{\gamma} \cdot i_{\gamma} \cdot g_{\gamma} \cdot b_{\gamma} \cdot z_{\gamma} \cdot e_{\gamma k} \cdot e_{\gamma i} + c \cdot N_c \cdot s_c \cdot d_c \cdot i_c \cdot g_c \cdot b_c \cdot z_c + (q + \gamma_1 \cdot D) \cdot N_q \cdot s_q \cdot d_q \cdot i_q \cdot g_q \cdot b_q \cdot z_q$$

Dove: $B' = B - 2 \cdot e$

B è il lato minore della fondazione.

eB è l'eccentricità del carico lungo B.
 D è la profondità del piano di posa della fondazione.
 γ_1 è il peso del terreno sopra il piano di posa della fondazione.
 γ_2 è il peso del terreno sotto il piano di posa della fondazione.
 C è la coesione del terreno.
 q è il carico uniformemente distribuito ai lati della fondazione.

Fattori di portanza Platee. SLU-SLV

Platea : numero della platea;
 Fili : fili fissi ai quali appartiene la platea;
 A1 : verifica della combinazione di carico A1;
 Lt : verifica a lungo termine.

Fattori di carico limite													
		A1						A2					
		Lt			Bt			Lt			Bt		
Platea	Fili	Nc	Nq	N γ	Nc	Nq	N γ	Nc	Nq	N γ	Nc	Nq	N γ
1	2, 3, 4, 1	25.80	14.72	10.94	-	-	-	-	-	-	-	-	-

Fattori di forma													
		A1						A2					
		Lt			Bt			Lt			Bt		
Platea	Fili	Sc	Sq	S γ	Sc	Sq	S γ	Sc	Sq	S γ	Sc	Sq	S γ
1	2, 3, 4, 1	1.44	1.41	0.69	-	-	-	-	-	-	-	-	-

Fattori di profondità													
		A1						A2					
		Lt			Bt			Lt			Bt		
Platea	Fili	Dc	Dq	D γ	Dc	Dq	D γ	Dc	Dq	D γ	Dc	Dq	D γ
1	2, 3, 4, 1	1.02	1.02	1.00	-	-	-	-	-	-	-	-	-

Fattori di inclinazione del piano di posa													
		A1						A2					
		Lt			Bt			Lt			Bt		
Platea	Fili	Bc	Bq	B γ	Bc	Bq	B γ	Bc	Bq	B γ	Bc	Bq	B γ
1	2, 3, 4, 1	1.00	1.00	1.00	-	-	-	-	-	-	-	-	-

Fattori di inclinazione del piano campagna													
		A1						A2					
		Lt			Bt			Lt			Bt		
Platea	Fili	Gc	Gq	G γ	Gc	Gq	G γ	Gc	Gq	G γ	Gc	Gq	G γ
1	2, 3, 4, 1	1.00	1.00	1.00	-	-	-	-	-	-	-	-	-

Fattori di inclinazione dei carichi													
		A1						A2					
		Lt			Bt			Lt			Bt		
Platea	Fili	Ic	Iq	I γ	Ic	Iq	I γ	Ic	Iq	I γ	Ic	Iq	I γ
1	2, 3, 4, 1	1.00	1.00	1.00	-	-	-	-	-	-	-	-	-

Fattori di portanza dell'effetto inerziale (Paolucci Pecker)													
		A1						A2					
		Lt			Bt			Lt			Bt		
Platea	Fili	Zc	Zq	Z γ	Zc	Zq	Z γ	Zc	Zq	Z γ	Zc	Zq	Z γ
1	2, 3, 4, 1	1.00	0.99	1.00	-	-	-	-	-	-	-	-	-

Fattori di portanza dell'effetto cinematico (Maugeri-Cascone)									
		A1				A2			
		Lt		Bt		Lt		Bt	
Platea	Fili	eyk	eyi	eyk	eyi	eyk	eyi	eyk	eyi
1	2, 3, 4, 1	0.95	0.81	-	-	-	-	-	-

Fattori di portanza Platee. SLD

Platea : numero della platea;
 Fili : fili fissi ai quali appartiene la platea;
 A1 : verifica della combinazione di carico A1;
 Lt : verifica a lungo termine.

Fattori di carico limite													
		A1						A2					
		Lt			Bt			Lt			Bt		
Platea	Fili	Nc	Nq	Ny	Nc	Nq	Ny	Nc	Nq	Ny	Nc	Nq	Ny
1	2, 3, 4, 1	25.80	14.72	10.94	-	-	-	-	-	-	-	-	-

Fattori di forma													
		A1						A2					
		Lt			Bt			Lt			Bt		
Platea	Fili	Sc	Sq	Sy	Sc	Sq	Sy	Sc	Sq	Sy	Sc	Sq	Sy
1	2, 3, 4, 1	1.44	1.41	0.69	-	-	-	-	-	-	-	-	-

Fattori di profondità													
		A1						A2					
		Lt			Bt			Lt			Bt		
Platea	Fili	Dc	Dq	Dy	Dc	Dq	Dy	Dc	Dq	Dy	Dc	Dq	Dy
1	2, 3, 4, 1	1.02	1.02	1.00	-	-	-	-	-	-	-	-	-

Fattori di inclinazione del piano di posa													
		A1						A2					
		Lt			Bt			Lt			Bt		
Platea	Fili	Bc	Bq	By	Bc	Bq	By	Bc	Bq	By	Bc	Bq	By
1	2, 3, 4, 1	1.00	1.00	1.00	-	-	-	-	-	-	-	-	-

Fattori di inclinazione del piano campagna													
		A1						A2					
		Lt			Bt			Lt			Bt		
Platea	Fili	Gc	Gq	Gy	Gc	Gq	Gy	Gc	Gq	Gy	Gc	Gq	Gy
1	2, 3, 4, 1	1.00	1.00	1.00	-	-	-	-	-	-	-	-	-

Fattori di inclinazione dei carichi													
		A1						A2					
		Lt			Bt			Lt			Bt		
Platea	Fili	Ic	Iq	Iy	Ic	Iq	Iy	Ic	Iq	Iy	Ic	Iq	Iy
1	2, 3, 4, 1	1.00	1.00	1.00	-	-	-	-	-	-	-	-	-

Fattori di portanza dell'effetto inerziale (Paolucci Pecker)													
		A1						A2					
		Lt			Bt			Lt			Bt		
Platea	Fili	Zc	Zq	Zy	Zc	Zq	Zy	Zc	Zq	Zy	Zc	Zq	Zy
1	2, 3, 4, 1	1.00	0.99	1.00	-	-	-	-	-	-	-	-	-

Fattori di portanza dell'effetto cinematico (Maugeri-Cascone)											
		A1						A2			
		Lt		Bt		Lt		Bt			
Platea	Fili	eyk	eyi	eyk	eyi	eyk	eyi	eyk	eyi		
1	2, 3, 4, 1	0.95	0.81	-	-	-	-	-	-		

VERIFICA CAPACITA' PORTANTE.

Relazione di calcolo -

La verifica del sistema di fondazione relativo alla struttura in oggetto, è stata effettuata sulla base dei dati geologici e dei parametri geotecnici forniti, seguendo l'approccio di progetto relativo alla normativa di riferimento:

- (punti 6.4.2.1 delle N.T.C. e 6.4.3 per fondazioni su pali)

A1 + M1 + R3

dove:

- Coefficienti parziali per le azioni

CARICHI	COEFFICIENTE PARZIALE	Comb. A1
PERMANENTI	γ_{G1ns}	1.3
PERMANENTI NON STRUTTURALI	γ_{G2ns}	1.5
VARIABILI	γ_{Qi}	1.5

- Coefficienti per i parametri geotecnici del terreno

PARAMETRO	GRANDEZZA ALLA QUALE APPL. IL COEFF. PARZIALE	Comb. M1
Tangente dell'angolo di attrito	$\tan\phi$	1.0
Coesione drenata del terreno	C	1.0
Coesione non drenata del terreno	C_u	1.0
Peso dell'unità di volume	γ	1.0

- Coefficienti parziali γ_R per le verifiche agli stati ultimi di fondazioni superficiali

VERIFICA	COEFFICIENTE PARZIALE R3
Capacità portante	$\gamma_R = 2.3$

Le verifiche vengono riassunte nelle successive tabelle.

Platee. SLU-SLV

Platea : numero della platea;
 Fili : fili fissi ai quali appartiene la platea considerata;
 A1 - Lt : verifica della combinazione di carico A1 a lungo termine;
 D : profondità del piano di posa;
 qlimd : carico limite di calcolo;
 σ : tensione di calcolo;
 S : Coefficiente di sicurezza;
 Esito : V = Verificato; NV = Non Verificato

Platea	Fili	Combinazione A1 - Lt				Esito
		D [cm]	qlimd [daN/cm ²]	σ [daN/cm ²]	S	
1	2, 3, 4, 1	20.00	2.73	0.34	8.03	V

Platee. SLD

Platea : numero della platea;
 Fili : fili fissi ai quali appartiene la platea considerata;
 A1 - Lt : verifica della combinazione di carico A1 a lungo termine;
 D : profondità del piano di posa;
 qlimd : carico limite di calcolo;
 σ : tensione di calcolo;
 S : Coefficiente di sicurezza;
 Esito : V = Verificato; NV = Non Verificato

Platea	Fili	Combinazione A1 - Lt				Esito
		D [cm]	qlimd [daN/cm ²]	σ [daN/cm ²]	S	
1	2, 3, 4, 1	20.00	2.73	0.24	11.38	V

Verifiche nei confronti degli stati limite di esercizio (SLE).

Gli stati limite di esercizio (punto 6.4.2.2 delle N.T.C.) investigati, si riferiscono al raggiungimento di valori critici dei cedimenti differenziali che possono compromettere la funzionalità dell'opera. Il calcolo dei cedimenti è stato eseguito per la combinazione di esercizio , quasi permanente

Platee.

Platea : numero sella platea;
 Fili : fili fissi ai quali appartiene la platea considerata;
 Comb. : tipo inviluppo;
 Dist. : distanza tra i punti di massimo cedimento differenziale;
 Istant. : cedimento istantaneo;
 Consol. : cedimento di consolidamento;
 Tot. : cedimento totale;
 Diff. : cedimento differenziale;
 Lim. : cedimento limite (4‰ x Dist.);
 S : Coefficiente di sicurezza;
 Esito : V = Verificato; NV = Non Verificato

	Max	Min
--	------------	------------

Relazione di calcolo -

Platea	Fili	Comb.	Dist. [cm]	Istant. [cm]	Consol. [cm]	Tot. [cm]	Istant. [cm]	Consol. [cm]	Tot. [cm]	Diff. [cm]	Lim. [cm]	S	Esito
1	2, 3, 4, 1	Q. Perm.	251.0	-0.0444	-0.0041	-0.0485	-0.0337	-0.0037	-0.0374	0.0111	1.0042	90.26	V

Dalle tabelle relative al cedimento differenziale limite delle fondazioni, si evince che i cedimenti differenziali massimi stimati risultano compatibili con la funzionalità dei lavori in oggetto.

7 RELAZIONE SULLE FONDAZIONI

7.1 Strutture di fondazione e del suolo di fondazione.

Descrizione delle tipologie di fondazione utilizzate.

Nell'ambito dei lavori in oggetto si sono utilizzate le seguenti tipologie di fondazione: , platee, le cui dimensioni e la loro ubicazione vengono di seguito meglio descritte.

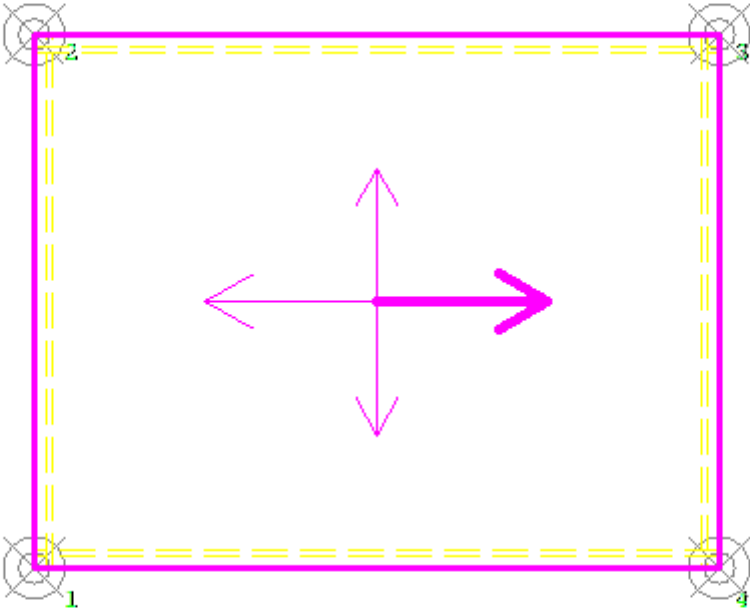
Descrizione delle platee di fondazione e loro ubicazione in pianta.

Platea : numero della platea;
Impalcato : impalcato al quale appartiene la piastra;
Fili : fili fissi ai quali appartiene la piastra;
Spessore : spessore della Piastra;
KwN : modulo di Winkler normale;
KwT : modulo di Winkler tangenziale;

Platea	Impalcato	Fili	Spessore [cm]	KwN [daN/cm ³]	KwT [daN/cm ³]
1	Fondazione	2, 3, 4, 1	20	49.18	36.08

Piante fondazioni.

Fondazione



7.2 Tensioni sul Terreno.

I dati seguenti riportano i valori delle tensioni esercitate dalla fondazione sul terreno.

Asta/Piastra : numerazione interna dell'asta/piastra.
 X : distanza dal nodo iniziale misurata lungo l'asse dell'asta/piastra.
 Comb : combinazione di appartenenza del valore considerato nell'involuppo.
 Tensioni (σ_T) : valore della tensione dovuta alla pressione dell'asta/piastra di fondazione:

Tabella 5.II

Tensioni Terreno				
	SLU	SLE		
		Caratteristi che	Frequenti	Quasi Permanenti
Piastra	σ [daN/cm ²]	σ [daN/cm ²]	σ [daN/cm ²]	σ [daN/cm ²]
1	0.34(1) *	0.24(1) *	0.23(1) *	0.22(1) *

* valore massimo.

Descrizione del suolo di fondazione.

- Caratteristiche litostratigrafiche

L'analisi dei risultati ottenuti dalle indagini per la caratterizzazione del suolo di fondazione sono meglio indicati nella relazione geologico-tecnica allegata. Per quanto riguarda l'aspetto geologico a seguito il rilevamento di un significativo intorno della zona in esame si è riscontrata la presenza delle seguenti successioni litostratigrafiche nelle relative sezioni geologiche (colonne stratigrafiche):

Filo : filo fisso al quale appartiene la colonna stratigrafica;
 Colonna : nome della colonna stratigrafica;
 Strato : nome dello strato appartenente la colonna stratigrafica;
 Descrizione : descrizione dello strato;

Filo	Colonna	Strato	Descrizione
1	Colonna 1	Calcari fratturati	calcari

- Caratteristiche fisico meccaniche dei terreni di fondazione

Nell'ambito del progetto si è fatto uso delle seguenti colonne stratigrafiche:

Caratteristiche delle colonne stratigrafiche:

Colonna : nome della colonna stratigrafica;
 Filo : filo fisso al quale appartiene la colonna stratigrafica;
 Impalcato : Impalcato al quale appartiene la colonna stratigrafica;
 Falda : Presenza della falda;
 Prof. Falda : Profondità della falda (se è presente);
 Spicc. Fond. : Quota dell'estradosso della fondazione rispetto al piano campagna;
 No. Strati : Numero degli strati della colonna stratigrafica.
 RQD : (Rock Quality Designation)grado di fratturazione dell'ammasso roccioso in [0-1]

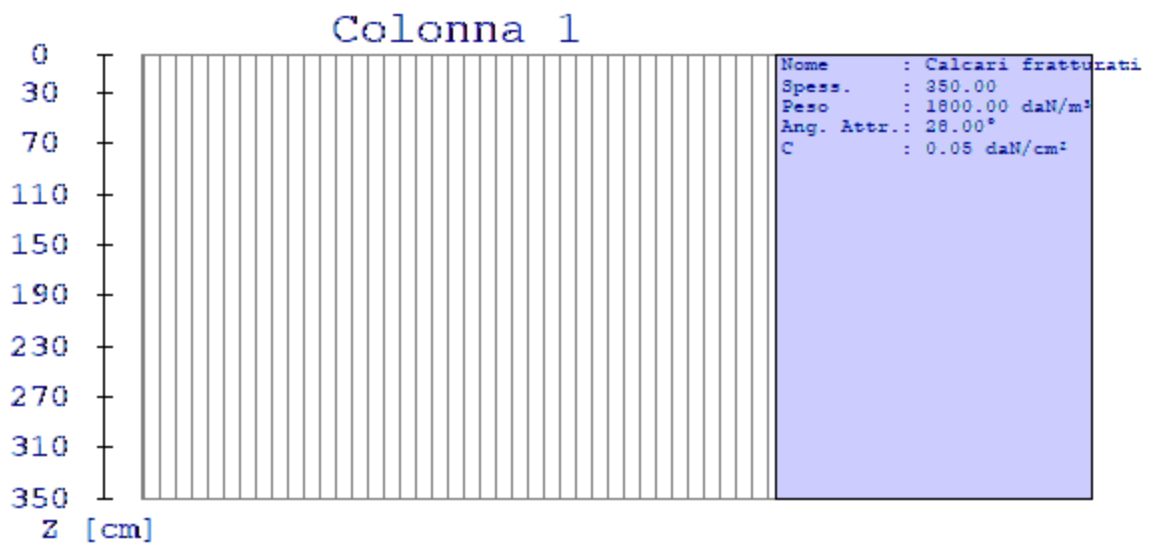
Filo	Colonna	Impalcato	Falda	Prof. Falda [cm]	Spicc. Fond. [cm]	No. Strati	RQD
1	Colonna 1	Fondazione	Non Presente	-	0.00	1	-
2	Colonna 1	Fondazione	Non Presente	-	0.00	1	-
3	Colonna 1	Fondazione	Non Presente	-	0.00	1	-
4	Colonna 1	Fondazione	Non Presente	-	0.00	1	-

Caratteristiche degli strati appartenenti alle colonne stratigrafiche:

Colonna : nome della colonna stratigrafica;
 Strato : nome dello strato appartenente la colonna stratigrafica;
 Spess. : Spessore dello strato;
 Peso : Peso dell'unità di volume dello strato;
 Peso eff. : Peso dell'unità di volume efficace dello strato;
 NSPT : Numero di colpi medio misurato nello strato;
 Qc : Resistenza alla punta media misurata nello strato;
 ϕ : Angolo di attrito del terreno;
 C : Coesione drenata del terreno;
 Cu : Coesione non drenata del terreno;
 E : Modulo elastico del terreno;
 G : Modulo di taglio del terreno;
 ν_t : Coefficiente di Poisson;
 E_{ed} : Modulo Edometrico;
 OCR : Grado di sovraconsolidazione del terreno.

Colonna	Strato	Spess. [cm]	Peso [daN/m ³]	Peso eff. [daN/m ³]	NSPT	Qc [daN/cm ²]	ϕ [°]	C [daN/cm ²]	Cu [daN/cm ²]	E [daN/cm ²]	G [daN/cm ²]	ν_t	E_{ed} [daN/cm ²]	OCR
Colonna 1	Calciari fratturati	350.0	1800.0	800.0	-	-	28.0	0.05	0.00	5090.00	1880.00	0.35	-	1.00

- Sezioni Geologiche:



- Caratterizzazione sismica del suolo di fondazione:

La categoria assunta per il suolo di fondazione per il sito in oggetto è: B

7.3 Relazione sulle fondazioni (D.M. 17/01/2018)

Scelta del tipo di fondazioni.

In funzione dei risultati ottenuti dalla campagna di indagini eseguite e della tipologia strutturale adottata per i lavori in oggetto, si è proceduto alla scelta delle tipologie di fondazione superficiali per distribuire i carichi trasmessi dalla sovrastruttura al terreno di fondazione ripartendoli il più possibile in modo uniforme sul suolo di sedime delle fondazioni stesse. La scelta della profondità del piano di posa ha permesso il superamento del suolo vegetale, della zona soggetta a gelo-disgelo e variazioni stagionali di umidità. La profondità del piano di posa delle fondazioni risulta tale da prevenire fenomeni di erosione o scalzamento.

Le dimensioni strutturali delle opere di fondazione, le tipologie usate e la loro ubicazione risultano descritte nella prima parte della presente relazione e vengono meglio evidenziate negli elaborati grafici allegati.

Le verifiche di sicurezza relative agli stati limite ultimi (SLU) ed agli stati limite d'esercizio (SLE) indagati risultano tali da non limitare l'uso della costruzione, la sua efficienza, la durabilità della struttura garantendo un grado di sicurezza ed un livello di prestazioni nel rispetto della normativa vigente in materia.

Ipotesi assunte ed analisi dei risultati nei riguardi del complesso terreno-opera di fondazione.

Tutte le analisi presentate si riferiscono studio del sottosuolo semplificando la situazione reale con criteri cautelativi, analizzando diverse possibili schematizzazioni ed adottando i risultati meno favorevoli mediante coefficienti parziali per i parametri geotecnici del terreno, coefficienti parziali per le azioni o per l'effetto delle azioni e coefficienti parziali di sicurezza da applicare alle resistenze caratteristiche.

Le analisi delle elaborazioni eseguite permette di evidenziare i seguenti livelli di sicurezza:

Riassunto risultati verifiche:

ELEMENTO	Tipo verifica	S Min	S Max
Platee di fondazione	Capacità Portante SLU-SLV	8.03	8.03
	Capacità Portante SLD	11.38	11.38
	Cedim. Diff. SLE Q. Perm.	90.26	90.26

La caratterizzazione geologica da un lato, le caratteristiche dimensionali, strutturali e le configurazioni di carico dall'altro, hanno reso possibile effettuare valutazioni che hanno conto del comportamento complessivo delle strutture e delle interazioni terreno-fondazione.

Si rimanda alla Relazione Geologica-Tecnica redatta dal Dott. Geologo per prendere visione di ogni altra informazione relativa alla stratigrafia che caratterizza il suolo di fondazione.

I coefficienti di sicurezza per tutte le verifiche di resistenza eseguite sulle strutture di fondazione, sono riportate nella Relazione di Calcolo allegata.

Dalle verifiche eseguite su tutti gli elementi di fondazione risultano livelli di sicurezza accettabili e pertanto i lavori in oggetto si valutano realizzabili.

Per quanto sopra esposto, a seguito delle analisi geomorfologiche e dalle verifiche geotecniche svolte l'intervento in oggetto, nel rispetto delle disposizioni progettuali individuate, si ritiene perfettamente compatibile con le caratteristiche del sottosuolo ed attuabile nel rispetto delle Norme vigenti e delle esigenze della Committenza.

Si prescrive che in corso d'opera si debba riscontrare la rispondenza della caratterizzazione geotecnica assunta in progetto e la situazione reale e che la sistemazione esterna dovrà evitare infiltrazioni di acqua tale da variare le caratteristiche geotecniche del terreno di fondazione.

SOMMARIO

1 Introduzione	1
1.1 Premessa	1
1.1.1 Cenni sulla casa produttrice del software.....	1
1.1.2 Descrizione dell'Opera da calcolare	1
1.2 Riferimenti Legislativi.....	1
1.3 Convenzioni,Unità di misura e simboli adottati.....	2
2 Descrizione del Modello.....	3
2.1 Modello assunto per il calcolo.....	3
2.2 Tipo di calcolo.....	5
2.3 Condizioni di carico valutate	6
2.4 Procedura di Verifica degli elementi.....	13
2.4.1 Elementi in C.A.	13
3 Dati	18
3.1 Dati Generali	18
3.2 Elenco e Caratteristiche dei materiali.....	21
3.3 Elenco e caratteristiche delle colonne stratigrafiche.	22
3.4 Elenco dei carichi.....	22
3.4.1 Pesi propri unitari - G1.	22
3.4.2 Carichi Permanenti unitari - G2.....	23
3.4.3 Carichi Variabili unitari - Q.	23
3.4.4 Pesi Impalcati.	23
3.5 Elenco e Caratteristiche delle sezioni trasversali.....	23
3.6 Geometria Struttura.....	23
3.6.1 Fili Fissi.....	24
3.6.2 Caratteristiche dei nodi.....	24
3.6.3 Caratteristiche delle aste.....	26
3.6.4 Caratteristiche delle Piastre.....	26
3.6.5 Carichi distribuiti sugli elementi.....	26
4 Risultati di Calcolo.....	28
4.1 Tensioni sul Terreno.....	28
4.2 Verifica Elementi Bidimensionali.....	29
4.2.1 Verifica Piastre.....	29
4.2.1.1 Verifica Piastre in C.A.....	29
4.2.1.1.1 Dati Generali	29
4.2.1.1.2 Verifiche SLV - Flessione.....	29
4.2.1.1.3 Verifiche SLV - Taglio.....	30
4.2.1.1.4 Verifiche SLE - Fessurazione.....	30
4.2.1.1.5 Verifiche SLE - Tensioni di Esercizio	31
5 ALLEGATI.....	31
5.1 ALLEGATO A - (Pericolosità sismica di base).....	31
6 RELAZIONE GEOTECNICA	34
6.1 DESCRIZIONE DELL'OPERA E DEGLI INTERVENTI.....	34
6.2 RELAZIONE GEOTECNICA (CAP. 6 delle N.T.C.)	36
7 RELAZIONE SULLE FONDAZIONI.....	46
7.1 Strutture di fondazione e del suolo di fondazione.....	46
7.2 Tensioni sul Terreno.....	48
7.3 Relazione sulle fondazioni (D.M. 17/01/2018).....	51

Comune : MESAGNE

PROVINCIA : BRINDISI

Relazione di calcolo

Progetto di nuova struttura ai sensi del D.M. 17/01/2018 "Norme Tecniche per le Costruzioni"

Archivio: platea cabina di stoccaggio - Data: 23/09/2022

Oggetto:

Committente:	Progettista:	Progettista Strutturale:	Direttore dei Lavori:
	Debora Dellegrottaglie		

1 Introduzione

1.1 Premessa

1.1.1 Cenni sulla casa produttrice del software

La relazione seguente riporta i dati relativi ai criteri di progettazione, alla geometria, alla meccanica della struttura descritta al relativo paragrafo, nonché i relativi risultati dei calcoli strutturali così come ricavati dal calcolatore elettronico tramite l'utilizzo del Software "FaTA-e" prodotto e distribuito da Stacec srl con sede in Bovalino (RC), e concesso in licenza al responsabile dei calcoli stessi.

FaTA-e è un programma sviluppato specificatamente per la progettazione e la verifica di edifici tridimensionali multipiano ed industriali realizzati con elementi strutturali in C.A., in Acciaio, in legno (massiccio e/o lamellare) o in muratura.

FaTA-e articola le operazioni di progetto secondo tre fasi distinte:

- 1) **preprocessore**: fase di Input dove viene definita e modellata interamente la struttura;
- 2) **solutore**: fase di elaborazione della struttura tramite un solutore agli elementi finiti;
- 3) **post-processor**: fase di verifica degli elementi, creazione degli elaborati grafici e della relazione di calcolo.

1.1.2 Descrizione dell'Opera da calcolare

Comune : MESAGNE

PROVINCIA : BRINDISI

Oggetto :

Committente :
Indirizzo :
Città :
PROVINCIA :
Telefono :

Progettista : Debora Dellegrottaglie
Indirizzo : Via Borgo Antico
Città : MESAGNE
PROVINCIA : BRINDISI
Telefono :

Progettista Strutturale :
Indirizzo :
Città :
PROVINCIA :
Telefono :

Direttore dei Lavori :
Indirizzo :
Città :
PROVINCIA :
Telefono :

Nome File : platea cabina di stoccaggio

1.2 Riferimenti Legislativi.

Tutte le operazioni illustrate nel proseguo, relative all'analisi della struttura ed alle verifiche sugli elementi sono state effettuate in piena conformità alle seguenti norme:

Norme Tecniche C.N.R. 10011:

"Costruzioni di acciaio - Istruzione per il calcolo, l'esecuzione, il collaudo e la manutenzione."

Norme C.N.R. 10024:

"Analisi delle strutture mediante calcolatore elettronico: impostazione e redazione delle relazioni di calcolo."

Ordinanza del Presidente del Consiglio 3274 - 08/05/2003:

"Primi elementi in materia di criteri generali per la classificazione sismica del territorio nazionale e di normative tecniche per le costruzioni in zona sismica."

Ordinanza del Presidente del Consiglio 3431 - 03/05/2005:

"Ulteriori modifiche ed integrazioni all'Ordinanza del Presidente del Consiglio 3274 - 08/05/2003."

UNI ENV 1992-1-1: Eurocodice 2:

"Progettazione delle strutture in calcestruzzo - Parte 1-1: Regole generali e regole per gli edifici"

UNI ENV 1993-1-1: Eurocodice 3:

"Progettazione delle strutture di acciaio - Parte 1-1: Regole generali e regole per gli edifici."

UNI ENV 1998-1-1: Eurocodice 8:

"Indicazioni progettuali per la resistenza sismica delle strutture - Parte 1-1: Regole generali."

D.M. 17/01/2018:

"Norme tecniche per le costruzioni."

Circolare CSLLPP n. 7 del 21/01/2019:

"Istruzioni per l'applicazione dell'aggiornamento delle «Norme tecniche per le costruzioni» di cui al decreto ministeriale 17 gennaio 2018."

1.3 Convenzioni, Unità di misura e simboli adottati.

Nei calcoli sono state utilizzate le seguenti unità:

- distanze	: cm
- forze, tagli, e sforzi normali	: daN
- coppie e momenti flettenti	: daNm
- carichi sulle aste	: daN/m
- carichi su superfici	: daN/m ²
- peso specifico	: daN/m ³
- tensioni e resistenze	: daN/m ²
- temperatura	: °C

I simboli adottati hanno il seguente significato:

q	: fattore di comportamento ;
R _{ck}	: Resistenza caratteristica cubica a compressione del calcestruzzo;
f _{ck}	: Resistenza caratteristica cilindrica a compressione del calcestruzzo;
E _c	: Modulo elastico secante del calcestruzzo;
E _{ct}	: Modulo elastico a trazione del calcestruzzo
f _{cd}	: Resistenza di calcolo del calcestruzzo;
f _{ctk,0.05}	: Resistenza caratteristica a trazione;
ν	: Coefficiente di Poisson;
α _t	: Coefficiente di dilatazione termica;
ps	: peso specifico;
f _{yk}	: Resistenza caratteristica di snervamento dell'acciaio;
f _{tk}	: Resistenza caratteristica di rottura dell'acciaio;
f _d	: resistenza di calcolo dell'acciaio;
A	: Superficie della sezione trasversale;
J _x	: Momento di inerzia rispetto all'asse X;
J _y	: Momento di inerzia rispetto all'asse Y;
J _{xy}	: Momento di inerzia centrifugo rispetto agli assi X ed Y;
J _t	: Fattore torsionale;

Relazione di calcolo -

N	: sforzo normale;
M_T	: Momento Torcente;
M_{XZ}	: Momento Flettente X-Z;
T_{XZ}	: Taglio X-Z;
M_{XY}	: Momento Flettente X-Y;
T_{XY}	: Taglio X-Y;
f	: Frequenza del modo i-esimo;
T	: Periodo del modo i-esimo;
Γ_x	: Fattore di partecipazione del modo i-esimo in direzione x;
Γ_y	: Fattore di partecipazione del modo i-esimo in direzione y;
Γ_z	: Fattore di partecipazione del modo i-esimo in direzione z;
N_{sd}	: Sforzo Normale sollecitante di calcolo;
M_{sdXZ}	: Momento Flettente X-Z sollecitante di calcolo;
M_{sdXY}	: Momento Flettente X-Y sollecitante di calcolo;
M_{tS}	: Momento Torcente sollecitante di calcolo;
V_{sdXZ}	: Taglio X-Z sollecitante di calcolo;
V_{sdXY}	: Taglio X-Y sollecitante di calcolo;
N_{Rd}	: Sforzo Normale resistente di calcolo;
M_{RdXZ}	: Momento Flettente X-Z resistente di calcolo;
M_{RdXY}	: Momento Flettente X-Y resistente di calcolo;
M_{tR}	: Momento Torcente resistente di calcolo;
V_{RdXZ}	: Taglio X-Z resistente di calcolo;
V_{RdXY}	: Taglio X-Y resistente di calcolo;
σ_c	: Tensioni del calcestruzzo;
σ_s	: Tensioni delle armature;
$\sigma_{c,lim}$: Tensioni limite del calcestruzzo;
$\sigma_{s,lim}$: Tensioni limite dell'acciaio;
f/l	: rapporto freccia/lunghezza;
f_{lim}	: valore limite del rapporto freccia/lunghezza;

2 Descrizione del Modello.

2.1 Modello assunto per il calcolo.

L'analisi numerica della struttura è stata condotta attraverso l'utilizzo del metodo degli elementi finiti ipotizzando un comportamento elastico-lineare.

Il metodo degli elementi finiti consiste nel sostituire il modello continuo della struttura con un modello discreto equivalente e di approssimare la funzione di spostamento con polinomio algebrico, definito in regioni (dette appunto elementi finiti) che sono delle funzioni interpolanti il valore di spostamento definito in punti discreti (detti nodi).

Gli elementi finiti utilizzabili ai fini della corretta modellazione della struttura verranno descritti di seguito.

Il modello di calcolo può essere articolato sulla base dell'ipotesi di impalcato rigido, in funzione della reale presenza di solai continui atti ad irrigidire tutto l'impalcato.

Tale ipotesi viene realizzata attraverso l'introduzione di adeguate relazioni cinematiche tra i gradi di libertà dei nodi costituenti l'impalcato stesso.

Il metodo di calcolo adottato, le combinazioni di carico, e le procedure di verifica saranno descritte di seguito.

Riferimento globale e locale.

La struttura viene definita utilizzando una terna di assi cartesiani formanti un sistema di riferimento levogiro, unico per tutti gli elementi e chiamato "globale". Localmente esiste un ulteriore sistema di riferimento, detto appunto "locale", utile alla definizione delle caratteristiche di rigidità dei singoli elementi.

I due sistemi di riferimento sono correlati da una matrice, detta di rotazione.

Modellazione geometrica della struttura.

Il modello geometrico (mesh) della struttura è basato sull'utilizzo dei seguenti elementi:

- Nodi

Si definiscono nodi, entità geometriche determinate tramite le tre coordinate nel riferimento globale.

I nodi, nello spazio tridimensionale, posseggono tre gradi di libertà traslazionali e tre rotazionali.

Relazione di calcolo -

Essi sono posizionati in modo da definire gli estremi degli elementi finiti e, di regola, in ogni discontinuità strutturale, di carico, di caratteristiche meccaniche, di campo di spostamento.

- *Vincoli e Molle*

I gradi di libertà possono essere vincolati, bloccando il cinematismo nella direzione voluta o assegnando "molle" applicate ai nodi tramite valori di rigidezza finiti.

Un vincolo assegna a priori un valore di spostamento nullo, e quindi la variabile corrispondente viene eliminata.

- *Vincoli interni*

Tali vincoli servono a definire le modalità di trasmissione degli sforzi dall'elemento finito ai nodi. Ciò viene associato al concetto di trasferimento della rigidezza.

Generalmente l'elemento considerato è rigidamente connesso ai nodi che lo definiscono, in modo da bloccare tutti i gradi di libertà relativi. E' possibile, comunque "rilasciare" le caratteristiche delle sollecitazioni, in modo da svincolare i gradi di libertà corrispondenti. Nel caso particolare, il modello utilizzato consente di svincolare le tre rotazioni intorno agli assi locali dell'asta.

- *Aste*

Si tratta di elementi finiti monodimensionali ad asse rettilineo delimitate da due nodi (i nodi di estremità).

Per questi elementi generalmente la funzione interpolante è quella del modello analitico per cui la mesh non influisce sensibilmente sulla convergenza.

Le aste sono dotate di rigidezza assiale, flessionale, e a taglio, secondo il modello classico della trave inflessa di Eulero-Bernoulli.

Alla singola asta è possibile associare una sezione costante per tutta la sua lunghezza.

- *Asta su suolo elastico*

Si tratta di elementi finiti monodimensionali ad asse rettilineo, di definizione simile alle aste. Sono utili a modellare travi di fondazione, considerate poggianti su suolo alla Winkler, e reagenti sia rispetto alle componenti traslazionali di cinematismo, sia rotazionali.

- *Lastra-Piastra*

Si tratta di elementi finiti bidimensionali, definiti da tre o quattro nodi, posti ai vertici rispettivamente di un triangolo o di un quadrilatero irregolare. La geometria reale dell'elemento viene ricondotta ad un triangolo rettangolo (elemento a tre nodi) o ad un quadrato definito nella trattazione isoparametrica.

L'elemento lastra-piastra non ha rigidezza per la rotazione intorno all'asse perpendicolare al suo piano e viene trattato secondo la teoria di Mindlin-Reissner. Nel modello considerato si tiene conto dell'accoppiamento tra azioni flessionali e membranali.

- *Forze e coppie concentrate*

Per la risoluzione statica della struttura, tutti i carichi applicati agli elementi vengono trasferiti ai nodi. Ciò avviene in automatico per il peso delle aste, delle piastre, delle pareti, dei pannelli di carico presenti sulle aste e per la distribuzione di carico applicate agli elementi bidimensionali.

Il modello di calcolo consente anche l'introduzione di forze e coppie ai nodi.

Le forze sono dirette lungo le tre direzioni del sistema di riferimento globale ed in entrambi i versi per ogni direzione.

Le coppie concentrate sono riferite ai tre assi del riferimento globale, in entrambi i versi di di rotazione di ciascun asse.

- *Carichi distribuiti*

Il modello di calcolo consente anche l'introduzione di carichi ripartiti sulle aste e di distribuzione di carico su piastre e pareti.

I carichi ripartiti sulle aste possono essere riferite sia al riferimento globale, sia al riferimento locale, lungo le tre direzioni ed in entrambe i versi. E' possibile anche introdurre carichi distribuiti torcenti agenti intorno all'asse dell'asta ed in entrambe i versi di rotazione.

Tutti i tipi di carico ripartito devono avere forma trapezia.

Sugli elementi bidimensionali, che fanno parte della mesh di piastre e pareti, è possibile assegnare una distribuzione uniforme, avente le caratteristiche di una pressione diretta ortogonalmente all'elemento.

- *Pannelli di carico*

Il pannello di carico è un concetto legato alla reale distribuzione di carichi gravanti sulle aste. Ne fanno parte: solai, balconi, scale.

Da tali pannelli, di forma irregolare come definiti dalla geometria dell'input, si passa alla quantificazione dei carichi trapezoidali ripartiti sulle aste. Per meglio simulare l'effetto dei pannelli, vengono generati in modo automatico anche dei carichi ripartiti torcenti, anch'essi di forma trapezia, relativi ai carichi distribuiti equivalenti al pannello.

- *Sezioni*

Le sezioni assegnabili alle aste sono definite attraverso le caratteristiche geometrico-elastiche, i moduli di resistenza plastici (sezioni in acciaio) ed il materiale.

Materiali.

I materiali, ai fini del calcolo delle sollecitazioni, sono considerati omogenei ed isotropi e sono definiti dalle seguenti caratteristiche: peso per unità di volume, modulo elastico, coefficiente di Poisson, coefficiente di dilatazione, e tutte le caratteristiche meccaniche, riepilogate in seguito, utili alle verifiche strutturali dettate dalla normativa.

Matrici di calcolo della struttura.

Dalla discretizzazione geometrica della struttura vengono definite le matrici utili a studiare il comportamento globale della struttura in esame.

- Matrice di rigidezza

Tale matrice viene costruita partendo dalla matrice di rigidezza espressa nel sistema di riferimento locale dell'elemento considerato. Attraverso un'operazione di trasformazione, mediante la matrice di rotazione, viene riferita al sistema di riferimento globale. L'ultima operazione consiste nell'"assemblaggio" delle singole matrici di ogni elemento, in modo da formare un'unica matrice relativa all'intera struttura.

- Matrice delle masse

La generazione della matrice globale è del tutto analoga a quella sopra descritta per la matrice di rigidezza. La matrice delle masse è di tipo "consistent" e considera l'effettiva distribuzione delle masse della struttura. Come definito dalla normativa, alle masse relative ai carichi permanenti, viene aggiunta un'aliquota delle masse equivalenti ai carichi d'esercizio.

2.2 Tipo di calcolo.

ANALISI ORIZZONTALE STATICA LINEARE

Il calcolo risolutivo della struttura è stato effettuato utilizzando un sistema di equazioni lineari (di dimensioni pari ai gradi di libertà), secondo la relazione:

$$\underline{u} = [\underline{K}]^{-1} \underline{F}$$

dove: \underline{F} = vettore dei carichi risultanti applicate ai nodi;
 \underline{u} = vettore dei cinematismi nodali;
 $[\underline{K}]$ = matrice di rigidezza globale.

Tale analisi è stata ripetuta per tutte le condizioni presenti sulla struttura, identificati dai vettori dei carichi relativi a:

- carichi permanenti;
- carichi d'esercizio;
- delta termico;
- carichi utente;
- torsioni accidentali;

I valori delle eccentricità accidentali per le torsioni sono i seguenti:

Imp. Reale	Torsioni Accidentali	
	e _x [cm]	e _y [cm]
1	65.0	15.0

Per ogni impalcato reale si riportano i dati relativi alle rigidezze e ai baricentri:

Imp. Reale	Rigidezze			Centro Massa		Centro Rigidezza	
	Rig X [KN/cm]	Rig Y [KN/cm]	Rig. Tors. [KNcm]	X [cm]	Y [cm]	xR [cm]	yR [cm]
1	125674	7683	2207359628 4	650.0	150.0	650.0	150.0

L'analisi sismica (statica equivalente) nella componente orizzontale è stata effettuata considerando un sistema di forze, agenti nella direzione del sisma considerato, applicate ad ogni piano nel centro di massa del piano stesso. Per poter effettuare questo tipo di analisi deve valere la condizione:

Relazione di calcolo -

$$T_1 \leq 2.5 T_C$$

$$\text{Dir. X: } T_{1X} = 2 dx^{1/2} = 0.000 \text{ s}$$

$$\text{Dir. Y: } T_{1Y} = 2 dy^{1/2} = 0.000 \text{ s}$$

dx: spostamento massimo in dir. X dell'impalcato più in alto dell'edificio = 0.0000 m

dy: spostamento massimo in dir. Y dell'impalcato più in alto dell'edificio = 0.0000 m

T_C = periodo di fine risonanza dello spettro.

Nel caso specifico il valore di T_C è pari a: 0.57

Le forze sono computate secondo le seguenti formule:

$$F_{Ih} = F_H (W_I z_I) / (\sum W_I z_I) ;$$

$$F_H = S_d (T_1) W_{tot} \lambda ;$$

$$F_{Iv} = F_V (W_I) / (\sum W_I) ;$$

dove:

z_I : quota dell'impalcato,

$S_d (T_1)$: ordinata spettro di risposta.

$\lambda = 0.85$ (se $N_{piani} \geq 3$ e se $T_1 \leq 2 T_C$) oppure 1.00 (in tutti gli altri casi) ;

$$W_I = (G_K + \sum_i \Psi_{Ei} Q_{ik}) ;$$

dove:

$$\Psi_{Ei} (\text{SLU} - \text{SLD}) = \Psi_{2i} \varphi ;$$

$$\Psi_{2i} = 0.30 ;$$

φ (vedi paragrafo "Pesi Impalcati");

Si riportano i valori totali delle azioni sismiche orizzontali di piano applicate agli impalcati reali:

Imp. Reale	Fhx [daN]	Fhy [daN]
1	191.69	191.69
Fh Totali	191.69	191.69

2.3 Condizioni di carico valutate

Dati Condizioni.

Nella seguente tabella vengono riportati i dati per la definizione delle condizioni di carico:

Azione	Tipo	Durata
Car. perm. strutt. (Gk1)	C.Perm. (Gk)	Permanente
Car. perm. non strutt. (Gk2)	C.p. non str. (Gk2)	Permanente
Carichi d'esercizio (Qk)	C. Ese. (Qk)	Lunga
Δt	Carico termico	Breve
Torsione Accidentale X	Azione Sismica	Istantanea
Torsione Accidentale Y	Azione Sismica	Istantanea
Sisma X	Azione Sismica	Istantanea
Sisma Y	Azione Sismica	Istantanea
Sisma Z	Azione Sismica	Istantanea
Utente 1	Ignora	Permanente

Relazione di calcolo -

Coefficienti di combinazione.

Nella seguente tabella vengono riportati i coefficienti di combinazione da normativa, relativi agli stati limite ultimi (SLV) e di danno (SLD):

Impalcato	Destinazione	Altre azioni			Delta termico		
		Ψ_{0i}	Ψ_{1i}	Ψ_{2i}	Ψ_{0i}	Ψ_{1i}	Ψ_{2i}
Fondazione	Categoria A: Ambienti ad uso residenziale	0.7	0.5	0.3	0.6	0.5	0.0
Piano 1	Categoria A: Ambienti ad uso residenziale	0.7	0.5	0.3	0.6	0.5	0.0

Per balconi e scale verranno usati i coefficienti calcolati come i maggiori tra quelli relativi alla categoria di carico di piano ed i seguenti:

Cat.	Destinazione	Altre azioni			Delta termico		
		Ψ_{0i}	Ψ_{1i}	Ψ_{2i}	Ψ_{0i}	Ψ_{1i}	Ψ_{2i}
C2	Balconi, ballatoi e scale	0.7	0.7	0.6	0.6	0.5	0.0

Tutte le combinazioni sono da intendersi come somma dell'effetto considerato. Tali combinazioni vengono considerate sovrapponendo i diagrammi secondo la tecnica dell'involuppo.

Combinazioni per le verifiche allo Stato Limite di Salvaguardia della Vita

Le azioni di calcolo presenti sulla struttura e le relative combinazioni di carico nei riguardi degli stati limite di salvaguardia della vita essere riassunte nelle seguenti tabelle:

Comb.	Elementi della Struttura								
	Condizione								
	C. perm.(Gk1)	C. p. non str.(Gk2)	C. ese.(Qk)	Delta T(DT)	Tors. acc. X(Mx)	Tors. acc. Y(My)	Sisma X	Sisma Y	Sisma Z
1*	γ_{Gns}	γ_{G2ns}	γ_{Qns}	0	0	0	0	0	0
2*	γ_{Gns}	γ_{G2ns}	γ_{Qns}	$\Psi_0\gamma_{Qns}$	0	0	0	0	0
3*	γ_{Gns}	γ_{G2ns}	γ_{Qns}	$-\Psi_0\gamma_{Qns}$	0	0	0	0	0
4*	γ_{Gns}	γ_{G2ns}	$\Psi_0\gamma_{Qns}$	γ_{Qns}	0	0	0	0	0
5*	γ_{Gns}	γ_{G2ns}	$\Psi_0\gamma_{Qns}$	$-\gamma_{Qns}$	0	0	0	0	0
6	γ_{Gs}	γ_{G2s}	$\Psi_2\gamma_{Qs}$	0	1	0	1	0.30	0
7	γ_{Gs}	γ_{G2s}	$\Psi_2\gamma_{Qs}$	0	-1	0	1	0.30	0
8	γ_{Gs}	γ_{G2s}	$\Psi_2\gamma_{Qs}$	0	1	0	1	-0.30	0
9	γ_{Gs}	γ_{G2s}	$\Psi_2\gamma_{Qs}$	0	-1	0	1	-0.30	0
10	γ_{Gs}	γ_{G2s}	$\Psi_2\gamma_{Qs}$	0	1	0	-1	0.30	0
11	γ_{Gs}	γ_{G2s}	$\Psi_2\gamma_{Qs}$	0	-1	0	-1	0.30	0
12	γ_{Gs}	γ_{G2s}	$\Psi_2\gamma_{Qs}$	0	1	0	-1	-0.30	0
13	γ_{Gs}	γ_{G2s}	$\Psi_2\gamma_{Qs}$	0	-1	0	-1	-0.30	0
14	γ_{Gs}	γ_{G2s}	$\Psi_2\gamma_{Qs}$	0	0	1	0.30	1	0
15	γ_{Gs}	γ_{G2s}	$\Psi_2\gamma_{Qs}$	0	0	-1	0.30	1	0
16	γ_{Gs}	γ_{G2s}	$\Psi_2\gamma_{Qs}$	0	0	1	-0.30	1	0
17	γ_{Gs}	γ_{G2s}	$\Psi_2\gamma_{Qs}$	0	0	-1	-0.30	1	0
18	γ_{Gs}	γ_{G2s}	$\Psi_2\gamma_{Qs}$	0	0	1	0.30	-1	0
19	γ_{Gs}	γ_{G2s}	$\Psi_2\gamma_{Qs}$	0	0	-1	0.30	-1	0
20	γ_{Gs}	γ_{G2s}	$\Psi_2\gamma_{Qs}$	0	0	1	-0.30	-1	0
21	γ_{Gs}	γ_{G2s}	$\Psi_2\gamma_{Qs}$	0	0	-1	-0.30	-1	0

*Combinazione fondamentale (par. 2.5.3, formula 2.5.1)

Comb.	Condizione
	Utente 1
1*	0.00
2*	0.00
3*	0.00
4*	0.00
5*	0.00
6	0.00
7	0.00
8	0.00
9	0.00
10	0.00
11	0.00
12	0.00

Relazione di calcolo -

13	0.00
14	0.00
15	0.00
16	0.00
17	0.00
18	0.00
19	0.00
20	0.00
21	0.00

*Combinazione fondamentale (par. 2.5.3, formula 2.5.1)

Elementi di fondazione A1									
Comb.	Condizione								
	C. perm.(Gk1)	C. p. non str.(Gk2)	C. ese.(Qk)	Delta T(DT)	Tors. acc. X(Mx)	Tors. acc. Y(My)	Sisma X	Sisma Y	Sisma Z
1*	γ_{Gns}	γ_{G2ns}	γ_{Qns}	0	0	0	0	0	0
2*	γ_{Gns}	γ_{G2ns}	γ_{Qns}	$\Psi 0 \gamma_{Qns}$	0	0	0	0	0
3*	γ_{Gns}	γ_{G2ns}	γ_{Qns}	$-\Psi 0 \gamma_{Qns}$	0	0	0	0	0
4*	γ_{Gns}	γ_{G2ns}	$\Psi 0 \gamma_{Qns}$	γ_{Qns}	0	0	0	0	0
5*	γ_{Gns}	γ_{G2ns}	$\Psi 0 \gamma_{Qns}$	$-\gamma_{Qns}$	0	0	0	0	0
6	γ_{Gs}	γ_{G2s}	$\Psi 2 \gamma_{Qs}$	0	1	0	1	0.30	0
7	γ_{Gs}	γ_{G2s}	$\Psi 2 \gamma_{Qs}$	0	-1	0	1	0.30	0
8	γ_{Gs}	γ_{G2s}	$\Psi 2 \gamma_{Qs}$	0	1	0	1	-0.30	0
9	γ_{Gs}	γ_{G2s}	$\Psi 2 \gamma_{Qs}$	0	-1	0	1	-0.30	0
10	γ_{Gs}	γ_{G2s}	$\Psi 2 \gamma_{Qs}$	0	1	0	-1	0.30	0
11	γ_{Gs}	γ_{G2s}	$\Psi 2 \gamma_{Qs}$	0	-1	0	-1	0.30	0
12	γ_{Gs}	γ_{G2s}	$\Psi 2 \gamma_{Qs}$	0	1	0	-1	-0.30	0
13	γ_{Gs}	γ_{G2s}	$\Psi 2 \gamma_{Qs}$	0	-1	0	-1	-0.30	0
14	γ_{Gs}	γ_{G2s}	$\Psi 2 \gamma_{Qs}$	0	0	1	0.30	1	0
15	γ_{Gs}	γ_{G2s}	$\Psi 2 \gamma_{Qs}$	0	0	-1	0.30	1	0
16	γ_{Gs}	γ_{G2s}	$\Psi 2 \gamma_{Qs}$	0	0	1	-0.30	1	0
17	γ_{Gs}	γ_{G2s}	$\Psi 2 \gamma_{Qs}$	0	0	-1	-0.30	1	0
18	γ_{Gs}	γ_{G2s}	$\Psi 2 \gamma_{Qs}$	0	0	1	0.30	-1	0
19	γ_{Gs}	γ_{G2s}	$\Psi 2 \gamma_{Qs}$	0	0	-1	0.30	-1	0
20	γ_{Gs}	γ_{G2s}	$\Psi 2 \gamma_{Qs}$	0	0	1	-0.30	-1	0
21	γ_{Gs}	γ_{G2s}	$\Psi 2 \gamma_{Qs}$	0	0	-1	-0.30	-1	0

*Combinazione fondamentale (par. 2.5.3, formula 2.5.1)

Comb.	Condizione
	Utente 1
1*	0.00
2*	0.00
3*	0.00
4*	0.00
5*	0.00
6	0.00
7	0.00
8	0.00
9	0.00
10	0.00
11	0.00
12	0.00
13	0.00
14	0.00
15	0.00
16	0.00
17	0.00
18	0.00
19	0.00
20	0.00
21	0.00

*Combinazione fondamentale (par. 2.5.3, formula 2.5.1)

Combinazioni per le verifiche allo Stato Limite di Danno

Le azioni di calcolo presenti sulla struttura e le relative combinazioni di carico nei riguardi degli stati limite di danno possono essere riassunte nelle seguenti tabelle:

Elementi della Struttura

Relazione di calcolo -

Comb.	Condizione								
	C. perm.(Gk1)	C. p. non str.(Gk2)	C. ese.(Qk)	Delta T(DT)	Tors. acc. X(Mx)	Tors. acc. Y(My)	Sisma X	Sisma Y	Sisma Z
1	γ_{Gns}	γ_{G2ns}	γ_{Qns}	0	0	0	0	0	0
2	γ_{Gns}	γ_{G2ns}	γ_{Qns}	$\Psi 0 \gamma_{Qns}$	0	0	0	0	0
3	γ_{Gns}	γ_{G2ns}	γ_{Qns}	$-\Psi 0 \gamma_{Qns}$	0	0	0	0	0
4	γ_{Gns}	γ_{G2ns}	$\Psi 0 \gamma_{Qns}$	γ_{Qns}	0	0	0	0	0
5	γ_{Gns}	γ_{G2ns}	$\Psi 0 \gamma_{Qns}$	$-\gamma_{Qns}$	0	0	0	0	0
6	γ_{Gs}	γ_{G2s}	$\Psi 2 \gamma_{Qs}$	0	1	0	1	0.30	0
7	γ_{Gs}	γ_{G2s}	$\Psi 2 \gamma_{Qs}$	0	-1	0	1	0.30	0
8	γ_{Gs}	γ_{G2s}	$\Psi 2 \gamma_{Qs}$	0	1	0	1	-0.30	0
9	γ_{Gs}	γ_{G2s}	$\Psi 2 \gamma_{Qs}$	0	-1	0	1	-0.30	0
10	γ_{Gs}	γ_{G2s}	$\Psi 2 \gamma_{Qs}$	0	1	0	-1	0.30	0
11	γ_{Gs}	γ_{G2s}	$\Psi 2 \gamma_{Qs}$	0	-1	0	-1	0.30	0
12	γ_{Gs}	γ_{G2s}	$\Psi 2 \gamma_{Qs}$	0	1	0	-1	-0.30	0
13	γ_{Gs}	γ_{G2s}	$\Psi 2 \gamma_{Qs}$	0	-1	0	-1	-0.30	0
14	γ_{Gs}	γ_{G2s}	$\Psi 2 \gamma_{Qs}$	0	0	1	0.30	1	0
15	γ_{Gs}	γ_{G2s}	$\Psi 2 \gamma_{Qs}$	0	0	-1	0.30	1	0
16	γ_{Gs}	γ_{G2s}	$\Psi 2 \gamma_{Qs}$	0	0	1	-0.30	1	0
17	γ_{Gs}	γ_{G2s}	$\Psi 2 \gamma_{Qs}$	0	0	-1	-0.30	1	0
18	γ_{Gs}	γ_{G2s}	$\Psi 2 \gamma_{Qs}$	0	0	1	0.30	-1	0
19	γ_{Gs}	γ_{G2s}	$\Psi 2 \gamma_{Qs}$	0	0	-1	0.30	-1	0
20	γ_{Gs}	γ_{G2s}	$\Psi 2 \gamma_{Qs}$	0	0	1	-0.30	-1	0
21	γ_{Gs}	γ_{G2s}	$\Psi 2 \gamma_{Qs}$	0	0	-1	-0.30	-1	0

Comb.	Condizione
	Utente 1
1	0.00
2	0.00
3	0.00
4	0.00
5	0.00
6	0.00
7	0.00
8	0.00
9	0.00
10	0.00
11	0.00
12	0.00
13	0.00
14	0.00
15	0.00
16	0.00
17	0.00
18	0.00
19	0.00
20	0.00
21	0.00

Elementi di fondazione A1									
Comb.	Condizione								
	C. perm.(Gk1)	C. p. non str.(Gk2)	C. ese.(Qk)	Delta T(DT)	Tors. acc. X(Mx)	Tors. acc. Y(My)	Sisma X	Sisma Y	Sisma Z
1	γ_{Gns}	γ_{G2ns}	γ_{Qns}	0	0	0	0	0	0
2	γ_{Gns}	γ_{G2ns}	γ_{Qns}	$\Psi 0 \gamma_{Qns}$	0	0	0	0	0
3	γ_{Gns}	γ_{G2ns}	γ_{Qns}	$-\Psi 0 \gamma_{Qns}$	0	0	0	0	0
4	γ_{Gns}	γ_{G2ns}	$\Psi 0 \gamma_{Qns}$	γ_{Qns}	0	0	0	0	0
5	γ_{Gns}	γ_{G2ns}	$\Psi 0 \gamma_{Qns}$	$-\gamma_{Qns}$	0	0	0	0	0
6	γ_{Gs}	γ_{G2s}	$\Psi 2 \gamma_{Qs}$	0	1	0	1	0.30	0
7	γ_{Gs}	γ_{G2s}	$\Psi 2 \gamma_{Qs}$	0	-1	0	1	0.30	0
8	γ_{Gs}	γ_{G2s}	$\Psi 2 \gamma_{Qs}$	0	1	0	1	-0.30	0
9	γ_{Gs}	γ_{G2s}	$\Psi 2 \gamma_{Qs}$	0	-1	0	1	-0.30	0
10	γ_{Gs}	γ_{G2s}	$\Psi 2 \gamma_{Qs}$	0	1	0	-1	0.30	0
11	γ_{Gs}	γ_{G2s}	$\Psi 2 \gamma_{Qs}$	0	-1	0	-1	0.30	0
12	γ_{Gs}	γ_{G2s}	$\Psi 2 \gamma_{Qs}$	0	1	0	-1	-0.30	0
13	γ_{Gs}	γ_{G2s}	$\Psi 2 \gamma_{Qs}$	0	-1	0	-1	-0.30	0
14	γ_{Gs}	γ_{G2s}	$\Psi 2 \gamma_{Qs}$	0	0	1	0.30	1	0
15	γ_{Gs}	γ_{G2s}	$\Psi 2 \gamma_{Qs}$	0	0	-1	0.30	1	0
16	γ_{Gs}	γ_{G2s}	$\Psi 2 \gamma_{Qs}$	0	0	1	-0.30	1	0
17	γ_{Gs}	γ_{G2s}	$\Psi 2 \gamma_{Qs}$	0	0	-1	-0.30	1	0

Relazione di calcolo -

18	γ_{Gs}	γ_{G2s}	$\Psi_2\gamma_{Qs}$	0	0	1	0.30	-1	0
19	γ_{Gs}	γ_{G2s}	$\Psi_2\gamma_{Qs}$	0	0	-1	0.30	-1	0
20	γ_{Gs}	γ_{G2s}	$\Psi_2\gamma_{Qs}$	0	0	1	-0.30	-1	0
21	γ_{Gs}	γ_{G2s}	$\Psi_2\gamma_{Qs}$	0	0	-1	-0.30	-1	0

Comb.	Condizione
	Utente 1
1	0.00
2	0.00
3	0.00
4	0.00
5	0.00
6	0.00
7	0.00
8	0.00
9	0.00
10	0.00
11	0.00
12	0.00
13	0.00
14	0.00
15	0.00
16	0.00
17	0.00
18	0.00
19	0.00
20	0.00
21	0.00

I coefficienti utilizzati assumono i seguenti valori:

ELEMENTO	SLV						SLD					
	γ_{G1s}	γ_{G2s}	γ_{Qns}	γ_{G1s}	γ_{G2s}	γ_{Qs}	γ_{G1s}	γ_{G2s}	γ_{Qns}	γ_{G1s}	γ_{G2s}	γ_{Qs}
ELEMENTO	1.3	1.5	1.5	1.0	1.0	1.0	1.0	1.0	1.0	1.0	1.0	1.0
Fondazione A1	1.3	1.5	1.5	1.0	1.0	1.0	1.0	1.0	1.0	1.0	1.0	1.0

Combinazioni per le verifiche allo Stato limite di esercizio

Le azioni di calcolo presenti sulla struttura e le relative combinazioni di carico nei riguardi degli stati limite di esercizio possono essere riassunte nelle seguenti tabelle:

Combinazioni Caratteristiche:

Elementi della Struttura				
Comb.	Condizione			
	C. perm.(Gk1)	C. p. non str.(Gk2)	C. ese.(Qk)	Delta T(DT)
1	γ_{Gns}	γ_{G2ns}	γ_{Qns}	$\Psi_0\gamma_{Qns}$
2	γ_{Gns}	γ_{G2ns}	γ_{Qns}	$-\Psi_0\gamma_{Qns}$
3	γ_{Gns}	γ_{G2ns}	$\Psi_0\gamma_{Qns}$	γ_{Qns}
4	γ_{Gns}	γ_{G2ns}	$\Psi_0\gamma_{Qns}$	$-\gamma_{Qns}$

Comb.	Condizione
	Utente 1
1	0.00
2	0.00
3	0.00
4	0.00

Elementi di fondazione A1				
Comb.	Condizione			
	C. perm.(Gk1)	C. p. non str.(Gk2)	C. ese.(Qk)	Delta T(DT)
1	γ_{Gns}	γ_{G2ns}	γ_{Qns}	$\Psi_0\gamma_{Qns}$
2	γ_{Gns}	γ_{G2ns}	γ_{Qns}	$-\Psi_0\gamma_{Qns}$
3	γ_{Gns}	γ_{G2ns}	$\Psi_0\gamma_{Qns}$	γ_{Qns}
4	γ_{Gns}	γ_{G2ns}	$\Psi_0\gamma_{Qns}$	$-\gamma_{Qns}$

Comb.	Condizione
	Utente 1
1	0.00
2	0.00
3	0.00
4	0.00

Elementi di fondazione A2				
Comb.	Condizione			
	C. perm.(Gk1)	C. p. non str.(Gk2)	C. ese.(Qk)	Delta T(DT)
1	γ_{Gns}	γ_{G2ns}	γ_{Qns}	$\Psi_0\gamma_{Qns}$
2	γ_{Gns}	γ_{G2ns}	γ_{Qns}	$-\Psi_0\gamma_{Qns}$
3	γ_{Gns}	γ_{G2ns}	$\Psi_0\gamma_{Qns}$	γ_{Qns}
4	γ_{Gns}	γ_{G2ns}	$\Psi_0\gamma_{Qns}$	$-\gamma_{Qns}$

Comb.	Condizione
	Utente 1
1	0.00
2	0.00
3	0.00
4	0.00

Combinazioni Frequenti:

Elementi della Struttura				
Comb.	Condizione			
	C. perm.(Gk1)	C. p. non str.(Gk2)	C. ese.(Qk)	Delta T(DT)
1	γ_{Gns}	γ_{G2ns}	$\Psi_1\gamma_{Qns}$	$\Psi_2\gamma_{Qns}$
2	γ_{Gns}	γ_{G2ns}	$\Psi_1\gamma_{Qns}$	$-\Psi_2\gamma_{Qns}$
3	γ_{Gns}	γ_{G2ns}	$\Psi_2\gamma_{Qns}$	$\Psi_1\gamma_{Qns}$
4	γ_{Gns}	γ_{G2ns}	$\Psi_2\gamma_{Qns}$	$-\Psi_1\gamma_{Qns}$

Comb.	Condizione
	Utente 1
1	0.00
2	0.00
3	0.00
4	0.00

Elementi di fondazione A1				
Comb.	Condizione			
	C. perm.(Gk1)	C. p. non str.(Gk2)	C. ese.(Qk)	Delta T(DT)
1	γ_{Gns}	γ_{G2ns}	$\Psi_1\gamma_{Qns}$	$\Psi_2\gamma_{Qns}$
2	γ_{Gns}	γ_{G2ns}	$\Psi_1\gamma_{Qns}$	$-\Psi_2\gamma_{Qns}$
3	γ_{Gns}	γ_{G2ns}	$\Psi_2\gamma_{Qns}$	$\Psi_1\gamma_{Qns}$
4	γ_{Gns}	γ_{G2ns}	$\Psi_2\gamma_{Qns}$	$-\Psi_1\gamma_{Qns}$

Comb.	Condizione
	Utente 1
1	0.00
2	0.00
3	0.00
4	0.00

Elementi di fondazione A2				
Comb.	Condizione			
	C. perm.(Gk1)	C. p. non str.(Gk2)	C. ese.(Qk)	Delta T(DT)
1	γ_{Gns}	γ_{G2ns}	$\Psi_1\gamma_{Qns}$	$\Psi_2\gamma_{Qns}$
2	γ_{Gns}	γ_{G2ns}	$\Psi_1\gamma_{Qns}$	$-\Psi_2\gamma_{Qns}$
3	γ_{Gns}	γ_{G2ns}	$\Psi_2\gamma_{Qns}$	$\Psi_1\gamma_{Qns}$
4	γ_{Gns}	γ_{G2ns}	$\Psi_2\gamma_{Qns}$	$-\Psi_1\gamma_{Qns}$

Comb.	Condizione
	Utente 1
1	0.00
2	0.00
3	0.00
4	0.00

Combinazioni quasi permanenti :

Elementi della Struttura				
Comb.	Condizione			
	C. perm.(Gk1)	C. p. non str.(Gk2)	C. ese.(Qk)	Delta T(DT)
1	γ_{Gns}	γ_{G2ns}	$\Psi_2\gamma_{Qns}$	$\Psi_2\gamma_{Qns}$
2	γ_{Gns}	γ_{G2ns}	$\Psi_2\gamma_{Qns}$	$-\Psi_2\gamma_{Qns}$

Comb.	Condizione
	Utente 1
1	0.00
2	0.00

Elementi di fondazione A1				
Comb.	Condizione			
	C. perm.(Gk1)	C. p. non str.(Gk2)	C. ese.(Qk)	Delta T(DT)
1	γ_{Gns}	γ_{G2ns}	$\Psi_2\gamma_{Qns}$	$\Psi_2\gamma_{Qns}$
2	γ_{Gns}	γ_{G2ns}	$\Psi_2\gamma_{Qns}$	$-\Psi_2\gamma_{Qns}$

Comb.	Condizione
	Utente 1
1	0.00
2	0.00

Elementi di fondazione A2				
Comb.	Condizione			
	C. perm.(Gk1)	C. p. non str.(Gk2)	C. ese.(Qk)	Delta T(DT)
1	γ_{Gns}	γ_{G2ns}	$\Psi_2\gamma_{Qns}$	$\Psi_2\gamma_{Qns}$
2	γ_{Gns}	γ_{G2ns}	$\Psi_2\gamma_{Qns}$	$-\Psi_2\gamma_{Qns}$

Comb.	Condizione
	Utente 1
1	0.00
2	0.00

I coefficienti utilizzati assumono i seguenti valori:

SLE	Caratteristiche					Frequenti					Q. Permanenti				
ELEMENTO	γ_{Gns}	γ_{Qns}	γ_I	γ_{EG}	γ_{EQ}	γ_{Gns}	γ_{Qns}	γ_I	γ_{EG}	γ_{EQ}	γ_{Gns}	γ_{Qns}	γ_I	γ_{EG}	γ_{EQ}
ELEMENTO	1.0	1.0	1.0	1.0	1.0	1.0	1.0	1.0	1.0	1.0	1.0	1.0	1.0	1.0	1.0
Fondazione A1	1.0	1.0	1.0	1.0	1.0	1.0	1.0	1.0	1.0	1.0	1.0	1.0	1.0	1.0	1.0
Fondazione A2	1.0	1.0	1.0	1.0	1.0	1.0	1.0	1.0	1.0	1.0	1.0	1.0	1.0	1.0	1.0

Tali combinazioni vengono considerate sovrapponendo i diagrammi secondo la tecnica dell'involuppo.

2.4 Procedura di Verifica degli elementi.

2.4.1 Elementi in C.A. .

Le Verifiche relative alle strutture in C.A. si possono riassumere, in funzione degli elementi considerati, nei seguenti tipi:

- Pilastri

Tali elementi vengono verificati utilizzando lo stato sollecitante completo nei riguardi di:

- PressoTensoFlessione Deviata
- Taglio
- Stabilità
- Stato tensionale

- Travi

Tali elementi vengono verificati utilizzando lo stato sollecitante completo nei riguardi di

- PressoTensoFlessione
- Taglio
- Deformabilità
- Stato tensionale
- Fessurazione

- Travi di fondazione

Tali elementi vengono verificati utilizzando lo stato sollecitante completo nei riguardi di

- PressoTensoFlessione
- Taglio
- Stato tensionale
- Fessurazione

Le singole verifiche vengono descritte qui di seguito:

- PressoTensoFlessione Deviata

Le sollecitazioni che vengono considerate in tale verifica sono: Sforzo Normale, Momento Flettente X-Z, Momento Flettente X-Y.

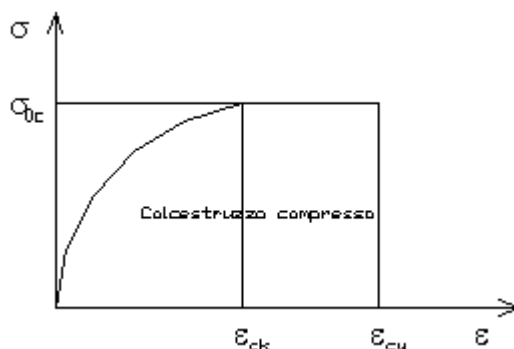
La verifica di resistenza è soddisfatta se la sollecitazione determinata dalla condizione considerata cade all'interno del dominio di sicurezza determinato, attraverso la conoscenza:

- del comportamento meccanico della sezione in esame;
- delle caratteristiche dei materiali di cui è composta;
- dei coefficienti di sicurezza forniti dalla normativa seguita.

Il calcolo è condotto nelle ipotesi che:

1. Le sezioni rimangano piane fino a rottura;
2. Ci sia perfetta aderenza fra acciaio e calcestruzzo;
3. La deformazione massima del calcestruzzo compresso è pari a 0.0035 nel caso di flessione semplice e composta; con asse neutro reale mentre è pari a 0.002 nel caso di compressione semplice;
4. La deformazione massima per l'acciaio teso sia pari a 0.01;
5. Il calcestruzzo non abbia alcuna capacità di resistenza a trazione.

Il diagramma tensioni-deformazioni assunto per il calcestruzzo è di tipo parabola-rettangolo come indicato nella seguente figura:



dove: $\varepsilon_{ck} = 0.002$;

Relazione di calcolo -

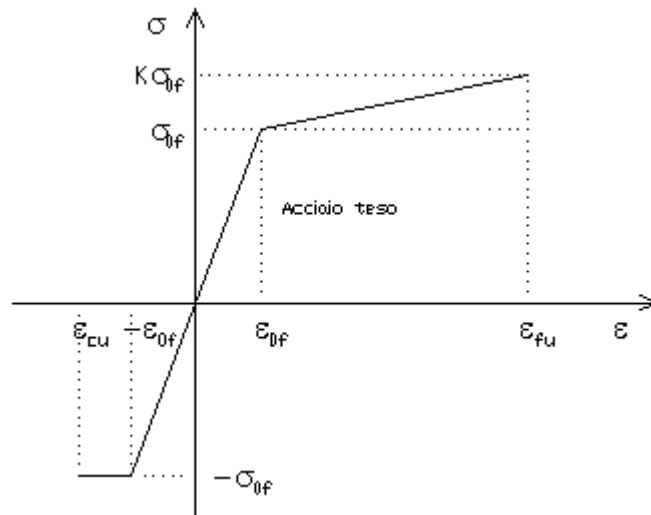
$$\begin{aligned}\varepsilon_{cu} &= 0.0035; \\ \sigma_{0c} &= 0.85 \cdot 0.83 \cdot R_{ck} / \gamma_c; \\ R_{ck} &= \text{resistenza caratteristica del calcestruzzo}; \\ \gamma_{m,c} &= \text{coefficiente di materiale del calcestruzzo};\end{aligned}$$

Le equazioni che descrivono il diagramma sono:

$$\varepsilon < \varepsilon_{ck} : \sigma(\varepsilon) = 1000 \cdot \sigma_{0c} \cdot \varepsilon \cdot (1 - 250 \cdot \varepsilon);$$

$$\varepsilon_{ck} < \varepsilon < \varepsilon_{cu} : s(\sigma) = \sigma_{0c};$$

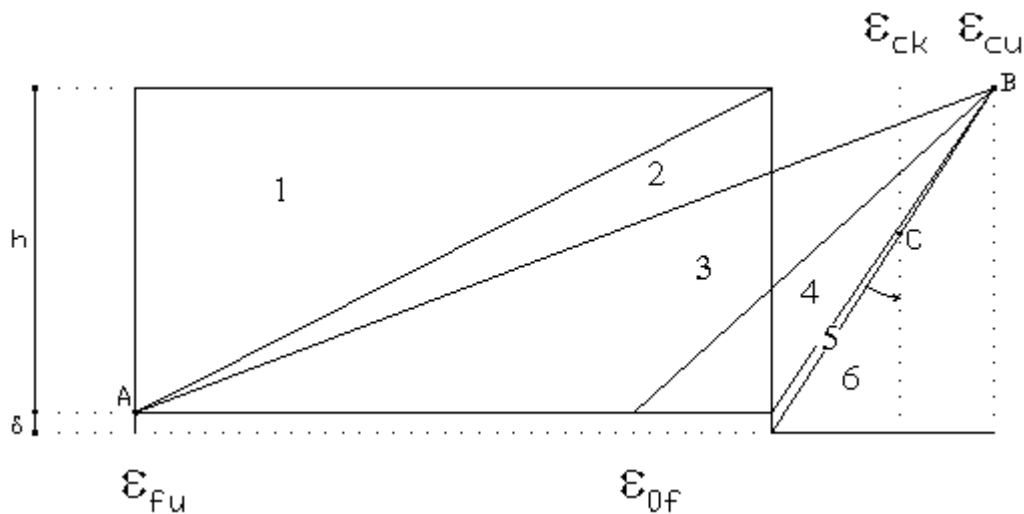
Il diagramma tensioni-deformazioni assunto per l'acciaio è indicato nella seguente figura:



dove:

- ε_{0f} = σ_{0f} / E ;
- E = Modulo di elasticità dell'acciaio;
- σ_{0f} = resistenza di calcolo dell'acciaio;
- k = rapporto di sovrarresistenza (se è pari ad 1 il comportamento è bilineare elastico-perfettamente plastico);
- f_{yk} = Resistenza caratteristica dell'acciaio
- γ_m = coefficiente di sicurezza dell'acciaio;
- ε_{fu} = deformazione ultima dell'acciaio;
- ε_{cu} = deformazione ultima del calcestruzzo;

Le limitazioni delle deformazioni unitarie per il conglomerato e per l'acciaio conducono a definire sei diversi campi (o regioni) nei quali potrà trovarsi la retta di deformazione specifica. Tali campi sono descritti nel seguente modo:



Campo 1 : è caratterizzato dall'allungamento massimo tollerabile per l'acciaio pari a ε_{fu} . Il diagramma delle deformazioni specifiche appartiene ad un fascio di rette passanti per il punto (A) mentre la distanza dall'asse neutro potrà variare da $-\infty$ a $0.E'$

Relazione di calcolo -

il caso di trazione semplice o con piccola eccentricità; la sezione risulta interamente tesa. La crisi si ha per cedimento dell'acciaio teso.

Campo 2 : è caratterizzato dall'allungamento massimo tollerabile per l'acciaio pari a ε_{fu} e dalla rotazione del diagramma attorno al punto (A). La deformazione specifica del calcestruzzo varia da 0 al valore massimo del calcestruzzo compresso (ε_{cu}) mentre la distanza dell'asse neutro dal lembo compresso può variare da 0 a $0.259h$. La sezione risulterà in parte tesa ed in parte compressa e quindi sarà sollecitata a flessione semplice o composta.

Campo 3 : è caratterizzato dall'accorciamento massimo del conglomerato pari a ε_{cu} . Le rette di deformazione appartengono ad un fascio passante per (B). La massima tensione del calcestruzzo in questa regione è pari a quella di rottura di calcolo mentre l'armatura è ancora deformata in campo plastico. La sezione risulterà in parte tesa ed in parte compressa e quindi sarà sollecitata a flessione semplice o composta.

Campo 4 : è caratterizzato dall'accorciamento massimo del conglomerato pari a ε_{cu} . Le rette di deformazione appartengono ad un fascio passante per (B). La massima tensione del calcestruzzo in questa regione è pari a quella di rottura di calcolo mentre l'armatura è sollecitata con tensioni inferiori allo snervamento e può risultare anche scarica. La sezione risulterà in parte tesa ed in parte compressa e quindi sarà sollecitata a flessione semplice o composta.

Campo 5 : è caratterizzato dall'accorciamento massimo del conglomerato pari a ε_{cu} . Le rette di deformazione appartengono ad un fascio passante per (B) mentre la distanza dell'asse neutro varia da h ad $h+d$. L'armatura in tale regione è sollecitata a compressione e pertanto tutta la sezione è compressa; è questo il caso della flessione composta.

Campo 6 : è caratterizzato dall'accorciamento massimo del conglomerato compresso che varia fra ε_{cu} e ε_{ck} . Le rette di deformazione specifica appartengono ad un fascio passante per (C) e la distanza dell'asse neutro varia fra 0 e $-\infty$. La distanza di (C) dal lembo superiore vale $3h/7$. La sezione risulta sollecitata a compressione semplice o composta.

- Taglio

Il calcolo del taglio viene eseguito secondo il metodo di Ritter-Morsch.

Per gli elementi in cui è richiesta la verifica a taglio, deve risultare:

$$V_{Sd} \leq \min[V_{Rsd}, V_{Rcd}]$$

dove:

V_{Sd} : taglio sollecitante il calcolo;

$V_{Rsd} = 0.9 d (A_{Sw} / s) f_{yd} (\text{ctg}\alpha + \text{ctg}\theta) \sin\alpha$;

$V_{Rcd} = 0.9 d b_w \alpha_c f_{cd} (\text{ctg}\alpha + \text{ctg}\theta) / (1 + \text{ctg}^2\theta)$;

d : altezza utile della sezione;

A_{Sw} : area dell'armatura trasversale;

s : passo dell'armatura trasversale;

f_{yd} : resistenza a snervamento dell'acciaio;

b_w : larghezza minima della sezione lungo l'altezza efficace;

Il contributo delle armature a taglio è somma del contributo delle staffe e degli eventuali sagomati. In ogni caso l'aliquota massima che può essere affidata ai sagomati è il 50% dello sforzo di taglio massimo.

- Stabilità

La verifica di instabilità degli elementi snelli in c.a. viene condotta attraverso un'analisi del secondo ordine che tiene in conto degli effetti flessionali dell'azione assiale sulla configurazione deformata degli elementi stessi.

Si sono assunti legami fra le azioni interne e le deformazioni che mettono in conto il comportamento non lineare dei materiali e si è trascurato il contributo del calcestruzzo teso.

Il valore limite della snellezza per ogni colonna è stato assunto pari a:

$$\lambda_{lim} = 25 / \sqrt{v}$$

dove:

$v = N_{ed} / (A_c f_{cd})$

$C = 1.7 - r_m$

Relazione di calcolo -

$r_m = M_{01} / M_{02}$ è il rapporto fra i momenti flettenti del primo ordine alle due estremità del pilastro, positivo se i due momenti sono discordi sulla trave ($|M_{02}| \geq |M_{01}|$).

La snellezza della colonna da confrontare con λ_{lim} è pari a:

$$\lambda = \lambda_0 / i$$

λ_0 è la lunghezza libera d'inflessione definita in base ai vincoli di estremità ed i il raggio d'inerzia della sezioni in calcestruzzo non fessurato.

Con riferimento al punto 4.1.2.3.9.3 del D.M. 17/01/2018 in aggiunta al momento sollecitante esterno viene sommata un'aliquota dovuta ad un'eccentricità dello sforzo normale pari a $1/300$ dell'altezza della colonna (difetto di rettilineità).

In aggiunta viene considerata un'aliquota aggiuntiva che tenga conto dell'inflessione della colonna pari a $e_2 := 0.222 e_{fy} l_0^2/h$.

- Stato tensionale

Tale verifica rientra nell'ambito della verifica di esercizio. Il calcolo delle tensioni si ottiene sfruttando le ipotesi tradizionali per il calcolo del cemento armato ordinario, e cioè:

1. assunzione dei materiali elastico lineari;
2. conservazione delle sezioni piane al crescere dei carichi;
3. perfetta aderenza tra acciaio e calcestruzzo;
4. resistenza nulla a trazione del calcestruzzo;

Inoltre può essere stabilito un coefficiente di omogeneizzazione diverso dal valore ordinario.

Le tensioni di esercizio si possono calcolare considerando le combinazioni di carico caratteristica, frequente e quasi permanente. La verifica consiste nel confrontare le tensioni di calcolo con quelle limite dei materiali.

- Fessurazione

Poiché la fessurazione in strutture in cemento armato ordinario è quasi inevitabile, bisogna limitare tali entità in modo da non pregiudicare il corretto funzionamento della struttura.

La fessurazione può essere limitata assicurando un minimo di area di armatura longitudinale che può essere calcolata dalla seguente espressione:

$$A_s = k_c k f_{ct,eff} (A_{ct} / \sigma_s)$$

dove:

- A_s : area di armatura nella zona tesa;
- k_c : coefficiente che tiene conto del tipo di distribuzione delle tensioni nella sezione subito prima la fessurazione. Assume valore 0.4 per flessione senza compressione assiale, e 1 per trazione;
- k : coefficiente che tiene conto degli effetti di tensioni auto-equilibrate non uniformi;
- $f_{ct,eff}$: resistenza efficace a trazione della sezione al momento in cui si suppone insorgano le prime fessure. In mancanza di dati si utilizza il valore di 3 N/mm^2 ;
- A_{ct} : area del calcestruzzo in zona tesa subito prima della fessurazione;
- σ_s : massima tensione ammessa nell'armatura subito dopo la formazione della fessura.

Il calcolo delle ampiezze delle fessure si effettua considerando anche la parte di calcestruzzo reagente a trazione utilizzando la seguente espressione:

$$W_k = \beta s_{rm} \epsilon_{sm}$$

- W_k : ampiezza di calcolo delle fessure;
- β : coefficiente di correlazione tra l'ampiezza media delle fessure e il valore di calcolo;
- s_{rm} : distanza media finale tra le fessure;
- ϵ_{sm} : deformazione che tiene conto, nella combinazione di carico considerata, degli effetti "tension stiffening", del ritiro;

La quantità ϵ_{sm} si ottiene dalla seguente espressione:

$$\epsilon_{sm} = (\sigma_s / E_s) [1 - \beta_1 \beta_2 (\sigma_{sr} / \sigma_s)^2]$$

dove:

σ_s : tensione dell'acciaio teso calcolata a sezione fessurata;

Relazione di calcolo -

E_s : modulo elastico dell'acciaio;

σ_{sr} : tensione dell'acciaio teso calcolata nella sezione per una condizione di carico che induce alla prima fessurazione;

β_1 : coefficiente di aderenza delle barre. Assume valore 0.5 per barre lisce e 1 per barre ad aderenza migliorata;

β_2 : coefficiente di durata dei carichi. Assume valore 0.5 per carichi di lunga durata o per molti cicli ripetuti e 1 per un singolo carico di breve durata.

La quantità s_{rm} si ottiene dalla seguente espressione:

$$s_{rm} = 50 + 0.25 k_1 k_2 (\phi / \rho_f)$$

dove:

k_1 : coefficiente di aderenza delle barre. Assume valore 1.6 per barre lisce e 0.8 per barre ad aderenza migliorata;

k_2 : coefficiente che tiene conto della forma del diagramma delle deformazioni. Assume valore 0.5 per flessione e 1 per trazione pura;

ϕ : diametro delle barre in mm. Se si utilizzano più diametri si utilizza il diametro medio.

La fessurazione causata dalle azioni tangenziali si considera contenuta in limiti accettabili se si adotta un passo delle staffe. Tale verifica non è necessaria in elementi in cui non è richiesta l'armatura a taglio.

- Verifiche a deformabilità

Per il calcolo della deformabilità di elementi inflessi si utilizza il metodo che pesa le curvature nelle due situazioni caratteristiche degli elementi in c.a. ("I" sezione integra; "II" sezione fessurata). A tale riguardo la curvatura in una generica sezione può essere valutata con la seguente relazione:

$$\theta = (1-\zeta) \theta_I + \zeta \theta_{II}$$

dove ζ rappresenta l'effetto irrigidente del calcestruzzo tra due fessure consecutive (tension stiffening):

$$\zeta = 1 - c(M_{cr}/M)^2$$

dove:

c : pari a 1 per carichi permanenti;

M_{cr} : momento di prima fessurazione;

M : momento sollecitante.

Per calcolare la freccia di un elemento, si divide in "n" conci uguali e si calcola la curvatura di ogni concio riferita alla coordinata x_i . La freccia relativa alla sezione x_j è pari a:

$$\delta_j = \varphi_A x_j - \sum (x_j - x_i) \theta_i \Delta x$$

dove:

φ_A : rotazione dell'estremo iniziale dell'elemento;

l : lunghezza dell'elemento;

Δx : lunghezza del concio;

θ_i : curvatura relativa al concio.

- Particolari prescrizioni per distribuzione irregolari di tamponamenti ed impianti

Nel caso di distribuzione fortemente irregolare in altezza di tamponamenti ed impianti, deve essere considerata la possibilità di forti concentrazioni di danno ai livelli caratterizzati da significativa riduzione del numero di tali elementi.

Questo requisito si intende soddisfatto incrementando le azioni di calcolo per gli elementi verticali (pilastri e pareti) dei livelli con riduzione dei tamponamenti come descritto nel paragrafo 7.2.3 delle N.T.C. I fattori di sovrarresistenza utilizzati nel presente calcolo sono:

Impalcato	Fatt. Sovr.
1	1.00

- Operazioni per il controllo della duttilità (DUT) richiesta dagli elementi in c.a

Nel caso di comportamento strutturale dissipativo il comportamento sismico della struttura è largamente dipendente dal comportamento delle sue zone dissipative, esse devono formarsi ove previsto e mantenere, in presenza di azioni cicliche, la capacità di trasmettere le necessarie sollecitazioni e di dissipare energia, garantendo la capacità in duttilità relativa alla classe di duttilità scelta.

I dettagli costruttivi delle zone dissipative e delle connessioni tra queste zone e le restanti parti della struttura, nonché dei diversi elementi strutturali tra loro, sono fondamentali per un corretto comportamento sismico e devono essere esaurientemente specificati negli elaborati di progetto.

Nel caso di analisi lineare la verifica di duttilità si può ritenere soddisfatta, rispettando per tutti gli elementi strutturali, sia primari sia secondari, le regole specifiche per i dettagli costruttivi precisate dalle norme per le diverse tipologie costruttive.

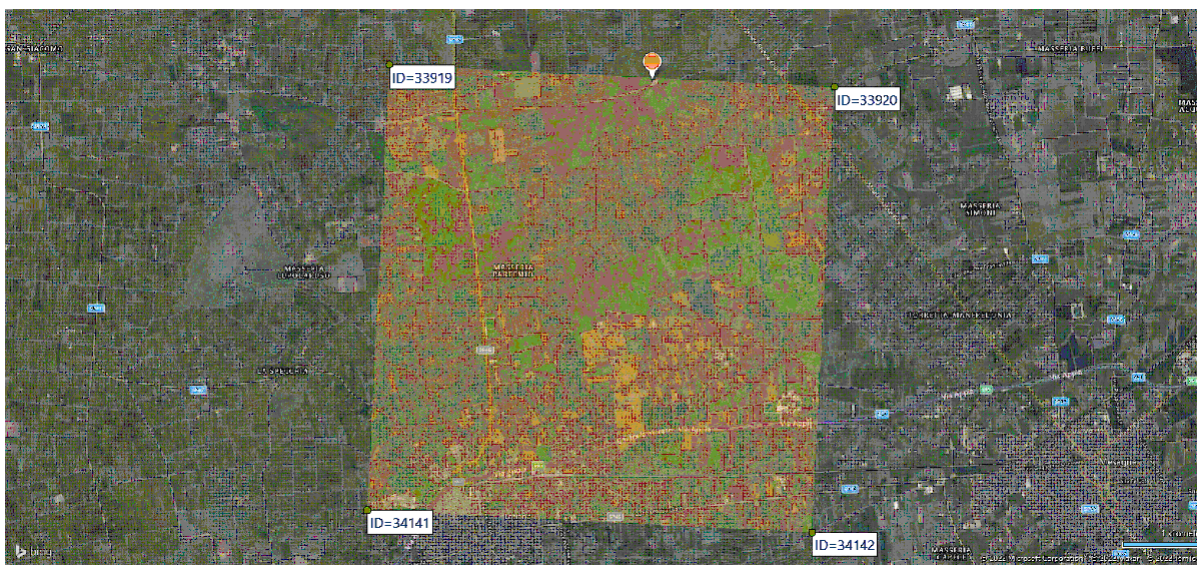
3 Dati

3.1 Dati Generali

Numero Impalcati : 1
 Numero delle tipologie di sezioni trasversali usate : 0
 Numero delle tipologie di solaio utilizzate : 0

Impalcato	Quota assoluta min [cm]	Quota assoluta max [cm]	Quota relativa min [cm]	Quota relativa max [cm]	Numero Colonne	Numero Travi
Fondazione	0.00	0.00	0.00	0.00	0	0
Piano 1	0.00	248.00	248.00	248.00	0	0

Coordinate (Datum WGS84) del sito : Latitudine = 40.6031° - Longitudine = 17.7434°
 Coordinate (Datum ED50) del sito : Latitudine = 40.6040° - Longitudine = 17.7442°



Identificativi e coordinate (Datum ED50) dei punti che includono il sito		
Numero punto	Latitudine [°]	Longitudine [°]
33919	40.6061	17.7053
33920	40.6036	17.7711
34141	40.5561	17.7020
34142	40.5537	17.7678

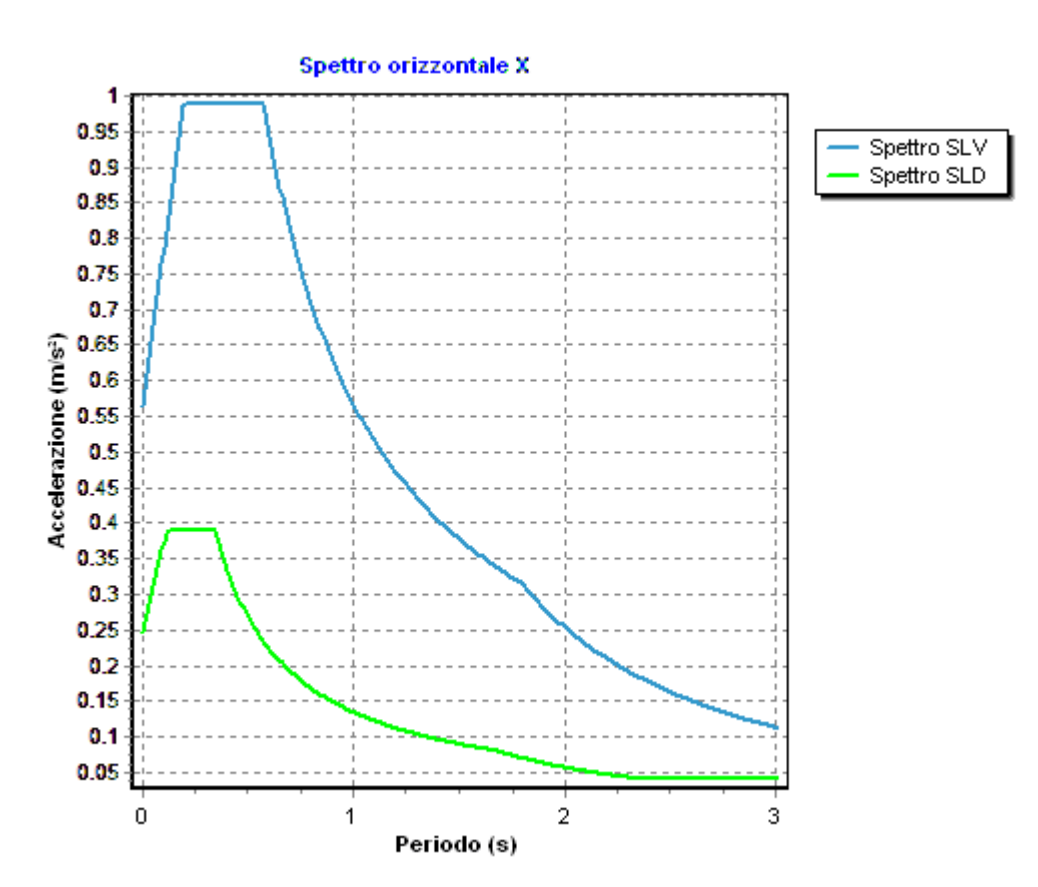
Zona sismica : SI
 Suolo di fondazione : B
 Vita nominale : 50
 Classe di duttilità: Non dissipativa
 Tipo di opera : Opere ordinarie
 Classe d'uso : II
 Vita di riferimento : 50

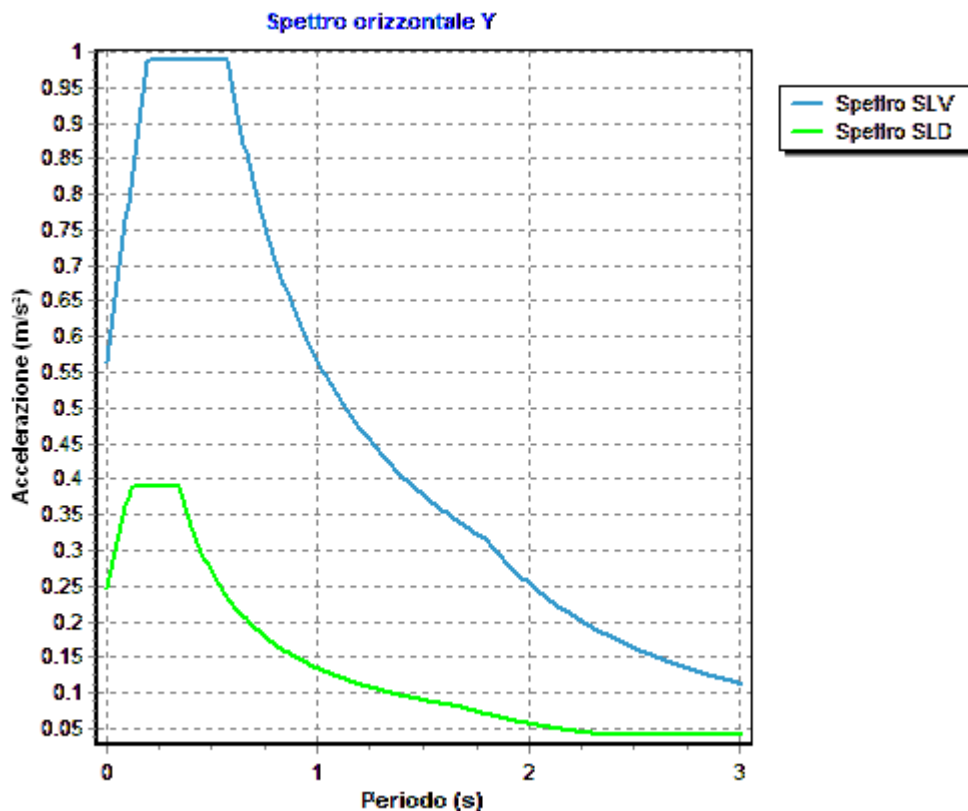
Relazione di calcolo -

Categoria topografica : T1
 Coefficiente smorzamento viscoso : 0.05

	Parametri dello spettro di risposta orizzontale							
	SLV		SLC		SLD		SLO	
Tempo di ritorno	475		975		50		30	
Accelerazione sismica	0.048		0.057		0.021		0.016	
Coefficiente Fo	2.626		2.787		2.371		2.364	
Periodo T_c^*	0.443		0.468		0.233		0.159	
Coefficiente Ss	1.20		1.20		1.20		1.20	
Coefficiente di amplificazione topografica St	1.00		1.00		1.00		1.00	
Prodotto Ss · St	1.20		1.20		1.20		1.20	
Periodo T_B	0.19		0.20		0.11		0.08	
Periodo T_C	0.57		0.60		0.34		0.25	
Periodo T_D	1.79		1.83		1.68		1.66	
	x	y	x	y	x	y	x	y
Coefficiente η	0.667	0.667	1.000	1.000	*	*	*	*

* η pari a 1 per gli spostamenti e 2/3 per le sollecitazioni.





- FATTORI DI COMPORTAMENTO -

Fattore di comportamento direzione x (qx) : 1.50
 Fattore di comportamento direzione y (qy) : 1.50
 Fattore di comportamento direzione z (qz) : 1.50

Modulo di Winkler traslazionale : 5.00 daN/cm³
 Modulo di Winkler tangenziale : 2.50 daN/cm³
 Delta Termico aste di elevazione : 0
 Delta Termico aste di fondazione : 0
 Modulo di omogeneizzazione (per SLE) : 15
 Classe di servizio per le strutture in legno : 2

Coeff. di riduzione per rigidità fessurata:

SLV-SLC

Pilastrì

Assiale da Carico Assiale
 Flessione da Carico Assiale
 Taglio da Carico Assiale

Travi

Assiale da Carico Assiale
 Flessione da Carico Assiale
 Taglio da Carico Assiale

Pareti

Nel Piano : 1.00
 Fuori Piano : 1.00

Platee

Nel Piano : 1.00
 Fuori Piano : 1.00

SLD-SLO

Pilastrì

Assiale da Carico Assiale
 Flessione da Carico Assiale
 Taglio da Carico Assiale

Relazione di calcolo -

Travi	Assiale	da Carico Assiale
	Flessione	da Carico Assiale
	Taglio	da Carico Assiale
Pareti	Nel Piano	: 1.00
	Fuori Piano	: 1.00
Platee	Nel Piano	: 1.00
	Fuori Piano	: 1.00
Delta termico	Slv	: 0.50
	Sle	: 0.75
Copriferro Piastre di Fondazione		: 4.00 cm
Copriferro Piastre di Elevazione		: 2.00 cm

3.2 Elenco e Caratteristiche dei materiali.

Nell'ambito del progetto si è fatto uso dei seguenti materiali divisi per categoria di appartenenza:

b - Calcestruzzo

Nome	Classe	R _{ck} [daN/cm ²]	v	p _s [daN/m ³]	α _t [1/°C]	E _c [daN/cm ²]	FC	γ _{m,c}	E _{ct} /E _c	f _{ck} [daN/cm ²]	f _{cm} [daN/cm ²]	f _{ed} SLU [daN/cm ²]	f _{ed} SLU [daN/cm ²]	f _{ed} SLD [daN/cm ²]	f _{ed} SLD [daN/cm ²]	f _{ctk,0.05} [daN/cm ²]	f _{ctm} [daN/cm ²]	ε _{cu2} [%]	ε _{cu2} [%]
C25/30	C25/30	300	0.15	2500	1.0E-005	314758.1	-	1.50	0.50	250.0	-	141.7	12.0	212.5	18.0	18.0	25.6	2.00	3.50
pareti	C25/30	300	0.15	250	1.0E-005	314758.1	-	1.50	0.50	250.0	-	141.7	12.0	212.5	18.0	18.0	25.6	2.00	3.50

c - Acciaio per C.A.

Nome	Tipo	γ _m	FC	E _s [daN/cm ²]	f _{yk} [daN/cm ²]	f _{tk} [daN/cm ²]	f _d SLU [daN/cm ²]	f _d SLD [daN/cm ²]	f _d SLE [daN/cm ²]	k	ε _{ud} [%]
B450C	B450C	1.15	-	2100000.0	4500.0	5400.0	3913.0	4500.0	3913.0	1.00	10.00

3.3 Elenco e caratteristiche delle colonne stratigrafiche.

Nell'ambito del progetto si è fatto uso delle seguenti colonne stratigrafiche:

Caratteristiche delle colonne stratigrafiche:

Colonna	: nome della colonna stratigrafica;
Filo	: filo fisso al quale appartiene la colonna stratigrafica;
Impalcato	: Impalcato al quale appartiene la colonna stratigrafica;
Falda	: Presenza della falda;
Prof. Falda	: Profondità della falda (se è presente);
Spicc. Fond.	: Quota dell'estradosso della fondazione rispetto al piano campagna;
No. Strati	: Numero degli strati della colonna stratigrafica.
RQD	: (Rock Quality Designation) grado di fratturazione dell'ammasso roccioso in [0-1]

Filo	Colonna	Impalcato	Falda	Prof. Falda [cm]	Spicc. Fond. [cm]	No. Strati	RQD
1	Colonna 1	Fondazione	Non Presente	-	0.00	1	-
2	Colonna 1	Fondazione	Non Presente	-	0.00	1	-
3	Colonna 1	Fondazione	Non Presente	-	0.00	1	-
4	Colonna 1	Fondazione	Non Presente	-	0.00	1	-

Caratteristiche degli strati appartenenti alle colonne stratigrafiche:

Relazione di calcolo -

Colonna	: nome della colonna stratigrafica;
Strato	: nome dello strato appartenente la colonna stratigrafica;
Spess.	: Spessore dello strato;
Peso	: Peso dell'unità di volume dello strato;
Peso eff.	: Peso dell'unità di volume efficace dello strato;
NSPT	: Numero di colpi medio misurato nello strato;
Qc	: Resistenza alla punta media misurata nello strato;
ϕ	: Angolo di attrito del terreno;
C	: Coesione drenata del terreno;
Cu	: Coesione non drenata del terreno;
E	: Modulo elastico del terreno;
G	: Modulo di taglio del terreno;
ν_t	: Coefficiente di Poisson;
E _{ed}	: Modulo Edometrico;
OCR	: Grado di sovraconsolidazione del terreno.

Colonna	Strato	Spess. [cm]	Peso [daN/m ³]	Peso eff. [daN/m ³]	NSPT	Qc [daN/cm ²]	ϕ [°]	C [daN/cm ²]	Cu [daN/cm ²]	E [daN/cm ²]	G [daN/cm ²]	ν_t	E _{ed} [daN/cm ²]	OCR
Colonna 1	Calcarei fratturati	350.0	1800.0	800.0	-	-	28.0	0.05	0.00	5090.00	1880.00	0.35	-	1.00

3.4 Elenco dei carichi.

3.4.1 Pesi propri unitari - G1.

Impalcato	Solai [daN/m ²]	Balconi [daN/m ²]	Scale [daN/m ²]
Fondazione	-	-	-
Piano 1	-	-	-

- Analisi dei Carichi -

3.4.2 Carichi Permanenti unitari - G2.

Impalcato	Solai [daN/m ²]	Balconi [daN/m ²]	Scale [daN/m ²]	Influenza Tramezzi [daN/m ²]	Tamponature [daN/m]
Fondazione	150	150	150	100	582
Piano 1	150	150	150	0	0

- Analisi dei Carichi -

Fondazione

Influenza Tramezzi

Il peso proprio degli elementi divisorii interni viene ragguagliato ad un carico permanente portato uniformemente distribuito come definito dal punto 3.1.3.1 - Elementi divisorii interni (D.M. 17/01/2018)

Piano 1

3.4.3 Carichi Variabili unitari - Q.

Le intensità assunte per i carichi variabili verticali ripartiti sono riportate nella seguente tabella:

Impalcato	Carichi d'esercizio [daN/m ²]		
	Solai	Balconi	Scale
Fondazione	200	400	400
Piano 1	200	400	400

3.4.4 Pesi Impalcati.

Relazione di calcolo -

Ai fini della valutazione dei pesi "W" a livello dei vari impalcati, si tiene conto dei carichi di tipo G1 relativi agli elementi strutturali e dei carichi di tipo G2 relativi agli elementi non strutturali sommati ai sovraccarichi d'esercizio Qk moltiplicati per una aliquota Ψ_{2i} (determinata dalla destinazione d'uso dell'opera ai vari piani

$$W_i = G1_i + G2_i + \Psi_{2i} \cdot Q_{ki}$$

Dove il pedice "i" è il piano i-esimo della struttura.

Impalcato	Destinazione	Ψ_{2i}
Fondazione	Categoria A: Ambienti ad uso residenziale	0.3
Piano 1	Categoria A: Ambienti ad uso residenziale	0.3

Per balconi e scale verranno usati i coefficienti calcolati come i maggiori tra quelli relativi alla categoria di carico di piano ed i seguenti:

Cat.	Destinazione	Ψ_{2i}
C2	Balconi, ballatoi e scale	0.6

Imp. Reale	G1 [daN]	G2 [daN]	$\Psi_2 \cdot Q_k$ [daN]	W (SLV-SLD) [daN]
0	40984.00	50700.00	1170.00	92854.00
1	1984.00	960.00	384.00	3328.00

3.5 Elenco e Caratteristiche delle sezioni trasversali.

3.6 Geometria Struttura.

3.6.1 Fili Fissi.

Numero : numerazione del filo fisso.

Ascissa : coordinata X del filo fisso.

Ordinata: coordinata Y del filo fisso.

Angolo : angolo del filo fisso (in gradi);

Tipo : tipo del filo fisso.

Numero	Ascissa [cm]	Ordinata [cm]	Quota [cm]	Angolo [°]	Tipo
1	0.00	0.00	0.00	0.00	7
2	0.00	300.00	0.00	0.00	1
3	1300.00	300.00	0.00	0.00	3
4	1300.00	0.00	0.00	0.00	9

3.6.2 Caratteristiche dei nodi.

I dati seguenti riportano tutte le caratteristiche relative ai nodi che definiscono la struttura ed in modo particolare:

Nodo : numerazione interna del nodo.

Coordinate : coordinate del nodo secondo il sistema di riferimento globale cartesiano.

Imp. : impalcato di appartenenza del nodo.

Slave : nodo dipendente da un nodo MASTER definito nella tabella specifica;

Vincoli : eventuali vincoli esterni del nodo in ognuna delle 6 direzioni:

x : direzione X rispetto al sistema di riferimento globale;

y : direzione Y rispetto al sistema di riferimento globale;

z : direzione Z rispetto al sistema di riferimento globale;

Rx : rotazione attorno all'asse X del sistema di riferimento globale;

Ry : rotazione attorno all'asse Y del sistema di riferimento globale;

Rz : rotazione attorno all'asse Z del sistema di riferimento globale;

Inoltre:

np : non presenza di vincoli;

p : valore infinito della rigidità;

Relazione di calcolo -

Kt : valore finito delle rigidezze traslazionali da leggere nella tabella specifica;
 Kr : valore finito delle rigidezze rotazionali da leggere nella tabella specifica;

Masse Nodali:

M : valore della massa traslazionale
 MIx : valore del momento d'inerzia della massa attorno all'asse X
 MIy : valore del momento d'inerzia della massa attorno all'asse Y
 MIz : valore del momento d'inerzia della massa attorno all'asse Z

Nodo	Coordinate [cm]			Impalcato	Slave	Vincoli						Masse Nodali			
	x	y	z			x	y	z	Rx	Ry	Rz	M [daNM]	MIx [daNM*cm ²]	MIy [daNM*cm ²]	MIz [daNM*cm ²]
1	0.0	0.0	0.0	Fondazione	-	np	np	np	np	np	np	0.00	0.00	0.00	0.00
2	0.0	300.0	0.0	Fondazione	-	np	np	np	np	np	np	0.00	0.00	0.00	0.00
3	1300.0	300.0	0.0	Fondazione	-	np	np	np	np	np	np	0.00	0.00	0.00	0.00
4	1300.0	0.0	0.0	Fondazione	-	np	np	np	np	np	np	0.00	0.00	0.00	0.00
5	0.0	0.0	248.0	Piano 1	M1	np	np	np	np	np	np	0.00	0.00	0.00	0.00
6	0.0	300.0	248.0	Piano 1	M1	np	np	np	np	np	np	0.00	0.00	0.00	0.00
7	1300.0	300.0	248.0	Piano 1	M1	np	np	np	np	np	np	0.00	0.00	0.00	0.00
8	1300.0	0.0	248.0	Piano 1	M1	np	np	np	np	np	np	0.00	0.00	0.00	0.00
9	100.0	300.0	0.0	Fondazione	-	np	np	np	np	np	np	0.00	0.00	0.00	0.00
10	200.0	300.0	0.0	Fondazione	-	np	np	np	np	np	np	0.00	0.00	0.00	0.00
11	300.0	300.0	0.0	Fondazione	-	np	np	np	np	np	np	0.00	0.00	0.00	0.00
12	400.0	300.0	0.0	Fondazione	-	np	np	np	np	np	np	0.00	0.00	0.00	0.00
13	500.0	300.0	0.0	Fondazione	-	np	np	np	np	np	np	0.00	0.00	0.00	0.00
14	600.0	300.0	0.0	Fondazione	-	np	np	np	np	np	np	0.00	0.00	0.00	0.00
15	700.0	300.0	0.0	Fondazione	-	np	np	np	np	np	np	0.00	0.00	0.00	0.00
16	800.0	300.0	0.0	Fondazione	-	np	np	np	np	np	np	0.00	0.00	0.00	0.00
17	900.0	300.0	0.0	Fondazione	-	np	np	np	np	np	np	0.00	0.00	0.00	0.00
18	1000.0	300.0	0.0	Fondazione	-	np	np	np	np	np	np	0.00	0.00	0.00	0.00
19	1100.0	300.0	0.0	Fondazione	-	np	np	np	np	np	np	0.00	0.00	0.00	0.00
20	1200.0	300.0	0.0	Fondazione	-	np	np	np	np	np	np	0.00	0.00	0.00	0.00
21	1300.0	200.0	0.0	Fondazione	-	np	np	np	np	np	np	0.00	0.00	0.00	0.00
22	1300.0	100.0	0.0	Fondazione	-	np	np	np	np	np	np	0.00	0.00	0.00	0.00
23	1200.0	0.0	0.0	Fondazione	-	np	np	np	np	np	np	0.00	0.00	0.00	0.00
24	1100.0	0.0	0.0	Fondazione	-	np	np	np	np	np	np	0.00	0.00	0.00	0.00
25	1000.0	0.0	0.0	Fondazione	-	np	np	np	np	np	np	0.00	0.00	0.00	0.00
26	900.0	0.0	0.0	Fondazione	-	np	np	np	np	np	np	0.00	0.00	0.00	0.00
27	800.0	0.0	0.0	Fondazione	-	np	np	np	np	np	np	0.00	0.00	0.00	0.00
28	700.0	0.0	0.0	Fondazione	-	np	np	np	np	np	np	0.00	0.00	0.00	0.00
29	600.0	0.0	0.0	Fondazione	-	np	np	np	np	np	np	0.00	0.00	0.00	0.00
30	500.0	0.0	0.0	Fondazione	-	np	np	np	np	np	np	0.00	0.00	0.00	0.00
31	400.0	0.0	0.0	Fondazione	-	np	np	np	np	np	np	0.00	0.00	0.00	0.00
32	300.0	0.0	0.0	Fondazione	-	np	np	np	np	np	np	0.00	0.00	0.00	0.00
33	200.0	0.0	0.0	Fondazione	-	np	np	np	np	np	np	0.00	0.00	0.00	0.00
34	100.0	0.0	0.0	Fondazione	-	np	np	np	np	np	np	0.00	0.00	0.00	0.00
35	0.0	100.0	0.0	Fondazione	-	np	np	np	np	np	np	0.00	0.00	0.00	0.00
36	0.0	200.0	0.0	Fondazione	-	np	np	np	np	np	np	0.00	0.00	0.00	0.00
37	0.0	100.0	248.0	Piano 1	M1	np	np	np	np	np	np	0.00	0.00	0.00	0.00
38	0.0	200.0	248.0	Piano 1	M1	np	np	np	np	np	np	0.00	0.00	0.00	0.00
39	0.0	0.0	165.3	Piano 1	-	np	np	np	np	np	np	0.00	0.00	0.00	0.00
40	0.0	0.0	82.7	Piano 1	-	np	np	np	np	np	np	0.00	0.00	0.00	0.00
41	0.0	300.0	165.3	Piano 1	-	np	np	np	np	np	np	0.00	0.00	0.00	0.00
42	0.0	300.0	82.7	Piano 1	-	np	np	np	np	np	np	0.00	0.00	0.00	0.00
43	1200.0	0.0	248.0	Piano 1	M1	np	np	np	np	np	np	0.00	0.00	0.00	0.00
44	1100.0	0.0	248.0	Piano 1	M1	np	np	np	np	np	np	0.00	0.00	0.00	0.00
45	1000.0	0.0	248.0	Piano 1	M1	np	np	np	np	np	np	0.00	0.00	0.00	0.00
46	900.0	0.0	248.0	Piano 1	M1	np	np	np	np	np	np	0.00	0.00	0.00	0.00
47	800.0	0.0	248.0	Piano 1	M1	np	np	np	np	np	np	0.00	0.00	0.00	0.00

Relazione di calcolo -

48	700.0	0.0	248.0	Piano 1	M1	np	np	np	np	np	np	0.00	0.00	0.00	0.00
49	600.0	0.0	248.0	Piano 1	M1	np	np	np	np	np	np	0.00	0.00	0.00	0.00
50	500.0	0.0	248.0	Piano 1	M1	np	np	np	np	np	np	0.00	0.00	0.00	0.00
51	400.0	0.0	248.0	Piano 1	M1	np	np	np	np	np	np	0.00	0.00	0.00	0.00
52	300.0	0.0	248.0	Piano 1	M1	np	np	np	np	np	np	0.00	0.00	0.00	0.00
53	200.0	0.0	248.0	Piano 1	M1	np	np	np	np	np	np	0.00	0.00	0.00	0.00
54	100.0	0.0	248.0	Piano 1	M1	np	np	np	np	np	np	0.00	0.00	0.00	0.00
55	1300.0	0.0	165.3	Piano 1	-	np	np	np	np	np	np	0.00	0.00	0.00	0.00
56	1300.0	0.0	82.7	Piano 1	-	np	np	np	np	np	np	0.00	0.00	0.00	0.00
57	100.0	300.0	248.0	Piano 1	M1	np	np	np	np	np	np	0.00	0.00	0.00	0.00
58	200.0	300.0	248.0	Piano 1	M1	np	np	np	np	np	np	0.00	0.00	0.00	0.00
59	300.0	300.0	248.0	Piano 1	M1	np	np	np	np	np	np	0.00	0.00	0.00	0.00
60	400.0	300.0	248.0	Piano 1	M1	np	np	np	np	np	np	0.00	0.00	0.00	0.00
61	500.0	300.0	248.0	Piano 1	M1	np	np	np	np	np	np	0.00	0.00	0.00	0.00
62	600.0	300.0	248.0	Piano 1	M1	np	np	np	np	np	np	0.00	0.00	0.00	0.00
63	700.0	300.0	248.0	Piano 1	M1	np	np	np	np	np	np	0.00	0.00	0.00	0.00
64	800.0	300.0	248.0	Piano 1	M1	np	np	np	np	np	np	0.00	0.00	0.00	0.00
65	900.0	300.0	248.0	Piano 1	M1	np	np	np	np	np	np	0.00	0.00	0.00	0.00
66	1000.0	300.0	248.0	Piano 1	M1	np	np	np	np	np	np	0.00	0.00	0.00	0.00
67	1100.0	300.0	248.0	Piano 1	M1	np	np	np	np	np	np	0.00	0.00	0.00	0.00
68	1200.0	300.0	248.0	Piano 1	M1	np	np	np	np	np	np	0.00	0.00	0.00	0.00
69	1300.0	300.0	165.3	Piano 1	-	np	np	np	np	np	np	0.00	0.00	0.00	0.00
70	1300.0	300.0	82.7	Piano 1	-	np	np	np	np	np	np	0.00	0.00	0.00	0.00
71	1300.0	200.0	248.0	Piano 1	M1	np	np	np	np	np	np	0.00	0.00	0.00	0.00
72	1300.0	100.0	248.0	Piano 1	M1	np	np	np	np	np	np	0.00	0.00	0.00	0.00
73	0.0	200.0	82.7	Piano 1	-	np	np	np	np	np	np	0.00	0.00	0.00	0.00
74	0.0	200.0	165.3	Piano 1	-	np	np	np	np	np	np	0.00	0.00	0.00	0.00
75	0.0	100.0	165.3	Piano 1	-	np	np	np	np	np	np	0.00	0.00	0.00	0.00
76	0.0	100.0	82.7	Piano 1	-	np	np	np	np	np	np	0.00	0.00	0.00	0.00
77	100.0	0.0	82.7	Piano 1	-	np	np	np	np	np	np	0.00	0.00	0.00	0.00
78	100.0	0.0	165.3	Piano 1	-	np	np	np	np	np	np	0.00	0.00	0.00	0.00
79	200.0	0.0	82.7	Piano 1	-	np	np	np	np	np	np	0.00	0.00	0.00	0.00
80	200.0	0.0	165.3	Piano 1	-	np	np	np	np	np	np	0.00	0.00	0.00	0.00
81	300.0	0.0	82.7	Piano 1	-	np	np	np	np	np	np	0.00	0.00	0.00	0.00
82	300.0	0.0	165.3	Piano 1	-	np	np	np	np	np	np	0.00	0.00	0.00	0.00
83	400.0	0.0	82.7	Piano 1	-	np	np	np	np	np	np	0.00	0.00	0.00	0.00
84	400.0	0.0	165.3	Piano 1	-	np	np	np	np	np	np	0.00	0.00	0.00	0.00
85	500.0	0.0	82.7	Piano 1	-	np	np	np	np	np	np	0.00	0.00	0.00	0.00
86	500.0	0.0	165.3	Piano 1	-	np	np	np	np	np	np	0.00	0.00	0.00	0.00
87	600.0	0.0	82.7	Piano 1	-	np	np	np	np	np	np	0.00	0.00	0.00	0.00
88	600.0	0.0	165.3	Piano 1	-	np	np	np	np	np	np	0.00	0.00	0.00	0.00
89	700.0	0.0	82.7	Piano 1	-	np	np	np	np	np	np	0.00	0.00	0.00	0.00
90	700.0	0.0	165.3	Piano 1	-	np	np	np	np	np	np	0.00	0.00	0.00	0.00
91	800.0	0.0	82.7	Piano 1	-	np	np	np	np	np	np	0.00	0.00	0.00	0.00
92	800.0	0.0	165.3	Piano 1	-	np	np	np	np	np	np	0.00	0.00	0.00	0.00
93	900.0	0.0	82.7	Piano 1	-	np	np	np	np	np	np	0.00	0.00	0.00	0.00
94	900.0	0.0	165.3	Piano 1	-	np	np	np	np	np	np	0.00	0.00	0.00	0.00
95	1000.0	0.0	82.7	Piano 1	-	np	np	np	np	np	np	0.00	0.00	0.00	0.00
96	1000.0	0.0	165.3	Piano 1	-	np	np	np	np	np	np	0.00	0.00	0.00	0.00
97	1100.0	0.0	82.7	Piano 1	-	np	np	np	np	np	np	0.00	0.00	0.00	0.00
98	1100.0	0.0	165.3	Piano 1	-	np	np	np	np	np	np	0.00	0.00	0.00	0.00
99	1200.0	0.0	165.3	Piano 1	-	np	np	np	np	np	np	0.00	0.00	0.00	0.00
100	1200.0	0.0	82.7	Piano 1	-	np	np	np	np	np	np	0.00	0.00	0.00	0.00
101	1200.0	300.0	82.7	Piano 1	-	np	np	np	np	np	np	0.00	0.00	0.00	0.00
102	1200.0	300.0	165.3	Piano 1	-	np	np	np	np	np	np	0.00	0.00	0.00	0.00
103	1100.0	300.0	82.7	Piano 1	-	np	np	np	np	np	np	0.00	0.00	0.00	0.00

Relazione di calcolo -

104	1100.0	300.0	165.3	Piano 1	-	np	np	np	np	np	np	0.00	0.00	0.00	0.00
105	1000.0	300.0	82.7	Piano 1	-	np	np	np	np	np	np	0.00	0.00	0.00	0.00
106	1000.0	300.0	165.3	Piano 1	-	np	np	np	np	np	np	0.00	0.00	0.00	0.00
107	900.0	300.0	82.7	Piano 1	-	np	np	np	np	np	np	0.00	0.00	0.00	0.00
108	900.0	300.0	165.3	Piano 1	-	np	np	np	np	np	np	0.00	0.00	0.00	0.00
109	800.0	300.0	82.7	Piano 1	-	np	np	np	np	np	np	0.00	0.00	0.00	0.00
110	800.0	300.0	165.3	Piano 1	-	np	np	np	np	np	np	0.00	0.00	0.00	0.00
111	700.0	300.0	82.7	Piano 1	-	np	np	np	np	np	np	0.00	0.00	0.00	0.00
112	700.0	300.0	165.3	Piano 1	-	np	np	np	np	np	np	0.00	0.00	0.00	0.00
113	600.0	300.0	82.7	Piano 1	-	np	np	np	np	np	np	0.00	0.00	0.00	0.00
114	600.0	300.0	165.3	Piano 1	-	np	np	np	np	np	np	0.00	0.00	0.00	0.00
115	500.0	300.0	82.7	Piano 1	-	np	np	np	np	np	np	0.00	0.00	0.00	0.00
116	500.0	300.0	165.3	Piano 1	-	np	np	np	np	np	np	0.00	0.00	0.00	0.00
117	400.0	300.0	82.7	Piano 1	-	np	np	np	np	np	np	0.00	0.00	0.00	0.00
118	400.0	300.0	165.3	Piano 1	-	np	np	np	np	np	np	0.00	0.00	0.00	0.00
119	300.0	300.0	82.7	Piano 1	-	np	np	np	np	np	np	0.00	0.00	0.00	0.00
120	300.0	300.0	165.3	Piano 1	-	np	np	np	np	np	np	0.00	0.00	0.00	0.00
121	200.0	300.0	82.7	Piano 1	-	np	np	np	np	np	np	0.00	0.00	0.00	0.00
122	200.0	300.0	165.3	Piano 1	-	np	np	np	np	np	np	0.00	0.00	0.00	0.00
123	100.0	300.0	165.3	Piano 1	-	np	np	np	np	np	np	0.00	0.00	0.00	0.00
124	100.0	300.0	82.7	Piano 1	-	np	np	np	np	np	np	0.00	0.00	0.00	0.00
125	1300.0	100.0	82.7	Piano 1	-	np	np	np	np	np	np	0.00	0.00	0.00	0.00
126	1300.0	100.0	165.3	Piano 1	-	np	np	np	np	np	np	0.00	0.00	0.00	0.00
127	1300.0	200.0	165.3	Piano 1	-	np	np	np	np	np	np	0.00	0.00	0.00	0.00
128	1300.0	200.0	82.7	Piano 1	-	np	np	np	np	np	np	0.00	0.00	0.00	0.00
129	1200.0	100.0	0.0	Fondazione	-	np	np	np	np	np	np	0.00	0.00	0.00	0.00
130	1200.0	200.0	0.0	Fondazione	-	np	np	np	np	np	np	0.00	0.00	0.00	0.00
131	1100.0	100.0	0.0	Fondazione	-	np	np	np	np	np	np	0.00	0.00	0.00	0.00
132	1100.0	200.0	0.0	Fondazione	-	np	np	np	np	np	np	0.00	0.00	0.00	0.00
133	1000.0	100.0	0.0	Fondazione	-	np	np	np	np	np	np	0.00	0.00	0.00	0.00
134	1000.0	200.0	0.0	Fondazione	-	np	np	np	np	np	np	0.00	0.00	0.00	0.00
135	900.0	100.0	0.0	Fondazione	-	np	np	np	np	np	np	0.00	0.00	0.00	0.00
136	900.0	200.0	0.0	Fondazione	-	np	np	np	np	np	np	0.00	0.00	0.00	0.00
137	800.0	100.0	0.0	Fondazione	-	np	np	np	np	np	np	0.00	0.00	0.00	0.00
138	800.0	200.0	0.0	Fondazione	-	np	np	np	np	np	np	0.00	0.00	0.00	0.00
139	700.0	100.0	0.0	Fondazione	-	np	np	np	np	np	np	0.00	0.00	0.00	0.00
140	700.0	200.0	0.0	Fondazione	-	np	np	np	np	np	np	0.00	0.00	0.00	0.00
141	600.0	100.0	0.0	Fondazione	-	np	np	np	np	np	np	0.00	0.00	0.00	0.00
142	600.0	200.0	0.0	Fondazione	-	np	np	np	np	np	np	0.00	0.00	0.00	0.00
143	500.0	100.0	0.0	Fondazione	-	np	np	np	np	np	np	0.00	0.00	0.00	0.00
144	500.0	200.0	0.0	Fondazione	-	np	np	np	np	np	np	0.00	0.00	0.00	0.00
145	400.0	100.0	0.0	Fondazione	-	np	np	np	np	np	np	0.00	0.00	0.00	0.00
146	400.0	200.0	0.0	Fondazione	-	np	np	np	np	np	np	0.00	0.00	0.00	0.00
147	300.0	100.0	0.0	Fondazione	-	np	np	np	np	np	np	0.00	0.00	0.00	0.00
148	300.0	200.0	0.0	Fondazione	-	np	np	np	np	np	np	0.00	0.00	0.00	0.00
149	100.0	100.0	0.0	Fondazione	-	np	np	np	np	np	np	0.00	0.00	0.00	0.00
150	200.0	100.0	0.0	Fondazione	-	np	np	np	np	np	np	0.00	0.00	0.00	0.00
151	200.0	200.0	0.0	Fondazione	-	np	np	np	np	np	np	0.00	0.00	0.00	0.00
152	100.0	200.0	0.0	Fondazione	-	np	np	np	np	np	np	0.00	0.00	0.00	0.00

Tabella dei Nodi Master:

Nodo	Tipo Nodo	Coordinate [cm]		
		x	y	z
M1	Impalcato Rigido	650.00	150.00	248.00

3.6.3 Caratteristiche delle aste.

La tabella seguente riporta tutte le caratteristiche relative alle aste della struttura ed in modo particolare la colonna:

Asta : numerazione dell'asta
 Fili : fili fissi ai quali appartiene l'asta
 NI : nodo iniziale dell'asta
 NF : nodo finale dell'asta
 Tipo : funzione dell'asta
 Sez : sezione trasversale associata all'asta
 L : lunghezza teorica (nodo-nodo) dell'asta
 Imp. : impalcato di appartenenza dell'asta
 KwN : modulo di Winkler normale;
 KwT : modulo di Winkler tangenziale;

Asta	Fili	NI	NF	Tipo	Sez	L [cm]	Imp.	Kwn [daN/c m ³]	Kwt [daN/c m ³]	Vincoli interni												
										Estremo In.						Estremo Fin.						
										SpoX	SpoY	SpoZ	RotX	RotY	RotZ	SpoX	SpoY	SpoZ	RotX	RotY	RotZ	

3.6.4 Caratteristiche delle Piastre.

La tabella seguente riporta tutte le caratteristiche relative alle piastre della struttura:

Piastra : numerazione della piastra
 Impalcato : impalcato al quale appartiene la piastra
 Fili : fili fissi ai quali appartiene la piastra
 Spess. : spessore della piastra
 Tipo : tipologia della piastra (parete o platea)
 Numero Elementi : numero di elementi che compongono la piastra
 Nome Materiale : nome del materiale usato per progettare la piastra
 KwN : modulo di Winkler normale;
 KwT : modulo di Winkler tangenziale;

Piastra	Impalcato	Fili	Spess.	Tipo	Numero Elementi	Nome Materiale	Kwn [daN /cm ³]	Kwt [daN /cm ³]
1	Piano 1	1-2	20.00	Parete in Cls	9	pareti	-	-
2	Piano 1	4-1	20.00	Parete in Cls	39	pareti	-	-
3	Piano 1	2-3	20.00	Parete in Cls	39	pareti	-	-
4	Piano 1	3-4	20.00	Parete in Cls	9	pareti	-	-
5	Fondazione	2, 3, 4, 1	40.00	Platea Cls	39	C25/30	41.36	31.28

3.6.5 Carichi distribuiti sugli elementi.

Carichi Locali distribuiti sulle Piastre

Piastra : numero della piastra come da paragrafo "Caratteristiche delle piastre";
 Imp. : impalcato al quale appartiene la piastra;
 Fili : fili fissi ai quali appartiene la piastra;
 C.C. : condizione di carico come da paragrafo "Condizioni di carico valutate";
 DLoc : direzione dei carichi secondo il sistema di riferimento locale della piastra;

Piastra	Imp.	Fili	C.C.	DLoc X [daN/m ²]	DLoc Y [daN/m ²]	DLoc Z [daN/m ²]
1	Fondazione	2, 3, 4, 1	Car. Permanenti G1	0.00	0.00	0.00
			Car. Permanenti G2	0.00	0.00	0.00
			Car. d'Esercizio	0.00	0.00	0.00

Carichi Globali distribuiti sulle Piastre

Piastra : numero della piastra come da paragrafo "Caratteristiche delle piastre";

Relazione di calcolo -

Imp. : impalcato al quale appartiene la piastra;
 Fili : fili fissi ai quali appartiene la piastra;
 C.C. : condizione di carico come da paragrafo "Condizioni di carico valutate";
 DGlob : direzione dei carichi secondo il sistema di riferimento globale della piastra;

Piastra	Imp.	Fili	C.C.	DGlob X [daN/m ²]	DGlob Y [daN/m ²]	DGlob Z [daN/m ²]
1	Fondazione	2, 3, 4, 1	Car. Permanenti G1	0.00	0.00	-1000.00
			Car. Permanenti G2	0.00	0.00	-1300.00
			Car. d'Esercizio	0.00	0.00	-100.00

Carichi Locali lineari in testa alle Pareti

Parete : numero della piastra come da paragrafo "Caratteristiche delle pareti";
 Imp. : impalcato al quale appartiene la parete;
 Fili : fili fissi ai quali appartiene la parete;
 C.C. : condizione di carico come da paragrafo "Condizioni di carico valutate";
 DLoc : direzione dei carichi secondo il sistema di riferimento locale della parete;

Parete	Imp.	Fili	C.C.	DLoc X [daN/m]		DLoc Y [daN/m]		DLoc Z [daN/m]	
				in.	fin.	in.	fin.	in.	fin.
1	Piano 1	1-2	Car. perm. G1 in Testa	0.00	0.00	0.00	0.00	0.00	0.00
			Car. perm. G2 in Testa	0.00	0.00	0.00	0.00	0.00	0.00
			Car. eserc. in Testa	0.00	0.00	0.00	0.00	0.00	0.00
2	Piano 1	4-1	Car. perm. G1 in Testa	0.00	0.00	0.00	0.00	0.00	0.00
			Car. perm. G2 in Testa	0.00	0.00	0.00	0.00	0.00	0.00
			Car. eserc. in Testa	0.00	0.00	0.00	0.00	0.00	0.00
3	Piano 1	2-3	Car. perm. G1 in Testa	0.00	0.00	0.00	0.00	0.00	0.00
			Car. perm. G2 in Testa	0.00	0.00	0.00	0.00	0.00	0.00
			Car. eserc. in Testa	0.00	0.00	0.00	0.00	0.00	0.00
4	Piano 1	3-4	Car. perm. G1 in Testa	0.00	0.00	0.00	0.00	0.00	0.00
			Car. perm. G2 in Testa	0.00	0.00	0.00	0.00	0.00	0.00
			Car. eserc. in Testa	0.00	0.00	0.00	0.00	0.00	0.00

Carichi Locali distribuiti sulle Pareti

Parete : numero della piastra come da paragrafo "Caratteristiche delle pareti";
 Imp. : impalcato al quale appartiene la parete;
 Fili : fili fissi ai quali appartiene la parete;
 C.C. : condizione di carico come da paragrafo "Condizioni di carico valutate";
 DLoc : direzione dei carichi secondo il sistema di riferimento locale della parete;

Parete	Imp.	Fili	C.C.	DLoc X [daN/m ²]	DLoc Y [daN/m ²]	DLoc Z [daN/m ²]
1	Piano 1	1-2	Car. Perm. G1	0.00	0.00	0.00
			Car. Perm. G2	0.00	0.00	0.00
			Car. Eserc.	0.00	0.00	0.00
2	Piano 1	4-1	Car. Perm. G1	0.00	0.00	0.00
			Car. Perm. G2	0.00	0.00	0.00
			Car. Eserc.	0.00	0.00	0.00
3	Piano 1	2-3	Car. Perm. G1	0.00	0.00	0.00
			Car. Perm. G2	0.00	0.00	0.00
			Car. Eserc.	0.00	0.00	0.00
4	Piano 1	3-4	Car. Perm. G1	0.00	0.00	0.00
			Car. Perm. G2	0.00	0.00	0.00
			Car. Eserc.	0.00	0.00	0.00

Carichi Globali lineari in testa alle Pareti

Parete : numero della piastra come da paragrafo "Caratteristiche delle pareti";
 Imp. : impalcato al quale appartiene la parete;
 Fili : fili fissi ai quali appartiene la parete;
 C.C. : condizione di carico come da paragrafo "Condizioni di carico valutate";
 DGlob : direzione dei carichi secondo il sistema di riferimento globali della parete;

Parete	Imp.	Fili	C.C.	DGlob X [daN/m]		DGlob Y [daN/m]		DGlob Z [daN/m]	
				in.	fin.	in.	fin.	in.	fin.

Relazione di calcolo -

1	Piano 1	1-2	Car. perm. G1 in Testa	0.00	0.00	0.00	0.00	0.00	0.00
			Car. perm. G2 in Testa	0.00	0.00	0.00	0.00	-30.00	0.00
			Car. eserc. in Testa	0.00	0.00	0.00	0.00	-40.00	0.00
2	Piano 1	4-1	Car. perm. G1 in Testa	0.00	0.00	0.00	0.00	0.00	0.00
			Car. perm. G2 in Testa	0.00	0.00	0.00	0.00	-30.00	0.00
			Car. eserc. in Testa	0.00	0.00	0.00	0.00	-40.00	0.00
3	Piano 1	2-3	Car. perm. G1 in Testa	0.00	0.00	0.00	0.00	0.00	0.00
			Car. perm. G2 in Testa	0.00	0.00	0.00	0.00	-30.00	0.00
			Car. eserc. in Testa	0.00	0.00	0.00	0.00	-40.00	0.00
4	Piano 1	3-4	Car. perm. G1 in Testa	0.00	0.00	0.00	0.00	0.00	0.00
			Car. perm. G2 in Testa	0.00	0.00	0.00	0.00	-30.00	0.00
			Car. eserc. in Testa	0.00	0.00	0.00	0.00	-40.00	0.00

Carichi Globali distribuiti sulle Pareti

Parete : numero della piastra come da paragrafo "Caratteristiche delle pareti";
 Imp. : impalcato al quale appartiene la parete;
 Fili : fili fissi ai quali appartiene la parete;
 C.C. : condizione di carico come da paragrafo "Condizioni di carico valutate";
 DGlob : direzione dei carichi secondo il sistema di riferimento globale della parete;

Parete	Imp.	Fili	C.C.	DGlob X [daN/m ²]	DGlob Y [daN/m ²]	DGlob Z [daN/m ²]
1	Piano 1	1-2	Car. Perm. G1	0.00	0.00	-50.00
			Car. Perm. G2	0.00	0.00	0.00
			Car. Eserc.	0.00	0.00	0.00
2	Piano 1	4-1	Car. Perm. G1	0.00	0.00	-50.00
			Car. Perm. G2	0.00	0.00	0.00
			Car. Eserc.	0.00	0.00	0.00
3	Piano 1	2-3	Car. Perm. G1	0.00	0.00	-50.00
			Car. Perm. G2	0.00	0.00	0.00
			Car. Eserc.	0.00	0.00	0.00
4	Piano 1	3-4	Car. Perm. G1	0.00	0.00	-50.00
			Car. Perm. G2	0.00	0.00	0.00
			Car. Eserc.	0.00	0.00	0.00

4 Risultati di Calcolo.

4.1 Inviluppi.

Gli effetti relativi alle varie combinazioni sono considerati utilizzando la tecnica dell'inviluppo, in modo da considerare i massimi effetti relativi allo stato limite in esame.

Tale tecnica è stata utilizzata per:

- Cinematismi nodali;
- Sforzo Normale;
- Momento Torcente;
- Momento Flettente X-Z;
- Taglio X-Z;
- Momento Flettente X-Y;
- Taglio X-Y;

4.1.1 Inviluppi dei Cinematismi nodali.

I dati seguenti riportano i valori dei cinematismi nodali dei nodi che definiscono la struttura ed in modo particolare:

Nodo : numerazione interna del nodo.
 X : distanza dal nodo iniziale misurata lungo l'asse dell'asta.
 Cinematismi nodali : valore dello spostamento. Per le azioni sismiche è riferito allo spettro elastico:
 Vx : traslazione X rispetto al sistema di riferimento globale.
 Vy : traslazione Y rispetto al sistema di riferimento globale.
 Vz : Traslazione Z rispetto al sistema di riferimento globale.
 Rx : rotazione X rispetto al sistema di riferimento globale.
 Ry : rotazione Y rispetto al sistema di riferimento globale.
 Rz : rotazione Z rispetto al sistema di riferimento globale.

Max : valore massimo (rispetto al sistema di riferimento globale) dell'involuppo.
 Min : valore minimo (rispetto al sistema di riferimento globale) dell'involuppo.

4.1.1.1 Involuppi SLU.

Tabella 1.I

STATO LIMITE ULTIMO												
Nodo	Spostamenti						Rotazioni					
	Vx [cm]		Vy [cm]		Vz [cm]		Rx [rad]		Ry [rad]		Rz [rad]	
	Max	Min	Max	Min	Max	Min	Max	Min	Max	Min	Max	Min
1	0.000	0.000	0.000	0.000	-0.006	-0.009	2.0E-6	-3.4E-6	1.8E-6	2.3E-7	9.4E-7	-8.9E-7
2	0.000	0.000	0.000	0.000	-0.006	-0.009	3.4E-6	-2.0E-6	1.8E-6	2.3E-7	8.9E-7	-9.4E-7
3	0.000	0.000	0.000	0.000	-0.006	-0.009	3.4E-6	-2.0E-6	-2.3E-7	-1.8E-6	9.4E-7	-8.9E-7
4	0.000	0.000	0.000	0.000	-0.006	-0.009	2.0E-6	-3.4E-6	-2.3E-7	-1.8E-6	8.9E-7	-9.4E-7
5	0.000	0.000	0.001	-0.001	-0.006	-0.009	3.2E-6	-3.0E-6	6.3E-7	-1.1E-7	2.9E-6	1.8E-6
6	0.000	0.000	0.001	-0.001	-0.006	-0.009	3.0E-6	-3.2E-6	6.3E-7	-1.1E-7	-1.8E-6	-2.9E-6
7	0.000	0.000	0.001	-0.001	-0.006	-0.009	3.0E-6	-3.2E-6	1.1E-7	-6.3E-7	2.9E-6	1.8E-6
8	0.000	0.000	0.001	-0.001	-0.006	-0.009	3.2E-6	-3.0E-6	1.1E-7	-6.3E-7	-1.8E-6	-2.9E-6
9	0.000	0.000	0.000	0.000	-0.006	-0.009	5.5E-6	6.0E-7	1.6E-6	1.4E-7	7.1E-7	-9.6E-7
10	0.000	0.000	0.000	0.000	-0.006	-0.009	7.4E-6	2.5E-6	8.8E-7	-1.3E-7	5.6E-7	-6.1E-7
11	0.000	0.000	0.000	0.000	-0.006	-0.009	7.8E-6	3.2E-6	5.9E-7	-1.8E-7	4.3E-7	-4.8E-7
12	0.000	0.000	0.000	0.000	-0.006	-0.009	7.7E-6	3.3E-6	4.0E-7	-1.4E-7	2.9E-7	-2.9E-7
13	0.000	0.000	0.000	0.000	-0.006	-0.009	7.6E-6	3.4E-6	2.4E-7	-9.1E-8	1.8E-7	-1.8E-7
14	0.000	0.000	0.000	0.000	-0.006	-0.009	7.5E-6	3.5E-6	1.1E-7	-6.2E-8	6.1E-8	-5.6E-8
15	0.000	0.000	0.000	0.000	-0.006	-0.009	7.5E-6	3.5E-6	6.2E-8	-1.1E-7	5.6E-8	-6.1E-8
16	0.000	0.000	0.000	0.000	-0.006	-0.009	7.6E-6	3.4E-6	9.1E-8	-2.4E-7	1.8E-7	-1.8E-7
17	0.000	0.000	0.000	0.000	-0.006	-0.009	7.7E-6	3.3E-6	1.4E-7	-4.0E-7	2.9E-7	-2.9E-7
18	0.000	0.000	0.000	0.000	-0.006	-0.009	7.8E-6	3.2E-6	1.8E-7	-5.9E-7	4.8E-7	-4.3E-7
19	0.000	0.000	0.000	0.000	-0.006	-0.009	7.4E-6	2.5E-6	1.3E-7	-8.8E-7	6.1E-7	-5.6E-7
20	0.000	0.000	0.000	0.000	-0.006	-0.009	5.5E-6	6.0E-7	-1.4E-7	-1.6E-6	9.6E-7	-7.1E-7
21	0.000	0.000	0.000	0.000	-0.006	-0.009	2.9E-6	-2.0E-6	-2.5E-6	-4.9E-6	5.7E-7	-7.8E-7
22	0.000	0.000	0.000	0.000	-0.006	-0.009	2.0E-6	-2.9E-6	-2.5E-6	-4.9E-6	7.8E-7	-5.7E-7
23	0.000	0.000	0.000	0.000	-0.006	-0.009	-6.0E-7	-5.5E-6	-1.4E-7	-1.6E-6	7.1E-7	-9.6E-7
24	0.000	0.000	0.000	0.000	-0.006	-0.009	-2.5E-6	-7.4E-6	1.3E-7	-8.8E-7	5.6E-7	-6.1E-7
25	0.000	0.000	0.000	0.000	-0.006	-0.009	-3.2E-6	-7.8E-6	1.8E-7	-5.9E-7	4.3E-7	-4.8E-7
26	0.000	0.000	0.000	0.000	-0.006	-0.009	-3.3E-6	-7.7E-6	1.4E-7	-4.0E-7	2.9E-7	-2.9E-7
27	0.000	0.000	0.000	0.000	-0.006	-0.009	-3.4E-6	-7.6E-6	9.1E-8	-2.4E-7	1.8E-7	-1.8E-7
28	0.000	0.000	0.000	0.000	-0.006	-0.009	-3.5E-6	-7.5E-6	6.2E-8	-1.1E-7	6.1E-8	-5.6E-8
29	0.000	0.000	0.000	0.000	-0.006	-0.009	-3.5E-6	-7.5E-6	1.1E-7	-6.2E-8	5.6E-8	-6.1E-8
30	0.000	0.000	0.000	0.000	-0.006	-0.009	-3.4E-6	-7.6E-6	2.4E-7	-9.1E-8	1.8E-7	-1.8E-7
31	0.000	0.000	0.000	0.000	-0.006	-0.009	-3.3E-6	-7.7E-6	4.0E-7	-1.4E-7	2.9E-7	-2.9E-7
32	0.000	0.000	0.000	0.000	-0.006	-0.009	-3.2E-6	-7.8E-6	5.9E-7	-1.8E-7	4.8E-7	-4.3E-7
33	0.000	0.000	0.000	0.000	-0.006	-0.009	-2.5E-6	-7.4E-6	8.8E-7	-1.3E-7	6.1E-7	-5.6E-7
34	0.000	0.000	0.000	0.000	-0.006	-0.009	-6.0E-7	-5.5E-6	1.6E-6	1.4E-7	9.6E-7	-7.1E-7
35	0.000	0.000	0.000	0.000	-0.006	-0.009	2.0E-6	-2.9E-6	4.9E-6	2.5E-6	5.7E-7	-7.8E-7
36	0.000	0.000	0.000	0.000	-0.006	-0.009	2.9E-6	-2.0E-6	4.9E-6	2.5E-6	7.8E-7	-5.7E-7
37	0.000	0.000	0.001	-0.001	-0.006	-0.009	0.0E+0	0.0E+0	-1.5E-7	-6.3E-7	7.8E-7	-4.3E-7
38	0.000	0.000	0.001	-0.001	-0.006	-0.009	0.0E+0	0.0E+0	-1.5E-7	-6.3E-7	-4.3E-7	-7.8E-7
39	0.000	0.000	0.001	-0.001	-0.006	-0.009	2.8E-6	-2.9E-6	8.1E-7	-6.6E-8	1.8E-6	6.5E-7
40	0.000	0.000	0.000	-0.001	-0.006	-0.009	3.3E-6	-2.9E-6	6.4E-7	-2.9E-7	1.2E-6	-4.2E-7
41	0.000	0.000	0.001	-0.001	-0.006	-0.009	2.9E-6	-2.8E-6	8.1E-7	-6.6E-8	-6.5E-7	-1.8E-6
42	0.000	0.000	0.001	0.000	-0.006	-0.009	2.9E-6	-3.3E-6	6.4E-7	-2.9E-7	4.2E-7	-1.2E-6
43	0.000	0.000	0.001	-0.001	-0.006	-0.009	2.9E-6	-4.3E-6	0.0E+0	0.0E+0	-3.0E-6	-4.9E-6
44	0.000	0.000	0.000	-0.002	-0.006	-0.009	2.7E-6	-5.9E-6	0.0E+0	0.0E+0	-3.0E-6	-4.8E-6
45	0.000	0.000	0.000	-0.002	-0.006	-0.009	2.3E-6	-7.4E-6	0.0E+0	0.0E+0	-2.0E-6	-3.3E-6
46	0.000	0.000	0.000	-0.002	-0.006	-0.009	1.7E-6	-8.6E-6	0.0E+0	0.0E+0	-1.0E-6	-1.8E-6
47	0.000	0.000	0.000	-0.002	-0.006	-0.009	1.3E-6	-9.3E-6	0.0E+0	0.0E+0	-4.6E-7	-8.2E-7
48	0.000	0.000	0.000	-0.002	-0.006	-0.009	1.2E-6	-9.6E-6	0.0E+0	0.0E+0	-8.8E-8	-2.3E-7
49	0.000	0.000	0.000	-0.002	-0.006	-0.009	1.2E-6	-9.6E-6	0.0E+0	0.0E+0	2.3E-7	8.8E-8
50	0.000	0.000	0.000	-0.002	-0.006	-0.009	1.3E-6	-9.3E-6	0.0E+0	0.0E+0	8.2E-7	4.6E-7
51	0.000	0.000	0.000	-0.002	-0.006	-0.009	1.7E-6	-8.6E-6	0.0E+0	0.0E+0	1.8E-6	1.0E-6
52	0.000	0.000	0.000	-0.002	-0.006	-0.009	2.3E-6	-7.4E-6	0.0E+0	0.0E+0	3.3E-6	2.0E-6
53	0.000	0.000	0.000	-0.002	-0.006	-0.009	2.7E-6	-5.9E-6	0.0E+0	0.0E+0	4.8E-6	3.0E-6
54	0.000	0.000	0.001	-0.001	-0.006	-0.009	2.9E-6	-4.3E-6	0.0E+0	0.0E+0	4.9E-6	3.0E-6
55	0.000	0.000	0.001	-0.001	-0.006	-0.009	2.8E-6	-2.9E-6	6.6E-8	-8.1E-7	-6.5E-7	-1.8E-6
56	0.000	0.000	0.000	-0.001	-0.006	-0.009	3.3E-6	-2.9E-6	2.9E-7	-6.4E-7	4.2E-7	-1.2E-6
57	0.000	0.000	0.001	-0.001	-0.006	-0.009	4.3E-6	-2.9E-6	0.0E+0	0.0E+0	-3.0E-6	-4.9E-6
58	0.000	0.000	0.002	0.000	-0.006	-0.009	5.9E-6	-2.7E-6	0.0E+0	0.0E+0	-3.0E-6	-4.8E-6
59	0.000	0.000	0.002	0.000	-0.006	-0.009	7.4E-6	-2.3E-6	0.0E+0	0.0E+0	-2.0E-6	-3.3E-6
60	0.000	0.000	0.002	0.000	-0.006	-0.009	8.6E-6	-1.7E-6	0.0E+0	0.0E+0	-1.0E-6	-1.8E-6
61	0.000	0.000	0.002	0.000	-0.006	-0.009	9.3E-6	-1.3E-6	0.0E+0	0.0E+0	-4.6E-7	-8.2E-7

Relazione di calcolo -

62	0.000	0.000	0.002	0.000	-0.006	-0.009	9.6E-6	-1.2E-6	0.0E+0	0.0E+0	-8.8E-8	-2.3E-7
63	0.000	0.000	0.002	0.000	-0.006	-0.009	9.6E-6	-1.2E-6	0.0E+0	0.0E+0	2.3E-7	8.8E-8
64	0.000	0.000	0.002	0.000	-0.006	-0.009	9.3E-6	-1.3E-6	0.0E+0	0.0E+0	8.2E-7	4.6E-7
65	0.000	0.000	0.002	0.000	-0.006	-0.009	8.6E-6	-1.7E-6	0.0E+0	0.0E+0	1.8E-6	1.0E-6
66	0.000	0.000	0.002	0.000	-0.006	-0.009	7.4E-6	-2.3E-6	0.0E+0	0.0E+0	3.3E-6	2.0E-6
67	0.000	0.000	0.002	0.000	-0.006	-0.009	5.9E-6	-2.7E-6	0.0E+0	0.0E+0	4.8E-6	3.0E-6
68	0.000	0.000	0.001	-0.001	-0.006	-0.009	4.3E-6	-2.9E-6	0.0E+0	0.0E+0	4.9E-6	3.0E-6
69	0.000	0.000	0.001	-0.001	-0.006	-0.009	2.9E-6	-2.8E-6	6.6E-8	-8.1E-7	1.8E-6	6.5E-7
70	0.000	0.000	0.001	0.000	-0.006	-0.009	2.9E-6	-3.3E-6	2.9E-7	-6.4E-7	1.2E-6	-4.2E-7
71	0.000	0.000	0.001	-0.001	-0.006	-0.009	0.0E+0	0.0E+0	6.3E-7	1.5E-7	7.8E-7	4.3E-7
72	0.000	0.000	0.001	-0.001	-0.006	-0.009	0.0E+0	0.0E+0	6.3E-7	1.5E-7	-4.3E-7	-7.8E-7
73	0.000	0.000	0.001	0.000	-0.006	-0.009	0.0E+0	0.0E+0	-5.3E-7	-1.2E-6	1.6E-6	7.1E-7
74	0.000	0.000	0.001	-0.001	-0.006	-0.009	0.0E+0	0.0E+0	-4.3E-7	-1.0E-6	2.9E-7	-1.2E-8
75	0.000	0.000	0.001	-0.001	-0.006	-0.009	0.0E+0	0.0E+0	-4.3E-7	-1.0E-6	1.2E-8	-2.9E-7
76	0.000	0.000	0.000	-0.001	-0.006	-0.009	0.0E+0	0.0E+0	-5.3E-7	-1.2E-6	-7.1E-7	-1.6E-6
77	0.000	0.000	0.000	-0.001	-0.006	-0.009	2.7E-6	-3.9E-6	0.0E+0	0.0E+0	3.1E-6	9.2E-7
78	0.000	0.000	0.000	-0.001	-0.006	-0.009	2.9E-6	-4.3E-6	0.0E+0	0.0E+0	4.2E-6	1.9E-6
79	0.000	0.000	0.000	-0.001	-0.006	-0.009	1.1E-6	-5.6E-6	0.0E+0	0.0E+0	1.5E-6	1.7E-7
80	0.000	0.000	0.000	-0.001	-0.006	-0.009	2.6E-6	-5.6E-6	0.0E+0	0.0E+0	3.4E-6	1.6E-6
81	0.000	0.000	0.000	-0.001	-0.006	-0.009	9.0E-9	-6.9E-6	0.0E+0	0.0E+0	9.3E-7	-1.2E-7
82	0.000	0.000	0.000	-0.001	-0.006	-0.009	1.8E-6	-7.2E-6	0.0E+0	0.0E+0	1.9E-6	8.4E-7
83	0.000	0.000	0.000	-0.001	-0.006	-0.009	-5.7E-7	-7.6E-6	0.0E+0	0.0E+0	4.7E-7	-2.3E-7
84	0.000	0.000	0.000	-0.001	-0.006	-0.009	1.2E-6	-8.3E-6	0.0E+0	0.0E+0	9.4E-7	3.4E-7
85	0.000	0.000	0.000	-0.001	-0.006	-0.009	-8.2E-7	-8.0E-6	0.0E+0	0.0E+0	2.6E-7	-1.7E-7
86	0.000	0.000	0.000	-0.001	-0.006	-0.009	8.1E-7	-8.9E-6	0.0E+0	0.0E+0	4.0E-7	8.0E-8
87	0.000	0.000	0.000	-0.001	-0.006	-0.009	-9.2E-7	-8.1E-6	0.0E+0	0.0E+0	9.6E-8	-8.0E-8
88	0.000	0.000	0.000	-0.001	-0.006	-0.009	6.6E-7	-9.2E-6	0.0E+0	0.0E+0	1.5E-7	-1.4E-8
89	0.000	0.000	0.000	-0.001	-0.006	-0.009	-9.2E-7	-8.1E-6	0.0E+0	0.0E+0	8.0E-8	-9.6E-8
90	0.000	0.000	0.000	-0.001	-0.006	-0.009	6.6E-7	-9.2E-6	0.0E+0	0.0E+0	1.4E-8	-1.5E-7
91	0.000	0.000	0.000	-0.001	-0.006	-0.009	-8.2E-7	-8.0E-6	0.0E+0	0.0E+0	1.7E-7	-2.6E-7
92	0.000	0.000	0.000	-0.001	-0.006	-0.009	8.1E-7	-8.9E-6	0.0E+0	0.0E+0	-8.0E-8	-4.0E-7
93	0.000	0.000	0.000	-0.001	-0.006	-0.009	-5.7E-7	-7.6E-6	0.0E+0	0.0E+0	2.3E-7	-4.7E-7
94	0.000	0.000	0.000	-0.001	-0.006	-0.009	1.2E-6	-8.3E-6	0.0E+0	0.0E+0	-3.4E-7	-9.4E-7
95	0.000	0.000	0.000	-0.001	-0.006	-0.009	9.0E-9	-6.9E-6	0.0E+0	0.0E+0	1.2E-7	-9.3E-7
96	0.000	0.000	0.000	-0.001	-0.006	-0.009	1.8E-6	-7.2E-6	0.0E+0	0.0E+0	-8.4E-7	-1.9E-6
97	0.000	0.000	0.000	-0.001	-0.006	-0.009	1.1E-6	-5.6E-6	0.0E+0	0.0E+0	-1.7E-7	-1.5E-6
98	0.000	0.000	0.000	-0.001	-0.006	-0.009	2.6E-6	-5.6E-6	0.0E+0	0.0E+0	-1.6E-6	-3.4E-6
99	0.000	0.000	0.000	-0.001	-0.006	-0.009	2.9E-6	-4.3E-6	0.0E+0	0.0E+0	-1.9E-6	-4.2E-6
100	0.000	0.000	0.000	-0.001	-0.006	-0.009	2.7E-6	-3.9E-6	0.0E+0	0.0E+0	-9.2E-7	-3.1E-6
101	0.000	0.000	0.001	0.000	-0.006	-0.009	3.9E-6	-2.7E-6	0.0E+0	0.0E+0	3.1E-6	9.2E-7
102	0.000	0.000	0.001	0.000	-0.006	-0.009	4.3E-6	-2.9E-6	0.0E+0	0.0E+0	4.2E-6	1.9E-6
103	0.000	0.000	0.001	0.000	-0.006	-0.009	5.6E-6	-1.1E-6	0.0E+0	0.0E+0	1.5E-6	1.7E-7
104	0.000	0.000	0.001	0.000	-0.006	-0.009	5.6E-6	-2.6E-6	0.0E+0	0.0E+0	3.4E-6	1.6E-6
105	0.000	0.000	0.001	0.000	-0.006	-0.009	6.9E-6	-9.0E-9	0.0E+0	0.0E+0	9.3E-7	-1.2E-7
106	0.000	0.000	0.001	0.000	-0.006	-0.009	7.2E-6	-1.8E-6	0.0E+0	0.0E+0	1.9E-6	8.4E-7
107	0.000	0.000	0.001	0.000	-0.006	-0.009	7.6E-6	5.7E-7	0.0E+0	0.0E+0	4.7E-7	-2.3E-7
108	0.000	0.000	0.001	0.000	-0.006	-0.009	8.3E-6	-1.2E-6	0.0E+0	0.0E+0	9.4E-7	3.4E-7
109	0.000	0.000	0.001	0.000	-0.006	-0.009	8.0E-6	8.2E-7	0.0E+0	0.0E+0	2.6E-7	-1.7E-7
110	0.000	0.000	0.001	0.000	-0.006	-0.009	8.9E-6	-8.1E-7	0.0E+0	0.0E+0	4.0E-7	8.0E-8
111	0.000	0.000	0.001	0.000	-0.006	-0.009	8.1E-6	9.2E-7	0.0E+0	0.0E+0	9.6E-8	-8.0E-8
112	0.000	0.000	0.001	0.000	-0.006	-0.009	9.2E-6	-6.6E-7	0.0E+0	0.0E+0	1.5E-7	-1.4E-8
113	0.000	0.000	0.001	0.000	-0.006	-0.009	8.1E-6	9.2E-7	0.0E+0	0.0E+0	8.0E-8	-9.6E-8
114	0.000	0.000	0.001	0.000	-0.006	-0.009	9.2E-6	-6.6E-7	0.0E+0	0.0E+0	1.4E-8	-1.5E-7
115	0.000	0.000	0.001	0.000	-0.006	-0.009	8.0E-6	8.2E-7	0.0E+0	0.0E+0	1.7E-7	-2.6E-7
116	0.000	0.000	0.001	0.000	-0.006	-0.009	8.9E-6	-8.1E-7	0.0E+0	0.0E+0	-8.0E-8	-4.0E-7
117	0.000	0.000	0.001	0.000	-0.006	-0.009	7.6E-6	5.7E-7	0.0E+0	0.0E+0	2.3E-7	-4.7E-7
118	0.000	0.000	0.001	0.000	-0.006	-0.009	8.3E-6	-1.2E-6	0.0E+0	0.0E+0	-3.4E-7	-9.4E-7
119	0.000	0.000	0.001	0.000	-0.006	-0.009	6.9E-6	-9.0E-9	0.0E+0	0.0E+0	1.2E-7	-9.3E-7
120	0.000	0.000	0.001	0.000	-0.006	-0.009	7.2E-6	-1.8E-6	0.0E+0	0.0E+0	-8.4E-7	-1.9E-6
121	0.000	0.000	0.001	0.000	-0.006	-0.009	5.6E-6	-1.1E-6	0.0E+0	0.0E+0	-1.7E-7	-1.5E-6
122	0.000	0.000	0.001	0.000	-0.006	-0.009	5.6E-6	-2.6E-6	0.0E+0	0.0E+0	-1.6E-6	-3.4E-6
123	0.000	0.000	0.001	0.000	-0.006	-0.009	4.3E-6	-2.9E-6	0.0E+0	0.0E+0	-1.9E-6	-4.2E-6
124	0.000	0.000	0.001	0.000	-0.006	-0.009	3.9E-6	-2.7E-6	0.0E+0	0.0E+0	-9.2E-7	-3.1E-6
125	0.000	0.000	0.000	-0.001	-0.006	-0.009	0.0E+0	0.0E+0	1.2E-6	5.3E-7	1.6E-6	7.1E-7
126	0.000	0.000	0.001	-0.001	-0.006	-0.009	0.0E+0	0.0E+0	1.0E-6	4.3E-7	2.9E-7	-1.2E-8
127	0.000	0.000	0.001	-0.001	-0.006	-0.009	0.0E+0	0.0E+0	1.0E-6	4.3E-7	1.2E-8	-2.9E-7
128	0.000	0.000	0.001	0.000	-0.006	-0.009	0.0E+0	0.0E+0	1.2E-6	5.3E-7	-7.1E-7	-1.6E-6
129	0.000	0.000	0.000	0.000	-0.006	-0.009	2.3E-7	-3.7E-6	-2.0E-6	-3.9E-6	0.0E+0	0.0E+0
130	0.000	0.000	0.000	0.000	-0.006	-0.009	3.7E-6	-2.3E-7	-2.0E-6	-3.9E-6	0.0E+0	0.0E+0
131	0.000	0.000	0.000	0.000	-0.006	-0.009	-9.1E-7	-4.0E-6	-5.5E-7	-1.2E-6	0.0E+0	0.0E+0
132	0.000	0.000	0.000	0.000	-0.006	-0.009	4.0E-6	9.1E-7	-5.5E-7	-1.2E-6	0.0E+0	0.0E+0
133	0.000	0.000	0.000	0.000	-0.006	-0.008	-1.3E-6	-4.0E-6	-7.9E-9	-2.9E-7	0.0E+0	0.0E+0
134	0.000	0.000	0.000	0.000	-0.006	-0.008	4.0E-6	1.3E-6	-7.9E-9	-2.9E-7	0.0E+0	0.0E+0
135	0.000	0.000	0.000	0.000	-0.006	-0.008	-1.4E-6	-3.9E-6	5.3E-8	-1.4E-7	0.0E+0	0.0E+0

Relazione di calcolo -

136	0.000	0.000	0.000	0.000	-0.006	-0.008	3.9E-6	1.4E-6	5.3E-8	-1.4E-7	0.0E+0	0.0E+0
137	0.000	0.000	0.000	0.000	-0.006	-0.008	-1.5E-6	-3.8E-6	3.2E-8	-8.9E-8	0.0E+0	0.0E+0
138	0.000	0.000	0.000	0.000	-0.006	-0.008	3.8E-6	1.5E-6	3.2E-8	-8.9E-8	0.0E+0	0.0E+0
139	0.000	0.000	0.000	0.000	-0.006	-0.008	-1.6E-6	-3.8E-6	2.1E-8	-4.2E-8	0.0E+0	0.0E+0
140	0.000	0.000	0.000	0.000	-0.006	-0.008	3.8E-6	1.6E-6	2.1E-8	-4.2E-8	0.0E+0	0.0E+0
141	0.000	0.000	0.000	0.000	-0.006	-0.008	-1.6E-6	-3.8E-6	4.2E-8	-2.1E-8	0.0E+0	0.0E+0
142	0.000	0.000	0.000	0.000	-0.006	-0.008	3.8E-6	1.6E-6	4.2E-8	-2.1E-8	0.0E+0	0.0E+0
143	0.000	0.000	0.000	0.000	-0.006	-0.008	-1.5E-6	-3.8E-6	8.9E-8	-3.2E-8	0.0E+0	0.0E+0
144	0.000	0.000	0.000	0.000	-0.006	-0.008	3.8E-6	1.5E-6	8.9E-8	-3.2E-8	0.0E+0	0.0E+0
145	0.000	0.000	0.000	0.000	-0.006	-0.008	-1.4E-6	-3.9E-6	1.4E-7	-5.3E-8	0.0E+0	0.0E+0
146	0.000	0.000	0.000	0.000	-0.006	-0.008	3.9E-6	1.4E-6	1.4E-7	-5.3E-8	0.0E+0	0.0E+0
147	0.000	0.000	0.000	0.000	-0.006	-0.008	-1.3E-6	-4.0E-6	2.9E-7	7.9E-9	0.0E+0	0.0E+0
148	0.000	0.000	0.000	0.000	-0.006	-0.008	4.0E-6	1.3E-6	2.9E-7	7.9E-9	0.0E+0	0.0E+0
149	0.000	0.000	0.000	0.000	-0.006	-0.009	2.3E-7	-3.7E-6	3.9E-6	2.0E-6	0.0E+0	0.0E+0
150	0.000	0.000	0.000	0.000	-0.006	-0.009	-9.1E-7	-4.0E-6	1.2E-6	5.5E-7	0.0E+0	0.0E+0
151	0.000	0.000	0.000	0.000	-0.006	-0.009	4.0E-6	9.1E-7	1.2E-6	5.5E-7	0.0E+0	0.0E+0
152	0.000	0.000	0.000	0.000	-0.006	-0.009	3.7E-6	-2.3E-7	3.9E-6	2.0E-6	0.0E+0	0.0E+0

4.1.2 Involuppi Pareti

- Parete : numerazione interna della parete intesa come insieme di elementi bidimensionali;
- Sollecitazioni : N1-1 : valore dello Sforzo Normale sulla faccia di normale parallela all'asse 1 in direzione 1 nel punto considerato;
- : N2-2 : valore dello Sforzo Normale sulla faccia di normale parallela all'asse 2 in direzione 2 nel punto considerato;
- : N1-2 : valore dello Sforzo Normale sulla faccia di normale parallela all'asse 1 in direzione 2 nel punto considerato;
- : M1-1 : valore dello Momento Flettente sulla faccia di normale parallela all'asse 1 nel punto considerato;
- : M2-2 : valore dello Momento Flettente sulla faccia di normale parallela all'asse 2 nel punto considerato;
- : M1-2 : valore dello Momento Torcente sulle faccie nel punto considerato;
- : T1-3 : valore del Taglio sulla faccia di normale parallela all'asse 1 in direzione 3 nel punto considerato;
- : T2-3 : valore del Taglio sulla faccia di normale parallela all'asse 2 in direzione 3 nel punto considerato;

4.1.2.1 Involuppi SLU.

Tabella 2.I

MASSIMI										
Parete	Impalcato	Fili	N1-1 [daN/cm]	N2-2 [daN/cm]	N1-2 [daN/cm]	M1-1 [daNcm/cm]	M2-2 [daNcm/cm]	M1-2 [daNcm/cm]	T1-3 [daN/cm]	T2-3 [daN/cm]
1	Piano 1	1-2	0.76	0.07	0.81	2.51	15.84	3.09	0.40	0.32
2	Piano 1	4-1	1.55	0.10	0.84	3.64	10.20	6.12	0.38	0.27
3	Piano 1	2-3	1.55	0.10	0.84	3.64	10.20	6.12	0.38	0.27
4	Piano 1	3-4	0.76	0.07	0.81	2.51	15.84	3.09	0.40	0.32

Tabella 2.II

MASSIMI										
Parete	Impalcato	Fili	N1-1 [daN/cm]	N2-2 [daN/cm]	N1-2 [daN/cm]	M1-1 [daNcm/cm]	M2-2 [daNcm/cm]	M1-2 [daNcm/cm]	T1-3 [daN/cm]	T2-3 [daN/cm]
1	Piano 1	1-2	-0.73	-3.52	-0.81	-4.72	-1.72	-3.09	-0.40	-0.13
2	Piano 1	4-1	-0.83	-3.19	-0.84	-5.27	-1.20	-6.12	-0.38	-0.03
3	Piano 1	2-3	-0.83	-3.19	-0.84	-5.27	-1.20	-6.12	-0.38	-0.03
4	Piano 1	3-4	-0.73	-3.52	-0.81	-4.72	-1.72	-3.09	-0.40	-0.13

4.1.2.2 Involuppi SLD.

Tabella 3.I

MASSIMI										
Parete	Impalcato	Fili	N1-1 [daN/cm]	N2-2 [daN/cm]	N1-2 [daN/cm]	M1-1 [daNcm/cm]	M2-2 [daNcm/cm]	M1-2 [daNcm/cm]	T1-3 [daN/cm]	T2-3 [daN/cm]
1	Piano 1	1-2	0.55	0.03	0.63	1.83	11.54	2.25	0.29	0.23
2	Piano 1	4-1	1.13	0.04	0.61	2.66	7.43	4.46	0.28	0.20
3	Piano 1	2-3	1.13	0.04	0.61	2.66	7.43	4.46	0.28	0.20
4	Piano 1	3-4	0.55	0.03	0.63	1.83	11.54	2.25	0.29	0.23

Tabella 3.II

MASSIMI										
Parete	Impalcato	Fili	N1-1 [daN/cm]	N2-2 [daN/cm]	N1-2 [daN/cm]	M1-1 [daNcm/cm]	M2-2 [daNcm/cm]	M1-2 [daNcm/cm]	T1-3 [daN/cm]	T2-3 [daN/cm]
1	Piano 1	1-2	-0.53	-2.55	-0.63	-3.44	-1.25	-2.25	-0.29	-0.09
2	Piano 1	4-1	-0.63	-2.31	-0.61	-3.84	-0.67	-4.46	-0.28	-0.02
3	Piano 1	2-3	-0.63	-2.31	-0.61	-3.84	-0.67	-4.46	-0.28	-0.02
4	Piano 1	3-4	-0.53	-2.55	-0.63	-3.44	-1.25	-2.25	-0.29	-0.09

4.1.2.3 Inviluppi SLE

Tabella 4.I

MASSIMI - Combinazione Caratteristica										
Parete	Impalcato	Fili	N1-1 [daN/cm]	N2-2 [daN/cm]	N1-2 [daN/cm]	M1-1 [daNcm/cm]	M2-2 [daNcm/cm]	M1-2 [daNcm/cm]	T1-3 [daN/cm]	T2-3 [daN/cm]
1	Piano 1	1-2	0.55	-0.02	0.59	1.83	11.54	2.25	0.29	0.23
2	Piano 1	4-1	1.13	-0.02	0.61	2.66	7.43	4.46	0.28	0.20
3	Piano 1	2-3	1.13	-0.02	0.61	2.66	7.43	4.46	0.28	0.20
4	Piano 1	3-4	0.55	-0.02	0.59	1.83	11.54	2.25	0.29	0.23

Tabella 4.II

MASSIMI - Combinazione Frequente										
Parete	Impalcato	Fili	N1-1 [daN/cm]	N2-2 [daN/cm]	N1-2 [daN/cm]	M1-1 [daNcm/cm]	M2-2 [daNcm/cm]	M1-2 [daNcm/cm]	T1-3 [daN/cm]	T2-3 [daN/cm]
1	Piano 1	1-2	0.50	0.00	0.53	1.64	10.36	2.02	0.26	0.21
2	Piano 1	4-1	1.02	0.00	0.55	2.38	6.66	4.00	0.25	0.18
3	Piano 1	2-3	1.02	0.00	0.55	2.38	6.66	4.00	0.25	0.18
4	Piano 1	3-4	0.50	0.00	0.53	1.64	10.36	2.02	0.26	0.21

Tabella 4.III

MASSIMI - Combinazione Quasi Permanente										
Parete	Impalcato	Fili	N1-1 [daN/cm]	N2-2 [daN/cm]	N1-2 [daN/cm]	M1-1 [daNcm/cm]	M2-2 [daNcm/cm]	M1-2 [daNcm/cm]	T1-3 [daN/cm]	T2-3 [daN/cm]
1	Piano 1	1-2	0.47	0.00	0.51	1.57	9.88	1.93	0.25	0.20
2	Piano 1	4-1	0.97	0.00	0.53	2.27	6.36	3.82	0.24	0.17
3	Piano 1	2-3	0.97	0.00	0.53	2.27	6.36	3.82	0.24	0.17
4	Piano 1	3-4	0.47	0.00	0.51	1.57	9.88	1.93	0.25	0.20

Tabella 4.IV

MINIMI - Combinazione Caratteristica										
Parete	Impalcato	Fili	N1-1 [daN/cm]	N2-2 [daN/cm]	N1-2 [daN/cm]	M1-1 [daNcm/cm]	M2-2 [daNcm/cm]	M1-2 [daNcm/cm]	T1-3 [daN/cm]	T2-3 [daN/cm]
1	Piano 1	1-2	-0.53	-2.55	-0.59	-3.44	-1.25	-2.25	-0.29	-0.09
2	Piano 1	4-1	-0.57	-2.31	-0.61	-3.84	-0.67	-4.46	-0.28	-0.02
3	Piano 1	2-3	-0.57	-2.31	-0.61	-3.84	-0.67	-4.46	-0.28	-0.02
4	Piano 1	3-4	-0.53	-2.55	-0.59	-3.44	-1.25	-2.25	-0.29	-0.09

Tabella 4.V

MINIMI - Combinazione Frequente										
Parete	Impalcato	Fili	N1-1 [daN/cm]	N2-2 [daN/cm]	N1-2 [daN/cm]	M1-1 [daNcm/cm]	M2-2 [daNcm/cm]	M1-2 [daNcm/cm]	T1-3 [daN/cm]	T2-3 [daN/cm]
1	Piano 1	1-2	-0.47	-2.27	-0.53	-3.09	-1.12	-2.02	-0.26	-0.08
2	Piano 1	4-1	-0.51	-2.05	-0.55	-3.45	-0.60	-4.00	-0.25	-0.02
3	Piano 1	2-3	-0.51	-2.05	-0.55	-3.45	-0.60	-4.00	-0.25	-0.02
4	Piano 1	3-4	-0.47	-2.27	-0.53	-3.09	-1.12	-2.02	-0.26	-0.08

Tabella 4.VI

MINIMI - Combinazione Quasi Permanente										
Parete	Impalcato	Fili	N1-1 [daN/cm]	N2-2 [daN/cm]	N1-2 [daN/cm]	M1-1 [daNcm/cm]	M2-2 [daNcm/cm]	M1-2 [daNcm/cm]	T1-3 [daN/cm]	T2-3 [daN/cm]
1	Piano 1	1-2	-0.45	-2.15	-0.51	-2.95	-1.07	-1.93	-0.25	-0.08
2	Piano 1	4-1	-0.48	-1.95	-0.53	-3.29	-0.57	-3.82	-0.24	-0.02
3	Piano 1	2-3	-0.48	-1.95	-0.53	-3.29	-0.57	-3.82	-0.24	-0.02
4	Piano 1	3-4	-0.45	-2.15	-0.51	-2.95	-1.07	-1.93	-0.25	-0.08

4.1.3 Involuppi Piastre

- Piastra : numerazione interna della Piastra intesa come insieme di elementi bidimensionali;
 Sollecitazioni : N1-1 : valore dello Sforzo Normale sulla faccia di normale parallela all'asse 1 in direzione 1 nel punto considerato;
 : N2-2 : valore dello Sforzo Normale sulla faccia di normale parallela all'asse 2 in direzione 2 nel punto considerato;
 : N1-2 : valore dello Sforzo Normale sulla faccia di normale parallela all'asse 1 in direzione 2 nel punto considerato;
 : M1-1 : valore dello Momento Flettente sulla faccia di normale parallela all'asse 1 nel punto considerato;
 : M2-2 : valore dello Momento Flettente sulla faccia di normale parallela all'asse 2 nel punto considerato;
 : M1-2 : valore dello Momento Torcente sulle faccie nel punto considerato;
 : T1-3 : valore del Taglio sulla faccia di normale parallela all'asse 1 in direzione 3 nel punto considerato;
 : T2-3 : valore del Taglio sulla faccia di normale parallela all'asse 2 in direzione 3 nel punto considerato;

4.1.3.1 Involuppi SLV.

Tabella 5.I

MASSIMI										
Piastra	Impalcato	Fili	N1-1 [daN/cm]	N2-2 [daN/cm]	N1-2 [daN/cm]	M1-1 [daNcm/cm]	M2-2 [daNcm/cm]	M1-2 [daNcm/cm]	T1-3 [daN/cm]	T2-3 [daN/cm]
1	Fondazione	2, 3, 4, 1	0.43	0.04	0.26	-3.10	-3.57	50.76	1.95	1.87

Tabella 5.II

MINIMI										
Piastra	Impalcato	Fili	N1-1 [daN/cm]	N2-2 [daN/cm]	N1-2 [daN/cm]	M1-1 [daNcm/cm]	M2-2 [daNcm/cm]	M1-2 [daNcm/cm]	T1-3 [daN/cm]	T2-3 [daN/cm]
1	Fondazione	2, 3, 4, 1	-1.10	-0.47	-0.26	-45.94	-103.49	-50.76	-1.95	-1.87

4.1.3.2 Involuppi SLD.

Tabella 6.I

MASSIMI										
Piastra	Impalcato	Fili	N1-1 [daN/cm]	N2-2 [daN/cm]	N1-2 [daN/cm]	M1-1 [daNcm/cm]	M2-2 [daNcm/cm]	M1-2 [daNcm/cm]	T1-3 [daN/cm]	T2-3 [daN/cm]
1	Fondazione	2, 3, 4, 1	0.05	0.02	0.19	-3.43	-4.27	37.00	1.42	1.36

Tabella 6.II

MINIMI										
Piastra	Impalcato	Fili	N1-1 [daN/cm]	N2-2 [daN/cm]	N1-2 [daN/cm]	M1-1 [daNcm/cm]	M2-2 [daNcm/cm]	M1-2 [daNcm/cm]	T1-3 [daN/cm]	T2-3 [daN/cm]
1	Fondazione	2, 3, 4, 1	-0.69	-0.34	-0.19	-33.47	-75.43	-37.00	-1.42	-1.36

4.1.3.3 Involuppi SLE

Tabella 7.I

MASSIMI - Combinazione Caratteristica										
Piastra	Impalcato	Fili	N1-1 [daN/cm]	N2-2 [daN/cm]	N1-2 [daN/cm]	M1-1 [daNcm/cm]	M2-2 [daNcm/cm]	M1-2 [daNcm/cm]	T1-3 [daN/cm]	T2-3 [daN/cm]
1	Fondazione	2, 3, 4, 1	-0.26	0.01	0.16	-4.07	-5.29	37.00	1.42	1.36

Tabella 7.II

MASSIMI - Combinazione Frequente										
Piastra	Impalcato	Fili	N1-1 [daN/cm]	N2-2 [daN/cm]	N1-2 [daN/cm]	M1-1 [daNcm/cm]	M2-2 [daNcm/cm]	M1-2 [daNcm/cm]	T1-3 [daN/cm]	T2-3 [daN/cm]
1	Fondazione	2, 3, 4, 1	-0.26	0.01	0.16	-4.07	-5.29	37.00	1.42	1.36

4.4 Verifica Aste.

4.5 Verifica Elementi Bidimensionali.

4.5.1 Verifica Pareti.

4.5.1.1 Verifica Pareti Non Dissipative.

Qui di seguito vengono tabellati i risultati delle verifiche delle pareti della struttura:

Verifica di Resistenza a Flessione Composta SLV.

- Parete : numero della parete;
 Imp. : numero dell'impalcato al quale appartiene la parete;
 Fili : numero dei fili fissi ai quali appartiene la parete;
 Dir : X : direzione del piano medio
 Y : direzione ortogonale al piano medio
 ϵ_{c2} : deformazione di contrazione del calcestruzzo al raggiungimento della massima tensione;
 ϵ_{cu2} : deformazione ultima di contrazione del calcestruzzo;
 Cop : distanza tra la superficie esterna dell'armatura più prossima alla superficie del calcestruzzo e la superficie stessa del calcestruzzo;
 ϕ : diametro delle barre di armatura verticale;
 D_{barre} : interasse tra le barre di armatura verticale;
 N_{sd} : sforzo normale sollecitante di calcolo relativo alla combinazione di carico più gravosa;
 M_{sd} : momento sollecitante di calcolo relativo alla combinazione di carico più gravosa;
 ϵ_{cls} : deformazione massima del calcestruzzo compresso
 ϵ_{acc} : deformazione massima dell'armatura tesa
 N_{Rd} : Sforzo Normale resistente di calcolo;
 M_{Rd} : momento resistente di calcolo;
 S : Coefficiente di sicurezza;
 Esito : Esito della verifica : V = VERIFICATA;
 : NV = NON VERIFICATA;

Tabella 9.I

Parete	Imp.	Fili	Dir.	Armatura Verticale (Z.C.)			Armatura Verticale (Z.N.C.)				Caratteristiche di sollecitazione				S	Esito		
				ϵ_{c2} [%]	ϵ_{cu2} [%]	Cop [cm]	ϕ [mm]	D_{barre} [cm]	ϕ [mm]	D_{barre} [cm]	N_{sd} [daN]	M_{sd} [daNm]	ϵ_{cls} [%]	ϵ_{acc} [%]			N_{rd} [daN]	M_{rd} [daNm]
1	Piano 1	1, 2	X	2.00	3.50	2.0	-	-	10	25.0	-766	0	0.00	0.00	-929906	0	1214.09	V
			Y									-466	64	1.63	10.00	-472	6775	105.31
2	Piano 1	4, 1	X	2.00	3.50	2.0	-	-	10	25.0	-3493	0	0.00	0.00	-4009103	0	1147.66	V
			Y									-2068	98	1.58	10.00	-2041	27784	283.18
3	Piano 1	2, 3	X	2.00	3.50	2.0	-	-	10	25.0	-3493	0	0.00	0.00	-4009103	0	1147.66	V
			Y									-2068	98	1.58	10.00	-2041	27784	283.18
4	Piano 1	3, 4	X	2.00	3.50	2.0	-	-	10	25.0	-766	0	0.00	0.00	-929906	0	1214.09	V
			Y									-466	64	1.63	10.00	-472	6775	105.31

4.5.2 Verifica Piastre.

4.5.2.1 Verifica Piastre in C.A..

4.5.2.1.1 Dati Generali

- Piastra : numero della Piastra;
 Imp. : impalcato al quale appartiene la piastra;
 Fili : fili fissi ai quali appartiene la piastra;

Relazione di calcolo -

Sp. : spessore della Piastra;
 Largh. Striscia : Larghezza della striscia unitaria di Piastra rispetto alla quale sono state effettuate le verifiche;
 Lunghezza Concio : Lunghezza del concio di Piastra rispetto alla quale sono state effettuate le verifiche a taglio;

Tabella 10.I

Piastra	Imp.	Fili	Sp. [cm]	Largh. striscia [cm]	Lunghezza concio [cm]
1	Fondazione	2, 3, 4, 1	40	100	100

Disposizione Armature

Piastra : numero della Piastra;
 Imp. : impalcato al quale appartiene la piastra;
 Fili : fili fissi ai quali appartiene la piastra;
 Dir. : Direzione rispetto alla quale disporre le armature;
 Diam. : diametro delle armature da disporre nella direzione indicata;
 Inter. intrad. : interasse rispetto al quale posizionare le armature all'intradosso nella direzione indicata;
 Inter. estrad. : interasse rispetto al quale posizionare le armature all'estradosso nella direzione indicata;

Tabella 10.II

Piastra	Imp.	Fili	Dir.	Diam. [mm]	Inter. intrad. [cm]	Inter. estrad. [cm]
1	Fondazione	2, 3, 4, 1	X	12	20.0	20.0
			Y	12	20.0	20.0

4.5.2.1.2 Verifiche SLV - Flessione.

Piastra : numero della Piastra;
 Imp. : impalcato al quale appartiene la piastra;
 Fili : fili fissi ai quali appartiene la piastra;
 RCrit : regione critica;
 Dir. : direzione attorno alla quale sono valutate le caratteristiche flettenti;
 ϵ_{c2} : deformazione di contrazione del calcestruzzo al raggiungimento della massima tensione;
 ϵ_{cu2} : deformazione ultima di contrazione del calcestruzzo;
 Msd : momento sollecitante;
 ϵ_{Cl} : deformazione massima del calcestruzzo compresso
 ϵ_{acc} : deformazione massima dell'armatura tesa
 MRd : momento resistente;
 S : Coefficiente di sicurezza;
 Esito : Esito della verifica : V = VERIFICATA;
 : NV = NON VERIFICATA;

Tabella 11.I

Piastra	Imp.	Fili	RCrit	Dir.	ϵ_{c2} [%]	ϵ_{cu2} [%]	Cop. sup. [cm]	Arm. sup.	Cop. inf. [cm]	Arm. inf.	Msd [daNm]	ϵ_{cls} [%]	ϵ_{acc} [%]	Mrd [daNm]	S	Esito
1	Fondazione	2, 3, 4, 1		X	2.00	3.50	5.2	Ø 12 / 20.0	4.0	Ø 12 / 20.0	-44	1.25	10.00	-7590	173.63	V
				Y	2.00	3.50	4.0	Ø 12 / 20.0	5.2	Ø 12 / 20.0	-103	1.25	10.00	-7590	73.94	V

4.5.2.1.3 Verifiche SLV - Taglio

Piastra : numero della Piastra;
 Imp. : impalcato al quale appartiene la piastra;
 Fili : fili fissi ai quali appartiene la piastra;
 RCrit : regione critica;
 $\cot(\theta)$: cotangente dell'angolo θ ;
 Diam. : diametro del braccio della staffa;
 AStaffe : area di armatura a taglio da disporre nell'unità di superficie;
 DLong : distanza longitudinale fra i bracci delle staffe;

Relazione di calcolo -

DTrasv : distanza trasversale fra i bracci delle staffe;
 VSd : Taglio sollecitante di calcolo;
 VRd : Taglio resistente di calcolo;
 Esito : Esito della verifica : V = VERIFICATA;
 : NV = NON VERIFICATA;

Tabella 12.I

Piastra	Imp.	Fili	RCrit	cot(θ)	Armature				Tagli		Esito
					Diam. [mm]	Dlong [cm]	Dtrav [cm]	Area [cm ² /m ²]	Vsd [daN]	VRd [daN]	
1	Fondazione	2, 3, 4, 1		1.0	8	-	-	-	150	11068	V

4.5.2.1.4 Verifiche SLE - Fessurazione

Piastra : numero della Piastra;
 Imp. : impalcato al quale appartiene la piastra;
 Fili : fili fissi ai quali appartiene la piastra;
 Comb. : combinazione di carico (Caratteristica, Frequente, Quasi Permanente);
 RCrit : regione critica;
 Dir. : direzione dell'asse attorno al quale viene valutata la caratteristica flettente;
 Msd : azione sollecitante flettente massima;
 MCr : momento di prima fessurazione;
 Fess. Calc. : fessura di calcolo;
 Fess. Lim. : fessura limite;
 S : Coefficiente di sicurezza;
 Esito : Esito della verifica : V = VERIFICATA;
 : NV = NON VERIFICATA;

Tabella 13.I

Piastra	Imp.	Fili	Comb.	RCrit	Dir.	Msd [daNm]	MCr [daNm]	Fess. Calc. [mm]	Fess. Lim. [mm]	S	Esito
1	Fondazione	2, 3, 4, 1	Freq.		X	-28.53	5497.61	0.00	0.40	-	V
					Y	-67.10	5497.61	0.00	0.40	-	V
			Q. Perm.		X	-27.21	5497.61	0.00	0.30	-	V
					Y	-64.01	5497.61	0.00	0.30	-	V

4.5.2.1.5 Verifiche SLE - Tensioni di Esercizio

Piastra : numero della Piastra;
 Imp. : impalcato al quale appartiene la piastra;
 Fili : fili fissi ai quali appartiene la piastra;
 Comb. : combinazione di carico (Caratteristica, Frequente, Quasi Permanente);
 RCrit : regione critica;
 Dir. : direzione dell'asse attorno al quale viene valutata la caratteristica flettente;
 Msd : valore massimo della caratteristica flettente di calcolo;
 σ_c : tensioni d'esercizio del calcestruzzo (compressione positiva);
 $\sigma_{c,lim}$: Tensioni limite del calcestruzzo;
 S_{cls} : coefficiente di sicurezza per la verifica del calcestruzzo;
 σ_s : tensioni d'esercizio dell'acciaio (trazione positiva);
 $\sigma_{s,lim}$: Tensioni limite dell'acciaio;
 S_{acc} : coefficiente di sicurezza per la verifica dell'acciaio;
 Esito : Esito della verifica : V = VERIFICATA;
 : NV = NON VERIFICATA;

Tabella 14.I

Piastra	Imp.	Fili	Comb.	RCrit	Dir.	Msd [daNm]	σ_c [daN/cm ²]	$\sigma_{c,lim}$ [daN/cm ²]	S_{cls}	σ_s [daN/cm ²]	$\sigma_{s,lim}$ [daN/cm ²]	S_{acc}	Esito
---------	------	------	-------	-------	------	------------	-----------------------------------	---	-----------	-----------------------------------	---	-----------	-------

Relazione di calcolo -

1	Fon dazi one	2, 3, 4, 1	Caratter istica		X	-31.84	0.28	150.00	100.00	-17.38	3600.00	100.00	V
					Y	-74.81	0.65	150.00	100.00	-40.83	3600.00	88.18	V
			Q. Perm.		X	-27.21	0.24	112.50	100.00	-14.85	3600.00	100.00	V
					Y	-64.01	0.56	112.50	100.00	-34.93	3600.00	100.00	V

1	Introduzione	1
1.1	Premessa	1
1.1.1	Cenni sulla casa produttrice del software	1
1.1.2	Descrizione dell'Opera da calcolare	1
1.2	Riferimenti Legislativi.	1
1.3	Convenzioni,Unità di misura e simboli adottati.	2
2	Descrizione del Modello.....	3
2.1	Modello assunto per il calcolo.	3
2.2	Tipo di calcolo.....	5
2.3	Condizioni di carico valutate	6
2.4	Procedura di Verifica degli elementi.....	12
2.4.1	Elementi in C.A.	12
3	Dati	18
3.1	Dati Generali	18
3.2	Elenco e Caratteristiche dei materiali.	21
3.3	Elenco e caratteristiche delle colonne stratigrafiche.	21
3.4	Elenco dei carichi.	22
3.4.1	Pesi propri unitari - G1.	22
3.4.2	Carichi Permanenti unitari - G2.....	22
3.4.3	Carichi Variabili unitari - Q.	22
3.4.4	Pesi Impalcati.	22
3.5	Elenco e Caratteristiche delle sezioni trasversali.	23
3.6	Geometria Struttura.	23
3.6.1	Fili Fissi.....	23
3.6.2	Caratteristiche dei nodi.	23
3.6.3	Caratteristiche delle aste.	27
3.6.4	Caratteristiche delle Piastre.....	27
3.6.5	Carichi distribuiti sugli elementi.	27
4	Risultati di Calcolo.....	29
4.1	Inviluppi.....	29
4.1.1	Inviluppi dei Cinematismi nodali.	29
4.1.1.1	Inviluppi SLU.	30
4.1.2	Inviluppi Pareti	32
4.1.2.1	Inviluppi SLU.....	32
4.1.2.2	Inviluppi SLD.....	32
4.1.2.3	Inviluppi SLE	33
4.1.3	Inviluppi Piastre	34
4.1.3.1	Inviluppi SLV.....	34
4.1.3.2	Inviluppi SLD.....	34
4.1.3.3	Inviluppi SLE	34
4.2	Tensioni sul Terreno.	35
4.3	Verifiche Nodi.....	35
4.3.1	Verifiche SLV - Verifica Nodo.....	35
4.4	Verifica Aste.	36
4.5	Verifica Elementi Bidimensionali.....	36
4.5.1	Verifica Pareti.	36
4.5.1.1	Verifica Pareti Non Dissipative.....	36
4.5.2	Verifica Piastre.....	36
4.5.2.1	Verifica Piastre in C.A.....	36

4.5.2.1.1 Dati Generali	36
4.5.2.1.2 Verifiche SLV - Flessione.	37
4.5.2.1.3 Verifiche SLV - Taglio	37
4.5.2.1.4 Verifiche SLE - Fessurazione	38
4.5.2.1.5 Verifiche SLE - Tensioni di Esercizio	38

Comune : MESAGNE

PROVINCIA : BRINDISI

Relazione di calcolo

Progetto di nuova struttura ai sensi del D.M. 17/01/2018 "Norme Tecniche per le Costruzioni"

Archivio: Fondazioni cancello - Data: 25/11/2022

Oggetto:

Committente:	Progettista:	Progettista Strutturale:	Direttore dei Lavori:
	Ingegnere Debora Dellegrottaglie		

1 Introduzione

1.1 Premessa

1.1.1 Cenni sulla casa produttrice del software

La relazione seguente riporta i dati relativi ai criteri di progettazione, alla geometria, alla meccanica della struttura descritta al relativo paragrafo, nonché i relativi risultati dei calcoli strutturali così come ricavati dal calcolatore elettronico tramite l'utilizzo del Software "FaTA-e" prodotto e distribuito da Stacec srl con sede in Bovalino (RC), e concesso in licenza al responsabile dei calcoli stessi.

FaTA-e è un programma sviluppato specificatamente per la progettazione e la verifica di edifici tridimensionali multipiano ed industriali realizzati con elementi strutturali in C.A., in Acciaio, in legno (massiccio e/o lamellare) o in muratura.

FaTA-e articola le operazioni di progetto secondo tre fasi distinte:

- 1) **preprocessore**: fase di Input dove viene definita e modellata interamente la struttura;
- 2) **solutore**: fase di elaborazione della struttura tramite un solutore agli elementi finiti;
- 3) **post-processore**: fase di verifica degli elementi, creazione degli elaborati grafici e della relazione di calcolo.

1.1.2 Descrizione dell'Opera da calcolare

Comune : MESAGNE

PROVINCIA : BRINDISI

Oggetto :

Committente :

Indirizzo :

Città :

PROVINCIA :

Telefono :

Progettista : Ingegnere Debora Dellegrottaglie

Indirizzo : Via Borgo Antico 5

Città : MESAGNE

PROVINCIA : BRINDISI

Telefono :

Progettista Strutturale :

Indirizzo :

Città :

PROVINCIA :

Telefono :

Direttore dei Lavori :

Indirizzo :

Città :

PROVINCIA :

Telefono :

Nome File : Fondazioni cancello

1.2 Riferimenti Legislativi.

Tutte le operazioni illustrate nel proseguo, relative all'analisi della struttura ed alle verifiche sugli elementi sono state effettuate in piena conformità alle seguenti norme:

Norme Tecniche C.N.R. 10011:

"Costruzioni di acciaio - Istruzione per il calcolo, l'esecuzione, il collaudo e la manutenzione."

Norme C.N.R. 10024:

"Analisi delle strutture mediante calcolatore elettronico: impostazione e redazione delle relazioni di calcolo."

Ordinanza del Presidente del Consiglio 3274 - 08/05/2003:

"Primi elementi in materia di criteri generali per la classificazione sismica del territorio nazionale e di normative tecniche per le costruzioni in zona sismica."

Ordinanza del Presidente del Consiglio 3431 - 03/05/2005:

"Ulteriori modifiche ed integrazioni all'Ordinanza del Presidente del Consiglio 3274 - 08/05/2003."

UNI ENV 1992-1-1: Eurocodice 2:

"Progettazione delle strutture in calcestruzzo - Parte 1-1: Regole generali e regole per gli edifici"

UNI ENV 1993-1-1: Eurocodice 3:

"Progettazione delle strutture di acciaio - Parte 1-1: Regole generali e regole per gli edifici."

UNI ENV 1998-1-1: Eurocodice 8:

"Indicazioni progettuali per la resistenza sismica delle strutture - Parte 1-1: Regole generali."

D.M. 17/01/2018:

"Norme tecniche per le costruzioni."

Circolare CSLP n. 7 del 21/01/2019:

"Istruzioni per l'applicazione dell'aggiornamento delle «Norme tecniche per le costruzioni» di cui al decreto ministeriale 17 gennaio 2018."

1.3 Convenzioni, Unità di misura e simboli adottati.

Nei calcoli sono state utilizzate le seguenti unità:

- distanze	: cm
- forze, tagli, e sforzi normali	: daN
- coppie e momenti flettenti	: daNm
- carichi sulle aste	: daN/m
- carichi su superfici	: daN/m ²
- peso specifico	: daN/m ³
- tensioni e resistenze	: daN/m ²
- temperatura	: °C

I simboli adottati hanno il seguente significato:

q	: fattore di comportamento ;
Rck	: Resistenza caratteristica cubica a compressione del calcestruzzo;
fck	: Resistenza caratteristica cilindrica a compressione del calcestruzzo;
Ec	: Modulo elastico secante del calcestruzzo;
Ect	: Modulo elastico a trazione del calcestruzzo
fcd	: Resistenza di calcolo del calcestruzzo;
fctk,0.05	: Resistenza caratteristica a trazione;
v	: Coefficiente di Poisson;
αt	: Coefficiente di dilatazione termica;
ps	: peso specifico;
fyk	: Resistenza caratteristica di snervamento dell'acciaio;
fik	: Resistenza caratteristica di rottura dell'acciaio;
fd	: resistenza di calcolo dell'acciaio;
A	: Superficie della sezione trasversale;
Jx	: Momento di inerzia rispetto all'asse X;
Jy	: Momento di inerzia rispetto all'asse Y;

J_{xy}	: Momento di inerzia centrifugo rispetto agli assi X ed Y;
J_t	: Fattore torsionale;
N	: sforzo normale;
M_T	: Momento Torcente;
M_{XZ}	: Momento Flettente X-Z;
T_{XZ}	: Taglio X-Z;
M_{XY}	: Momento Flettente X-Y;
T_{XY}	: Taglio X-Y;
f	: Frequenza del modo i-esimo;
T	: Periodo del modo i-esimo;
Γ_x	: Fattore di partecipazione del modo i-esimo in direzione x;
Γ_y	: Fattore di partecipazione del modo i-esimo in direzione y;
Γ_z	: Fattore di partecipazione del modo i-esimo in direzione z;
N_{sd}	: Sforzo Normale sollecitante di calcolo;
M_{sdXZ}	: Momento Flettente X-Z sollecitante di calcolo;
M_{sdXY}	: Momento Flettente X-Y sollecitante di calcolo;
M_{tS}	: Momento Torcente sollecitante di calcolo;
V_{sdXZ}	: Taglio X-Z sollecitante di calcolo;
V_{sdXY}	: Taglio X-Y sollecitante di calcolo;
N_{Rd}	: Sforzo Normale resistente di calcolo;
M_{RdXZ}	: Momento Flettente X-Z resistente di calcolo;
M_{RdXY}	: Momento Flettente X-Y resistente di calcolo;
M_{tR}	: Momento Torcente resistente di calcolo;
V_{RdXZ}	: Taglio X-Z resistente di calcolo;
V_{RdXY}	: Taglio X-Y resistente di calcolo;
σ_c	: Tensioni del calcestruzzo;
σ_s	: Tensioni delle armature;
$\sigma_{c,lim}$: Tensioni limite del calcestruzzo;
$\sigma_{s,lim}$: Tensioni limite dell'acciaio;
f/l	: rapporto freccia/lunghezza;
f_{lim}	: valore limite del rapporto freccia/lunghezza;

2 Descrizione del Modello.

2.1 Modello assunto per il calcolo.

L'analisi numerica della struttura è stata condotta attraverso l'utilizzo del metodo degli elementi finiti ipotizzando un comportamento elastico-lineare.

Il metodo degli elementi finiti consiste nel sostituire il modello continuo della struttura con un modello discreto equivalente e di approssimare la funzione di spostamento con polinomio algebrico, definito in regioni (dette appunto elementi finiti) che sono delle funzioni interpolanti il valore di spostamento definito in punti discreti (detti nodi).

Gli elementi finiti utilizzabili ai fini della corretta modellazione della struttura verranno descritti di seguito.

Il modello di calcolo può essere articolato sulla base dell'ipotesi di impalcato rigido, in funzione della reale presenza di solai continui atti ad irrigidire tutto l'impalcato.

Tale ipotesi viene realizzata attraverso l'introduzione di adeguate relazioni cinematiche tra i gradi di libertà dei nodi costituenti l'impalcato stesso.

Il metodo di calcolo adottato, le combinazioni di carico, e le procedure di verifica saranno descritte di seguito.

Riferimento globale e locale.

La struttura viene definita utilizzando una terna di assi cartesiani formanti un sistema di riferimento levogiro, unico per tutti gli elementi e chiamato "globale". Localmente esiste un ulteriore sistema di riferimento, detto appunto "locale", utile alla definizione delle caratteristiche di rigidezza dei singoli elementi.

I due sistemi di riferimento sono correlati da una matrice, detta di rotazione.

Modellazione geometrica della struttura.

Il modello geometrico (mesh) della struttura è basato sull'utilizzo dei seguenti elementi:

- *Nodi*

Si definiscono nodi, entità geometriche determinate tramite le tre coordinate nel riferimento globale.

I nodi, nello spazio tridimensionale, posseggono tre gradi di libertà traslazionali e tre rotazionali.

Essi sono posizionati in modo da definire gli estremi degli elementi finiti e, di regola, in ogni discontinuità strutturale, di carico, di caratteristiche meccaniche, di campo di spostamento.

- *Vincoli e Molle*

I gradi di libertà possono essere vincolati, bloccando il cinematismo nella direzione voluta o assegnando "molle" applicate ai nodi tramite valori di rigidezza finiti.

Un vincolo assegna a priori un valore di spostamento nullo, e quindi la variabile corrispondente viene eliminata.

- *Vincoli interni*

Tali vincoli servono a definire le modalità di trasmissione degli sforzi dall'elemento finito ai nodi. Ciò viene associato al concetto di trasferimento della rigidezza.

Generalmente l'elemento considerato è rigidamente connesso ai nodi che lo definiscono, in modo da bloccare tutti i gradi di libertà relativi. E' possibile, comunque "rilasciare" le caratteristiche delle sollecitazioni, in modo da svincolare i gradi di libertà corrispondenti. Nel caso particolare, il modello utilizzato consente di svincolare le tre rotazioni intorno agli assi locali dell'asta.

- *Aste*

Si tratta di elementi finiti monodimensionali ad asse rettilineo delimitate da due nodi (i nodi di estremità).

Per questi elementi generalmente la funzione interpolante è quella del modello analitico per cui la mesh non influisce sensibilmente sulla convergenza.

Le aste sono dotate di rigidezza assiale, flessionale, e a taglio, secondo il modello classico della trave inflessa di Eulero-Bernoulli.

Alla singola asta è possibile associare una sezione costante per tutta la sua lunghezza.

- *Asta su suolo elastico*

Si tratta di elementi finiti monodimensionali ad asse rettilineo, di definizione simile alle aste. Sono utili a modellare travi di fondazione, considerate poggianti su suolo alla Winkler, e reagenti sia rispetto alle componenti traslazionali di cinematismo, sia rotazionali.

- *Lastra-Piastra*

Si tratta di elementi finiti bidimensionali, definiti da tre o quattro nodi, posti ai vertici rispettivamente di un triangolo o di un quadrilatero irregolare. La geometria reale dell'elemento viene ricondotta ad un triangolo rettangolo (elemento a tre nodi) o ad un quadrato definito nella trattazione isoparametrica.

L'elemento lastra-piastra non ha rigidezza per la rotazione intorno all'asse perpendicolare al suo piano e viene trattato secondo la teoria di Mindlin-Reissner. Nel modello considerato si tiene conto dell'accoppiamento tra azioni flessionali e membranali.

- *Forze e coppie concentrate*

Per la risoluzione statica della struttura, tutti i carichi applicati agli elementi vengono trasferiti ai nodi. Ciò avviene in automatico per il peso delle aste, delle piastre, delle pareti, dei pannelli di carico presenti sulle aste e per la distribuzione di carico applicate agli elementi bidimensionali.

Il modello di calcolo consente anche l'introduzione di forze e coppie ai nodi.

Le forze sono dirette lungo le tre direzioni del sistema di riferimento globale ed in entrambi i versi per ogni direzione.

Le coppie concentrate sono riferite ai tre assi del riferimento globale, in entrambi i versi di rotazione di ciascun asse.

- *Carichi distribuiti*

Il modello di calcolo consente anche l'introduzione di carichi ripartiti sulle aste e di distribuzione di carico su piastre e pareti.

I carichi ripartiti sulle aste possono essere riferite sia al riferimento globale, sia al riferimento locale, lungo le tre direzioni ed in entrambe i versi. E' possibile anche introdurre carichi distribuiti torcenti agenti intorno all'asse dell'asta ed in entrambe i versi di rotazione.

Tutti i tipi di carico ripartito devono avere forma trapezia.

Sugli elementi bidimensionali, che fanno parte della mesh di piastre e pareti, è possibile assegnare una distribuzione uniforme, avente le caratteristiche di una pressione diretta ortogonalmente all'elemento.

- *Pannelli di carico*

Il pannello di carico è un concetto legato alla reale distribuzione di carichi gravanti sulle aste. Ne fanno parte: solai, balconi, scale.

Da tali pannelli, di forma irregolare come definiti dalla geometria dell'input, si passa alla quantificazione dei carichi trapezoidali ripartiti sulle aste. Per meglio simulare l'effetto dei pannelli, vengono generati in modo automatico anche dei carichi ripartiti torcenti, anch'essi di forma trapezia, relativi ai carichi distribuiti equivalenti al pannello.

- *Sezioni*

Le sezioni assegnabili alle aste sono definite attraverso le caratteristiche geometrico-elastiche, i moduli di resistenza plastici (sezioni in acciaio) ed il materiale.

Materiali.

I materiali, ai fini del calcolo delle sollecitazioni, sono considerati omogenei ed isotropi e sono definiti dalle seguenti caratteristiche: peso per unità di volume, modulo elastico, coefficiente di Poisson, coefficiente di dilatazione, e tutte le caratteristiche meccaniche, riepilogate in seguito, utili alle verifiche strutturali dettate dalla normativa.

Matrici di calcolo della struttura.

Dalla discretizzazione geometrica della struttura vengono definite le matrici utili a studiare il comportamento globale della struttura in esame.

- *Matrice di rigidezza*

Tale matrice viene costruita partendo dalla matrice di rigidezza espressa nel sistema di riferimento locale dell'elemento considerato. Attraverso un'operazione di trasformazione, mediante la matrice di rotazione, viene riferita al sistema di riferimento globale. L'ultima operazione consiste nell'"assemblaggio" delle singole matrici di ogni elemento, in modo da formare un'unica matrice relativa all'intera struttura.

- *Matrice delle masse*

La generazione della matrice globale è del tutto analoga a quella sopra descritta per la matrice di rigidezza. La matrice delle masse è di tipo "consistente" e considera l'effettiva distribuzione delle masse della struttura. Come definito dalla normativa, alle masse relative ai carichi permanenti, viene aggiunta un'aliquota delle masse equivalenti ai carichi d'esercizio.

2.2 Tipo di calcolo.

ANALISI ORIZZONTALE STATICA LINEARE

Il calcolo risolutivo della struttura è stato effettuato utilizzando un sistema di equazioni lineari (di dimensioni pari ai gradi di libertà), secondo la relazione:

$$\underline{u} = [\underline{K}]^{-1} \underline{F}$$

dove: \underline{F} = vettore dei carichi risultanti applicate ai nodi;
 \underline{u} = vettore dei cinematismi nodali;
 $[\underline{K}]$ = matrice di rigidezza globale.

Tale analisi è stata ripetuta per tutte le condizioni presenti sulla struttura, identificati dai vettori dei carichi relativi a:

- carichi permanenti;
- carichi d'esercizio;
- delta termico;
- carichi utente;
- torsioni accidentali;

I valori delle eccentricità accidentali per le torsioni sono i seguenti:

	Torsioni Accidentali	
Imp. Reale	e _x [cm]	e _y [cm]
1	26.1	0.0

Per ogni impalcato reale si riportano i dati relativi alle rigidezze e ai baricentri:

Imp. Reale	Rigidezze			Centro Massa		Centro Rigidezza	
	Rig X [KN/cm]	Rig Y [KN/cm]	Rig. Tors. [KNcm]	X [cm]	Y [cm]	xR [cm]	yR [cm]
1	13	13	775970	277.5	0.0	277.5	0.0

L'analisi sismica (statica equivalente) nella componente orizzontale è stata effettuata considerando un sistema di forze, agenti nella direzione del sisma considerato, applicate ad ogni piano nel centro di massa del piano stesso. Per poter effettuare questo tipo di analisi deve valere la condizione:

$$T_1 \leq 2.5 T_C$$

Dir. X: $T_{1X} = 2 dx^{1/2} = 0.045$ s

Dir. Y: $T_{1Y} = 2 dy^{1/2} = 0.045$ s

dx: spostamento massimo in dir. X dell'impalcato più in alto dell'edificio = 0.0005 m

dy: spostamento massimo in dir. Y dell'impalcato più in alto dell'edificio = 0.0005 m

T_C = periodo di fine risonanza dello spettro.

Nel caso specifico il valore di T_C è pari a: 0.57

Le forze sono computate secondo le seguenti formule:

$$F_{Ih} = F_H (W_I z_I) / (\sum W_I z_I) ;$$

$$F_H = S_d (T_1) W_{tot} \lambda ;$$

$$F_{Iv} = F_V (W_I) / (\sum W_I) ;$$

dove:

z_I : quota dell'impalcato,

$S_d (T_1)$: ordinata spettro di risposta.

$\lambda = 0.85$ (se $N_{piani} \geq 3$ e se $T_1 \leq 2 T_C$) oppure 1.00 (in tutti gli altri casi) ;

$$W_I = (G_K + \sum_i \Psi_{Ei} Q_{ik}) ;$$

dove:

$$\Psi_{Ei} (SLU - SLD) = \Psi_{2i} \varphi ;$$

$$\Psi_{2i} = 0.30 ;$$

φ (vedi paragrafo "Pesi Impalcati");

Si riportano i valori totali delle azioni sismiche orizzontali di piano applicate agli impalcati reali:

Imp. Reale	Fhx [daN]	Fhy [daN]
1	4.17	4.17
Fh Totali	4.17	4.17

2.3 Condizioni di carico valutate

Dati Condizioni.

Nella seguente tabella vengono riportati i dati per la definizione delle condizioni di carico:

Azione	Tipo	Durata
Car. perm. strutt. (Gk1)	C.Perm. (Gk)	Permanente
Car. perm. non strutt. (Gk2)	C.p. non str. (Gk2)	Permanente
Carichi d'esercizio (Qk)	C. Ese. (Qk)	Lunga
Δt	Carico termico	Breve

Torsione Accidentale X	Azione Sismica	Istantanea
Torsione Accidentale Y	Azione Sismica	Istantanea
Sisma X	Azione Sismica	Istantanea
Sisma Y	Azione Sismica	Istantanea
Sisma Z	Azione Sismica	Istantanea
Utente 1	Ignora	Permanente

Coefficienti di combinazione.

Nella seguente tabella vengono riportati i coefficienti di combinazione da normativa, relativi agli stati limite ultimi (SLV) e di danno (SLD):

Impalcato	Destinazione	Altre azioni			Delta termico		
		Ψ_{0i}	Ψ_{1i}	Ψ_{2i}	Ψ_{0i}	Ψ_{1i}	Ψ_{2i}
Fondazione	Categoria G: Rimesse e parcheggi (per autoveicoli di peso > 30kN)	0.7	0.5	0.3	0.6	0.5	0.0
Piano 1	Categoria G: Rimesse e parcheggi (per autoveicoli di peso > 30kN)	0.7	0.5	0.3	0.6	0.5	0.0

Per balconi e scale verranno usati i coefficienti calcolati come i maggiori tra quelli relativi alla categoria di carico di piano ed i seguenti:

Cat.	Destinazione	Altre azioni			Delta termico		
		Ψ_{0i}	Ψ_{1i}	Ψ_{2i}	Ψ_{0i}	Ψ_{1i}	Ψ_{2i}
C2	Balconi, ballatoi e scale	0.7	0.7	0.6	0.6	0.5	0.0

Tutte le combinazioni sono da intendersi come somma dell'effetto considerato. Tali combinazioni vengono considerate sovrapponendo i diagrammi secondo la tecnica dell'involuppo.

Combinazioni per le verifiche allo Stato Limite di Salvaguardia della Vita

Le azioni di calcolo presenti sulla struttura e le relative combinazioni di carico nei riguardi degli stati limite di salvaguardia della vita essere riassunte nelle seguenti tabelle:

Comb.	Elementi della Struttura								
	Condizione								
	C. perm.(Gk1)	C. p. non str.(Gk2)	C. ese.(Qk)	Delta T(DT)	Tors. acc. X(Mx)	Tors. acc. Y(My)	Sisma X	Sisma Y	Sisma Z
1*	γG_{ns}	γG_{2ns}	γQ_{ns}	0	0	0	0	0	0
2*	γG_{ns}	γG_{2ns}	γQ_{ns}	$\Psi_0 \gamma Q_{ns}$	0	0	0	0	0
3*	γG_{ns}	γG_{2ns}	γQ_{ns}	$-\Psi_0 \gamma Q_{ns}$	0	0	0	0	0
4*	γG_{ns}	γG_{2ns}	$\Psi_0 \gamma Q_{ns}$	γQ_{ns}	0	0	0	0	0
5*	γG_{ns}	γG_{2ns}	$\Psi_0 \gamma Q_{ns}$	$-\gamma Q_{ns}$	0	0	0	0	0
6	γG_s	γG_{2s}	$\Psi_2 \gamma Q_s$	0	1	0	1	0.30	0
7	γG_s	γG_{2s}	$\Psi_2 \gamma Q_s$	0	-1	0	1	0.30	0
8	γG_s	γG_{2s}	$\Psi_2 \gamma Q_s$	0	1	0	1	-0.30	0
9	γG_s	γG_{2s}	$\Psi_2 \gamma Q_s$	0	-1	0	1	-0.30	0
10	γG_s	γG_{2s}	$\Psi_2 \gamma Q_s$	0	1	0	-1	0.30	0
11	γG_s	γG_{2s}	$\Psi_2 \gamma Q_s$	0	-1	0	-1	0.30	0
12	γG_s	γG_{2s}	$\Psi_2 \gamma Q_s$	0	1	0	-1	-0.30	0
13	γG_s	γG_{2s}	$\Psi_2 \gamma Q_s$	0	-1	0	-1	-0.30	0
14	γG_s	γG_{2s}	$\Psi_2 \gamma Q_s$	0	0	1	0.30	1	0
15	γG_s	γG_{2s}	$\Psi_2 \gamma Q_s$	0	0	-1	0.30	1	0
16	γG_s	γG_{2s}	$\Psi_2 \gamma Q_s$	0	0	1	-0.30	1	0
17	γG_s	γG_{2s}	$\Psi_2 \gamma Q_s$	0	0	-1	-0.30	1	0
18	γG_s	γG_{2s}	$\Psi_2 \gamma Q_s$	0	0	1	0.30	-1	0
19	γG_s	γG_{2s}	$\Psi_2 \gamma Q_s$	0	0	-1	0.30	-1	0
20	γG_s	γG_{2s}	$\Psi_2 \gamma Q_s$	0	0	1	-0.30	-1	0
21	γG_s	γG_{2s}	$\Psi_2 \gamma Q_s$	0	0	-1	-0.30	-1	0

*Combinazione fondamentale (par. 2.5.3, formula 2.5.1)

Comb.	Condizione
-------	------------

	Utente 1
1*	1.00
2*	1.00
3*	1.00
4*	1.00
5*	1.00
6	1.00
7	1.00
8	1.00
9	1.00
10	1.00
11	1.00
12	1.00
13	1.00
14	1.00
15	1.00
16	1.00
17	1.00
18	1.00
19	1.00
20	1.00
21	1.00

*Combinazione fondamentale (par. 2.5.3, formula 2.5.1)

Elementi di fondazione A1									
Comb.	Condizione								
	C. perm.(Gk1)	C. p. non str.(Gk2)	C. ese.(Qk)	Delta T(DT)	Tors. acc. X(Mx)	Tors. acc. Y(My)	Sisma X	Sisma Y	Sisma Z
1*	γG_{ns}	γG_{2ns}	γQ_{ns}	0	0	0	0	0	0
2*	γG_{ns}	γG_{2ns}	γQ_{ns}	$\Psi 0 \gamma Q_{ns}$	0	0	0	0	0
3*	γG_{ns}	γG_{2ns}	γQ_{ns}	$-\Psi 0 \gamma Q_{ns}$	0	0	0	0	0
4*	γG_{ns}	γG_{2ns}	$\Psi 0 \gamma Q_{ns}$	γQ_{ns}	0	0	0	0	0
5*	γG_{ns}	γG_{2ns}	$\Psi 0 \gamma Q_{ns}$	$-\gamma Q_{ns}$	0	0	0	0	0
6	γG_s	γG_{2s}	$\Psi 2 \gamma Q_s$	0	1	0	1	0.30	0
7	γG_s	γG_{2s}	$\Psi 2 \gamma Q_s$	0	-1	0	1	0.30	0
8	γG_s	γG_{2s}	$\Psi 2 \gamma Q_s$	0	1	0	1	-0.30	0
9	γG_s	γG_{2s}	$\Psi 2 \gamma Q_s$	0	-1	0	1	-0.30	0
10	γG_s	γG_{2s}	$\Psi 2 \gamma Q_s$	0	1	0	-1	0.30	0
11	γG_s	γG_{2s}	$\Psi 2 \gamma Q_s$	0	-1	0	-1	0.30	0
12	γG_s	γG_{2s}	$\Psi 2 \gamma Q_s$	0	1	0	-1	-0.30	0
13	γG_s	γG_{2s}	$\Psi 2 \gamma Q_s$	0	-1	0	-1	-0.30	0
14	γG_s	γG_{2s}	$\Psi 2 \gamma Q_s$	0	0	1	0.30	1	0
15	γG_s	γG_{2s}	$\Psi 2 \gamma Q_s$	0	0	-1	0.30	1	0
16	γG_s	γG_{2s}	$\Psi 2 \gamma Q_s$	0	0	1	-0.30	1	0
17	γG_s	γG_{2s}	$\Psi 2 \gamma Q_s$	0	0	-1	-0.30	1	0
18	γG_s	γG_{2s}	$\Psi 2 \gamma Q_s$	0	0	1	0.30	-1	0
19	γG_s	γG_{2s}	$\Psi 2 \gamma Q_s$	0	0	-1	0.30	-1	0
20	γG_s	γG_{2s}	$\Psi 2 \gamma Q_s$	0	0	1	-0.30	-1	0
21	γG_s	γG_{2s}	$\Psi 2 \gamma Q_s$	0	0	-1	-0.30	-1	0

*Combinazione fondamentale (par. 2.5.3, formula 2.5.1)

Comb.	Condizione
	Utente 1
1*	1.00
2*	1.00
3*	1.00
4*	1.00
5*	1.00
6	1.00
7	1.00
8	1.00
9	1.00
10	1.00
11	1.00
12	1.00
13	1.00
14	1.00
15	1.00
16	1.00

17	1.00
18	1.00
19	1.00
20	1.00
21	1.00

*Combinazione fondamentale (par. 2.5.3, formula 2.5.1)

Combinazioni per le verifiche allo Stato Limite di Danno

Le azioni di calcolo presenti sulla struttura e le relative combinazioni di carico nei riguardi degli stati limite di danno possono essere riassunte nelle seguenti tabelle:

Elementi della Struttura									
Comb.	Condizione								
	C. perm.(Gk1)	C. p. non str.(Gk2)	C. ese.(Qk)	Delta T(DT)	Tors. acc. X(Mx)	Tors. acc. Y(My)	Sisma X	Sisma Y	Sisma Z
1	γ_{Gns}	γ_{G2ns}	γ_{Qns}	0	0	0	0	0	0
2	γ_{Gns}	γ_{G2ns}	γ_{Qns}	$\Psi_0\gamma_{Qns}$	0	0	0	0	0
3	γ_{Gns}	γ_{G2ns}	γ_{Qns}	$-\Psi_0\gamma_{Qns}$	0	0	0	0	0
4	γ_{Gns}	γ_{G2ns}	$\Psi_0\gamma_{Qns}$	γ_{Qns}	0	0	0	0	0
5	γ_{Gns}	γ_{G2ns}	$\Psi_0\gamma_{Qns}$	$-\gamma_{Qns}$	0	0	0	0	0
6	γ_{Gs}	γ_{G2s}	$\Psi_2\gamma_{Qs}$	0	1	0	1	0.30	0
7	γ_{Gs}	γ_{G2s}	$\Psi_2\gamma_{Qs}$	0	-1	0	1	0.30	0
8	γ_{Gs}	γ_{G2s}	$\Psi_2\gamma_{Qs}$	0	1	0	1	-0.30	0
9	γ_{Gs}	γ_{G2s}	$\Psi_2\gamma_{Qs}$	0	-1	0	1	-0.30	0
10	γ_{Gs}	γ_{G2s}	$\Psi_2\gamma_{Qs}$	0	1	0	-1	0.30	0
11	γ_{Gs}	γ_{G2s}	$\Psi_2\gamma_{Qs}$	0	-1	0	-1	0.30	0
12	γ_{Gs}	γ_{G2s}	$\Psi_2\gamma_{Qs}$	0	1	0	-1	-0.30	0
13	γ_{Gs}	γ_{G2s}	$\Psi_2\gamma_{Qs}$	0	-1	0	-1	-0.30	0
14	γ_{Gs}	γ_{G2s}	$\Psi_2\gamma_{Qs}$	0	0	1	0.30	1	0
15	γ_{Gs}	γ_{G2s}	$\Psi_2\gamma_{Qs}$	0	0	-1	0.30	1	0
16	γ_{Gs}	γ_{G2s}	$\Psi_2\gamma_{Qs}$	0	0	1	-0.30	1	0
17	γ_{Gs}	γ_{G2s}	$\Psi_2\gamma_{Qs}$	0	0	-1	-0.30	1	0
18	γ_{Gs}	γ_{G2s}	$\Psi_2\gamma_{Qs}$	0	0	1	0.30	-1	0
19	γ_{Gs}	γ_{G2s}	$\Psi_2\gamma_{Qs}$	0	0	-1	0.30	-1	0
20	γ_{Gs}	γ_{G2s}	$\Psi_2\gamma_{Qs}$	0	0	1	-0.30	-1	0
21	γ_{Gs}	γ_{G2s}	$\Psi_2\gamma_{Qs}$	0	0	-1	-0.30	-1	0

Comb.	Condizione
	Utente 1
1	1.00
2	1.00
3	1.00
4	1.00
5	1.00
6	1.00
7	1.00
8	1.00
9	1.00
10	1.00
11	1.00
12	1.00
13	1.00
14	1.00
15	1.00
16	1.00
17	1.00
18	1.00
19	1.00
20	1.00
21	1.00

Elementi di fondazione A1									
Comb.	Condizione								
	C. perm.(Gk1)	C. p. non str.(Gk2)	C. ese.(Qk)	Delta T(DT)	Tors. acc. X(Mx)	Tors. acc. Y(My)	Sisma X	Sisma Y	Sisma Z
1	γ_{Gns}	γ_{G2ns}	γ_{Qns}	0	0	0	0	0	0

2	γ_{Gns}	γ_{G2ns}	γ_{Qns}	$\Psi_0\gamma_{Qns}$	0	0	0	0	0
3	γ_{Gns}	γ_{G2ns}	γ_{Qns}	$-\Psi_0\gamma_{Qns}$	0	0	0	0	0
4	γ_{Gns}	γ_{G2ns}	$\Psi_0\gamma_{Qns}$	γ_{Qns}	0	0	0	0	0
5	γ_{Gns}	γ_{G2ns}	$\Psi_0\gamma_{Qns}$	$-\gamma_{Qns}$	0	0	0	0	0
6	γ_{Gs}	γ_{G2s}	$\Psi_2\gamma_{Qs}$	0	1	0	1	0.30	0
7	γ_{Gs}	γ_{G2s}	$\Psi_2\gamma_{Qs}$	0	-1	0	1	0.30	0
8	γ_{Gs}	γ_{G2s}	$\Psi_2\gamma_{Qs}$	0	1	0	1	-0.30	0
9	γ_{Gs}	γ_{G2s}	$\Psi_2\gamma_{Qs}$	0	-1	0	1	-0.30	0
10	γ_{Gs}	γ_{G2s}	$\Psi_2\gamma_{Qs}$	0	1	0	-1	0.30	0
11	γ_{Gs}	γ_{G2s}	$\Psi_2\gamma_{Qs}$	0	-1	0	-1	0.30	0
12	γ_{Gs}	γ_{G2s}	$\Psi_2\gamma_{Qs}$	0	1	0	-1	-0.30	0
13	γ_{Gs}	γ_{G2s}	$\Psi_2\gamma_{Qs}$	0	-1	0	-1	-0.30	0
14	γ_{Gs}	γ_{G2s}	$\Psi_2\gamma_{Qs}$	0	0	1	0.30	1	0
15	γ_{Gs}	γ_{G2s}	$\Psi_2\gamma_{Qs}$	0	0	-1	0.30	1	0
16	γ_{Gs}	γ_{G2s}	$\Psi_2\gamma_{Qs}$	0	0	1	-0.30	1	0
17	γ_{Gs}	γ_{G2s}	$\Psi_2\gamma_{Qs}$	0	0	-1	-0.30	1	0
18	γ_{Gs}	γ_{G2s}	$\Psi_2\gamma_{Qs}$	0	0	1	0.30	-1	0
19	γ_{Gs}	γ_{G2s}	$\Psi_2\gamma_{Qs}$	0	0	-1	0.30	-1	0
20	γ_{Gs}	γ_{G2s}	$\Psi_2\gamma_{Qs}$	0	0	1	-0.30	-1	0
21	γ_{Gs}	γ_{G2s}	$\Psi_2\gamma_{Qs}$	0	0	-1	-0.30	-1	0

Comb.	Condizione
	Utente 1
1	1.00
2	1.00
3	1.00
4	1.00
5	1.00
6	1.00
7	1.00
8	1.00
9	1.00
10	1.00
11	1.00
12	1.00
13	1.00
14	1.00
15	1.00
16	1.00
17	1.00
18	1.00
19	1.00
20	1.00
21	1.00

I coefficienti utilizzati assumono i seguenti valori:

ELEMENTO	SLV						SLD					
	γ_{G1ns}	γ_{G2ns}	γ_{Qns}	γ_{G1s}	γ_{G2s}	γ_{Qs}	γ_{G1ns}	γ_{G2ns}	γ_{Qns}	γ_{G1s}	γ_{G2s}	γ_{Qs}
ELEMENTO	1.3	1.5	1.5	1.0	1.0	1.0	1.0	1.0	1.0	1.0	1.0	1.0
ELEMENTO	1.3	1.5	1.5	1.0	1.0	1.0	1.0	1.0	1.0	1.0	1.0	1.0
Fondazione A1	1.3	1.5	1.5	1.0	1.0	1.0	1.0	1.0	1.0	1.0	1.0	1.0

Combinazioni per le verifiche allo Stato limite di esercizio

Le azioni di calcolo presenti sulla struttura e le relative combinazioni di carico nei riguardi degli stati limite di esercizio possono essere riassunte nelle seguenti tabelle:

Combinazioni Caratteristiche:

Elementi della Struttura				
Comb.	Condizione			
	C. perm.(Gk1)	C. p. non str.(Gk2)	C. ese.(Qk)	Delta T(DT)
1	γ_{Gns}	γ_{G2ns}	γ_{Qns}	$\Psi_0\gamma_{Qns}$
2	γ_{Gns}	γ_{G2ns}	γ_{Qns}	$-\Psi_0\gamma_{Qns}$

3	γ_{Gns}	γ_{G2ns}	$\Psi_0\gamma_{Qns}$	γ_{Qns}
4	γ_{Gns}	γ_{G2ns}	$\Psi_0\gamma_{Qns}$	$-\gamma_{Qns}$

Comb.	Condizione
Utente 1	
1	1.00
2	1.00
3	1.00
4	1.00

Elementi di fondazione A1				
Comb.	Condizione			
	C. perm.(Gk1)	C. p. non str.(Gk2)	C. ese.(Qk)	Delta T(DT)
1	γ_{Gns}	γ_{G2ns}	γ_{Qns}	$\Psi_0\gamma_{Qns}$
2	γ_{Gns}	γ_{G2ns}	γ_{Qns}	$-\Psi_0\gamma_{Qns}$
3	γ_{Gns}	γ_{G2ns}	$\Psi_0\gamma_{Qns}$	γ_{Qns}
4	γ_{Gns}	γ_{G2ns}	$\Psi_0\gamma_{Qns}$	$-\gamma_{Qns}$

Comb.	Condizione
Utente 1	
1	1.00
2	1.00
3	1.00
4	1.00

Elementi di fondazione A2				
Comb.	Condizione			
	C. perm.(Gk1)	C. p. non str.(Gk2)	C. ese.(Qk)	Delta T(DT)
1	γ_{Gns}	γ_{G2ns}	γ_{Qns}	$\Psi_0\gamma_{Qns}$
2	γ_{Gns}	γ_{G2ns}	γ_{Qns}	$-\Psi_0\gamma_{Qns}$
3	γ_{Gns}	γ_{G2ns}	$\Psi_0\gamma_{Qns}$	γ_{Qns}
4	γ_{Gns}	γ_{G2ns}	$\Psi_0\gamma_{Qns}$	$-\gamma_{Qns}$

Comb.	Condizione
Utente 1	
1	1.00
2	1.00
3	1.00
4	1.00

Combinazioni Frequenti:

Elementi della Struttura				
Comb.	Condizione			
	C. perm.(Gk1)	C. p. non str.(Gk2)	C. ese.(Qk)	Delta T(DT)
1	γ_{Gns}	γ_{G2ns}	$\Psi_1\gamma_{Qns}$	$\Psi_2\gamma_{Qns}$
2	γ_{Gns}	γ_{G2ns}	$\Psi_1\gamma_{Qns}$	$-\Psi_2\gamma_{Qns}$
3	γ_{Gns}	γ_{G2ns}	$\Psi_2\gamma_{Qns}$	$\Psi_1\gamma_{Qns}$
4	γ_{Gns}	γ_{G2ns}	$\Psi_2\gamma_{Qns}$	$-\Psi_1\gamma_{Qns}$

Comb.	Condizione
Utente 1	
1	1.00
2	1.00
3	1.00
4	1.00

Elementi di fondazione A1				
Comb.	Condizione			
	C. perm.(Gk1)	C. p. non str.(Gk2)	C. ese.(Qk)	Delta T(DT)
1	γ_{Gns}	γ_{G2ns}	$\Psi_1\gamma_{Qns}$	$\Psi_2\gamma_{Qns}$

2	γ_{Gns}	γ_{G2ns}	$\Psi_1\gamma_{Qns}$	$-\Psi_2\gamma_{Qns}$
3	γ_{Gns}	γ_{G2ns}	$\Psi_2\gamma_{Qns}$	$\Psi_1\gamma_{Qns}$
4	γ_{Gns}	γ_{G2ns}	$\Psi_2\gamma_{Qns}$	$-\Psi_1\gamma_{Qns}$

Comb.	Condizione
	Utente 1
1	1.00
2	1.00
3	1.00
4	1.00

Elementi di fondazione A2				
Comb.	Condizione			
	C. perm.(Gk1)	C. p. non str.(Gk2)	C. ese.(Qk)	Delta T(DT)
1	γ_{Gns}	γ_{G2ns}	$\Psi_1\gamma_{Qns}$	$\Psi_2\gamma_{Qns}$
2	γ_{Gns}	γ_{G2ns}	$\Psi_1\gamma_{Qns}$	$-\Psi_2\gamma_{Qns}$
3	γ_{Gns}	γ_{G2ns}	$\Psi_2\gamma_{Qns}$	$\Psi_1\gamma_{Qns}$
4	γ_{Gns}	γ_{G2ns}	$\Psi_2\gamma_{Qns}$	$-\Psi_1\gamma_{Qns}$

Comb.	Condizione
	Utente 1
1	1.00
2	1.00
3	1.00
4	1.00

Combinazioni quasi permanenti :

Elementi della Struttura				
Comb.	Condizione			
	C. perm.(Gk1)	C. p. non str.(Gk2)	C. ese.(Qk)	Delta T(DT)
1	γ_{Gns}	γ_{G2ns}	$\Psi_2\gamma_{Qns}$	$\Psi_2\gamma_{Qns}$
2	γ_{Gns}	γ_{G2ns}	$\Psi_2\gamma_{Qns}$	$-\Psi_2\gamma_{Qns}$

Comb.	Condizione
	Utente 1
1	1.00
2	1.00

Elementi di fondazione A1				
Comb.	Condizione			
	C. perm.(Gk1)	C. p. non str.(Gk2)	C. ese.(Qk)	Delta T(DT)
1	γ_{Gns}	γ_{G2ns}	$\Psi_2\gamma_{Qns}$	$\Psi_2\gamma_{Qns}$
2	γ_{Gns}	γ_{G2ns}	$\Psi_2\gamma_{Qns}$	$-\Psi_2\gamma_{Qns}$

Comb.	Condizione
	Utente 1
1	1.00
2	1.00

Elementi di fondazione A2				
Comb.	Condizione			
	C. perm.(Gk1)	C. p. non str.(Gk2)	C. ese.(Qk)	Delta T(DT)
1	γ_{Gns}	γ_{G2ns}	$\Psi_2\gamma_{Qns}$	$\Psi_2\gamma_{Qns}$
2	γ_{Gns}	γ_{G2ns}	$\Psi_2\gamma_{Qns}$	$-\Psi_2\gamma_{Qns}$

Comb.	Condizione
	Utente 1
1	1.00

2	1.00
---	------

I coefficienti utilizzati assumono i seguenti valori:

SLE	Caratteristiche					Frequenti					Q. Permanenti				
ELEMENTO	γ_{Gns}	γ_{Qns}	γ_I	γ_{EG}	γ_{EQ}	γ_{Gns}	γ_{Qns}	γ_I	γ_{EG}	γ_{EQ}	γ_{Gns}	γ_{Qns}	γ_I	γ_{EG}	γ_{EQ}
ELEMENTO	1.0	1.0	1.0	1.0	1.0	1.0	1.0	1.0	1.0	1.0	1.0	1.0	1.0	1.0	1.0
ELEMENTO	1.0	1.0	1.0	1.0	1.0	1.0	1.0	1.0	1.0	1.0	1.0	1.0	1.0	1.0	1.0
Fondazione A1	1.0	1.0	1.0	1.0	1.0	1.0	1.0	1.0	1.0	1.0	1.0	1.0	1.0	1.0	1.0
Fondazione A2	1.0	1.0	1.0	1.0	1.0	1.0	1.0	1.0	1.0	1.0	1.0	1.0	1.0	1.0	1.0

Tali combinazioni vengono considerate sovrapponendo i diagrammi secondo la tecnica dell'involuppo.

2.4 Procedura di Verifica degli elementi.

2.4.1 Elementi in C.A. .

Le Verifiche relative alle strutture in C.A. si possono riassumere, in funzione degli elementi considerati, nei seguenti tipi:

- Pilastri

Tali elementi vengono verificati utilizzando lo stato sollecitante completo nei riguardi di:

- PressoTensoFlessione Deviata
- Taglio
- Stabilità
- Stato tensionale

- Travi

Tali elementi vengono verificati utilizzando lo stato sollecitante completo nei riguardi di

- PressoTensoFlessione
- Taglio
- Deformabilità
- Stato tensionale
- Fessurazione

- Travi di fondazione

Tali elementi vengono verificati utilizzando lo stato sollecitante completo nei riguardi di

- PressoTensoFlessione
- Taglio
- Stato tensionale
- Fessurazione

Le singole verifiche vengono descritte qui di seguito:

- PressoTensoFlessione Deviata

Le sollecitazioni che vengono considerate in tale verifica sono: Sforzo Normale, Momento Flettente X-Z, Momento Flettente X-Y.

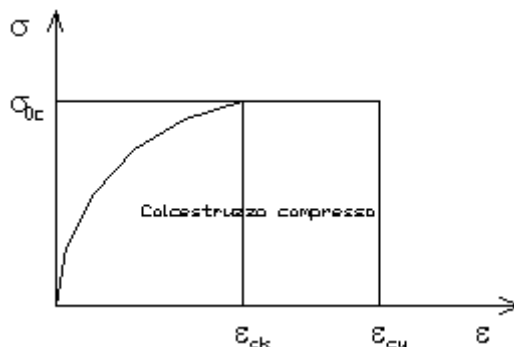
La verifica di resistenza è soddisfatta se la sollecitazione determinata dalla condizione considerata cade all'interno del dominio di sicurezza determinato, attraverso la conoscenza:

- del comportamento meccanico della sezione in esame;
- delle caratteristiche dei materiali di cui è composta;
- dei coefficienti di sicurezza forniti dalla normativa seguita.

Il calcolo è condotto nelle ipotesi che:

1. Le sezioni rimangano piane fino a rottura;
2. Ci sia perfetta aderenza fra acciaio e calcestruzzo;
3. La deformazione massima del calcestruzzo compresso è pari a 0.0035 nel caso di flessione semplice e composta; con asse neutro reale mentre è pari a 0.002 nel caso di compressione semplice;
4. La deformazione massima per l'acciaio teso sia pari a 0.01;
5. Il calcestruzzo non abbia alcuna capacità di resistenza a trazione.

Il diagramma tensioni-deformazioni assunto per il calcestruzzo è di tipo parabola-rettangolo come indicato nella seguente figura:



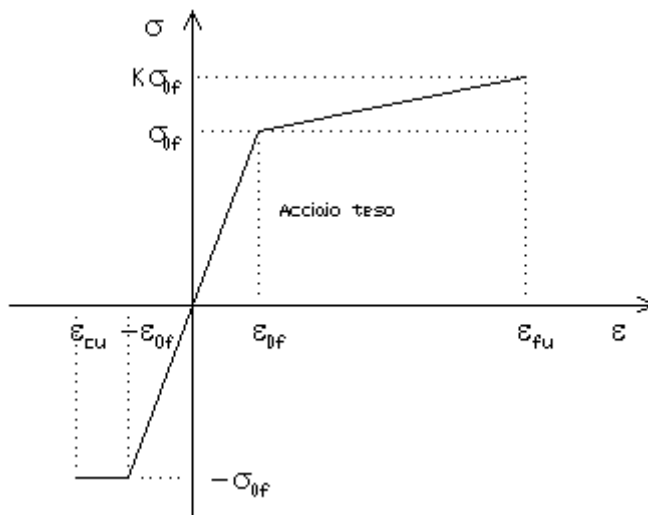
- dove:
- $\epsilon_{ck} = 0.002$;
 - $\epsilon_{cu} = 0.0035$;
 - $\sigma_{0c} = 0.85 \cdot 0.83 \cdot R_{ck} / \gamma_c$;
 - R_{ck} = resistenza caratteristica del calcestruzzo;
 - $\gamma_{m,c}$ = coefficiente di materiale del calcestruzzo;

Le equazioni che descrivono il diagramma sono:

$$\epsilon < \epsilon_{ck} : \sigma(\epsilon) = 1000 \cdot \sigma_{0c} \cdot \epsilon \cdot (1 - 250 \cdot \epsilon);$$

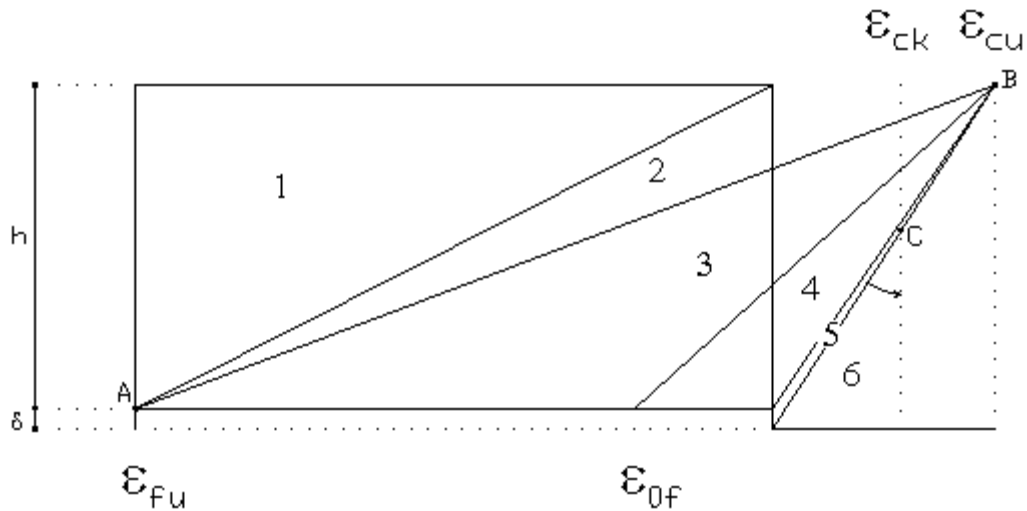
$$\epsilon_{ck} < \epsilon < \epsilon_{cu} : s(\sigma) = \sigma_{0c};$$

Il diagramma tensioni-deformazioni assunto per l'acciaio è indicato nella seguente figura:



- dove:
- $\epsilon_{0f} = \sigma_{0f} / E$;
 - E = Modulo di elasticità dell'acciaio;
 - σ_{0f} = resistenza di calcolo dell'acciaio;
 - k = rapporto di sovrarresistenza (se è pari ad 1 il comportamento è bilineare elastico-perfettamente plastico);
 - f_{yk} = Resistenza caratteristica dell'acciaio
 - γ_m = coefficiente di sicurezza dell'acciaio;
 - ϵ_{fu} = deformazione ultima dell'acciaio;
 - ϵ_{cu} = deformazione ultima del calcestruzzo;

Le limitazioni delle deformazioni unitarie per il conglomerato e per l'acciaio conducono a definire sei diversi campi (o regioni) nei quali potrà trovarsi la retta di deformazione specifica. Tali campi sono descritti nel seguente modo:



Campo 1 : è caratterizzato dall'allungamento massimo tollerabile per l'acciaio pari a ϵ_{Fu} . Il diagramma delle deformazioni specifiche appartiene ad un fascio di rette passanti per il punto (A) mentre la distanza dall'asse neutro potrà variare da $-\infty$ a 0. È il caso di trazione semplice o con piccola eccentricità; la sezione risulta interamente tesa. La crisi si ha per cedimento dell'acciaio teso.

Campo 2 : è caratterizzato dall'allungamento massimo tollerabile per l'acciaio pari a ϵ_{Fu} e dalla rotazione del diagramma attorno al punto (A). La deformazione specifica del calcestruzzo varia da 0 al valore massimo del calcestruzzo compresso (ϵ_{cu}) mentre la distanza dell'asse neutro dal lembo compresso può variare da 0 a $0.259h$. La sezione risulterà in parte tesa ed in parte compressa e quindi sarà sollecitata a flessione semplice o composta.

Campo 3 : è caratterizzato dall'accorciamento massimo del conglomerato pari a ϵ_{cu} . Le rette di deformazione appartengono ad un fascio passante per (B). La massima tensione del calcestruzzo in questa regione è pari a quella di rottura di calcolo mentre l'armatura è ancora deformata in campo plastico. La sezione risulterà in parte tesa ed in parte compressa e quindi sarà sollecitata a flessione semplice o composta.

Campo 4 : è caratterizzato dall'accorciamento massimo del conglomerato pari a ϵ_{cu} . Le rette di deformazione appartengono ad un fascio passante per (B). La massima tensione del calcestruzzo in questa regione è pari a quella di rottura di calcolo mentre l'armatura è sollecitata con tensioni inferiori allo snervamento e può risultare anche scarica. La sezione risulterà in parte tesa ed in parte compressa e quindi sarà sollecitata a flessione semplice o composta.

Campo 5 : è caratterizzato dall'accorciamento massimo del conglomerato pari a ϵ_{cu} . Le rette di deformazione appartengono ad un fascio passante per (B) mentre la distanza dell'asse neutro varia da h ad $h+d$. L'armatura in tale regione è sollecitata a compressione e pertanto tutta la sezione è compressa; è questo il caso della flessione composta.

Campo 6 : è caratterizzato dall'accorciamento massimo del conglomerato compresso che varia fra ϵ_{cu} e ϵ_{ck} . Le rette di deformazione specifica appartengono ad un fascio passante per (C) e la distanza dell'asse neutro varia fra 0 e $-\infty$. La distanza di (C) dal lembo superiore vale $3h/7$. La sezione risulta sollecitata a compressione semplice o composta.

- Taglio

Il calcolo del taglio viene eseguito secondo il metodo di Ritter-Morsch.

Per gli elementi in cui è richiesta la verifica a taglio, deve risultare:

$$V_{Sd} \leq \min[V_{Rsd}, V_{Rcd}]$$

dove:

V_{Sd} : taglio sollecitante il calcolo;

$$V_{Rsd} = 0.9 d (A_{Sw} / s) f_{yd} (\text{ctg}\alpha + \text{ctg}\theta) \sin\alpha;$$

$$V_{Rcd} = 0.9 d b_w \alpha_c f'_{cd} (\text{ctg}\alpha + \text{ctg}\theta) / (1 + \text{ctg}^2\theta);$$

d : altezza utile della sezione;
A_{sw} : area dell'armatura trasversale;
s : passo dell'armatura trasversale;;
f_{yd} : resistenza a snervamento dell'acciaio;
b_w : larghezza minima della sezione lungo l'altezza efficace;

Il contributo delle armature a taglio è somma del contributo delle staffe e degli eventuali sagomati. In ogni caso l'aliquota massima che può essere affidata ai sagomati è il 50% dello sforzo di taglio massimo.

- Stabilità

La verifica di instabilità degli elementi snelli in c.a. viene condotta attraverso un'analisi del secondo ordine che tiene in conto degli effetti flessionali dell'azione assiale sulla configurazione deformata degli elementi stessi.

Si sono assunti legami fra le azioni interne e le deformazioni che mettono in conto il comportamento non lineare dei materiali e si è trascurato il contributo del calcestruzzo teso.

Il valore limite della snellezza per ogni colonna è stato assunto pari a:

$$\lambda_{lim} = 25 / \sqrt{\nu}$$

dove:

$$\nu = N_{ed} / (A_c f_{cd})$$

$$C = 1.7 - r_m$$

r_m = M₀₁ / M₀₂ è il rapporto fra i momenti flettenti del primo ordine alle due estremità del pilastro, positivo se i due momenti sono discordi sulla trave (|M₀₂| >= |M₀₁|).

La snellezza della colonna da confrontare con λ_{lim} è pari a:

$$\lambda = \lambda_0 / i$$

λ₀ è la lunghezza libera d'inflessione definita in base ai vincoli di estremità ed i il raggio d'inerzia della sezioni in calcestruzzo non fessurato.

Con riferimento al punto 4.1.2.3.9.3 del D.M. 17/01/2018 in aggiunta al momento sollecitante esterno viene sommata un'aliquota dovuta ad un'eccentricità dello sforzo normale pari a 1/300 dell'altezza della colonna (difetto di rettilineità).

In aggiunta viene considerata un'aliquota aggiuntiva che tenga conto dell'inflessione della colonna pari a e2 := 0.222 e_{fy} l₀²/h.

- Stato tensionale

Tale verifica rientra nell'ambito della verifica di esercizio. Il calcolo delle tensioni si ottiene sfruttando le ipotesi tradizionali per il calcolo del cemento armato ordinario, e cioè:

1. assunzione dei materiali elastico lineari;
2. conservazione delle sezioni piane al crescere dei carichi;
3. perfetta aderenza tra acciaio e calcestruzzo;
4. resistenza nulla a trazione del calcestruzzo;

Inoltre può essere stabilito un coefficiente di omogeneizzazione diverso dal valore ordinario.

Le tensioni di esercizio si possono calcolare considerando le combinazioni di carico caratteristica, frequente e quasi permanente. La verifica consiste nel confrontare le tensioni di calcolo con quelle limite dei materiali.

- Fessurazione

Poiché la fessurazione in strutture in cemento armato ordinario è quasi inevitabile, bisogna limitare tali entità in modo da non pregiudicare il corretto funzionamento della struttura.

La fessurazione può essere limitata assicurando un minimo di area di armatura longitudinale che può essere calcolata dalla seguente espressione:

$$A_s = k_c k f_{ct,eff} (A_{ct} / \sigma_s)$$

dove:

- A_s : area di armatura nella zona tesa;
 k_c : coefficiente che tiene conto del tipo di distribuzione delle tensioni nella sezione subito prima la fessurazione. Assume valore 0.4 per flessione senza compressione assiale, e 1 per trazione;
 k : coefficiente che tiene conto degli effetti di tensioni auto-equilibrate non uniformi;
 $f_{ct,eff}$: resistenza efficace a trazione della sezione al momento in cui si suppone insorgano le prime fessure. In mancanza di dati si utilizza il valore di 3 N/mm²;
 A_{ct} : area del calcestruzzo in zona tesa subito prima della fessurazione;
 σ_s : massima tensione ammessa nell'armatura subito dopo la formazione della fessura.

Il calcolo delle ampiezze delle fessure si effettua considerando anche la parte di calcestruzzo reagente a trazione utilizzando la seguente espressione:

$$W_k = \beta s_{rm} \varepsilon_{sm}$$

- W_k : ampiezza di calcolo delle fessure;
 β : coefficiente di correlazione tra l'ampiezza media delle fessure e il valore di calcolo;
 s_{rm} : distanza media finale tra le fessure;
 ε_{sm} : deformazione che tiene conto, nella combinazione di carico considerata, degli effetti "tension stiffening", del ritiro;

La quantità ε_{sm} si ottiene dalla seguente espressione:

$$\varepsilon_{sm} = (\sigma_s / E_s) [1 - \beta_1 \beta_2 (\sigma_{sr} / \sigma_s)^2]$$

dove:

- σ_s : tensione dell'acciaio teso calcolata a sezione fessurata;
 E_s : modulo elastico dell'acciaio;
 σ_{sr} : tensione dell'acciaio teso calcolata nella sezione per una condizione di carico che induce alla prima fessurazione;
 β_1 : coefficiente di aderenza delle barre. Assume valore 0.5 per barre lisce e 1 per barre ad aderenza migliorata;
 β_2 : coefficiente di durata dei carichi. Assume valore 0.5 per carichi di lunga durata o per molti cicli ripetuti e 1 per un singolo carico di breve durata.

La quantità s_{rm} si ottiene dalla seguente espressione:

$$s_{rm} = 50 + 0.25 k_1 k_2 (\phi / \rho_f)$$

dove:

- k_1 : coefficiente di aderenza delle barre. Assume valore 1.6 per barre lisce e 0.8 per barre ad aderenza migliorata;
 k_2 : coefficiente che tiene conto della forma del diagramma delle deformazioni. Assume valore 0.5 per flessione e 1 per trazione pura;
 ϕ : diametro delle barre in mm. Se si utilizzano più diametri si utilizza il diametro medio.

La fessurazione causata dalle azioni tangenziali si considera contenuta in limiti accettabili se si adotta un passo delle staffe. Tale verifica non è necessaria in elementi in cui non è richiesta l'armatura a taglio.

- Verifiche a deformabilità

Per il calcolo della deformabilità di elementi inflessi si utilizza il metodo che pesa le curvature nelle due situazioni caratteristiche degli elementi in c.a. ("I" sezione integra; "II" sezione fessurata). A tale riguardo la curvatura in una generica sezione può essere valutata con la seguente relazione:

$$\theta = (1-\zeta) \theta_I + \zeta \theta_{II}$$

dove ζ rappresenta l'effetto irrigidente del calcestruzzo tra due fessure consecutive (tension stiffening):

$$\zeta = 1 - c(M_{cr}/M)^2$$

dove:

- c : pari a 1 per carichi permanenti;
 M_{cr} : momento di prima fessurazione;

M : momento sollecitante.

Per calcolare la freccia di un elemento, si divide in “n” conci uguali e si calcola la curvatura di ogni concio riferita alla coordinata x_i. La freccia relativa alla sezione x_j è pari a:

$$\delta_j = \varphi_A x_j - \sum (x_j - x_i) \theta_i \Delta x$$

dove:

- φ_A : rotazione dell'estremo iniziale dell'elemento;
- l : lunghezza dell'elemento;
- Δx : lunghezza del concio;
- θ_i : curvatura relativa al concio.

- Particolari prescrizioni per pareti non dissipative

Le pareti non dissipative sono state progettate utilizzando le sollecitazioni relative allo spettro elastico ($q = 1$).

2.4.2 Elementi in Acciaio.

- VERIFICHE DI RESISTENZA

Le verifiche di resistenza per gli elementi in acciaio risultano così organizzate:

- Verifica di resistenza delle aste tese;
- Verifica di resistenza delle aste compresse;
- Verifica di resistenza delle aste inflesse;
- Verifica di resistenza delle aste soggette ad azione tagliante;
- Verifica di resistenza delle aste soggette ad azione tagliante e flettente;
- Verifica di resistenza delle aste pressoinflesse;

La filosofia introdotta dall'Eurocodice 3 conduce a classificare le sezioni secondo il seguente prospetto

Sezione di Classe 1	Sezioni trasversali in grado di generare una cerniera plastica avente la capacità rotazionale richiesta dall'analisi plastica senza alcuna riduzione di resistenza
Sezione di Classe 2	Sezioni trasversali in grado di raggiungere il proprio momento resistente plastico ma con una capacità rotazionale limitata
Sezione di Classe 3	Sezioni trasversali in grado di raggiungere il momento resistente elastico e dunque il valore di snervamento secondo una distribuzione lineare delle tensioni. Il momento resistente plastico non risulta raggiungibile per l'insorgere di fenomeni di instabilità locale
Sezione di Classe 4	Sezioni trasversali non in grado di raggiungere il momento resistente elastico e dunque con capacità di resistenza ridotte in seguito a fenomeni di instabilità locale

Per le sezioni sottili di classe 4 la normativa prevede la definizione e l'utilizzo delle grandezze efficaci degli elementi compressi per il calcolo delle proprietà elastiche degli stessi (proprietà efficaci). Di fatto l'utilizzo delle grandezze efficaci porta a considerare gli effetti dei fenomeni di instabilità locale tramite una riduzione (tanto più consistente quanto più la sezione risulta compressa) delle parti reagenti della sezione trasversale.

Verifiche Plastiche

Trazione

La verifica consiste nell'accertare che risulti:

$$N_{Ed} \leq N_{t,Rd}$$

dove:

N_{Ed} : azione di trazione di progetto;

$N_{t,Rd}$: resistenza a trazione di progetto calcolata come indicato in seguito.

$$N_{t,Rd} = \min(N_{pl,Rd}, N_{u,Rd})$$

dove:

$N_{pl,Rd}$: resistenza plastica di progetto;

$N_{u,Rd}$: resistenza ultima di progetto.

Inoltre

$$N_{pl,Rd} = A \cdot f_y / \gamma_{M0}$$

$$N_{u,Rd} = 0.9 \cdot A_{\text{nett}} \cdot f_u / \gamma_{M2}$$

Dove, ancora:

A: area lorda della sezione;

A_{nett} : netta della sezione;

f_u, f_y : sono le tensioni di rottura e di snervamento dell'acciaio;

γ_{M0}, γ_{M2} : sono coefficienti riduttivi.

Compressione

La verifica consiste nell'accertare che risulti:

$$N_{Ed} \leq N_{c,Rd}$$

dove:

N_{Ed} : è l'azione di compressione di progetto;

$N_{c,Rd}$: è la resistenza a compressione di progetto calcolata come indicato in seguito.

$$N_{c,Rd} = A \cdot f_y / \gamma_{M0} \quad \text{Per sezioni di classe 1, 2 e 3}$$

$$N_{c,Rd} = A_{\text{eff}} \cdot f_y / \gamma_{M1} \quad \text{Per sezioni di classe 4}$$

Dove, ancora:

A: area lorda della sezione;

A_{eff} : area efficace della sezione;

f_y : tensione di snervamento dell'acciaio;

γ_{M0}, γ_{M1} : coefficienti riduttivi.

Taglio

Il valore di progetto dell'azione tagliante in ogni sezione trasversale deve soddisfare la relazione:

$$V_{sd} / V_{pl,Rd} \leq 1$$

$V_{pl,Rd}$ è il valore del taglio resistente di progetto assunto pari a:

$$V_{pl,Rd} = (A_t \cdot f_y / \sqrt{3}) / \gamma_{M0}$$

Dove, ancora:

A_t : area resistente al taglio della sezione;

f_y : tensione di snervamento dell'acciaio;

γ_{M0} : coefficiente riduttivo.

Flessione

Si verifica in questo caso che il valore del momento flettente di progetto in corrispondenza di ciascuna sezione trasversale analizzata soddisfi la seguente relazione:

$$M_{Sd} / M_{Rd} \leq 1$$

dove:

M_{Rd} : momento flettente resistente di progetto, calcolato tenendo conto dell'effettiva sezione;

M_{Sd} : valore del momento di progetto.

M_{Rd} è determinato in funzione della classe della sezione.

$$M_{Rd} = M_{pl} = W_{pl} f_y / \gamma_{Mo} \quad \text{per le classi 1 e 2}$$

$$M_{Rd} = M_{el} = W_{el} f_y / \gamma_{Mo} \quad \text{per la classe 3}$$

$$M_{Rd} = W_{eff} f_y / \gamma_{Mo} \quad \text{per la classe 4}$$

dove:

W_{pl} : è il modulo di resistenza plastico;

W_{el} : è il modulo di resistenza elastico;

W_{eff} : è il modulo di resistenza della sezione efficace;

f_y : è la tensione di snervamento dell'acciaio;

γ_{Mo} : è un coefficiente riduttivo.

Flessione e Taglio

Quando la forza di taglio è maggiore della metà del valore del taglio resistente plastico il momento resistente plastico viene ridotto della quantità

$$(1 - \rho)$$

dove:

$$\rho = ((2 \cdot V_{Sd} / V_{pl,Rd}) - 1)^2$$

Dove vale la terminologia assunta per le verifiche a taglio.

Presso Flessione

Per sezioni di classe 1 o 2 la verifica viene condotta controllando che

$$(M_{y,Ed} / M_{Ny,Rd}) + (M_{z,Ed} / M_{Nz,Rd}) \leq 1$$

dove:

$M_{Ny,Rd}, M_{Nz,Rd}$: momenti flettenti resistenti nelle due direzioni analizzate e ridotti per la presenza dello sforzo normale;

$M_{y,Ed}, M_{z,Ed}$: momenti flettenti di progetto nelle due direzioni analizzate;

Per sezioni di classe 3, in assenza di azioni di taglio, la verifica a presso o tenso-flessione è condotta in termini tensionali utilizzando le verifiche elastiche.

Per sezioni di classe 4 le verifiche sono condotte sempre in regime tensionale elastico ma utilizzando le sole parti efficaci della sezione trasversale.

Verifiche Elastiche

Le verifiche in campo elastico vengono effettuate in modo che in nessun punto della sezione venga superato il valore della resistenza di calcolo.

La formula utilizzata è:

$$\sigma_{id} \leq f_d$$

Dove: $f_d = f_y / \gamma_m$

$$\sigma_{id}(x,y) = \sqrt{(\sigma(x,y) + 3 \cdot \tau^2(x,y))}$$

Dove:

f_d : valore della tensione di progetto;

f_y : valore di snervamento dell'acciaio;

γ_m : coefficiente di riduzione che dipende dalla normativa di riferimento;

$\sigma_{id}(x,y)$: tensione ideale nel punto di coordinate x ed y della sezione;

$\tau(x,y)$: tensione tangenziale nel punto di coordinate x ed y della sezione;

$\sigma(x,y)$: tensione normale nel punto di coordinate x ed y della sezione;

inoltre,

$$\sigma(x,y) = N / A + ((M_x \cdot J_y + M_y \cdot J_{xy}) / (J_x J_y - J_{xy}^2)) \cdot y - ((M_y \cdot J_x + M_x \cdot J_{xy}) / (J_x J_y - J_{xy}^2)) \cdot x$$

$$\tau(x,y) = V / A_T$$

Dove, rispetto al sistema di riferimento baricentrico utilizzato:

x, y: ascissa e ordinata di un punto generico della sezione;

N, M_x, M_y: azioni esterne capaci di generare tensioni normali sulla sezione;

V: azione esterna capace di generare tensioni tangenziali sulla sezione;

J_x, J_y, J_{xy}: momenti d'inerzia della sezione;

A_T: area resistente al taglio della sezione;

- VERIFICHE DI STABILITA' GLOBALE

Le verifiche di stabilità delle aste vengono effettuate nell'ipotesi che la sezione trasversale sia uniformemente compressa. Deve essere sempre:

$$N_{Ed} / N_{b,Rd} \leq 1$$

dove:

N_{Ed} : è l'azione di compressione di calcolo;

N_{b,Rd} : è la resistenza all'instabilità nell'asta compressa data da:

$$N_{b,Rd} = \chi \cdot A \cdot f_y / \gamma_{M1} \quad \text{per sezioni di classe 1, 2 e 3}$$

$$N_{b,Rd} = \chi \cdot A_{eff} \cdot f_y / \gamma_{M1} \quad \text{per sezioni di classe 4}$$

χ: coefficienti dipendenti dal tipo di sezione e dal tipo di acciaio impiegato, desunti in funzione di appropriati valori della snellezza adimensionalizzata dalla seguente formula:

$$\chi = 1 / \phi + \sqrt{(\phi^2 - \lambda_a^2)} \leq 1$$

dove:

$$\phi = 0.5 \cdot [1 + \alpha \cdot (\lambda - 0.2)_a + \lambda_a^2]$$

α : fattore di imperfezione opportunamente tabellato;

Inoltre:

$$\lambda_a = \sqrt{A} \cdot f_y / N_{cr} \quad \text{per sezioni di classe 1, 2 e 3}$$

$$\lambda_a = \sqrt{A_{eff}} \cdot f_y / N_{cr} \quad \text{per sezioni di classe 4}$$

N_{cr} : carico critico elastico basato sulle proprietà della sezione lorda e sulla lunghezza di libera inflessione dell'asta, calcolato per la modalità di collasso per instabilità appropriata.

- VERIFICA DEGLI SPOSTAMENTI LATERALI

Ai sensi del punto 4.2.4.2.2 delle NTC vengono controllati gli spostamenti laterali alle sommità delle colonne per le combinazioni SLE. Gli spostamenti devono limitarsi ad una frazione dell'altezza della colonna e dell'altezza complessiva dell'edificio. Il valore limite deve essere valutato sulla base degli effetti sugli elementi portati, della qualità del confort richiesto alla costruzione e delle eventuali implicazioni di una eccessiva deformabilità sul valore dei carichi agenti.

- CONTROLLO DEL CONTENIMENTO DEL DANNO NEGLI ELEMENTI NON STRUTTURALI.

Ai sensi del punto 7.3.7.2 delle NTC viene verificato che l'azione sismica di progetto non produca agli elementi costruttivi senza funzione strutturale danni tali da rendere la costruzione temporaneamente inagibile. Per gli edifici in classe I e II, questa verifica si ritiene soddisfatta se gli spostamenti d'interpiano calcolati allo SLD sono inferiori al valore limite, funzione del tipo di elementi non strutturali presenti. Per edifici in classe d'uso III e IV il controllo viene effettuato agli SLO.

Compatibilità tra fattore di comportamento e classificazione delle sezioni in acciaio

Ai sensi del punto 7.5.3.1 e della tabella 7.5.III delle NTC il valore della classe delle sezioni delle aste che dissipano energia deve essere compatibile con la classe di duttilità e con il fattore di comportamento utilizzato.

- VERIFICHE INSTABILITA' FLESSO-TORSIONALE.

Nell'esecuzione di tali verifiche si è fatto uso del punto 4.2.4.1.3.2 delle NTC.

Una trave con sezione ad I o H soggetta a flessione nel piano dell'anima, con la piattabanda compressa non sufficientemente vincolata lateralmente, deve essere verificata nei riguardi dell'instabilità flesso torsionale secondo la formula:

$$M_{Ed} / M_{b,Rd} \leq 1$$

dove:

M_{Ed} : massimo momento flettente di calcolo

$M_{b,Rd}$: momento resistente di progetto per l'instabilità.

Il momento resistente di progetto per i fenomeni di instabilità di una trave lateralmente non vincolata può essere assunto pari a

$$M_{b,Rd} = \chi_{LT} \cdot W_y \cdot f_{yk} / \gamma_{M1}$$

dove:

W_y : modulo resistente della sezione:

- per le sezioni di classe 1 e 2 è pari al modulo plastico : $W_y = W_{pl,y}$

- per le sezioni di classe 3 è pari al modulo elastico : $W_y = W_{el,y}$

- per le sezioni di classe 4 è pari al modulo efficace : $W_y = W_{eff,y}$

χ_{LT} : fattore di riduzione per l'instabilità flesso-torsionale, dipendente dal tipo di profilo impiegato; può essere determinato per profili laminati o composti saldati dalla formula:

$$\chi_{LT} = \frac{1}{f} \cdot \frac{1}{\Phi_{LT} + \sqrt{\Phi_{LT}^2 - \beta \cdot \bar{\lambda}_{LT}^2}} \leq \begin{cases} 1,0 \\ \frac{1}{\bar{\lambda}_{LT}^2} \cdot \frac{1}{f} \end{cases}$$

dove:

$$\Phi_{LT} = 0.5 \left[1 + \alpha_{LT} (\bar{\lambda}_{LT} - \bar{\lambda}_{LT,0}) + \beta \cdot \bar{\lambda}_{LT}^2 \right].$$

Il coefficiente di snellezza adimensionale è dato dalla formula:

$$\bar{\lambda}_{LT} = \sqrt{\frac{W_y \cdot f_{yk}}{M_{cr}}}$$

M_{cr} : momento critico elastico di instabilità torsionale, calcolato considerando la sezione lorda del profilo e i ritegni torsionali nell'ipotesi di diagramma di momento flettente uniforme.

α_{LT} è il fattore di imperfezione ottenuto dalle indicazioni riportate nella Tab. 4.2.VII.

$\bar{\lambda}_{LT,0}$ è stato assunto pari a 0.4. β è stato assunto pari ad 0.75.

Il fattore f considera la reale distribuzione del momento flettente tra i ritegni torsionali dell'elemento inflesso ed è definito dalla formula:

$$f = 1 - 0,5(1 - k_c) \left[1 - 2,0(\bar{\lambda}_{LT} - 0,8)^2 \right],$$

k_c assume i valori riportati in Tab. 4.2.VIII.

Tabella 4.2.VII. Definizione delle curve d'instabilità per le varie tipologie di sezione e per gli elementi inflessi.

Sezione trasversale	Limiti	Curva di instabilità da Tab. 4.2.VI
Sezione laminata ad I	$h/b \leq 2$	b
	$h/b > 2$	c
Sezione composta saldata	$h/b \leq 2$	c
	$h/b > 2$	d
Altre sezioni trasversali		d

- VERIFICHE INSTABILITA' PRESSO-FLESSIONALE.

Nell'esecuzione di tali verifiche si è fatto uso del punto 4.2.4.1.3.3 delle NTC. Tale paragrafo indica che per elementi strutturali oggetti a compressione e flessione, occorre studiare i relativi fenomeni di instabilità facendo riferimento a normative di comprovata validità.

In tal senso si è optato per la norma UNI EN 1993-1-1:2005 la quale al punto 6.3.3 ed all'annesso B indica le procedure da adottare per effettuare le verifiche in questione.

- GERARCHIA DELLE RESISTENZE.

Ai sensi del punto 7.5.4.3 delle NTC, per assicurare lo sviluppo del meccanismo globale dissipativo è stata rispettata la gerarchia delle resistenze tra la trave e la colonna. Inoltre sono state rispettate tutte le regole di dettaglio previste nelle NTC, e per ogni nodo colonna-trave è stata verificata la seguente condizione:

$$\sum M_{C,pl,Rd} \geq \gamma_{RD} \cdot \sum M_{b,pl,Rd}$$

dove:

$\gamma_{RD} = 1,3$ se struttura in classe CD"A" e 1.1 se struttura in classe CD"B";

$M_{C,pl,Rd}$: momento resistente della colonna calcolato per i livelli di sollecitazione assiale presenti nella colonna nelle combinazioni sismiche delle azioni;

$M_{b,pl,Rd}$: momento resistente delle travi che convergono nel nodo trave-colonna.

- EFFETTI DELLE IMPERFEZIONI.

Nell'analisi della struttura, in quella dei sistemi di controvento e nel calcolo delle membrature si è tenuto conto degli effetti delle imperfezioni geometriche e strutturali quali: mancanza di verticalità o di rettilineità, mancanza di accoppiamento e le inevitabili eccentricità minori presenti nei collegamenti reali.

A tal fine tali effetti sono stati inclusi implicitamente nel calcolo della resistenza degli elementi strutturali così come indicato al punto 4.2.3.5 delle NTC.

- STABILITÀ DEI PANNELLI D'ANIMA A TAGLIO.

I pannelli d'anima degli elementi strutturali, laminati oppure realizzati in soluzione composta saldata, devono essere verificati nei confronti dei fenomeni di instabilità dell'equilibrio allo stato limite ultimo (vedi C4.2.4.1.3.4.1 – Circolare esplicativa e UNI EN 1993-1-5:2007).

Ed essendo, inoltre:

$$\varepsilon = \sqrt{\frac{235}{f_y}} \quad \text{con } f_y \text{ in } \frac{N}{mm^2}$$

I pannelli non irrigiditi vanno verificati se:

$$\frac{h_w}{t} \geq \frac{72}{\eta} \cdot \varepsilon$$

Mentre i pannelli irrigiditi vanno verificati se:

$$\frac{h_w}{t} \geq \frac{31}{\eta} \cdot \varepsilon \cdot \sqrt{k_x}$$

Il contributo resistente delle ali (piattabande) si calcola tramite la formula seguente:

$$V_{bf,Ed} = \frac{b_f \cdot t_f^2 \cdot f_{yf}}{c \cdot \gamma_{M1}} \cdot \left[1 - \frac{M_{Ed}}{M_{f,Ed}} \right]$$

Il contributo resistente dell'anima si calcola, invece, tramite la formula seguente:

$$V_{bw,Ed} = \frac{\chi_w \cdot f_{yw} \cdot h_w \cdot t}{\sqrt{3} \cdot \gamma_{M1}}$$

h_w	Altezza del pannello
t	Spessore del pannello
a	Larghezza del pannello
V_{bw,rd}	Contributo resistente dell'anima
V_{bf,rd}	Contributo resistente delle ali (piattabande)
f_{yw}	Valore di snervamento dell'acciaio dei pannelli d'anima
b_{f,sup}	Larghezza dell'ala superiore
b_{f,inf}	Larghezza dell'ala inferiore
t_{f,sup}	Spessore dell'ala superiore
t_{f,inf}	Spessore dell'ala inferiore
h	Altezza totale della sezione (comprese le ali)

- Particolari prescrizioni per distribuzione irregolare di tamponamenti ed impianti

Nel caso di distribuzione fortemente irregolare in altezza di tamponamenti ed impianti, deve essere considerata la possibilità di forti concentrazioni di danno ai livelli caratterizzati da significativa riduzione del numero di tali elementi.

Questo requisito si intende soddisfatto incrementando le azioni di calcolo per gli elementi verticali (pilastri e pareti) dei livelli con riduzione dei tamponamenti come descritto nel paragrafo 7.2.3 delle N.T.C. I fattori di sovrarresistenza utilizzati nel presente calcolo sono:

Impalcato	Fatt. Sovr.
1	1.00

- Operazioni per il controllo della duttilità (DUT) richiesta dagli elementi in c.a

Nel caso di comportamento strutturale dissipativo il comportamento sismico della struttura è largamente dipendente dal comportamento delle sue zone dissipative, esse devono formarsi ove previsto e mantenere, in presenza di azioni cicliche, la capacità di trasmettere le necessarie sollecitazioni e di dissipare energia, garantendo la capacità in duttilità relativa alla classe di duttilità scelta.

I dettagli costruttivi delle zone dissipative e delle connessioni tra queste zone e le restanti parti della struttura, nonché dei diversi elementi strutturali tra loro, sono fondamentali per un corretto comportamento sismico e devono essere esaurientemente specificati negli elaborati di progetto.

Nel caso di analisi lineare la verifica di duttilità si può ritenere soddisfatta, rispettando per tutti gli elementi strutturali, sia primari sia secondari, le regole specifiche per i dettagli costruttivi precisate dalle norme per le diverse tipologie costruttive.

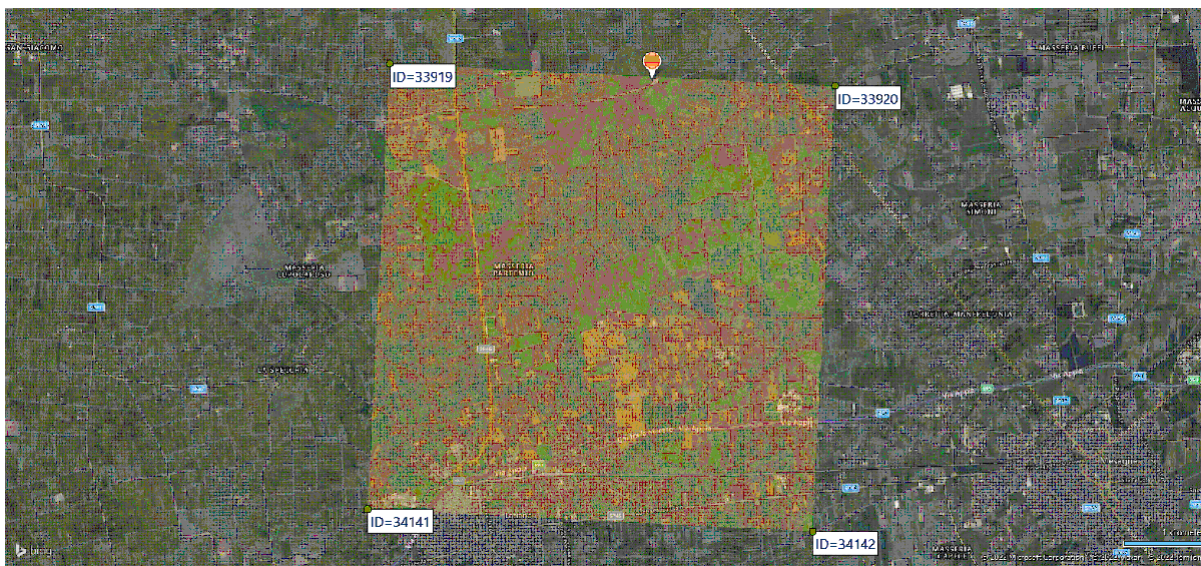
3 Dati

3.1 Dati Generali

Numero Impalcati : 1
 Numero delle tipologie di sezioni trasversali usate : 2
 Numero delle tipologie di solaio utilizzate : 0

Impalcato	Quota assoluta min [cm]	Quota assoluta max [cm]	Quota relativa min [cm]	Quota relativa max [cm]	Numero Colonne	Numero Travi
Fondazione	0.00	0.00	0.00	0.00	0	3
Piano 1	0.00	225.00	225.00	225.00	2	0

Coordinate (Datum WGS84) del sito : Latitudine = 40.6030° - Longitudine = 17.7433°
 Coordinate (Datum ED50) del sito : Latitudine = 40.6040° - Longitudine = 17.7441°



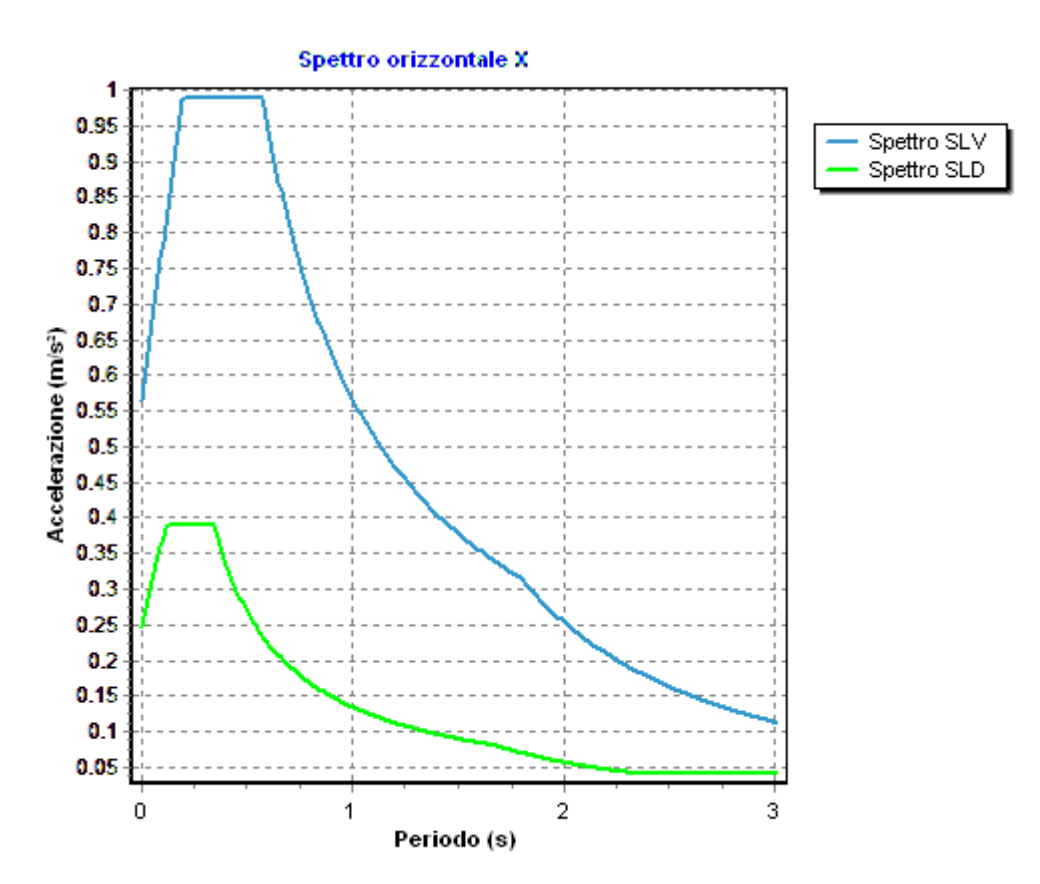
Identificativi e coordinate (Datum ED50) dei punti che includono il sito		
Numero punto	Latitudine [°]	Longitudine [°]
33919	40.6061	17.7053
33920	40.6036	17.7711
34141	40.5561	17.7020
34142	40.5537	17.7678

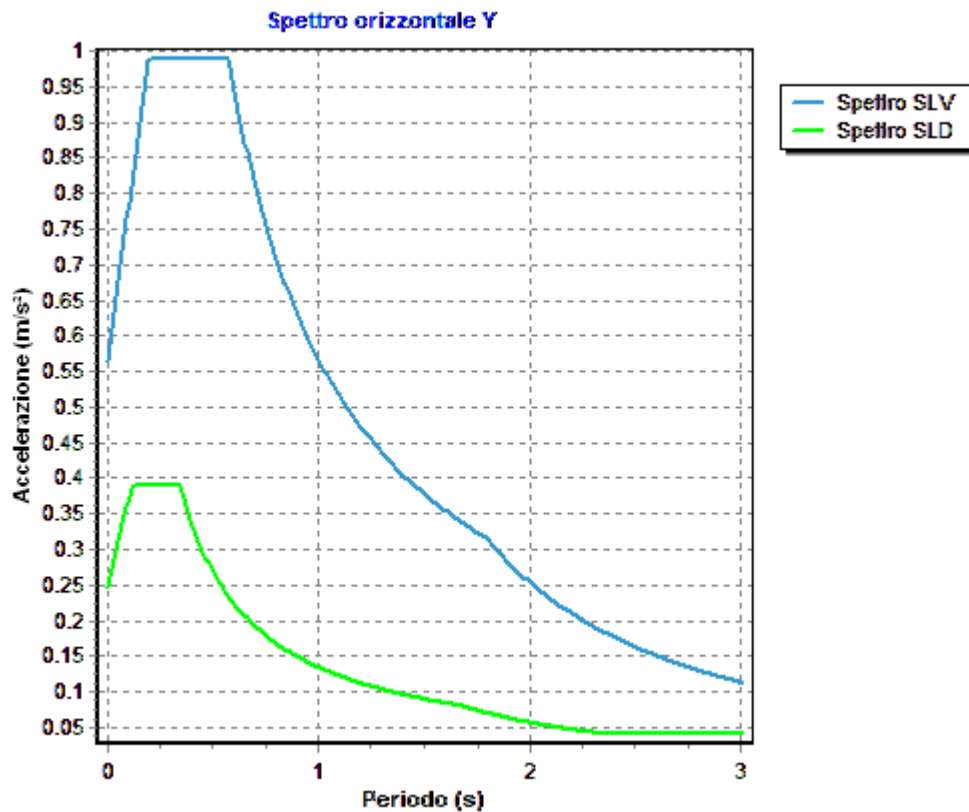
Zona sismica : SI
 Suolo di fondazione : B
 Vita nominale : 50
 Classe di duttilità: Non dissipativa
 Tipo di opera : Opere ordinarie
 Classe d'uso : II
 Vita di riferimento : 50
 Categoria topografica : T1
 Coefficiente smorzamento viscoso : 0.05

	Parametri dello spettro di risposta orizzontale			
	SLV	SLC	SLD	SLO
Tempo di ritorno	475	975	50	30
Accelerazione sismica	0.048	0.057	0.021	0.016
Coefficiente Fo	2.627	2.787	2.371	2.364
Periodo T _c *	0.443	0.468	0.233	0.159
Coefficiente S _s	1.20	1.20	1.20	1.20
Coefficiente di amplificazione topografica S _t	1.00	1.00	1.00	1.00

Prodotto $S_s \cdot S_t$	1.20	1.20	1.20	1.20
Periodo T_B	0.19	0.20	0.11	0.08
Periodo T_C	0.57	0.60	0.34	0.25
Periodo T_D	1.79	1.83	1.68	1.66
	x	y	x	y
Coefficiente η	0.667	0.667	1.000	1.000
	*	*	*	*

* η pari a 1 per gli spostamenti e 2/3 per le sollecitazioni.





- FATTORI DI COMPORTAMENTO -

Fattore di comportamento direzione x (qx) : 1.50
 Fattore di comportamento direzione y (qy) : 1.50
 Fattore di comportamento direzione z (qz) : 1.50

Modulo di Winkler traslazionale : 5.00 daN/cm³
 Modulo di Winkler tangenziale : 2.50 daN/cm³
 Delta Termico aste di elevazione : 0
 Delta Termico aste di fondazione : 0
 Modulo di omogeneizzazione (per SLE) : 15
 Classe di servizio per le strutture in legno : 2

Coeff. di riduzione per rigidità fessurata:

SLV-SLC

Pilastrini

Assiale da Carico Assiale
 Flessione da Carico Assiale
 Taglio da Carico Assiale

Travi

Assiale da Carico Assiale
 Flessione da Carico Assiale
 Taglio da Carico Assiale

Pareti

Nel Piano : 1.00
 Fuori Piano : 1.00

Platee

Nel Piano : 1.00
 Fuori Piano : 1.00

SLD-SLO

Pilastrini

Assiale da Carico Assiale

	Flessione	da Carico Assiale
	Taglio	da Carico Assiale
Travi	Assiale	da Carico Assiale
	Flessione	da Carico Assiale
	Taglio	da Carico Assiale
Pareti		
	Nel Piano	: 1.00
	Fuori Piano	: 1.00
Platee		
	Nel Piano	: 1.00
	Fuori Piano	: 1.00
Delta termico		
	Slv	: 0.50
	Sle	: 0.75
Copriferro Travi di Fondazione		: 4.00 cm

3.2 Elenco e Caratteristiche dei materiali.

Nell'ambito del progetto si è fatto uso dei seguenti materiali divisi per categoria di appartenenza:

b - Calcestruzzo

Nome	Classe	Rck [daN/cm ²]	v	ps [daN/m ³]	α [1/°C]	Ec [daN/cm ²]	FC	γ _{m,c}	Ect/Ec	fck [daN/cm ²]	fcm [daN/cm ²]	fed SLU [daN/cm ²]	ftd SLU [daN/cm ²]	fed SLD [daN/cm ²]	ftd SLD [daN/cm ²]	fctk,0.05 [daN/cm ²]	fctm [daN/cm ²]	ε _{c2} [%]	ε _{cu2} [%]
Cls1	C25/30	300	0.15	2500	1.0E-005	314758.1	-	1.50	0.50	250.0	-	141.7	12.0	212.5	18.0	18.0	25.6	2.00	3.50

c - Acciaio per C.A.

Nome	Tipo	γ _m	FC	Es [daN/cm ²]	fyk [daN/cm ²]	ftk [daN/cm ²]	fd SLU [daN/cm ²]	fd SLD [daN/cm ²]	fd SLE [daN/cm ²]	k	ε _{ud} [%]
Barrel	B450C	1.15	-	2100000.0	4500.0	5400.0	3913.0	4500.0	3913.0	1.00	10.00

d - Acciaio per carpenteria.

Nome	Norm.	Tipo	v	ps [daN/m ³]	α [1/°C]	E [daN/cm ²]	FC	γ _{M0}	γ _{M1}	γ _{M2}	fy [daN/cm ²]	fu [daN/cm ²]
Acciaio1	UNI EN 10025-2	S235	0.30	7850	1.2E-005	2100000.0	1.00	1.05	1.05	1.25	2350.0	3600.0

3.3 Elenco e caratteristiche delle colonne stratigrafiche.

Nell'ambito del progetto si è fatto uso delle seguenti colonne stratigrafiche:

Caratteristiche delle colonne stratigrafiche:

Colonna	: nome della colonna stratigrafica;
Filo	: filo fisso al quale appartiene la colonna stratigrafica;
Impalcato	: Impalcato al quale appartiene la colonna stratigrafica;
Falda	: Presenza della falda;
Prof. Falda	: Profondità della falda (se è presente);
Spicc. Fond.	: Quota dell'estradosso della fondazione rispetto al piano campagna;
No. Strati	: Numero degli strati della colonna stratigrafica.
RQD	: (Rock Quality Designation) grado di fratturazione dell'ammasso roccioso in [0-1]

Filo	Colonna	Impalcato	Falda	Prof. Falda [cm]	Spicc. Fond. [cm]	No. Strati	RQD
1	Colonna 1	Fondazione	Non Presente	-	0.00	1	-
2	Colonna 1	Fondazione	Non Presente	-	0.00	1	-
3	Colonna 1	Fondazione	Non Presente	-	0.00	1	-
4	Colonna 1	Fondazione	Non Presente	-	0.00	1	-

Caratteristiche degli strati appartenenti alle colonne stratigrafiche:

Colonna	: nome della colonna stratigrafica;
Strato	: nome dello strato appartenente la colonna stratigrafica;
Spess.	: Spessore dello strato;
Peso	: Peso dell'unità di volume dello strato;
Peso eff.	: Peso dell'unità di volume efficace dello strato;
NSPT	: Numero di colpi medio misurato nello strato;
Qc	: Resistenza alla punta media misurata nello strato;
ϕ	: Angolo di attrito del terreno;
C	: Coesione drenata del terreno;
Cu	: Coesione non drenata del terreno;
E	: Modulo elastico del terreno;
G	: Modulo di taglio del terreno;
ν_t	: Coefficiente di Poisson;
E_{ed}	: Modulo Edometrico;
OCR	: Grado di sovraconsolidazione del terreno.

Colonna	Strato	Spess. [cm]	Peso [daN/m ³]	Peso eff. [daN/m ³]	NSPT	Qc [daN/cm ²]	ϕ [°]	C [daN/cm ²]	Cu [daN/cm ²]	E [daN/cm ²]	G [daN/cm ²]	ν_t	E_{ed} [daN/cm ²]	OCR
Colonna 1	Calciari fratturati	350.0	1800.0	800.0	-	-	28.0	0.05	0.00	5090.00	1880.00	0.35	-	1.00

3.4 Elenco dei carichi.

3.4.1 Pesi propri unitari - G1.

Impalcato	Solai [daN/m ²]	Balconi [daN/m ²]	Scale [daN/m ²]
Fondazione	-	-	-
Piano 1	-	-	-

- Analisi dei Carichi -

3.4.2 Carichi Permanenti unitari - G2.

Impalcato	Solai [daN/m ²]	Balconi [daN/m ²]	Scale [daN/m ²]	Influenza Tramezzi [daN/m ²]	Tamponature [daN/m]
Fondazione	150	150	150	100	582
Piano 1	150	150	150	0	0

- Analisi dei Carichi -

Fondazione

Influenza Tramezzi

Il peso proprio degli elementi divisori interni viene ragguagliato ad un carico permanente portato uniformemente distribuito come definito dal punto 3.1.3.1 - Elementi divisori interni (D.M. 17/01/2018)

Piano 1

3.4.3 Carichi Variabili unitari - Q.

Le intensità assunte per i carichi variabili verticali ripartiti sono riportate nella seguente tabella:

Impalcato	Carichi d'esercizio [daN/m ²]		
	Solai	Balconi	Scale
Fondazione	200	400	400
Piano 1	200	400	400

3.4.4 Pesì Impalcati.

Ai fini della valutazione dei pesi "W" a livello dei vari impalcati, si tiene conto dei carichi di tipo G1 relativi agli elementi strutturali e dei carichi di tipo G2 relativi agli elementi non strutturali sommati ai sovraccarichi d'esercizio Q_k moltiplicati per una aliquota Ψ_{2i} (determinata dalla destinazione d'uso dell'opera ai vari piani)

$$W_i = G1_i + G2_i + \Psi_{2i} \cdot Q_{ki}$$

Dove il pedice "i" è il piano i-esimo della struttura.

Impalcato	Destinazione	Ψ _{2i}
Fondazione	Categoria G: Rimesse e parcheggi (per autoveicoli di peso > 30kN)	0.3
Piano 1	Categoria G: Rimesse e parcheggi (per autoveicoli di peso > 30kN)	0.3

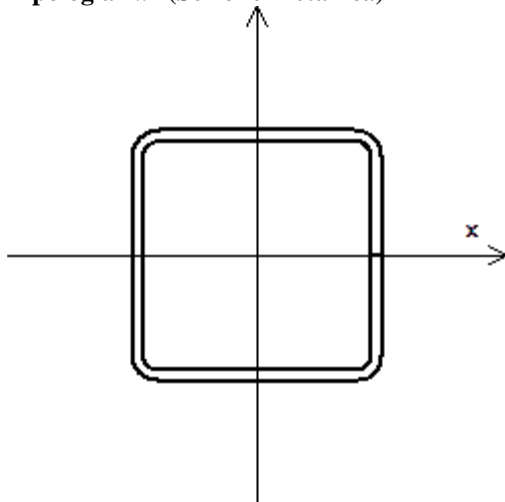
Per balconi e scale verranno usati i coefficienti calcolati come i maggiori tra quelli relativi alla categoria di carico di piano ed i seguenti:

Cat.	Destinazione	Ψ _{2i}
C2	Balconi, ballatoi e scale	0.6

Imp. Reale	G1 [daN]	G2 [daN]	Ψ ₂ · Q _k [daN]	W (SLV-SLD) [daN]
0	3530.29	693.75	166.50	4390.54
1	61.54	0.00	0.00	61.54

3.5 Elenco e Caratteristiche delle sezioni trasversali.

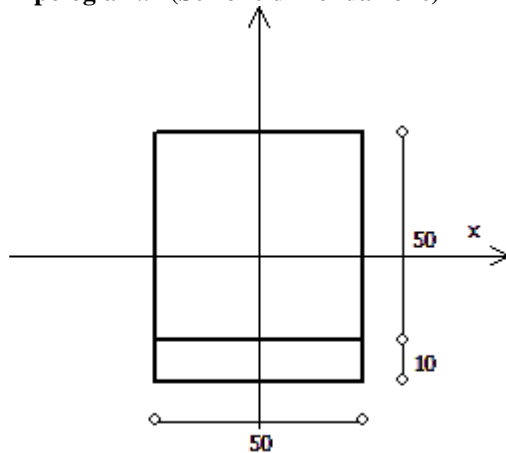
Tipologia N.1 (Sezione Metallica)



Nome	= Q150x63
A	= 35 cm ²
J _x	= 1173.45 cm ⁴
J _y	= 1173.45 cm ⁴
J _{xy}	= 0.00 cm ⁴
J _t	= 1869.44 cm ⁴

Materiale = Acciaio1
 Peso = 27.35 daN/ml

Tipologia N.2 (Sezione di Fondazione)



A = 2500 cm²
 Jx = 520833 cm⁴
 Jy = 520833 cm⁴
 Jt = 777083 cm⁴
 Materiale = Cls1
 Peso = 625 daN/ml

3.6 Geometria Struttura.

3.6.1 Fili Fissi.

Numero : numerazione del filo fisso.
 Ascissa : coordinata X del filo fisso.
 Ordinata : coordinata Y del filo fisso.
 Angolo : angolo del filo fisso (in gradi);
 Tipo : tipo del filo fisso.

Numero	Ascissa [cm]	Ordinata [cm]	Quota [cm]	Angolo [°]	Tipo
1	0.00	0.00	0.00	0.00	4
2	33.00	0.00	0.00	0.00	5
3	522.00	0.00	0.00	0.00	5
4	555.00	0.00	0.00	0.00	6

3.6.2 Caratteristiche dei nodi.

I dati seguenti riportano tutte le caratteristiche relative ai nodi che definiscono la struttura ed in modo particolare:

Nodo : numerazione interna del nodo.
 Coordinate : coordinate del nodo secondo il sistema di riferimento globale cartesiano.
 Imp. : impalcato di appartenenza del nodo.
 Slave : nodo dipendente da un nodo MASTER definito nella tabella specifica;
 Vincoli : eventuali vincoli esterni del nodo in ognuna delle 6 direzioni:
 x : direzione X rispetto al sistema di riferimento globale;
 y : direzione Y rispetto al sistema di riferimento globale;
 z : direzione Z rispetto al sistema di riferimento globale;

Relazione di calcolo -

Rx : rotazione attorno all'asse X del sistema di riferimento globale;
 Ry : rotazione attorno all'asse Y del sistema di riferimento globale;
 Rz : rotazione attorno all'asse Z del sistema di riferimento globale;

Inoltre:

np : non presenza di vincoli;
 p : valore infinito della rigidità;
 Kt : valore finito delle rigidità traslazionali da leggere nella tabella specifica;
 Kr : valore finito delle rigidità rotazionali da leggere nella tabella specifica;

Masse Nodali:

M : valore della massa traslazionale
 MIx : valore del momento d'inerzia della massa attorno all'asse X
 MIy : valore del momento d'inerzia della massa attorno all'asse Y
 MIz : valore del momento d'inerzia della massa attorno all'asse Z

Nodo	Coordinate [cm]			Impalcato	Slave	Vincoli						Masse Nodali			
	x	y	z			x	y	z	Rx	Ry	Rz	M [daNm]	MIx [daNm*cm ²]	MIy [daNm*cm ²]	MIz [daNm*cm ²]
1	0.0	0.0	0.0	Fondazione	-	np	np	np	np	np	np	0.00	0.00	0.00	0.00
2	33.0	0.0	0.0	Fondazione	-	p	p	p	p	p	p	0.00	0.00	0.00	0.00
3	522.0	0.0	0.0	Fondazione	-	p	p	p	p	p	p	0.00	0.00	0.00	0.00
4	555.0	0.0	0.0	Fondazione	-	np	np	np	np	np	np	0.00	0.00	0.00	0.00
5	33.0	0.0	225.0	Piano 1	M1	np	np	np	np	np	np	0.00	0.00	0.00	0.00
6	522.0	0.0	225.0	Piano 1	M1	np	np	np	np	np	np	0.00	0.00	0.00	0.00

Tabella dei Nodi Master:

Nodo	Tipo Nodo	Coordinate [cm]		
		x	y	z
M1	Impalcato Rigido	277.50	0.00	225.00

3.6.3 Caratteristiche delle aste.

La tabella seguente riporta tutte le caratteristiche relative alle aste della struttura ed in modo particolare la colonna:

Asta : numerazione dell'asta
 Fili : fili fissi ai quali appartiene l'asta
 NI : nodo iniziale dell'asta
 NF : nodo finale dell'asta
 Tipo : funzione dell'asta
 Sez : sezione trasversale associata all'asta
 L : lunghezza teorica (nodo-nodo) dell'asta
 Imp. : impalcato di appartenenza dell'asta
 KwN : modulo di Winkler normale;
 KwT : modulo di Winkler tangenziale;

Asta	Fili	NI	NF	Tipo	Sez	L [cm]	Imp.	Kwn [daN/e m ²]	Kwt [daN/e m ²]	Vincoli interni												
										Estremo In.						Estremo Fin.						
										SpoX	SpoY	SpoZ	RotX	RotY	RotZ	SpoX	SpoY	SpoZ	RotX	RotY	RotZ	
1	1, 2	1	2	Trave Fond.	2	33.00	Fondazione	5.00	2.50	1.00	1.00	1.00	1.00	1.00	1.00	1.00	1.00	1.00	1.00	1.00	1.00	1.00
2	2, 3	2	3	Trave Fond.	2	489.00	Fondazione	5.00	2.50	1.00	1.00	1.00	1.00	1.00	1.00	1.00	1.00	1.00	1.00	1.00	1.00	1.00
3	3, 4	3	4	Trave Fond.	2	33.00	Fondazione	5.00	2.50	1.00	1.00	1.00	1.00	1.00	1.00	1.00	1.00	1.00	1.00	1.00	1.00	1.00
4	2	5	2	Pilastro	1	225.00	Piano 1	-	-	1.00	1.00	1.00	1.00	1.00	1.00	1.00	1.00	1.00	1.00	1.00	1.00	1.00
5	3	6	3	Pilastro	1	225.00	Piano 1	-	-	1.00	1.00	1.00	1.00	1.00	1.00	1.00	1.00	1.00	1.00	1.00	1.00	1.00

3.6.4 Carichi distribuiti sugli elementi.

Carichi Globali Aste

- Asta : numero dell'asta come da paragrafo "Caratteristiche delle aste";
 Imp. : impalcato al quale appartiene l'asta;
 Fili : fili fissi ai quali appartiene l'asta;
 C.C. : condizione di carico come da paragrafo "Condizioni di carico valutate";
 DGlob : direzione dei carichi secondo il sistema di riferimento globale dell'asta;
 in : valore del carico distribuito relativo al nodo iniziale come da paragrafo "Caratteristiche delle aste";
 fin : valore del carico distribuito relativo al nodo finale come da paragrafo "Caratteristiche delle aste".

Asta	Imp.	Fili	C.C.	DGlob X [daN/m]		DGlob Y [daN/m]		DGlob Z [daN/m]	
				in.	fin.	in.	fin.	in.	fin.
1	Fondazione	1, 2	Car. Perm. G1	0.00	0.00	0.00	0.00	-625.00	-625.00
			Car. Perm. G2	0.00	0.00	0.00	0.00	-125.00	-125.00
			Car. Eserc.	0.00	0.00	0.00	0.00	-100.00	-100.00
2	Fondazione	2, 3	Car. Perm. G1	0.00	0.00	0.00	0.00	-625.00	-625.00
			Car. Perm. G2	0.00	0.00	0.00	0.00	-125.00	-125.00
			Car. Eserc.	0.00	0.00	0.00	0.00	-100.00	-100.00
3	Fondazione	3, 4	Car. Perm. G1	0.00	0.00	0.00	0.00	-625.00	-625.00
			Car. Perm. G2	0.00	0.00	0.00	0.00	-125.00	-125.00
			Car. Eserc.	0.00	0.00	0.00	0.00	-100.00	-100.00
4	Piano 1	2	Car. Perm. G1	0.00	0.00	0.00	0.00	-27.35	-27.35
5	Piano 1	3	Car. Perm. G1	0.00	0.00	0.00	0.00	-27.35	-27.35

3.6.5 Carichi concentrati sui nodi.

- Nodo : numero del nodo come da 3.5.1
 C.C. : condizione di carico come da 2.3
 Fx : eventuale azione esterna sul nodo in direzione X rispetto al sistema di riferimento globale
 Fy : eventuale azione esterna sul nodo in direzione Y rispetto al sistema di riferimento globale
 Fz : eventuale azione esterna sul nodo in direzione Z rispetto al sistema di riferimento globale
 Mx : eventuale momento applicato sul nodo attorno all'asse X del sistema di riferimento globale
 My : eventuale momento applicato sul nodo attorno all'asse Y del sistema di riferimento globale
 Mz : eventuale momento applicato sul nodo attorno all'asse Z del sistema di riferimento globale

Nodo	C.C.	Fx [daN]	Fy [daN]	Fz [daN]	Mx [daNm]	My [daNm]	Mz [daNm]
5	Utente 1	0.00	0.00	-450.00	0.00	630.00	0.00
6	Utente 1	0.00	0.00	-450.00	0.00	-630.00	0.00

4 Risultati di Calcolo.

4.1 Tensioni sul Terreno.

I dati seguenti riportano i valori delle tensioni esercitate dalla fondazione sul terreno.

- Asta/Piastra : numerazione interna dell'asta/piastra.
 X : distanza dal nodo iniziale misurata lungo l'asse dell'asta/piastra.
 Comb : combinazione di appartenenza del valore considerato nell'involuppo.
 Tensioni (σ_T) : valore della tensione dovuta alla pressione dell'asta/piastra di fondazione:

Tabella 1.I

Tensioni Terreno

				SLV	SLD	SLE		
Asta	Imp.	Fili	X [cm]	A1 σ_t [daN/cm ²]	A1 σ_t [daN/cm ²]	Caratt. σ_t [daN/cm ²]	Freq. σ_t [daN/cm ²]	Q. Perm. σ_t [daN/cm ²]
1	Fondazione	1-2	0.00	0.00(6)	0.00(6)	0.00(3)	0.00(3)	0.00(1)
			16.50	0.00(6)	0.00(6)	0.00(3)	0.00(3)	0.00(1)
			33.00	0.00(6)	0.00(6)	0.00(3)	0.00(3)	0.00(1)
2	Fondazione	2-3	0.00	0.00(0)	0.00(0)	0.00(0)	0.00(0)	0.00(0)
			244.50	0.04(0) *	0.03(0) *	0.03(0) *	0.03(0) *	0.03(0) *
			489.00	0.00(0)	0.00(0)	0.00(0)	0.00(0)	0.00(0)
3	Fondazione	3-4	0.00	0.00(1)	0.00(1)	0.00(1)	0.00(1)	0.00(1)
			16.50	0.00(1)	0.00(1)	0.00(1)	0.00(1)	0.00(1)
			33.00	0.00(1)	0.00(1)	0.00(1)	0.00(1)	0.00(1)

* valore massimo.

4.2 Verifica Aste.

4.2.1 Verifiche Travi di Fondazione in C.A. .

Qui di seguito vengono riportate le tabelle riportanti i risultati delle verifiche relative alle travi di fondazione della struttura.

4.2.1.1 Verifiche SLV - Flessione Composta

- Camp : campata alla quale appartengono le aste riportate;
 Asta : numerazione interna dell'asta;
 Imp. : impalcato al quale appartiene l'asta considerata;
 Fili : fili fissi ai quali appartiene l'asta considerata;
 Tipo Sez. : tipo di sezione dell'asta considerata;
 ϵ_{c2} : deformazione di contrazione del calcestruzzo al raggiungimento della massima tensione;
 ϵ_{cu2} : deformazione ultima di contrazione del calcestruzzo;
 X : distanza dal nodo iniziale misurata lungo l'asse dell'asta
 Cop : distanza tra la superficie esterna dell'armatura più prossima alla superficie del calcestruzzo e la superficie stessa del calcestruzzo;
 A_{sup} : valore dell'area di armatura presente all'estradosso;
 A_{inf} : valore dell'area di armatura presente all'intradosso;
 A_{fl} : valore dell'area di armatura presente nella sezione;

Azioni Sollecitanti:

- N_{Sd} : Sforzo Normale Sollecitante;
 M_{SdXZ} : valore del Momento Flettente X-Z sollecitante di calcolo;
 M_{SdXY} : valore del Momento Flettente X-Y sollecitante di calcolo;

- ϵ_{ClS} : deformazione massima del calcestruzzo compresso
 ϵ_{acc} : deformazione massima dell'armatura tesa

Azioni Resistenti:

- N_{Rd} : Sforzo Normale Resistente;
 M_{RdXZ} : valore del Momento Flettente X-Z resistente di calcolo;
 M_{RdXY} : valore del Momento Flettente X-Y resistente di calcolo;

- C : campo di rottura
 S : valore del coefficiente di sicurezza minimo della sezione;
 Esito : Esito della verifica : V = VERIFICATA;
 : NV = NON VERIFICATA;

Tabella 2.I

											Azioni Sollecitanti			Azioni Resistenti								
Camp	Asta	Imp.	Fili	Tipo Sez.	ϵ_{c2} [%]	ϵ_{cu2} [%]	X [cm]	Cop [cm]	A_{sup} [cm ²]	A_{inf} [cm ²]	A_{fl} [cm ²]	N_{sd} [daN]	M_{sdXZ} [daNm]	M_{sdXY} [daNm]	ϵ_{cls} [%]	ϵ_{acc} [%]	N_{rd} [daN]	M_{rdXZ} [daNm]	M_{rdXY} [daNm]	C	S	Esito

1	1	Fondazione	1-2	2	2.00	3.50	0	4.0	6.16	6.16	13.89	0	0	-	-	-	-	-	-	-	-	V
					2.00	3.50	22	4.0	6.16	6.16	13.89	0	-29	-	0.59	1.86	0	-9767	-	2	341.27	V
					2.00	3.50	33	4.0	6.16	6.16	13.89	0	-37	-	0.59	1.86	0	-9767	-	2	261.29	V
2	2	Fondazione	2-3	2	2.00	3.50	0	4.0	6.16	6.16	13.89	0	-1802	-	0.59	1.86	0	-9767	-	2	5.42	V
					2.00	3.50	237	4.0	6.16	6.16	13.89	0	962	-	0.59	1.86	0	9767	-	2	10.15	V
					2.00	3.50	489	4.0	6.16	6.16	13.89	0	-1802	-	0.59	1.86	0	-9767	-	2	5.42	V
3	3	Fondazione	3-4	2	2.00	3.50	0	4.0	6.16	6.16	13.89	0	-37	-	0.59	1.86	0	-9767	-	2	261.29	V
					2.00	3.50	3	4.0	6.16	6.16	13.89	0	-29	-	0.59	1.86	0	-9767	-	2	341.27	V
					2.00	3.50	33	4.0	6.16	6.16	13.89	0	0	-	-	-	-	-	-	-	-	V

4.2.1.2 Verifiche SLV - Taglio

- Camp. : campata alla quale appartengono le aste riportate;
 Asta : numerazione interna dell'asta;
 Imp. : impalcato al quale appartiene l'asta considerata;
 Fili : fili fissi ai quali appartiene l'asta considerata;
 Tipo Sez. : tipo di sezione dell'asta considerata;
 Cop. : distanza tra la superficie esterna dell'armatura più prossima alla superficie del calcestruzzo e la superficie stessa del calcestruzzo;
 Blocco : Ini : tratto (iniziale) nel quale le staffe vengono mantenute costanti;
 Med : tratto (mediano) nel quale le staffe vengono mantenute costanti;
 Fin : tratto (finale) nel quale le staffe vengono mantenute costanti;
 cot(θ) : cotangente dell'angolo θ ;
 A_{Sag} : area del singolo sagomato;

Tagli Sollecitanti:

- V_{SdXZ} : valore del Taglio X-Z sollecitante di calcolo;
 V_{SdXY} : valore del Taglio X-Y sollecitante di calcolo;
 Valore massimo del taglio calcolato analizzando la struttura con lo spettro elastico.

Tagli Resistenti:

- V_{RdXZ} : valore del Taglio X-Z resistente di calcolo;
 V_{RdXY} : valore del Taglio X-Y resistente di calcolo;

- ϕ : diametro della staffa;
 N_{br} : numero di bracci di cui è composta la staffa;
 D_{Staffe} : interasse tra le staffe;
 L_{TR} : lunghezza dei tratti per cui si ha D_{staffe};
 S_{XY} : coefficiente di sicurezza relativo a V_{SdXY}
 S_{XZ} : coefficiente di sicurezza relativo a V_{SdXZ}
 Esito : Esito della verifica : V = VERIFICATA;
 : NV = NON VERIFICATA;
 : NV_min = Minimi di normativa non rispettati;

Tabella 3.I

Camp.	Asta	Imp.	Fili	Tipo Sez.	Cop. [cm]	Blocco	cot(θ)	A _{Sag} [cm ²]	Tagli Sollecitanti		Tagli Resistenti		ϕ [mm]	N _{br}	D _{Staffe} [cm]	L _{tr} [cm]	S _{XY}	S _{XZ}	Esito
									V _{SdXY} [daN]	V _{SdXZ} [daN]	V _{Rdxy} [daN]	V _{RdXZ} [daN]							
1	1	Fondazione	1-2	2	4.0	Ini	2.5	0.00	0	293	-	30298	8	2	13	26	-	103.33	V
2	2	Fondazione	2-3	2	4.0	Ini	2.5	0.00	0	2435	-	30298	8	2	13	474	-	12.44	V
3	3	Fondazione	3-4	2	4.0	Ini	2.5	0.00	0	293	-	30298	8	2	13	25	-	103.33	V

4.2.1.3 Verifiche SLE - Stato Tensionale.

- Camp : campata alla quale appartengono le aste riportate;
 Asta : numerazione interna dell'asta;
 Imp. : impalcato al quale appartiene l'asta considerata;
 Fili : fili fissi ai quali appartiene l'asta considerata;

Relazione di calcolo -

Tipo Sez. : tipo di sezione dell'asta considerata;
 Cop : distanza tra la superficie esterna dell'armatura più prossima alla superficie del calcestruzzo e la superficie stessa del calcestruzzo;
 Comb : tipo di combinazione a cui la verifica è riferita;
 X : distanza dal nodo iniziale misurata lungo l'asse dell'asta;

Azioni Sollecitanti:

N_{sd} : Sforzo Normale Sollecitante;
 M_{sdXZ} : valore del Momento Flettente X-Z sollecitante di calcolo;
 M_{sdXY} : valore del Momento Flettente X-Y sollecitante di calcolo;

Tensioni:

σ_c : tensioni d'esercizio del calcestruzzo;
 σ_s : tensioni d'esercizio dell'acciaio;

Tensioni Limite:

$\sigma_{c,lim}$: Tensioni limite del calcestruzzo;
 $\sigma_{s,lim}$: Tensioni limite dell'acciaio;

S : valore del coefficiente di sicurezza minimo della sezione;

Esito : Esito della verifica : V = VERIFICATA;
 : NV = NON VERIFICATA;

Tabella 4.I

Camp	Asta	Imp.	Fili	Tipo Sez.	Cop [cm]	Comb	X [cm]	Azioni Sollecitanti			Tensioni		Tensioni Limite		S	Esito	
								N_{sd} [daN]	M_{sdXZ} [daNm]	M_{sdXY} [daNm]	σ_c [daN/cm ²]	σ_s [daN/cm ²]	$\sigma_{c,lim}$ [daN/cm ²]	$\sigma_{s,lim}$ [daN/cm ²]			
1	1	Fondazione	1-2	2	4.0	Caratt.	0	0	0	-	0.00	0.00	150.00	3600.00	-	V	
							22	0	-21	-	0.17	-8.43	150.00	3600.00	426.84	V	
							33	0	-28	-	0.22	-11.01	150.00	3600.00	326.89	V	
							Q.Perm	0	0	0	-	0.00	0.00	112.50	3600.00	-	V
							22	0	-19	-	0.16	-7.74	112.50	3600.00	465.32	V	
							33	0	-25	-	0.21	-10.11	112.50	3600.00	356.15	V	
2	2	Fondazione	2-3	2	4.0	Caratt.	0	0	-1332	-	10.78	-530.77	150.00	3600.00	6.78	V	
							237	0	711	-	5.76	-283.48	150.00	3600.00	12.70	V	
							489	0	-1332	-	10.78	-530.77	150.00	3600.00	6.78	V	
							Q.Perm	0	0	-1222	-	9.89	-487.06	112.50	3600.00	7.39	V
							237	0	653	-	5.28	-260.13	112.50	3600.00	13.84	V	
							489	0	-1222	-	9.89	-487.06	112.50	3600.00	7.39	V	
3	3	Fondazione	3-4	2	4.0	Caratt.	0	0	-28	-	0.22	-11.01	150.00	3600.00	326.89	V	
							3	0	-21	-	0.17	-8.43	150.00	3600.00	426.84	V	
							33	0	0	-	0.00	0.00	150.00	3600.00	-	V	
							Q.Perm	0	0	-25	-	0.21	-10.11	112.50	3600.00	356.15	V
							3	0	-19	-	0.16	-7.74	112.50	3600.00	465.32	V	
							33	0	0	-	0.00	0.00	112.50	3600.00	-	V	

4.2.1.4 Verifiche SLE - Fessurazione.

Camp : campata alla quale appartengono le aste riportate;
 Asta : numerazione interna dell'asta;
 Imp. : impalcato al quale appartiene l'asta considerata;
 Fili : fili fissi ai quali appartiene l'asta considerata;
 Tipo Sez. : tipo di sezione dell'asta considerata;
 Cop : distanza tra la superficie esterna dell'armatura più prossima alla superficie del calcestruzzo e la superficie stessa del calcestruzzo;
 Comb : tipo di combinazione a cui la verifica è riferita;
 X : distanza dal nodo iniziale misurata lungo l'asse dell'asta;

Sollecitazione : M_{XZ} : valore del Momento Flettente X-Z sollecitante di calcolo;
 Fessura di calcolo: W_k : valore dell'apertura della fessura calcolata;
 Fessura max : $W_{k,max}$: valore della massima apertura ammissibile delle fessure;

Esito : Esito della verifica : V = VERIFICATA;

: NV = NON VERIFICATA;

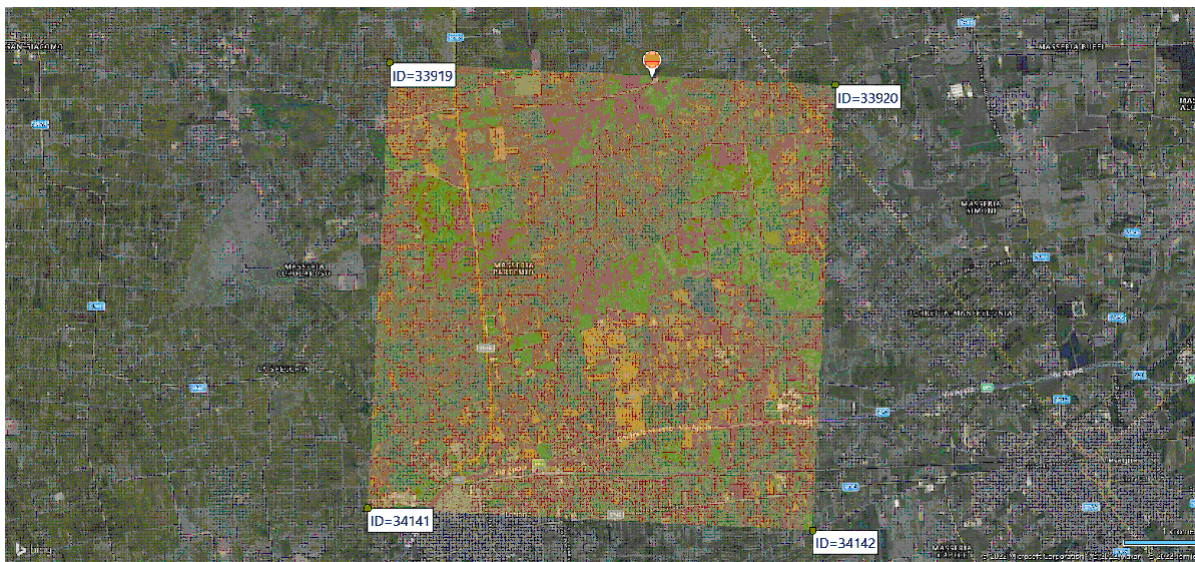
Tabella 5.I

Camp	Asta	Imp.	Fili	Tipo Sez.	Cop [cm]	Comb	33 X [cm]	Soll. M _{xz} [daNm]	Fess. di calc. W _k [mm]	Fessura max W _{k,max} [mm]	S	Esito	
1	1	Fondazione	1-2	2	4.0	Freq	0	0	0.00	0.40	-	V	
							22	-20	0.00	0.40	-	V	
							33	-26	0.00	0.40	-	V	
							Q.Perm	0	0	0.00	0.30	-	V
							22	-19	0.00	0.30	-	V	
2	2	Fondazione	2-3	2	4.0	Freq	0	-1253	0.00	0.40	-	V	
							237	669	0.00	0.40	-	V	
							489	-1253	0.00	0.40	-	V	
							Q.Perm	0	-1222	0.00	0.30	-	V
							237	653	0.00	0.30	-	V	
3	3	Fondazione	3-4	2	4.0	Freq	0	-26	0.00	0.40	-	V	
							3	-20	0.00	0.40	-	V	
							33	0	0.00	0.40	-	V	
							Q.Perm	0	-25	0.00	0.30	-	V
							3	-19	0.00	0.30	-	V	
						33	0	0.00	0.30	-	V		

5 ALLEGATI.

5.1 ALLEGATO A - (Pericolosità sismica di base)

Coordinate (Datum ED50) del sito : Latitudine = 40.6040° - Longitudine = 17.7441°



Identificativi e coordinate (Datum ED50) dei punti che includono il sito														
Punto	Lat. [°]	Long. [°]	SLV			SLC			SLD			SLO		
			Acc. sismica	Coeff. Fo	Periodo Tc*	Acc. sismica	Coeff. Fo	Periodo Tc*	Acc. sismica	Coeff. Fo	Periodo Tc*	Acc. sismica	Coeff. Fo	Periodo Tc*
33919	40.6061	17.7053	0.049	2.648	0.439	0.058	2.817	0.457	0.022	2.367	0.237	0.017	2.371	0.160
33920	40.6036	17.7711	0.048	2.605	0.443	0.057	2.767	0.463	0.021	2.381	0.228	0.016	2.363	0.158
34141	40.5561	17.7020	0.050	2.664	0.441	0.059	2.835	0.460	0.023	2.358	0.239	0.017	2.365	0.160
34142	40.5537	17.7678	0.049	2.610	0.447	0.058	2.741	0.507	0.022	2.365	0.231	0.016	2.353	0.159

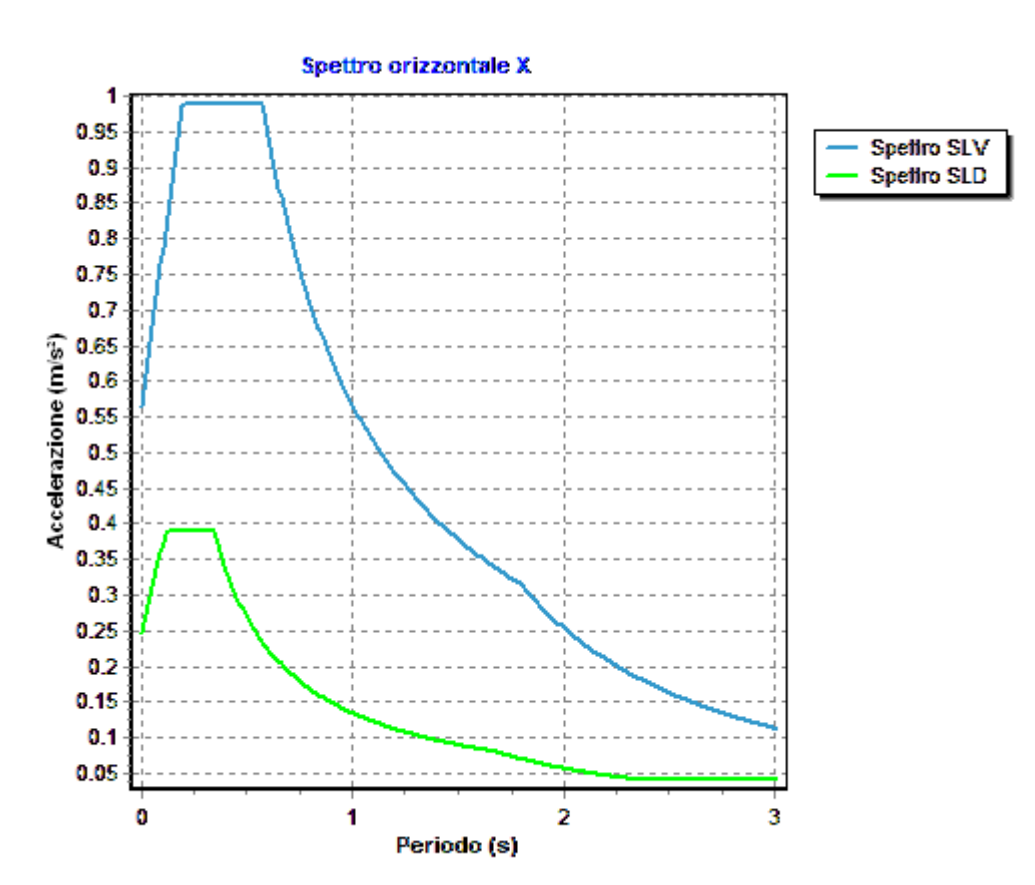
I valori dei parametri p (a_g , F_0 , T_c^*) di interesse per la definizione dell'azione sismica di progetto sono stati calcolati come media pesata dei valori assunti da tali parametri nei quattro vertici della maglia elementare del *reticolo di riferimento* contenente il punto in esame, utilizzando come pesi gli inversi delle distanze tra il punto in questione ed i quattro vertici, attraverso la seguente espressione:

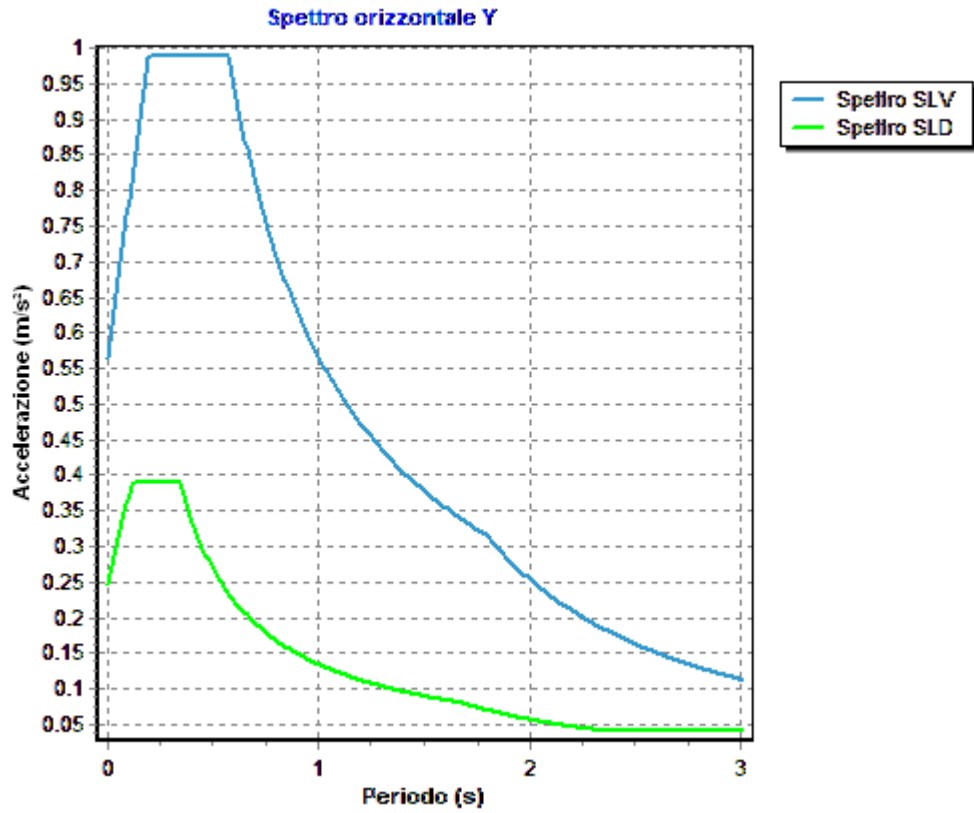
$$p = \frac{\sum_{(i=1..4)} [p_i / d_i]}{\sum_{(i=1..4)} [1 / d_i]}$$

nella quale:

- p : valore del parametro di interesse nel punto in esame;
- p_i : valore del parametro di interesse nell' i -esimo punto della maglia elementare contenente il punto in esame;
- d_i : è la distanza del punto in esame dall' i -esimo punto della maglia suddetta.

	Parametri dello spettro di risposta orizzontale			
	SLV	SLC	SLD	SLO
Tempo di ritorno	475	975	50	30
Accelerazione sismica	0.048	0.057	0.021	0.016
Coefficiente F_0	2.627	2.787	2.371	2.364
Periodo T_c^*	0.443	0.468	0.233	0.159





6 RELAZIONE GEOTECNICA

6.1 DESCRIZIONE DELL'OPERA E DEGLI INTERVENTI.

Nella presente relazione vengono riportati i risultati delle elaborazioni a carattere geotecnico eseguite per le opere di fondazione da realizzare nell'ambito dei lavori di:

I risultati delle indagini effettuate, degli studi eseguiti e delle valutazioni geotecniche operate, parte integrante degli elaborati progettuali relativi ai lavori in oggetto, faranno riferimento per le caratteristiche geotecniche dei terreni di fondazione ai dati riportati nella Relazione geologico-tecnica redatta dal dott. geol.

TIPOLOGIA STRUTTURALE IN DIREZIONE X:

Strutture a telaio, a pareti accoppiate, miste

TIPOLOGIA STRUTTURALE IN DIREZIONE Y:

Strutture a telaio, a pareti accoppiate, miste

TIPOLOGIA FONDAZIONI:

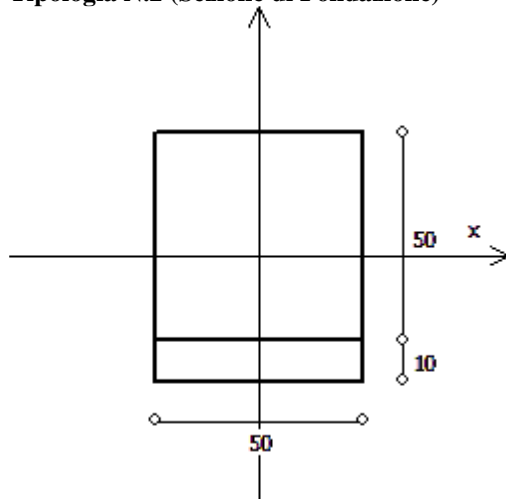
Fondazioni superficiali, quindi del tipo dirette, costituite da un reticolo di travi rovesce.

Descrizione delle tipologie di fondazione utilizzate.

Nell'ambito dei lavori in oggetto si sono utilizzate le seguenti tipologie di fondazione: travi rovesce, le cui dimensioni e la loro ubicazione vengono di seguito meglio descritte.

Descrizione delle tipologie di travi di fondazione utilizzate.

Tipologia N.2 (Sezione di Fondazione)



A	= 2500 cm ²
Jx	= 520833 cm ⁴
Jy	= 520833 cm ⁴
Jt	= 777083 cm ⁴
Materiale	= Cls1
Peso	= 625 daN/ml

Caratteristiche delle travi di fondazione con la loro ubicazione in pianta.

Asta : numerazione dell'asta;
Fili : fili fissi ai quali appartiene l'asta;

Relazione di calcolo -

Nodo Iniziale : nodo iniziale dell'asta;
Nodo Finale : nodo finale dell'asta;
SEZIONE : sezione trasversale associata all'asta;
L : lunghezza teorica (nodo-nodo) dell'asta;
Impalcato : impalcato di appartenenza dell'asta;
KwN : modulo di Winkler normale;
KwT : modulo di Winkler tangenziale;

Asta	Fili	Nodo Iniziale	Nodo Finale	SEZIONE	L [cm]	Impalcato	KwN [daN/cm ³]	KwT [daN/cm ³]
1	1, 2	1	2	2	33.00	Fondazione	5.00	2.50
2	2, 3	2	3	2	489.00	Fondazione	5.00	2.50
3	3, 4	3	4	2	33.00	Fondazione	5.00	2.50

Piante fondazioni.

Fondazione



6.2 RELAZIONE GEOTECNICA (CAP. 6 delle N.T.C.)

Problemi geotecnici e scelte tipologiche.

La caratterizzazione geotecnica dei terreni di fondazione compresi nel volume significativo, ovvero in quella parte di sottosuolo che viene influenzata direttamente o indirettamente dalle opere in oggetto, viene riportata in dettaglio nella relazione geologico-tecnica allegata.

Vengono di seguito indicati i parametri fondamentali per la valutazione della capacità portante del terreno di fondazione e le scelte tipologiche adottate per il dimensionamento delle opere di fondazione, non avendo riscontrato altre particolari problematiche di tipo geotecnico.

Al fine d'identificare la categoria di sottosuolo, tramite la conoscenza dello spessore e natura dei diversi strati che compongono il terreno sottostante il piano di posa delle fondazioni, per il dimensionamento strutturale e geotecnico delle stesse sono state effettuate delle indagini in sito ubicate nell'area oggetto dell'intervento.

L'area in esame è sostanzialmente pianeggiante, caratterizzata da un fattore di amplificazione topografico pari a T1, pertanto non si osservano variazioni di quota della superficie topografica degne di valutazioni particolari.

Descrizione del programma delle indagini e delle prove geotecniche.

Per definire la stratigrafia di progetto, dei terreni di sedime dei lavori in oggetto e per acquisire i parametri fisico-meccanici dei terreni in esame è stata condotta sull'area interessata dall'intervento di progetto una campagna di indagini.

Il programma delle indagini e delle prove con l'ubicazione delle stesse è stato definito a seguito di un attento sopralluogo dell'area in oggetto e risulta più ampiamente descritto nella relazione geologica allegata.

Caratterizzazione fisico meccanica dei terreni e definizione dei valori caratteristici dei parametri geotecnici.

- Caratteristiche litostratigrafiche

L'analisi dei risultati ottenuti dalle indagini per la caratterizzazione del suolo di fondazione sono meglio indicati nella relazione geologico-tecnica allegata. Per quanto riguarda l'aspetto geologico a seguito il rilevamento di un significativo intorno della zona in esame si è riscontrata la presenza delle seguenti successioni litostratigrafiche nelle relative sezioni geologiche (colonne stratigrafiche):

Filo : filo fisso al quale appartiene la colonna stratigrafica;
 Colonna : nome della colonna stratigrafica;
 Strato : nome dello strato appartenente la colonna stratigrafica;
 Descrizione : descrizione dello strato;

Filo	Colonna	Strato	Descrizione
1	Colonna 1	Calcari fratturati	Calcari fratt.

- Caratteristiche fisico meccaniche dei terreni di fondazione

Nell'ambito del progetto si è fatto uso delle seguenti colonne stratigrafiche:

Caratteristiche delle colonne stratigrafiche:

Colonna : nome della colonna stratigrafica;
 Filo : filo fisso al quale appartiene la colonna stratigrafica;
 Impalcato : Impalcato al quale appartiene la colonna stratigrafica;
 Falda : Presenza della falda;
 Prof. Falda : Profondità della falda (se è presente);
 Spicc. Fond. : Quota dell'estradosso della fondazione rispetto al piano campagna;
 No. Strati : Numero degli strati della colonna stratigrafica.
 RQD : (Rock Quality Designation) grado di fratturazione dell'ammasso roccioso in [0-1]

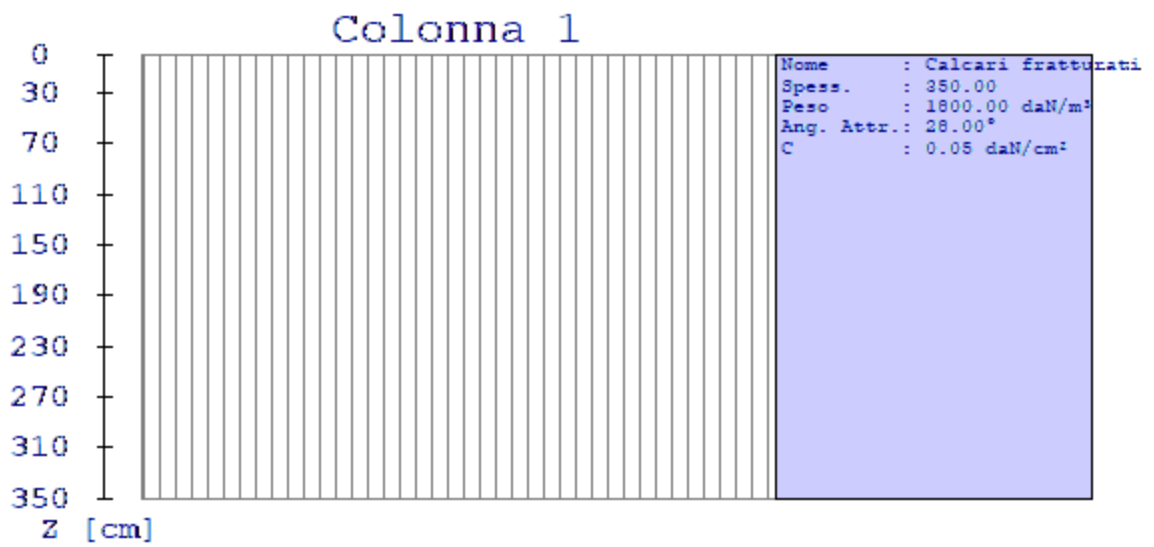
Filo	Colonna	Impalcato	Falda	Prof. Falda [cm]	Spicc. Fond. [cm]	No. Strati	RQD
1	Colonna 1	Fondazione	Non Presente	-	0.00	1	-
2	Colonna 1	Fondazione	Non Presente	-	0.00	1	-
3	Colonna 1	Fondazione	Non Presente	-	0.00	1	-
4	Colonna 1	Fondazione	Non Presente	-	0.00	1	-

Caratteristiche degli strati appartenenti alle colonne stratigrafiche:

Colonna : nome della colonna stratigrafica;
 Strato : nome dello strato appartenente la colonna stratigrafica;
 Spess. : Spessore dello strato;
 Peso : Peso dell'unità di volume dello strato;
 Peso eff. : Peso dell'unità di volume efficace dello strato;
 NSPT : Numero di colpi medio misurato nello strato;
 Qc : Resistenza alla punta media misurata nello strato;
 ϕ : Angolo di attrito del terreno;
 C : Coesione drenata del terreno;
 Cu : Coesione non drenata del terreno;
 E : Modulo elastico del terreno;
 G : Modulo di taglio del terreno;
 ν_t : Coefficiente di Poisson;
 E_{ed} : Modulo Edometrico;
 OCR : Grado di sovraconsolidazione del terreno.

Colonna	Strato	Spess. [cm]	Peso [daN/m ³]	Peso eff. [daN/m ³]	NSPT	Qc [daN/cm ²]	ϕ [°]	C [daN/cm ²]	Cu [daN/cm ²]	E [daN/cm ²]	G [daN/cm ²]	ν_t	E_{ed} [daN/cm ²]	OC R
Colonna 1	Calcari fratturati	350.0	1800.0	800.0	-	-	28.0	0.05	0.00	5090.00	1880.00	0.35	-	1.00

- Sezioni Geologiche:



- Caratterizzazione sismica del suolo di fondazione:

La categoria assunta per il suolo di fondazione per il sito in oggetto è: B

Modelli geotecnici di sottosuolo e metodi di analisi.

L'interazione terreno struttura viene modellata applicando il modello di Winkler, il quale caratterizza il sottosuolo con una relazione lineare fra il cedimento in un punto della superficie limite e la pressione agente nello stesso punto, indipendentemente da altri carichi applicati in punti diversi. Si assume cioè che:

$$p = k_v w$$

dove K_v è detta costante di sottofondo o coefficiente di reazione del terreno e w è l'abbassamento della trave di fondazione tale da comprimere il terreno sottostante.

Il valore di tale coefficiente k adottato nel lavoro in oggetto ($k_v = 5.00 \text{ daN/cm}^3$), con riferimento ai dati geologico-geotecnici fornitici, è stato desunto da valori tabellati riportati in letteratura.

Tale modello viene esteso anche alla componente orizzontale dello spostamento, utilizzando un valore della costante orizzontale pari a $k_o = 2.50 \text{ daN/cm}^3$.

Le travi rovesce di fondazione vengono modellate utilizzando un elemento finito di tipo BEAM vincolato attraverso delle molle traslazionali e rotazionali diffuse atte a simulare l'interazione terreno-fondazione.

In pratica viene aggiunto alla matrice di rigidezza elastica dell'asta il contributo delle molle ripartite sulle facce della fondazione. I valori di tali contributi sono calcolate computando i coefficienti funzione delle aree di contatto terreno-fondazione. Tutti i calcoli sono effettuati sulla base di cinematici unitari.

Questo elemento finito possiede 12 gradi di libertà in quanto i due nodi di estremità hanno 6 gradi di libertà ciascuno: 3 alla traslazione e 3 alla rotazione:

Verifiche della sicurezza e delle prestazioni: identificazione dei relativi stati limite.

Le verifiche della sicurezza in fondazione sono condotte nei riguardi dello stato limite ultimo e dello stato limite di esercizio. Le verifiche nei riguardi degli stati limite previsti dalla Normativa ed eseguite sono:

STR - raggiungimento della resistenza degli elementi strutturali, compresi gli elementi di fondazione;

GEO - raggiungimento della resistenza del terreno interagente con la struttura con sviluppo di meccanismi di collasso dell'insieme terreno-struttura;

Verifiche STR: le verifiche di resistenza degli elementi strutturali di fondazione sono state eseguite contestualmente alla verifica degli elementi strutturali in elevazione. Le relative verifiche sono riportate nella relazione di calcolo allegata;

Verifiche GEO: le verifiche di resistenza del terreno interagente con la struttura sono condotte confrontando i valori di resistenza con quelli di progetto, secondo l'Approccio 2, come riportato nelle pagine seguenti.

Verifiche GEO: Approcci progettuali e valori di progetto dei parametri geotecnici.

TEORIA DI CALCOLO PER FONDAZIONI SUPERFICIALI.

Il calcolo è stato effettuato seguendo la teoria di Brinch Hansen, la quale tiene conto:

- della forma della fondazione;
- della profondità del piano di posa della fondazione;
- dell'inclinazione del carico sulla fondazione;
- dell'eccentricità del carico;
- dell'inclinazione del piano di posa della fondazione;
- dell'inclinazione del piano di campagna;
- dell'effetto inerziale nella fondazione;
- dell'effetto cinematico del sottosuolo;

Si riportano di seguito le formule considerate nelle varie colonne stratigrafiche assegnate ai fili fissi:

Il carico limite si ottiene dalla seguente espressione:

$$q_{lim} = 0.5 \cdot B' \cdot \gamma_2 \cdot N_{\gamma} \cdot s_{\gamma} \cdot d_{\gamma} \cdot i_{\gamma} \cdot g_{\gamma} \cdot b_{\gamma} \cdot z_{\gamma} \cdot c_{\gamma} \cdot k \cdot e_{\gamma} + c \cdot N_c \cdot s_c \cdot d_c \cdot i_c \cdot g_c \cdot b_c \cdot z_c + (q + \gamma_1 \cdot D) \cdot N_q \cdot s_q \cdot d_q \cdot i_q \cdot g_q \cdot b_q \cdot z_q$$

Dove: $B' = B - 2 \cdot e_B$

B è il lato minore della fondazione.

e_B è l'eccentricità del carico lungo B .

D è la profondità del piano di posa della fondazione.

γ_1 è il peso del terreno sopra il piano di posa della fondazione.

γ_2 è il peso del terreno sotto il piano di posa della fondazione.

C è la coesione del terreno.

q è il carico uniformemente distribuito ai lati della fondazione.

Fattori di portanza Travi di fondazione. SLU-SLV

Campata : campata alla quale appartengono le aste riportate;

Asta : numerazione interna dell'asta;

Fili : fili fissi ai quali appartiene l'asta considerata;

A1 : verifica della combinazione di carico A1;

Lt : verifica a lungo termine.

Fattori di carico limite														
			A1						A2					
			Lt			Bt			Lt			Bt		
Campata	Asta	Fili	Nc	Nq	N _γ	Nc	Nq	N _γ	Nc	Nq	N _γ	Nc	Nq	N _γ
1	1	1-2	25.80	14.72	10.94	-	-	-	-	-	-	-	-	-
2	2	2-3	25.80	14.72	10.94	-	-	-	-	-	-	-	-	-
3	3	3-4	25.80	14.72	10.94	-	-	-	-	-	-	-	-	-

Fattori di forma														
			A1						A2					
			Lt			Bt			Lt			Bt		
Campata	Asta	Fili	Sc	Sq	S _γ	Sc	Sq	S _γ	Sc	Sq	S _γ	Sc	Sq	S _γ
1	1	1-2	1.38	1.35	0.73	-	-	-	-	-	-	-	-	-
2	2	2-3	1.06	1.05	0.96	-	-	-	-	-	-	-	-	-
3	3	3-4	1.37	1.35	0.74	-	-	-	-	-	-	-	-	-

Fattori di profondità														
			A1						A2					
			Lt			Bt			Lt			Bt		
Campata	Asta	Fili	Dc	Dq	D _γ	Dc	Dq	D _γ	Dc	Dq	D _γ	Dc	Dq	D _γ
1	1	1-2	1.43	1.32	1.00	-	-	-	-	-	-	-	-	-
2	2	2-3	1.35	1.26	1.00	-	-	-	-	-	-	-	-	-
3	3	3-4	1.43	1.32	1.00	-	-	-	-	-	-	-	-	-

Fattori di inclinazione del piano di posa														
			A1						A2					
			Lt			Bt			Lt			Bt		
Campata	Asta	Fili	Bc	Bq	B _γ	Bc	Bq	B _γ	Bc	Bq	B _γ	Bc	Bq	B _γ
1	1	1-2	1.00	1.00	1.00	-	-	-	-	-	-	-	-	-
2	2	2-3	1.00	1.00	1.00	-	-	-	-	-	-	-	-	-
3	3	3-4	1.00	1.00	1.00	-	-	-	-	-	-	-	-	-

Fattori di inclinazione del piano campagna														
			A1						A2					
			Lt			Bt			Lt			Bt		
Campata	Asta	Fili	Gc	Gq	G _γ	Gc	Gq	G _γ	Gc	Gq	G _γ	Gc	Gq	G _γ
1	1	1-2	1.00	1.00	1.00	-	-	-	-	-	-	-	-	-
2	2	2-3	1.00	1.00	1.00	-	-	-	-	-	-	-	-	-
3	3	3-4	1.00	1.00	1.00	-	-	-	-	-	-	-	-	-

Fattori di inclinazione dei carichi														
			A1						A2					
			Lt			Bt			Lt			Bt		
Campata	Asta	Fili	Ic	Iq	Iy	Ic	Iq	Iy	Ic	Iq	Iy	Ic	Iq	Iy
1	1	1-2	1.00	1.00	1.00	-	-	-	-	-	-	-	-	-
2	2	2-3	1.00	1.00	1.00	-	-	-	-	-	-	-	-	-
3	3	3-4	1.00	1.00	1.00	-	-	-	-	-	-	-	-	-

Fattori di portanza dell'effetto inerziale (Paolucci Pecker)														
			A1						A2					
			Lt			Bt			Lt			Bt		
Campata	Asta	Fili	Zc	Zq	Zy	Zc	Zq	Zy	Zc	Zq	Zy	Zc	Zq	Zy
1	1	1-2	1.00	0.99	1.00	-	-	-	-	-	-	-	-	-
2	2	2-3	1.00	0.99	1.00	-	-	-	-	-	-	-	-	-
3	3	3-4	1.00	0.99	1.00	-	-	-	-	-	-	-	-	-

Fattori di portanza dell'effetto cinematico (Maugeri-Cascone)											
			A1						A2		
			Lt								
Campata	Asta	Fili	eyk	eyi	eyk	eyi	eyk	eyi	eyk	eyi	
1	1	1-2	0.94	0.78	-	-	-	-	-	-	
2	2	2-3	0.94	0.78	-	-	-	-	-	-	
3	3	3-4	0.94	0.78	-	-	-	-	-	-	

Fattori di portanza Travi di fondazione. SLD

Campata : campata alla quale appartengono le aste riportate;

Asta : numerazione interna dell'asta;

Fili : fili fissi ai quali appartiene l'asta considerata;

A1 : verifica della combinazione di carico A1;

Lt : verifica a lungo termine.

Fattori di carico limite														
			A1						A2					
			Lt			Bt			Lt			Bt		
Campata	Asta	Fili	Nc	Nq	Ny	Nc	Nq	Ny	Nc	Nq	Ny	Nc	Nq	Ny
1	1	1-2	25.80	14.72	10.94	-	-	-	-	-	-	-	-	-
2	2	2-3	25.80	14.72	10.94	-	-	-	-	-	-	-	-	-
3	3	3-4	25.80	14.72	10.94	-	-	-	-	-	-	-	-	-

Fattori di forma														
			A1						A2					
			Lt			Bt			Lt			Bt		
Campata	Asta	Fili	Sc	Sq	Sy	Sc	Sq	Sy	Sc	Sq	Sy	Sc	Sq	Sy
1	1	1-2	1.38	1.35	0.73	-	-	-	-	-	-	-	-	-
2	2	2-3	1.06	1.05	0.96	-	-	-	-	-	-	-	-	-
3	3	3-4	1.37	1.35	0.74	-	-	-	-	-	-	-	-	-

Fattori di profondità														
			A1						A2					
			Lt			Bt			Lt			Bt		
Campata	Asta	Fili	Dc	Dq	Dy	Dc	Dq	Dy	Dc	Dq	Dy	Dc	Dq	Dy
1	1	1-2	1.43	1.32	1.00	-	-	-	-	-	-	-	-	-
2	2	2-3	1.35	1.26	1.00	-	-	-	-	-	-	-	-	-
3	3	3-4	1.43	1.32	1.00	-	-	-	-	-	-	-	-	-

Fattori di inclinazione del piano di posa														
			A1						A2					
			Lt			Bt			Lt			Bt		
Campata	Asta	Fili	Bc	Bq	By	Bc	Bq	By	Bc	Bq	By	Bc	Bq	By
1	1	1-2	1.00	1.00	1.00	-	-	-	-	-	-	-	-	-
2	2	2-3	1.00	1.00	1.00	-	-	-	-	-	-	-	-	-
3	3	3-4	1.00	1.00	1.00	-	-	-	-	-	-	-	-	-

Fattori di inclinazione del piano campagna														
			A1						A2					
			Lt			Bt			Lt			Bt		
Campata	Asta	Fili	Gc	Gq	Gy	Gc	Gq	Gy	Gc	Gq	Gy	Gc	Gq	Gy
1	1	1-2	1.00	1.00	1.00	-	-	-	-	-	-	-	-	-
2	2	2-3	1.00	1.00	1.00	-	-	-	-	-	-	-	-	-
3	3	3-4	1.00	1.00	1.00	-	-	-	-	-	-	-	-	-

Fattori di inclinazione dei carichi														
			A1						A2					
			Lt			Bt			Lt			Bt		
Campata	Asta	Fili	Ic	Iq	Iy	Ic	Iq	Iy	Ic	Iq	Iy	Ic	Iq	Iy
1	1	1-2	1.00	1.00	1.00	-	-	-	-	-	-	-	-	-
2	2	2-3	1.00	1.00	1.00	-	-	-	-	-	-	-	-	-
3	3	3-4	1.00	1.00	1.00	-	-	-	-	-	-	-	-	-

Fattori di portanza dell'effetto inerziale (Paolucci Pecker)														
			A1						A2					
			Lt			Bt			Lt			Bt		
Campata	Asta	Fili	Zc	Zq	Zy	Zc	Zq	Zy	Zc	Zq	Zy	Zc	Zq	Zy
1	1	1-2	1.00	0.99	1.00	-	-	-	-	-	-	-	-	-
2	2	2-3	1.00	0.99	1.00	-	-	-	-	-	-	-	-	-
3	3	3-4	1.00	0.99	1.00	-	-	-	-	-	-	-	-	-

Fattori di portanza dell'effetto cinematico (Maugeri-Cascone)											
			A1						A2		
			Lt								
Campata	Asta	Fili	eyk	eyi	eyk	eyi	eyk	eyi	eyk	eyi	
1	1	1-2	0.94	0.78	-	-	-	-	-	-	
2	2	2-3	0.94	0.78	-	-	-	-	-	-	
3	3	3-4	0.94	0.78	-	-	-	-	-	-	

VERIFICA CAPACITA' PORTANTE.

La verifica del sistema di fondazione relativo alla struttura in oggetto, è stata effettuata sulla base dei dati geologici e dei parametri geotecnici forniti, seguendo l'approccio di progetto relativo alla normativa di riferimento:

- (punti 6.4.2.1 delle N.T.C. e 6.4.3 per fondazioni su pali)

$$A1 + M1 + R3$$

dove:

- Coefficienti parziali per le azioni

CARICHI	COEFFICIENTE PARZIALE	Comb. A1
PERMANENTI	γ_{G1ns}	1.3
PERMANENTI NON STRUTTURALI	γ_{G2ns}	1.5
VARIABILI	γ_{Qi}	1.5

- Coefficienti per i parametri geotecnici del terreno

PARAMETRO	GRANDEZZA ALLA QUALE APPL. IL COEFF. PARZIALE	Comb. M1
Tangente dell'angolo di attrito	$\tan\phi$	1.0
Coesione drenata del terreno	C	1.0
Coesione non drenata del terreno	Cu	1.0
Peso dell'unità di volume	γ	1.0

- Coefficienti parziali γ_R per le verifiche agli stati ultimi di fondazioni superficiali

VERIFICA	COEFFICIENTE PARZIALE R3
Capacità portante	$\gamma_R = 2.3$

Le verifiche vengono riassunte nelle successive tabelle.

Travi di fondazione. SLU-SLV

Campata : campata alla quale appartengono le aste riportate;
 Asta : numerazione interna dell'asta;
 Fili : fili fissi ai quali appartiene l'asta considerata;
 A1 - Bt : verifica della combinazione di carico A1 a breve termine;
 A1 - Lt : verifica della combinazione di carico A1 a lungo termine;
 B : larghezza piano di appoggio;
 D : profondità del piano di posa;
 X : ascissa di verifica;
 qlimd : carico limite di calcolo;
 σ : tensione di calcolo;
 S : Coefficiente di sicurezza;
 Esito : V = Verificato; NV = Non Verificato

Campata	Asta	Fili	Combinazione A1 - Lt						
			B [cm]	D [cm]	X [cm]	qlimd [daN/cm ²]	σ [daN/cm ²]	S	Esito
1	1	1-2	50.00	60.00	0.00	3.36	0.00	-	V
2	2	2-3	50.00	60.00	183.37	2.60	0.04	65.00	V
3	3	3-4	50.00	60.00	0.00	3.35	0.00	-	V

Travi di fondazione. SLD

Campata : campata alla quale appartengono le aste riportate;
 Asta : numerazione interna dell'asta;
 Fili : fili fissi ai quali appartiene l'asta considerata;
 A1 - Bt : verifica della combinazione di carico A1 a breve termine;
 A1 - Lt : verifica della combinazione di carico A1 a lungo termine;
 B : larghezza piano di appoggio;
 D : profondità del piano di posa;
 X : ascissa di verifica;
 qlimd : carico limite di calcolo;
 σ : tensione di calcolo;
 S : Coefficiente di sicurezza;
 Esito : V = Verificato; NV = Non Verificato

Campata	Asta	Fili	Combinazione A1 - Lt						
			B [cm]	D [cm]	X [cm]	qlimd [daN/cm ²]	σ [daN/cm ²]	S	Esito
1	1	1-2	50.00	60.00	0.00	3.36	0.00	-	V
2	2	2-3	50.00	60.00	183.37	2.60	0.03	86.67	V
3	3	3-4	50.00	60.00	0.00	3.35	0.00	-	V

Verifiche nei confronti degli stati limite di esercizio (SLE).

Gli stati limite di esercizio (punto 6.4.2.2 delle N.T.C.) investigati, si riferiscono al raggiungimento di valori critici dei cedimenti differenziali che possono compromettere la funzionalità dell'opera. Il calcolo dei cedimenti è stato eseguito per la combinazione di esercizio , quasi permanente

Travi di fondazione.

Campata : campata alla quale appartengono le aste riportate;
 Asta : numerazione interna dell'asta;
 Fili : fili fissi ai quali appartiene l'asta considerata;
 Comb. : tipo involuppo;
 Dist. : distanza tra i punti di massimo cedimento differenziale;
 Istant. : cedimento istantaneo;
 Consol. : cedimento di consolidamento;
 Tot. : cedimento totale;

Relazione di calcolo -

Diff. : cedimento differenziale;

Lim. : cedimento limite (4‰ x Dist.);

S : Coefficiente di sicurezza;

Esito : V = Verificato; NV = Non Verificato

Campa ta	As ta	Fili	Comb.	Dist. [cm]	Max			Min			Diff. [cm]	Lim. [cm]	S	Esito
					Istant. [cm]	Consol. [cm]	Tot. [cm]	Istant. [cm]	Consol. [cm]	Tot. [cm]				
1	1	1-2	Q. Perm.	0.0	0.0000	-0.0114	-0.0114	0.0000	-0.0114	-0.0114	0.0000	0.0000	-	V
2	2	2-3	Q. Perm.	0.0	0.0000	-0.0114	-0.0114	0.0000	-0.0114	-0.0114	0.0000	0.0000	-	V
3	3	3-4	Q. Perm.	0.0	0.0000	-0.0114	-0.0114	0.0000	-0.0114	-0.0114	0.0000	0.0000	-	V

Dalle tabelle relative al cedimento differenziale limite delle fondazioni, si evince che i cedimenti differenziali massimi stimati risultano compatibili con la funzionalità dei lavori in oggetto.

7 RELAZIONE SULLE FONDAZIONI

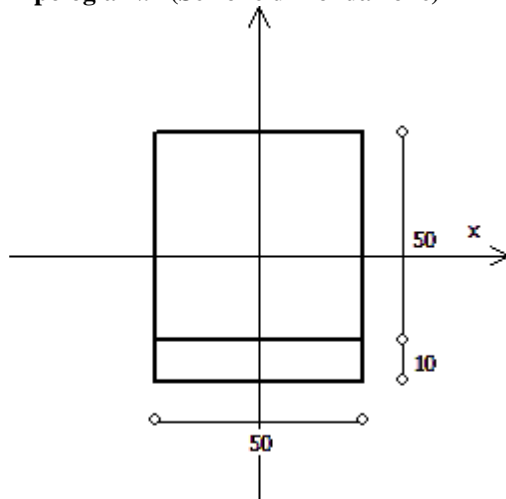
7.1 Strutture di fondazione e del suolo di fondazione.

Descrizione delle tipologie di fondazione utilizzate.

Nell'ambito dei lavori in oggetto si sono utilizzate le seguenti tipologie di fondazione: travi rovesce, le cui dimensioni e la loro ubicazione vengono di seguito meglio descritte.

Descrizione delle tipologie di travi di fondazione utilizzate.

Tipologia N.2 (Sezione di Fondazione)



A	= 2500 cm ²
Jx	= 520833 cm ⁴
Jy	= 520833 cm ⁴
Jt	= 777083 cm ⁴
Materiale	= Cls1
Peso	= 625 daN/ml

Caratteristiche delle travi di fondazione con la loro ubicazione in pianta.

Asta	: numerazione dell'asta;
Fili	: fili fissi ai quali appartiene l'asta;
Nodo Iniziale	: nodo iniziale dell'asta;
Nodo Finale	: nodo finale dell'asta;
SEZIONE	: sezione trasversale associata all'asta;
L	: lunghezza teorica (nodo-nodo) dell'asta;
Impalcato	: impalcato di appartenenza dell'asta;
KwN	: modulo di Winkler normale;
KwT	: modulo di Winkler tangenziale;

Asta	Fili	Nodo Iniziale	Nodo Finale	SEZIONE	L [cm]	Impalcato	KwN [daN/cm ³]	KwT [daN/cm ³]
1	1, 2	1	2	2	33.00	Fondazione	5.00	2.50
2	2, 3	2	3	2	489.00	Fondazione	5.00	2.50
3	3, 4	3	4	2	33.00	Fondazione	5.00	2.50

Piante fondazioni.

Fondazione



7.2 Tensioni sul Terreno.

I dati seguenti riportano i valori delle tensioni esercitate dalla fondazione sul terreno.

Asta/Piastra : numerazione interna dell'asta/piastra.
 X : distanza dal nodo iniziale misurata lungo l'asse dell'asta/piastra.
 Comb : combinazione di appartenenza del valore considerato nell'involuppo.
 Tensioni (σ_T) : valore della tensione dovuta alla pressione dell'asta/piastra di fondazione:

Tabella 6.I

Tensioni Terreno							
				SLU	SLE		
					Caratteristiche	Frequenti	Quasi Permanenti
Asta	Imp.	Fili	X [cm]	σ [daN/cm ²]	σ [daN/cm ²]	σ [daN/cm ²]	σ [daN/cm ²]
1	Fondazione	1-2	0.00	0.00(6)	0.00(3)	0.00(3)	0.00(1)
			16.50	0.00(6)	0.00(3)	0.00(3)	0.00(1)
			33.00	0.00(6)	0.00(3)	0.00(3)	0.00(1)
2	Fondazione	2-3	0.00	0.00(0)	0.00(0)	0.00(0)	0.00(0)
			244.50	0.04(0) *	0.03(0) *	0.03(0) *	0.03(0) *
			489.00	0.00(0)	0.00(0)	0.00(0)	0.00(0)
3	Fondazione	3-4	0.00	0.00(1)	0.00(1)	0.00(1)	0.00(1)
			16.50	0.00(1)	0.00(1)	0.00(1)	0.00(1)
			33.00	0.00(1)	0.00(1)	0.00(1)	0.00(1)

* valore massimo.

Descrizione del suolo di fondazione.

- Caratteristiche litostratigrafiche

L'analisi dei risultati ottenuti dalle indagini per la caratterizzazione del suolo di fondazione sono meglio indicati nella relazione geologico-tecnica allegata. Per quanto riguarda l'aspetto geologico a seguito il rilevamento di un significativo intorno della zona in esame si è riscontrata la presenza delle seguenti successioni litostratigrafiche nelle relative sezioni geologiche (colonne stratigrafiche):

Filo : filo fisso al quale appartiene la colonna stratigrafica;
 Colonna : nome della colonna stratigrafica;
 Strato : nome dello strato appartenente la colonna stratigrafica;
 Descrizione : descrizione dello strato;

Filo	Colonna	Strato	Descrizione
1	Colonna 1	Calcarì fratturati	Calcarì fratt.

- Caratteristiche fisico meccaniche dei terreni di fondazione

Nell'ambito del progetto si è fatto uso delle seguenti colonne stratigrafiche:

Caratteristiche delle colonne stratigrafiche:

Colonna : nome della colonna stratigrafica;
 Filo : filo fisso al quale appartiene la colonna stratigrafica;
 Impalcato : Impalcato al quale appartiene la colonna stratigrafica;
 Falda : Presenza della falda;
 Prof. Falda : Profondità della falda (se è presente);
 Spicc. Fond. : Quota dell'estradosso della fondazione rispetto al piano campagna;
 No. Strati : Numero degli strati della colonna stratigrafica.
 RQD : (Rock Quality Designation) grado di fratturazione dell'ammasso roccioso in [0-1]

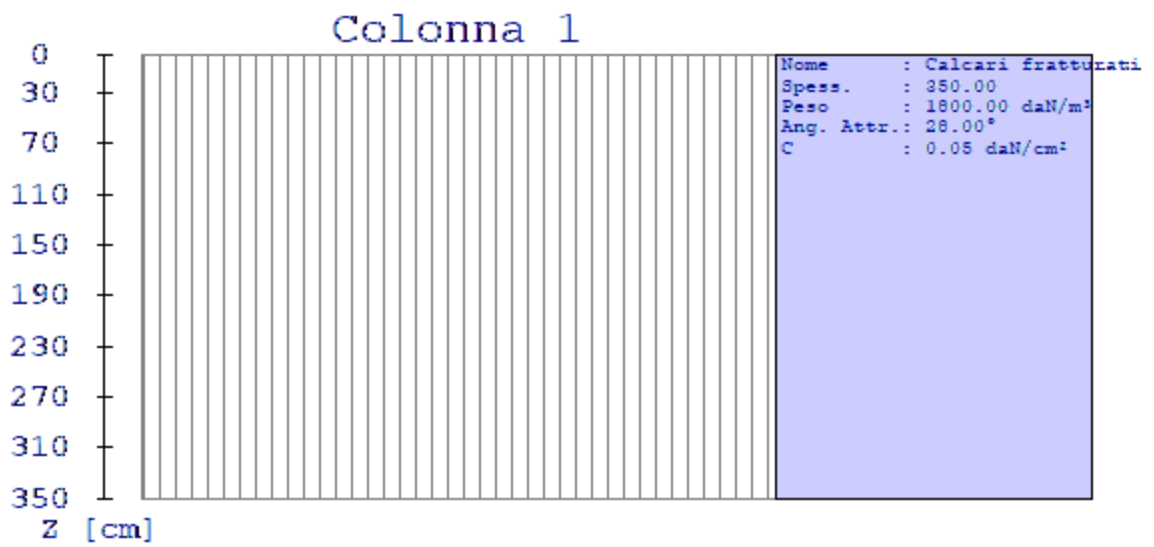
Filo	Colonna	Impalcato	Falda	Prof. Falda [cm]	Spicc. Fond. [cm]	No. Strati	RQD
1	Colonna 1	Fondazione	Non Presente	-	0.00	1	-
2	Colonna 1	Fondazione	Non Presente	-	0.00	1	-
3	Colonna 1	Fondazione	Non Presente	-	0.00	1	-
4	Colonna 1	Fondazione	Non Presente	-	0.00	1	-

Caratteristiche degli strati appartenenti alle colonne stratigrafiche:

Colonna : nome della colonna stratigrafica;
 Strato : nome dello strato appartenente la colonna stratigrafica;
 Spess. : Spessore dello strato;
 Peso : Peso dell'unità di volume dello strato;
 Peso eff. : Peso dell'unità di volume efficace dello strato;
 NSPT : Numero di colpi medio misurato nello strato;
 Qc : Resistenza alla punta media misurata nello strato;
 ϕ : Angolo di attrito del terreno;
 C : Coesione drenata del terreno;
 Cu : Coesione non drenata del terreno;
 E : Modulo elastico del terreno;
 G : Modulo di taglio del terreno;
 ν_t : Coefficiente di Poisson;
 E_{ed} : Modulo Edometrico;
 OCR : Grado di sovraconsolidazione del terreno.

Colonna	Strato	Spess. [cm]	Peso [daN/m ³]	Peso eff. [daN/m ³]	NSPT	Qc [daN/cm ²]	ϕ [°]	C [daN/cm ²]	Cu [daN/cm ²]	E [daN/cm ²]	G [daN/cm ²]	ν_t	E _{ed} [daN/cm ²]	OCR
Colonna 1	Calciari fratturati	350.0	1800.0	800.0	-	-	28.0	0.05	0.00	5090.00	1880.00	0.35	-	1.00

- Sezioni Geologiche:



- Caratterizzazione sismica del suolo di fondazione:

La categoria assunta per il suolo di fondazione per il sito in oggetto è: B

7.3 Relazione sulle fondazioni (D.M. 17/01/2018)

Scelta del tipo di fondazioni.

In funzione dei risultati ottenuti dalla campagna di indagini eseguite e della tipologia strutturale adottata per i lavori in oggetto, si è proceduto alla scelta delle tipologie di fondazione superficiali per distribuire i carichi trasmessi dalla sovrastruttura al terreno di fondazione ripartendoli il più possibile in modo uniforme sul suolo di sedime delle fondazioni stesse. La scelta della profondità del piano di posa ha permesso il superamento del suolo vegetale, della zona soggetta a gelo-disgelo e variazioni stagionali di umidità. La profondità del piano di posa delle fondazioni risulta tale da prevenire fenomeni di erosione o scalzamento.

Le dimensioni strutturali delle opere di fondazione, le tipologie usate e la loro ubicazione risultano descritte nella prima parte della presente relazione e vengono meglio evidenziate negli elaborati grafici allegati.

Le verifiche di sicurezza relative agli stati limite ultimi (SLU) ed agli stati limite d'esercizio (SLE) indagati risultano tali da non limitare l'uso della costruzione, la sua efficienza, la durabilità della struttura garantendo un grado di sicurezza ed un livello di prestazioni nel rispetto della normativa vigente in materia.

Ipotesi assunte ed analisi dei risultati nei riguardi del complesso terreno-opera di fondazione.

Tutte le analisi presentate si riferiscono studio del sottosuolo semplificando la situazione reale con criteri cautelativi, analizzando diverse possibili schematizzazioni ed adottando i risultati meno favorevoli mediante coefficienti parziali per i parametri geotecnici del terreno, coefficienti parziali per le azioni o per l'effetto delle azioni e coefficienti parziali di sicurezza da applicare alle resistenze caratteristiche.

Le analisi delle elaborazioni eseguite permette di evidenziare i seguenti livelli di sicurezza:

Riassunto risultati verifiche:

ELEMENTO	Tipo verifica	S Min	S Max
Travi di fondazione	Capacità portante SLU-SLV	65.00	-
	Capacità portante SLD	86.67	-
	Cedim. Diff. SLE Q. Perm.	10000.00	-

La caratterizzazione geologica da un lato, le caratteristiche dimensionali, strutturali e le configurazioni di carico dall'altro, hanno reso possibile effettuare valutazioni che hanno conto del comportamento complessivo delle strutture e delle interazioni terreno-fondazione.

Si rimanda alla Relazione Geologica-Tecnica redatta dal Dott. Geologo per prendere visione di ogni altra informazione relativa alla stratigrafia che caratterizza il suolo di fondazione.

I coefficienti di sicurezza per tutte le verifiche di resistenza eseguite sulle strutture di fondazione, sono riportate nella Relazione di Calcolo allegata.

Dalle verifiche eseguite su tutti gli elementi di fondazione risultano livelli di sicurezza accettabili e pertanto i lavori in oggetto si valutano realizzabili.

Per quanto sopra esposto, a seguito delle analisi geomorfologiche e dalle verifiche geotecniche svolte l'intervento in oggetto, nel rispetto delle disposizioni progettuali individuate, si ritiene perfettamente compatibile con le caratteristiche del sottosuolo ed attuabile nel rispetto delle Norme vigenti e delle esigenze della Committenza.

Si prescrive che in corso d'opera si debba riscontrare la rispondenza della caratterizzazione geotecnica assunta in progetto e la situazione reale e che la sistemazione esterna dovrà evitare infiltrazioni di acqua tale da variare le caratteristiche geotecniche del terreno di fondazione.

SOMMARIO

1 Introduzione	1
1.1 Premessa	1
1.1.1 Cenni sulla casa produttrice del software.....	1
1.1.2 Descrizione dell'Opera da calcolare	1
1.2 Riferimenti Legislativi.....	1
1.3 Convenzioni,Unità di misura e simboli adottati.....	2
2 Descrizione del Modello.....	3
2.1 Modello assunto per il calcolo.....	3
2.2 Tipo di calcolo.....	5
2.3 Condizioni di carico valutate	6
2.4 Procedura di Verifica degli elementi.....	13
2.4.1 Elementi in C.A.	13
2.4.2 Elementi in Acciaio.	18
3 Dati	25
3.1 Dati Generali	25
3.2 Elenco e Caratteristiche dei materiali.....	28
3.3 Elenco e caratteristiche delle colonne stratigrafiche.	28
3.4 Elenco dei carichi.	29
3.4.1 Pesi propri unitari - G1.	29
3.4.2 Carichi Permanenti unitari - G2.....	29
3.4.3 Carichi Variabili unitari - Q.....	30
3.4.4 Pesi Impalcati.	30
3.5 Elenco e Caratteristiche delle sezioni trasversali.....	30
3.6 Geometria Struttura.	31
3.6.1 Fili Fissi.....	31
3.6.2 Caratteristiche dei nodi.....	31
3.6.3 Caratteristiche delle aste.	32
3.6.4 Carichi distribuiti sugli elementi.	32
3.6.5 Carichi concentrati sui nodi.....	33
4 Risultati di Calcolo.....	33
4.1 Tensioni sul Terreno.....	33
4.2 Verifica Aste.	34
4.2.1 Verifiche Travi di Fondazione in C.A.	34
4.2.1.1 Verifiche SLV - Flessione Composta.....	34
4.2.1.2 Verifiche SLV - Taglio.....	35
4.2.1.3 Verifiche SLE - Stato Tensionale.....	35
4.2.1.4 Verifiche SLE - Fessurazione.....	36
5 ALLEGATI.....	37
5.1 ALLEGATO A - (Pericolosità sismica di base).....	37
6 RELAZIONE GEOTECNICA	40
6.1 DESCRIZIONE DELL'OPERA E DEGLI INTERVENTI.	40
6.2 RELAZIONE GEOTECNICA (CAP. 6 delle N.T.C.)	43
7 RELAZIONE SULLE FONDAZIONI.....	53
7.1 Strutture di fondazione e del suolo di fondazione.....	53
7.2 Tensioni sul Terreno.	55
7.3 Relazione sulle fondazioni (D.M. 17/01/2018).....	58

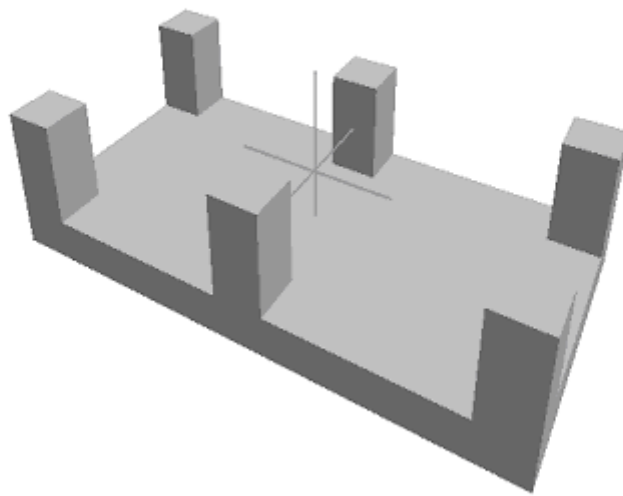
Comune : MESAGNE

PROVINCIA : BRINDISI

Relazione di calcolo

Progetto di nuova struttura ai sensi del D.M. 17/01/2018 "Norme Tecniche per le Costruzioni"

Archivio: platea cabina mt-bt - Data: 23/09/2022



Oggetto:

Committente:	Progettista:	Progettista Strutturale:	Direttore dei Lavori:
	Ingegnere Debora Dellegrottaglie		

1 Introduzione

1.1 Premessa

1.1.1 Cenni sulla casa produttrice del software

La relazione seguente riporta i dati relativi ai criteri di progettazione, alla geometria, alla meccanica della struttura descritta al relativo paragrafo, nonché i relativi risultati dei calcoli strutturali così come ricavati dal calcolatore elettronico tramite l'utilizzo del Software "FaTA-e" prodotto e distribuito da Stacec srl con sede in Bovalino (RC), e concesso in licenza al responsabile dei calcoli stessi.

FaTA-e è un programma sviluppato specificatamente per la progettazione e la verifica di edifici tridimensionali multipiano ed industriali realizzati con elementi strutturali in C.A., in Acciaio, in legno (massiccio e/o lamellare) o in muratura.

FaTA-e articola le operazioni di progetto secondo tre fasi distinte:

- 1) **preprocessore**: fase di Input dove viene definita e modellata interamente la struttura;
- 2) **solutore**: fase di elaborazione della struttura tramite un solutore agli elementi finiti;
- 3) **post-processore**: fase di verifica degli elementi, creazione degli elaborati grafici e della relazione di calcolo.

1.1.2 Descrizione dell'Opera da calcolare

Comune : MESAGNE

PROVINCIA : BRINDISI

Oggetto :

Committente :

Indirizzo :

Città :

PROVINCIA :

Telefono :

Progettista : Ingegnere Debora Dellegrottaglie

Indirizzo : Via Borgo Antico

Città : MESAGNE

PROVINCIA : BRINDISI

Telefono :

Progettista Strutturale :

Indirizzo :

Città :

PROVINCIA :

Telefono :

Direttore dei Lavori :

Indirizzo :

Città :

PROVINCIA :

Telefono :

Nome File : platea cabina mt-bt

1.2 Riferimenti Legislativi.

Tutte le operazioni illustrate nel proseguo, relative all'analisi della struttura ed alle verifiche sugli elementi sono state effettuate in piena conformità alle seguenti norme:

Norme Tecniche C.N.R. 10011:

"Costruzioni di acciaio - Istruzione per il calcolo, l'esecuzione, il collaudo e la manutenzione."

Norme C.N.R. 10024:

"Analisi delle strutture mediante calcolatore elettronico: impostazione e redazione delle relazioni di calcolo."

Ordinanza del Presidente del Consiglio 3274 - 08/05/2003:

"Primi elementi in materia di criteri generali per la classificazione sismica del territorio nazionale e di normative tecniche per le costruzioni in zona sismica."

Ordinanza del Presidente del Consiglio 3431 - 03/05/2005:

"Ulteriori modifiche ed integrazioni all'Ordinanza del Presidente del Consiglio 3274 - 08/05/2003."

UNI ENV 1992-1-1: Eurocodice 2:

"Progettazione delle strutture in calcestruzzo - Parte 1-1: Regole generali e regole per gli edifici"

UNI ENV 1993-1-1: Eurocodice 3:

"Progettazione delle strutture di acciaio - Parte 1-1: Regole generali e regole per gli edifici."

UNI ENV 1998-1-1: Eurocodice 8:

"Indicazioni progettuali per la resistenza sismica delle strutture - Parte 1-1: Regole generali."

D.M. 17/01/2018:

"Norme tecniche per le costruzioni."

Circolare CSLP n. 7 del 21/01/2019:

"Istruzioni per l'applicazione dell'aggiornamento delle «Norme tecniche per le costruzioni» di cui al decreto ministeriale 17 gennaio 2018."

1.3 Convenzioni, Unità di misura e simboli adottati.

Nei calcoli sono state utilizzate le seguenti unità:

- distanze	: cm
- forze, tagli, e sforzi normali	: daN
- coppie e momenti flettenti	: daNm
- carichi sulle aste	: daN/m
- carichi su superfici	: daN/m ²
- peso specifico	: daN/m ³
- tensioni e resistenze	: daN/m ²
- temperatura	: °C

I simboli adottati hanno il seguente significato:

q	: fattore di comportamento ;
Rck	: Resistenza caratteristica cubica a compressione del calcestruzzo;
fck	: Resistenza caratteristica cilindrica a compressione del calcestruzzo;
Ec	: Modulo elastico secante del calcestruzzo;
Ect	: Modulo elastico a trazione del calcestruzzo
fcd	: Resistenza di calcolo del calcestruzzo;
fctk,0.05	: Resistenza caratteristica a trazione;
v	: Coefficiente di Poisson;
αt	: Coefficiente di dilatazione termica;
ps	: peso specifico;
fyk	: Resistenza caratteristica di snervamento dell'acciaio;
fik	: Resistenza caratteristica di rottura dell'acciaio;
fd	: resistenza di calcolo dell'acciaio;
A	: Superficie della sezione trasversale;
Jx	: Momento di inerzia rispetto all'asse X;
Jy	: Momento di inerzia rispetto all'asse Y;

J_{xy}	: Momento di inerzia centrifugo rispetto agli assi X ed Y;
J_t	: Fattore torsionale;
N	: sforzo normale;
M_T	: Momento Torcente;
M_{XZ}	: Momento Flettente X-Z;
T_{XZ}	: Taglio X-Z;
M_{XY}	: Momento Flettente X-Y;
T_{XY}	: Taglio X-Y;
f	: Frequenza del modo i-esimo;
T	: Periodo del modo i-esimo;
Γ_x	: Fattore di partecipazione del modo i-esimo in direzione x;
Γ_y	: Fattore di partecipazione del modo i-esimo in direzione y;
Γ_z	: Fattore di partecipazione del modo i-esimo in direzione z;
N_{sd}	: Sforzo Normale sollecitante di calcolo;
M_{sdXZ}	: Momento Flettente X-Z sollecitante di calcolo;
M_{sdXY}	: Momento Flettente X-Y sollecitante di calcolo;
M_{tS}	: Momento Torcente sollecitante di calcolo;
V_{sdXZ}	: Taglio X-Z sollecitante di calcolo;
V_{sdXY}	: Taglio X-Y sollecitante di calcolo;
N_{Rd}	: Sforzo Normale resistente di calcolo;
M_{RdXZ}	: Momento Flettente X-Z resistente di calcolo;
M_{RdXY}	: Momento Flettente X-Y resistente di calcolo;
M_{tR}	: Momento Torcente resistente di calcolo;
V_{RdXZ}	: Taglio X-Z resistente di calcolo;
V_{RdXY}	: Taglio X-Y resistente di calcolo;
σ_c	: Tensioni del calcestruzzo;
σ_s	: Tensioni delle armature;
$\sigma_{c,lim}$: Tensioni limite del calcestruzzo;
$\sigma_{s,lim}$: Tensioni limite dell'acciaio;
f/l	: rapporto freccia/lunghezza;
f_{lim}	: valore limite del rapporto freccia/lunghezza;

2 Descrizione del Modello.

2.1 Modello assunto per il calcolo.

L'analisi numerica della struttura è stata condotta attraverso l'utilizzo del metodo degli elementi finiti ipotizzando un comportamento elastico-lineare.

Il metodo degli elementi finiti consiste nel sostituire il modello continuo della struttura con un modello discreto equivalente e di approssimare la funzione di spostamento con polinomio algebrico, definito in regioni (dette appunto elementi finiti) che sono delle funzioni interpolanti il valore di spostamento definito in punti discreti (detti nodi).

Gli elementi finiti utilizzabili ai fini della corretta modellazione della struttura verranno descritti di seguito.

Il modello di calcolo può essere articolato sulla base dell'ipotesi di impalcato rigido, in funzione della reale presenza di solai continui atti ad irrigidire tutto l'impalcato.

Tale ipotesi viene realizzata attraverso l'introduzione di adeguate relazioni cinematiche tra i gradi di libertà dei nodi costituenti l'impalcato stesso.

Il metodo di calcolo adottato, le combinazioni di carico, e le procedure di verifica saranno descritte di seguito.

Riferimento globale e locale.

La struttura viene definita utilizzando una terna di assi cartesiani formanti un sistema di riferimento levogiro, unico per tutti gli elementi e chiamato "globale". Localmente esiste un ulteriore sistema di riferimento, detto appunto "locale", utile alla definizione delle caratteristiche di rigidezza dei singoli elementi.

I due sistemi di riferimento sono correlati da una matrice, detta di rotazione.

Modellazione geometrica della struttura.

Il modello geometrico (mesh) della struttura è basato sull'utilizzo dei seguenti elementi:

- *Nodi*

Si definiscono nodi, entità geometriche determinate tramite le tre coordinate nel riferimento globale.

I nodi, nello spazio tridimensionale, posseggono tre gradi di libertà traslazionali e tre rotazionali.

Essi sono posizionati in modo da definire gli estremi degli elementi finiti e, di regola, in ogni discontinuità strutturale, di carico, di caratteristiche meccaniche, di campo di spostamento.

- *Vincoli e Molle*

I gradi di libertà possono essere vincolati, bloccando il cinematismo nella direzione voluta o assegnando "molle" applicate ai nodi tramite valori di rigidezza finiti.

Un vincolo assegna a priori un valore di spostamento nullo, e quindi la variabile corrispondente viene eliminata.

- *Vincoli interni*

Tali vincoli servono a definire le modalità di trasmissione degli sforzi dall'elemento finito ai nodi. Ciò viene associato al concetto di trasferimento della rigidezza.

Generalmente l'elemento considerato è rigidamente connesso ai nodi che lo definiscono, in modo da bloccare tutti i gradi di libertà relativi. E' possibile, comunque "rilasciare" le caratteristiche delle sollecitazioni, in modo da svincolare i gradi di libertà corrispondenti. Nel caso particolare, il modello utilizzato consente di svincolare le tre rotazioni intorno agli assi locali dell'asta.

- *Aste*

Si tratta di elementi finiti monodimensionali ad asse rettilineo delimitate da due nodi (i nodi di estremità).

Per questi elementi generalmente la funzione interpolante è quella del modello analitico per cui la mesh non influisce sensibilmente sulla convergenza.

Le aste sono dotate di rigidezza assiale, flessionale, e a taglio, secondo il modello classico della trave inflessa di Eulero-Bernoulli.

Alla singola asta è possibile associare una sezione costante per tutta la sua lunghezza.

- *Asta su suolo elastico*

Si tratta di elementi finiti monodimensionali ad asse rettilineo, di definizione simile alle aste. Sono utili a modellare travi di fondazione, considerate poggianti su suolo alla Winkler, e reagenti sia rispetto alle componenti traslazionali di cinematismo, sia rotazionali.

- *Lastra-Piastra*

Si tratta di elementi finiti bidimensionali, definiti da tre o quattro nodi, posti ai vertici rispettivamente di un triangolo o di un quadrilatero irregolare. La geometria reale dell'elemento viene ricondotta ad un triangolo rettangolo (elemento a tre nodi) o ad un quadrato definito nella trattazione isoparametrica.

L'elemento lastra-piastra non ha rigidezza per la rotazione intorno all'asse perpendicolare al suo piano e viene trattato secondo la teoria di Mindlin-Reissner. Nel modello considerato si tiene conto dell'accoppiamento tra azioni flessionali e membranali.

- *Forze e coppie concentrate*

Per la risoluzione statica della struttura, tutti i carichi applicati agli elementi vengono trasferiti ai nodi. Ciò avviene in automatico per il peso delle aste, delle piastre, delle pareti, dei pannelli di carico presenti sulle aste e per la distribuzione di carico applicate agli elementi bidimensionali.

Il modello di calcolo consente anche l'introduzione di forze e coppie ai nodi.

Le forze sono dirette lungo le tre direzioni del sistema di riferimento globale ed in entrambi i versi per ogni direzione.

Le coppie concentrate sono riferite ai tre assi del riferimento globale, in entrambi i versi di rotazione di ciascun asse.

- *Carichi distribuiti*

Il modello di calcolo consente anche l'introduzione di carichi ripartiti sulle aste e di distribuzione di carico su piastre e pareti.

I carichi ripartiti sulle aste possono essere riferite sia al riferimento globale, sia al riferimento locale, lungo le tre direzioni ed in entrambe i versi. E' possibile anche introdurre carichi distribuiti torcenti agenti intorno all'asse dell'asta ed in entrambe i versi di rotazione.

Tutti i tipi di carico ripartito devono avere forma trapezia.

Sugli elementi bidimensionali, che fanno parte della mesh di piastre e pareti, è possibile assegnare una distribuzione uniforme, avente le caratteristiche di una pressione diretta ortogonalmente all'elemento.

- *Pannelli di carico*

Il pannello di carico è un concetto legato alla reale distribuzione di carichi gravanti sulle aste. Ne fanno parte: solai, balconi, scale.

Da tali pannelli, di forma irregolare come definiti dalla geometria dell'input, si passa alla quantificazione dei carichi trapezoidali ripartiti sulle aste. Per meglio simulare l'effetto dei pannelli, vengono generati in modo automatico anche dei carichi ripartiti torcenti, anch'essi di forma trapezia, relativi ai carichi distribuiti equivalenti al pannello.

- *Sezioni*

Le sezioni assegnabili alle aste sono definite attraverso le caratteristiche geometrico-elastiche, i moduli di resistenza plastici (sezioni in acciaio) ed il materiale.

Materiali.

I materiali, ai fini del calcolo delle sollecitazioni, sono considerati omogenei ed isotropi e sono definiti dalle seguenti caratteristiche: peso per unità di volume, modulo elastico, coefficiente di Poisson, coefficiente di dilatazione, e tutte le caratteristiche meccaniche, riepilogate in seguito, utili alle verifiche strutturali dettate dalla normativa.

Matrici di calcolo della struttura.

Dalla discretizzazione geometrica della struttura vengono definite le matrici utili a studiare il comportamento globale della struttura in esame.

- *Matrice di rigidezza*

Tale matrice viene costruita partendo dalla matrice di rigidezza espressa nel sistema di riferimento locale dell'elemento considerato. Attraverso un'operazione di trasformazione, mediante la matrice di rotazione, viene riferita al sistema di riferimento globale. L'ultima operazione consiste nell'"assemblaggio" delle singole matrici di ogni elemento, in modo da formare un'unica matrice relativa all'intera struttura.

- *Matrice delle masse*

La generazione della matrice globale è del tutto analoga a quella sopra descritta per la matrice di rigidezza. La matrice delle masse è di tipo "consistente" e considera l'effettiva distribuzione delle masse della struttura. Come definito dalla normativa, alle masse relative ai carichi permanenti, viene aggiunta un'aliquota delle masse equivalenti ai carichi d'esercizio.

2.2 Tipo di calcolo.

ANALISI ORIZZONTALE STATICA LINEARE

Il calcolo risolutivo della struttura è stato effettuato utilizzando un sistema di equazioni lineari (di dimensioni pari ai gradi di libertà), secondo la relazione:

$$\underline{u} = [\underline{K}]^{-1} \underline{F}$$

dove: \underline{F} = vettore dei carichi risultanti applicate ai nodi;
 \underline{u} = vettore dei cinematismi nodali;
 $[\underline{K}]$ = matrice di rigidezza globale.

Tale analisi è stata ripetuta per tutte le condizioni presenti sulla struttura, identificati dai vettori dei carichi relativi a:

- carichi permanenti;
- carichi d'esercizio;
- delta termico;
- carichi utente;
- torsioni accidentali;

I valori delle eccentricità accidentali per le torsioni sono i seguenti:

	Torsioni Accidentali	
Imp. Reale	e _x [cm]	e _y [cm]
1	28.3	13.0

Per ogni impalcato reale si riportano i dati relativi alle rigidezze e ai baricentri:

Imp. Reale	Rigidezze			Centro Massa		Centro Rigidezza	
	Rig X [KN/cm]	Rig Y [KN/cm]	Rig. Tors. [KNcm]	X [cm]	Y [cm]	xR [cm]	yR [cm]
1	9287	7515	558843782	312.5	160.0	312.5	160.0

L'analisi sismica (statica equivalente) nella componente orizzontale è stata effettuata considerando un sistema di forze, agenti nella direzione del sisma considerato, applicate ad ogni piano nel centro di massa del piano stesso. Per poter effettuare questo tipo di analisi deve valere la condizione:

$$T_1 \leq 2.5 T_C$$

Dir. X: $T_{1X} = 2 dx^{1/2} = 0.000 \text{ s}$

Dir. Y: $T_{1Y} = 2 dy^{1/2} = 0.000 \text{ s}$

dx: spostamento massimo in dir. X dell'impalcato più in alto dell'edificio = 0.0000 m

dy: spostamento massimo in dir. Y dell'impalcato più in alto dell'edificio = 0.0000 m

T_C = periodo di fine risonanza dello spettro.

Nel caso specifico il valore di T_C è pari a: 0.57

Le forze sono computate secondo le seguenti formule:

$$F_{Ih} = F_H (W_I z_I) / (\sum W_I z_I) ;$$

$$F_H = S_d (T_1) W_{tot} \lambda ;$$

$$F_{Iv} = F_V (W_I) / (\sum W_I) ;$$

dove:

z_I : quota dell'impalcato,

$S_d (T_1)$: ordinata spettro di risposta.

$\lambda = 0.85$ (se $N_{piani} \geq 3$ e se $T_1 \leq 2 T_C$) oppure 1.00 (in tutti gli altri casi) ;

$$W_I = (G_K + \sum_i \Psi_{Ei} Q_{ik}) ;$$

dove:

$$\Psi_{Ei} (SLU - SLD) = \Psi_{2i} \varphi ;$$

$$\Psi_{2i} = 0.30 ;$$

φ (vedi paragrafo "Pesi Impalcati");

Si riportano i valori totali delle azioni sismiche orizzontali di piano applicate agli impalcati reali:

Imp. Reale	Fhx [daN]	Fhy [daN]
1	155.52	155.52
Fh Totali	155.52	155.52

2.3 Condizioni di carico valutate

Dati Condizioni.

Nella seguente tabella vengono riportati i dati per la definizione delle condizioni di carico:

Azione	Tipo	Durata
Car. perm. strutt. (Gk1)	C.Perm. (Gk)	Permanente
Car. perm. non strutt. (Gk2)	C.p. non str. (Gk2)	Permanente
Carichi d'esercizio (Qk)	C. Ese. (Qk)	Lunga
Δt	Carico termico	Breve

Torsione Accidentale X	Azione Sismica	Istantanea
Torsione Accidentale Y	Azione Sismica	Istantanea
Sisma X	Azione Sismica	Istantanea
Sisma Y	Azione Sismica	Istantanea
Sisma Z	Azione Sismica	Istantanea
carico_cab	Ignora	Permanente

Coefficienti di combinazione.

Nella seguente tabella vengono riportati i coefficienti di combinazione da normativa, relativi agli stati limite ultimi (SLV) e di danno (SLD):

Impalcato	Destinazione	Altre azioni			Delta termico		
		Ψ_{0i}	Ψ_{1i}	Ψ_{2i}	Ψ_{0i}	Ψ_{1i}	Ψ_{2i}
Fondazione	Categoria A: Ambienti ad uso residenziale	0.7	0.5	0.3	0.6	0.5	0.0
Piano 1	Categoria A: Ambienti ad uso residenziale	0.7	0.5	0.3	0.6	0.5	0.0

Per balconi e scale verranno usati i coefficienti calcolati come i maggiori tra quelli relativi alla categoria di carico di piano ed i seguenti:

Cat.	Destinazione	Altre azioni			Delta termico		
		Ψ_{0i}	Ψ_{1i}	Ψ_{2i}	Ψ_{0i}	Ψ_{1i}	Ψ_{2i}
C2	Balconi, ballatoi e scale	0.7	0.7	0.6	0.6	0.5	0.0

Tutte le combinazioni sono da intendersi come somma dell'effetto considerato. Tali combinazioni vengono considerate sovrapponendo i diagrammi secondo la tecnica dell'involuppo.

Combinazioni per le verifiche allo Stato Limite di Salvaguardia della Vita

Le azioni di calcolo presenti sulla struttura e le relative combinazioni di carico nei riguardi degli stati limite di salvaguardia della vita essere riassunte nelle seguenti tabelle:

Comb.	Elementi della Struttura								
	C. perm.(Gk1)	C. p. non str.(Gk2)	C. ese.(Qk)	Delta T(DT)	Tors. acc. X(Mx)	Tors. acc. Y(My)	Sisma X	Sisma Y	Sisma Z
1*	γG_{ns}	γG_{2ns}	γQ_{ns}	0	0	0	0	0	0
2*	γG_{ns}	γG_{2ns}	γQ_{ns}	$\Psi_0 \gamma Q_{ns}$	0	0	0	0	0
3*	γG_{ns}	γG_{2ns}	γQ_{ns}	$-\Psi_0 \gamma Q_{ns}$	0	0	0	0	0
4*	γG_{ns}	γG_{2ns}	$\Psi_0 \gamma Q_{ns}$	γQ_{ns}	0	0	0	0	0
5*	γG_{ns}	γG_{2ns}	$\Psi_0 \gamma Q_{ns}$	$-\gamma Q_{ns}$	0	0	0	0	0
6	γG_s	γG_{2s}	$\Psi_2 \gamma Q_s$	0	1	0	1	0.30	0
7	γG_s	γG_{2s}	$\Psi_2 \gamma Q_s$	0	-1	0	1	0.30	0
8	γG_s	γG_{2s}	$\Psi_2 \gamma Q_s$	0	1	0	1	-0.30	0
9	γG_s	γG_{2s}	$\Psi_2 \gamma Q_s$	0	-1	0	1	-0.30	0
10	γG_s	γG_{2s}	$\Psi_2 \gamma Q_s$	0	1	0	-1	0.30	0
11	γG_s	γG_{2s}	$\Psi_2 \gamma Q_s$	0	-1	0	-1	0.30	0
12	γG_s	γG_{2s}	$\Psi_2 \gamma Q_s$	0	1	0	-1	-0.30	0
13	γG_s	γG_{2s}	$\Psi_2 \gamma Q_s$	0	-1	0	-1	-0.30	0
14	γG_s	γG_{2s}	$\Psi_2 \gamma Q_s$	0	0	1	0.30	1	0
15	γG_s	γG_{2s}	$\Psi_2 \gamma Q_s$	0	0	-1	0.30	1	0
16	γG_s	γG_{2s}	$\Psi_2 \gamma Q_s$	0	0	1	-0.30	1	0
17	γG_s	γG_{2s}	$\Psi_2 \gamma Q_s$	0	0	-1	-0.30	1	0
18	γG_s	γG_{2s}	$\Psi_2 \gamma Q_s$	0	0	1	0.30	-1	0
19	γG_s	γG_{2s}	$\Psi_2 \gamma Q_s$	0	0	-1	0.30	-1	0
20	γG_s	γG_{2s}	$\Psi_2 \gamma Q_s$	0	0	1	-0.30	-1	0
21	γG_s	γG_{2s}	$\Psi_2 \gamma Q_s$	0	0	-1	-0.30	-1	0

*Combinazione fondamentale (par. 2.5.3, formula 2.5.1)

Comb.	Condizione
1*	carico_cab
	1.50

2*	1.50
3*	1.50
4*	1.50
5*	1.50
6	1.00
7	1.00
8	1.00
9	1.00
10	1.00
11	1.00
12	1.00
13	1.00
14	1.00
15	1.00
16	1.00
17	1.00
18	1.00
19	1.00
20	1.00
21	1.00

*Combinazione fondamentale (par. 2.5.3, formula 2.5.1)

Elementi di fondazione A1									
Comb.	Condizione								
	C. perm.(Gk1)	C. p. non str.(Gk2)	C. ese.(Qk)	Delta T(DT)	Tors. acc. X(Mx)	Tors. acc. Y(My)	Sisma X	Sisma Y	Sisma Z
1*	γ_{Gns}	γ_{G2ns}	γ_{Qns}	0	0	0	0	0	0
2*	γ_{Gns}	γ_{G2ns}	γ_{Qns}	$\Psi 0 \gamma_{Qns}$	0	0	0	0	0
3*	γ_{Gns}	γ_{G2ns}	γ_{Qns}	$-\Psi 0 \gamma_{Qns}$	0	0	0	0	0
4*	γ_{Gns}	γ_{G2ns}	$\Psi 0 \gamma_{Qns}$	γ_{Qns}	0	0	0	0	0
5*	γ_{Gns}	γ_{G2ns}	$\Psi 0 \gamma_{Qns}$	$-\gamma_{Qns}$	0	0	0	0	0
6	γ_{Gs}	γ_{G2s}	$\Psi 2 \gamma_{Qs}$	0	1	0	1	0.30	0
7	γ_{Gs}	γ_{G2s}	$\Psi 2 \gamma_{Qs}$	0	-1	0	1	0.30	0
8	γ_{Gs}	γ_{G2s}	$\Psi 2 \gamma_{Qs}$	0	1	0	1	-0.30	0
9	γ_{Gs}	γ_{G2s}	$\Psi 2 \gamma_{Qs}$	0	-1	0	1	-0.30	0
10	γ_{Gs}	γ_{G2s}	$\Psi 2 \gamma_{Qs}$	0	1	0	-1	0.30	0
11	γ_{Gs}	γ_{G2s}	$\Psi 2 \gamma_{Qs}$	0	-1	0	-1	0.30	0
12	γ_{Gs}	γ_{G2s}	$\Psi 2 \gamma_{Qs}$	0	1	0	-1	-0.30	0
13	γ_{Gs}	γ_{G2s}	$\Psi 2 \gamma_{Qs}$	0	-1	0	-1	-0.30	0
14	γ_{Gs}	γ_{G2s}	$\Psi 2 \gamma_{Qs}$	0	0	1	0.30	1	0
15	γ_{Gs}	γ_{G2s}	$\Psi 2 \gamma_{Qs}$	0	0	-1	0.30	1	0
16	γ_{Gs}	γ_{G2s}	$\Psi 2 \gamma_{Qs}$	0	0	1	-0.30	1	0
17	γ_{Gs}	γ_{G2s}	$\Psi 2 \gamma_{Qs}$	0	0	-1	-0.30	1	0
18	γ_{Gs}	γ_{G2s}	$\Psi 2 \gamma_{Qs}$	0	0	1	0.30	-1	0
19	γ_{Gs}	γ_{G2s}	$\Psi 2 \gamma_{Qs}$	0	0	-1	0.30	-1	0
20	γ_{Gs}	γ_{G2s}	$\Psi 2 \gamma_{Qs}$	0	0	1	-0.30	-1	0
21	γ_{Gs}	γ_{G2s}	$\Psi 2 \gamma_{Qs}$	0	0	-1	-0.30	-1	0

*Combinazione fondamentale (par. 2.5.3, formula 2.5.1)

Comb.	Condizione
	carico_cab
1*	1.50
2*	1.50
3*	1.50
4*	1.50
5*	1.50
6	1.00
7	1.00
8	1.00
9	1.00
10	1.00
11	1.00
12	1.00
13	1.00
14	1.00
15	1.00
16	1.00
17	1.00
18	1.00

19	1.00
20	1.00
21	1.00

*Combinazione fondamentale (par. 2.5.3, formula 2.5.1)

Combinazioni per le verifiche allo Stato Limite di Danno

Le azioni di calcolo presenti sulla struttura e le relative combinazioni di carico nei riguardi degli stati limite di danno possono essere riassunte nelle seguenti tabelle:

Elementi della Struttura									
Comb.	Condizione								
	C. perm.(Gk1)	C. p. non str.(Gk2)	C. ese.(Qk)	Delta T(DT)	Tors. acc. X(Mx)	Tors. acc. Y(My)	Sisma X	Sisma Y	Sisma Z
1	γ_{Gns}	γ_{G2ns}	γ_{Qns}	0	0	0	0	0	0
2	γ_{Gns}	γ_{G2ns}	γ_{Qns}	$\Psi_0\gamma_{Qns}$	0	0	0	0	0
3	γ_{Gns}	γ_{G2ns}	γ_{Qns}	$-\Psi_0\gamma_{Qns}$	0	0	0	0	0
4	γ_{Gns}	γ_{G2ns}	$\Psi_0\gamma_{Qns}$	γ_{Qns}	0	0	0	0	0
5	γ_{Gns}	γ_{G2ns}	$\Psi_0\gamma_{Qns}$	$-\gamma_{Qns}$	0	0	0	0	0
6	γ_{Gs}	γ_{G2s}	$\Psi_2\gamma_{Qs}$	0	1	0	1	0.30	0
7	γ_{Gs}	γ_{G2s}	$\Psi_2\gamma_{Qs}$	0	-1	0	1	0.30	0
8	γ_{Gs}	γ_{G2s}	$\Psi_2\gamma_{Qs}$	0	1	0	1	-0.30	0
9	γ_{Gs}	γ_{G2s}	$\Psi_2\gamma_{Qs}$	0	-1	0	1	-0.30	0
10	γ_{Gs}	γ_{G2s}	$\Psi_2\gamma_{Qs}$	0	1	0	-1	0.30	0
11	γ_{Gs}	γ_{G2s}	$\Psi_2\gamma_{Qs}$	0	-1	0	-1	0.30	0
12	γ_{Gs}	γ_{G2s}	$\Psi_2\gamma_{Qs}$	0	1	0	-1	-0.30	0
13	γ_{Gs}	γ_{G2s}	$\Psi_2\gamma_{Qs}$	0	-1	0	-1	-0.30	0
14	γ_{Gs}	γ_{G2s}	$\Psi_2\gamma_{Qs}$	0	0	1	0.30	1	0
15	γ_{Gs}	γ_{G2s}	$\Psi_2\gamma_{Qs}$	0	0	-1	0.30	1	0
16	γ_{Gs}	γ_{G2s}	$\Psi_2\gamma_{Qs}$	0	0	1	-0.30	1	0
17	γ_{Gs}	γ_{G2s}	$\Psi_2\gamma_{Qs}$	0	0	-1	-0.30	1	0
18	γ_{Gs}	γ_{G2s}	$\Psi_2\gamma_{Qs}$	0	0	1	0.30	-1	0
19	γ_{Gs}	γ_{G2s}	$\Psi_2\gamma_{Qs}$	0	0	-1	0.30	-1	0
20	γ_{Gs}	γ_{G2s}	$\Psi_2\gamma_{Qs}$	0	0	1	-0.30	-1	0
21	γ_{Gs}	γ_{G2s}	$\Psi_2\gamma_{Qs}$	0	0	-1	-0.30	-1	0

Comb.	Condizione carico_cab
1	1.00
2	1.00
3	1.00
4	1.00
5	1.00
6	1.00
7	1.00
8	1.00
9	1.00
10	1.00
11	1.00
12	1.00
13	1.00
14	1.00
15	1.00
16	1.00
17	1.00
18	1.00
19	1.00
20	1.00
21	1.00

Elementi di fondazione A1									
Comb.	Condizione								
	C. perm.(Gk1)	C. p. non str.(Gk2)	C. ese.(Qk)	Delta T(DT)	Tors. acc. X(Mx)	Tors. acc. Y(My)	Sisma X	Sisma Y	Sisma Z
1	γ_{Gns}	γ_{G2ns}	γ_{Qns}	0	0	0	0	0	0
2	γ_{Gns}	γ_{G2ns}	γ_{Qns}	$\Psi_0\gamma_{Qns}$	0	0	0	0	0
3	γ_{Gns}	γ_{G2ns}	γ_{Qns}	$-\Psi_0\gamma_{Qns}$	0	0	0	0	0

4	γ_{Gns}	γ_{G2ns}	$\Psi_0\gamma_{Qns}$	γ_{Qns}	0	0	0	0	0
5	γ_{Gns}	γ_{G2ns}	$\Psi_0\gamma_{Qns}$	$-\gamma_{Qns}$	0	0	0	0	0
6	γ_{Gs}	γ_{G2s}	$\Psi_2\gamma_{Qs}$	0	1	0	1	0.30	0
7	γ_{Gs}	γ_{G2s}	$\Psi_2\gamma_{Qs}$	0	-1	0	1	0.30	0
8	γ_{Gs}	γ_{G2s}	$\Psi_2\gamma_{Qs}$	0	1	0	1	-0.30	0
9	γ_{Gs}	γ_{G2s}	$\Psi_2\gamma_{Qs}$	0	-1	0	1	-0.30	0
10	γ_{Gs}	γ_{G2s}	$\Psi_2\gamma_{Qs}$	0	1	0	-1	0.30	0
11	γ_{Gs}	γ_{G2s}	$\Psi_2\gamma_{Qs}$	0	-1	0	-1	0.30	0
12	γ_{Gs}	γ_{G2s}	$\Psi_2\gamma_{Qs}$	0	1	0	-1	-0.30	0
13	γ_{Gs}	γ_{G2s}	$\Psi_2\gamma_{Qs}$	0	-1	0	-1	-0.30	0
14	γ_{Gs}	γ_{G2s}	$\Psi_2\gamma_{Qs}$	0	0	1	0.30	1	0
15	γ_{Gs}	γ_{G2s}	$\Psi_2\gamma_{Qs}$	0	0	-1	0.30	1	0
16	γ_{Gs}	γ_{G2s}	$\Psi_2\gamma_{Qs}$	0	0	1	-0.30	1	0
17	γ_{Gs}	γ_{G2s}	$\Psi_2\gamma_{Qs}$	0	0	-1	-0.30	1	0
18	γ_{Gs}	γ_{G2s}	$\Psi_2\gamma_{Qs}$	0	0	1	0.30	-1	0
19	γ_{Gs}	γ_{G2s}	$\Psi_2\gamma_{Qs}$	0	0	-1	0.30	-1	0
20	γ_{Gs}	γ_{G2s}	$\Psi_2\gamma_{Qs}$	0	0	1	-0.30	-1	0
21	γ_{Gs}	γ_{G2s}	$\Psi_2\gamma_{Qs}$	0	0	-1	-0.30	-1	0

Comb.	Condizione carico_cab
1	1.00
2	1.00
3	1.00
4	1.00
5	1.00
6	1.00
7	1.00
8	1.00
9	1.00
10	1.00
11	1.00
12	1.00
13	1.00
14	1.00
15	1.00
16	1.00
17	1.00
18	1.00
19	1.00
20	1.00
21	1.00

I coefficienti utilizzati assumono i seguenti valori:

ELEMENTO	SLV						SLD					
	γ_{G1ns}	γ_{G2ns}	γ_{Qns}	γ_{G1s}	γ_{G2s}	γ_{Qs}	γ_{G1ns}	γ_{G2ns}	γ_{Qns}	γ_{G1s}	γ_{G2s}	γ_{Qs}
ELEMENTO	1.3	1.5	1.5	1.0	1.0	1.0	1.0	1.0	1.0	1.0	1.0	1.0
Fondazione A1	1.3	1.5	1.5	1.0	1.0	1.0	1.0	1.0	1.0	1.0	1.0	1.0

Combinazioni per le verifiche allo Stato limite di esercizio

Le azioni di calcolo presenti sulla struttura e le relative combinazioni di carico nei riguardi degli stati limite di esercizio possono essere riassunte nelle seguenti tabelle:

Combinazioni Caratteristiche:

Elementi della Struttura				
Comb.	Condizione			
	C. perm.(Gk1)	C. p. non str.(Gk2)	C. ese.(Qk)	Delta T(DT)
1	γ_{Gns}	γ_{G2ns}	γ_{Qns}	$\Psi_0\gamma_{Qns}$
2	γ_{Gns}	γ_{G2ns}	γ_{Qns}	$-\Psi_0\gamma_{Qns}$
3	γ_{Gns}	γ_{G2ns}	$\Psi_0\gamma_{Qns}$	γ_{Qns}
4	γ_{Gns}	γ_{G2ns}	$\Psi_0\gamma_{Qns}$	$-\gamma_{Qns}$

Comb.	Condizione carico_cab
1	1.00
2	1.00
3	1.00
4	1.00

Elementi di fondazione A1				
Comb.	Condizione			
	C. perm.(Gk1)	C. p. non str.(Gk2)	C. ese.(Qk)	Delta T(DT)
1	γG_{ns}	γG_{2ns}	γQ_{ns}	$\Psi_0 \gamma Q_{ns}$
2	γG_{ns}	γG_{2ns}	γQ_{ns}	$-\Psi_0 \gamma Q_{ns}$
3	γG_{ns}	γG_{2ns}	$\Psi_0 \gamma Q_{ns}$	γQ_{ns}
4	γG_{ns}	γG_{2ns}	$\Psi_0 \gamma Q_{ns}$	$-\gamma Q_{ns}$

Comb.	Condizione carico_cab
1	1.00
2	1.00
3	1.00
4	1.00

Elementi di fondazione A2				
Comb.	Condizione			
	C. perm.(Gk1)	C. p. non str.(Gk2)	C. ese.(Qk)	Delta T(DT)
1	γG_{ns}	γG_{2ns}	γQ_{ns}	$\Psi_0 \gamma Q_{ns}$
2	γG_{ns}	γG_{2ns}	γQ_{ns}	$-\Psi_0 \gamma Q_{ns}$
3	γG_{ns}	γG_{2ns}	$\Psi_0 \gamma Q_{ns}$	γQ_{ns}
4	γG_{ns}	γG_{2ns}	$\Psi_0 \gamma Q_{ns}$	$-\gamma Q_{ns}$

Comb.	Condizione carico_cab
1	1.00
2	1.00
3	1.00
4	1.00

Combinazioni Frequenti:

Elementi della Struttura				
Comb.	Condizione			
	C. perm.(Gk1)	C. p. non str.(Gk2)	C. ese.(Qk)	Delta T(DT)
1	γG_{ns}	γG_{2ns}	$\Psi_1 \gamma Q_{ns}$	$\Psi_2 \gamma Q_{ns}$
2	γG_{ns}	γG_{2ns}	$\Psi_1 \gamma Q_{ns}$	$-\Psi_2 \gamma Q_{ns}$
3	γG_{ns}	γG_{2ns}	$\Psi_2 \gamma Q_{ns}$	$\Psi_1 \gamma Q_{ns}$
4	γG_{ns}	γG_{2ns}	$\Psi_2 \gamma Q_{ns}$	$-\Psi_1 \gamma Q_{ns}$

Comb.	Condizione carico_cab
1	1.00
2	1.00
3	1.00
4	1.00

Elementi di fondazione A1				
Comb.	Condizione			
	C. perm.(Gk1)	C. p. non str.(Gk2)	C. ese.(Qk)	Delta T(DT)
1	γG_{ns}	γG_{2ns}	$\Psi_1 \gamma Q_{ns}$	$\Psi_2 \gamma Q_{ns}$
2	γG_{ns}	γG_{2ns}	$\Psi_1 \gamma Q_{ns}$	$-\Psi_2 \gamma Q_{ns}$
3	γG_{ns}	γG_{2ns}	$\Psi_2 \gamma Q_{ns}$	$\Psi_1 \gamma Q_{ns}$

4	γ_{Gns}	γ_{G2ns}	$\Psi_2\gamma_{Qns}$	$-\Psi_1\gamma_{Qns}$
----------	----------------	-----------------	----------------------	-----------------------

Comb.	Condizione
	carico_cab
1	1.00
2	1.00
3	1.00
4	1.00

Elementi di fondazione A2				
Comb.	Condizione			
	C. perm.(Gk1)	C. p. non str.(Gk2)	C. ese.(Qk)	Delta T(DT)
1	γ_{Gns}	γ_{G2ns}	$\Psi_1\gamma_{Qns}$	$\Psi_2\gamma_{Qns}$
2	γ_{Gns}	γ_{G2ns}	$\Psi_1\gamma_{Qns}$	$-\Psi_2\gamma_{Qns}$
3	γ_{Gns}	γ_{G2ns}	$\Psi_2\gamma_{Qns}$	$\Psi_1\gamma_{Qns}$
4	γ_{Gns}	γ_{G2ns}	$\Psi_2\gamma_{Qns}$	$-\Psi_1\gamma_{Qns}$

Comb.	Condizione
	carico_cab
1	1.00
2	1.00
3	1.00
4	1.00

Combinazioni quasi permanenti :

Elementi della Struttura				
Comb.	Condizione			
	C. perm.(Gk1)	C. p. non str.(Gk2)	C. ese.(Qk)	Delta T(DT)
1	γ_{Gns}	γ_{G2ns}	$\Psi_2\gamma_{Qns}$	$\Psi_2\gamma_{Qns}$
2	γ_{Gns}	γ_{G2ns}	$\Psi_2\gamma_{Qns}$	$-\Psi_2\gamma_{Qns}$

Comb.	Condizione
	carico_cab
1	1.00
2	1.00

Elementi di fondazione A1				
Comb.	Condizione			
	C. perm.(Gk1)	C. p. non str.(Gk2)	C. ese.(Qk)	Delta T(DT)
1	γ_{Gns}	γ_{G2ns}	$\Psi_2\gamma_{Qns}$	$\Psi_2\gamma_{Qns}$
2	γ_{Gns}	γ_{G2ns}	$\Psi_2\gamma_{Qns}$	$-\Psi_2\gamma_{Qns}$

Comb.	Condizione
	carico_cab
1	1.00
2	1.00

Elementi di fondazione A2				
Comb.	Condizione			
	C. perm.(Gk1)	C. p. non str.(Gk2)	C. ese.(Qk)	Delta T(DT)
1	γ_{Gns}	γ_{G2ns}	$\Psi_2\gamma_{Qns}$	$\Psi_2\gamma_{Qns}$
2	γ_{Gns}	γ_{G2ns}	$\Psi_2\gamma_{Qns}$	$-\Psi_2\gamma_{Qns}$

Comb.	Condizione
	carico_cab
1	1.00
2	1.00

I coefficienti utilizzati assumono i seguenti valori:

SLE	Caratteristiche					Frequenti					Q. Permanenti				
ELEMENTO	γ_{Gns}	γ_{Qns}	γ_I	γ_{EG}	γ_{EQ}	γ_{Gns}	γ_{Qns}	γ_I	γ_{EG}	γ_{EQ}	γ_{Gns}	γ_{Qns}	γ_I	γ_{EG}	γ_{EQ}
ELEMENTO	1.0	1.0	1.0	1.0	1.0	1.0	1.0	1.0	1.0	1.0	1.0	1.0	1.0	1.0	1.0
Fondazione A1	1.0	1.0	1.0	1.0	1.0	1.0	1.0	1.0	1.0	1.0	1.0	1.0	1.0	1.0	1.0
Fondazione A2	1.0	1.0	1.0	1.0	1.0	1.0	1.0	1.0	1.0	1.0	1.0	1.0	1.0	1.0	1.0

Tali combinazioni vengono considerate sovrapponendo i diagrammi secondo la tecnica dell'involuppo.

2.4 Procedura di Verifica degli elementi.

2.4.1 Elementi in C.A. .

Le Verifiche relative alle strutture in C.A. si possono riassumere, in funzione degli elementi considerati, nei seguenti tipi:

- Pilastri

Tali elementi vengono verificati utilizzando lo stato sollecitante completo nei riguardi di:

- PressoTensoFlessione Deviata
- Taglio
- Stabilità
- Stato tensionale

- Travi

Tali elementi vengono verificati utilizzando lo stato sollecitante completo nei riguardi di

- PressoTensoFlessione
- Taglio
- Deformabilità
- Stato tensionale
- Fessurazione

- Travi di fondazione

Tali elementi vengono verificati utilizzando lo stato sollecitante completo nei riguardi di

- PressoTensoFlessione
- Taglio
- Stato tensionale
- Fessurazione

Le singole verifiche vengono descritte qui di seguito:

- PressoTensoFlessione Deviata

Le sollecitazioni che vengono considerate in tale verifica sono: Sforzo Normale, Momento Flettente X-Z, Momento Flettente X-Y.

La verifica di resistenza è soddisfatta se la sollecitazione determinata dalla condizione considerata cade all'interno del dominio di sicurezza determinato, attraverso la conoscenza:

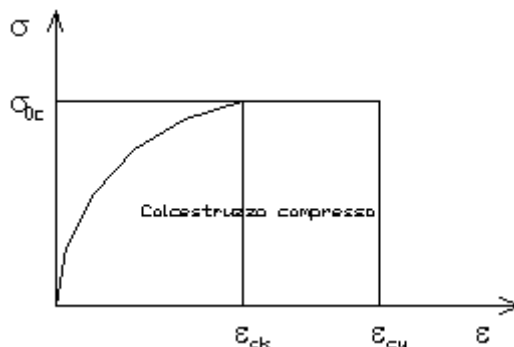
- del comportamento meccanico della sezione in esame;
- delle caratteristiche dei materiali di cui è composta;
- dei coefficienti di sicurezza forniti dalla normativa seguita.

Il calcolo è condotto nelle ipotesi che:

1. Le sezioni rimangano piane fino a rottura;
2. Ci sia perfetta aderenza fra acciaio e calcestruzzo;
3. La deformazione massima del calcestruzzo compresso è pari a 0.0035 nel caso di flessione semplice e composta;

- con asse neutro reale mentre è pari a 0.002 nel caso di compressione semplice;
4. La deformazione massima per l'acciaio teso sia pari a 0.01;
 5. Il calcestruzzo non abbia alcuna capacità di resistenza a trazione.

Il diagramma tensioni-deformazioni assunto per il calcestruzzo è di tipo parabola-rettangolo come indicato nella seguente figura:



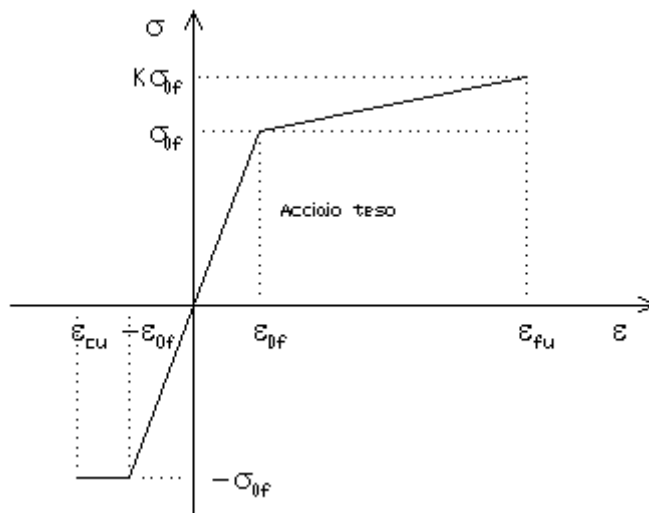
- dove:
- $\epsilon_{ck} = 0.002$;
 - $\epsilon_{cu} = 0.0035$;
 - $\sigma_{0c} = 0.85 \cdot 0.83 \cdot R_{ck} / \gamma_c$;
 - R_{ck} = resistenza caratteristica del calcestruzzo;
 - $\gamma_{m,c}$ = coefficiente di materiale del calcestruzzo;

Le equazioni che descrivono il diagramma sono:

$$\epsilon < \epsilon_{ck} : \sigma(\epsilon) = 1000 \cdot \sigma_{0c} \cdot \epsilon \cdot (1 - 250 \cdot \epsilon);$$

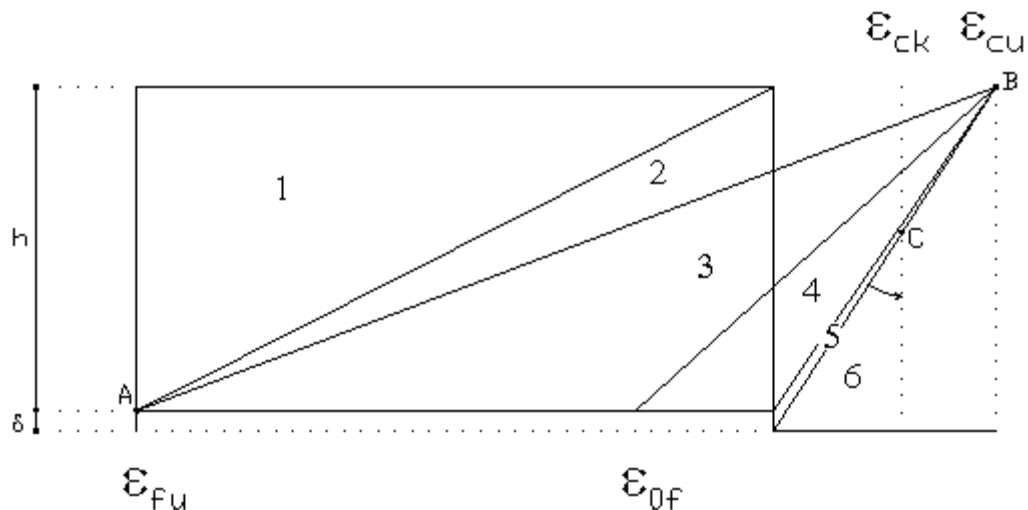
$$\epsilon_{ck} < \epsilon < \epsilon_{cu} : s(\sigma) = \sigma_{0c};$$

Il diagramma tensioni-deformazioni assunto per l'acciaio è indicato nella seguente figura:



- dove:
- $\epsilon_{0f} = \sigma_{0f} / E$;
 - E = Modulo di elasticità dell'acciaio;
 - σ_{0f} = resistenza di calcolo dell'acciaio;
 - k = rapporto di sovrarresistenza (se è pari ad 1 il comportamento è bilineare elastico-perfettamente plastico);
 - f_{yk} = Resistenza caratteristica dell'acciaio
 - γ_m = coefficiente di sicurezza dell'acciaio;
 - ϵ_{fu} = deformazione ultima dell'acciaio;
 - ϵ_{cu} = deformazione ultima del calcestruzzo;

Le limitazioni delle deformazioni unitarie per il conglomerato e per l'acciaio conducono a definire sei diversi campi (o regioni) nei quali potrà trovarsi la retta di deformazione specifica. Tali campi sono descritti nel seguente modo:



Campo 1 : è caratterizzato dall'allungamento massimo tollerabile per l'acciaio pari a ϵ_{fu} . Il diagramma delle deformazioni specifiche appartiene ad un fascio di rette passanti per il punto (A) mentre la distanza dall'asse neutro potrà variare da $-\infty$ a 0. È il caso di trazione semplice o con piccola eccentricità; la sezione risulta interamente tesa. La crisi si ha per cedimento dell'acciaio teso.

Campo 2 : è caratterizzato dall'allungamento massimo tollerabile per l'acciaio pari a ϵ_{fu} e dalla rotazione del diagramma attorno al punto (A). La deformazione specifica del calcestruzzo varia da 0 al valore massimo del calcestruzzo compresso (ϵ_{cu}) mentre la distanza dell'asse neutro dal lembo compresso può variare da 0 a $0.259h$. La sezione risulterà in parte tesa ed in parte compressa e quindi sarà sollecitata a flessione semplice o composta.

Campo 3 : è caratterizzato dall'accorciamento massimo del conglomerato pari a ϵ_{cu} . Le rette di deformazione appartengono ad un fascio passante per (B). La massima tensione del calcestruzzo in questa regione è pari a quella di rottura di calcolo mentre l'armatura è ancora deformata in campo plastico. La sezione risulterà in parte tesa ed in parte compressa e quindi sarà sollecitata a flessione semplice o composta.

Campo 4 : è caratterizzato dall'accorciamento massimo del conglomerato pari a ϵ_{cu} . Le rette di deformazione appartengono ad un fascio passante per (B). La massima tensione del calcestruzzo in questa regione è pari a quella di rottura di calcolo mentre l'armatura è sollecitata con tensioni inferiori allo snervamento e può risultare anche scarica. La sezione risulterà in parte tesa ed in parte compressa e quindi sarà sollecitata a flessione semplice o composta.

Campo 5 : è caratterizzato dall'accorciamento massimo del conglomerato pari a ϵ_{cu} . Le rette di deformazione appartengono ad un fascio passante per (B) mentre la distanza dell'asse neutro varia da h ad $h+d$. L'armatura in tale regione è sollecitata a compressione e pertanto tutta la sezione è compressa; è questo il caso della flessione composta.

Campo 6 : è caratterizzato dall'accorciamento massimo del conglomerato compresso che varia fra ϵ_{cu} e ϵ_{ck} . Le rette di deformazione specifica appartengono ad un fascio passante per (C) e la distanza dell'asse neutro varia fra 0 e $-\infty$. La distanza di (C) dal lembo superiore vale $3h/7$. La sezione risulta sollecitata a compressione semplice o composta.

- Taglio

Il calcolo del taglio viene eseguito secondo il metodo di Ritter-Morsch.

Per gli elementi in cui è richiesta la verifica a taglio, deve risultare:

$$V_{Sd} \leq \min[V_{Rsd}, V_{Rcd}]$$

dove:

- V_{Sd} : taglio sollecitante il calcolo;
- $V_{Rsd} = 0.9 d (A_{sw} / s) f_{yd} (\text{ctg}\alpha + \text{ctg}\theta) \sin\alpha$;
- $V_{Rcd} = 0.9 d b_w \alpha_c f'_{cd} (\text{ctg}\alpha + \text{ctg}\theta) / (1 + \text{ctg}^2\theta)$;
- d : altezza utile della sezione;
- A_{sw} : area dell'armatura trasversale;
- s : passo dell'armatura trasversale;;

f_{yd} : resistenza a snervamento dell'acciaio;
 b_w : larghezza minima della sezione lungo l'altezza efficace;

Il contributo delle armature a taglio è somma del contributo delle staffe e degli eventuali sagomati. In ogni caso l'aliquota massima che può essere affidata ai sagomati è il 50% dello sforzo di taglio massimo.

- Stabilità

La verifica di instabilità degli elementi snelli in c.a. viene condotta attraverso un'analisi del secondo ordine che tiene in conto degli effetti flessionali dell'azione assiale sulla configurazione deformata degli elementi stessi.

Si sono assunti legami fra le azioni interne e le deformazioni che mettono in conto il comportamento non lineare dei materiali e si è trascurato il contributo del calcestruzzo teso.

Il valore limite della snellezza per ogni colonna è stato assunto pari a:

$$\lambda_{lim} = 25 / \sqrt{v}$$

dove:

$$v = N_{ed} / (A_c f_{cd})$$

$$C = 1.7 - r_m$$

$r_m = M_{01} / M_{02}$ è il rapporto fra i momenti flettenti del primo ordine alle due estremità del pilastro, positivo se i due momenti sono discordi sulla trave ($|M_{02}| \geq |M_{01}|$).

La snellezza della colonna da confrontare con λ_{lim} è pari a:

$$\lambda = \lambda_0 / i$$

λ_0 è la lunghezza libera d'inflessione definita in base ai vincoli di estremità ed i il raggio d'inerzia della sezioni in calcestruzzo non fessurato.

Con riferimento al punto 4.1.2.3.9.3 del D.M. 17/01/2018 in aggiunta al momento sollecitante esterno viene sommata un'aliquota dovuta ad un'eccentricità dello sforzo normale pari a $1/300$ dell'altezza della colonna (difetto di rettilineità).

In aggiunta viene considerata un'aliquota aggiuntiva che tenga conto dell'inflessione della colonna pari a $e_2 := 0.222 e_{fy} l_0^2/h$.

- Stato tensionale

Tale verifica rientra nell'ambito della verifica di esercizio. Il calcolo delle tensioni si ottiene sfruttando le ipotesi tradizionali per il calcolo del cemento armato ordinario, e cioè:

1. assunzione dei materiali elastico lineari;
2. conservazione delle sezioni piane al crescere dei carichi;
3. perfetta aderenza tra acciaio e calcestruzzo;
4. resistenza nulla a trazione del calcestruzzo;

Inoltre può essere stabilito un coefficiente di omogeneizzazione diverso dal valore ordinario.

Le tensioni di esercizio si possono calcolare considerando le combinazioni di carico caratteristica, frequente e quasi permanente. La verifica consiste nel confrontare le tensioni di calcolo con quelle limite dei materiali.

- Fessurazione

Poiché la fessurazione in strutture in cemento armato ordinario è quasi inevitabile, bisogna limitare tali entità in modo da non pregiudicare il corretto funzionamento della struttura.

La fessurazione può essere limitata assicurando un minimo di area di armatura longitudinale che può essere calcolata dalla seguente espressione:

$$A_s = k_c k f_{ct,eff} (A_{ct} / \sigma_s)$$

dove:

A_s : area di armatura nella zona tesa;

k_c : coefficiente che tiene conto del tipo di distribuzione delle tensioni nella sezione subito prima la fessurazione.

Assume valore 0.4 per flessione senza compressione assiale, e 1 per trazione;

- k : coefficiente che tiene conto degli effetti di tensioni auto-equilibrate non uniformi;
 $f_{ct,eff}$: resistenza efficace a trazione della sezione al momento in cui si suppone insorgano le prime fessure. In mancanza di dati si utilizza il valore di 3 N/mm²;
 A_{ct} : area del calcestruzzo in zona tesa subito prima della fessurazione;
 σ_s : massima tensione ammessa nell'armatura subito dopo la formazione della fessura.

Il calcolo delle ampiezze delle fessure si effettua considerando anche la parte di calcestruzzo reagente a trazione utilizzando la seguente espressione:

$$W_k = \beta s_{rm} \varepsilon_{sm}$$

- W_k : ampiezza di calcolo delle fessure;
 β : coefficiente di correlazione tra l'ampiezza media delle fessure e il valore di calcolo;
 s_{rm} : distanza media finale tra le fessure;
 ε_{sm} : deformazione che tiene conto, nella combinazione di carico considerata, degli effetti "tension stiffening", del ritiro;

La quantità ε_{sm} si ottiene dalla seguente espressione:

$$\varepsilon_{sm} = (\sigma_s / E_s) [1 - \beta_1 \beta_2 (\sigma_{sr} / \sigma_s)^2]$$

dove:

- σ_s : tensione dell'acciaio teso calcolata a sezione fessurata;
 E_s : modulo elastico dell'acciaio;
 σ_{sr} : tensione dell'acciaio teso calcolata nella sezione per una condizione di carico che induce alla prima fessurazione;
 β_1 : coefficiente di aderenza delle barre. Assume valore 0.5 per barre lisce e 1 per barre ad aderenza migliorata;
 β_2 : coefficiente di durata dei carichi. Assume valore 0.5 per carichi di lunga durata o per molti cicli ripetuti e 1 per un singolo carico di breve durata.

La quantità s_{rm} si ottiene dalla seguente espressione:

$$s_{rm} = 50 + 0.25 k_1 k_2 (\phi / \rho_r)$$

dove:

- k_1 : coefficiente di aderenza delle barre. Assume valore 1.6 per barre lisce e 0.8 per barre ad aderenza migliorata;
 k_2 : coefficiente che tiene conto della forma del diagramma delle deformazioni. Assume valore 0.5 per flessione e 1 per trazione pura;
 ϕ : diametro delle barre in mm. Se si utilizzano più diametri si utilizza il diametro medio.

La fessurazione causata dalle azioni tangenziali si considera contenuta in limiti accettabili se si adotta un passo delle staffe. Tale verifica non è necessaria in elementi in cui non è richiesta l'armatura a taglio.

- Verifiche a deformabilità

Per il calcolo della deformabilità di elementi inflessi si utilizza il metodo che pesa le curvature nelle due situazioni caratteristiche degli elementi in c.a. ("I" sezione integra; "II" sezione fessurata). A tale riguardo la curvatura in una generica sezione può essere valutata con la seguente relazione:

$$\theta = (1-\zeta) \theta_I + \zeta \theta_{II}$$

dove ζ rappresenta l'effetto irrigidente del calcestruzzo tra due fessure consecutive (tension stiffening):

$$\zeta = 1 - c(M_{cr}/M)^2$$

dove:

- c : pari a 1 per carichi permanenti;
 M_{cr} : momento di prima fessurazione;
 M : momento sollecitante.

Per calcolare la freccia di un elemento, si divide in “n” conci uguali e si calcola la curvatura di ogni concio riferita alla coordinata x_i . La freccia relativa alla sezione x_j è pari a:

$$\delta_j = \varphi_A x_j - \sum (x_j - x_i) \theta_i \Delta x$$

dove:

- φ_A : rotazione dell'estremo iniziale dell'elemento;
- l : lunghezza dell'elemento;
- Δx : lunghezza del concio;
- θ_i : curvatura relativa al concio.

- Particolari prescrizioni per distribuzione irregolare di tamponamenti ed impianti

Nel caso di distribuzione fortemente irregolare in altezza di tamponamenti ed impianti, deve essere considerata la possibilità di forti concentrazioni di danno ai livelli caratterizzati da significativa riduzione del numero di tali elementi.

Questo requisito si intende soddisfatto incrementando le azioni di calcolo per gli elementi verticali (pilastri e pareti) dei livelli con riduzione dei tamponamenti come descritto nel paragrafo 7.2.3 delle N.T.C. I fattori di sovrarresistenza utilizzati nel presente calcolo sono:

Impalcato	Fatt. Sovr.
1	1.00

- Operazioni per il controllo della duttilità (DUT) richiesta dagli elementi in c.a

Nel caso di comportamento strutturale dissipativo il comportamento sismico della struttura è largamente dipendente dal comportamento delle sue zone dissipative, esse devono formarsi ove previsto e mantenere, in presenza di azioni cicliche, la capacità di trasmettere le necessarie sollecitazioni e di dissipare energia, garantendo la capacità in duttilità relativa alla classe di duttilità scelta.

I dettagli costruttivi delle zone dissipative e delle connessioni tra queste zone e le restanti parti della struttura, nonché dei diversi elementi strutturali tra loro, sono fondamentali per un corretto comportamento sismico e devono essere esaurientemente specificati negli elaborati di progetto.

Nel caso di analisi lineare la verifica di duttilità si può ritenere soddisfatta, rispettando per tutti gli elementi strutturali, sia primari sia secondari, le regole specifiche per i dettagli costruttivi precisate dalle norme per le diverse tipologie costruttive.

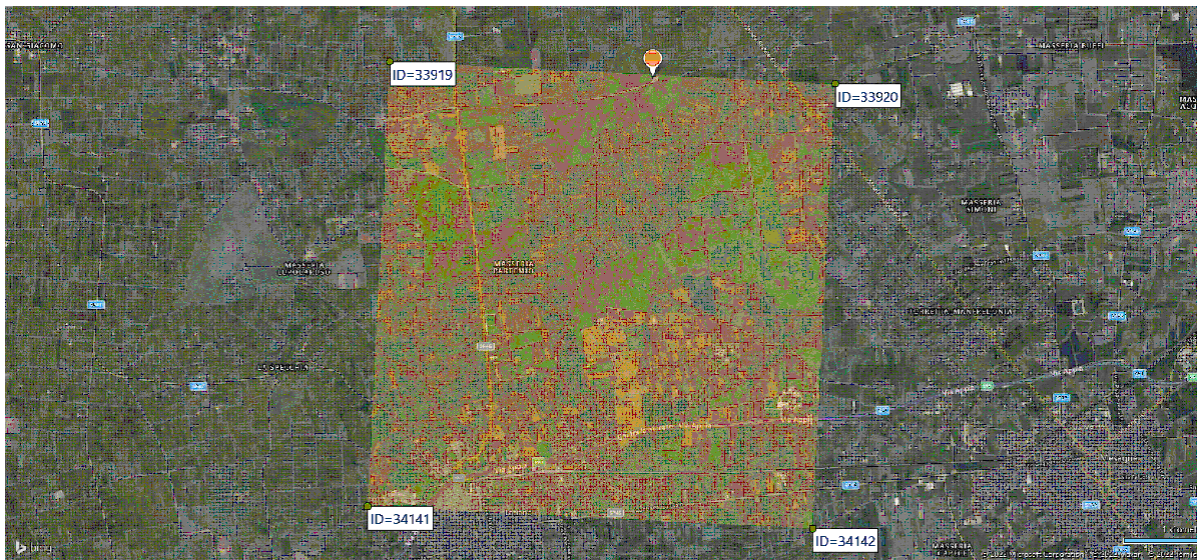
3 Dati

3.1 Dati Generali

Numero Impalcati : 1
 Numero delle tipologie di sezioni trasversali usate : 1
 Numero delle tipologie di solaio utilizzate : 0

Impalcato	Quota assoluta min [cm]	Quota assoluta max [cm]	Quota relativa min [cm]	Quota relativa max [cm]	Numero Colonne	Numero Travi
Fondazione	0.00	0.00	0.00	0.00	0	0
Piano 1	0.00	100.00	100.00	100.00	6	0

Coordinate (Datum WGS84) del sito : Latitudine = 40.6031° - Longitudine = 17.7434°
 Coordinate (Datum ED50) del sito : Latitudine = 40.6040° - Longitudine = 17.7442°

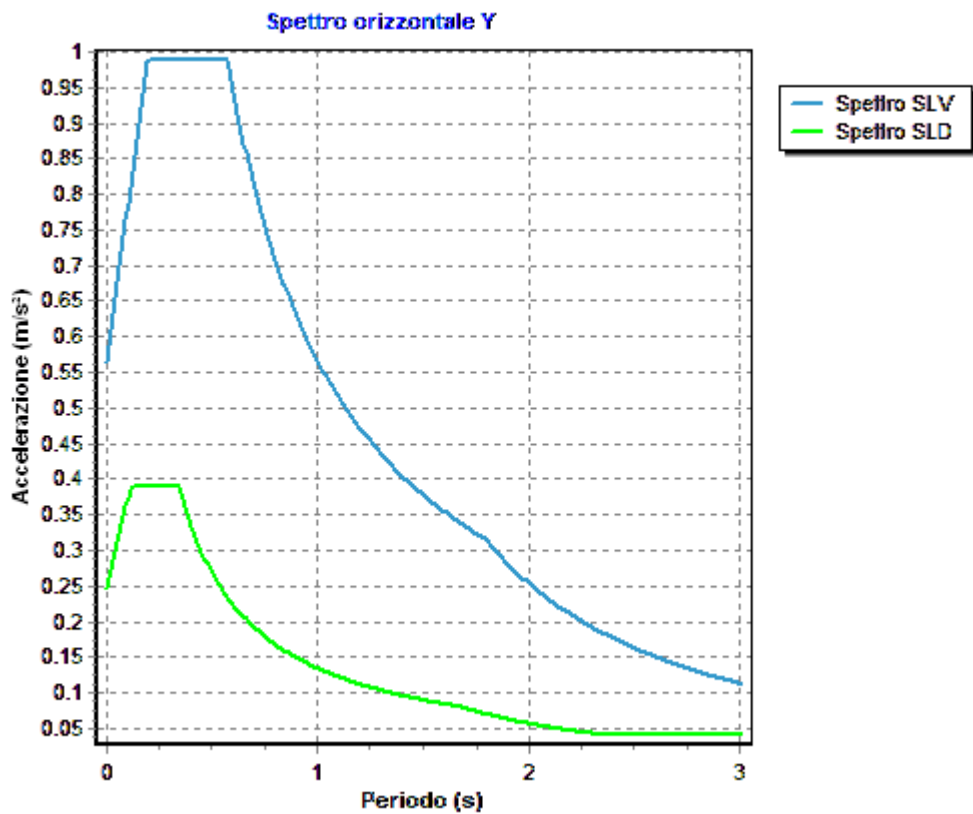
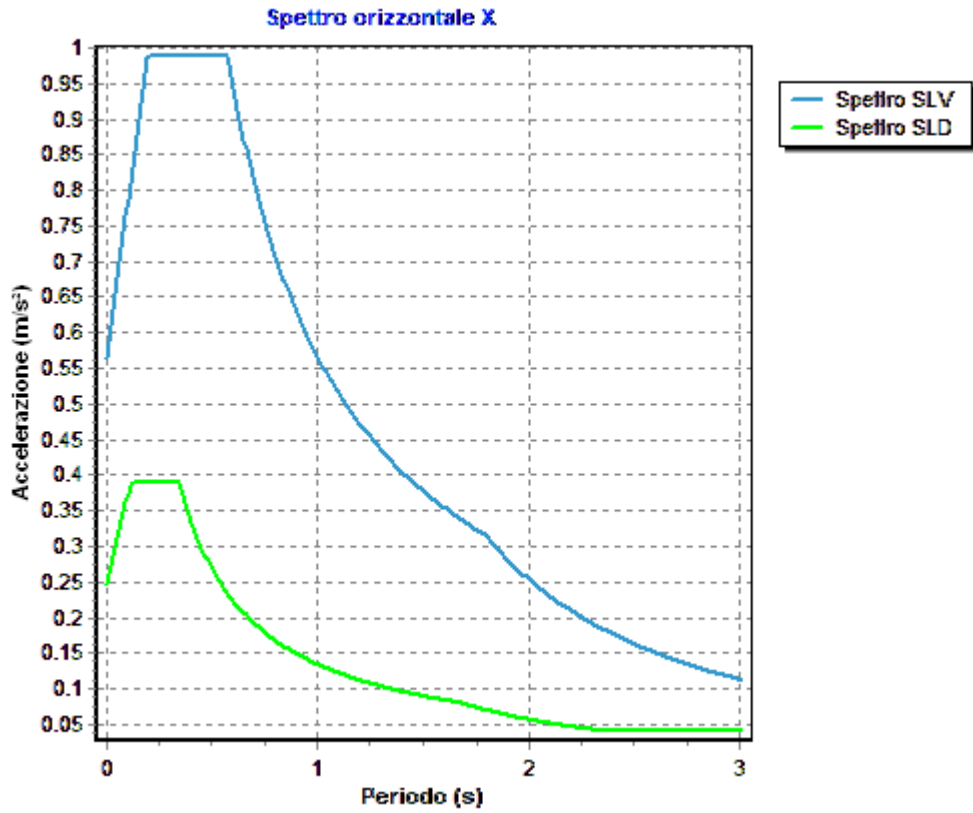


Identificativi e coordinate (Datum ED50) dei punti che includono il sito		
Numero punto	Latitudine [°]	Longitudine [°]
33919	40.6061	17.7053
33920	40.6036	17.7711
34141	40.5561	17.7020
34142	40.5537	17.7678

Zona sismica : SI
 Suolo di fondazione : B
 Vita nominale : 50
 Classe di duttilità: Non dissipativa
 Tipo di opera : Opere ordinarie
 Classe d'uso : II
 Vita di riferimento : 50
 Categoria topografica : T1
 Coefficiente smorzamento viscoso : 0.05

	Parametri dello spettro di risposta orizzontale							
	SLV		SLC		SLD		SLO	
Tempo di ritorno	475		975		50		30	
Accelerazione sismica	0.048		0.057		0.021		0.016	
Coefficiente Fo	2.626		2.787		2.371		2.364	
Periodo T _c *	0.443		0.468		0.233		0.159	
Coefficiente S _s	1.20		1.20		1.20		1.20	
Coefficiente di amplificazione topografica St	1.00		1.00		1.00		1.00	
Prodotto S _s · St	1.20		1.20		1.20		1.20	
Periodo T _B	0.19		0.20		0.11		0.08	
Periodo T _C	0.57		0.60		0.34		0.25	
Periodo T _D	1.79		1.83		1.68		1.66	
	x	y	x	y	x	y	x	y
Coefficiente η	0.667	0.667	1.000	1.000	*	*	*	*

* η pari a 1 per gli spostamenti e 2/3 per le sollecitazioni.



Relazione di calcolo -

Fattore di comportamento direzione y (qy)	: 1.50
Fattore di comportamento direzione z (qz)	: 1.50
Modulo di Winkler traslazionale	: 5.00 daN/cm ³
Modulo di Winkler tangenziale	: 2.50 daN/cm ³
Delta Termico aste di elevazione	: 0
Delta Termico aste di fondazione	: 0
Modulo di omogeneizzazione (per SLE)	: 15
Classe di servizio per le strutture in legno	: 2

Coeff. di riduzione per rigidità fessurata:

SLV-SLC

Pilastr		
	Assiale	da Carico Assiale
	Flessione	da Carico Assiale
	Taglio	da Carico Assiale
Travi		
	Assiale	da Carico Assiale
	Flessione	da Carico Assiale
	Taglio	da Carico Assiale
Pareti		
	Nel Piano	: 1.00
	Fuori Piano	: 1.00
Platee		
	Nel Piano	: 1.00
	Fuori Piano	: 1.00

SLD-SLO

Pilastr		
	Assiale	da Carico Assiale
	Flessione	da Carico Assiale
	Taglio	da Carico Assiale
Travi		
	Assiale	da Carico Assiale
	Flessione	da Carico Assiale
	Taglio	da Carico Assiale
Pareti		
	Nel Piano	: 1.00
	Fuori Piano	: 1.00
Platee		
	Nel Piano	: 1.00
	Fuori Piano	: 1.00

Delta termico

Slv	: 0.50
Sle	: 0.75

Copriferro Pilastr in C.A.	: 2.50 cm
Copriferro Piastre di Fondazione	: 4.00 cm
Copriferro Piastre di Elevazione	: 2.00 cm

3.2 Elenco e Caratteristiche dei materiali.

Nell'ambito del progetto si è fatto uso dei seguenti materiali divisi per categoria di appartenenza:

b - Calcestruzzo

Nome	Classe	Rck [daN/c m ²]	v	ps [daN/m ³]	αt [1/°C]	Ec [daN/c m ²]	FC	γm,c	Ect/Ec	fck [daN/cm ²]	fem [daN/c m ²]	fed SLU [daN/c m ²]	ftd SLU [daN/c m ²]	fed SLD [daN/c m ²]	ftd SLD [daN/c m ²]	fctk,0.05 [daN/c m ²]	fctm [daN/c m ²]	εc2 [%]	εcu2 [%]
C25/30	C25/30	300	0.15	2500	1.0E-005	314758.1	-	1.50	0.50	250.0	-	141.7	12.0	212.5	18.0	18.0	25.6	2.00	3.50

c - Acciaio per C.A.

Nome	Tipo	γ_m	FC	Es [daN/cm ²]	fyk [daN/cm ²]	ftk [daN/cm ²]	fd SLU [daN/cm ²]	fd SLD [daN/cm ²]	fd SLE [daN/cm ²]	k	ϵ_{ud} [%]
B450C	B450C	1.15	-	2100000.0	4500.0	5400.0	3913.0	4500.0	3913.0	1.00	10.00

3.3 Elenco e caratteristiche delle colonne stratigrafiche.

Nell'ambito del progetto si è fatto uso delle seguenti colonne stratigrafiche:

Caratteristiche delle colonne stratigrafiche:

- Colonna : nome della colonna stratigrafica;
- Filo : filo fisso al quale appartiene la colonna stratigrafica;
- Impalcato : Impalcato al quale appartiene la colonna stratigrafica;
- Falda : Presenza della falda;
- Prof. Falda : Profondità della falda (se è presente);
- Spicc. Fond. : Quota dell'estradosso della fondazione rispetto al piano campagna;
- No. Strati : Numero degli strati della colonna stratigrafica.
- RQD : (Rock Quality Designation) grado di fratturazione dell'ammasso roccioso in [0-1]

Filo	Colonna	Impalcato	Falda	Prof. Falda [cm]	Spicc. Fond. [cm]	No. Strati	RQD
1	Colonna 1	Fondazione	Non Presente	-	0.00	1	-
2	Colonna 1	Fondazione	Non Presente	-	0.00	1	-
3	Colonna 1	Fondazione	Non Presente	-	0.00	1	-
4	Colonna 1	Fondazione	Non Presente	-	0.00	1	-
5	Colonna 1	Fondazione	Non Presente	-	0.00	1	-
6	Colonna 1	Fondazione	Non Presente	-	0.00	1	-

Caratteristiche degli strati appartenenti alle colonne stratigrafiche:

- Colonna : nome della colonna stratigrafica;
- Strato : nome dello strato appartenente la colonna stratigrafica;
- Spess. : Spessore dello strato;
- Peso : Peso dell'unità di volume dello strato;
- Peso eff. : Peso dell'unità di volume efficace dello strato;
- NSPT : Numero di colpi medio misurato nello strato;
- Qc : Resistenza alla punta media misurata nello strato;
- ϕ : Angolo di attrito del terreno;
- C : Coesione drenata del terreno;
- Cu : Coesione non drenata del terreno;
- E : Modulo elastico del terreno;
- G : Modulo di taglio del terreno;
- ν_t : Coefficiente di Poisson;
- E_{ed} : Modulo Edometrico;
- OCR : Grado di sovraconsolidazione del terreno.

Colonna	Strato	Spess. [cm]	Peso [daN/m ³]	Peso eff. [daN/m ³]	NSPT	Qc [daN/cm ²]	ϕ [°]	C [daN/cm ²]	Cu [daN/cm ²]	E [daN/cm ²]	G [daN/cm ²]	ν_t	E_{ed} [daN/cm ²]	OCR
Colonna 1	Calcarì fratturati	350.0	1800.0	800.0	-	-	28.0	0.05	0.00	5090.00	1880.00	0.35	-	1.00

3.4 Elenco dei carichi.

3.4.1 Pesì propri unitari - G1.

Impalcato	Solai [daN/m ²]	Balconi [daN/m ²]	Scale [daN/m ²]
Fondazione	-	-	-
Piano 1	-	-	-

- Analisi dei Carichi -

3.4.2 Carichi Permanenti unitari - G2.

Impalcato	Solai [daN/m ²]	Balconi [daN/m ²]	Scale [daN/m ²]	Influenza Tramezzi [daN/m ²]	Tamponature [daN/m]
Fondazione	150	150	150	100	582
Piano 1	150	150	150	0	0

- Analisi dei Carichi -

Fondazione

Influenza Tramezzi

Il peso proprio degli elementi divisorii interni viene ragguagliato ad un carico permanente portato uniformemente distribuito come definito dal punto 3.1.3.1 - Elementi divisorii interni (D.M. 17/01/2018)

Piano 1

3.4.3 Carichi Variabili unitari - Q.

Le intensità assunte per i carichi variabili verticali ripartiti sono riportate nella seguente tabella:

Impalcato	Carichi d'esercizio [daN/m ²]		
	Solai	Balconi	Scale
Fondazione	200	400	400
Piano 1	200	400	400

3.4.4 Pesì Impalcati.

Ai fini della valutazione dei pesi "W" a livello dei vari impalcati, si tiene conto dei carichi di tipo G1 relativi agli elementi strutturali e dei carichi di tipo G2 relativi agli elementi non strutturali sommati ai sovraccarichi d'esercizio Q_k moltiplicati per una aliquota Ψ_{2i} (determinata dalla destinazione d'uso dell'opera ai vari piani

$$W_i = G1_i + G2_i + \Psi_{2i} \cdot Q_{ki}$$

Dove il pedice "i" è il piano i-esimo della struttura.

Impalcato	Destinazione	Ψ _{2i}
Fondazione	Categoria A: Ambienti ad uso residenziale	0.3
Piano 1	Categoria A: Ambienti ad uso residenziale	0.3

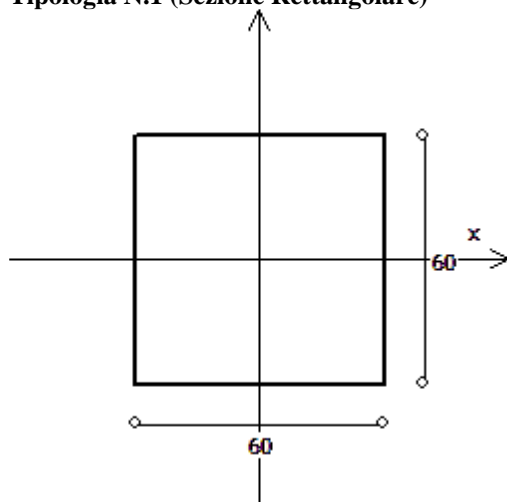
Per balconi e scale verranno usati i coefficienti calcolati come i maggiori tra quelli relativi alla categoria di carico di piano ed i seguenti:

Cat.	Destinazione	Ψ _{2i}
C2	Balconi, ballatoi e scale	0.6

Imp. Reale	G1 [daN]	G2 [daN]	Ψ ₂ · Q _k [daN]	W (SLV-SLD) [daN]
0	17390.00	22035.00	440.70	39865.70
1	2700.00	0.00	0.00	2700.00

3.5 Elenco e Caratteristiche delle sezioni trasversali.

Tipologia N.1 (Sezione Rettangolare)



- A = 3600 cm²
- Jx = 1080000 cm⁴
- Jy = 1080000 cm⁴
- Jt = 1821760 cm⁴
- Materiale = C25/30
- Peso = 900 daN/m

3.6 Geometria Struttura.

3.6.1 Fili Fissi.

- Numero : numerazione del filo fisso.
- Ascissa : coordinata X del filo fisso.
- Ordinata : coordinata Y del filo fisso.
- Angolo : angolo del filo fisso (in gradi);
- Tipo : tipo del filo fisso.

Numero	Ascissa [cm]	Ordinata [cm]	Quota [cm]	Angolo [°]	Tipo
1	0.00	0.00	0.00	0.00	7
2	0.00	320.00	0.00	0.00	1
3	625.00	320.00	0.00	0.00	3
4	625.00	0.00	0.00	0.00	9
5	312.50	0.00	0.00	0.00	8
6	312.50	320.00	0.00	0.00	2

3.6.2 Caratteristiche dei nodi.

I dati seguenti riportano tutte le caratteristiche relative ai nodi che definiscono la struttura ed in modo particolare:

- Nodo : numerazione interna del nodo.
- Coordinate : coordinate del nodo secondo il sistema di riferimento globale cartesiano.
- Imp. : impalcato di appartenenza del nodo.
- Slave : nodo dipendente da un nodo MASTER definito nella tabella specifica;
- Vincoli : eventuali vincoli esterni del nodo in ognuna delle 6 direzioni:
 - x : direzione X rispetto al sistema di riferimento globale;
 - y : direzione Y rispetto al sistema di riferimento globale;
 - z : direzione Z rispetto al sistema di riferimento globale;
 - Rx : rotazione attorno all'asse X del sistema di riferimento globale;
 - Ry : rotazione attorno all'asse Y del sistema di riferimento globale;

Relazione di calcolo -

Rz : rotazione attorno all'asse Z del sistema di riferimento globale;

Inoltre:

np : non presenza di vincoli;

p : valore infinito della rigidità;

Kt : valore finito delle rigidità traslazionali da leggere nella tabella specifica;

Kr : valore finito delle rigidità rotazionali da leggere nella tabella specifica;

Masse Nodali:

M : valore della massa traslazionale

MIx : valore del momento d'inerzia della massa attorno all'asse X

MIy : valore del momento d'inerzia della massa attorno all'asse Y

MIz : valore del momento d'inerzia della massa attorno all'asse Z

Nodo	Coordinate [cm]			Impalcato	Slave	Vincoli						Masse Nodali			
	x	y	z			x	y	z	Rx	Ry	Rz	M [daNM]	MIx [daNM*cm ²]	MIy [daNM*cm ²]	MIz [daNM*cm ²]
1	30.0	30.0	0.0	Fondazione	-	np	np	np	np	np	np	0.00	0.00	0.00	0.00
2	30.0	290.0	0.0	Fondazione	-	np	np	np	np	np	np	0.00	0.00	0.00	0.00
3	595.0	290.0	0.0	Fondazione	-	np	np	np	np	np	np	0.00	0.00	0.00	0.00
4	595.0	30.0	0.0	Fondazione	-	np	np	np	np	np	np	0.00	0.00	0.00	0.00
5	312.5	30.0	0.0	Fondazione	-	np	np	np	np	np	np	0.00	0.00	0.00	0.00
6	312.5	290.0	0.0	Fondazione	-	np	np	np	np	np	np	0.00	0.00	0.00	0.00
7	30.0	30.0	100.0	Piano 1	M1	np	np	np	np	np	np	0.00	0.00	0.00	0.00
8	30.0	290.0	100.0	Piano 1	M1	np	np	np	np	np	np	0.00	0.00	0.00	0.00
9	595.0	290.0	100.0	Piano 1	M1	np	np	np	np	np	np	0.00	0.00	0.00	0.00
10	595.0	30.0	100.0	Piano 1	M1	np	np	np	np	np	np	0.00	0.00	0.00	0.00
11	312.5	30.0	100.0	Piano 1	M1	np	np	np	np	np	np	0.00	0.00	0.00	0.00
12	312.5	290.0	100.0	Piano 1	M1	np	np	np	np	np	np	0.00	0.00	0.00	0.00
13	124.2	290.0	0.0	Fondazione	-	np	np	np	np	np	np	0.00	0.00	0.00	0.00
14	218.3	290.0	0.0	Fondazione	-	np	np	np	np	np	np	0.00	0.00	0.00	0.00
15	406.7	290.0	0.0	Fondazione	-	np	np	np	np	np	np	0.00	0.00	0.00	0.00
16	500.8	290.0	0.0	Fondazione	-	np	np	np	np	np	np	0.00	0.00	0.00	0.00
17	595.0	203.3	0.0	Fondazione	-	np	np	np	np	np	np	0.00	0.00	0.00	0.00
18	595.0	116.7	0.0	Fondazione	-	np	np	np	np	np	np	0.00	0.00	0.00	0.00
19	500.8	30.0	0.0	Fondazione	-	np	np	np	np	np	np	0.00	0.00	0.00	0.00
20	406.7	30.0	0.0	Fondazione	-	np	np	np	np	np	np	0.00	0.00	0.00	0.00
21	218.3	30.0	0.0	Fondazione	-	np	np	np	np	np	np	0.00	0.00	0.00	0.00
22	124.2	30.0	0.0	Fondazione	-	np	np	np	np	np	np	0.00	0.00	0.00	0.00
23	30.0	116.7	0.0	Fondazione	-	np	np	np	np	np	np	0.00	0.00	0.00	0.00
24	30.0	203.3	0.0	Fondazione	-	np	np	np	np	np	np	0.00	0.00	0.00	0.00
25	500.8	116.7	0.0	Fondazione	-	np	np	np	np	np	np	0.00	0.00	0.00	0.00
26	500.8	203.3	0.0	Fondazione	-	np	np	np	np	np	np	0.00	0.00	0.00	0.00
27	406.7	116.7	0.0	Fondazione	-	np	np	np	np	np	np	0.00	0.00	0.00	0.00
28	406.7	203.3	0.0	Fondazione	-	np	np	np	np	np	np	0.00	0.00	0.00	0.00
29	312.5	116.7	0.0	Fondazione	-	np	np	np	np	np	np	0.00	0.00	0.00	0.00
30	312.5	203.3	0.0	Fondazione	-	np	np	np	np	np	np	0.00	0.00	0.00	0.00
31	124.2	116.7	0.0	Fondazione	-	np	np	np	np	np	np	0.00	0.00	0.00	0.00
32	218.3	116.7	0.0	Fondazione	-	np	np	np	np	np	np	0.00	0.00	0.00	0.00
33	218.3	203.3	0.0	Fondazione	-	np	np	np	np	np	np	0.00	0.00	0.00	0.00
34	124.2	203.3	0.0	Fondazione	-	np	np	np	np	np	np	0.00	0.00	0.00	0.00

Tabella dei Nodi Master:

Nodo	Tipo Nodo	Coordinate [cm]		
		x	y	z
M1	Impalcato Rigido	312.50	160.00	100.00

3.6.3 Caratteristiche delle aste.

La tabella seguente riporta tutte le caratteristiche relative alle aste della struttura ed in modo particolare la colonna:

Asta : numerazione dell'asta
 Fili : fili fissi ai quali appartiene l'asta
 NI : nodo iniziale dell'asta
 NF : nodo finale dell'asta
 Tipo : funzione dell'asta
 Sez : sezione trasversale associata all'asta
 L : lunghezza teorica (nodo-nodo) dell'asta
 Imp. : impalcato di appartenenza dell'asta
 KwN : modulo di Winkler normale;
 KwT : modulo di Winkler tangenziale;

Asta	Fili	NI	NF	Tipo	Sez	L [cm]	Imp.	Kwn [daN/c m ²]	Kwt [daN/c m ²]	Vincoli interni												
										Estremo In.						Estremo Fin.						
										SpoX	SpoY	SpoZ	RotX	RotY	RotZ	SpoX	SpoY	SpoZ	RotX	RotY	RotZ	
1	1	7	1	Pilastro	1	100.00	Piano 1	-	-	1.00	1.00	1.00	1.00	1.00	1.00	1.00	1.00	1.00	1.00	1.00	1.00	1.00
2	2	8	2	Pilastro	1	100.00	Piano 1	-	-	1.00	1.00	1.00	1.00	1.00	1.00	1.00	1.00	1.00	1.00	1.00	1.00	1.00
3	3	9	3	Pilastro	1	100.00	Piano 1	-	-	1.00	1.00	1.00	1.00	1.00	1.00	1.00	1.00	1.00	1.00	1.00	1.00	1.00
4	4	10	4	Pilastro	1	100.00	Piano 1	-	-	1.00	1.00	1.00	1.00	1.00	1.00	1.00	1.00	1.00	1.00	1.00	1.00	1.00
5	5	11	5	Pilastro	1	100.00	Piano 1	-	-	1.00	1.00	1.00	1.00	1.00	1.00	1.00	1.00	1.00	1.00	1.00	1.00	1.00
6	6	12	6	Pilastro	1	100.00	Piano 1	-	-	1.00	1.00	1.00	1.00	1.00	1.00	1.00	1.00	1.00	1.00	1.00	1.00	1.00

3.6.4 Caratteristiche delle Piastre.

La tabella seguente riporta tutte le caratteristiche relative alle piastre della struttura:

Piastra : numerazione della piastra
 Impalcato : impalcato al quale appartiene la piastra
 Fili : fili fissi ai quali appartiene la piastra
 Spess. : spessore della piastra
 Tipo : tipologia della piastra (parete o platea)
 Numero Elementi : numero di elementi che compongono la piastra
 Nome Materiale : nome del materiale usato per progettare la piastra
 KwN : modulo di Winkler normale;
 KwT : modulo di Winkler tangenziale;

Piastra	Impalcato	Fili	Spess.	Tipo	Numero Elementi	Nome Materiale	Kwn [daN /cm ²]	Kwt [daN /cm ²]
1	Fondazione	2, 6, 3, 4, 5, 1	40.00	Platea Cls	18	C25/30	41.36	28.23

3.6.5 Carichi distribuiti sugli elementi.

Carichi Globali Aste

Asta : numero dell'asta come da paragrafo "Caratteristiche delle aste";
 Imp. : impalcato al quale appartiene l'asta;
 Fili : fili fissi ai quali appartiene l'asta;
 C.C. : condizione di carico come da paragrafo "Condizioni di carico valutate";
 DGlob : direzione dei carichi secondo il sistema di riferimento globale dell'asta;
 in : valore del carico distribuito relativo al nodo iniziale come da paragrafo "Caratteristiche delle aste";
 fin : valore del carico distribuito relativo al nodo finale come da paragrafo "Caratteristiche delle aste".

Asta	Imp.	Fili	C.C.	DGlob X [daN/m]		DGlob Y [daN/m]		DGlob Z [daN/m]	
				in.	fin.	in.	fin.	in.	fin.
1	Piano 1	1	Car. Perm. G1	0.00	0.00	0.00	0.00	-900.00	-900.00
2	Piano 1	2	Car. Perm. G1	0.00	0.00	0.00	0.00	-900.00	-900.00
3	Piano 1	3	Car. Perm. G1	0.00	0.00	0.00	0.00	-900.00	-900.00
4	Piano 1	4	Car. Perm. G1	0.00	0.00	0.00	0.00	-900.00	-900.00
5	Piano 1	5	Car. Perm. G1	0.00	0.00	0.00	0.00	-900.00	-900.00
6	Piano 1	6	Car. Perm. G1	0.00	0.00	0.00	0.00	-900.00	-900.00

Carichi Locali distribuiti sulle Piastre

Piastra : numero della piastra come da paragrafo "Caratteristiche delle piastre";
 Imp. : impalcato al quale appartiene la piastra;
 Fili : fili fissi ai quali appartiene la piastra;
 C.C. : condizione di carico come da paragrafo "Condizioni di carico valutate";
 DLoc : direzione dei carichi secondo il sistema di riferimento locale della piastra;

Piastra	Imp.	Fili	C.C.	DLoc X [daN/m ²]	DLoc Y [daN/m ²]	DLoc Z [daN/m ²]
1	Fondazio ne	2, 6, 3, 4, 5, 1	Car. Permanenti G1	0.00	0.00	0.00
			Car. Permanenti G2	0.00	0.00	0.00
			Car. d'Esercizio	0.00	0.00	0.00

Carichi Globali distribuiti sulle Piastre

Piastra : numero della piastra come da paragrafo "Caratteristiche delle piastre";
 Imp. : impalcato al quale appartiene la piastra;
 Fili : fili fissi ai quali appartiene la piastra;
 C.C. : condizione di carico come da paragrafo "Condizioni di carico valutate";
 DGlob : direzione dei carichi secondo il sistema di riferimento globale della piastra;

Piastra	Imp.	Fili	C.C.	DGlob X [daN/m ²]	DGlob Y [daN/m ²]	DGlob Z [daN/m ²]
1	Fondazio ne	2, 6, 3, 4, 5, 1	Car. Permanenti G1	0.00	0.00	-1000.00
			Car. Permanenti G2	0.00	0.00	-1500.00
			Car. d'Esercizio	0.00	0.00	-100.00

3.6.6 Carichi concentrati sui nodi.

Nodo : numero del nodo come da 3.5.1
 C.C. : condizione di carico come da 2.3
 Fx : eventuale azione esterna sul nodo in direzione X rispetto al sistema di riferimento globale
 Fy : eventuale azione esterna sul nodo in direzione Y rispetto al sistema di riferimento globale
 Fz : eventuale azione esterna sul nodo in direzione Z rispetto al sistema di riferimento globale
 Mx : eventuale momento applicato sul nodo attorno all'asse X del sistema di riferimento globale
 My : eventuale momento applicato sul nodo attorno all'asse Y del sistema di riferimento globale
 Mz : eventuale momento applicato sul nodo attorno all'asse Z del sistema di riferimento globale

Nodo	C.C.	Fx [daN]	Fy [daN]	Fz [daN]	Mx [daNm]	My [daNm]	Mz [daNm]
7	carico_cab	0.00	0.00	-3700.00	0.00	0.00	0.00
8	carico_cab	0.00	0.00	-3700.00	0.00	0.00	0.00
9	carico_cab	0.00	0.00	-3700.00	0.00	0.00	0.00
10	carico_cab	0.00	0.00	-3700.00	0.00	0.00	0.00
11	carico_cab	0.00	0.00	-3700.00	0.00	0.00	0.00
12	carico_cab	0.00	0.00	-3700.00	0.00	0.00	0.00

4 Risultati di Calcolo.

4.1 Tensioni sul Terreno.

I dati seguenti riportano i valori delle tensioni esercitate dalla fondazione sul terreno.

Asta/Piastra : numerazione interna dell'asta/piastra.
 X : distanza dal nodo iniziale misurata lungo l'asse dell'asta/piastra.

Comb : combinazione di appartenenza del valore considerato nell'involuppo.
 Tensioni (σ_T) : valore della tensione dovuta alla pressione dell'asta/piastra di fondazione:

Tabella 0.II

Tensioni Terreno					
		SLV	SLD	SLE	
		AI	AI	Caratt.	Freq.
Piastra	Fili	σ_t [daN/cm ²]	σ_t [daN/cm ²]	σ_t [daN/cm ²]	σ_t [daN/cm ²]
1	2, 6, 3, 4, 5, 1	1.50(1)	1.03(1)	1.03(1) *	1.03(1) *

* valore massimo.

4.2 Verifica Aste.

4.2.1 Pilastri.

4.2.1.1 Verifiche Pilastri in C.A..

Qui di seguito vengono riportate le tabelle riportanti i risultati delle verifiche relative ai pilastri della struttura.

4.2.1.1.1 Verifiche SLV - Flessione Composta

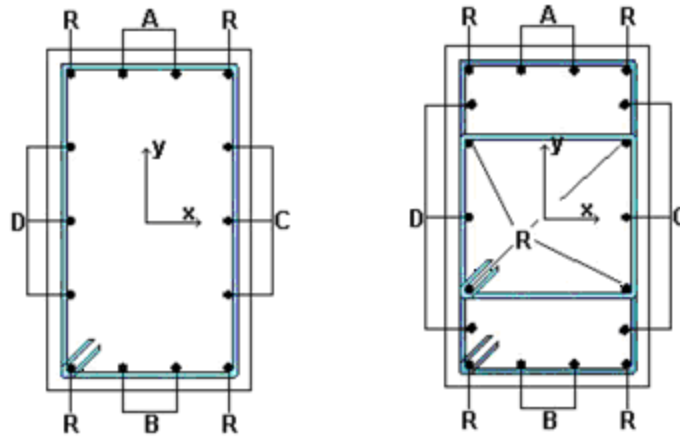
Pilastro : numerazione del pilastro (*interna alla relazione di calcolo*);
 Asta : numerazione interna dell'asta;
 Imp. : impalcato al quale appartiene l'asta considerata;
 Filo : filo fisso dell'asta considerata (*numerazione corrispondente con elaborati grafici esecutivi*);
 Tipo Sez. : tipo di sezione dell'asta considerata;
 ϵ_{c2} : deformazione di contrazione del calcestruzzo al raggiungimento della massima tensione;
 ϵ_{cu2} : deformazione ultima di contrazione del calcestruzzo;
 Pos. : Posizione misurata lungo l'asse dell'asta
 Cop : distanza tra la superficie esterna dell'armatura più prossima alla superficie del calcestruzzo e la superficie stessa del calcestruzzo;
 A_{sn} : valore dell'area dell'acciaio strettamente necessaria;
 CdC : indice della combinazione di carico più gravosa ("G" è relativa alle combinazioni aggiuntive per la gerarchia di resistenza)
 Azioni Sollecitanti:
 N_{sd} : Sforzo Normale Sollecitante;
 M_{sdXZ} : valore del Momento Flettente X-Z sollecitante di calcolo
 M_{sdXY} : valore del Momento Flettente X-Y sollecitante di calcolo
 ϵ_{cls} : deformazione massima del calcestruzzo compresso
 ϵ_{acc} : deformazione massima dell'armatura tesa

Azioni Resistenti:

N_{Rd} : Sforzo Normale Resistente;
 M_{RdXZ} : valore del Momento Flettente X-Z resistente di calcolo;
 M_{RdXY} : valore del Momento Flettente X-Y resistente di calcolo;
 C : campo di rottura
 S : valore del coefficiente di sicurezza minimo della sezione;
 Esito : Esito della verifica : V = VERIFICATA;
 : NV = NON VERIFICATA;

Tabella 1.I

Sezione Rettangolare



Pilastro	Asta	Imp.	Filo	Tipo Sez.	ε _{c2} [%]	ε _{cu2} [%]	Pos.	Cop [cm]	Asn [cm ²]	CdC	Azioni Sollecitanti				Azioni Resistenti			C	S	Esito													
											Nsd [daN]	Msdxz [daNm]	Msdxy [daNm]	ε _{cls} [%]	ε _{ace} [%]	Nrd [daN]	Mrdxz [daNm]				Mrdxy [daNm]												
1	1	Piano 1	1	1	2.00	3.50	Testa	Armatura: 12 Ø 14 (R)										-	0	0	4	104.92	V										
								2.5	18.5	5	-5550	0	0	0.00	0.00	582284	0	0	4	104.92	V												
								2.5	18.5	5	-5550	0	0	0.00	0.00	582284	0	0	4	104.92	V												
								Piede										Armatura: 12 Ø 14 (R)										-	0	0	4	86.65	V
								2.5	18.5	5	-6720	0	0	0.00	0.00	582284	0	0	4	86.65	V												
								2.5	18.5	5	-6720	0	0	0.00	0.00	582284	0	0	4	86.65	V												
2	2	Piano 1	2	1	2.00	3.50	Testa	Armatura: 12 Ø 14 (R)										-	0	0	4	104.92	V										
								2.5	18.5	5	-5550	0	0	0.00	0.00	582284	0	0	4	104.92	V												
								2.5	18.5	5	-5550	0	0	0.00	0.00	582284	0	0	4	104.92	V												
								Piede										Armatura: 12 Ø 14 (R)										-	0	0	4	86.65	V
								2.5	18.5	2	-6720	0	0	0.00	0.00	582284	0	0	4	86.65	V												
								2.5	18.5	2	-6720	0	0	0.00	0.00	582284	0	0	4	86.65	V												
3	3	Piano 1	3	1	2.00	3.50	Testa	Armatura: 12 Ø 14 (R)										-	0	0	4	104.92	V										
								2.5	18.5	5	-5550	0	0	0.00	0.00	582284	0	0	4	104.92	V												
								2.5	18.5	5	-5550	0	0	0.00	0.00	582284	0	0	4	104.92	V												
								Piede										Armatura: 12 Ø 14 (R)										-	0	0	4	86.65	V
								2.5	18.5	1	-6720	0	0	0.00	0.00	582284	0	0	4	86.65	V												
								2.5	18.5	1	-6720	0	0	0.00	0.00	582284	0	0	4	86.65	V												
4	4	Piano 1	4	1	2.00	3.50	Testa	Armatura: 12 Ø 14 (R)										-	0	0	4	104.92	V										
								2.5	18.5	5	-5550	0	0	0.00	0.00	582284	0	0	4	104.92	V												
								2.5	18.5	5	-5550	0	0	0.00	0.00	582284	0	0	4	104.92	V												
								Piede										Armatura: 12 Ø 14 (R)										-	0	0	4	86.65	V
								2.5	18.5	3	-6720	0	0	0.00	0.00	582284	0	0	4	86.65	V												
								2.5	18.5	3	-6720	0	0	0.00	0.00	582284	0	0	4	86.65	V												
5	5	Piano 1	5	1	2.00	3.50	Testa	Armatura: 12 Ø 14 (R)										-	0	0	4	104.92	V										
								2.5	18.5	5	-5550	0	0	0.00	0.00	582284	0	0	4	104.92	V												
								2.5	18.5	5	-5550	0	0	0.00	0.00	582284	0	0	4	104.92	V												
								Piede										Armatura: 12 Ø 14 (R)										-	0	0	4	86.65	V
								2.5	18.5	4	-6720	0	0	0.00	0.00	582284	0	0	4	86.65	V												
								2.5	18.5	4	-6720	0	0	0.00	0.00	582284	0	0	4	86.65	V												
6	6	Piano 1	6	1	2.00	3.50	Testa	Armatura: 12 Ø 14 (R)										-	0	0	4	104.92	V										
								2.5	18.5	5	-5550	0	0	0.00	0.00	582284	0	0	4	104.92	V												
								2.5	18.5	5	-5550	0	0	0.00	0.00	582284	0	0	4	104.92	V												
								Piede										Armatura: 12 Ø 14 (R)										-	0	0	4	86.65	V
								2.5	18.5	2	-6720	0	0	0.00	0.00	582284	0	0	4	86.65	V												
								2.5	18.5	2	-6720	0	0	0.00	0.00	582284	0	0	4	86.65	V												

Relazione di calcolo -

N_{sd} : Sforzo Normale Sollecitante;
 M_{sdXZ} : valore del Momento Flettente X-Z sollecitante di calcolo;
 M_{sdXY} : valore del Momento Flettente X-Y sollecitante di calcolo;

Azioni Resistenti:

N_{Rd} : Sforzo Normale Resistente;
 M_{RdXZ} : valore del Momento Flettente X-Z resistente di calcolo;
 M_{RdXY} : valore del Momento Flettente X-Y resistente di calcolo;

S : valore del coefficiente di sicurezza minimo della sezione;

Esito : Esito della verifica : V = VERIFICATA;
 : NV = NON VERIFICATA;

Con riferimento al punto 4.1.2.3.9.3 del D.M. 17/01/2018 in aggiunta al momento sollecitante esterno viene sommata un'aliquota dovuta ad un'eccentricità dello sforzo normale pari a $1/300$ dell'altezza della colonna (difetto di rettilineità).

In aggiunta viene considerata un'aliquota aggiuntiva che tenga conto dell'inflessione della colonna pari a $e_2 := 0.222 e_{fy} l_0^2/h$.

Tabella 3.I

Pilastro	Asta	Imp.	Filo	Tipo Sez.	Dir.	Cop [cm]	λ	λ^*	Azioni Sollecitanti			Azioni Resistenti			S	Esito
									Nsd [daN]	Msdxz [daNm]	Msdxy [daNm]	Nrd [daN]	Mrdxz [daNm]	Mrdxy [daNm]		
1	1	Piano 1	1	1	Dir X	2.5	5.8	217.8	-6720	-	-	-	-	-	-	V
					Dir Y	2.5	5.8	217.8	-6720	-	-	-	-	-	-	-
2	2	Piano 1	2	1	Dir X	2.5	5.8	217.8	-6720	-	-	-	-	-	-	V
					Dir Y	2.5	5.8	217.8	-6720	-	-	-	-	-	-	-
3	3	Piano 1	3	1	Dir X	2.5	5.8	217.8	-6720	-	-	-	-	-	-	V
					Dir Y	2.5	5.8	217.8	-6720	-	-	-	-	-	-	-
4	4	Piano 1	4	1	Dir X	2.5	5.8	217.8	-6720	-	-	-	-	-	-	V
					Dir Y	2.5	5.8	217.8	-6720	-	-	-	-	-	-	-
5	5	Piano 1	5	1	Dir X	2.5	5.8	217.8	-6720	-	-	-	-	-	-	V
					Dir Y	2.5	5.8	217.8	-6720	-	-	-	-	-	-	-
6	6	Piano 1	6	1	Dir X	2.5	5.8	217.8	-6720	-	-	-	-	-	-	V
					Dir Y	2.5	5.8	217.8	-6720	-	-	-	-	-	-	-

4.2.1.1.4 Verifiche SLE - Stato Tensionale.

Pil. : numerazione interna del pilastro;
 Asta : numerazione interna dell'asta;
 Imp. : impalcato al quale appartiene l'asta considerata;
 Filo : filo fisso al quale appartiene l'asta considerata;
 Tipo Sez. : tipo di sezione dell'asta considerata;
 Comb : tipo di combinazione a cui la verifica è riferita;
 Pos. : Posizione misurata lungo l'asse dell'asta
 Cop : distanza tra la superficie esterna dell'armatura più prossima alla superficie del calcestruzzo e la superficie stessa del calcestruzzo;

Azioni Sollecitanti:

N_{sd} : Sforzo Normale Sollecitante;
 M_{sdXZ} : valore del Momento Flettente X-Z sollecitante di calcolo;
 M_{sdXY} : valore del Momento Flettente X-Y sollecitante di calcolo;

Tensioni:

σ_c : tensioni d'esercizio del calcestruzzo;
 σ_s : tensioni d'esercizio dell'acciaio;

Tensioni Limite:

$\sigma_{c,lim}$: Tensioni limite del calcestruzzo;
 $\sigma_{s,lim}$: Tensioni limite dell'acciaio;

S : valore del coefficiente di sicurezza minimo della sezione;

Esito : Esito della verifica : V = VERIFICATA;
 : NV = NON VERIFICATA;

Tabella 4.I

Pil	Asta	Imp.	Filo	Tipo Sez.	Comb	Pos.	Cop [cm]	Azioni Sollecitanti			Tensioni		Tensioni Limite		S	Esito
								Nsd [daN]	Msdxz [daNm]	Msdxy [daNm]	σ_c [daN/cm ²]	σ_s [daN/cm ²]	$\sigma_{c,lim}$ [daN/cm ²]	$\sigma_{s,lim}$ [daN/cm ²]		
1	1	Piano 1	1	1	Caratt.	Testa	2.5	-3700	0	0	1.0	14.3	150.0	3600.0	157.18	V
						Piede	2.5	-4600	0	0	1.2	17.8	150.0	3600.0	126.43	V

					Q.Perm.	Testa	2.5	-3700	0	0	1.0	14.3	112.5	3600.0	117.88	V
						Piede	2.5	-4600	0	0	1.2	17.8	112.5	3600.0	94.82	V
2	2	Piano 1	2	1	Caratt.	Testa	2.5	-3700	0	0	1.0	14.3	150.0	3600.0	157.18	V
						Piede	2.5	-4600	0	0	1.2	17.8	150.0	3600.0	126.43	V
					Q.Perm.	Testa	2.5	-3700	0	0	1.0	14.3	112.5	3600.0	117.88	V
						Piede	2.5	-4600	0	0	1.2	17.8	112.5	3600.0	94.82	V
3	3	Piano 1	3	1	Caratt.	Testa	2.5	-3700	0	0	1.0	14.3	150.0	3600.0	157.18	V
						Piede	2.5	-4600	0	0	1.2	17.8	150.0	3600.0	126.43	V
					Q.Perm.	Testa	2.5	-3700	0	0	1.0	14.3	112.5	3600.0	117.88	V
						Piede	2.5	-4600	0	0	1.2	17.8	112.5	3600.0	94.82	V
4	4	Piano 1	4	1	Caratt.	Testa	2.5	-3700	0	0	1.0	14.3	150.0	3600.0	157.18	V
						Piede	2.5	-4600	0	0	1.2	17.8	150.0	3600.0	126.43	V
					Q.Perm.	Testa	2.5	-3700	0	0	1.0	14.3	112.5	3600.0	117.88	V
						Piede	2.5	-4600	0	0	1.2	17.8	112.5	3600.0	94.82	V
5	5	Piano 1	5	1	Caratt.	Testa	2.5	-3700	0	0	1.0	14.3	150.0	3600.0	157.18	V
						Piede	2.5	-4600	0	0	1.2	17.8	150.0	3600.0	126.43	V
					Q.Perm.	Testa	2.5	-3700	0	0	1.0	14.3	112.5	3600.0	117.88	V
						Piede	2.5	-4600	0	0	1.2	17.8	112.5	3600.0	94.82	V
6	6	Piano 1	6	1	Caratt.	Testa	2.5	-3700	0	0	1.0	14.3	150.0	3600.0	157.18	V
						Piede	2.5	-4600	0	0	1.2	17.8	150.0	3600.0	126.43	V
					Q.Perm.	Testa	2.5	-3700	0	0	1.0	14.3	112.5	3600.0	117.88	V
						Piede	2.5	-4600	0	0	1.2	17.8	112.5	3600.0	94.82	V

4.2.1.1.5 Verifiche SLE - Fessurazione.

- Pil. : numerazione interna del pilastro;
 Asta : numerazione interna dell'asta;
 Imp. : impalcato al quale appartiene l'asta considerata;
 Filo : filo fisso al quale appartiene l'asta considerata;
 Tipo Sez. : tipo di sezione dell'asta considerata;
 N_{sd} : Sforzo Normale Sollecitante;
 M_{sdXZ} : valore del Momento Flettente X-Z sollecitante di calcolo;
 M_{sdXY} : valore del Momento Flettente X-Y sollecitante di calcolo;
 $W_{k,max}$: valore della massima apertura ammissibile delle fessure;
 W_k : valore dell'apertura della fessura calcolata;
 S : valore del coefficiente di sicurezza minimo della sezione;
 Esito : Esito della verifica : V = VERIFICATA;
 : NV = NON VERIFICATA;

Tabella 5.I

Pil	Asta	Imp.	Filo	Tipo Sez.	Comb	Pos.	Cop [cm]	Nsd [daN]	Msdxz [daNm]	Msdxy [daNm]	$W_{k,max}$ [mm]	W_k [mm]	S	Esito
1	1	Piano 1	1	1	Q.Perm.	Testa	2.5	-3700	0	0	0.40	0.00	-	V
						Piede	2.5	-4600	0	0	0.40	0.00	-	V
2	2	Piano 1	2	1	Q.Perm.	Testa	2.5	-3700	0	0	0.40	0.00	-	V
						Piede	2.5	-4600	0	0	0.40	0.00	-	V
3	3	Piano 1	3	1	Q.Perm.	Testa	2.5	-3700	0	0	0.40	0.00	-	V
						Piede	2.5	-4600	0	0	0.40	0.00	-	V
4	4	Piano 1	4	1	Q.Perm.	Testa	2.5	-3700	0	0	0.40	0.00	-	V
						Piede	2.5	-4600	0	0	0.40	0.00	-	V
5	5	Piano 1	5	1	Q.Perm.	Testa	2.5	-3700	0	0	0.40	0.00	-	V
						Piede	2.5	-4600	0	0	0.40	0.00	-	V
6	6	Piano 1	6	1	Q.Perm.	Testa	2.5	-3700	0	0	0.40	0.00	-	V
						Piede	2.5	-4600	0	0	0.40	0.00	-	V

4.3 Verifica Elementi Bidimensionali.

4.3.1 Verifica Piastre.

4.3.1.1 Verifica Piastre in C.A..

4.3.1.1.1 Dati Generali

Piastra : numero della Piastra;

Imp. : impalcato al quale appartiene la piastra;
 Fili : fili fissi ai quali appartiene la piastra;
 Sp. : spessore della Piastra;
 Largh. Striscia : Larghezza della striscia unitaria di Piastra rispetto alla quale sono state effettuate le verifiche;
 Lungh. Concio : Lunghezza del concio di Piastra rispetto alla quale sono state effettuate le verifiche a taglio;

Tabella 6.I

Piastra	Imp.	Fili	Sp. [cm]	Largh. striscia [cm]	Lungh. concio [cm]
1	Fondazione	2, 6, 3, 4, 5, 1	40	100	100

Disposizione Armature

Piastra : numero della Piastra;
 Imp. : impalcato al quale appartiene la piastra;
 Fili : fili fissi ai quali appartiene la piastra;
 Dir. : Direzione rispetto alla quale disporre le armature;
 Diam. : diametro delle armature da disporre nella direzione indicata;
 Inter. intrad. : interasse rispetto al quale posizionare le armature all'intradosso nella direzione indicata;
 Inter. estrad. : interasse rispetto al quale posizionare le armature all'estradosso nella direzione indicata;

Tabella 6.II

Piastra	Imp.	Fili	Dir.	Diam. [mm]	Inter. intrad. [cm]	Inter. estrad. [cm]
1	Fondazione	2, 6, 3, 4, 5, 1	X	12	20.0	20.0
			Y	12	20.0	20.0

4.3.1.1.2 Verifiche SLV - Flessione.

Piastra : numero della Piastra;
 Imp. : impalcato al quale appartiene la piastra;
 Fili : fili fissi ai quali appartiene la piastra;
 RCrit : regione critica;
 Dir. : direzione attorno alla quale sono valutate le caratteristiche flettenti;
 ϵ_{c2} : deformazione di contrazione del calcestruzzo al raggiungimento della massima tensione;
 ϵ_{cu2} : deformazione ultima di contrazione del calcestruzzo;
 Msd : momento sollecitante;
 ϵ_{Cl} : deformazione massima del calcestruzzo compresso
 ϵ_{acc} : deformazione massima dell'armatura tesa
 MRd : momento resistente;
 S : Coefficiente di sicurezza;
 Esito : Esito della verifica : V = VERIFICATA;
 : NV = NON VERIFICATA;

Tabella 7.I

Piastra	Imp.	Fili	RCrit	Dir.	ϵ_{c2} [%]	ϵ_{cu2} [%]	Cop. sup. [cm]	Arm. sup.	Cop. inf. [cm]	Arm. inf.	Msd [daNm]	ϵ_{cls} [%]	ϵ_{acc} [%]	Mrd [daNm]	S	Esito
1	Fondazione	2, 6, 3, 4, 5, 1		X	2.00	3.50	5.2	Ø 12 / 20.0	4.0	Ø 12 / 20.0	-1277	1.25	10.00	-7590	5.94	V
				Y	2.00	3.50	4.0	Ø 12 / 20.0	5.2	Ø 12 / 20.0	-1874	1.25	10.00	-7590	4.05	V
			1	X	2.00	3.50	5.2	Ø 12 / 20.0	4.0	Ø 12 / 20.0	-1409	1.25	10.00	-7590	5.39	V
				Y	2.00	3.50	4.0	Ø 12 / 20.0	5.2	Ø 12 / 20.0	-1611	1.25	10.00	-7590	4.71	V
			2	X	2.00	3.50	5.2	Ø 12 / 20.0	4.0	Ø 12 / 20.0	-1409	1.25	10.00	-7590	5.39	V
				Y	2.00	3.50	4.0	Ø 12 / 20.0	5.2	Ø 12 / 20.0	-1611	1.25	10.00	-7590	4.71	V
			3	X	2.00	3.50	5.2	Ø 12 / 20.0	4.0	Ø 12 / 20.0	-642	1.25	10.00	-7590	11.83	V
				Y	2.00	3.50	4.0	Ø 12 / 20.0	5.2	Ø 12 / 20.0	-882	1.25	10.00	-7590	8.61	V
			4	X	2.00	3.50	5.2	Ø 12 / 20.0	4.0	Ø 12 / 20.0	-642	1.25	10.00	-7590	11.83	V
				Y	2.00	3.50	4.0	Ø 12 / 20.0	5.2	Ø 12 / 20.0	-882	1.25	10.00	-7590	8.61	V

			5	X	2.00	3.50	5.2	Ø 12 / 20.0	4.0	Ø 12 / 20.0	-1409	1.25	10.00	-7590	5.39	V
				Y	2.00	3.50	4.0	Ø 12 / 20.0	5.2	Ø 12 / 20.0	-1611	1.25	10.00	-7590	4.71	V
			6	X	2.00	3.50	5.2	Ø 12 / 20.0	4.0	Ø 12 / 20.0	-1409	1.25	10.00	-7590	5.39	V
				Y	2.00	3.50	4.0	Ø 12 / 20.0	5.2	Ø 12 / 20.0	-1611	1.25	10.00	-7590	4.71	V

4.3.1.1.3 Verifiche SLV - Taglio

Piastra : numero della Piastra;
 Imp. : impalcato al quale appartiene la piastra;
 Fili : fili fissi ai quali appartiene la piastra;
 RCrit : regione critica;
 cot(θ) : cotangente dell'angolo θ ;
 Diam. : diametro del braccio della staffa;
 AStaffe : area di armatura a taglio da disporre nell'unità di superficie;
 DLong : distanza longitudinale fra i bracci delle staffe;
 DTrasv : distanza trasversale fra i bracci delle staffe;
 VSd : Taglio sollecitante di calcolo;
 VRd : Taglio resistente di calcolo;
 Esito : Esito della verifica : V = VERIFICATA;
 : NV = NON VERIFICATA;

Tabella 8.I

Piastra	Imp.	Fili	RCrit	cot(θ)	Armature				Tagli		Esito
					Diam. [mm]	Dlong [cm]	Dtrasv [cm]	Area [cm ² /m ²]	Vsd [daN]	VRd [daN]	
1	Fondazione	2, 6, 3, 4, 5, 1		1.0	8	-	-	-	3492	11068	V

4.3.1.1.4 Verifiche SLV - Taglio-Punzonamento

Piastra : numero della Piastra;
 Imp. : impalcato al quale appartiene la piastra;
 Fili : fili fissi ai quali appartiene la piastra;
 RCrit : regione critica;
 Diam : diametro del braccio della staffa;
 DLong : distanza longitudinale fra i bracci delle staffe per taglio-punzonamento;
 DTrasv : distanza trasversale fra i bracci delle staffe per taglio-punzonamento;
 vsd : tensione sollecitante di calcolo;
 vrd : tensione resistente di calcolo;
 Esito : Esito della verifica : V = VERIFICATA;
 : NV = NON VERIFICATA;

Tabella 9.I

Piastra	Imp.	Fili	RCrit	Diam [mm]	Dlong [cm]	Dtrasv [cm]	vsd [daN/cm ²]	vrd [daN/cm ²]	S	Esito
1	Fondazione	2, 6, 3, 4, 5, 1	1	8	0	0	1.18	38.25	32.39	V
			2	8	0	0	1.18	38.25	32.39	V
			3	8	0	0	0.67	38.25	56.86	V
			4	8	0	0	0.67	38.25	56.86	V
			5	8	0	0	1.18	38.25	32.39	V
			6	8	0	0	1.18	38.25	32.39	V

4.3.1.1.5 Verifiche SLE - Fessurazione

Piastra : numero della Piastra;
 Imp. : impalcato al quale appartiene la piastra;
 Fili : fili fissi ai quali appartiene la piastra;

Comb. : combinazione di carico (Caratteristica, Frequente, Quasi Permanente);
 RCrit : regione critica;
 Dir. : direzione dell'asse attorno al quale viene valutata la caratteristica flettente;
 Msd : azione sollecitante flettente massima;
 MCr : momento di prima fessurazione;
 Fess. Calc. : fessura di calcolo;
 Fess. Lim. : fessura limite;
 S : Coefficiente di sicurezza;
 Esito : Esito della verifica : V = VERIFICATA;
 : NV = NON VERIFICATA;

Tabella 10.I

Piastra	Imp.	Fili	Comb.	RCrit	Dir.	Msd [daNm]	MCr [daNm]	Fess. Calc. [mm]	Fess. Lim. [mm]	S	Esito
1	Fondazione	2, 6, 3, 4, 5, 1	Freq.		X	-874.14	5497.61	0.00	0.40	-	V
					Y	-1282.57	5497.61	0.00	0.40	-	V
				1	X	-964.69	5497.61	0.00	0.40	-	V
					Y	-1102.47	5497.61	0.00	0.40	-	V
				2	X	-964.69	5497.61	0.00	0.40	-	V
					Y	-1102.47	5497.61	0.00	0.40	-	V
				3	X	-439.37	5497.61	0.00	0.40	-	V
					Y	-603.48	5497.61	0.00	0.40	-	V
				4	X	-439.37	5497.61	0.00	0.40	-	V
					Y	-603.48	5497.61	0.00	0.40	-	V
				5	X	-964.69	5497.61	0.00	0.40	-	V
					Y	-1102.47	5497.61	0.00	0.40	-	V
				6	X	-964.69	5497.61	0.00	0.40	-	V
					Y	-1102.47	5497.61	0.00	0.40	-	V
			Q. Perm.		X	-874.14	5497.61	0.00	0.30	-	V
					Y	-1282.57	5497.61	0.00	0.30	-	V
				1	X	-964.69	5497.61	0.00	0.30	-	V
					Y	-1102.47	5497.61	0.00	0.30	-	V
				2	X	-964.69	5497.61	0.00	0.30	-	V
					Y	-1102.47	5497.61	0.00	0.30	-	V
				3	X	-964.69	5497.61	0.00	0.30	-	V
					Y	-1102.47	5497.61	0.00	0.30	-	V
				4	X	-964.69	5497.61	0.00	0.30	-	V
					Y	-1102.47	5497.61	0.00	0.30	-	V
				5	X	-964.69	5497.61	0.00	0.30	-	V
					Y	-1102.47	5497.61	0.00	0.30	-	V
				6	X	-964.69	5497.61	0.00	0.30	-	V
					Y	-1102.47	5497.61	0.00	0.30	-	V

4.3.1.1.6 Verifiche SLE - Tensioni di Esercizio

Piastra : numero della Piastra;
 Imp. : impalcato al quale appartiene la piastra;
 Fili : fili fissi ai quali appartiene la piastra;
 Comb. : combinazione di carico (Caratteristica, Frequente, Quasi Permanente);
 RCrit : regione critica;
 Dir. : direzione dell'asse attorno al quale viene valutata la caratteristica flettente;
 Msd : valore massimo della caratteristica flettente di calcolo;
 σ_c : tensioni d'esercizio del calcestruzzo (compressione positiva);
 $\sigma_{c,lim}$: Tensioni limite del calcestruzzo;
 S_{cls} : coefficiente di sicurezza per la verifica del calcestruzzo;
 σ_s : tensioni d'esercizio dell'acciaio (trazione positiva);
 $\sigma_{s,lim}$: Tensioni limite dell'acciaio;
 S_{acc} : coefficiente di sicurezza per la verifica dell'acciaio;
 Esito : Esito della verifica : V = VERIFICATA;
 : NV = NON VERIFICATA;

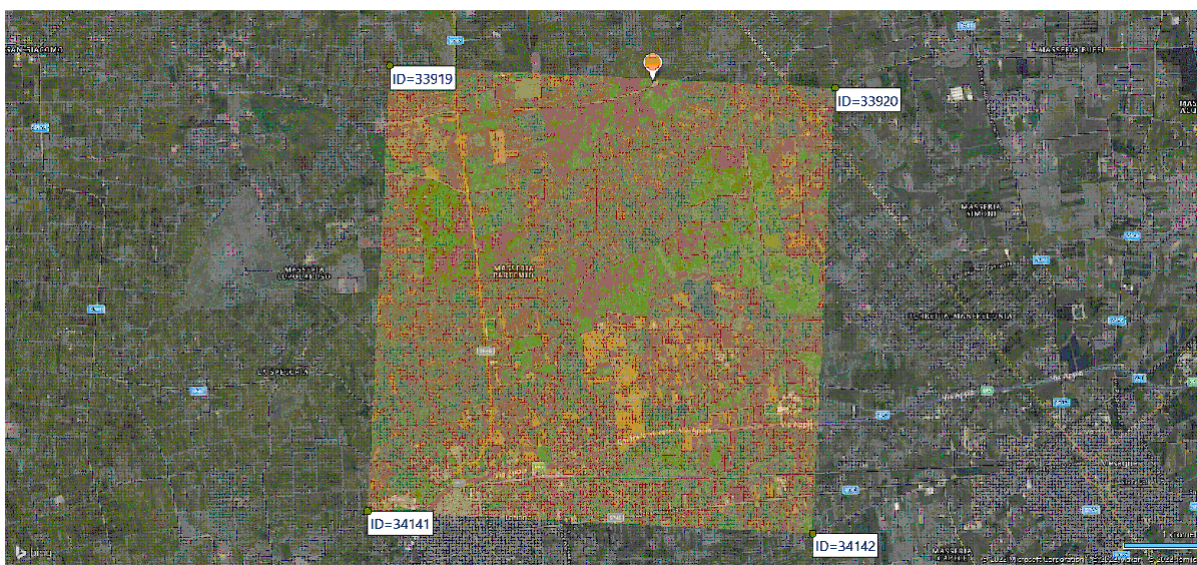
Tabella 11.I

Piastra	Imp.	Fili	Comb.	RCrit	Dir.	Msd [daNm]	σ_c [daN/cm ²]	$\sigma_{c,lim}$ [daN/cm ²]	S cls	σ_s [daN/cm ²]	$\sigma_{s,lim}$ [daN/cm ²]	S acc.	Esito
1	Fondazione	2, 6, 3, 4, 5, 1	Caratteristica		X	-874.14	7.60	150.00	19.73	-477.07	3600.00	7.55	V
					Y	-1282.57	11.16	150.00	13.45	-699.97	3600.00	5.14	V
				1	X	-964.69	8.39	150.00	17.88	-526.49	3600.00	6.84	V
					Y	-1102.47	9.59	150.00	15.64	-601.68	3600.00	5.98	V
				2	X	-964.69	8.39	150.00	17.88	-526.49	3600.00	6.84	V
					Y	-1102.47	9.59	150.00	15.64	-601.68	3600.00	5.98	V
				3	X	-439.37	3.82	150.00	39.25	-239.79	3600.00	15.01	V
					Y	-603.48	5.25	150.00	28.58	-329.35	3600.00	10.93	V
				4	X	-439.37	3.82	150.00	39.25	-239.79	3600.00	15.01	V
					Y	-603.48	5.25	150.00	28.58	-329.35	3600.00	10.93	V
				5	X	-964.69	8.39	150.00	17.88	-526.49	3600.00	6.84	V
					Y	-1102.47	9.59	150.00	15.64	-601.68	3600.00	5.98	V
				6	X	-964.69	8.39	150.00	17.88	-526.49	3600.00	6.84	V
					Y	-1102.47	9.59	150.00	15.64	-601.68	3600.00	5.98	V
			Q. Perm.		X	-874.14	7.60	112.50	14.80	-477.07	3600.00	7.55	V
					Y	-1282.57	11.16	112.50	10.08	-699.97	3600.00	5.14	V
				1	X	-964.69	8.39	112.50	13.41	-526.49	3600.00	6.84	V
					Y	-1102.47	9.59	112.50	11.73	-601.68	3600.00	5.98	V
				2	X	-964.69	8.39	112.50	13.41	-526.49	3600.00	6.84	V
					Y	-1102.47	9.59	112.50	11.73	-601.68	3600.00	5.98	V
				3	X	-439.37	3.82	112.50	29.44	-239.79	3600.00	15.01	V
					Y	-603.48	5.25	112.50	21.43	-329.35	3600.00	10.93	V
				4	X	-439.37	3.82	112.50	29.44	-239.79	3600.00	15.01	V
					Y	-603.48	5.25	112.50	21.43	-329.35	3600.00	10.93	V
				5	X	-964.69	8.39	112.50	13.41	-526.49	3600.00	6.84	V
					Y	-1102.47	9.59	112.50	11.73	-601.68	3600.00	5.98	V
				6	X	-964.69	8.39	112.50	13.41	-526.49	3600.00	6.84	V
					Y	-1102.47	9.59	112.50	11.73	-601.68	3600.00	5.98	V

5 ALLEGATI.

5.1 ALLEGATO A - (Pericolosità sismica di base)

Coordinate (Datum ED50) del sito : Latitudine = 40.6040° - Longitudine = 17.7442°



Identificativi e coordinate (Datum ED50) dei punti che includono il sito														
Punto	Lat. [°]	Long. [°]	SLV			SLC			SLD			SLO		
			Acc. sismica	Coeff. Fo	Periodo Tc*	Acc. sismica	Coeff. Fo	Periodo Tc*	Acc. sismica	Coeff. Fo	Periodo Tc*	Acc. sismica	Coeff. Fo	Periodo Tc*
33919	40.6061	17.7053	0.049	2.648	0.439	0.058	2.817	0.457	0.022	2.367	0.237	0.017	2.371	0.160
33920	40.6036	17.7711	0.048	2.605	0.443	0.057	2.767	0.463	0.021	2.381	0.228	0.016	2.363	0.158

34141	40.5561	17.7020	0.050	2.664	0.441	0.059	2.835	0.460	0.023	2.358	0.239	0.017	2.365	0.160
34142	40.5537	17.7678	0.049	2.610	0.447	0.058	2.741	0.507	0.022	2.365	0.231	0.016	2.353	0.159

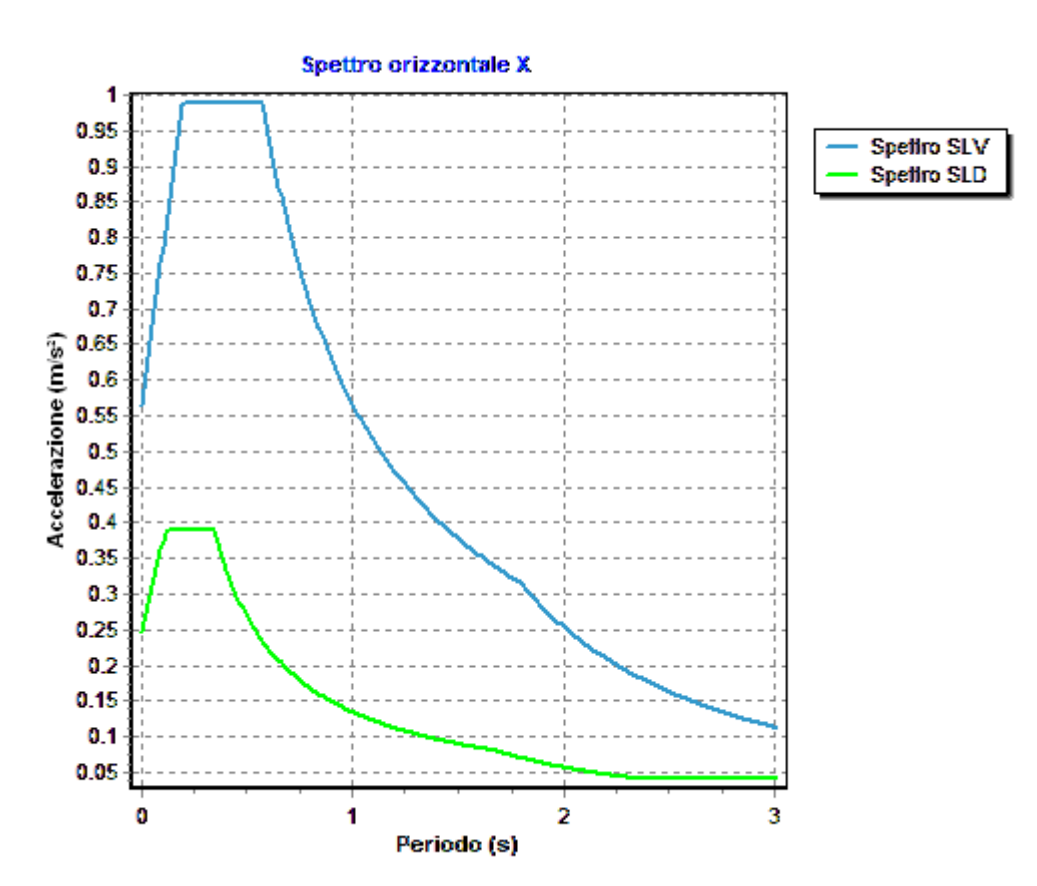
I valori dei parametri p (a_g , F_0 , T_c^*) di interesse per la definizione dell'azione sismica di progetto sono stati calcolati come media pesata dei valori assunti da tali parametri nei quattro vertici della maglia elementare del *reticolo di riferimento* contenente il punto in esame, utilizzando come pesi gli inversi delle distanze tra il punto in questione ed i quattro vertici, attraverso la seguente espressione:

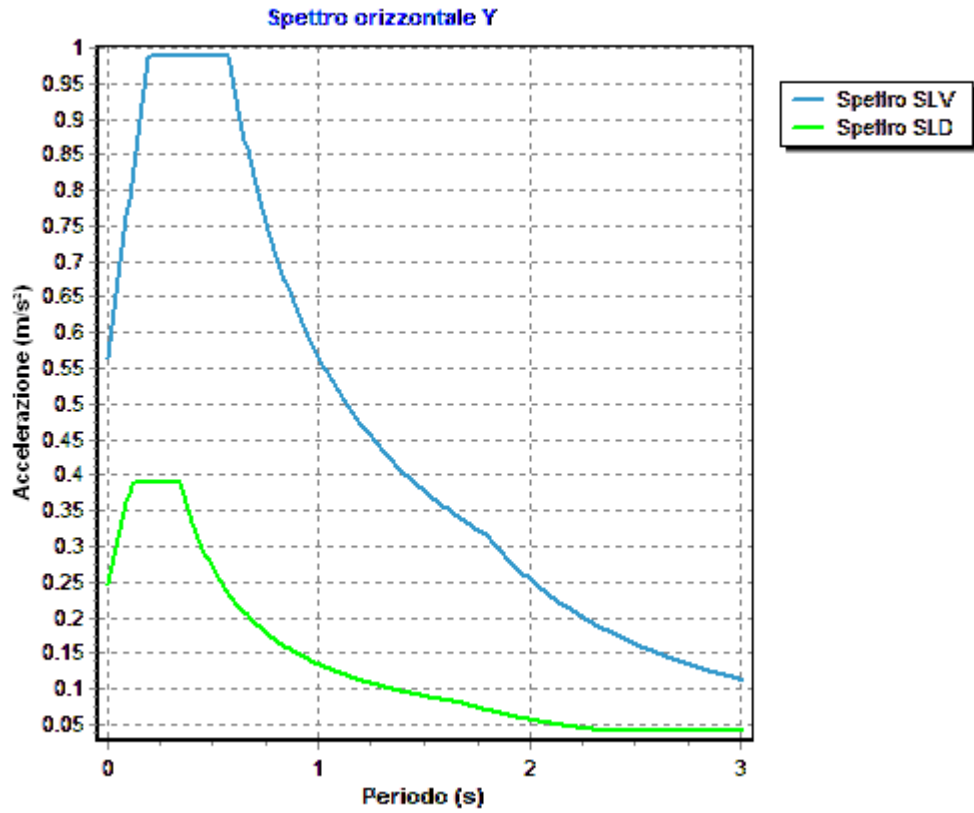
$$p = \frac{\sum_{(i=1..4)} [p_i / d_i]}{\sum_{(i=1..4)} [1 / d_i]}$$

nella quale:

- p : valore del parametro di interesse nel punto in esame;
- p_i : valore del parametro di interesse nell' i -esimo punto della maglia elementare contenente il punto in esame;
- d_i : è la distanza del punto in esame dall' i -esimo punto della maglia suddetta.

	Parametri dello spettro di risposta orizzontale			
	SLV	SLC	SLD	SLO
Tempo di ritorno	475	975	50	30
Accelerazione sismica	0.048	0.057	0.021	0.016
Coefficiente F_0	2.626	2.787	2.371	2.364
Periodo T_c^*	0.443	0.468	0.233	0.159





6 RELAZIONE GEOTECNICA

6.1 DESCRIZIONE DELL'OPERA E DEGLI INTERVENTI.

Nella presente relazione vengono riportati i risultati delle elaborazioni a carattere geotecnico eseguite per le opere di fondazione da realizzare nell'ambito dei lavori di:

I risultati delle indagini effettuate, degli studi eseguiti e delle valutazioni geotecniche operate, parte integrante degli elaborati progettuali relativi ai lavori in oggetto, faranno riferimento per le caratteristiche geotecniche dei terreni di fondazione ai dati riportati nella Relazione geologico-tecnica redatta dal dott. geol.

TIPOLOGIA STRUTTURALE IN DIREZIONE X:

Strutture a telaio, a pareti accoppiate, miste

TIPOLOGIA STRUTTURALE IN DIREZIONE Y:

Strutture a telaio, a pareti accoppiate, miste

TIPOLOGIA FONDAZIONI:

Fondazioni superficiali, quindi del tipo dirette, costituite da platee di fondazione.

Descrizione delle tipologie di fondazione utilizzate.

Nell'ambito dei lavori in oggetto si sono utilizzate le seguenti tipologie di fondazione: , platee, le cui dimensioni e la loro ubicazione vengono di seguito meglio descritte.

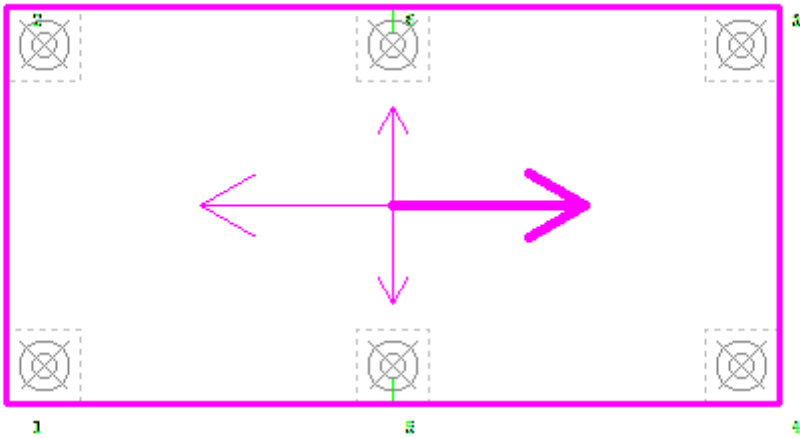
Descrizione delle platee di fondazione e loro ubicazione in pianta.

Platea : numero della platea;
Impalcato : impalcato al quale appartiene la piastra;
Fili : fili fissi ai quali appartiene la piastra;
Spessore : spessore della Piastra;
KwN : modulo di Winkler normale;
KwT : modulo di Winkler tangenziale;

Platea	Impalcato	Fili	Spessore [cm]	KwN [daN/cm ³]	KwT [daN/cm ³]
1	Fondazione	2, 6, 3, 4, 5, 1	40	41.36	28.23

Piante fondazioni.

Fondazione



6.2 RELAZIONE GEOTECNICA (CAP. 6 delle N.T.C.)

Problemi geotecnici e scelte tipologiche.

La caratterizzazione geotecnica dei terreni di fondazione compresi nel volume significativo, ovvero in quella parte di sottosuolo che viene influenzata direttamente o indirettamente dalle opere in oggetto, viene riportata in dettaglio nella relazione geologico-geotecnica allegata.

Vengono di seguito indicati i parametri fondamentali per la valutazione della capacità portante del terreno di fondazione e le scelte tipologiche adottate per il dimensionamento delle opere di fondazione, non avendo riscontrato altre particolari problematiche di tipo geotecnico.

Al fine d'identificare la categoria di sottosuolo, tramite la conoscenza dello spessore e natura dei diversi strati che compongono il terreno sottostante il piano di posa delle fondazioni, per il dimensionamento strutturale e geotecnico delle stesse sono state effettuate delle indagini in sito ubicate nell'area oggetto dell'intervento.

L'area in esame è sostanzialmente pianeggiante, caratterizzata da un fattore di amplificazione topografico pari a T1, pertanto non si osservano variazioni di quota della superficie topografica degne di valutazioni particolari.

Descrizione del programma delle indagini e delle prove geotecniche.

Per definire la stratigrafia di progetto, dei terreni di sedime dei lavori in oggetto e per acquisire i parametri fisico-meccanici dei terreni in esame è stata condotta sull'area interessata dall'intervento di progetto una campagna di indagini.

Il programma delle indagini e delle prove con l'ubicazione delle stesse è stato definito a seguito di un attento sopralluogo dell'area in oggetto e risulta più ampiamente descritto nella relazione geologica allegata.

Caratterizzazione fisico meccanica dei terreni e definizione dei valori caratteristici dei parametri geotecnici.

- Caratteristiche litostratigrafiche

L'analisi dei risultati ottenuti dalle indagini per la caratterizzazione del suolo di fondazione sono meglio indicati nella relazione geologico-geotecnica allegata. Per quanto riguarda l'aspetto geologico a seguito il rilevamento di un significativo intorno della zona in esame si è riscontrata la presenza delle seguenti successioni litostratigrafiche nelle relative sezioni geologiche (colonne stratigrafiche):

Filo : filo fisso al quale appartiene la colonna stratigrafica;
 Colonna : nome della colonna stratigrafica;
 Strato : nome dello strato appartenente la colonna stratigrafica;
 Descrizione : descrizione dello strato;

Filo	Colonna	Strato	Descrizione
1	Colonna 1	Calcari fratturati	calcari

- Caratteristiche fisico meccaniche dei terreni di fondazione

Nell'ambito del progetto si è fatto uso delle seguenti colonne stratigrafiche:

Caratteristiche delle colonne stratigrafiche:

Colonna : nome della colonna stratigrafica;
 Filo : filo fisso al quale appartiene la colonna stratigrafica;
 Impalcato : Impalcato al quale appartiene la colonna stratigrafica;
 Falda : Presenza della falda;
 Prof. Falda : Profondità della falda (se è presente);
 Spicc. Fond. : Quota dell'estradosso della fondazione rispetto al piano campagna;
 No. Strati : Numero degli strati della colonna stratigrafica.
 RQD : (Rock Quality Designation) grado di fratturazione dell'ammasso roccioso in [0-1]

Filo	Colonna	Impalcato	Falda	Prof. Falda [cm]	Spicc. Fond. [cm]	No. Strati	RQD
1	Colonna 1	Fondazione	Non Presente	-	0.00	1	-
2	Colonna 1	Fondazione	Non Presente	-	0.00	1	-
3	Colonna 1	Fondazione	Non Presente	-	0.00	1	-
4	Colonna 1	Fondazione	Non Presente	-	0.00	1	-

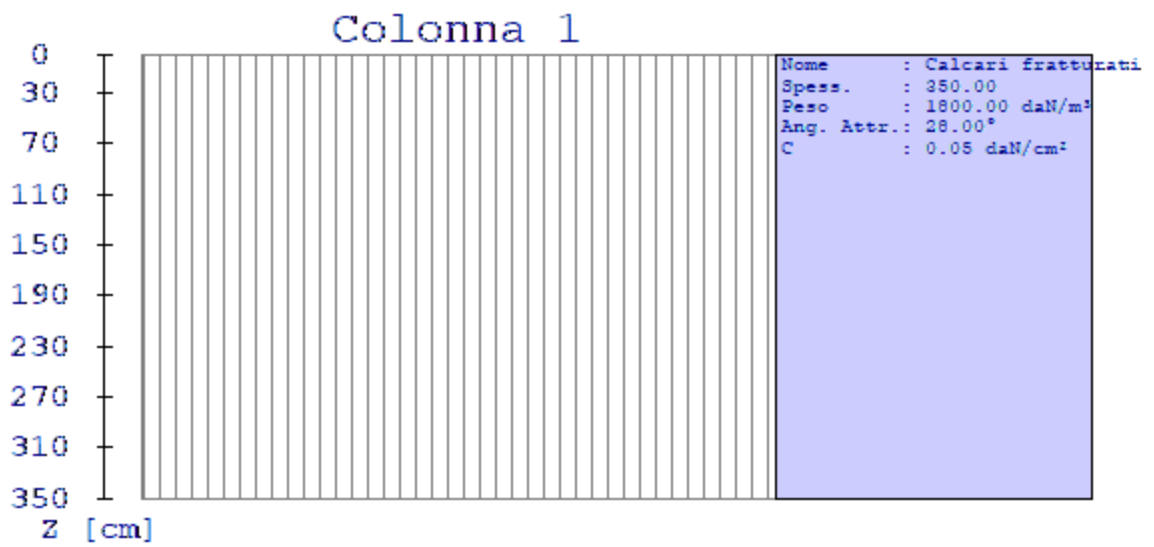
5	Colonna 1	Fondazione	Non Presente	-	0.00	1	-
6	Colonna 1	Fondazione	Non Presente	-	0.00	1	-

Caratteristiche degli strati appartenenti alle colonne stratigrafiche:

- Colonna : nome della colonna stratigrafica;
 Strato : nome dello strato appartenente la colonna stratigrafica;
 Spess. : Spessore dello strato;
 Peso : Peso dell'unità di volume dello strato;
 Peso eff. : Peso dell'unità di volume efficace dello strato;
 NSPT : Numero di colpi medio misurato nello strato;
 Qc : Resistenza alla punta media misurata nello strato;
 ϕ : Angolo di attrito del terreno;
 C : Coesione drenata del terreno;
 Cu : Coesione non drenata del terreno;
 E : Modulo elastico del terreno;
 G : Modulo di taglio del terreno;
 ν_t : Coefficiente di Poisson;
 E_{ed} : Modulo Edometrico;
 OCR : Grado di sovraconsolidazione del terreno.

Colonna	Strato	Spess. [cm]	Peso [daN/m ³]	Peso eff. [daN/m ³]	NSPT	Qc [daN/cm ²]	ϕ [°]	C [daN/cm ²]	Cu [daN/cm ²]	E [daN/cm ²]	G [daN/cm ²]	ν_t	E_{ed} [daN/cm ²]	OC R
Colonna 1	Calciari fratturati	350.0	1800.0	800.0	-	-	28.0	0.05	0.00	5090.00	1880.00	0.35	-	1.00

- Sezioni Geologiche:



- Caratterizzazione sismica del suolo di fondazione:

La categoria assunta per il suolo di fondazione per il sito in oggetto è: B

Modelli geotecnici di sottosuolo e metodi di analisi.

L'interazione terreno struttura viene modellata applicando il modello di Winkler, il quale caratterizza il sottosuolo con una relazione lineare fra il cedimento in un punto della superficie limite e la pressione agente nello stesso punto, indipendentemente da altri carichi applicati in punti diversi. Si assume cioè che:

$$p = k_v w$$

dove K_v è detta costante di sottofondo o coefficiente di reazione del terreno e w è l'abbassamento della trave di fondazione tale da comprimere il terreno sottostante.

Il valore del coefficiente k_v relativo alla direzione verticale è stato calcolato con riferimento ai dati geologico-geotecnici forniti utilizzando la formula di Vesic (1961), particolarmente adatta per modellare l'interazione con il terreno considerato come mezzo elastico continuo:

$$k_v = (0.65 E_s) / [B (1 - \nu_s^2)] [(E_s B^4) / (E I)]^{1/12}$$

Il modello "alla Winkler" viene esteso anche alla componente orizzontale dello spostamento mediante il coefficiente k_o relativo alla direzione orizzontale, calcolato con riferimento ai dati geologico-geotecnici forniti, utilizzando le formule di Gazetas (1985). Le formule sono state utilizzate per calcolare il rapporto α tra modulo di reazione orizzontale e verticale.:

$$\alpha = K_{GazO} / K_{GazV}$$

$$K_{GazO} = K_{hBasic} l_{hShape} l_{hdepth} l_{h sidewall}$$

$$K_{hBasic} = G_s L_F / (2 - \nu)$$

$$l_{hShape} = 2 + 2.5 (A_b / L_F^2)^{0.85}$$

$$l_{hdepth} = 1 + 0.15 (2 D_F / B_F)^{0.50}$$

$$l_{h sidewall} = 1 + 0.52 [(8 h A_s) / (B_F L_F^2)]^{0.50}$$

$$K_{GazV} = K_{vBasic} l_{vShape} l_{vdepth} l_{v sidewall}$$

$$K_{vBasic} = G_s L_F / (1 - \nu)$$

$$l_{vShape} = 0.73 + 1.54 (A_b / L_F^2)^{0.75}$$

$$l_{vdepth} = 1 + (2 D_F / B_F) [1 + (4/3) (A_b / L_F^2)]$$

$$l_{v sidewall} = 1 + 0.19 (A_s / A_b)^{0.67}$$

dove:

E_s : Modulo di deformazione del terreno (valore calcolato come media pesata sullo spessore degli strati interessati);

ν_s : Modulo di Poisson del terreno (valore calcolato come media pesata sullo spessore degli strati interessati);

G_s : Modulo di taglio del terreno (valore calcolato come media pesata sullo spessore degli strati interessati);

B : base della singola trave di fondazione (per platee si assume come valore 1 m);

E : Modulo elastico dell'elemento di fondazione;

I : Momento d'inerzia dell'elemento di fondazione;

L_F : Dimensione massima dell'ingombro in pianta dell'intera fondazione;

B_F : Dimensione minima dell'ingombro in pianta dell'intera fondazione;

A_b : Area in pianta dell'intera fondazione;

A_s : Area laterale in pianta dell'intera fondazione;

h : 0.5 volte l'altezza media della fondazione;

Per l'applicazione delle formule di Gazetas è stata considerata l'intera fondazione della struttura. I parametri geologico-geotecnici sono calcolati considerando tutti gli strati posti al di sotto della fondazione contenuti in un volume significativo, considerato di profondità pari a 2 volte l'altezza massima dell'intera fondazione della struttura.

Le platee di fondazione vengono modellate utilizzando un elemento finito che segue sempre la giacitura di un piano. L'elemento lastra-piastra, nel seguito denominato guscio, possiede nel sistema di riferimento locale come in quello globale 6 gradi di libertà per nodo. L'elemento è computato sovrapponendo il comportamento lastra o membrana, che possiede 3 gradi di libertà per nodo (una coppia di spostamenti planari e un grado di libertà alla rotazione intorno ad un asse perpendicolare al piano medio), e il comportamento piastra, che possiede 3 gradi di libertà per nodo (uno spostamento perpendicolare al piano medio e una coppia di rotazioni ortogonali aventi assi sostegno paralleli al piano medio).

La geometria dell'elemento finito SHELL può essere definita attraverso 3 o 4 nodi. La trattazione nei due casi è completamente diversa. L'elemento a 3 nodi viene usato per creare esclusivamente mesh di transizione nel caso di figure irregolari.

La formulazione dell'elemento è basata sulla teoria di Mindlin-Reissner in cui viene considerato anche il contributo della deformazione dovuta al taglio risolvendolo secondo la formulazione isoparametrica. Tutte le caratteristiche sono calcolate attraverso l'integrazione numerica ai punti di Gauss secondo la regola 2x2 ed estrapolate ai nodi.

Nel caso delle platee di fondazione, l'interazione viene modellata attraverso l'introduzione di molle distribuite sulla superficie dell'elemento che vengono automaticamente concentrate (rappresentative della propria area di influenza e calcolate attraverso l'integrazione di Gauss) e applicate ai nodi di estremità.

Verifiche della sicurezza e delle prestazioni: identificazione dei relativi stati limite.

Le verifiche della sicurezza in fondazione sono condotte nei riguardi dello stato limite ultimo e dello stato limite di esercizio. Le verifiche nei riguardi degli stati limite previsti dalla Normativa ed eseguite sono:

STR - raggiungimento della resistenza degli elementi strutturali, compresi gli elementi di fondazione;

GEO - raggiungimento della resistenza del terreno interagente con la struttura con sviluppo di meccanismi di collasso dell'insieme terreno-struttura;

Verifiche STR: le verifiche di resistenza degli elementi strutturali di fondazione sono state eseguite contestualmente alla verifica degli elementi strutturali in elevazione. Le relative verifiche sono riportate nella relazione di calcolo allegata;

Verifiche GEO: le verifiche di resistenza del terreno interagente con la struttura sono condotte confrontando i valori di resistenza con quelli di progetto, secondo l'Approccio 2, come riportato nelle pagine seguenti.

Verifiche GEO: Approcci progettuali e valori di progetto dei parametri geotecnici.

TEORIA DI CALCOLO PER FONDAZIONI SUPERFICIALI.

Il calcolo è stato effettuato seguendo la teoria di Brinch Hansen, la quale tiene conto:

- della forma della fondazione;
- della profondità del piano di posa della fondazione;
- dell'inclinazione del carico sulla fondazione;
- dell'eccentricità del carico;
- dell'inclinazione del piano di posa della fondazione;
- dell'inclinazione del piano di campagna;
- dell'effetto inerziale nella fondazione;
- dell'effetto cinematico del sottosuolo;

Si riportano di seguito le formule considerate nelle varie colonne stratigrafiche assegnate ai fili fissi:

Il carico limite si ottiene dalla seguente espressione:

$$q_{lim} = 0.5 \cdot B' \cdot \gamma^2 \cdot N_{\gamma} \cdot s_{\gamma} \cdot d_{\gamma} \cdot i_{\gamma} \cdot g_{\gamma} \cdot b_{\gamma} \cdot z_{\gamma} \cdot e_{\gamma k} \cdot e_{\gamma i} + c \cdot N_c \cdot s_c \cdot d_c \cdot i_c \cdot g_c \cdot b_c \cdot z_c + (q + \gamma_1 \cdot D) \cdot N_q \cdot s_q \cdot d_q \cdot i_q \cdot g_q \cdot b_q \cdot z_q$$

Dove: $B' = B - 2 \cdot e$

B è il lato minore della fondazione.

eB è l'eccentricità del carico lungo B.
 D è la profondità del piano di posa della fondazione.
 γ_1 è il peso del terreno sopra il piano di posa della fondazione.
 γ_2 è il peso del terreno sotto il piano di posa della fondazione.
 C è la coesione del terreno.
 q è il carico uniformemente distribuito ai lati della fondazione.

Fattori di portanza Platee. SLU-SLV

Platea : numero della platea;
 Fili : fili fissi ai quali appartiene la platea;
 A1 : verifica della combinazione di carico A1;
 Lt : verifica a lungo termine.

Fattori di carico limite													
		A1						A2					
		Lt			Bt			Lt			Bt		
Platea	Fili	Nc	Nq	N γ	Nc	Nq	N γ	Nc	Nq	N γ	Nc	Nq	N γ
1	2, 6, 3, 4, 5, 1	25.80	14.72	10.94	-	-	-	-	-	-	-	-	-

Fattori di forma													
		A1						A2					
		Lt			Bt			Lt			Bt		
Platea	Fili	Sc	Sq	S γ	Sc	Sq	S γ	Sc	Sq	S γ	Sc	Sq	S γ
1	2, 6, 3, 4, 5, 1	1.29	1.27	0.80	-	-	-	-	-	-	-	-	-

Fattori di profondità													
		A1						A2					
		Lt			Bt			Lt			Bt		
Platea	Fili	Dc	Dq	D γ	Dc	Dq	D γ	Dc	Dq	D γ	Dc	Dq	D γ
1	2, 6, 3, 4, 5, 1	1.05	1.04	1.00	-	-	-	-	-	-	-	-	-

Fattori di inclinazione del piano di posa													
		A1						A2					
		Lt			Bt			Lt			Bt		
Platea	Fili	Bc	Bq	B γ	Bc	Bq	B γ	Bc	Bq	B γ	Bc	Bq	B γ
1	2, 6, 3, 4, 5, 1	1.00	1.00	1.00	-	-	-	-	-	-	-	-	-

Fattori di inclinazione del piano campagna													
		A1						A2					
		Lt			Bt			Lt			Bt		
Platea	Fili	Gc	Gq	G γ	Gc	Gq	G γ	Gc	Gq	G γ	Gc	Gq	G γ
1	2, 6, 3, 4, 5, 1	1.00	1.00	1.00	-	-	-	-	-	-	-	-	-

Fattori di inclinazione dei carichi													
		A1						A2					
		Lt			Bt			Lt			Bt		
Platea	Fili	Ic	Iq	I γ	Ic	Iq	I γ	Ic	Iq	I γ	Ic	Iq	I γ
1	2, 6, 3, 4, 5, 1	1.00	1.00	1.00	-	-	-	-	-	-	-	-	-

Fattori di portanza dell'effetto inerziale (Paolucci Pecker)													
		A1						A2					
		Lt			Bt			Lt			Bt		
Platea	Fili	Zc	Zq	Z γ	Zc	Zq	Z γ	Zc	Zq	Z γ	Zc	Zq	Z γ
1	2, 6, 3, 4, 5, 1	1.00	0.99	1.00	-	-	-	-	-	-	-	-	-

Fattori di portanza dell'effetto cinematico (Maugeri-Cascone)									
		A1				A2			
		Lt		Bt		Lt		Bt	
Platea	Fili	eyk	eyi	eyk	eyi	eyk	eyi	eyk	eyi
1	2, 6, 3, 4, 5, 1	0.95	0.81	-	-	-	-	-	-

Fattori di portanza Platee. SLD

- Platea : numero della platea;
 Fili : fili fissi ai quali appartiene la platea;
 A1 : verifica della combinazione di carico A1;
 Lt : verifica a lungo termine.

Fattori di carico limite													
		A1						A2					
		Lt			Bt			Lt			Bt		
Platea	Fili	Nc	Nq	Ny	Nc	Nq	Ny	Nc	Nq	Ny	Nc	Nq	Ny
1	2, 6, 3, 4, 5, 1	25.80	14.72	10.94	-	-	-	-	-	-	-	-	-

Fattori di forma													
		A1						A2					
		Lt			Bt			Lt			Bt		
Platea	Fili	Sc	Sq	Sy	Sc	Sq	Sy	Sc	Sq	Sy	Sc	Sq	Sy
1	2, 6, 3, 4, 5, 1	1.29	1.27	0.80	-	-	-	-	-	-	-	-	-

Fattori di profondità													
		A1						A2					
		Lt			Bt			Lt			Bt		
Platea	Fili	Dc	Dq	Dy	Dc	Dq	Dy	Dc	Dq	Dy	Dc	Dq	Dy
1	2, 6, 3, 4, 5, 1	1.05	1.04	1.00	-	-	-	-	-	-	-	-	-

Fattori di inclinazione del piano di posa													
		A1						A2					
		Lt			Bt			Lt			Bt		
Platea	Fili	Bc	Bq	Bγ	Bc	Bq	Bγ	Bc	Bq	Bγ	Bc	Bq	Bγ
1	2, 6, 3, 4, 5, 1	1.00	1.00	1.00	-	-	-	-	-	-	-	-	-

Fattori di inclinazione del piano campagna													
		A1						A2					
		Lt			Bt			Lt			Bt		
Platea	Fili	Gc	Gq	Gγ	Gc	Gq	Gγ	Gc	Gq	Gγ	Gc	Gq	Gγ
1	2, 6, 3, 4, 5, 1	1.00	1.00	1.00	-	-	-	-	-	-	-	-	-

Fattori di inclinazione dei carichi													
		A1						A2					
		Lt			Bt			Lt			Bt		
Platea	Fili	Ic	Iq	Iγ	Ic	Iq	Iγ	Ic	Iq	Iγ	Ic	Iq	Iγ
1	2, 6, 3, 4, 5, 1	1.00	1.00	1.00	-	-	-	-	-	-	-	-	-

Fattori di portanza dell'effetto inerziale (Paolucci Pecker)													
		A1						A2					
		Lt			Bt			Lt			Bt		
Platea	Fili	Zc	Zq	Zγ	Zc	Zq	Zγ	Zc	Zq	Zγ	Zc	Zq	Zγ
1	2, 6, 3, 4, 5, 1	1.00	0.99	1.00	-	-	-	-	-	-	-	-	-

Fattori di portanza dell'effetto cinematico (Maugeri-Cascone)									
		A1				A2			
		Lt		Bt		Lt		Bt	
Platea	Fili	e_{yk}	e_{yi}	e_{yk}	e_{yi}	e_{yk}	e_{yi}	e_{yk}	e_{yi}
1	2, 6, 3, 4, 5, 1	0.95	0.81	-	-	-	-	-	-

VERIFICA CAPACITA' PORTANTE.

La verifica del sistema di fondazione relativo alla struttura in oggetto, è stata effettuata sulla base dei dati geologici e dei parametri geotecnici forniti, seguendo l'approccio di progetto relativo alla normativa di riferimento:

- (punti 6.4.2.1 delle N.T.C. e 6.4.3 per fondazioni su pali)

A1 + M1 + R3

dove:

- Coefficienti parziali per le azioni

CARICHI	COEFFICIENTE PARZIALE	Comb. A1
PERMANENTI	γ_{G1ns}	1.3
PERMANENTI NON STRUTTURALI	γ_{G2ns}	1.5
VARIABILI	γ_{Qi}	1.5

- Coefficienti per i parametri geotecnici del terreno

PARAMETRO	GRANDEZZA ALLA QUALE APPL. IL COEFF. PARZIALE	Comb. M1
Tangente dell'angolo di attrito	$\tan\phi$	1.0
Coesione drenata del terreno	C	1.0
Coesione non drenata del terreno	C_u	1.0
Peso dell'unità di volume	γ	1.0

- Coefficienti parziali γ_R per le verifiche agli stati ultimi di fondazioni superficiali

VERIFICA	COEFFICIENTE PARZIALE R3
Capacità portante	$\gamma_R = 2.3$

Le verifiche vengono riassunte nelle successive tabelle.

Platee. SLU-SLV

Platea : numero della platea;
 Fili : fili fissi ai quali appartiene la platea considerata;
 A1 - Lt : verifica della combinazione di carico A1 a lungo termine;
 D : profondità del piano di posa;
 qlimd : carico limite di calcolo;
 σ : tensione di calcolo;
 S : Coefficiente di sicurezza;
 Esito : V = Verificato; NV = Non Verificato

Platea	Fili	Combinazione A1 - Lt				
		D [cm]	qlimd [daN/cm ²]	σ [daN/cm ²]	S	Esito
1	2, 6, 3, 4, 5, 1	40.00	3.03	1.50	2.02	V

Platee. SLD

Platea : numero della platea;
 Fili : fili fissi ai quali appartiene la platea considerata;
 A1 - Lt : verifica della combinazione di carico A1 a lungo termine;
 D : profondità del piano di posa;
 qlimd : carico limite di calcolo;
 σ : tensione di calcolo;
 S : Coefficiente di sicurezza;
 Esito : V = Verificato; NV = Non Verificato

Platea	Fili	Combinazione A1 - Lt				
		D [cm]	qlimd [daN/cm ²]	σ [daN/cm ²]	S	Esito
1	2, 6, 3, 4, 5, 1	40.00	3.03	1.03	2.94	V

Verifiche nei confronti degli stati limite di esercizio (SLE).

Gli stati limite di esercizio (punto 6.4.2.2 delle N.T.C.) investigati, si riferiscono al raggiungimento di valori critici dei cedimenti differenziali che possono compromettere la funzionalità dell'opera. Il calcolo dei cedimenti è stato eseguito per la combinazione di esercizio , quasi permanente

Platee.

Platea : numero della platea;
 Fili : fili fissi ai quali appartiene la platea considerata;
 Comb. : tipo di sviluppo;
 Dist. : distanza tra i punti di massimo cedimento differenziale;
 Istant. : cedimento istantaneo;
 Consol. : cedimento di consolidamento;
 Tot. : cedimento totale;
 Diff. : cedimento differenziale;
 Lim. : cedimento limite (4% x Dist.);
 S : Coefficiente di sicurezza;
 Esito : V = Verificato; NV = Non Verificato

Relazione di calcolo -

Platea	Fili	Comb.	Dist. [cm]	Max			Min			Diff. [cm]	Lim. [cm]	S	Esito
				Istant. [cm]	Consol. [cm]	Tot. [cm]	Istant. [cm]	Consol. [cm]	Tot. [cm]				
1	2, 6, 3, 4, 5, 1	Q. Perm.	295.5	-0.2049	-0.0113	-0.2162	-0.0527	-0.0050	-0.0576	0.1586	1.1820	7.45	V

Dalle tabelle relative al cedimento differenziale limite delle fondazioni, si evince che i cedimenti differenziali massimi stimati risultano compatibili con la funzionalità dei lavori in oggetto.

7 RELAZIONE SULLE FONDAZIONI

7.1 Strutture di fondazione e del suolo di fondazione.

Descrizione delle tipologie di fondazione utilizzate.

Nell'ambito dei lavori in oggetto si sono utilizzate le seguenti tipologie di fondazione: , platee, le cui dimensioni e la loro ubicazione vengono di seguito meglio descritte.

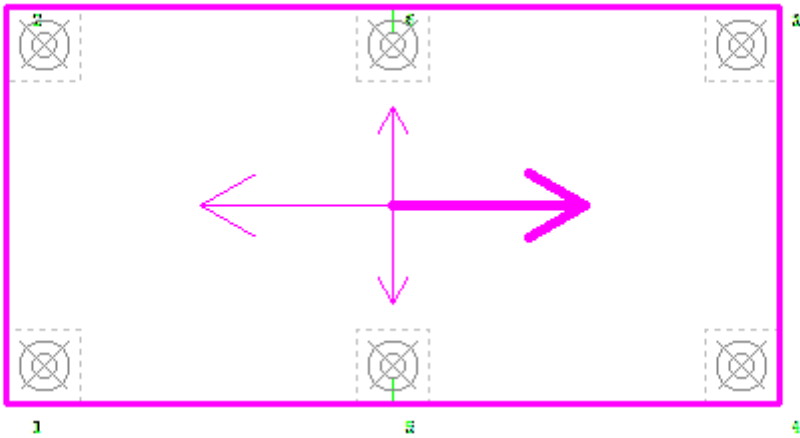
Descrizione delle platee di fondazione e loro ubicazione in pianta.

Platea : numero della platea;
Impalcato : impalcato al quale appartiene la piastra;
Fili : fili fissi ai quali appartiene la piastra;
Spessore : spessore della Piastra;
KwN : modulo di Winkler normale;
KwT : modulo di Winkler tangenziale;

Platea	Impalcato	Fili	Spessore [cm]	KwN [daN/cm ³]	KwT [daN/cm ³]
1	Fondazione	2, 6, 3, 4, 5, 1	40	41.36	28.23

Piante fondazioni.

Fondazione



7.2 Tensioni sul Terreno.

I dati seguenti riportano i valori delle tensioni esercitate dalla fondazione sul terreno.

Asta/Piastra : numerazione interna dell'asta/piastra.
 X : distanza dal nodo iniziale misurata lungo l'asse dell'asta/piastra.
 Comb : combinazione di appartenenza del valore considerato nell'involuppo.
 Tensioni (σ_T) : valore della tensione dovuta alla pressione dell'asta/piastra di fondazione:

Tabella 11.II

Tensioni Terreno				
	SLU	SLE		
		Caratteristi che	Frequenti	Quasi Permanenti
Piastra	σ [daN/cm ²]	σ [daN/cm ²]	σ [daN/cm ²]	σ [daN/cm ²]
1	1.50(1) *	1.03(1) *	1.03(1) *	1.02(1) *

* valore massimo.

Descrizione del suolo di fondazione.

- Caratteristiche litostratigrafiche

L'analisi dei risultati ottenuti dalle indagini per la caratterizzazione del suolo di fondazione sono meglio indicati nella relazione geologico-tecnica allegata. Per quanto riguarda l'aspetto geologico a seguito il rilevamento di un significativo intorno della zona in esame si è riscontrata la presenza delle seguenti successioni litostratigrafiche nelle relative sezioni geologiche (colonne stratigrafiche):

Filo : filo fisso al quale appartiene la colonna stratigrafica;
 Colonna : nome della colonna stratigrafica;
 Strato : nome dello strato appartenente la colonna stratigrafica;
 Descrizione : descrizione dello strato;

Filo	Colonna	Strato	Descrizione
1	Colonna 1	Calcari fratturati	calcari

- Caratteristiche fisico meccaniche dei terreni di fondazione

Nell'ambito del progetto si è fatto uso delle seguenti colonne stratigrafiche:

Caratteristiche delle colonne stratigrafiche:

Colonna : nome della colonna stratigrafica;
 Filo : filo fisso al quale appartiene la colonna stratigrafica;
 Impalcato : Impalcato al quale appartiene la colonna stratigrafica;
 Falda : Presenza della falda;
 Prof. Falda : Profondità della falda (se è presente);
 Spicc. Fond. : Quota dell'estradosso della fondazione rispetto al piano campagna;
 No. Strati : Numero degli strati della colonna stratigrafica.
 RQD : (Rock Quality Designation)grado di fratturazione dell'ammasso roccioso in [0-1]

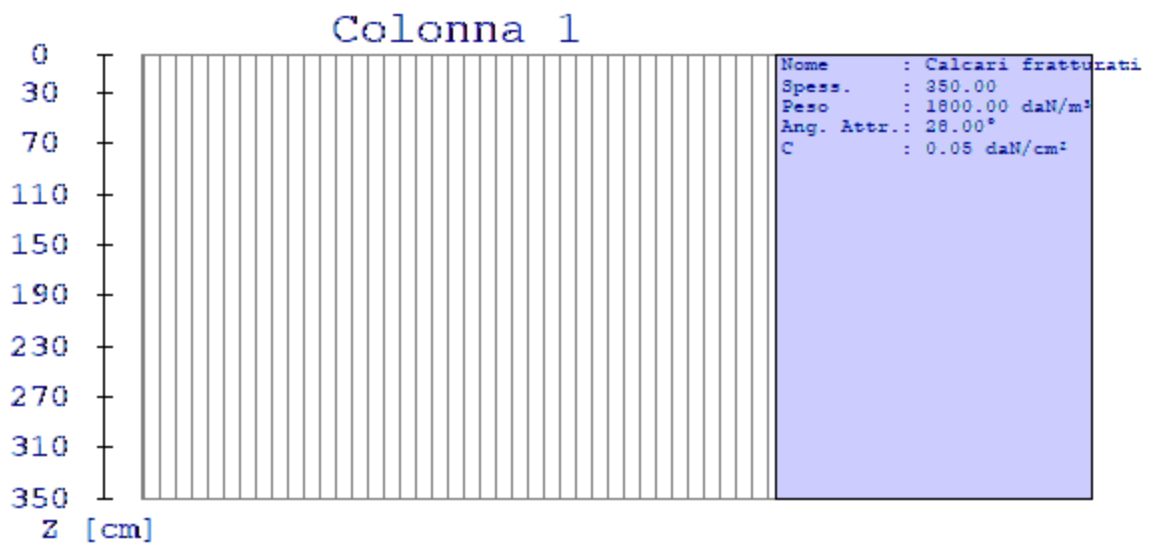
Filo	Colonna	Impalcato	Falda	Prof. Falda [cm]	Spicc. Fond. [cm]	No. Strati	RQD
1	Colonna 1	Fondazione	Non Presente	-	0.00	1	-
2	Colonna 1	Fondazione	Non Presente	-	0.00	1	-
3	Colonna 1	Fondazione	Non Presente	-	0.00	1	-
4	Colonna 1	Fondazione	Non Presente	-	0.00	1	-
5	Colonna 1	Fondazione	Non Presente	-	0.00	1	-
6	Colonna 1	Fondazione	Non Presente	-	0.00	1	-

Caratteristiche degli strati appartenenti alle colonne stratigrafiche:

Colonna : nome della colonna stratigrafica;
 Strato : nome dello strato appartenente la colonna stratigrafica;
 Spess. : Spessore dello strato;
 Peso : Peso dell'unità di volume dello strato;
 Peso eff. : Peso dell'unità di volume efficace dello strato;
 NSPT : Numero di colpi medio misurato nello strato;
 Qc : Resistenza alla punta media misurata nello strato;
 ϕ : Angolo di attrito del terreno;
 C : Coesione drenata del terreno;
 Cu : Coesione non drenata del terreno;
 E : Modulo elastico del terreno;
 G : Modulo di taglio del terreno;
 ν_t : Coefficiente di Poisson;
 E_{ed} : Modulo Edometrico;
 OCR : Grado di sovraconsolidazione del terreno.

Colonna	Strato	Spess. [cm]	Peso [daN/m ³]	Peso eff. [daN/m ³]	NSPT	Qc [daN/cm ²]	ϕ [°]	C [daN/cm ²]	Cu [daN/cm ²]	E [daN/cm ²]	G [daN/cm ²]	ν_t	E_{ed} [daN/cm ²]	OC R
Colonna 1	Calcari fratturati	350.0	1800.0	800.0	-	-	28.0	0.05	0.00	5090.00	1880.00	0.35	-	1.00

- Sezioni Geologiche:



- Caratterizzazione sismica del suolo di fondazione:

La categoria assunta per il suolo di fondazione per il sito in oggetto è: B

7.3 Relazione sulle fondazioni (D.M. 17/01/2018)

Scelta del tipo di fondazioni.

In funzione dei risultati ottenuti dalla campagna di indagini eseguite e della tipologia strutturale adottata per i lavori in oggetto, si è proceduto alla scelta delle tipologie di fondazione superficiali per distribuire i carichi trasmessi dalla sovrastruttura al terreno di fondazione ripartendoli il più possibile in modo uniforme sul suolo di sedime delle fondazioni stesse. La scelta della profondità del piano di posa ha permesso il superamento del suolo vegetale, della zona soggetta a gelo-disgelo e variazioni stagionali di umidità. La profondità del piano di posa delle fondazioni risulta tale da prevenire fenomeni di erosione o scalzamento.

Le dimensioni strutturali delle opere di fondazione, le tipologie usate e la loro ubicazione risultano descritte nella prima parte della presente relazione e vengono meglio evidenziate negli elaborati grafici allegati.

Le verifiche di sicurezza relative agli stati limite ultimi (SLU) ed agli stati limite d'esercizio (SLE) indagati risultano tali da non limitare l'uso della costruzione, la sua efficienza, la durabilità della struttura garantendo un grado di sicurezza ed un livello di prestazioni nel rispetto della normativa vigente in materia.

Ipotesi assunte ed analisi dei risultati nei riguardi del complesso terreno-opera di fondazione.

Tutte le analisi presentate si riferiscono studio del sottosuolo semplificando la situazione reale con criteri cautelativi, analizzando diverse possibili schematizzazioni ed adottando i risultati meno favorevoli mediante coefficienti parziali per i parametri geotecnici del terreno, coefficienti parziali per le azioni o per l'effetto delle azioni e coefficienti parziali di sicurezza da applicare alle resistenze caratteristiche.

Le analisi delle elaborazioni eseguite permette di evidenziare i seguenti livelli di sicurezza:

Riassunto risultati verifiche:

ELEMENTO	Tipo verifica	S Min	S Max
Platee di fondazione	Capacità Portante SLU-SLV	2.02	2.02
	Capacità Portante SLD	2.94	2.94
	Cedim. Diff. SLE Q. Perm.	7.45	7.45

La caratterizzazione geologica da un lato, le caratteristiche dimensionali, strutturali e le configurazioni di carico dall'altro, hanno reso possibile effettuare valutazioni che hanno conto del comportamento complessivo delle strutture e delle interazioni terreno-fondazione.

Si rimanda alla Relazione Geologica-Tecnica redatta dal Dott. Geologo per prendere visione di ogni altra informazione relativa alla stratigrafia che caratterizza il suolo di fondazione.

I coefficienti di sicurezza per tutte le verifiche di resistenza eseguite sulle strutture di fondazione, sono riportate nella Relazione di Calcolo allegata.

Dalle verifiche eseguite su tutti gli elementi di fondazione risultano livelli di sicurezza accettabili e pertanto i lavori in oggetto si valutano realizzabili.

Per quanto sopra esposto, a seguito delle analisi geomorfologiche e dalle verifiche geotecniche svolte l'intervento in oggetto, nel rispetto delle disposizioni progettuali individuate, si ritiene perfettamente compatibile con le caratteristiche del sottosuolo ed attuabile nel rispetto delle Norme vigenti e delle esigenze della Committenza.

Si prescrive che in corso d'opera si debba riscontrare la rispondenza della caratterizzazione geotecnica assunta in progetto e la situazione reale e che la sistemazione esterna dovrà evitare infiltrazioni di acqua tale da variare le caratteristiche geotecniche del terreno di fondazione.

SOMMARIO

1 Introduzione	1
1.1 Premessa	1
1.1.1 Cenni sulla casa produttrice del software	1
1.1.2 Descrizione dell'Opera da calcolare	1
1.2 Riferimenti Legislativi.	1
1.3 Convenzioni,Unità di misura e simboli adottati.	2
2 Descrizione del Modello.....	3
2.1 Modello assunto per il calcolo.	3
2.2 Tipo di calcolo.....	5
2.3 Condizioni di carico valutate	6
2.4 Procedura di Verifica degli elementi.	13
2.4.1 Elementi in C.A.	13
3 Dati	18
3.1 Dati Generali	18
3.2 Elenco e Caratteristiche dei materiali.....	21
3.3 Elenco e caratteristiche delle colonne stratigrafiche.	22
3.4 Elenco dei carichi.	22
3.4.1 Pesì propri unitari - G1.	22
3.4.2 Carichi Permanenti unitari - G2.....	23
3.4.3 Carichi Variabili unitari - Q.	23
3.4.4 Pesì Impalcati.	23
3.5 Elenco e Caratteristiche delle sezioni trasversali.	23
3.6 Geometria Struttura.	24
3.6.1 Fili Fissi.....	24
3.6.2 Caratteristiche dei nodi.	24
3.6.3 Caratteristiche delle aste.	25
3.6.4 Caratteristiche delle Piastre.....	26
3.6.5 Carichi distribuiti sugli elementi.	26
3.6.6 Carichi concentrati sui nodi.....	27
4 Risultati di Calcolo.....	27
4.1 Tensioni sul Terreno.	27
4.2 Verifica Aste.	28
4.2.1 Pilastrì.	28
4.2.1.1 Verifiche Pilastrì in C.A..	28
4.2.1.1.1 Verifiche SLV - Flessione Composta.....	28
4.2.1.1.2 Verifiche SLV - Taglio.....	30
4.2.1.1.3 Verifiche SLV - Stabilità Elastica.....	30
4.2.1.1.4 Verifiche SLE - Stato Tensionale.....	31
4.2.1.1.5 Verifiche SLE - Fessurazione.....	32
4.3 Verifica Elementi Bidimensionali.....	32
4.3.1 Verifica Piastre.....	32
4.3.1.1 Verifica Piastre in C.A.....	32
4.3.1.1.1 Dati Generali	32
4.3.1.1.2 Verifiche SLV - Flessione.	33
4.3.1.1.3 Verifiche SLV - Taglio	34
4.3.1.1.4 Verifiche SLV - Taglio-Punzonamento	34
4.3.1.1.5 Verifiche SLE - Fessurazione.....	34
4.3.1.1.6 Verifiche SLE - Tensioni di Esercizio	35

5 ALLEGATI.....	36
5.1 ALLEGATO A - (Pericolosità sismica di base).....	36
6 RELAZIONE GEOTECNICA	39
6.1 DESCRIZIONE DELL'OPERA E DEGLI INTERVENTI.	39
6.2 RELAZIONE GEOTECNICA (CAP. 6 delle N.T.C.)	41
7 RELAZIONE SULLE FONDAZIONI.....	51
7.1 Strutture di fondazione e del suolo di fondazione.....	51
7.2 Tensioni sul Terreno.	53
7.3 Relazione sulle fondazioni (D.M. 17/01/2018).....	56